

Guide d'identification des macroinvertébrés du relevé multidisciplinaire annuel dans l'estuaire et le nord du golfe du Saint-Laurent (NGCC Teleost 2004 - 2022)

Laurie Isabel, Hugo Bourdages et Claude Nozères

Pêches et Océans Canada
Institut Maurice-Lamontagne
850 route de la Mer
Mont-Joli, QC G5H 3Z4

2024

Rapport manuscrit canadien des sciences halieutiques et aquatiques 3277

Rapport manuscrit canadien des sciences halieutiques et aquatiques

Les rapports manuscrits contiennent des renseignements scientifiques et techniques qui constituent une contribution aux connaissances actuelles, mais qui traitent de problèmes nationaux ou régionaux. La distribution en est limitée aux organismes et aux personnes de régions particulières du Canada. Il n'y a aucune restriction quant au sujet; de fait, la série reflète la vaste gamme des intérêts et des politiques de Pêches et Océans Canada, c'est-à-dire les sciences halieutiques et aquatiques.

Les rapports manuscrits peuvent être cités comme des publications à part entière. Le titre exact figure au-dessus du résumé de chaque rapport. Les rapports manuscrits sont résumés dans la base de données *Résumés des sciences aquatiques et halieutiques*.

Les rapports manuscrits sont produits à l'échelon régional, mais numérotés à l'échelon national. Les demandes de rapports seront satisfaites par l'établissement auteur dont le nom figure sur la couverture et la page du titre.

Les numéros 1 à 900 de cette série ont été publiés à titre de Manuscrits (série biologique) de l'Office de biologie du Canada, et après le changement de la désignation de cet organisme par décret du Parlement, en 1937, ont été classés comme Manuscrits (série biologique) de l'Office des recherches sur les pêcheries du Canada. Les numéros 901 à 1425 ont été publiés à titre de Rapports manuscrits de l'Office des recherches sur les pêcheries du Canada. Les numéros 1426 à 1550 sont parus à titre de Rapports manuscrits du Service des pêches et de la mer, ministère des Pêches et de l'Environnement. Le nom actuel de la série a été établi lors de la parution du numéro 1551.

Canadian Manuscript Report of Fisheries and Aquatic Sciences

Manuscript reports contain scientific and technical information that contributes to existing knowledge but which deals with national or regional problems. Distribution is restricted to institutions or individuals located in particular regions of Canada. However, no restriction is placed on subject matter, and the series reflects the broad interests and policies of Fisheries and Oceans Canada, namely, fisheries and aquatic sciences.

Manuscript reports may be cited as full publications. The correct citation appears above the abstract of each report. Each report is abstracted in the data base *Aquatic Sciences and Fisheries Abstracts*.

Manuscript reports are produced regionally but are numbered nationally. Requests for individual reports will be filled by the issuing establishment listed on the front cover and title page.

Numbers 1-900 in this series were issued as Manuscript Reports (Biological Series) of the Biological Board of Canada, and subsequent to 1937 when the name of the Board was changed by Act of Parliament, as Manuscript Reports (Biological Series) of the Fisheries Research Board of Canada. Numbers 1426 - 1550 were issued as Department of Fisheries and Environment, Fisheries and Marine Service Manuscript Reports. The current series name was changed with report number 1551.

Rapport manuscrit canadien des
sciences halieutiques et aquatiques 3277

2024

Guide d'identification des macroinvertébrés du relevé multidisciplinaire annuel dans l'estuaire et le nord
du golfe du Saint-Laurent (NGCC Teleost 2004 - 2022)

par

Laurie Isabel, Hugo Bourdages et Claude Nozères

Pêches et Océans Canada
Institut Maurice-Lamontagne 850, route de la Mer
Mont-Joli (Québec) G5H 3Z4

© Sa Majesté le Roi du chef du Canada, représenté par le ministre du ministère des Pêches et des Océans, 2024.

N° de cat. Fs97-4/3277F-PDF ISBN 978-0-660-70044-1 ISSN 1488-5468

On doit citer la publication comme suit :

Isabel, L., Bourdages, H. et Nozères, C. 2024. Guide d'identification des macroinvertébrés du relevé multidisciplinaire annuel dans l'estuaire et le nord du golfe du Saint-Laurent (NGCC Teleost 2004 - 2022). Rapp. manus. can. sci. halieut. aquat. 3277 : iv + 326 p.

TABLE DES MATIÈRES

RÉSUMÉ	IV
ABSTRACT.....	IV
INTRODUCTION	1
MATÉRIEL ET MÉTHODES	1
RÉSULTATS ET DISCUSSION	3
CARTE DE DISTRIBUTION.....	3
CHANGEMENTS TAXONOMIQUES	4
Cnidaria	6
Ctenophora	7
Arthropoda	7
Brachiopoda.....	7
Bryozoa	7
Mollusca	7
Annelida.....	8
Priapulida.....	9
Echinodermata.....	9
Nemertea.....	9
Tunicata.....	9
PERSPECTIVES	9
REMERCIEMENTS	10
RÉFÉRENCES	11
ANNEXE 1. GUIDE D'IDENTIFICATION	13

RÉSUMÉ

Isabel, L., Bourdages, H. et Nozères, C. 2024. Guide d'identification des macroinvertébrés du relevé multidisciplinaire annuel dans l'estuaire et le nord du golfe du Saint-Laurent (NGCC Teleost 2004 - 2022). Rapp. manus. can. sci. halieut. aquat. 3277 : iv + 326 p.

Ce rapport vise à mettre à jour les informations sur les taxons d'invertébrés retrouvés dans les relevés au chalut de fond réalisés dans le nord du golfe du Saint-Laurent et à fournir un outil d'identification pour ceux-ci. Un total de 215 taxons d'invertébrés a été répertorié dans les captures entre 2004 et 2022. Le catalogue des photos prises à bord du navire a permis de valider ou corriger les données. Des fiches d'identifications de tous les taxons confirmés dans les captures depuis 2004 sont présentées en annexe.

ABSTRACT

Isabel, L., Bourdages, H. et Nozères, C. 2024. Guide d'identification des macroinvertébrés du relevé multidisciplinaire annuel dans l'estuaire et le nord du golfe du Saint-Laurent (NGCC Teleost 2004 - 2022). Rapp. manus. can. sci. halieut. aquat. 3277 : iv + 326 p.

This report aims to update the information on the invertebrate taxa found in the bottom trawl surveys carried out in the northern Gulf of St. Lawrence and to provide an identification tool for them. A total of 215 taxa of invertebrates were listed in the catches between 2004 and 2022. The catalog of photos taken on board the ship made it possible to validate or correct the data. Identification sheets for all taxa confirmed in catches since 2004 are presented in the appendix.

INTRODUCTION

Le ministère des Pêches et Océans Canada (MPO) de la région du Québec conduit à chaque année au mois d'août un relevé au chalut de fond dans le nord du golfe du Saint-Laurent. Ce relevé a lieu depuis 1990 et a comme objectif principal de collecter des données biologiques sur les espèces commerciales de poissons de fond et la crevette nordique (Bourdages et al., 2022). Au fil des années, des efforts supplémentaires ont été faits afin de rendre la mission plus écosystémique en identifiant aussi les espèces non commerciales, comme les petits poissons démersaux ainsi que les invertébrés benthiques comme les étoiles de mer, les anémones de mer, etc. La biomasse, l'abondance et, pour certains taxons, des mesures biométriques sont enregistrées à toutes les captures. Ces informations sont essentielles dans le cadre du développement d'une approche écosystémique des pêches (Jennings et al., 2014).

L'identification des invertébrés dans les captures est dépendante des images et de l'expertise disponibles à bord du navire et au laboratoire. La résolution taxonomique des espèces échantillonnées dans les relevés, principalement les petits poissons démersaux et les macroinvertébrés benthiques, a augmenté avec l'arrivée des images numériques et un premier guide d'espèces en 2002 (Nozères et Bérubé, 2003). En 2004, un nouveau protocole a été introduit pour l'identification des invertébrés, plus particulièrement de la macrofaune benthique non-commerciale. Par la suite, une photo-documentation des invertébrés dans chaque capture a débuté en 2008. Au fil des années, l'identification des spécimens s'est améliorée et s'est stabilisée en 2011. Par exemple, les plumes de mer, autrefois identifiées à la famille Pennatulacea, qui est maintenant la super-famille Pennatuloidea, sont identifiées à l'espèce depuis 2011 suite à des collaborations faites avec des experts des relevés de la région des Maritimes et de Terre-Neuve. Grâce aux archives photos, une révision majeure des identifications faites avant 2013 a été réalisée en 2022 (Nozères et al., 2022).

Un photo-catalogue des invertébrés capturés pendant le relevé dans le nord du golfe du Saint-Laurent ainsi qu'un portfolio de mini affiches des espèces principales ont été publiés en 2014 pour faciliter leur identification (Nozères et Archambault, 2014; Nozères et al. 2014). Toutefois, la taxonomie est très évolutive et peut changer au fil des ans. Ainsi, de nombreuses modifications taxonomiques telles que des changements de nom ont été apportées depuis la publication du photo-catalogue. Aussi, plusieurs taxons ont été originellement mal identifiés. De plus, le photo-catalogue et les mini affiches, bien qu'utiles, contiennent seulement des photos à titre de référence pour l'identification. Ces documents ne possèdent pas d'information sur les critères à regarder pour différencier les espèces, ni d'information sur le ou les habitats dans lesquels les taxons sont susceptibles d'être retrouvés.

Ce rapport a pour but de mettre à jour les informations présentées dans le photo-catalogue de 2014 et d'apporter des compléments d'informations biologiques et taxonomiques sur les taxons d'invertébrés capturés lors des relevés écosystémiques d'août dans le nord du golfe du Saint-Laurent en plus de montrer la distribution géographique de ces taxons.

MATÉRIEL ET MÉTHODES

La zone d'étude du nord du golfe du Saint-Laurent (NGSL) couvre une superficie de 116 115 km² (Bourdages et al., 2022). Elle s'étend de l'estuaire maritime à partir des Escoumins à l'ouest, au détroit de Cabot au sud-est, et au détroit de Belle Isle au nord-est (Annexe : Figure

1). Les endroits rocheux ou à bathymétrie complexe sont exclus du relevé, notamment autour de l'île d'Anticosti et dans la fosse de Mécatina, puisqu'ils sont difficiles à chaluter (Bourdages et al., 2022). La topographie échantillonnée par le relevé comprend trois chenaux profonds: les chenaux Laurentien, Anticosti et Esquiman (Saucier et al., 2003). Elle comprend aussi des pentes et des plateaux circalittoraux et s'étend jusqu'au littoral à une profondeur minimale de 37 m. Les eaux sont stratifiées avec deux couches d'eau présentes en hiver et au printemps et trois couches d'eau en été et en automne (Galbraith, 2006). Le sud du golfe du Saint-Laurent (SGSL), formé du plateau madelinien, n'a pas été inclus dans ce guide puisqu'il est couvert par une autre région administrative du MPO, soit la région du Golfe, et les protocoles d'échantillonnage sont différents.

Les données sur la macrofaune des invertébrés, surtout épibenthiques, ont été recueillies à bord du NGCC *Teleost* lors du relevé de recherche écosystémique d'août dans le nord du golfe du Saint-Laurent de Pêches et Océans Canada (Bourdages et al., 2022). Le relevé à bord du NGCC *Teleost* a débuté en 2004. Les données utilisées pour ce rapport proviennent des relevés de 2004 à 2022 et un total de 2766 stations ont été échantillonnées. L'échantillonnage est effectué dans des strates prédéfinies en fonction de la profondeur en utilisant un plan d'échantillonnage aléatoire. Les échantillons sont prélevés par un chalut à crevettes Campelen 1800 à quatre côtés équipé d'un bourrelet Rockhopper (McCallum et Walsh, 2002). Le chalut est doté d'une doublure en nylon sans nœud avec un maillage de 12,7 mm, permettant de récolter la majorité des macroinvertébrés épibenthiques ainsi que quelques invertébrés endobenthiques et pélagiques (Bourdages et al., 2022).

Les captures sont triées à chaque site d'échantillonnage et les taxons benthiques sont identifiés au plus bas niveau taxonomique possible. Les invertébrés triés sont ensuite photographiés, pesés et dénombrés, si possible. Le dénombrement ne peut pas être fait pour certains taxons coloniaux ou dans les cas où seul un fragment d'un individu est capturé. Ces informations sont saisies sur papier et ensuite entrées dans une base de données Oracle. Comme, au fil des ans, les identifications ont été réalisées par des étudiants ou employés du MPO n'ayant pas tous le même niveau d'expertise en identification, chaque identification est vérifiée au retour de mission par un expert en taxonomie. Cette vérification permet d'assurer une uniformité des identifications et de corriger les erreurs potentielles. Toutes les feuilles de saisie sont numérisées afin de conserver une trace des identifications initiales (Nozères et al., 2022). Les photos prises sur le navire sont archivées dans un catalogue SQLite dans Adobe Lightroom. La plupart des photos sont prises avec un appareil robuste et hydrofuge (Olympus Tough TG-4) afin de documenter les captures et valider l'identification ainsi que le nombre ou l'allure des spécimens et non dans un but esthétique. Des photos supplémentaires des spécimens ont été prises avec d'autres appareils personnels (Canon S2IS, G11, Pentax K, Canon M100) de meilleure qualité pour des fins illustratives. Plusieurs de ces photos sont utilisées dans ce document. Les photos prises avec les différents appareils sont ensuite archivées sur des disques durs externes. Les données des relevés sont disponibles en ligne sur OBIS (https://ipt.iobis.org/obiscanada/resource?r=dfo_quebec_groundfish). Des photos de certains taxons sont aussi publiées sur le site du registre canadien des espèces marines (<https://www.marinespecies.org/CaRMS/photogallery.php>), et sur iNaturalist Canada (<https://inaturalist.ca/>).

RÉSULTATS ET DISCUSSION

CRÉATION DES FICHES D'IDENTIFICATIONS

Les taxons présentés dans ce guide (Annexe 1) sont identifiés au niveau taxonomique auquel ils peuvent être identifiés à bord du navire et avec l'aide des archives photos. La liste des taxons présents dans ce guide se trouve dans l'annexe 1 (Tableau 1). À noter que les éponges (Porifera) ont été exclues de ce guide puisque deux guides détaillés sur les éponges du golfe du Saint-Laurent ont été publiés récemment (Dinn, 2020; Nozères et al., 2020). Le niveau taxonomique des identifications varie en fonction des taxons. L'identification peut être faite au niveau du phylum, de la famille, de la classe, du genre ou de l'espèce. Les taxons qui ne sont pas identifiés à l'espèce nécessitent soit une loupe binoculaire ou des analyses génétiques pour préciser davantage leur identification. Dépendamment de l'année d'échantillonnage et de l'expérience en identification du personnel à bord du navire, la qualité des identifications varie pour certains groupes plus complexes à identifier tels que les bryozoaires, les hydrozoaires, les polychètes et les amphipodes. Certains embranchements sont plus difficiles à identifier que d'autres. C'est le cas des anémones de mer de l'ordre Actiniaria. L'identification des anémones de mer est basée sur des caractères histologiques internes et des différences considérables peuvent exister entre les spécimens frais et les spécimens conservés (Rodríguez et al., 2023). Ainsi, les espèces peuvent être très difficiles à identifier si les caractères morphologiques externes ne sont pas suffisants. Certains taxons pélagiques faisant partie du zooplancton, comme les euphausiacés et les mysidacés, sont parfois capturés, mais n'ont pas été inclus dans ce guide, car ces taxons ne sont pas systématiquement documentés en photos et dans la base de données.

Dans l'annexe, chaque taxon est présenté sous la forme d'une fiche d'identification comportant des informations sur son écologie, sa distribution ainsi que son identification. Les préférences de substrat et autres informations pertinentes sur l'écologie de chaque taxon ont été compilées par une revue de littérature. Pour les préférences de substrat, l'abréviation ND (non disponible) est indiquée lorsqu'aucune information n'a été trouvée dans la littérature. Les références sont regroupées par phylum à la fin de chaque section. La moitié inférieure de chaque fiche est consacrée à l'identification des taxons. Seuls des caractères externes et visibles à l'œil nu sont mentionnés. Les caractères morphologiques externes sont parfois difficiles à observer ou insuffisants pour identifier ou distinguer adéquatement les taxons. Un code de couleur avec symboles est inclus dans chaque fiche et utilisé pour catégoriser le niveau de facilité d'identification pour chaque taxon. La signification de chaque couleur/symbole est détaillée au début de l'annexe. La plupart des dessins présentés dans l'annexe sont des originaux et, pour toute utilisation, ce rapport doit être cité.

Carte de distribution

La profondeur des stations échantillonnées se situe entre 37 et 525 m. Les cartes de distribution doivent être interprétées avec prudence. En effet, elles sont présentées à titre de référence pour visualiser où les taxons ont déjà été capturés dans le relevé NGSL. Le relevé est conçu pour échantillonner les espèces démersales et épibenthiques (Bourdages et al., 2022). Toutefois, des espèces pélagiques et endobenthiques ainsi que des espèces associées aux habitats côtiers ou rocheux sont parfois capturées par le chalut. Par exemple, le homard a été observé à trois reprises dans le relevé, toujours à des profondeurs de plus de 100 m, bien que l'habitat usuel des adultes se trouve en deçà de 50 m. Le nombre d'occurrence, exprimé en nombre de station n , auquel le taxon a été observé depuis 2004, est indiqué en bas à gauche de la carte. En dessous se trouve la série temporelle du taxon correspondant à l'année de la

première observation du taxon suivi de la dernière année d'observation du taxon dans le relevé NGSL. Un tableau des percentiles de profondeur (5^{ième}, 25^{ième}, 50^{ième}, 75^{ième} et 95^{ième}) a aussi été ajouté à chaque carte de distribution. Les percentiles de profondeur sont calculés en fonction de la profondeur de chaque station où le taxon a été échantillonné.

CHANGEMENTS TAXONOMIQUES

Une description détaillée des différents groupes (phylum, classe, ordre) taxonomiques retrouvés dans le golfe du Saint-Laurent a été faite dans la portion annexe de ce guide. Ainsi, afin de ne pas répéter l'information, seuls les changements taxonomiques apportés depuis la publication de Nozères et al. en 2014 sont décrits pour chaque groupe dans la portion « Résultats et discussion ». L'ensemble de ces changements est résumé dans le tableau 1 ci-dessous.

Tableau 1. Résumé des changements taxonomiques effectués dans ce manuscrit par rapport à la publication de Nozères et al. (2014).

Nom scientifique	Action	Résultat
<i>Alcyonidium</i>	remplacer	<i>Alcyonidium gelatinosum</i> , <i>Alcyonidium pachydermatum</i>
<i>Anomia</i>	remplacer	Anomiidae
<i>Asterias rubens</i>	ajouter	
<i>Austrolaenilla mollis</i>	supprimer	
<i>Axionice maculata</i>	supprimer	
<i>Bathyarca</i>	remplacer	<i>Bathyarca glacialis</i>
<i>Boreotrophon truncatus</i>	supprimer	
<i>Botrylloides</i>	remplacer	<i>Botrylloides aureus</i>
<i>Buccinum cyaneum</i>	ajouter	
<i>Buccinum terraenovae</i>	ajouter	
<i>Chone</i>	supprimer	
<i>Crenella faba</i>	remplacer	<i>Arvella faba</i>
<i>Cuspidaria</i>	remplacer	<i>Cuspidaria glacialis</i>
<i>Dendronotus</i>	remplacer	<i>Dendronotus frondosus</i> , <i>Dendronotus elegans</i> , <i>Dendronotus velifer</i>
<i>Dichelopandalus leptocerus</i>	ajouter	
<i>Didemnum</i>	supprimer	
<i>Doridoxa ingolfiana</i>	remplacer	<i>Doridoxa walteri</i>
<i>Ekmania barthii</i>	ajouter	
<i>Elliptio complanata</i>	supprimer	
<i>Epimeria loricata</i>	remplacer	<i>Epimeria (Epimeria) loricata</i>
<i>Eunice pennata</i>	supprimer	
<i>Eunoe nodosa</i>	supprimer	
<i>Flabellum alabastrum</i>	remplacer	<i>Flabellum (Ulocyathus) alabastrum</i>
<i>Gersemia fruticosa</i>	ajouter	
<i>Glycera capitata</i>	supprimer	

<i>Golfingia margaritacea</i>	remplacer	<i>Golfingia (Golfingia) margaritacea</i>
<i>Goniada norvegica</i>	supprimer	
<i>Gorgonocephalus</i>	remplacer	<i>Gorgonocephalus arcticus</i>
<i>Halipteris finmarchica</i>	remplacer	<i>Balticina finmarchica</i>
<i>Heterodoris robusta</i>	ajouter	
<i>Heteropolypus</i>	ajouter	
<i>Homarus americanus</i>	ajouter	
<i>Hormathia digitata</i>	ajouter	
<i>Harmothoe</i>	supprimer	
<i>Hyas coarctatus</i>	remplacer	<i>Hyas alutaceus</i>
<i>Kophobelemnnon stelliferum</i>	ajouter	
<i>Leptasterias</i>	remplacer	<i>Leptasterias groenlandica</i>
<i>Leptasterias polaris</i>	remplacer	<i>Leptasterias (Hexasterias) polaris</i>
<i>Lunatia pallida</i>	remplacer	<i>Euspira pallida</i>
Malacalcyonacea	ajouter	
<i>Maldane sarsi</i>	supprimer	
<i>Melinna cristata</i>	supprimer	
<i>Metridium senile</i>	ajouter	
<i>Neoleanira tetragona</i>	supprimer	
<i>Nephtheidae</i>	supprimer	
<i>Nephtys</i>	supprimer	
<i>Neptunea decemcostata</i>	supprimer	
<i>Onuphis quadricuspis</i>	supprimer	
<i>Ophiocten sericeum</i>	supprimer	
<i>Ophiopus arcticus</i>	supprimer	
Pennatulacea	remplacer	Pennatuloida
<i>Pennatula grandis</i>	remplacer	<i>Ptilella grandis</i>
<i>Phascolion strombus strombus</i>	remplacer	<i>Phascolion (Phascolion) strombus strombus</i>
<i>Pentamera calcigera</i>	supprimer	
<i>Pseudobonellia iraidii</i>	supprimer	
<i>Ptychodactis patula</i>	ajouter	
<i>Reteporella grimaldii</i>	remplacer	<i>Phidolopora elongata</i>
Scleralcyonacea	ajouter	
<i>Stenosemus exaratus</i>	remplacer	<i>Hanleya hanleyi</i>
<i>Stephalia corona</i>	ajouter	
<i>Stoloteuthis leucoptera</i>	ajouter	
<i>Terebellides stroemii</i>	supprimer	
<i>Teredo navalis</i>	remplacer	<i>Xylonora atlantica</i>
<i>Thyasira</i>	ajouter	
<i>Tonicella</i>	remplacer	Tonicellidae
<i>Urticina felina</i>	remplacer	<i>Urticina crassicornis, Cribrinopsis similis</i>

Cnidaria

Plusieurs changements importants dans la taxonomie des cnidaires ont été apportés dans les dernières années. Une révision majeure des octocoraux a eu lieu en 2022. Les espèces des ordres Alcyonacea, Pennatulacea, et Helioporacea font désormais partie de deux ordres: Malacalcyonacea et Scleralcyonacea. L'ordre des Malacalcyonacea comprend la majorité des espèces de coraux mous tandis que l'ordre des Scleralcyonacea comprend la majorité des espèces de coraux formant des squelettes durs (McFadden et al., 2022). Brunel et al. (1998) avait répertorié trois espèces d'Alcyonacea dans le golfe du Saint-Laurent, *Duva florida*, *Gersemia rubiformis* et *Gersemia clavata*. La présence de *G. clavata* dans le NGSL n'a toutefois jamais été confirmée. Dans le rapport de 2014, Nozères et al. ont confirmé la présence de l'espèce *Drifa glomerata*. Récemment, il a été constaté que plusieurs spécimens identifiés *D. glomerata* dans le passé appartiennent plutôt à l'espèce *Gersemia fruticosa* (comm. pers. MPO-B. Neves 2022). À ce jour, il y a quatre espèces appartenant à l'ordre des Malacalcyonacea qui ont été confirmées dans le relevé NGSL : *Duva florida* et *Drifa glomerata* de la famille des Capnellidae, et *Gersemia rubiformis* et *Gersemia fruticosa* de la famille des Alcyoniidae. Ces espèces faisaient auparavant toutes partie de la famille des Nephtheidae. Pour l'ordre des Scleralcyonacea, cinq espèces confirmées sont présentes dans le relevé NGSL appartenant toutes à la super-famille des Pennatuloidea, anciennement Pennatulacea et autrefois considéré comme un ordre. Nozères et al. (2014) ont répertorié quatre espèces de plume de mer dans le relevé NGSL : *Balticina finmarchina*, autrefois *Halipteris finmarchica*, *Anthoptilum grandiflorum*, *Ptillela grandis*, autrefois *Pennatula grandis*, et *Pennatula aculeata*. Une cinquième espèce de plume de mer, *Kophobelemnion stelliferum*, a été observée dans le relevé NGSL pour la première fois en 2018. Cette espèce est retrouvée uniquement près du détroit de Cabot à plus de 300 m de profondeur. Cette plume de mer avait initialement été identifiée comme un débris de *Pennatula aculeata* en raison de sa coloration beige. Cette plume a la capacité de s'enfouir dans les sédiments, ce qui pourrait expliquer la faible abondance de l'espèce capturée avec un chalut (de Medonça et Metaxas, 2021; Boulard et al., 2023). Un autre taxon appartenant à l'ordre des Scleralcyonacea est présent dans le NGSL, soit *Heteropolypus* sp. Les individus de ce genre ont été observés une seule fois en 2019, mais en grande quantité, dans le détroit de Cabot.

Nozères et al. (2014) ont identifié huit espèces d'anémone de mer dans le relevé NGSL. Quatre espèces s'ajoutent maintenant : *Ptychodactis patula*, *Urticina crassicornis*, *Cribrinopsis similis* et *Hormathia digitata*. En 2012, de nombreuses identifications d'*Actinauge cristata*, une anémone commune sur les substrats meubles des eaux profondes du NGSL, ont été modifiées pour des identifications de l'anémone de mer *Hormathia digitata*. Cette dernière est très semblable à *A. cristata*, mais elle est plutôt retrouvée en eaux moins profondes sur des substrats durs, tels que des roches ou des coquilles de gastéropodes. L'anémone de mer *Ptychodactis patula* a été identifiée pour la première fois dans le relevé NGSL en 2019. Les archives photos ont toutefois permis d'identifier six individus de cette espèce capturés en 2008 et un individu capturé en 2017. Cette espèce à la forme irrégulière et à la coloration beige était originalement confondue avec des débris d'Actiniaria. Il est difficile de déterminer le nombre d'occurrence exact de l'espèce entre 2004 et 2019, car certains individus ont pu être rejetés comme débris et donc non comptabilisés. L'anémone de mer *Metridium senile* a été identifiée pour la première fois dans le relevé NGSL en 2015. Il s'agit d'une anémone fréquente en milieu côtier retrouvée sur des substrats rocheux. Une étude de Sanamyan et al. (2020) a aussi conclu que l'anémone *Urticina felina* n'est pas présente dans les eaux de l'est du Canada. Les individus identifiés *Urticina felina* par le passé sont en fait deux espèces, soit *Urticina crassicornis* et *Cribrinopsis similis* (Sanamyan et al., 2020). Parmi l'ordre Scleractinia, la seule espèce de corail dur

capturée dans le relevé NGSL, *Flabellum alabastrum*, est maintenant *Flabellum (Ulocyathus) alabastrum*.

Pour la classe Hydrozoa, le siphonophore benthique *Stephalia corona* a été ajouté aux captures du relevé NGSL à partir de 2018. L'espèce étant autrefois considérée comme un débris de tissu, elle n'était généralement pas photographiée, ni comptabilisée dans la capture. Pour ces raisons, il est difficile d'estimer le nombre d'occurrence exact de l'espèce entre 2011 et 2018. Une analyse des archives photos a toutefois permis d'identifier des individus capturés en 2011, 2012, 2014, 2016 et 2017.

Ctenophora

Aucun changement taxonomique.

Arthropoda

L'amphipode *Epimeria loricata* est maintenant *Epimeria (Epimeria) loricata*.

Le homard *Homarus americanus* a été ajouté à ce guide suite à deux captures lors du relevé NGSL en 2019. Depuis, deux observations de l'espèce ont été faites, un individu capturé en 2021 et un en 2023.

Le crabe *Hyas coarctatus* est maintenant identifié comme *Hyas alutaceus* suite à une révision taxonomique récente donnant à la sous-espèce régionale *H. coarctatus alutaceus* un statut de pleine espèce. L'autre sous-espèce, *H. c. coarctatus*, devient *Hyas coarctatus*. Cette dernière est retrouvée plus au sud dans la baie de Fundy, mais pas de le NGSL.

L'espèce de crevette *Dichelopandalus leptocerus* a aussi été détectée dans les captures du relevé NGSL pour la première fois en 2020. Sa présence a pu être confirmée en laboratoire et par la génétique (https://www.boldsystems.org/index.php/Public_BarcodeCluster?clusteruri=BOLD:AAB2200). Il s'agit d'une espèce d'eaux chaudes commune dans le SGSL. Elle est très semblable à la crevette ésope, *Pandalus montagui*, et il est possible qu'elle ait été confondue avec cette dernière par le passé.

Les euphausiacés et les mysidacés n'ont pas été inclus dans ce guide, car la présence de ces taxons est très rarement documentée lorsqu'ils se retrouvent sur la table de tri.

Brachiopoda

Aucun changement taxonomique.

Bryozoa

Les individus du genre *Alcyonidium* sont maintenant identifiés à l'espèce, soit *A. gelatinosum* ou *A. pachydermatum*. L'espèce *Reteporella grimaldii* n'est pas présente dans le NGSL. Les individus identifiés comme tel dans les captures appartiennent en fait à l'espèce *Phidolopora elongata*.

Mollusca

Les bivalves encroutants du genre *Anomia* ont été élevés à la famille Anomiidae. En effet, deux espèces d'Anomiidae appartenant à deux genres différents sont probablement présentes dans le NGSL : *Heteranomia squamula* et *Anomia simplex*. Les individus du genre *Bathyarca* ont été précisés à l'espèce puisque seule espèce, *Bathyarca glacialis*, est capturée dans le relevé NGSL. De la même manière, les individus du genre *Cuspidaria* ont été précisés à l'espèce

Cuspidaria glacialis. Le petit bivalve *Crenella faba* est maintenant *Arvella faba*. Des débris de coquille du bivalve *Elliptio complanata* sont observés occasionnellement dans le relevé NGSL, mais il n'a pas été inclus dans ce guide puisqu'il s'agit d'une espèce d'eau douce. L'espèce *Teredo navalis* a été confondue dans le passé avec l'espèce d'eaux profondes *Xylonora atlantica* et a donc été remplacée par cette dernière dans ce guide. Un nouveau genre de bivalve a aussi été ajouté au guide, soit le genre *Thyasira*.

Du côté des gastéropodes, les buccins *Buccinum cyaneum* et *Buccinum terraenovae* ont été ajoutés à ce guide. Les individus du genre *Onchidiopsis* ont été précisés à l'espèce puisque seule l'espèce, *Onchidiopsis corys*, est présente dans le nord-ouest de l'Atlantique. L'espèce *Lunatia pallida* est maintenant *Euspira pallida*. Ensuite, l'espèce *Boreotrophon truncatus* n'est pas présente dans le NGSL puisque sa distribution s'arrête à l'est du Groenland, et n'a donc pas été incluse dans ce guide. Les individus identifiés comme *B. truncatus* sont en fait *B. clathratus*, l'autre espèce de *Boreotrophon* déjà connue dans le NGSL. Il en va de même pour le neptune *Neptunea decemcostata* qui est seulement présent dans le SGSL. Dans le relevé NGSL, seule la présence de l'espèce *Neptunea despecta* est confirmée par des analyses de la morphologie externe. Pour les nudibranches, les individus du genre *Dendronotus* ont été précisés à l'espèce. Trois espèces appartenant à ce genre sont confirmées dans les captures du relevé NGSL : *D. frondosus*, *D. velifer* et *D. elegans*. Ensuite, une révision taxonomique a mené à renommer l'espèce *Doridoxa ingolfiana* en *Doridoxa walteri* (Korshunova et Martynov, 2020). L'espèce *Heterodoris robusta* a aussi été ajoutée à ce guide.

Pour les chitons, il s'est avéré que l'espèce *Hanleya hanleyi* était mal identifiée comme *Stenosemus exaratus*. Les espèces du genre *Tonicella* ont quant à elles été élevées à la famille Tonicellidae. En effet, deux espèces appartenant à deux genres différents sont présentes dans les captures du relevé NGSL et sont difficiles à distinguer, soit *Tonicella marmorea* et *Boreochiton ruber*.

Pour les céphalopodes, une nouvelle espèce, la sépiole *Stoloteuthis leucoptera* a été ajoutée aux captures en 2018. Il s'agit d'une espèce non-résidente qui fait des incursions périodiques dans le NGSL. La dernière observation documentée de cette espèce remontait à 1989 (collection IML, <https://obis.org/dataset/1febfcdd-3e1b-46db-b73d-1bbe81ce22a6>). Cependant, une révision des photos du relevé NGSL a révélé que des individus ont été capturés avant 2018, mais qu'ils avaient été identifiés comme étant *Rossia* sp.

Annelida

Plusieurs taxons de polychètes identifiés dans Nozères et al. (2014) n'ont pas été inclus dans ce guide, car il n'est pas possible de les identifier directement sur le navire sans une loupe binoculaire : *Austrolaenilla mollis*, *Axionice maculata*, *Chone* sp., *Eunice pennata*, *Eunoe nodosa*, *Harmothoe* sp., *Glycera capitata*, *Goniada norvegica*, *Maldane sarsi*, *Melinna cristata*, *Neoleanira tetragona*, *Nephtys* sp., *Onuphis quadricuspis* et *Terebellides stroemii*.

Des révisions taxonomiques ont récemment regroupées les embranchements Sipuncula et Echiura sous le phylum Annelida (Schulze et al., 2019; Goto et al. 2020). L'espèce d'échiure *Pseudobonellia iraidii* présente dans Nozères et al. (2014) n'a pas été incluse dans ce guide, car rien ne permet de confirmer sa présence dans les captures. L'autre espèce d'échiure retrouvée dans les captures du relevé NGSL, *Hamingia arctica*, est plus distinctive et sa présence est confirmée dans le relevé. Le siponcle *Golfingia margaritacea* est maintenant *Golfingia* (*Golfingia*) *margaritacea*.

Priapulida

Le priapulide *Phascolion strombus strombus* est maintenant *Phascolion (Phascolion) strombus strombus*.

Echinodermata

Deux espèces d'étoile de mer appartenant au genre *Leptasterias* sont présentes dans le NGSL. *Leptasterias (Hexasterias) polaris*, anciennement *Leptasterias polaris*, est facilement distinguable avec ses six bras et sa grande taille. L'autre espèce, *L. groenlandica*, est plus petite, jaunâtre et porte 5 bras. Elle était identifiée au genre *Leptasterias* avant 2019.

L'espèce côtière *Asterias rubens* a été ajoutée au guide. Cette espèce n'était pas capturée dans le relevé avant 2016, mais depuis, quelques individus sont observés à chaque année à des endroits plus profonds que son habitat usuel dans le NGSL.

Les gorgonocéphales *Gorgonocephalus* sp. ont été précisés à l'espèce *G. arcticus* puisqu'une seule espèce semble présente dans le NGSL. Deux autres espèces sont identifiées dans l'Atlantique, soit *G. eucnemis* (disque lisse) et *G. lamarckii* (eaux profondes), mais leur présence dans le NGSL n'est pas encore appuyée par la génétique.

Comme la présence des ophiures *Ophiocten sericeum* et *Ophiopus arcticus* dans les captures du relevé NGSL n'a jamais été confirmée, ces espèces n'ont pas été incluses dans ce guide.

Le concombre de mer *Pentamera calcigera* n'a pas été inclus à ce guide. Un spécimen capturé en 2009 pourrait appartenir à cette espèce, mais l'identification n'a pas pu être confirmée.

Pentamera calcigera est une espèce fousseuse commune en milieux circalittoral sableux, plus spécifiquement dans l'estuaire, qui sont peu échantillonnés par le relevé NGSL.

Le concombre de mer *Ekmania barthii* a été ajoutée au guide. Cette espèce des faibles profondeurs a été capturée dans le relevé pour la première fois en 2016.

Nemertea

Aucun changement taxonomique pour ce groupe. Toutefois, les Nemertea sont désormais classés en trois types afin de mieux les différencier dans les captures du relevé NSGL : type rouge, type brun et type vert. Des analyses microscopiques et génétiques supplémentaires sont nécessaires pour confirmer leur classification.

Tunicata

Tous les taxons de tuniciers identifiés dans le relevé NGSL appartiennent à la classe Ascidiacea. À chaque année, les individus du genre *Botrylloides* capturés dans le relevé sont placés dans l'éthanol pour être ensuite analysés afin de détecter si l'espèce envahissante des eaux chaudes, *B. violaceus*, se trouve dans les eaux couvertes par le relevé. À ce jour, aucun individu de cette espèce n'a été capturé. Tous les individus du genre *Botrylloides* capturés dans le relevé appartiennent à l'espèce indigène des eaux froides, *B. aureus*.

PERSPECTIVES

La taxonomie est une science en constante évolution. Afin d'accélérer les opérations en mer, il est important d'avoir de bons outils visuels et taxonomiques pour faciliter l'identification des invertébrés capturés. Le plus important est toutefois de documenter les captures par le biais de photos ou de spécimens conservés afin de pouvoir valider, corriger et/ou préciser les observations au fil de l'évolution de la taxonomie. Depuis la publication du photo-catalogue des invertébrés en 2014 (Nozères et al., 2014), de nombreux changements taxonomiques ont eu

lieu. Les photos des spécimens frais prises directement sur le navire sont d'une très grande importance pour corriger les erreurs d'identification ou pour améliorer la résolution taxonomique. Bien que plusieurs identifications problématiques aient été revues et corrigées depuis la publication du photo-catalogue en 2014, certains cas plus complexes restent toujours à préciser. Des analyses génétiques ou morphologiques seront nécessaires pour confirmer la présence ou non de certains taxons dans les captures du relevé NGSL.

Somme toute, les données de biodiversité du relevé NGSL sont une source d'information précieuse et la série temporelle réalisée à ce jour permet de réaliser des analyses spatio-temporelles intéressantes sur la biodiversité et l'abondance des invertébrés dans le NGSL.

REMERCIEMENTS

Nous remercions tous les techniciens, biologistes et chercheurs qui ont participé aux missions à bord du NGCC *Teleost* et qui ont contribué au tri, à l'identification ou à la photographie des captures d'invertébrés. Un merci particulier à Mylène Bourque, Pierre-Marc Chouinard, Mathieu Desgagnés, Johanne Gauthier, Mélanie Lévesque, Laure de Montety, Eric Parent, Paul Robichaud, Marilyn Thorne, Fanny Vermandele, Camille Alboury, Julie Joseph, Valérie de Carufel, Évelyne Sigouin, David Poissant, David Beauchesne, Mariane Daneau-Lamoureux, Lisa Treau de Coeli, Camille Lavoie, Geneviève Côté, Claude Nozères, Jordan Ouellette-Plante, Grégoire Cortial, Shani Rousseau, Marie-Claude Marquis et Claudie Bonnet. Finalement, merci à Marilyn Thorne et Barbara Neves pour la révision de ce document.

RÉFÉRENCES

- Boulard, M., Lawton, P., Baker, K. et Edinger, E. 2023. The effect of small-scale habitat features on groundfish density in deep-sea soft-bottom ecosystems. *Deep Sea Res. Part I Oceanogr. Res.*, 193. <https://doi.org/10.1016/j.dsr.2022.103891>
- Bourdages, H., Brassard, C., Chamberland, J.-M., Desgagnés, M., Galbraith, P., Isabel, L. et Senay, C. 2022. Résultats préliminaires du relevé écosystémique d'août 2021 dans l'estuaire et le nord du golfe du Saint-Laurent. *Secr. can. de consult. sci. du MPO. Doc. de rech.*, 2022/011. iv + 96 p.
- Brunel, P., Bossé, L. et Lamarche, G. 1998. Catalogue des invertébrés marins de l'estuaire et du golfe du Saint-Laurent. *Publ. spéc. sci. halieut. aquat.* 126. 405 p.
- de Mendonça, S. N. et Metaxas, A. 2021. Comparing the performance of a remotely operated vehicle, a drop camera, and a trawl in capturing deep-sea epifaunal abundance and diversity. *Front. Mar. Sci.*, 8. <https://doi.org/10.3389/fmars.2021.631354>
- Dinn, C. 2020. Sponges of the Gulf of St. Lawrence: Field and Laboratory Guide. *Rapp. manus. can. sci. halieut. aquat.*, 3198: vi + 118 p.
- Galbraith, P. S. 2006. Winter water masses in the Gulf of St. Lawrence. *J. Geophys. Res.*, 111(C6). <https://doi.org/10.1029/2005jc003159>
- Jennings, S., Smith, A. D., Fulton, E. A. et Smith, D. C. 2014. The ecosystem approach to fisheries: management at the dynamic interface between biodiversity conservation and sustainable use. *Ann. NY Acad. Sci.*, 1322, 48-60. <https://doi.org/10.1111/nyas.12489>
- Korshunova, T. et Martynov, A. 2020. Consolidated data on the phylogeny and evolution of the family Tritoniidae (Gastropoda: Nudibranchia) contribute to genera reassessment and clarify the taxonomic status of the neuroscience models *Tritonia* and *Tochuina*. *PLoS One*, 15(11), e0242103. <https://doi.org/10.1371/journal.pone.0242103>
- McCallum, B. et Walsh, S. J. 2002. An update on the performance of the Campelen 1800 during bottom trawl surveys in NAFO subareas 2 and 3 in 2001. *NAFO SCR Doc.*, 02/36. 16 p.
- McFadden, C. S., Van Ofwegen, L. P. et Quattrini, A. M. 2022. Revisionary systematics of Octocorallia (Cnidaria: Anthozoa) guided by phylogenomics. *BSSB*, 1(3). <https://doi.org/10.18061/bssb.v1i3.8735>
- Nozères, C et Archambault, D. 2014. Portfolio pour l'identification rapide d'invertébrés capturés au chalut dans l'estuaire et le nord du golfe du Saint-Laurent. *Rapp. manus. can. sci. halieut. aquat.*, 3033 : iv + 30 p.
- Nozères, C. et Bérubé, M. 2003. Guide d'identification d'espèces marines du Saint-Laurent. Institut Maurice Lamontagne, Pêches et Océans Canada.
- Nozères, C., Archambault, D. et Miller, R. 2014. Photo-catalogue d'invertébrés de l'estuaire et du nord du golfe du Saint-Laurent des relevés au chalut (2005-2013). *Rapp. manus. can. sci. halieut. aquat.*, 3035: iv + 221 p.

- Nozères C., Faille, G., Coté, G. et Proudfoot, S. 2020. Atlas of sponges from the Estuary and Northern Gulf of St. Lawrence multidisciplinary trawl survey in 2006-2017. Can. Tech. Rep. Fish. Aquat. Sci., 3364: iv + 53 p.
- Nozères, C., Bernier, D., Bourdages, H. et Isabel, L. 2022. Révision des prises de poissons et d'invertébrés à partir des photos et des enregistrements originaux tirés des relevés de l'écosystème effectués par le NGCC *Teleost* dans le nord du golfe du Saint-Laurent de 2004 à 2015. Rapp. manus. can. sci. halieut. aquat., 3239: iv + 192 p.
- Ratnasingham, S. et Hebert, P. D. 2007. bold: The Barcode of Life Data System (<http://www.barcodinglife.org>). Mol. Ecol. Notes, 7(3), 355-364.
<https://doi.org/10.1111/j.1471-8286.2007.01678.x>
- Rodríguez, E., Fautin, D. et Daly, M. 2023. World List of Actiniaria.
<https://www.marinespecies.org/actiniaria> on 2023-05-01 (Accédé le 2023-04-18).
- Sanamyan, N. P., Sanamyan, K. E., Mercier, A., Hamel, J. F. et Bocharova, E. S. 2020. Morphological and molecular assessment of large sea anemones (Actiniaria: Actiniidae) in Newfoundland (eastern Canada). Polar Biol., 43(5), 495-509.
<https://doi.org/10.1007/s00300-020-02652-z>
- Saucier, F. J. 2003. Modeling the formation and circulation processes of water masses and sea ice in the Gulf of St. Lawrence, Canada. J. Geophys. Res., 108(C8).
<https://doi.org/10.1029/2000jc000686>

ANNEXE 1. GUIDE D'IDENTIFICATION

Avant-propos

Ce guide a été conçu pour faciliter l'identification des invertébrés lors des relevés écosystémiques au chalut de fond réalisés dans le nord du golfe du Saint-Laurent (NGSL; Figure 1). En plus de ce guide, des mini affiches pour l'identification rapide de certains taxons sont disponibles en ligne (Nozères et al., 2022). Les éponges sont exclues de ce guide. Il est suggéré de consulter les deux références suivantes pour ce phylum : Dinn (2020) et Nozères et al. (2020).

Les taxons sont regroupés par phylum puis divisés en classe, sous-classe et/ou ordre, dépendamment du phylum. Pour chacun de ces groupements, les taxons sont compilés sous forme d'une fiche d'identification donnant des informations sur la biologie, la distribution dans le NGSL ainsi que des critères d'identifications. Les cartes de distribution doivent être interprétées avec prudence. Certaines espèces côtières, endofauniques ou pélagiques peuvent être capturées et incluses dans ce guide, mais ce relevé n'est pas conçu pour les échantillonner.

Les photos présentées dans ce guide proviennent des relevés écosystémiques dans le NGSL. Les occurrences et la biomasse des taxons capturés sont disponibles au [Ocean Biodiversity Information System \(obis.org\)](https://obis.org). Pour des informations au sujet des autres données du relevé, veuillez consulter les rapports publiés par le Secrétariat canadien de consultation scientifique (SCCS), [Secrétariat canadien des avis scientifiques \(SCAS\) \(dfo-mpo.gc.ca\)](https://www.dfo-mpo.gc.ca/scas).

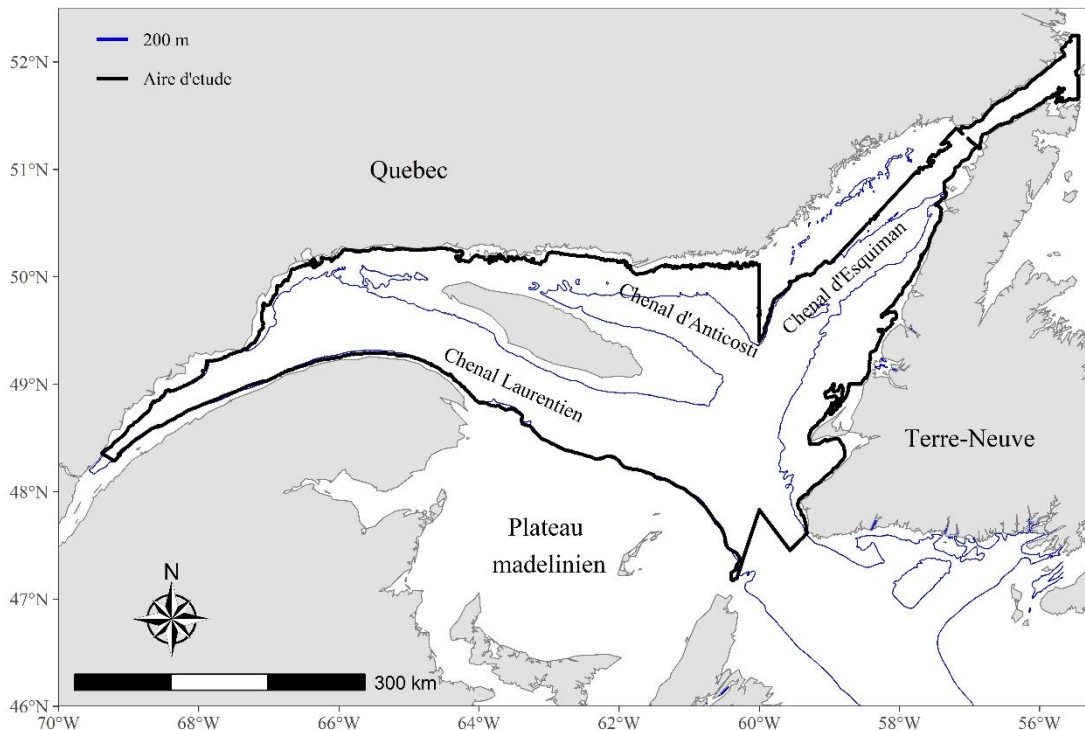


Figure 1. Carte du nord du golfe du Saint-Laurent (NGSL). Les chenaux profonds sont indiqués en bleu (> 200 m) et l'aire d'étude est indiquée en noir.

Taxonomie

Tableau 1. Liste des taxons retrouvés dans le guide classés par regroupement taxonomique. Les codes STRAP et RVAN correspondent à la codification utilisée par les régions du Québec et du Golfe, respectivement. Le AphiaID est la codification de WoRMS.

STRAP	RVAN	AphiaID	Nom scientifique	Phylum	Classe	Ordre	Famille	Genre	Sous-genre	Espèce	Sous-espèce
Cnidaria											
Actiniaria											
2182	7709	158210	<i>Actinauge cristata</i>	Cnidaria	Anthozoa	Actiniaria	Hormathiidae	<i>Actinauge</i>		<i>cristata</i>	
2162	7708	100839	<i>Actinostola callosa</i>	Cnidaria	Anthozoa	Actiniaria	Actinostolidae	<i>Actinostola</i>		<i>callosa</i>	
2158	7707	100817	<i>Bolocera tuediae</i>	Cnidaria	Anthozoa	Actiniaria	Actiniidae	<i>Bolocera</i>		<i>tuediae</i>	
2151	7754	100824	<i>Cribrinopsis similis</i>	Cnidaria	Anthozoa	Actiniaria	Actiniidae	<i>Cribrinopsis</i>		<i>similis</i>	
2150	7753	100951	<i>Hormathia digitata</i>	Cnidaria	Anthozoa	Actiniaria	Hormathiidae	<i>Hormathia</i>		<i>digitata</i>	
2167	8622	100954	<i>Hormathia nodosa</i>	Cnidaria	Anthozoa	Actiniaria	Hormathiidae	<i>Hormathia</i>		<i>nodosa</i>	
2207	7713	593072	<i>Liponema multicornis</i>	Cnidaria	Anthozoa	Actiniaria	Liponematidae	<i>Liponema</i>		<i>multicornis</i>	
2171	8311	100982	<i>Metridium senile</i>	Cnidaria	Anthozoa	Actiniaria	Metridiidae	<i>Metridium</i>		<i>senile</i>	
2153	7756	101020	<i>Ptychodactis patula</i>	Cnidaria	Anthozoa	Actiniaria	Ptychodactinidae	<i>Ptychodactis</i>		<i>patula</i>	
2159	8351	158258	<i>Stephanauge nexilis</i>	Cnidaria	Anthozoa	Actiniaria	Amphianthidae	<i>Stephanauge</i>		<i>nexilis</i>	
2173	8313	100854	<i>Stomphia coccinea</i>	Cnidaria	Anthozoa	Actiniaria	Actinostolidae	<i>Stomphia</i>		<i>coccinea</i>	
2152	7755	100832	<i>Urticina crassicornis</i>	Cnidaria	Anthozoa	Actiniaria	Actiniidae	<i>Urticina</i>		<i>crassicornis</i>	
Scleractinia											
2224	8362	1383416	<i>Flabellum (Ulocyathus) alabastrum</i>	Cnidaria	Anthozoa	Scleractinia	Flabellidae	<i>Flabellum</i>	<i>Ulocyathus</i>	<i>alabastrum</i>	
Zoantharia											
2156	7757	101027	<i>Epizoanthus erdmanni</i>	Cnidaria	Anthozoa	Zoantharia	Epizoanthidae	<i>Epizoanthus</i>		<i>erdmanni</i>	
2178	8321	101037	<i>Epizoanthus papillosus</i>	Cnidaria	Anthozoa	Zoantharia	Epizoanthidae	<i>Epizoanthus</i>		<i>papillosus</i>	
Malacalcyonacea											
2191	7711	146941	<i>Drifa glomerata</i>	Cnidaria	Anthozoa	Malacalcyonacea	Capnellidae	<i>Drifa</i>		<i>glomerata</i>	
2183	7710	146943	<i>Duva florida</i>	Cnidaria	Anthozoa	Malacalcyonacea	Capnellidae	<i>Duva</i>		<i>florida</i>	
2212		156101	<i>Gersemia fruticosa</i>	Cnidaria	Anthozoa	Malacalcyonacea	Alcyoniidae	<i>Gersemia</i>		<i>fruticosa</i>	
2184	8324	156103	<i>Gersemia rubiformis</i>	Cnidaria	Anthozoa	Malacalcyonacea	Alcyoniidae	<i>Gersemia</i>		<i>rubiformis</i>	
Scleralcyonacea											
2222	7758	345446	<i>Heteropolypus</i>	Cnidaria	Anthozoa	Scleralcyonacea	Coralliidae	<i>Heteropolypus</i>			

STRAP	RVAN	AphiaID	Nom scientifique	Phylum	Classe	Ordre	Famille	Genre	Sous-genre	Espèce	Sous-espèce
Pennatuloidea											
2218	8361	128504	<i>Anthoptilum grandiflorum</i>	Cnidaria	Anthozoa	Scleralcyonacea	Anthoptilidae	<i>Anthoptilum</i>		<i>grandiflorum</i>	
2217	7714	584787	<i>Balticina finmarchica</i>	Cnidaria	Anthozoa	Scleralcyonacea	Balticinidae	<i>Balticina</i>		<i>finmarchica</i>	
2213		128512	<i>Kophobelemnon stelliferum</i>	Cnidaria	Anthozoa	Scleralcyonacea	Kophobelemnidae	<i>Kophobelemnon</i>		<i>stelliferum</i>	
2203	7712	128515	<i>Pennatula aculeata</i>	Cnidaria	Anthozoa	Scleralcyonacea	Pennatulidae	<i>Pennatula</i>		<i>aculeata</i>	
2210	8360	1379630	<i>Ptilella grandis</i>	Cnidaria	Anthozoa	Scleralcyonacea	Pennatulidae	<i>Ptilella</i>		<i>grandis</i>	
Hydrozoa											
1353	7702	117728	<i>Ptychogena lactea</i>	Cnidaria	Hydrozoa	Leptothecata	Laodiceidae	<i>Ptychogena</i>		<i>lactea</i>	
1352	7751	594013	<i>Staurostoma mertensii</i>	Cnidaria	Hydrozoa	Leptothecata	Laodiceidae	<i>Staurostoma</i>		<i>mertensii</i>	
1381		135509	<i>Stephalia corona</i>	Cnidaria	Hydrozoa	Siphonophorae	Rhodaliidae	<i>Stephalia</i>		<i>corona</i>	
1357	7740	117940	<i>Thuiaria thuja</i>	Cnidaria	Hydrozoa	Leptothecata	Sertulariidae	<i>Thuiaria</i>		<i>thuja</i>	
Scyphozoa											
2097	7705	135282	<i>Atolla wyvillei</i>	Cnidaria	Scyphozoa	Coronatae	Atollidae	<i>Atolla</i>		<i>wyvillei</i>	
2085	8010	135306	<i>Aurelia aurita</i>	Cnidaria	Scyphozoa	Semaeostomeae	Ulmaridae	<i>Aurelia</i>		<i>aurita</i>	
2080	8511	135301	<i>Cyanea capillata</i>	Cnidaria	Scyphozoa	Semaeostomeae	Cyaneidae	<i>Cyanea</i>		<i>capillata</i>	
2096	7704	135294	<i>Periphylla periphylla</i>	Cnidaria	Scyphozoa	Coronatae	Periphyllidae	<i>Periphylla</i>		<i>periphylla</i>	
Staurozoa											
2050	7752	135328	<i>Lucernaria quadricornis</i>	Cnidaria	Staurozoa	Stauromedusae	Lucernariidae	<i>Lucernaria</i>		<i>quadricornis</i>	
Ctenophora											
2255	7717	106386	<i>Pleurobrachia pileus</i>	Ctenophora	Tentaculata	Cydidippida	Pleurobrachiidae	<i>Pleurobrachia</i>		<i>pileus</i>	
Arthropoda											
Amphipoda											
7389	2833	101592	<i>Anonyx</i>	Arthropoda	Malacostraca	Amphipoda	Uristidae	<i>Anonyx</i>			
7383	7727	102146	<i>Epimeria (Epimeria) loricata</i>	Arthropoda	Malacostraca	Amphipoda	Epimeriidae	<i>Epimeria</i>	<i>Epimeria</i>	<i>loricata</i>	
7195	8358	102199	<i>Eusirus cuspidatus</i>	Arthropoda	Malacostraca	Amphipoda	Eusiridae	<i>Eusirus</i>		<i>cuspidatus</i>	
7279	2825	102820	<i>Maera loveni</i>	Arthropoda	Malacostraca	Amphipoda	Maeridae	<i>Maera</i>		<i>loveni</i>	
7268	2812	423508	<i>Megamoera dentata</i>	Arthropoda	Malacostraca	Amphipoda	Melitidae	<i>Megamoera</i>		<i>dentata</i>	
7483	2804	102108	<i>Neohela monstrosa</i>	Arthropoda	Malacostraca	Amphipoda	Unciolidae	<i>Neohela</i>		<i>monstrosa</i>	
7555		102908	<i>Oediceros saginatus</i>	Arthropoda	Malacostraca	Amphipoda	Oedicerotidae	<i>Oediceros</i>		<i>saginatus</i>	
7586	2805	102152	<i>Paramphithoe hystrix</i>	Arthropoda	Malacostraca	Amphipoda	Paramphithoidae	<i>Paramphithoe</i>		<i>hystrix</i>	

STRAP	RVAN	AphiaID	Nom scientifique	Phylum	Classe	Ordre	Famille	Genre	Sous-genre	Espèce	Sous-espèce
7594		102945	<i>Pardalisca abyssii</i>	Arthropoda	Malacostraca	Amphipoda	Pardaliscidae	<i>Pardalisca</i>		<i>abyssii</i>	
7211	2848	102224	<i>Rhachotropis aculeata</i>	Arthropoda	Malacostraca	Amphipoda	Eusiridae	<i>Rhachotropis</i>		<i>aculeata</i>	
7750	7746	103105	<i>Stegocephalus inflatus</i>	Arthropoda	Malacostraca	Amphipoda	Stegocephalidae	<i>Stegocephalus</i>		<i>inflatus</i>	
7691	2821	535546	<i>Wimvadocus torelli</i>	Arthropoda	Malacostraca	Amphipoda	Maeridae	<i>Wimvadocus</i>		<i>torelli</i>	
Decapoda											
8040	8353	107581	<i>AcanthePHYra pelagica</i>	Arthropoda	Malacostraca	Decapoda	AcanthePHYridae	<i>AcanthePHYra</i>		<i>pelagica</i>	
8138	2411	107550	<i>Argis dentata</i>	Arthropoda	Malacostraca	Decapoda	Crangonidae	<i>Argis</i>		<i>dentata</i>	
8024	1281	240796	<i>Aristaeopsis edwardsiana</i>	Arthropoda	Malacostraca	Decapoda	Aristeidae	<i>Aristaeopsis</i>		<i>edwardsiana</i>	
8025	-	158327	<i>Aristeus antillensis</i>	Arthropoda	Malacostraca	Decapoda	Aristeidae	<i>Aristeus</i>		<i>antillensis</i>	
8113	2213	158351	<i>Atlantopandalus propinquus</i>	Arthropoda	Malacostraca	Decapoda	Pandalidae	<i>Atlantopandalus</i>		<i>propinquus</i>	
8173	7728	158383	<i>Calocaris templemani</i>	Arthropoda	Malacostraca	Decapoda	Axiidae	<i>Calocaris</i>		<i>templemani</i>	
8206	2513	158057	<i>Cancer irroratus</i>	Arthropoda	Malacostraca	Decapoda	Cancridae	<i>Cancer</i>		<i>irroratus</i>	
8213	2526	107315	<i>Chionoecetes opilio</i>	Arthropoda	Malacostraca	Decapoda	Oregoniidae	<i>Chionoecetes</i>		<i>opilio</i>	
8108	2214	158356	<i>Dichelopandalus leptocerus</i>	Arthropoda	Malacostraca	Decapoda	Pandalidae	<i>Dichelopandalus</i>		<i>leptocerus</i>	
8081	7805	107502	<i>Eualus belcheri</i>	Arthropoda	Malacostraca	Decapoda	Thoridae	<i>Eualus</i>		<i>belcheri</i>	
8075	2332	158357	<i>Eualus fabricii</i>	Arthropoda	Malacostraca	Decapoda	Thoridae	<i>Eualus</i>		<i>fabricii</i>	
8079	2333	107504	<i>Eualus gaimardii</i>	Arthropoda	Malacostraca	Decapoda	Thoridae	<i>Eualus</i>		<i>gaimardii</i>	
8077	2331	158359	<i>Eualus macilentus</i>	Arthropoda	Malacostraca	Decapoda	Thoridae	<i>Eualus</i>		<i>macilentus</i>	
8033	2223	515738	<i>Eusergestes arcticus</i>	Arthropoda	Malacostraca	Decapoda	Sergestidae	<i>Eusergestes</i>		<i>arcticus</i>	
8154	2550	156134	<i>Homarus americanus</i>	Arthropoda	Malacostraca	Decapoda	Nephropidae	<i>Homarus</i>		<i>americanus</i>	
8219	7738	442166	<i>Hyas alutaceus</i>	Arthropoda	Malacostraca	Decapoda	Oregoniidae	<i>Hyas</i>		<i>alutaceus</i>	
8217	2527	107322	<i>Hyas araneus</i>	Arthropoda	Malacostraca	Decapoda	Oregoniidae	<i>Hyas</i>		<i>araneus</i>	
8028	7802	107117	<i>Hymenopenaeus debilis</i>	Arthropoda	Malacostraca	Decapoda	Solenoceridae	<i>Hymenopenaeus</i>		<i>debilis</i>	
8092	2319	107520	<i>Lebbeus groenlandicus</i>	Arthropoda	Malacostraca	Decapoda	Thoridae	<i>Lebbeus</i>		<i>groenlandicus</i>	
8095	1282	158362	<i>Lebbeus microceros</i>	Arthropoda	Malacostraca	Decapoda	Thoridae	<i>Lebbeus</i>		<i>microceros</i>	
8093	2312	107521	<i>Lebbeus polaris</i>	Arthropoda	Malacostraca	Decapoda	Thoridae	<i>Lebbeus</i>		<i>polaris</i>	
8196	2523	107205	<i>Lithodes maja</i>	Arthropoda	Malacostraca	Decapoda	Lithodidae	<i>Lithodes</i>		<i>maja</i>	
8164	2566	107175	<i>Munidopsis curvirostra</i>	Arthropoda	Malacostraca	Decapoda	Munidopsidae	<i>Munidopsis</i>		<i>curvirostra</i>	
8178	2561	106854	<i>Pagurus</i>	Arthropoda	Malacostraca	Decapoda	Paguridae	<i>Pagurus</i>			
8111	2211	107649	<i>Pandalus borealis</i>	Arthropoda	Malacostraca	Decapoda	Pandalidae	<i>Pandalus</i>		<i>borealis</i>	

STRAP	RVAN	AphiaID	Nom scientifique	Phylum	Classe	Ordre	Famille	Genre	Sous-genre	Espèce	Sous-espèce
8112	2212	107651	<i>Pandalus montagui</i>	Arthropoda	Malacostraca	Decapoda	Pandalidae	<i>Pandalus</i>		<i>montagui</i>	
8057	2221	107676	<i>Pasiphaea multidentata</i>	Arthropoda	Malacostraca	Decapoda	Pasiphaeidae	<i>Pasiphaea</i>		<i>multidentata</i>	
8056	2220	107678	<i>Pasiphaea tarda</i>	Arthropoda	Malacostraca	Decapoda	Pasiphaeidae	<i>Pasiphaea</i>		<i>tarda</i>	
8114	7806	107661	<i>Plesionika martia</i>	Arthropoda	Malacostraca	Decapoda	Pandalidae	<i>Plesionika</i>		<i>martia</i>	
8135	2415	107563	<i>Pontophilus norvegicus</i>	Arthropoda	Malacostraca	Decapoda	Crangonidae	<i>Pontophilus</i>		<i>norvegicus</i>	
8035	1283	1056517	<i>Robustosergia robusta</i>	Arthropoda	Malacostraca	Decapoda	Sergestidae	<i>Robustosergia</i>		<i>robusta</i>	
8129	2419	107566	<i>Sabinea sarsii</i>	Arthropoda	Malacostraca	Decapoda	Crangonidae	<i>Sabinea</i>		<i>sarsii</i>	
8128	2421	107567	<i>Sabinea septemcarinata</i>	Arthropoda	Malacostraca	Decapoda	Crangonidae	<i>Sabinea</i>		<i>septemcarinata</i>	
8119	2414	107568	<i>Sclerocrangon boreas</i>	Arthropoda	Malacostraca	Decapoda	Crangonidae	<i>Sclerocrangon</i>		<i>boreas</i>	
8087	2313	107531	<i>Spirontocaris liljeborgii</i>	Arthropoda	Malacostraca	Decapoda	Thoridae	<i>Spirontocaris</i>		<i>liljeborgii</i>	
8086	2315	107532	<i>Spirontocaris phippisii</i>	Arthropoda	Malacostraca	Decapoda	Thoridae	<i>Spirontocaris</i>		<i>phippisii</i>	
8085	2316	107533	<i>Spirontocaris spinus</i>	Arthropoda	Malacostraca	Decapoda	Thoridae	<i>Spirontocaris</i>		<i>spinus</i>	
Isopoda											
6771	2981	118827	<i>Aega psora</i>	Arthropoda	Malacostraca	Isopoda	Aegidae	<i>Aega</i>		<i>psora</i>	
6791	8352	156446	<i>Syscenus infelix</i>	Arthropoda	Malacostraca	Isopoda	Aegidae	<i>Syscenus</i>		<i>infelix</i>	
Cirripedia											
6594	7726	106182	<i>Arcoscalpellum michelottianum</i>	Arthropoda	Thecostraca	Scalpellomorpha	Scalpellidae	<i>Arcoscalpellum</i>		<i>michelottianum</i>	
6592	7799	106122	<i>Balanus</i>	Arthropoda	Thecostraca	Balanomorpha	Balanidae	<i>Balanus</i>			
6593	7800	106207	<i>Chirona hameri</i>	Arthropoda	Thecostraca	Balanomorpha	Balanidae	<i>Chirona</i>		<i>hameri</i>	
Pycnogonida											
5961	2893	134591	<i>Nymphon</i>	Arthropoda	Pycnogonida	Pantopoda	Nymphonidae	<i>Nymphon</i>			
5964	7798	134690	<i>Nymphon hirtipes</i>	Arthropoda	Pycnogonida	Pantopoda	Nymphonidae	<i>Nymphon</i>		<i>hirtipes</i>	
5975	5102	239867	<i>Pycnogonum litorale</i>	Arthropoda	Pycnogonida	Pantopoda	Pycnogonidae	<i>Pycnogonum</i>		<i>litorale</i>	
Brachiopoda											
3090	7761	104054	<i>Hemithiris psittacea</i>	Brachiopoda	Rhynchonellata	Rhynchonellida	Hemithiridae	<i>Hemithiris</i>		<i>psittacea</i>	
3101	7719	104056	<i>Terebratulina septentrionalis</i>	Brachiopoda	Rhynchonellata	Terebratulida	Cancellothyrididae	<i>Terebratulina</i>		<i>septentrionalis</i>	
Bryozoa											
2676	7745	111600	<i>Alcyonidium gelatinosum</i>	Bryozoa	Gymnolaemata	Ctenostomatida	Alcyonidiidae	<i>Alcyonidium</i>		<i>gelatinosum</i>	
2677	7759	470640	<i>Alcyonidium pachydermatum</i>	Bryozoa	Gymnolaemata	Ctenostomatida	Alcyonidiidae	<i>Alcyonidium</i>		<i>pachydermatum</i>	
2686		111445	<i>Phidolopora elongata</i>	Bryozoa	Gymnolaemata	Cheilostomatida	Phidoloporidae	<i>Phidolopora</i>		<i>elongata</i>	

STRAP	RVAN	AphiaID	Nom scientifique	Phylum	Classe	Ordre	Famille	Genre	Sous-genre	Espèce	Sous-espèce
2679	7760	111374	<i>Securiflustra securifrons</i>	Bryozoa	Gymnolaemata	Cheilostomatida	Flustridae	<i>Securiflustra</i>		<i>securifrons</i>	
Mollusca											
Bivalvia											
4218	4328	214	Anomiidae	Mollusca	Bivalvia	Pectinida	Anomiidae				
4124	7786	505959	<i>Arvella faba</i>	Mollusca	Bivalvia	Mytilida	Mytilidae	<i>Arvella</i>		<i>faba</i>	
4227	4316	137683	<i>Astarte</i>	Mollusca	Bivalvia	Carditida	Astartidae	<i>Astarte</i>			
4231	7789	138818	<i>Astarte borealis</i>	Mollusca	Bivalvia	Carditida	Astartidae	<i>Astarte</i>		<i>borealis</i>	
4105	7785	138797	<i>Bathyarca glacialis</i>	Mollusca	Bivalvia	Arcida	Arcidae	<i>Bathyarca</i>		<i>glacialis</i>	
4167	4322	140692	<i>Chlamys islandica</i>	Mollusca	Bivalvia	Pectinida	Pectinidae	<i>Chlamys</i>		<i>islandica</i>	
4351	4342	139000	<i>Ciliatocardium ciliatum ciliatum</i>	Mollusca	Bivalvia	Cardiida	Cardiidae	<i>Ciliatocardium</i>		<i>ciliatum</i>	<i>ciliatum</i>
4526	4306	139445	<i>Cuspidaria glacialis</i>	Mollusca	Bivalvia	NA	Cuspidariidae	<i>Cuspidaria</i>		<i>glacialis</i>	
4268	4344	156832	<i>Cyclocardia borealis</i>	Mollusca	Bivalvia	Carditida	Carditidae	<i>Cyclocardia</i>		<i>borealis</i>	
4437	4319	140103	<i>Hiatella arctica</i>	Mollusca	Bivalvia	Adapedonta	Hiatellidae	<i>Hiatella</i>		<i>arctica</i>	
4395	7790	141580	<i>Macoma calcarea</i>	Mollusca	Bivalvia	Cardiida	Tellinidae	<i>Macoma</i>		<i>calcarea</i>	
4025	4357	141983	<i>Megayoldia thraciaeformis</i>	Mollusca	Bivalvia	Nuculanida	Yoldiidae	<i>Megayoldia</i>		<i>thraciaeformis</i>	
4384		156805	<i>Mesodesma arctatum</i>	Mollusca	Bivalvia	Venerida	Mesodesmatidae	<i>Mesodesma</i>		<i>arctatum</i>	
4126	7787	138225	<i>Musculus</i>	Mollusca	Bivalvia	Mytilida	Mytilidae	<i>Musculus</i>			
4428	4309	140431	<i>Mya truncata</i>	Mollusca	Bivalvia	Myida	Myidae	<i>Mya</i>		<i>truncata</i>	
4121	7721	138228	<i>Mytilus</i>	Mollusca	Bivalvia	Mytilida	Mytilidae	<i>Mytilus</i>			
4019	4351	138259	<i>Nuculana</i>	Mollusca	Bivalvia	Nuculanida	Nuculanidae	<i>Nuculana</i>			
4438	7791	140105	<i>Panomya norvegica</i>	Mollusca	Bivalvia	Adapedonta	Hiatellidae	<i>Panomya</i>		<i>norvegica</i>	
4352	4343	582749	<i>Serripes groenlandicus</i>	Mollusca	Bivalvia	Cardiida	Cardiidae	<i>Serripes</i>		<i>groenlandicus</i>	
4191	7788	181299	<i>Similipecten greenlandicus</i>	Mollusca	Bivalvia	Pectinida	Propeamussiidae	<i>Similipecten</i>		<i>greenlandicus</i>	
4301	4302	138552	<i>Thyasira</i>	Mollusca	Bivalvia	Lucinida	Thyasiridae	<i>Thyasira</i>			
4451	7792	1472292	<i>Xylonora atlantica</i>	Mollusca	Bivalvia	Myida	Xylophagaidae	<i>Xylonora</i>		<i>atlantica</i>	
4074	4354	138672	<i>Yoldia</i>	Mollusca	Bivalvia	Nuculanida	Yoldiidae	<i>Yoldia</i>			
Gastropoda											
3305	7768	714762	<i>Ariadnaria borealis</i>	Mollusca	Gastropoda	Littorinimorpha	Capulidae	<i>Ariadnaria</i>		<i>borealis</i>	
3418	7720	531617	<i>Arrhoges occidentalis</i>	Mollusca	Gastropoda	Littorinimorpha	Aporrhaidae	<i>Arrhoges</i>		<i>occidentalis</i>	
3583	7779	490735	<i>Aulacofusus brevicauda</i>	Mollusca	Gastropoda	Neogastropoda	Buccinidae	<i>Aulacofusus</i>		<i>brevicauda</i>	

STRAP	RVAN	AphiaID	Nom scientifique	Phylum	Classe	Ordre	Famille	Genre	Sous-genre	Espèce	Sous-espèce
3519	7774	138855	<i>Beringius turtoni</i>	Mollusca	Gastropoda	Neogastropoda	Buccinidae	<i>Beringius</i>		<i>turtoni</i>	
3487	7772	146732	<i>Boreotrophon clathratus</i>	Mollusca	Gastropoda	Neogastropoda	Muricidae	<i>Boreotrophon</i>		<i>clathratus</i>	
3516	4210	137701	<i>Buccinum</i>	Mollusca	Gastropoda	Neogastropoda	Buccinidae	<i>Buccinum</i>			
3520	7775	138862	<i>Buccinum cyaneum</i>	Mollusca	Gastropoda	Neogastropoda	Buccinidae	<i>Buccinum</i>		<i>cyaneum</i>	
3523	4212	138875	<i>Buccinum scalariforme</i>	Mollusca	Gastropoda	Neogastropoda	Buccinidae	<i>Buccinum</i>		<i>scalariforme</i>	
3518		490864	<i>Buccinum terraenovae</i>	Mollusca	Gastropoda	Neogastropoda	Buccinidae	<i>Buccinum</i>		<i>terraenovae</i>	
3517	4211	138878	<i>Buccinum undatum</i>	Mollusca	Gastropoda	Neogastropoda	Buccinidae	<i>Buccinum</i>		<i>undatum</i>	
3908	7782	146851	<i>Colga villosa</i>	Mollusca	Gastropoda	Nudibranchia	Polyceridae	<i>Colga</i>		<i>villosa</i>	
3577	7741	160212	<i>Colus pubescens</i>	Mollusca	Gastropoda	Neogastropoda	Colidae	<i>Colus</i>		<i>pubescens</i>	
3576	7778	160215	<i>Colus stimpsoni</i>	Mollusca	Gastropoda	Neogastropoda	Colidae	<i>Colus</i>		<i>stimpsoni</i>	
3422	4222	140525	<i>Cryptonatica affinis</i>	Mollusca	Gastropoda	Littorinimorpha	Naticidae	<i>Cryptonatica</i>		<i>affinis</i>	
3895	7781	156710	<i>Dendronotus elegans</i>	Mollusca	Gastropoda	Nudibranchia	Dendronotidae	<i>Dendronotus</i>		<i>elegans</i>	
3894	7780	139523	<i>Dendronotus frondosus</i>	Mollusca	Gastropoda	Nudibranchia	Dendronotidae	<i>Dendronotus</i>		<i>frondosus</i>	
3897		748384	<i>Dendronotus velifer</i>	Mollusca	Gastropoda	Nudibranchia	Dendronotidae	<i>Dendronotus</i>		<i>velifer</i>	
3965	7783	576389	<i>Doridoxa walteri</i>	Mollusca	Gastropoda	Nudibranchia	Doridoxidae	<i>Doridoxa</i>		<i>walteri</i>	
3437	7770	140536	<i>Euspira pallida</i>	Mollusca	Gastropoda	Littorinimorpha	Naticidae	<i>Euspira</i>		<i>pallida</i>	
3964		140101	<i>Heterodoris robusta</i>	Mollusca	Gastropoda	Nudibranchia	Heterodorididae	<i>Heterodoris</i>		<i>robusta</i>	
3255	7767	140170	<i>Lacuna vincta</i>	Mollusca	Gastropoda	Littorinimorpha	Littorinidae	<i>Lacuna</i>		<i>vincta</i>	
3198	7765	140187	<i>Lepeta caeca</i>	Mollusca	Gastropoda		Lepetidae	<i>Lepeta</i>		<i>caeca</i>	
3459	7771	159903	<i>Limneria undata</i>	Mollusca	Gastropoda	Littorinimorpha	Velutinidae	<i>Limneria</i>		<i>undata</i>	
3219	4224	141819	<i>Margarites costalis</i>	Mollusca	Gastropoda	Trochida	Margaritidae	<i>Margarites</i>		<i>costalis</i>	
3216	4225	141820	<i>Margarites groenlandicus</i>	Mollusca	Gastropoda	Trochida	Margaritidae	<i>Margarites</i>		<i>groenlandicus</i>	
3567	7777	138923	<i>Neptunea despecta</i>	Mollusca	Gastropoda	Neogastropoda	Buccinidae	<i>Neptunea</i>		<i>despecta</i>	
3456	7819	159955	<i>Onchidiopsis corys</i>	Mollusca	Gastropoda	Littorinimorpha	Velutinidae	<i>Onchidiopsis</i>		<i>corys</i>	
3578	7742	491269	<i>Plicifusus kroyeri</i>	Mollusca	Gastropoda	Neogastropoda	Buccinidae	<i>Plicifusus</i>		<i>kroyeri</i>	
3491	7773	147146	<i>Scabrotrophon fabricii</i>	Mollusca	Gastropoda	Neogastropoda	Muricidae	<i>Scabrotrophon</i>		<i>fabricii</i>	
3715	4431	139490	<i>Scaphander punctostriatus</i>	Mollusca	Gastropoda	Cephalaspidea	Scaphandridae	<i>Scaphander</i>		<i>punctostriatus</i>	
3225	7766	138597	<i>Solariella</i>	Mollusca	Gastropoda	Trochida	Solariellidae	<i>Solariella</i>			
3310	7769	196391	<i>Tachyrhynchus erosus</i>	Mollusca	Gastropoda	Caenogastropoda	Turritellidae	<i>Tachyrhynchus</i>		<i>erosus</i>	
3460	4252	141905	<i>Velutina velutina</i>	Mollusca	Gastropoda	Littorinimorpha	Velutinidae	<i>Velutina</i>		<i>velutina</i>	

STRAP	RVAN	AphiaID	Nom scientifique	Phylum	Classe	Ordre	Famille	Genre	Sous-genre	Espèce	Sous-espèce
3564	7776	138938	<i>Volutopsius norvegicus</i>	Mollusca	Gastropoda	Neogastropoda	Buccinidae	<i>Volutopsius</i>		<i>norvegicus</i>	
Cephalopoda											
4904	7724	157011	<i>Bathypolypus bairdii</i>	Mollusca	Cephalopoda	Octopoda	Bathypolypodidae	<i>Bathypolypus</i>		<i>bairdii</i>	
4770	4599	153097	<i>Gonatus fabricii</i>	Mollusca	Cephalopoda	Oegopsida	Gonatidae	<i>Gonatus</i>		<i>fabricii</i>	
4753	4511	153087	<i>Illex illecebrosus</i>	Mollusca	Cephalopoda	Oegopsida	Ommastrephidae	<i>Illex</i>		<i>illecebrosus</i>	
4557	7723	138481	<i>Rossia</i>	Mollusca	Cephalopoda	Sepiida	Sepiolidae	<i>Rossia</i>			
4853	4661	153122	<i>Stauroteuthis syrtensis</i>	Mollusca	Cephalopoda	Octopoda	Stauroteuthidae	<i>Stauroteuthis</i>		<i>syrtensis</i>	
4587	4662	157037	<i>Stoloteuthis leucoptera</i>	Mollusca	Cephalopoda	Sepiida	Sepiolidae	<i>Stoloteuthis</i>		<i>leucoptera</i>	
Polyplacophora											
3164	4711	159928	<i>Amicula vestita</i>	Mollusca	Polyplacophora	Chitonida	Mopaliidae	<i>Amicula</i>		<i>vestita</i>	
3141	7763	140082	<i>Hanleya hanleyi</i>	Mollusca	Polyplacophora	Lepidopleurida	Hanleyidae	<i>Hanleya</i>		<i>hanleyi</i>	
3145	7764	247773	<i>Stenosemus albus</i>	Mollusca	Polyplacophora	Chitonida	Ischnochitonidae	<i>Stenosemus</i>		<i>albus</i>	
3133	7762	385500	Tonicellidae	Mollusca	Polyplacophora	Chitonida	Tonicellidae				
Scaphopoda											
3978	7784	196377	<i>Antalis occidentalis</i>	Mollusca	Scaphopoda	Dentaliida	Dentaliidae	<i>Antalis</i>		<i>occidentalis</i>	
Annelida											
Polychaeta											
5002	3200	157181	<i>Aphrodita hastata</i>	Annelida	Polychaeta	Phyllodocida	Aphroditidae	<i>Aphrodita</i>		<i>hastata</i>	
5755	7795	130097	<i>Brada inhabilis</i>	Annelida	Polychaeta	Terebellida	Flabelligeridae	<i>Brada</i>		<i>inhabilis</i>	
5461	7794	130081	<i>Euphrosine borealis</i>	Annelida	Polychaeta	Amphinomida	Euphrosinidae	<i>Euphrosine</i>		<i>borealis</i>	
5934	7797	110364	<i>Hamingia arctica</i>	Annelida	Polychaeta	Echiuroidea	Bonelliidae	<i>Hamingia</i>		<i>arctica</i>	
5003	7725	129844	<i>Laetmonice filicornis</i>	Annelida	Polychaeta	Phyllodocida	Aphroditidae	<i>Laetmonice</i>		<i>filicornis</i>	
5615	3139	980	Pectinariidae	Annelida	Polychaeta	Terebellida	Pectinariidae				
4955	3111	334506	<i>Phyllodoce groenlandica</i>	Annelida	Polychaeta	Phyllodocida	Phyllodocidae	<i>Phyllodoce</i>		<i>groenlandica</i>	
5007	3500	939	Polynoidae	Annelida	Polychaeta	Phyllodocida	Polynoidae				
Sipuncula											
5902	7796	136044	<i>Golfingia (Golfingia) margaritacea</i>	Annelida	NA	Sipuncula	Golfingiidae	<i>Golfingia</i>	<i>Golfingia</i>	<i>margaritacea</i>	
5907	3314	416714	<i>Phascolion (Phascolion) strombus strombus</i>	Annelida	NA	Sipuncula	Golfingiidae	<i>Phascolion</i>	<i>Phascolion</i>	<i>strombus</i>	<i>strombus</i>
Priapulida											
2573	3451	101160	<i>Priapulus caudatus</i>	Priapulida	NA	Priapulomorpha	Priapulidae	<i>Priapulus</i>		<i>caudatus</i>	

STRAP	RVAN	AphiaID	Nom scientifique	Phylum	Classe	Ordre	Famille	Genre	Sous-genre	Espèce	Sous-espèce
Echinodermata											
Asteroidea											
8396	6111	123776	<i>Asterias rubens</i>	Echinodermata	Asteroidea	Forcipulatida	Asteriidae	<i>Asterias</i>		<i>rubens</i>	
8429	6101	124020	<i>Ceramaster granularis</i>	Echinodermata	Asteroidea	Valvatida	Goniasteridae	<i>Ceramaster</i>		<i>granularis</i>	
8447	6123	124154	<i>Crossaster papposus</i>	Echinodermata	Asteroidea	Valvatida	Solasteridae	<i>Crossaster</i>		<i>papposus</i>	
8407	6115	123915	<i>Ctenodiscus crispatus</i>	Echinodermata	Asteroidea	Paxillosida	Ctenodiscidae	<i>Ctenodiscus</i>		<i>crispatus</i>	
8408	6131	124128	<i>Diplopteraster multipes</i>	Echinodermata	Asteroidea	Velatida	Pterasteridae	<i>Diplopteraster</i>		<i>multipes</i>	
8483	6118	123276	<i>Henricia</i>	Echinodermata	Asteroidea	Spinulosida	Echinasteridae	<i>Henricia</i>			
8431	6117	124043	<i>Hippasteria phrygiana</i>	Echinodermata	Asteroidea	Valvatida	Goniasteridae	<i>Hippasteria</i>		<i>phrygiana</i>	
8511	6113	292974	<i>Leptasterias (Hexasterias) polaris</i>	Echinodermata	Asteroidea	Forcipulatida	Asteriidae	<i>Leptasterias</i>	<i>Hexasterias</i>	<i>polaris</i>	
8513	7811	369176	<i>Leptasterias groenlandica</i>	Echinodermata	Asteroidea	Forcipulatida	Asteriidae	<i>Leptasterias</i>		<i>groenlandica</i>	
8521	8348	123896	<i>Leptychaster arcticus</i>	Echinodermata	Asteroidea	Paxillosida	Astropectinidae	<i>Leptychaster</i>		<i>arcticus</i>	
8448	7730	178261	<i>Novodinia americana</i>	Echinodermata	Asteroidea	Brisingida	Brisingidae	<i>Novodinia</i>		<i>americana</i>	
8435	7729	123321	<i>Poraniomorpha</i>	Echinodermata	Asteroidea	Valvatida	Poraniidae	<i>Poraniomorpha</i>			
8433	8346	124085	<i>Pseudarchaster parelii</i>	Echinodermata	Asteroidea	Paxillosida	Pseudarchasteridae	<i>Pseudarchaster</i>		<i>parelii</i>	
8520	8347	123908	<i>Psilaster andromeda</i>	Echinodermata	Asteroidea	Paxillosida	Astropectinidae	<i>Psilaster</i>		<i>andromeda</i>	
8410	6125	124147	<i>Pteraster militaris</i>	Echinodermata	Asteroidea	Velatida	Pterasteridae	<i>Pteraster</i>		<i>militaris</i>	
8412	7810	124149	<i>Pteraster obscurus</i>	Echinodermata	Asteroidea	Velatida	Pterasteridae	<i>Pteraster</i>		<i>obscurus</i>	
8411	7748	124151	<i>Pteraster pulvillus</i>	Echinodermata	Asteroidea	Velatida	Pterasteridae	<i>Pteraster</i>		<i>pulvillus</i>	
8445	6121	124160	<i>Solaster endeca</i>	Echinodermata	Asteroidea	Valvatida	Solasteridae	<i>Solaster</i>		<i>endeca</i>	
8515	7812	123808	<i>Stephanasterias albula</i>	Echinodermata	Asteroidea	Forcipulatida	Asteriidae	<i>Stephanasterias</i>		<i>albula</i>	
8446	1279	124002	<i>Tremaster mirabilis</i>	Echinodermata	Asteroidea	Valvatida	Asterinidae	<i>Tremaster</i>		<i>mirabilis</i>	
8516	1280	123815	<i>Urasterias lincki</i>	Echinodermata	Asteroidea	Forcipulatida	Asteriidae	<i>Urasterias</i>		<i>lincki</i>	
Ophiuroidea											
8593	7732	123613	<i>Amphiura</i>	Echinodermata	Ophiuroidea	Amphilepidida	Amphiuridae	<i>Amphiura</i>			
8541	7813	124966	<i>Gorgonocephalus arcticus</i>	Echinodermata	Ophiuroidea	Euryalida	Gorgonocephalidae	<i>Gorgonocephalus</i>		<i>arcticus</i>	
8575	7814	124978	<i>Ophiacantha bidentata</i>	Echinodermata	Ophiuroidea	Ophiacanthida	Ophiacanthidae	<i>Ophiacantha</i>		<i>bidentata</i>	
8583	6211	125125	<i>Ophiopholis aculeata</i>	Echinodermata	Ophiuroidea	Amphilepidida	Ophiopholidae	<i>Ophiopholis</i>		<i>aculeata</i>	
8585	7815	125147	<i>Ophioscolex glacialis</i>	Echinodermata	Ophiuroidea	Ophioscolecida	Ophioscolecidae	<i>Ophioscolex</i>		<i>glacialis</i>	
8552	6215	124933	<i>Ophiura robusta</i>	Echinodermata	Ophiuroidea	Ophiurida	Ophiuridae	<i>Ophiura</i>		<i>robusta</i>	

STRAP	RVAN	AphiaID	Nom scientifique	Phylum	Classe	Ordre	Famille	Genre	Sous-genre	Espèce	Sous-espèce
8553	6213	124934	<i>Ophiura sarsii</i>	Echinodermata	Ophiuroidea	Ophiurida	Ophiuridae	<i>Ophiura</i>		<i>sarsii</i>	
8570	6217	124943	<i>Stegophiura nodosa</i>	Echinodermata	Ophiuroidea	Ophiurida	Ophiopyrgidae	<i>Stegophiura</i>		<i>nodosa</i>	
Echinoidea											
8378	6413	124404	<i>Brisaster fragilis</i>	Echinodermata	Echinoidea	Spatangoida	Schizasteridae	<i>Brisaster</i>		<i>fragilis</i>	
8373	6511	158062	<i>Echinarachnius parma</i>	Echinodermata	Echinoidea	Echinolampadacea	Echinarachniidae	<i>Echinarachnius</i>		<i>parma</i>	
8363	6400	123390	<i>Strongylocentrotus</i>	Echinodermata	Echinoidea	Camarodonta	Strongylocentrotidae	<i>Strongylocentrotus</i>			
Holothuroidea											
8312	6611	124612	<i>Cucumaria frondosa</i>	Echinodermata	Holothuroidea	Dendrochirotida	Cucumariidae	<i>Cucumaria</i>		<i>frondosa</i>	
8316	7808	124681	<i>Ekmania barthii</i>	Echinodermata	Holothuroidea	Dendrochirotida	Cucumariidae	<i>Ekmania</i>		<i>barthii</i>	
8322	7809	124802	<i>Molpadia oolitica</i>	Echinodermata	Holothuroidea	Molpadida	Molpadiidae	<i>Molpadia</i>		<i>oolitica</i>	
8295	6713	124703	<i>Psolus fabricii</i>	Echinodermata	Holothuroidea	Dendrochirotida	Psolidae	<i>Psolus</i>		<i>fabricii</i>	
8294	6715	124710	<i>Psolus phantapus</i>	Echinodermata	Holothuroidea	Dendrochirotida	Psolidae	<i>Psolus</i>		<i>phantapus</i>	
Crinoidea											
8263	7807	124223	<i>Heliometra glacialis</i>	Echinodermata	Crinoidea	Comatulida	Antedonidae	<i>Heliometra</i>		<i>glacialis</i>	
Nemertea											
3000	5500	152391	Nemertea	Nemertea							
Tunicata											
Asciacea											
8742	1821	103483	<i>Ascidia</i>	Chordata	Asciacea	Phlebobranchia	Asciidiidae	<i>Ascidia</i>			
8793	7818	103814	<i>Boltenia echinata</i>	Chordata	Asciacea	Stolidobranchia	Pyuridae	<i>Boltenia</i>		<i>echinata</i>	
8792	7749	103815	<i>Boltenia ovifera</i>	Chordata	Asciacea	Stolidobranchia	Pyuridae	<i>Boltenia</i>		<i>ovifera</i>	
8796		1307332	<i>Botrylloides aureus</i>	Chordata	Asciacea	Stolidobranchia	Styelidae	<i>Botrylloides</i>		<i>aureus</i>	
8757		103870	<i>Cnemidocarpa finmarkiensis</i>	Chordata	Asciacea	Stolidobranchia	Styelidae	<i>Cnemidocarpa</i>		<i>finmarkiensis</i>	
8759		103881	<i>Dendrodoa carnea</i>	Chordata	Asciacea	Stolidobranchia	Styelidae	<i>Dendrodoa</i>		<i>carnea</i>	
8761		103885	<i>Dendrodoa pulchella</i>	Chordata	Asciacea	Stolidobranchia	Styelidae	<i>Dendrodoa</i>		<i>pulchella</i>	
8778	7734	103624	<i>Eudistoma vitreum</i>	Chordata	Asciacea	Aplousobranchia	Polycitoridae	<i>Eudistoma</i>		<i>vitreum</i>	
8797	1827	103828	<i>Halocynthia pyriformis</i>	Chordata	Asciacea	Stolidobranchia	Pyuridae	<i>Halocynthia</i>		<i>pyriformis</i>	
8781	7817	103894	<i>Pelonaia corrugata</i>	Chordata	Asciacea	Stolidobranchia	Styelidae	<i>Pelonaia</i>		<i>corrugata</i>	
8783	7735	103902	<i>Polycarpa fibrosa</i>	Chordata	Asciacea	Stolidobranchia	Styelidae	<i>Polycarpa</i>		<i>fibrosa</i>	
8801		103937	<i>Styela rustica</i>	Chordata	Asciacea	Stolidobranchia	Styelidae	<i>Styela</i>		<i>rustica</i>	

STRAP	RVAN	AphiaID	Nom scientifique	Phylum	Classe	Ordre	Famille	Genre	Sous-genre	Espèce	Sous-espèce
8776	7816	103692	<i>Synoicum pulmonaria</i>	Chordata	Ascidiacea	Aplousobranchia	Polyclinidae	<i>Synoicum</i>		<i>pulmonaria</i>	

Tableau 2. Liste des taxons retrouvés dans le guide classés par ordre alphabétique des noms latins. Les codes STRAP et RVAN correspondent à la codification utilisée par les régions du Québec et du Golfe, respectivement. Le AphiaID est la codification de WoRMS.

STRAP	RVAN	AphiaID	Nom scientifique	Phylum	Classe	Ordre	Famille	Genre	Sous-genre	Espèce	Sous-espèce
8040	8353	107581	<i>Acanthephyra pelagica</i>	Arthropoda	Malacostraca	Decapoda	Acanthephyridae	<i>Acanthephyra</i>		<i>pelagica</i>	
2182	7709	158210	<i>Actinauge cristata</i>	Cnidaria	Anthozoa	Actiniaria	Hormathiidae	<i>Actinauge</i>		<i>cristata</i>	
2162	7708	100839	<i>Actinostola callosa</i>	Cnidaria	Anthozoa	Actiniaria	Actinostolidae	<i>Actinostola</i>		<i>callosa</i>	
6771	2981	118827	<i>Aega psora</i>	Arthropoda	Malacostraca	Isopoda	Aegidae	<i>Aega</i>		<i>psora</i>	
2676	7745	111600	<i>Alcyonidium gelatinosum</i>	Bryozoa	Gymnolaemata	Ctenostomatida	Alcyonidiidae	<i>Alcyonidium</i>		<i>gelatinosum</i>	
2677	7759	470640	<i>Alcyonidium pachydermatum</i>	Bryozoa	Gymnolaemata	Ctenostomatida	Alcyonidiidae	<i>Alcyonidium</i>		<i>pachydermatum</i>	
3164	4711	159928	<i>Amicula vestita</i>	Mollusca	Polyplacophora	Chitonida	Mopaliidae	<i>Amicula</i>		<i>vestita</i>	
8593	7732	123613	<i>Amphiura</i>	Echinodermata	Ophiuroidea	Amphilepidida	Amphiuridae	<i>Amphiura</i>			
4218	4328	214	Anomiidae	Mollusca	Bivalvia	Pectinida	Anomiidae				
7389	2833	101592	<i>Anonyx</i>	Arthropoda	Malacostraca	Amphipoda	Uristidae	<i>Anonyx</i>			
3978	7784	196377	<i>Antalis occidentalis</i>	Mollusca	Scaphopoda	Dentaliida	Dentaliidae	<i>Antalis</i>		<i>occidentalis</i>	
2218	8361	128504	<i>Anthoptilum grandiflorum</i>	Cnidaria	Anthozoa	Scleralcyonacea	Anthoptilidae	<i>Anthoptilum</i>		<i>grandiflorum</i>	
5002	3200	157181	<i>Aphrodita hastata</i>	Annelida	Polychaeta	Phyllodocida	Aphroditidae	<i>Aphrodita</i>		<i>hastata</i>	
6594	7726	106182	<i>Arcoscalpellum michelottianum</i>	Arthropoda	Thecostraca	Scalpellomorpha	Scalpellidae	<i>Arcoscalpellum</i>		<i>michelottianum</i>	
8138	2411	107550	<i>Argis dentata</i>	Arthropoda	Malacostraca	Decapoda	Crangonidae	<i>Argis</i>		<i>dentata</i>	
3305	7768	714762	<i>Ariadnaria borealis</i>	Mollusca	Gastropoda	Littorinimorpha	Capuliidae	<i>Ariadnaria</i>		<i>borealis</i>	
8024	1281	240796	<i>Aristaeopsis edwardsiana</i>	Arthropoda	Malacostraca	Decapoda	Aristeidae	<i>Aristaeopsis</i>		<i>edwardsiana</i>	
8025	-	158327	<i>Aristeus antillensis</i>	Arthropoda	Malacostraca	Decapoda	Aristeidae	<i>Aristeus</i>		<i>antillensis</i>	
3418	7720	531617	<i>Arrhoges occidentalis</i>	Mollusca	Gastropoda	Littorinimorpha	Aporrhaidae	<i>Arrhoges</i>		<i>occidentalis</i>	
4124	7786	505959	<i>Arvella faba</i>	Mollusca	Bivalvia	Mytilida	Mytilidae	<i>Arvella</i>		<i>faba</i>	
8742	1821	103483	<i>Ascidia</i>	Chordata	Ascidiacea	Phlebobranchia	Asciidiidae	<i>Ascidia</i>			
4227	4316	137683	<i>Astarte</i>	Mollusca	Bivalvia	Carditida	Astartidae	<i>Astarte</i>			
4231	7789	138818	<i>Astarte borealis</i>	Mollusca	Bivalvia	Carditida	Astartidae	<i>Astarte</i>		<i>borealis</i>	
8396	6111	123776	<i>Asterias rubens</i>	Echinodermata	Asteroidea	Forcipulatida	Asteriidae	<i>Asterias</i>		<i>rubens</i>	
8113	2213	158351	<i>Atlantopandalus propinquus</i>	Arthropoda	Malacostraca	Decapoda	Pandalidae	<i>Atlantopandalus</i>		<i>propinquus</i>	
2097	7705	135282	<i>Atolla wyvillei</i>	Cnidaria	Scyphozoa	Coronatae	Atollidae	<i>Atolla</i>		<i>wyvillei</i>	
3583	7779	490735	<i>Aulacofusus brevicauda</i>	Mollusca	Gastropoda	Neogastropoda	Buccinidae	<i>Aulacofusus</i>		<i>brevicauda</i>	
2085	8010	135306	<i>Aurelia aurita</i>	Cnidaria	Scyphozoa	Semaeostomeae	Ulmaridae	<i>Aurelia</i>		<i>aurita</i>	

STRAP	RVAN	AphiaID	Nom scientifique	Phylum	Classe	Ordre	Famille	Genre	Sous-genre	Espèce	Sous-espèce
6592	7799	106122	<i>Balanus</i>	Arthropoda	Thecostraca	Balanomorpha	Balanidae	<i>Balanus</i>			
2217	7714	584787	<i>Balticina finmarchica</i>	Cnidaria	Anthozoa	Scleralcyonacea	Balticinidae	<i>Balticina</i>		<i>finmarchica</i>	
4105	7785	138797	<i>Bathyarca glacialis</i>	Mollusca	Bivalvia	Arcida	Arcidae	<i>Bathyarca</i>		<i>glacialis</i>	
4904	7724	157011	<i>Bathypolypus bairdii</i>	Mollusca	Cephalopoda	Octopoda	Bathypolypodidae	<i>Bathypolypus</i>		<i>bairdii</i>	
3519	7774	138855	<i>Beringius turtoni</i>	Mollusca	Gastropoda	Neogastropoda	Buccinidae	<i>Beringius</i>		<i>turtoni</i>	
2158	7707	100817	<i>Bolocera tuediae</i>	Cnidaria	Anthozoa	Actiniaria	Actiniidae	<i>Bolocera</i>		<i>tuediae</i>	
8793	7818	103814	<i>Boltenia echinata</i>	Chordata	Ascidiacea	Stolidobranchia	Pyuridae	<i>Boltenia</i>		<i>echinata</i>	
8792	7749	103815	<i>Boltenia ovifera</i>	Chordata	Ascidiacea	Stolidobranchia	Pyuridae	<i>Boltenia</i>		<i>ovifera</i>	
3487	7772	146732	<i>Boreotrophon clathratus</i>	Mollusca	Gastropoda	Neogastropoda	Muricidae	<i>Boreotrophon</i>		<i>clathratus</i>	
8796		1307332	<i>Botrylloides aureus</i>	Chordata	Ascidiacea	Stolidobranchia	Styelidae	<i>Botrylloides</i>		<i>aureus</i>	
5755	7795	130097	<i>Brada inhabilis</i>	Annelida	Polychaeta	Terebellida	Flabelligeridae	<i>Brada</i>		<i>inhabilis</i>	
8378	6413	124404	<i>Brisaster fragilis</i>	Echinodermata	Echinoidea	Spatangoida	Schizasteridae	<i>Brisaster</i>		<i>fragilis</i>	
3516	4210	137701	<i>Buccinum</i>	Mollusca	Gastropoda	Neogastropoda	Buccinidae	<i>Buccinum</i>			
3520	7775	138862	<i>Buccinum cyaneum</i>	Mollusca	Gastropoda	Neogastropoda	Buccinidae	<i>Buccinum</i>		<i>cyaneum</i>	
3523	4212	138875	<i>Buccinum scalariforme</i>	Mollusca	Gastropoda	Neogastropoda	Buccinidae	<i>Buccinum</i>		<i>scalariforme</i>	
3518		490864	<i>Buccinum terraenovae</i>	Mollusca	Gastropoda	Neogastropoda	Buccinidae	<i>Buccinum</i>		<i>terraenovae</i>	
3517	4211	138878	<i>Buccinum undatum</i>	Mollusca	Gastropoda	Neogastropoda	Buccinidae	<i>Buccinum</i>		<i>undatum</i>	
8173	7728	158383	<i>Calocaris templemani</i>	Arthropoda	Malacostraca	Decapoda	Axiidae	<i>Calocaris</i>		<i>templemani</i>	
8206	2513	158057	<i>Cancer irroratus</i>	Arthropoda	Malacostraca	Decapoda	Cancridae	<i>Cancer</i>		<i>irroratus</i>	
8429	6101	124020	<i>Ceramaster granularis</i>	Echinodermata	Asteroidea	Valvatida	Goniasteridae	<i>Ceramaster</i>		<i>granularis</i>	
8213	2526	107315	<i>Chionoecetes opilio</i>	Arthropoda	Malacostraca	Decapoda	Oregoniidae	<i>Chionoecetes</i>		<i>opilio</i>	
6593	7800	106207	<i>Chirona hameri</i>	Arthropoda	Thecostraca	Balanomorpha	Balanidae	<i>Chirona</i>		<i>hameri</i>	
4167	4322	140692	<i>Chlamys islandica</i>	Mollusca	Bivalvia	Pectinida	Pectinidae	<i>Chlamys</i>		<i>islandica</i>	
4351	4342	139000	<i>Ciliatocardium ciliatum ciliatum</i>	Mollusca	Bivalvia	Cardiida	Cardiidae	<i>Ciliatocardium</i>		<i>ciliatum</i>	<i>ciliatum</i>
8757		103870	<i>Cnemidocarpa finmarkiensis</i>	Chordata	Ascidiacea	Stolidobranchia	Styelidae	<i>Cnemidocarpa</i>		<i>finmarkiensis</i>	
3908	7782	146851	<i>Colga villosa</i>	Mollusca	Gastropoda	Nudibranchia	Polyceridae	<i>Colga</i>		<i>villosa</i>	
3577	7741	160212	<i>Colus pubescens</i>	Mollusca	Gastropoda	Neogastropoda	Colidae	<i>Colus</i>		<i>pubescens</i>	
3576	7778	160215	<i>Colus stimpsoni</i>	Mollusca	Gastropoda	Neogastropoda	Colidae	<i>Colus</i>		<i>stimpsoni</i>	
2151	7754	100824	<i>Cribrinopsis similis</i>	Cnidaria	Anthozoa	Actiniaria	Actiniidae	<i>Cribrinopsis</i>		<i>similis</i>	
8447	6123	124154	<i>Crossaster papposus</i>	Echinodermata	Asteroidea	Valvatida	Solasteridae	<i>Crossaster</i>		<i>papposus</i>	

STRAP	RVAN	AphiaID	Nom scientifique	Phylum	Classe	Ordre	Famille	Genre	Sous-genre	Espèce	Sous-espèce
3422	4222	140525	<i>Cryptonatica affinis</i>	Mollusca	Gastropoda	Littorinimorpha	Naticidae	<i>Cryptonatica</i>		<i>affinis</i>	
8407	6115	123915	<i>Ctenodiscus crispatus</i>	Echinodermata	Asteroidea	Paxillosida	Ctenodiscidae	<i>Ctenodiscus</i>		<i>crispatus</i>	
8312	6611	124612	<i>Cucumaria frondosa</i>	Echinodermata	Holothuroidea	Dendrochirotida	Cucumariidae	<i>Cucumaria</i>		<i>frondosa</i>	
4526	4306	139445	<i>Cuspidaria glacialis</i>	Mollusca	Bivalvia	NA	Cuspidariidae	<i>Cuspidaria</i>		<i>glacialis</i>	
2080	8511	135301	<i>Cyanea capillata</i>	Cnidaria	Scyphozoa	Semaeostomeae	Cyaneidae	<i>Cyanea</i>		<i>capillata</i>	
4268	4344	156832	<i>Cyclocardia borealis</i>	Mollusca	Bivalvia	Carditida	Carditidae	<i>Cyclocardia</i>		<i>borealis</i>	
8759		103881	<i>Dendrodoa carnea</i>	Chordata	Ascidiacea	Stolidobranchia	Styelidae	<i>Dendrodoa</i>		<i>carnea</i>	
8761		103885	<i>Dendrodoa pulchella</i>	Chordata	Ascidiacea	Stolidobranchia	Styelidae	<i>Dendrodoa</i>		<i>pulchella</i>	
3895	7781	156710	<i>Dendronotus elegans</i>	Mollusca	Gastropoda	Nudibranchia	Dendronotidae	<i>Dendronotus</i>		<i>elegans</i>	
3894	7780	139523	<i>Dendronotus frondosus</i>	Mollusca	Gastropoda	Nudibranchia	Dendronotidae	<i>Dendronotus</i>		<i>frondosus</i>	
3897		748384	<i>Dendronotus velifer</i>	Mollusca	Gastropoda	Nudibranchia	Dendronotidae	<i>Dendronotus</i>		<i>velifer</i>	
8108	2214	158356	<i>Dichelopandalus leptocerus</i>	Arthropoda	Malacostraca	Decapoda	Pandalidae	<i>Dichelopandalus</i>		<i>leptocerus</i>	
8408	6131	124128	<i>Diplopteraster multipes</i>	Echinodermata	Asteroidea	Velatida	Pterasteridae	<i>Diplopteraster</i>		<i>multipes</i>	
3965	7783	576389	<i>Doridoxa walteri</i>	Mollusca	Gastropoda	Nudibranchia	Doridoxidae	<i>Doridoxa</i>		<i>walteri</i>	
2191	7711	146941	<i>Drifa glomerata</i>	Cnidaria	Anthozoa	Malacalcyonacea	Capnellidae	<i>Drifa</i>		<i>glomerata</i>	
2183	7710	146943	<i>Duva florida</i>	Cnidaria	Anthozoa	Malacalcyonacea	Capnellidae	<i>Duva</i>		<i>florida</i>	
8373	6511	158062	<i>Echinarachnius parma</i>	Echinodermata	Echinoidea	Echinolampadacea	Echinarachniidae	<i>Echinarachnius</i>		<i>parma</i>	
8316	7808	124681	<i>Ekmania barthii</i>	Echinodermata	Holothuroidea	Dendrochirotida	Cucumariidae	<i>Ekmania</i>		<i>barthii</i>	
7383	7727	102146	<i>Epimeria (Epimeria) loricata</i>	Arthropoda	Malacostraca	Amphipoda	Epimeriidae	<i>Epimeria</i>	<i>Epimeria</i>	<i>loricata</i>	
2156	7757	101027	<i>Epizoanthus erdmanni</i>	Cnidaria	Anthozoa	Zoantharia	Epizoanthidae	<i>Epizoanthus</i>		<i>erdmanni</i>	
2178	8321	101037	<i>Epizoanthus papillosus</i>	Cnidaria	Anthozoa	Zoantharia	Epizoanthidae	<i>Epizoanthus</i>		<i>papillosus</i>	
8081	7805	107502	<i>Eualus belcheri</i>	Arthropoda	Malacostraca	Decapoda	Thoridae	<i>Eualus</i>		<i>belcheri</i>	
8075	2332	158357	<i>Eualus fabricii</i>	Arthropoda	Malacostraca	Decapoda	Thoridae	<i>Eualus</i>		<i>fabricii</i>	
8079	2333	107504	<i>Eualus gaimardii</i>	Arthropoda	Malacostraca	Decapoda	Thoridae	<i>Eualus</i>		<i>gaimardii</i>	
8077	2331	158359	<i>Eualus macilentus</i>	Arthropoda	Malacostraca	Decapoda	Thoridae	<i>Eualus</i>		<i>macilentus</i>	
8778	7734	103624	<i>Eudistoma vitreum</i>	Chordata	Ascidiacea	Aplousobranchia	Polycitoridae	<i>Eudistoma</i>		<i>vitreum</i>	
5461	7794	130081	<i>Euphrosine borealis</i>	Annelida	Polychaeta	Amphinomida	Euphrosinidae	<i>Euphrosine</i>		<i>borealis</i>	
8033	2223	515738	<i>Eusergestes arcticus</i>	Arthropoda	Malacostraca	Decapoda	Sergestidae	<i>Eusergestes</i>		<i>arcticus</i>	
7195	8358	102199	<i>Eusirus cuspidatus</i>	Arthropoda	Malacostraca	Amphipoda	Eusiridae	<i>Eusirus</i>		<i>cuspidatus</i>	
3437	7770	140536	<i>Euspira pallida</i>	Mollusca	Gastropoda	Littorinimorpha	Naticidae	<i>Euspira</i>		<i>pallida</i>	

STRAP	RVAN	AphiaID	Nom scientifique	Phylum	Classe	Ordre	Famille	Genre	Sous-genre	Espèce	Sous-espèce
2224	8362	1383416	<i>Flabellum (Ulocyathus) alabastrum</i>	Cnidaria	Anthozoa	Scleractinia	Flabellidae	<i>Flabellum</i>	<i>Ulocyathus</i>	<i>alabastrum</i>	
2212		156101	<i>Gersemia fruticosa</i>	Cnidaria	Anthozoa	Malacalcyonacea	Alcyoniidae	<i>Gersemia</i>		<i>fruticosa</i>	
2184	8324	156103	<i>Gersemia rubiformis</i>	Cnidaria	Anthozoa	Malacalcyonacea	Alcyoniidae	<i>Gersemia</i>		<i>rubiformis</i>	
5902	7796	136044	<i>Golfingia (Golfingia) margaritacea</i>	Annelida	NA	Sipuncula	Golfingiidae	<i>Golfingia</i>	<i>Golfingia</i>	<i>margaritacea</i>	
4770	4599	153097	<i>Gonatus fabricii</i>	Mollusca	Cephalopoda	Oegopsida	Gonatidae	<i>Gonatus</i>		<i>fabricii</i>	
8541	7813	124966	<i>Gorgonocephalus arcticus</i>	Echinodermata	Ophiuroidea	Euryalida	Gorgonocephalidae	<i>Gorgonocephalus</i>		<i>arcticus</i>	
8797	1827	103828	<i>Halocynthia pyriformis</i>	Chordata	Ascidiacea	Stolidobranchia	Pyuridae	<i>Halocynthia</i>		<i>pyriformis</i>	
5934	7797	110364	<i>Hamingia arctica</i>	Annelida	Polychaeta	Echiuroidea	Bonelliidae	<i>Hamingia</i>		<i>arctica</i>	
3141	7763	140082	<i>Hanleya hanleyi</i>	Mollusca	Polyplacophora	Lepidopleurida	Hanleyidae	<i>Hanleya</i>		<i>hanleyi</i>	
8263	7807	124223	<i>Heliometra glacialis</i>	Echinodermata	Crinoidea	Comatulida	Antedonidae	<i>Heliometra</i>		<i>glacialis</i>	
3090	7761	104054	<i>Hemithiris psittacea</i>	Brachiopoda	Rhynchonellata	Rhynchonellida	Hemithiridae	<i>Hemithiris</i>		<i>psittacea</i>	
8483	6118	123276	<i>Henricia</i>	Echinodermata	Astroidea	Spinulosida	Echinasteridae	<i>Henricia</i>			
3964		140101	<i>Heterodoris robusta</i>	Mollusca	Gastropoda	Nudibranchia	Heterodorididae	<i>Heterodoris</i>		<i>robusta</i>	
2222	7758	345446	<i>Heteropolypus</i>	Cnidaria	Anthozoa	Scleractyonacea	Coralliidae	<i>Heteropolypus</i>			
4437	4319	140103	<i>Hiatella arctica</i>	Mollusca	Bivalvia	Adapedonta	Hiatellidae	<i>Hiatella</i>		<i>arctica</i>	
8431	6117	124043	<i>Hippasteria phrygiana</i>	Echinodermata	Astroidea	Valvatida	Goniasteridae	<i>Hippasteria</i>		<i>phrygiana</i>	
8154	2550	156134	<i>Homarus americanus</i>	Arthropoda	Malacostraca	Decapoda	Nephropidae	<i>Homarus</i>		<i>americanus</i>	
2150	7753	100951	<i>Hormathia digitata</i>	Cnidaria	Anthozoa	Actiniaria	Hormathiidae	<i>Hormathia</i>		<i>digitata</i>	
2167	8622	100954	<i>Hormathia nodosa</i>	Cnidaria	Anthozoa	Actiniaria	Hormathiidae	<i>Hormathia</i>		<i>nodosa</i>	
8219	7738	442166	<i>Hyas alutaceus</i>	Arthropoda	Malacostraca	Decapoda	Oregoniidae	<i>Hyas</i>		<i>alutaceus</i>	
8217	2527	107322	<i>Hyas araneus</i>	Arthropoda	Malacostraca	Decapoda	Oregoniidae	<i>Hyas</i>		<i>araneus</i>	
8028	7802	107117	<i>Hymenopenaeus debilis</i>	Arthropoda	Malacostraca	Decapoda	Solenoceridae	<i>Hymenopenaeus</i>		<i>debilis</i>	
4753	4511	153087	<i>Illex illecebrosus</i>	Mollusca	Cephalopoda	Oegopsida	Ommastrephidae	<i>Illex</i>		<i>illecebrosus</i>	
2213		128512	<i>Kophobelemnion stelliferum</i>	Cnidaria	Anthozoa	Scleractyonacea	Kophobelemnidae	<i>Kophobelemnion</i>		<i>stelliferum</i>	
3255	7767	140170	<i>Lacuna vincta</i>	Mollusca	Gastropoda	Littorinimorpha	Littorinidae	<i>Lacuna</i>		<i>vincta</i>	
5003	7725	129844	<i>Laetmonice filicornis</i>	Annelida	Polychaeta	Phyllodocida	Aphroditidae	<i>Laetmonice</i>		<i>filicornis</i>	
8092	2319	107520	<i>Lebbeus groenlandicus</i>	Arthropoda	Malacostraca	Decapoda	Thoridae	<i>Lebbeus</i>		<i>groenlandicus</i>	
8095	1282	158362	<i>Lebbeus microceros</i>	Arthropoda	Malacostraca	Decapoda	Thoridae	<i>Lebbeus</i>		<i>microceros</i>	
8093	2312	107521	<i>Lebbeus polaris</i>	Arthropoda	Malacostraca	Decapoda	Thoridae	<i>Lebbeus</i>		<i>polaris</i>	
3198	7765	140187	<i>Lepeta caeca</i>	Mollusca	Gastropoda		Lepetidae	<i>Lepeta</i>		<i>caeca</i>	

STRAP	RVAN	AphiaID	Nom scientifique	Phylum	Classe	Ordre	Famille	Genre	Sous-genre	Espèce	Sous-espèce
8511	6113	292974	<i>Leptasterias (Hexasterias) polaris</i>	Echinodermata	Asteroidea	Forcipulatida	Asteriidae	<i>Leptasterias</i>	<i>Hexasterias</i>	<i>polaris</i>	
8513	7811	369176	<i>Leptasterias groenlandica</i>	Echinodermata	Asteroidea	Forcipulatida	Asteriidae	<i>Leptasterias</i>		<i>groenlandica</i>	
8521	8348	123896	<i>Leptychaster arcticus</i>	Echinodermata	Asteroidea	Paxillosida	Astropectinidae	<i>Leptychaster</i>		<i>arcticus</i>	
3459	7771	159903	<i>Limneria undata</i>	Mollusca	Gastropoda	Littorinimorpha	Velutinidae	<i>Limneria</i>		<i>undata</i>	
2207	7713	593072	<i>Liponema multicornis</i>	Cnidaria	Anthozoa	Actiniaria	Liponematidae	<i>Liponema</i>		<i>multicornis</i>	
8196	2523	107205	<i>Lithodes maja</i>	Arthropoda	Malacostraca	Decapoda	Lithodidae	<i>Lithodes</i>		<i>maja</i>	
2050	7752	135328	<i>Lucernaria quadricornis</i>	Cnidaria	Staurozoa	Stauromedusae	Lucernariidae	<i>Lucernaria</i>		<i>quadricornis</i>	
4395	7790	141580	<i>Macoma calcarea</i>	Mollusca	Bivalvia	Cardiida	Tellinidae	<i>Macoma</i>		<i>calcarea</i>	
7279	2825	102820	<i>Maera loveni</i>	Arthropoda	Malacostraca	Amphipoda	Maeridae	<i>Maera</i>		<i>loveni</i>	
3219	4224	141819	<i>Margarites costalis</i>	Mollusca	Gastropoda	Trochida	Margaritidae	<i>Margarites</i>		<i>costalis</i>	
3216	4225	141820	<i>Margarites groenlandicus</i>	Mollusca	Gastropoda	Trochida	Margaritidae	<i>Margarites</i>		<i>groenlandicus</i>	
7268	2812	423508	<i>Megamoera dentata</i>	Arthropoda	Malacostraca	Amphipoda	Melitidae	<i>Megamoera</i>		<i>dentata</i>	
4025	4357	141983	<i>Megayoldia thraciaeformis</i>	Mollusca	Bivalvia	Nuculanida	Yoldiidae	<i>Megayoldia</i>		<i>thraciaeformis</i>	
4384		156805	<i>Mesodesma arctatum</i>	Mollusca	Bivalvia	Venerida	Mesodesmatidae	<i>Mesodesma</i>		<i>arctatum</i>	
2171	8311	100982	<i>Metridium senile</i>	Cnidaria	Anthozoa	Actiniaria	Metridiidae	<i>Metridium</i>		<i>senile</i>	
8322	7809	124802	<i>Molpadia oolitica</i>	Echinodermata	Holothuroidea	Molpadida	Molpadiidae	<i>Molpadia</i>		<i>oolitica</i>	
8164	2566	107175	<i>Munidopsis curvirostra</i>	Arthropoda	Malacostraca	Decapoda	Munidopsidae	<i>Munidopsis</i>		<i>curvirostra</i>	
4126	7787	138225	<i>Musculus</i>	Mollusca	Bivalvia	Mytilida	Mytilidae	<i>Musculus</i>			
4428	4309	140431	<i>Mya truncata</i>	Mollusca	Bivalvia	Myida	Myidae	<i>Mya</i>		<i>truncata</i>	
4121	7721	138228	<i>Mytilus</i>	Mollusca	Bivalvia	Mytilida	Mytilidae	<i>Mytilus</i>			
3000	5500	152391	Nemertea	Nemertea							
7483	2804	102108	<i>Neohela monstrosa</i>	Arthropoda	Malacostraca	Amphipoda	Unciolidae	<i>Neohela</i>		<i>monstrosa</i>	
3567	7777	138923	<i>Neptunea despecta</i>	Mollusca	Gastropoda	Neogastropoda	Buccinidae	<i>Neptunea</i>		<i>despecta</i>	
8448	7730	178261	<i>Novodinia americana</i>	Echinodermata	Asteroidea	Brisingida	Brisingidae	<i>Novodinia</i>		<i>americana</i>	
4019	4351	138259	<i>Nuculana</i>	Mollusca	Bivalvia	Nuculanida	Nuculanidae	<i>Nuculana</i>			
5961	2893	134591	<i>Nymphon</i>	Arthropoda	Pycnogonida	Pantopoda	Nymphonidae	<i>Nymphon</i>			
5964	7798	134690	<i>Nymphon hirtipes</i>	Arthropoda	Pycnogonida	Pantopoda	Nymphonidae	<i>Nymphon</i>		<i>hirtipes</i>	
7555		102908	<i>Oediceros saginatus</i>	Arthropoda	Malacostraca	Amphipoda	Oedicerotidae	<i>Oediceros</i>		<i>saginatus</i>	
3456	7819	159955	<i>Onchidiopsis corys</i>	Mollusca	Gastropoda	Littorinimorpha	Velutinidae	<i>Onchidiopsis</i>		<i>corys</i>	
8575	7814	124978	<i>Ophiacantha bidentata</i>	Echinodermata	Ophiuroidea	Ophiacanthida	Ophiacanthidae	<i>Ophiacantha</i>		<i>bidentata</i>	

STRAP	RVAN	AphiaID	Nom scientifique	Phylum	Classe	Ordre	Famille	Genre	Sous-genre	Espèce	Sous-espèce
8583	6211	125125	<i>Ophiopholis aculeata</i>	Echinodermata	Ophiuroidea	Amphilepidida	Ophiopholidae	<i>Ophiopholis</i>		<i>aculeata</i>	
8585	7815	125147	<i>Ophioscolex glacialis</i>	Echinodermata	Ophiuroidea	Ophioscolecida	Ophioscolecidae	<i>Ophioscolex</i>		<i>glacialis</i>	
8552	6215	124933	<i>Ophiura robusta</i>	Echinodermata	Ophiuroidea	Ophiurida	Ophiuridae	<i>Ophiura</i>		<i>robusta</i>	
8553	6213	124934	<i>Ophiura sarsii</i>	Echinodermata	Ophiuroidea	Ophiurida	Ophiuridae	<i>Ophiura</i>		<i>sarsii</i>	
8178	2561	106854	<i>Pagurus</i>	Arthropoda	Malacostraca	Decapoda	Paguridae	<i>Pagurus</i>			
8111	2211	107649	<i>Pandalus borealis</i>	Arthropoda	Malacostraca	Decapoda	Pandalidae	<i>Pandalus</i>		<i>borealis</i>	
8112	2212	107651	<i>Pandalus montagui</i>	Arthropoda	Malacostraca	Decapoda	Pandalidae	<i>Pandalus</i>		<i>montagui</i>	
4438	7791	140105	<i>Panomya norvegica</i>	Mollusca	Bivalvia	Adapedonta	Hiatellidae	<i>Panomya</i>		<i>norvegica</i>	
7586	2805	102152	<i>Paramphithoe hystrix</i>	Arthropoda	Malacostraca	Amphipoda	Paramphithoidae	<i>Paramphithoe</i>		<i>hystrix</i>	
7594		102945	<i>Pardalisca abyssii</i>	Arthropoda	Malacostraca	Amphipoda	Pardaliscidae	<i>Pardalisca</i>		<i>abyssii</i>	
8056	2220	107678	<i>Pasiphaea tarda</i>	Arthropoda	Malacostraca	Decapoda	Pasiphaeidae	<i>Pasiphaea</i>		<i>tarda</i>	
5615	3139	980	Pectinariidae	Annelida	Polychaeta	Terebellida	Pectinariidae				
8781	7817	103894	<i>Pelonaia corrugata</i>	Chordata	Ascidiacea	Stolidobranchia	Styelidae	<i>Pelonaia</i>		<i>corrugata</i>	
2203	7712	128515	<i>Pennatula aculeata</i>	Cnidaria	Anthozoa	Scleralcyonacea	Pennatulidae	<i>Pennatula</i>		<i>aculeata</i>	
2096	7704	135294	<i>Periphylla periphylla</i>	Cnidaria	Scyphozoa	Coronatae	Periphyllidae	<i>Periphylla</i>		<i>periphylla</i>	
5907	3314	416714	<i>Phascolion (Phascolion) strombus strombus</i>	Annelida	NA	Sipuncula	Golfingiidae	<i>Phascolion</i>	<i>Phascolion</i>	<i>strombus</i>	<i>strombus</i>
2686		111445	<i>Phidolopora elongata</i>	Bryozoa	Gymnolaemata	Cheilostatida	Phidoloporidae	<i>Phidolopora</i>		<i>elongata</i>	
4955	3111	334506	<i>Phyllodoce groenlandica</i>	Annelida	Polychaeta	Phyllodocida	Phyllodocidae	<i>Phyllodoce</i>		<i>groenlandica</i>	
8114	7806	107661	<i>Plesionika martia</i>	Arthropoda	Malacostraca	Decapoda	Pandalidae	<i>Plesionika</i>		<i>martia</i>	
2255	7717	106386	<i>Pleurobrachia pileus</i>	Ctenophora	Tentaculata	Cydidippida	Pleurobrachiidae	<i>Pleurobrachia</i>		<i>pileus</i>	
3578	7742	491269	<i>Plicifusus kroyeri</i>	Mollusca	Gastropoda	Neogastropoda	Buccinidae	<i>Plicifusus</i>		<i>kroyeri</i>	
8783	7735	103902	<i>Polycarpa fibrosa</i>	Chordata	Ascidiacea	Stolidobranchia	Styelidae	<i>Polycarpa</i>		<i>fibrosa</i>	
5007	3500	939	Polynoidae	Annelida	Polychaeta	Phyllodocida	Polynoidae				
8135	2415	107563	<i>Pontophilus norvegicus</i>	Arthropoda	Malacostraca	Decapoda	Crangonidae	<i>Pontophilus</i>		<i>norvegicus</i>	
8435	7729	123321	<i>Poraniomorpha</i>	Echinodermata	Asteroidea	Valvatida	Poraniidae	<i>Poraniomorpha</i>			
2573	3451	101160	<i>Priapulius caudatus</i>	Priapulida	NA	Priapulomorpha	Priapulidae	<i>Priapulius</i>		<i>caudatus</i>	
8433	8346	124085	<i>Pseudarchaster parelii</i>	Echinodermata	Asteroidea	Paxillosida	Pseudarchasteridae	<i>Pseudarchaster</i>		<i>parelii</i>	
8520	8347	123908	<i>Psilaster andromeda</i>	Echinodermata	Asteroidea	Paxillosida	Astropectinidae	<i>Psilaster</i>		<i>andromeda</i>	
8295	6713	124703	<i>Psolus fabricii</i>	Echinodermata	Holothuroidea	Dendrochirotida	Psolidae	<i>Psolus</i>		<i>fabricii</i>	
8294	6715	124710	<i>Psolus phantapus</i>	Echinodermata	Holothuroidea	Dendrochirotida	Psolidae	<i>Psolus</i>		<i>phantapus</i>	

STRAP	RVAN	AphiaID	Nom scientifique	Phylum	Classe	Ordre	Famille	Genre	Sous-genre	Espèce	Sous-espèce
8410	6125	124147	<i>Pteraster militaris</i>	Echinodermata	Asteroidea	Velatida	Pterasteridae	<i>Pteraster</i>		<i>militaris</i>	
8412	7810	124149	<i>Pteraster obscurus</i>	Echinodermata	Asteroidea	Velatida	Pterasteridae	<i>Pteraster</i>		<i>obscurus</i>	
8411	7748	124151	<i>Pteraster pulvillus</i>	Echinodermata	Asteroidea	Velatida	Pterasteridae	<i>Pteraster</i>		<i>pulvillus</i>	
2210	8360	1379630	<i>Ptilella grandis</i>	Cnidaria	Anthozoa	Scleralcyonacea	Pennatulidae	<i>Ptilella</i>		<i>grandis</i>	
2153	7756	101020	<i>Ptychodactis patula</i>	Cnidaria	Anthozoa	Actiniaria	Ptychodactinidae	<i>Ptychodactis</i>		<i>patula</i>	
1353	7702	117728	<i>Ptychogena lactea</i>	Cnidaria	Hydrozoa	Leptothecata	Laodiceidae	<i>Ptychogena</i>		<i>lactea</i>	
5975	5102	239867	<i>Pycnogonum litorale</i>	Arthropoda	Pycnogonida	Pantopoda	Pycnogonidae	<i>Pycnogonum</i>		<i>litorale</i>	
7211	2848	102224	<i>Rhachotropis aculeata</i>	Arthropoda	Malacostraca	Amphipoda	Eusiridae	<i>Rhachotropis</i>		<i>aculeata</i>	
8035	1283	1056517	<i>Robustosergia robusta</i>	Arthropoda	Malacostraca	Decapoda	Sergestidae	<i>Robustosergia</i>		<i>robusta</i>	
4557	7723	138481	<i>Rossia</i>	Mollusca	Cephalopoda	Sepiida	Sepioliidae	<i>Rossia</i>			
8129	2419	107566	<i>Sabinea sarsii</i>	Arthropoda	Malacostraca	Decapoda	Crangonidae	<i>Sabinea</i>		<i>sarsii</i>	
8128	2421	107567	<i>Sabinea septemcarinata</i>	Arthropoda	Malacostraca	Decapoda	Crangonidae	<i>Sabinea</i>		<i>septemcarinata</i>	
3491	7773	147146	<i>Scabrotrophon fabricii</i>	Mollusca	Gastropoda	Neogastropoda	Muricidae	<i>Scabrotrophon</i>		<i>fabricii</i>	
3715	4431	139490	<i>Scaphander punctostriatus</i>	Mollusca	Gastropoda	Cephalaspidea	Scaphandridae	<i>Scaphander</i>		<i>punctostriatus</i>	
8119	2414	107568	<i>Sclerocrangon boreas</i>	Arthropoda	Malacostraca	Decapoda	Crangonidae	<i>Sclerocrangon</i>		<i>boreas</i>	
2679	7760	111374	<i>Securiflustra securifrons</i>	Bryozoa	Gymnolaemata	Cheilostomatida	Flustridae	<i>Securiflustra</i>		<i>securifrons</i>	
4352	4343	582749	<i>Serripes groenlandicus</i>	Mollusca	Bivalvia	Cardiida	Cardiidae	<i>Serripes</i>		<i>groenlandicus</i>	
4191	7788	181299	<i>Similipecten greenlandicus</i>	Mollusca	Bivalvia	Pectinida	Propeamussiidae	<i>Similipecten</i>		<i>greenlandicus</i>	
3225	7766	138597	<i>Solariella</i>	Mollusca	Gastropoda	Trochida	Solariellidae	<i>Solariella</i>			
8445	6121	124160	<i>Solaster endeca</i>	Echinodermata	Asteroidea	Valvatida	Solasteridae	<i>Solaster</i>		<i>endeca</i>	
8087	2313	107531	<i>Spirontocaris liljeborgii</i>	Arthropoda	Malacostraca	Decapoda	Thoridae	<i>Spirontocaris</i>		<i>liljeborgii</i>	
8086	2315	107532	<i>Spirontocaris phippisii</i>	Arthropoda	Malacostraca	Decapoda	Thoridae	<i>Spirontocaris</i>		<i>phippisii</i>	
8085	2316	107533	<i>Spirontocaris spinus</i>	Arthropoda	Malacostraca	Decapoda	Thoridae	<i>Spirontocaris</i>		<i>spinus</i>	
1352	7751	594013	<i>Staurostoma mertensii</i>	Cnidaria	Hydrozoa	Leptothecata	Laodiceidae	<i>Staurostoma</i>		<i>mertensii</i>	
4853	4661	153122	<i>Stauroteuthis syrtensis</i>	Mollusca	Cephalopoda	Octopoda	Stauroteuthidae	<i>Stauroteuthis</i>		<i>syrtensis</i>	
7750	7746	103105	<i>Stegocephalus inflatus</i>	Arthropoda	Malacostraca	Amphipoda	Stegocephalidae	<i>Stegocephalus</i>		<i>inflatus</i>	
8570	6217	124943	<i>Stegophiura nodosa</i>	Echinodermata	Ophiuroidea	Ophiurida	Ophiopyrgidae	<i>Stegophiura</i>		<i>nodosa</i>	
3145	7764	247773	<i>Stenosemus albus</i>	Mollusca	Polyplacophora	Chitonida	Ischnochitonidae	<i>Stenosemus</i>		<i>albus</i>	
1381		135509	<i>Stephalia corona</i>	Cnidaria	Hydrozoa	Siphonophorae	Rhodaliidae	<i>Stephalia</i>		<i>corona</i>	
8515	7812	123808	<i>Stephanasterias albula</i>	Echinodermata	Asteroidea	Forcipulatida	Asteriidae	<i>Stephanasterias</i>		<i>albula</i>	

STRAP	RVAN	AphiaID	Nom scientifique	Phylum	Classe	Ordre	Famille	Genre	Sous-genre	Espèce	Sous-espèce
2159	8351	158258	<i>Stephanauge nexilis</i>	Cnidaria	Anthozoa	Actiniaria	Amphianthidae	<i>Stephanauge</i>		<i>nexilis</i>	
4587	4662	157037	<i>Stoloteuthis leucoptera</i>	Mollusca	Cephalopoda	Sepiida	Sepiolidae	<i>Stoloteuthis</i>		<i>leucoptera</i>	
2173	8313	100854	<i>Stomphia coccinea</i>	Cnidaria	Anthozoa	Actiniaria	Actinostolidae	<i>Stomphia</i>		<i>coccinea</i>	
8363	6400	123390	<i>Strongylocentrotus</i>	Echinodermata	Echinoidea	Camarodonta	Strongylocentrotidae	<i>Strongylocentrotus</i>			
8801		103937	<i>Styela rustica</i>	Chordata	Ascidiacea	Stolidobranchia	Styelidae	<i>Styela</i>		<i>rustica</i>	
8776	7816	103692	<i>Synoicum pulmonaria</i>	Chordata	Ascidiacea	Aplousobranchia	Polyclinidae	<i>Synoicum</i>		<i>pulmonaria</i>	
6791	8352	156446	<i>Syscenus infelix</i>	Arthropoda	Malacostraca	Isopoda	Aegidae	<i>Syscenus</i>		<i>infelix</i>	
3310	7769	196391	<i>Tachyrhynchus erosus</i>	Mollusca	Gastropoda	Caenogastropoda	Turritellidae	<i>Tachyrhynchus</i>		<i>erosus</i>	
3101	7719	104056	<i>Terebratulina septentrionalis</i>	Brachiopoda	Rhynchonellata	Terebratulida	Cancellothyrididae	<i>Terebratulina</i>		<i>septentrionalis</i>	
1357	7740	117940	<i>Thuaria thuja</i>	Cnidaria	Hydrozoa	Leptothecata	Sertulariidae	<i>Thuaria</i>		<i>thuja</i>	
4301	4302	138552	<i>Thyasira</i>	Mollusca	Bivalvia	Lucinida	Thyasiridae	<i>Thyasira</i>			
3133	7762	385500	Tonicellidae	Mollusca	Polyplacophora	Chitonida	Tonicellidae				
8446	1279	124002	<i>Tremaster mirabilis</i>	Echinodermata	Asteroidea	Valvatida	Asterinidae	<i>Tremaster</i>		<i>mirabilis</i>	
8516	1280	123815	<i>Urasterias lincki</i>	Echinodermata	Asteroidea	Forcipulatida	Asteriidae	<i>Urasterias</i>		<i>lincki</i>	
2152	7755	100832	<i>Urticina crassicornis</i>	Cnidaria	Anthozoa	Actiniaria	Actiniidae	<i>Urticina</i>		<i>crassicornis</i>	
3460	4252	141905	<i>Velutina velutina</i>	Mollusca	Gastropoda	Littorinimorpha	Velutinidae	<i>Velutina</i>		<i>velutina</i>	
3564	7776	138938	<i>Volutopsius norwegicus</i>	Mollusca	Gastropoda	Neogastropoda	Buccinidae	<i>Volutopsius</i>		<i>norwegicus</i>	
7691	2821	535546	<i>Wimvadocus torelli</i>	Arthropoda	Malacostraca	Amphipoda	Maeridae	<i>Wimvadocus</i>		<i>torelli</i>	
4451	7792	1472292	<i>Xylonora atlantica</i>	Mollusca	Bivalvia	Myida	Xylophagaidae	<i>Xylonora</i>		<i>atlantica</i>	
4074	4354	138672	<i>Yoldia</i>	Mollusca	Bivalvia	Nuculanida	Yoldiidae	<i>Yoldia</i>			

Symbole de la facilité d'identification



: Identification facile.



: Espèce(s) semblable(s). Attention de bien regarder les caractères distinctifs indiqués sur les fiches.



: Identification difficile, prendre plusieurs photos et rapporter le spécimen si possible.

Informations sur les fiches d'identification

Symbole de la facilité d'identification



Section sur l'écologie du taxon

Écologie

- Substrat : vase.
- Anémone d'eau froide.
- Certaines espèces de petits crustacés vivent en commensalisme avec cette anémone.

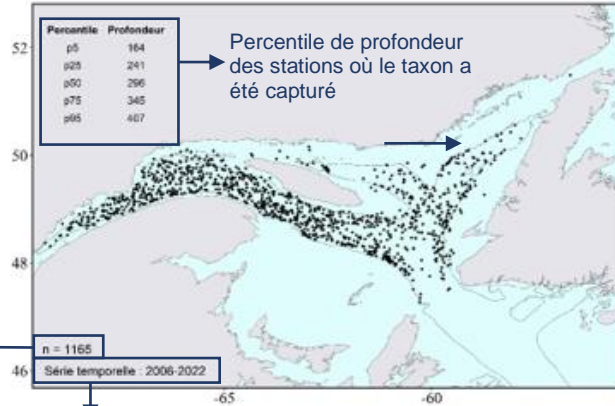
Nombre d'occurrence du taxon depuis 2004

Phylum Cnidaria

***Bolocera tuediae* (Johnston, 1832)**

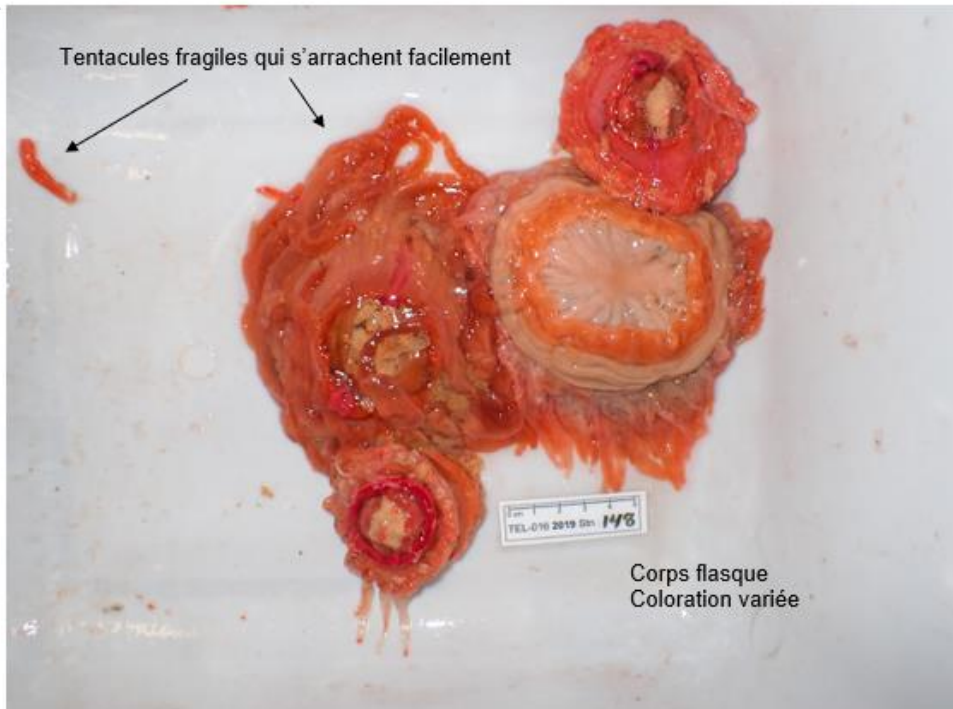
AphiaID: **100817**, STRAP: **2158**, RVAN: **7707**

Identifiants uniques du taxon selon différentes sources de données



Identification

La série temporelle correspond à la **première** et la **dernière** année où le taxon a été observé dans le relevé.



Informations et critères permettant d'identifier le taxon

Cnidaria

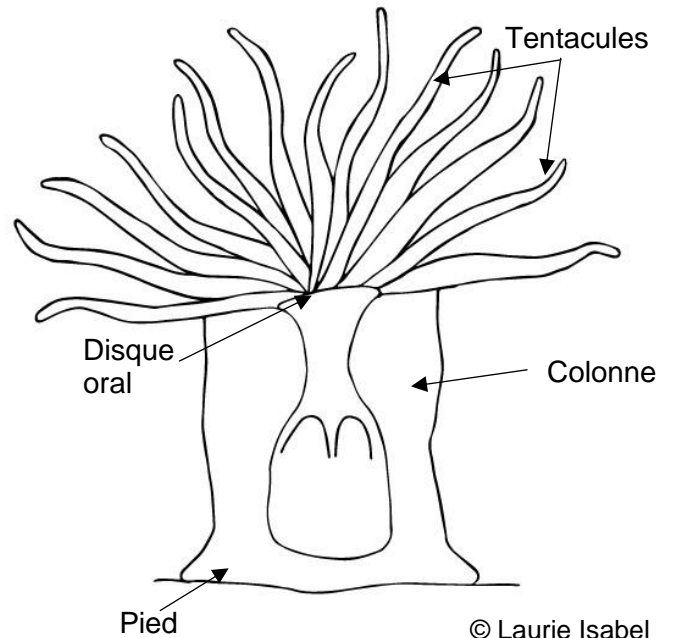
Phylum Cnidaria

Ordre Actiniaria (Hertwig, 1882)

AphiaID : 1360, STRAP: 2165, RVAN: 8208

Les anémones de mer sont des organismes sédentaires. Leur corps est entièrement mou. L'anatomie externe des anémones est presque entièrement formée de la **colonne**. Le **disque oral** se trouve sur la partie supérieure de l'organisme et est entouré par de longues **tentacules**. Ces dernières leur permettent de capturer leurs proies. Chez certaines espèces, elles recouvrent aussi l'ensemble de la colonne. La partie inférieure des anémones est formée par le **pied**. Sur des substrats durs, comme les fonds rocheux ou les coquillages, le pied est généralement attaché fermement. Sur les substrats meubles, le pied est généralement mobile pour permettre à l'anémone de se déplacer.

Onze espèces d'anémones de mer sont identifiées dans les captures des relevés NGSL. On observe aussi à chaque relevé quelques individus « inconnus » qui sont enregistrés à la classe Actiniaria.

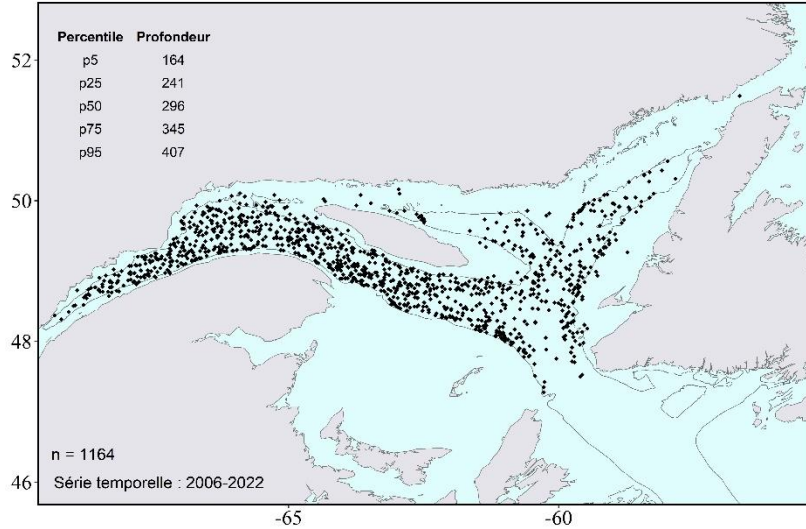




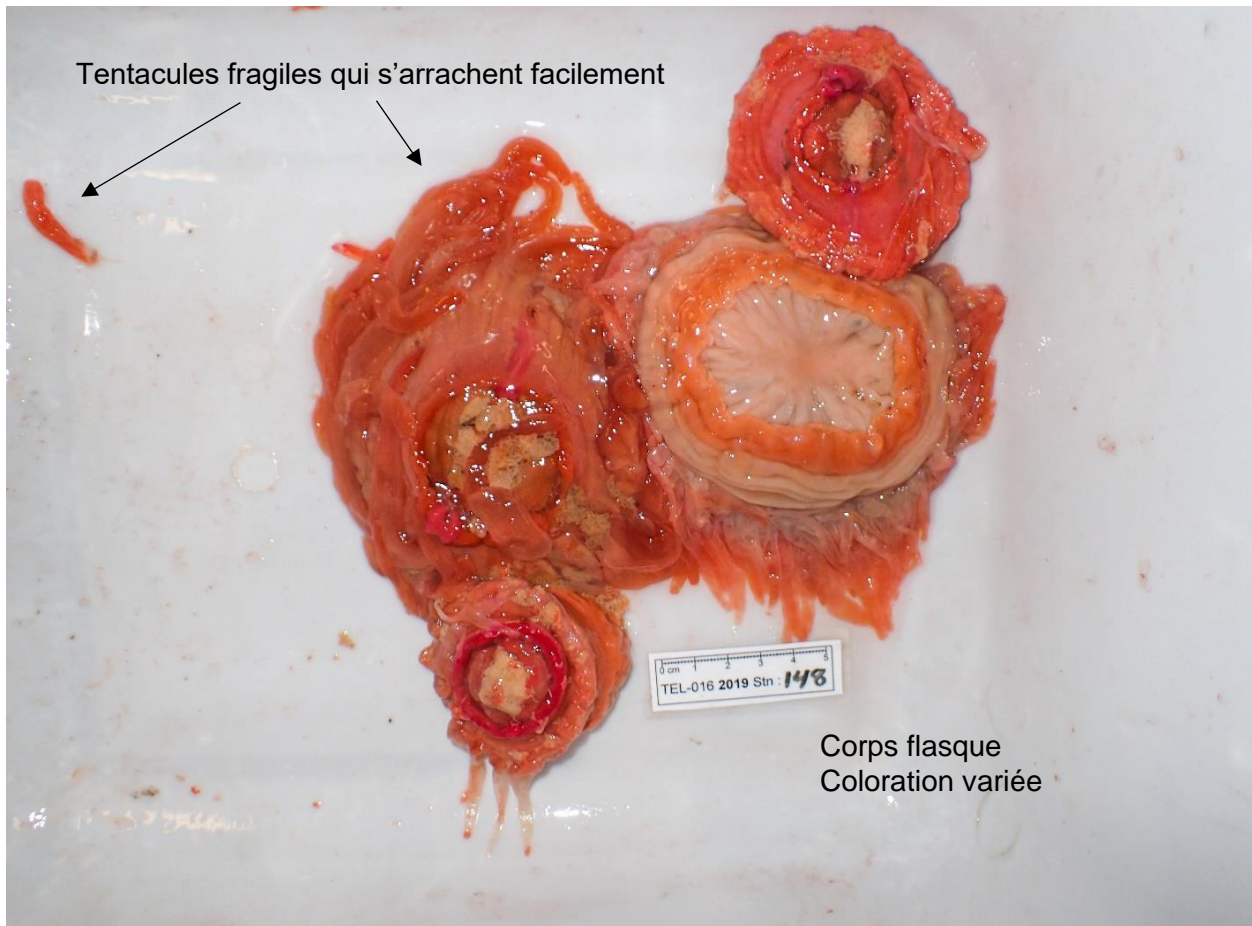
Bolocera tuediae (Johnston, 1832)
 AphialID: 100817, STRAP: 2158, RVAN: 7707

Écologie

- Substrat : vase.
- Anémone d'eau froide.
- Certaines espèces de petits crustacés vivent en commensalisme avec cette anémone.



Identification

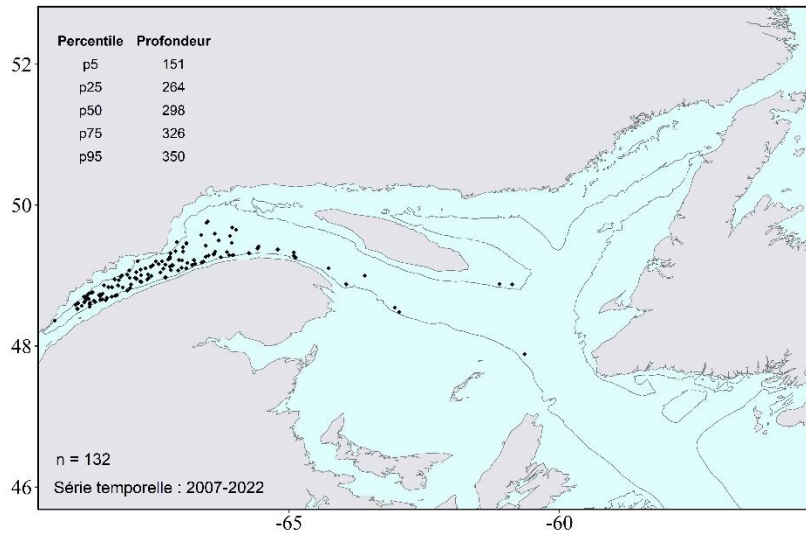




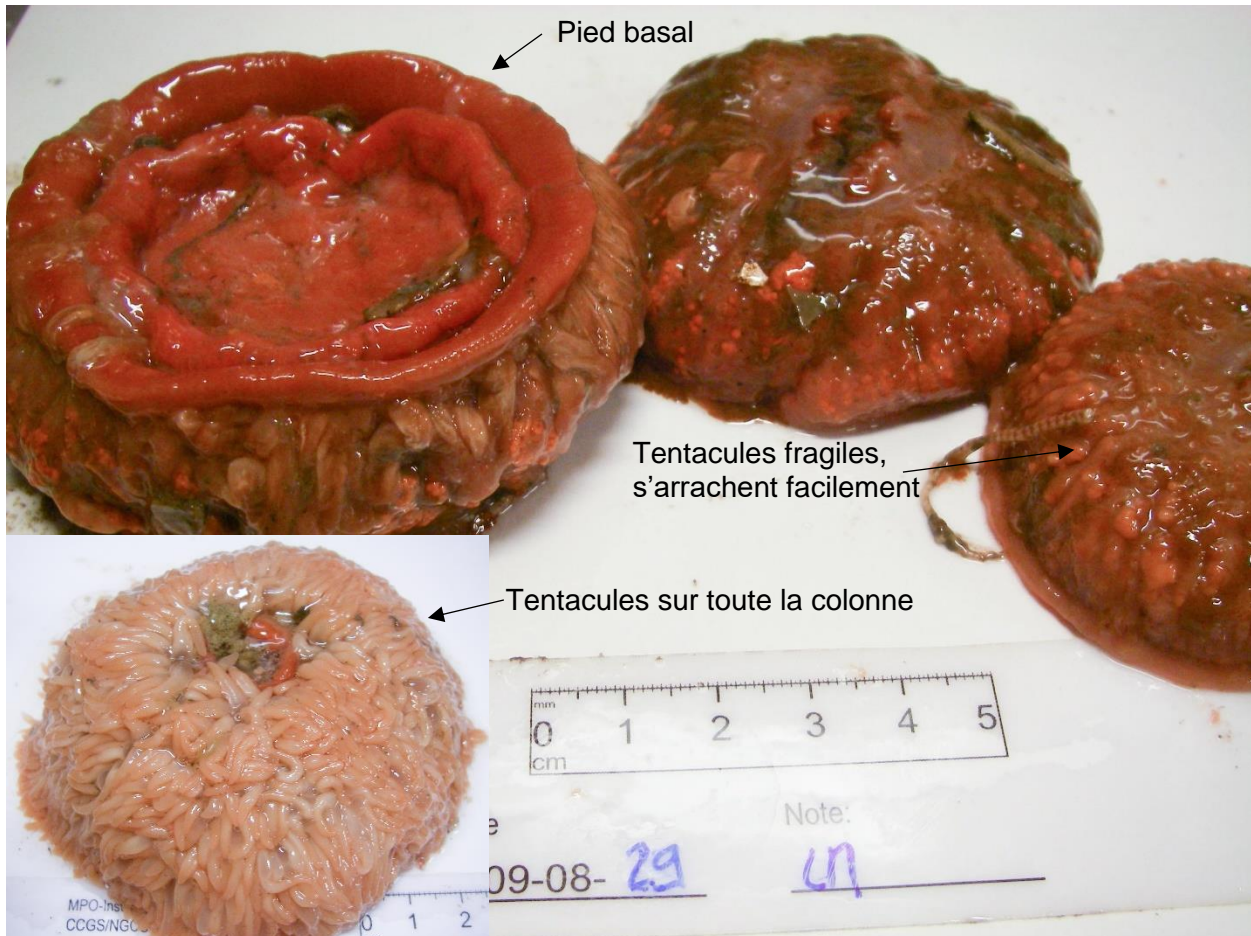
Liponema multicorne (Verrill, 1880)
 AphiaID: 593072, STRAP: 2207, RVAN: 7713

Écologie

- Substrat : tous types, mais préfère la vase.
- Ses nombreux tentacules servent de refuge pour plusieurs espèces de petits crustacés (ex. amphipode).



Identification

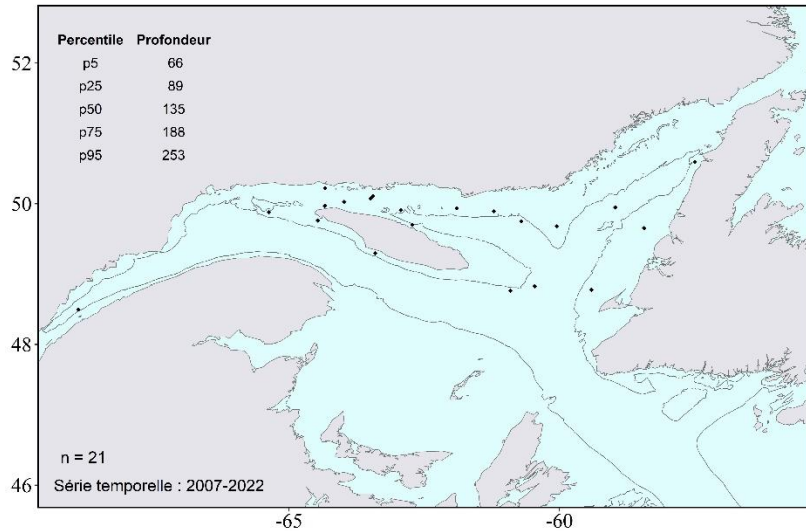




Urticina crassicornis (Müller, 1776)
 AphialID: 100832, STRAP: 2152, RVAN: 7755

Écologie

- Substrat : roche.



Identification

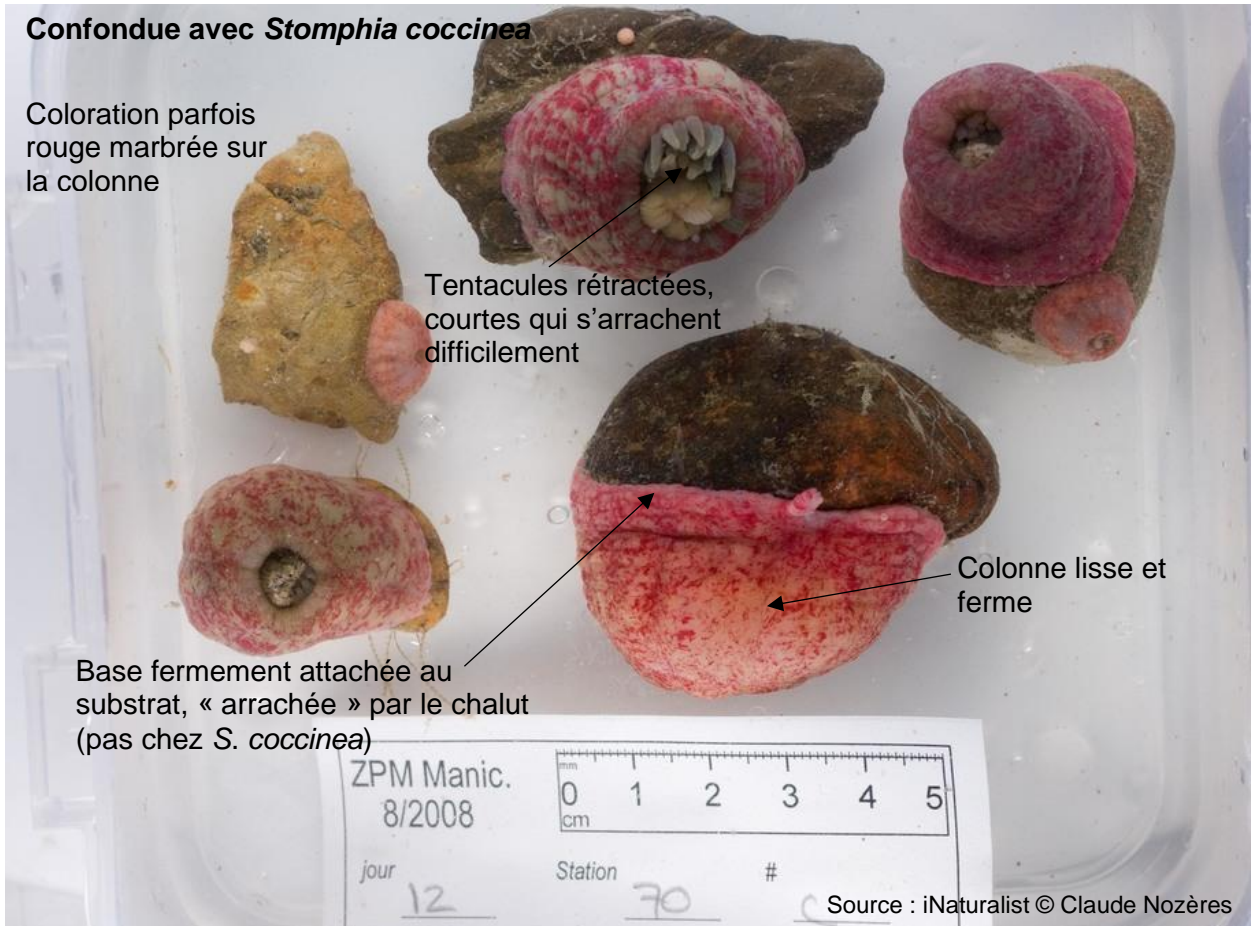
Confondue avec *Stomphia coccinea*

Coloration parfois rouge marbrée sur la colonne

Tentacules rétractées, courtes qui s'arrachent difficilement

Colonne lisse et ferme

Base fermement attachée au substrat, « arrachée » par le chalut (pas chez *S. coccinea*)

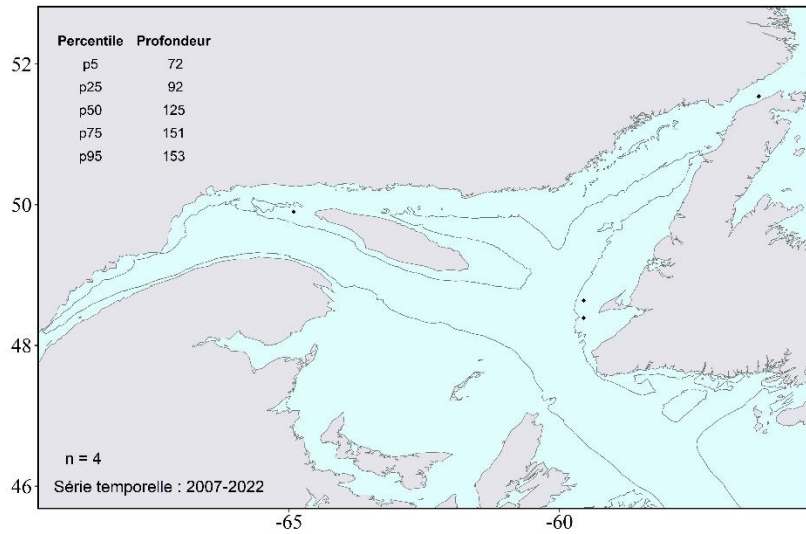




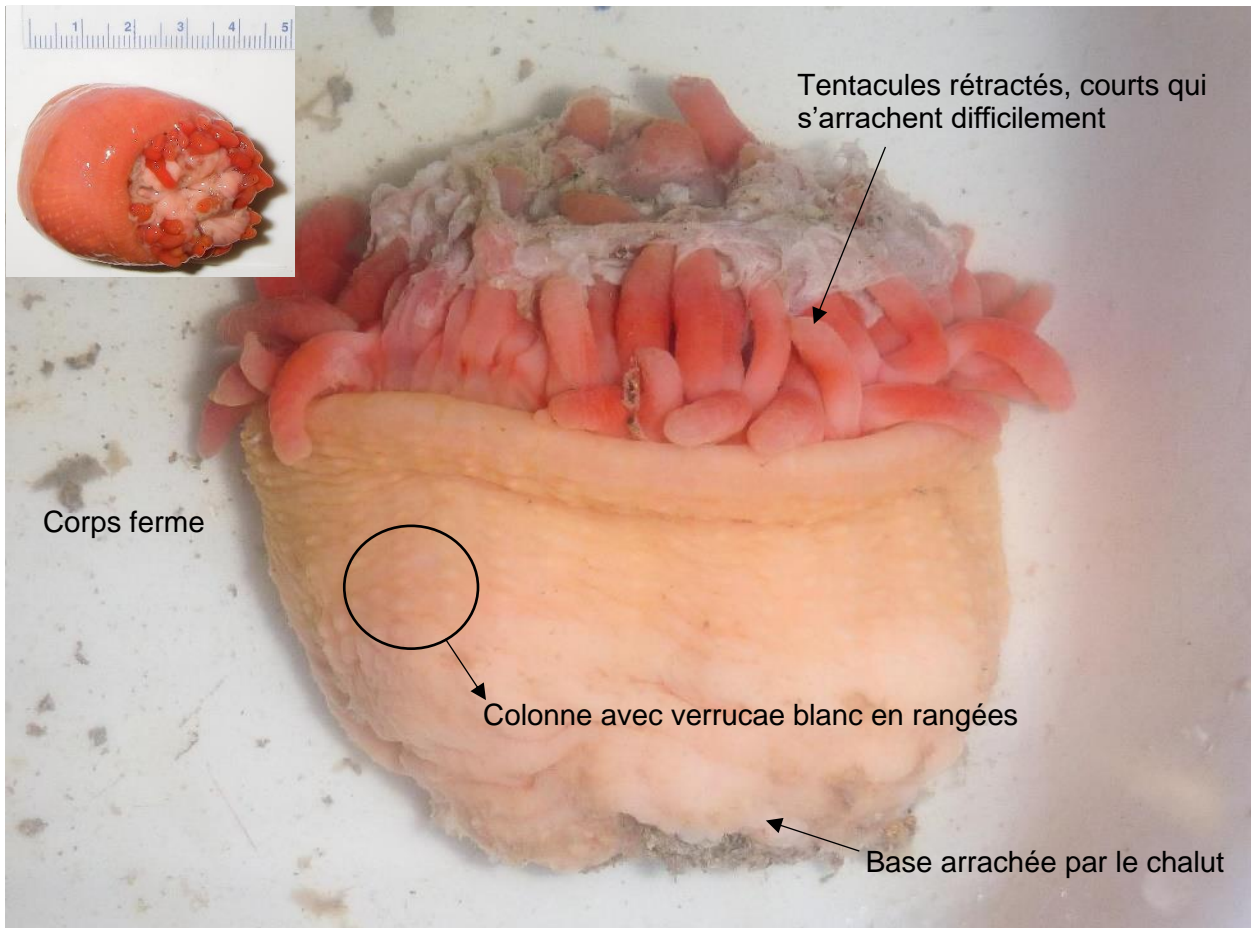
Cribrinopsis similis (Carlgren, 1921)
AphiaID: 100824, STRAP: 2151, RVAN: 7754

Écologie

- Substrat : roche.



Identification

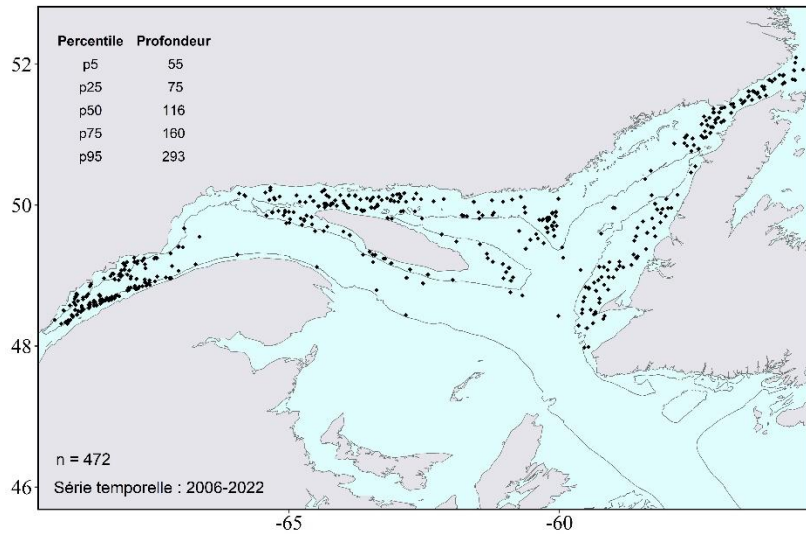




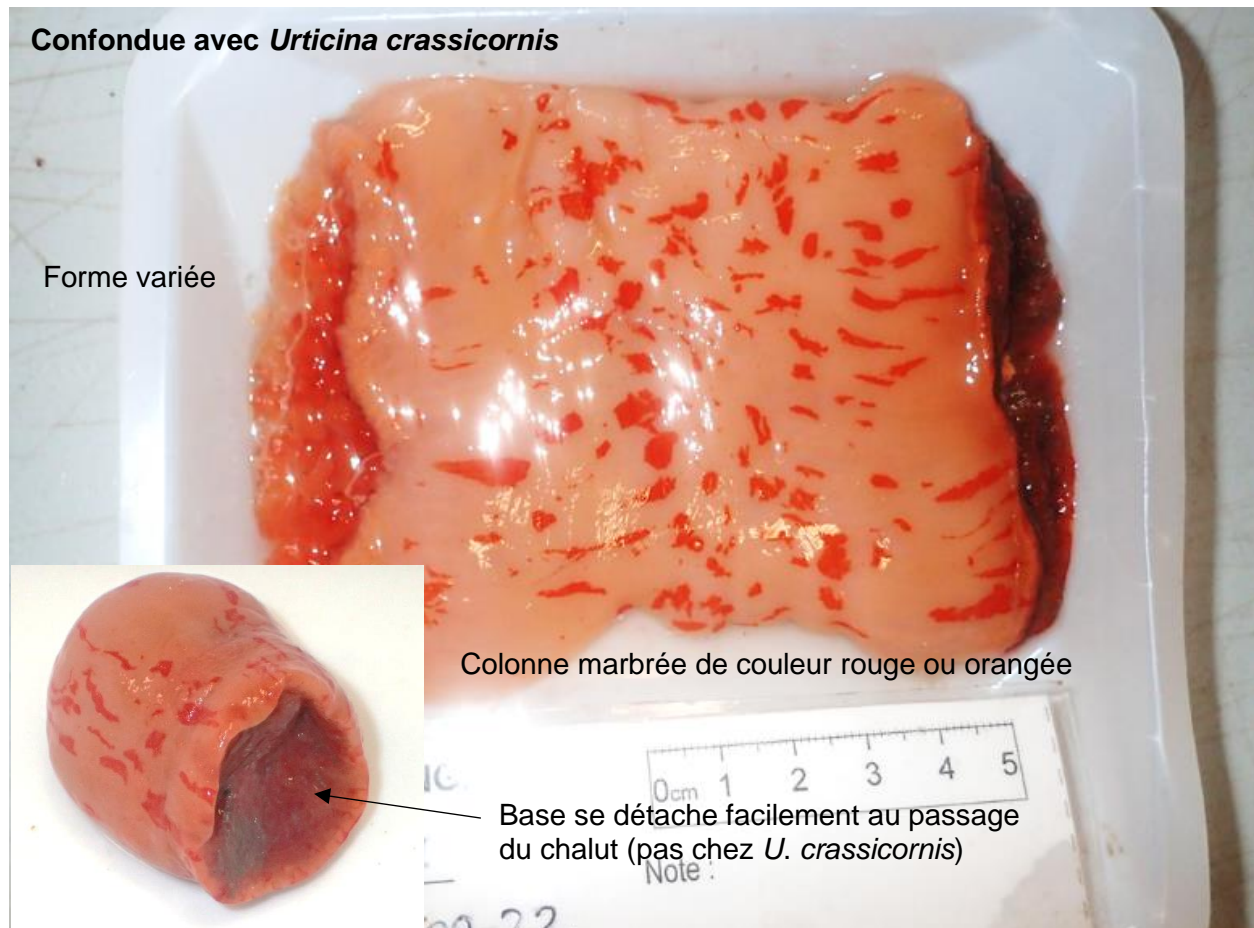
Stomphia coccinea (Müller, 1776)
 AphiaID: 100854, STRAP: 2173, RVAN: 8313

Écologie

- Substrat : vase, sable, roche.
- Capacité de fuite en nageant lorsqu'elle détecte la présence d'un prédateur à proximité.



Identification

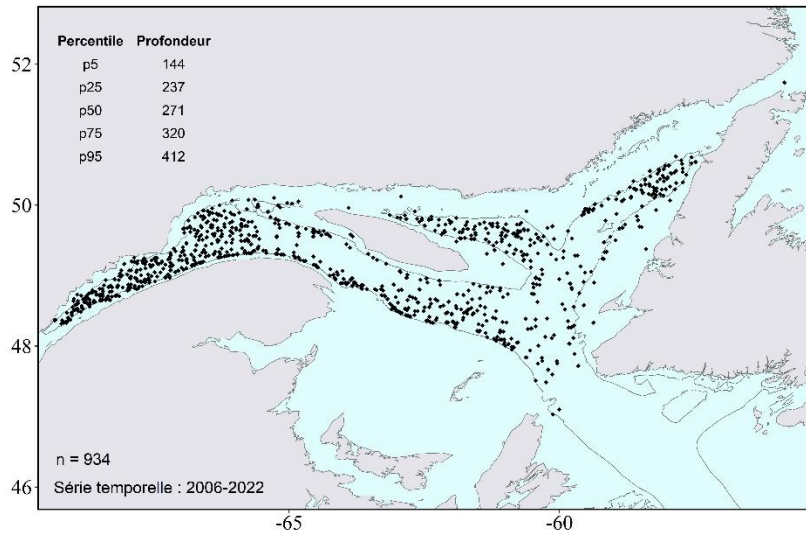




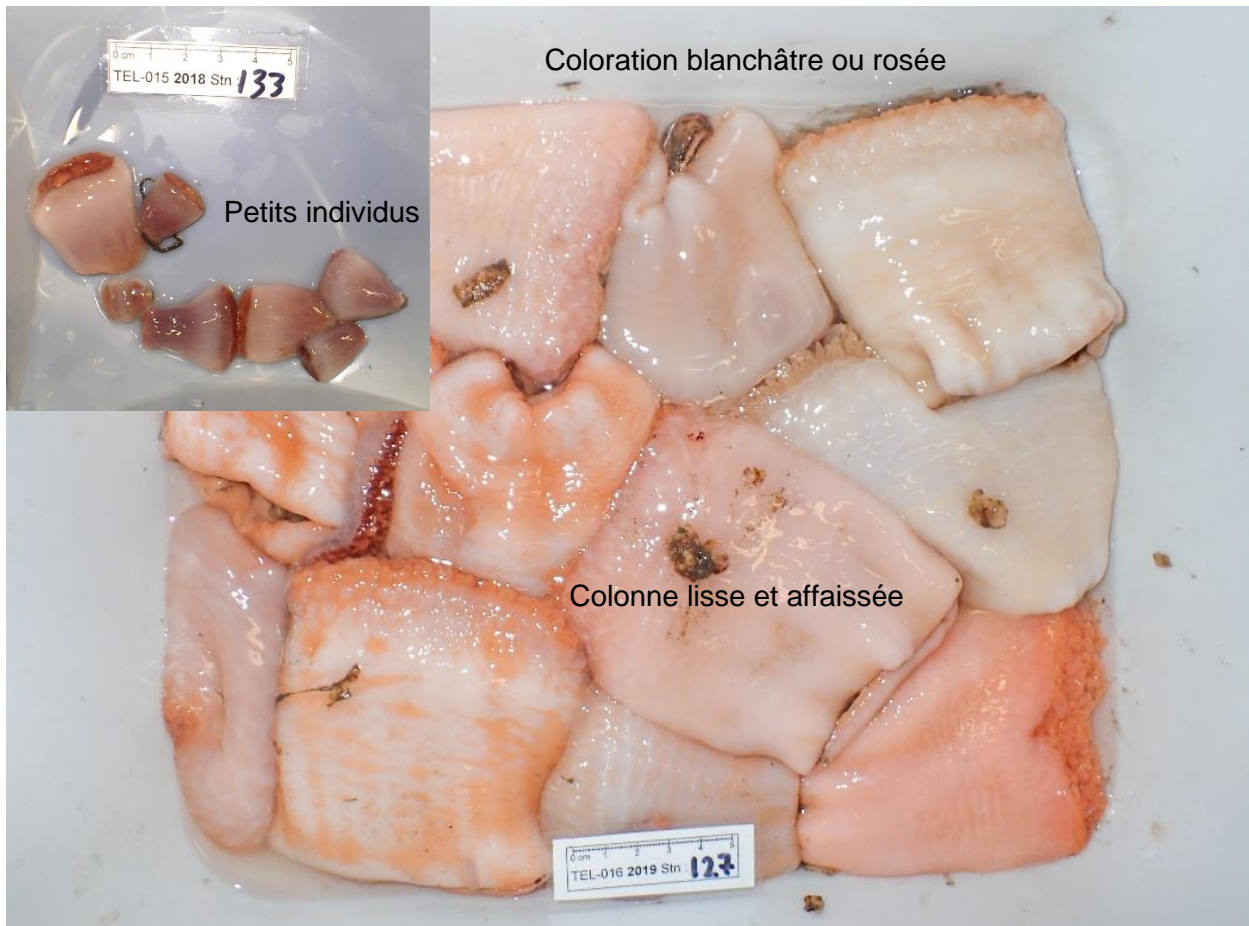
Actinostola callosa (Verrill, 1882)
AphiaID: 100839, STRAP: 2162, RVAN: 7708

Écologie

- Substrat : vase.
- Abondante dans l'estuaire du Saint-Laurent.



Identification



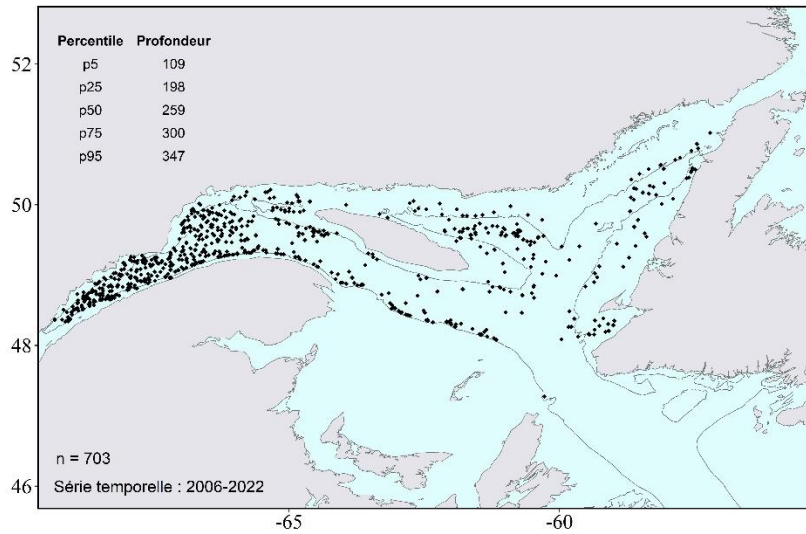


Actinauge cristata (Riemann-Zürneck, 1986)

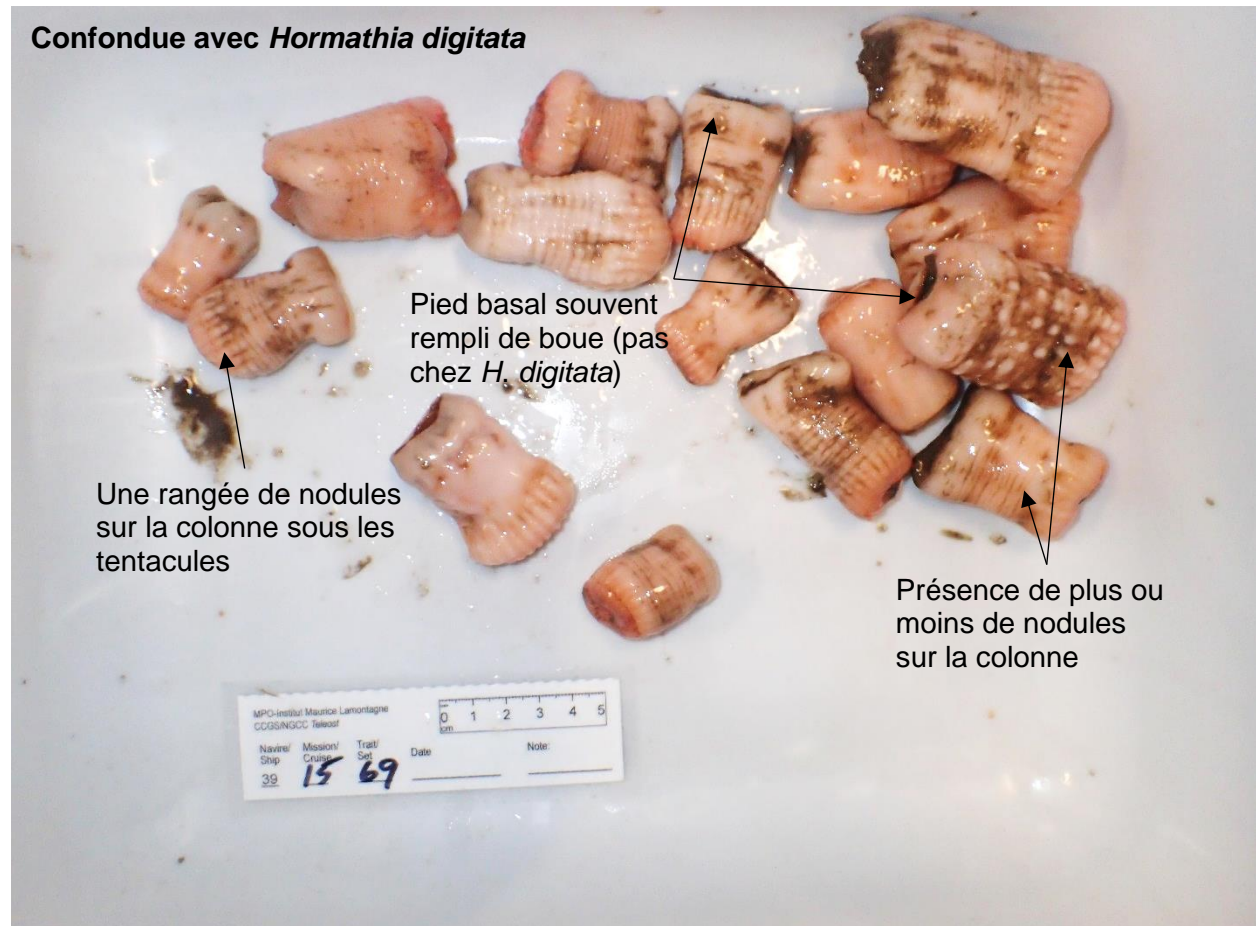
AphiaID: 158210, STRAP: 2182, RVAN: 7709

Écologie

- Substrat : vase.
- Abondante dans l'estuaire du Saint-Laurent.



Identification

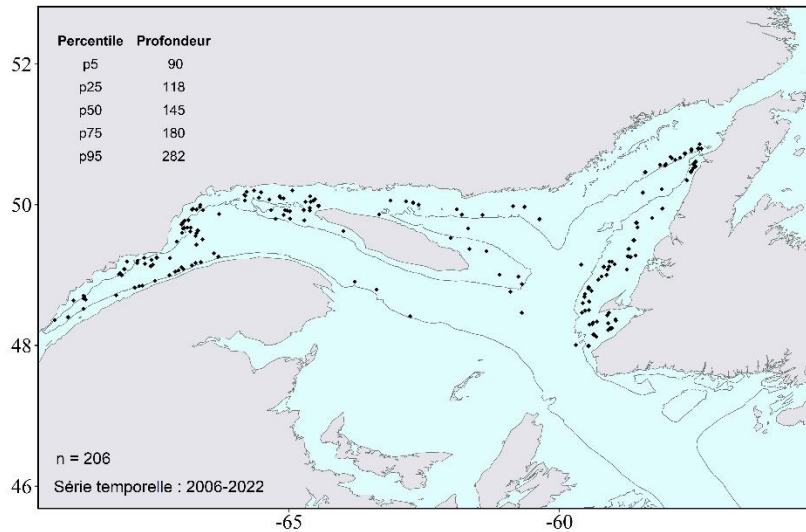




Hormathia digitata (O.F. Müller, 1776)
 AphiaID: 100951, STRAP: 2150, RVAN: 7753

Écologie

- Substrat : roche, coquillage ou autres substrats durs.
- Association fréquente avec des gastéropodes, particulièrement les espèces de la famille Buccinidae.



Identification

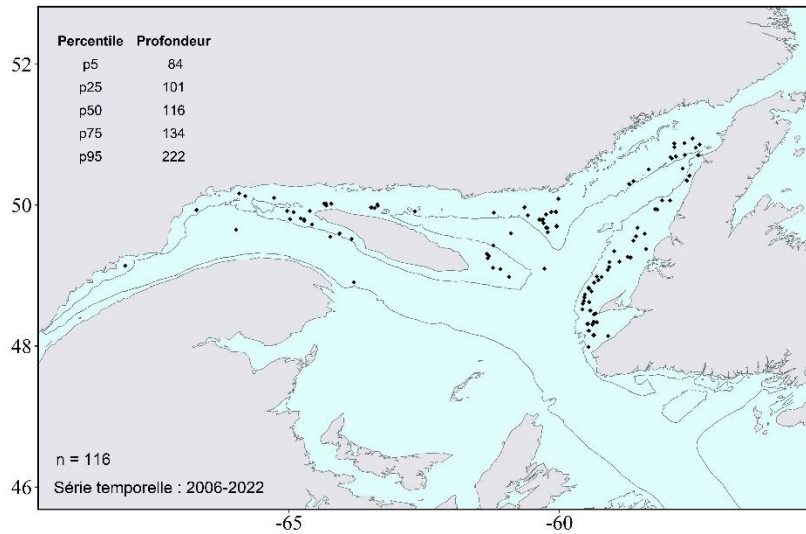




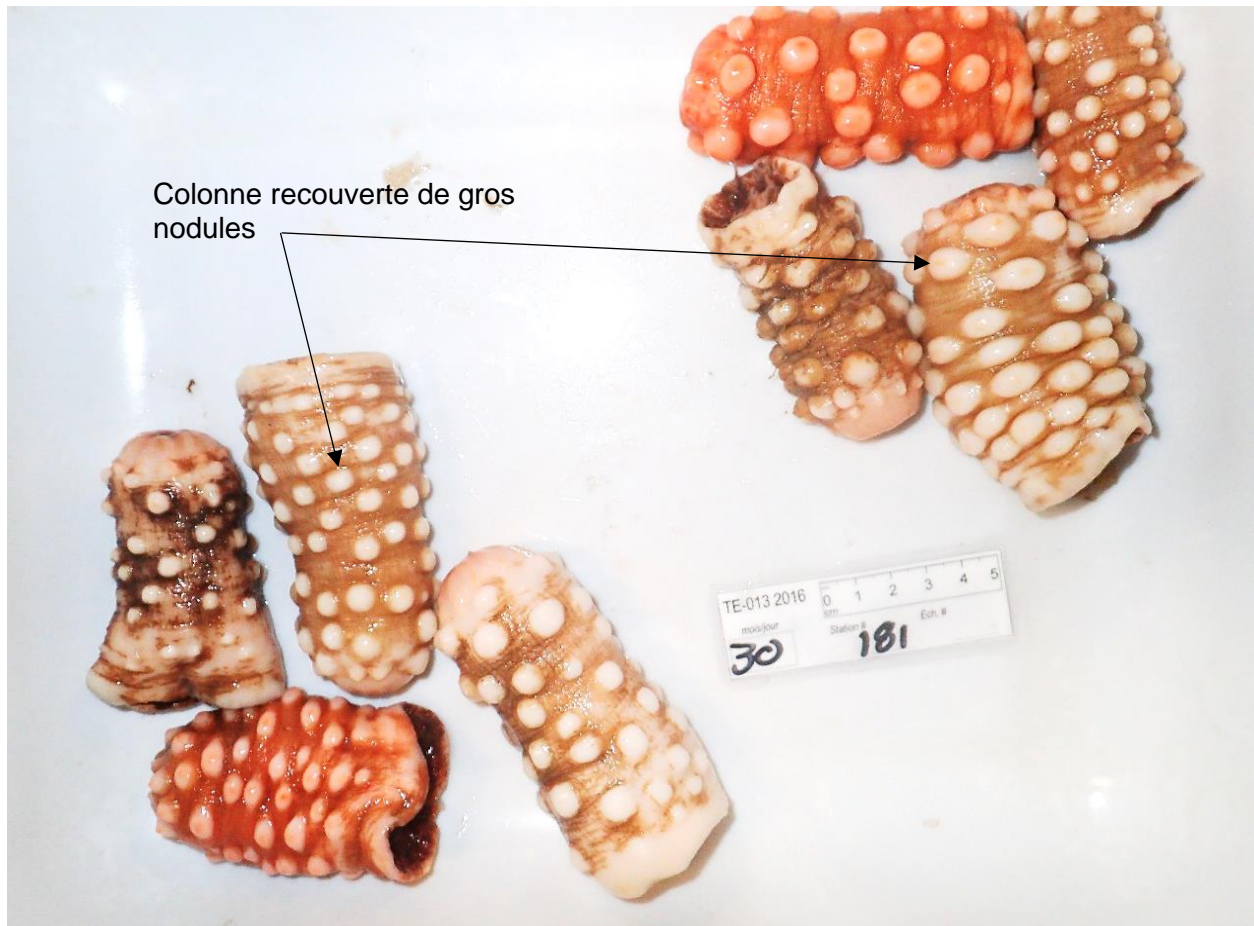
Hormathia nodosa (Fabricius, 1780)
AphiaID: 100954, STRAP: 2167, RVAN: 8622

Écologie

- Substrat : roche.
- Espèce d'eaux froides.
- Associée à la couche intermédiaire froide dans le NGSL.



Identification

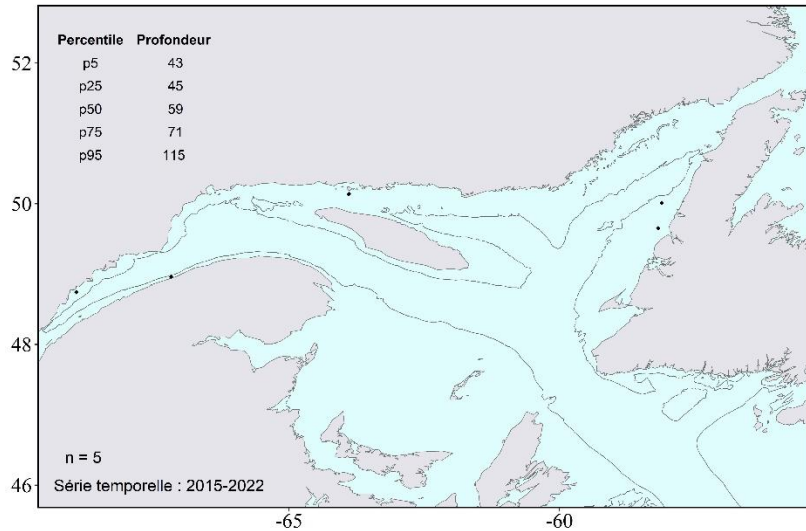




Metridium senile (Linnaeus, 1761)
 AphiaID: 100982, STRAP: 2171, RVAN: 8311

Écologie

- Substrat : roche.
- Reproduction asexuée fréquente par lacération de la base d'un individu qui engendre des populations denses.



Identification

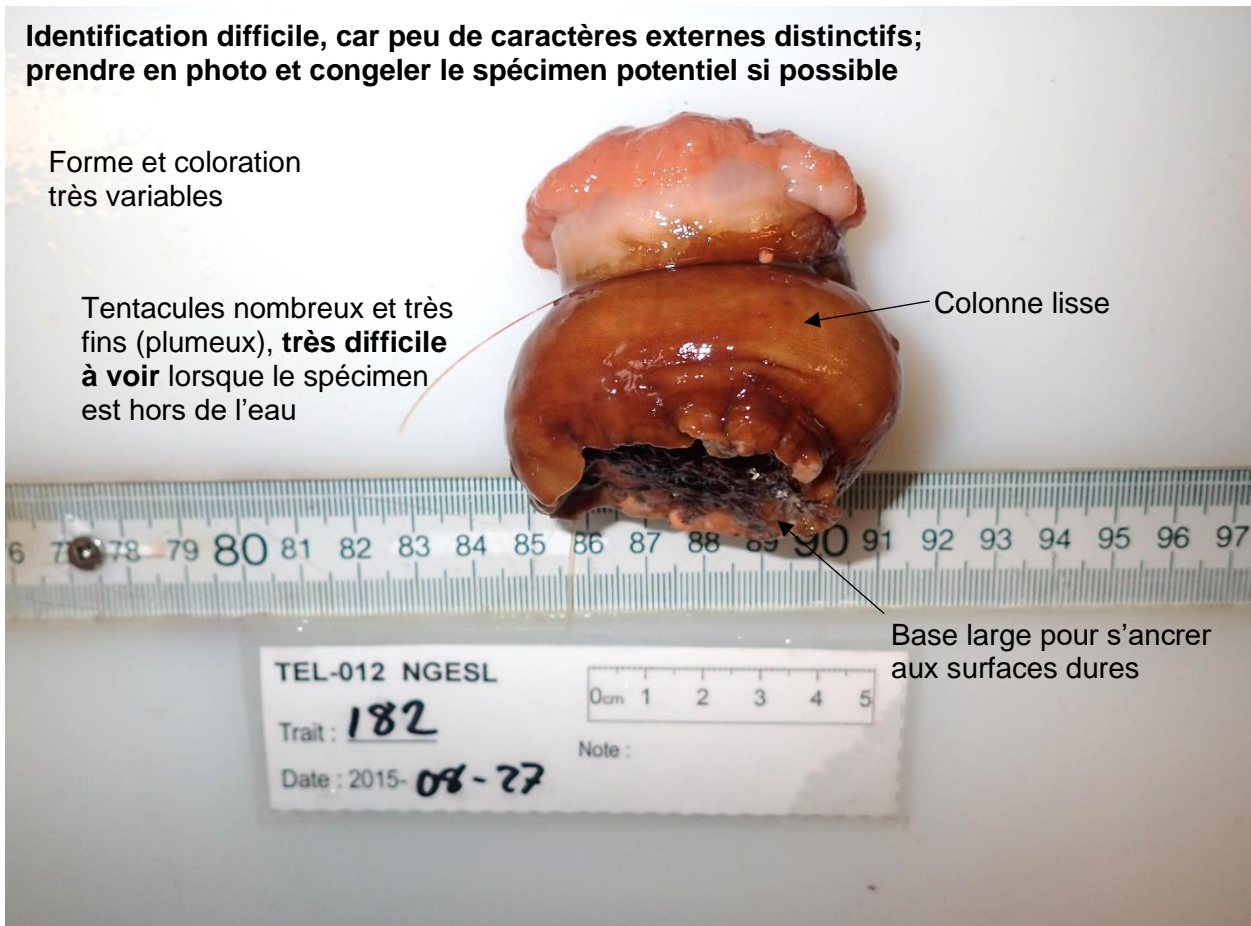
Identification difficile, car peu de caractères externes distinctifs; prendre en photo et congeler le spécimen potentiel si possible

Forme et coloration très variables

Tentacules nombreux et très fins (plumeux), **très difficile à voir** lorsque le spécimen est hors de l'eau

Colonne lisse

Base large pour s'ancrer aux surfaces dures

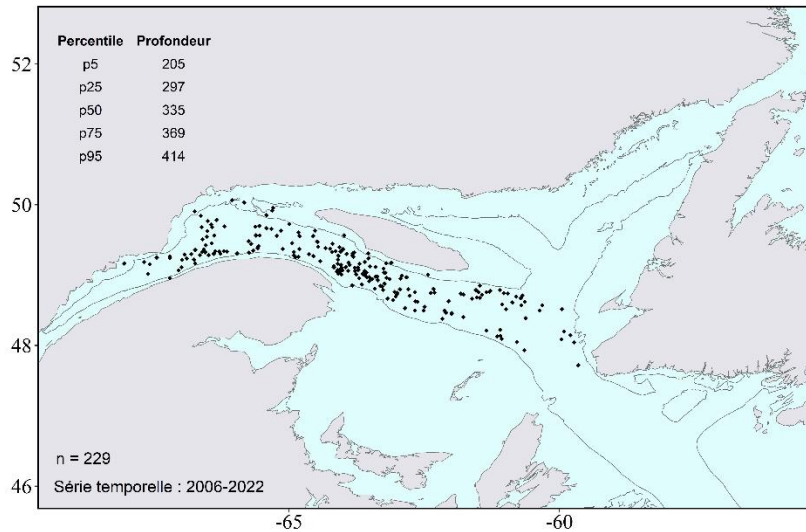




***Stephanauge nexilis* (Verrill, 1883)**
 AphiaID: 158258, STRAP: 2159, RVAN: 8351

Écologie

- Substrat : sable.
- Ectobionte facultatif de la plume de mer *Balticina finmarchica*. S'attache au rachis de la plume, généralement, sur la portion supérieure.



Identification

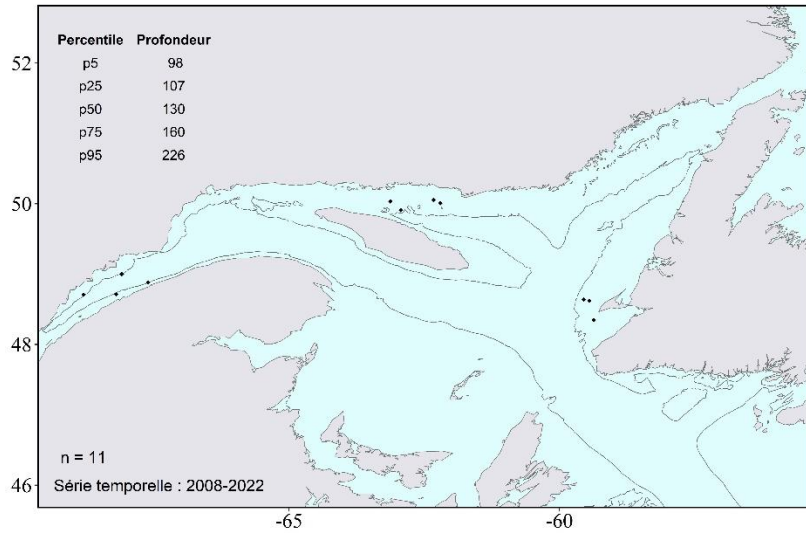




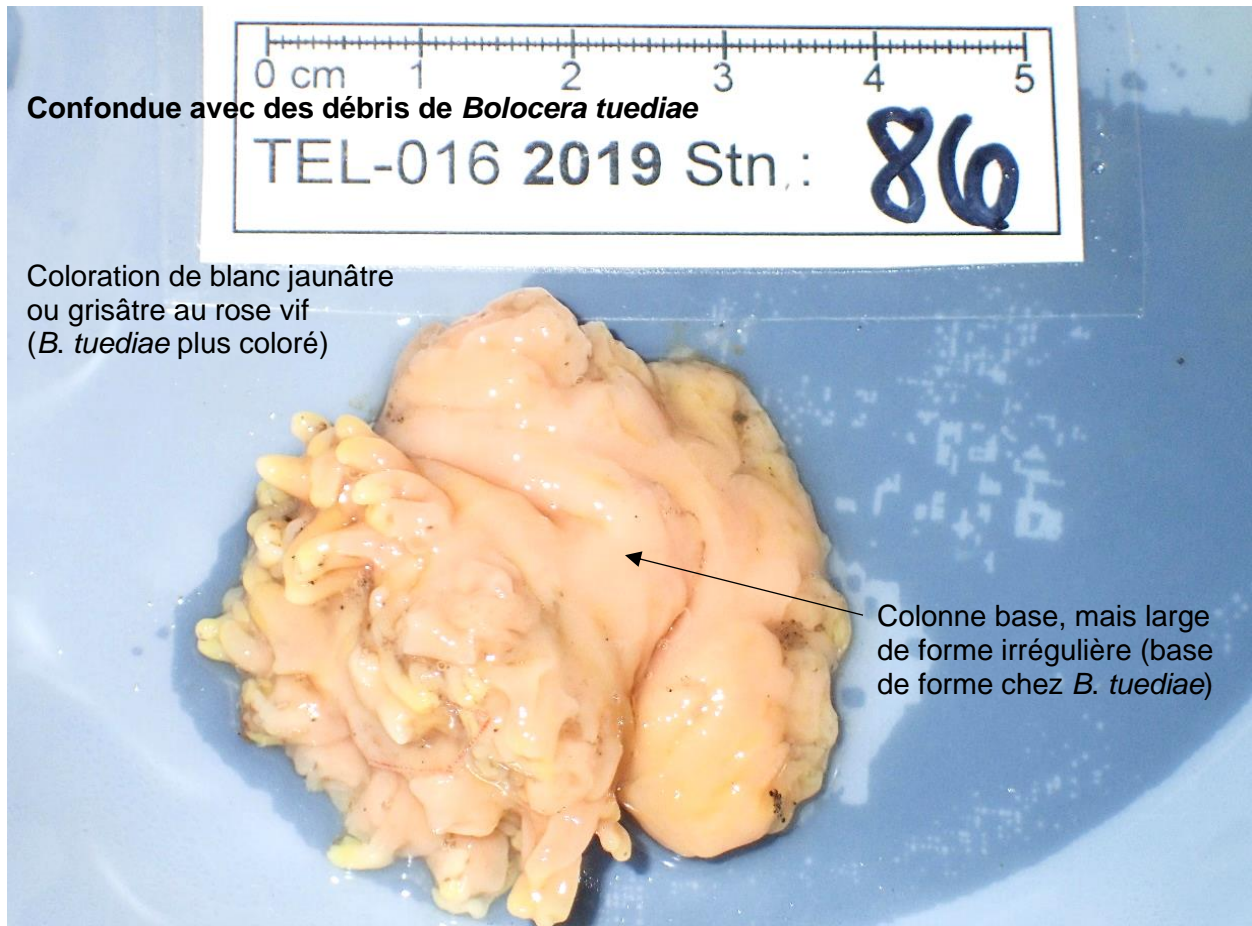
Ptychodactis patula (Appellöf, 1893)
 AphiaID: 101020, STRAP: 2153, RVAN: 7756

Écologie

- Substrat : roche.



Identification



Phylum Cnidaria

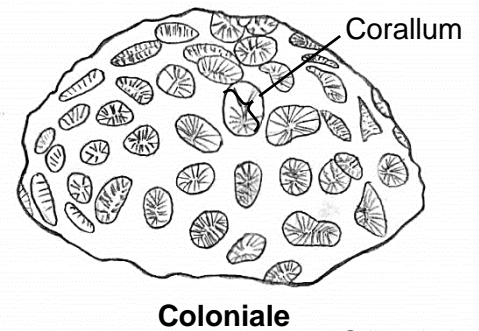
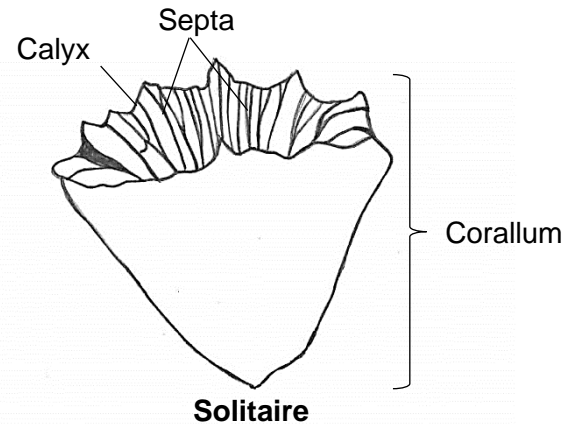
Ordre Scleractinia (Bourne, 1900) AphiaID: 1363, STRAP: 2220, RVAN: 8530

Les scléractinaires forment le principal groupe des coraux durs. Ils se retrouvent en tant qu'individu solitaire (polype unique) ou en tant que colonie (regroupement de polypes). Le squelette caractéristique de ce groupe est constitué d'aragonite et se construit à mesure que le polype grandit.

Chez les coraux solitaires, le squelette, appelé **corallum**, est généralement en forme de coupe et n'atteint pas plus d'une dizaine de centimètre de largeur. Le corallum se termine en dépression concave, appelée **calyx**, qui abrite le polype. Le calyx porte des extensions, appelées **septa**, qui traversent la portion interne du squelette. Les tentacules du polype sont très semblables à celles des anémones.

Chez les coraux coloniaux, la forme du squelette est beaucoup plus variable que chez les coraux solitaires. Elle dépend fortement de l'habitat dans lequel ils vivent. Les colonies robustes se retrouvent dans les habitats soumis à l'action des vagues, tandis que les formes ramifiées et délicates sont associées à des habitats plus calmes. La colonie entière se nomme **corallum**. Chaque polype individuel est appelé corallite et possède son propre squelette qui est joint au reste de la colonie.

Une seule espèce de scléractinaire est présente dans le golfe du Saint-Laurent, soit le corail solitaire *Flabellum (Ulocyathus) alabastrum*. D'autres espèces de *Flabellum* sont toutefois présentes dans le chenal Laurentien au sud de Terre-Neuve, mais aucune observation de ces espèces n'a été faite dans le golfe du Saint-Laurent à ce jour.



© Laurie Isabel

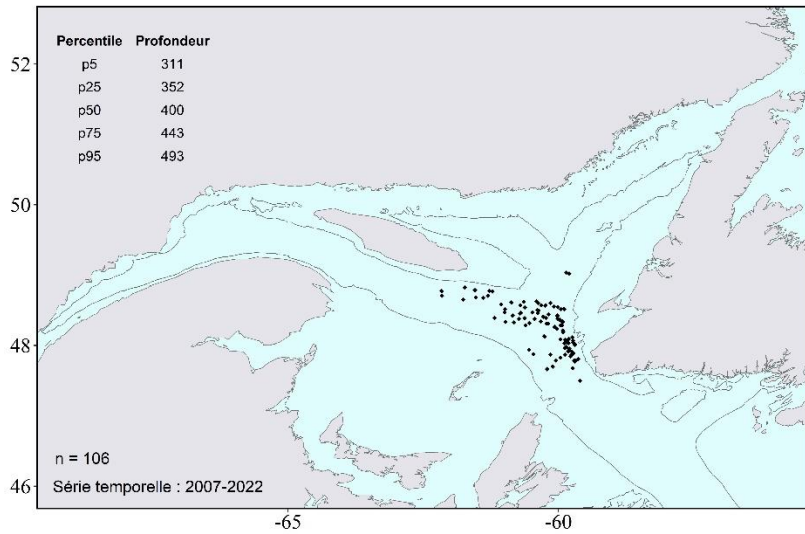


Flabellum (Ulocyathus) alabastrum (Moseley, 1876)

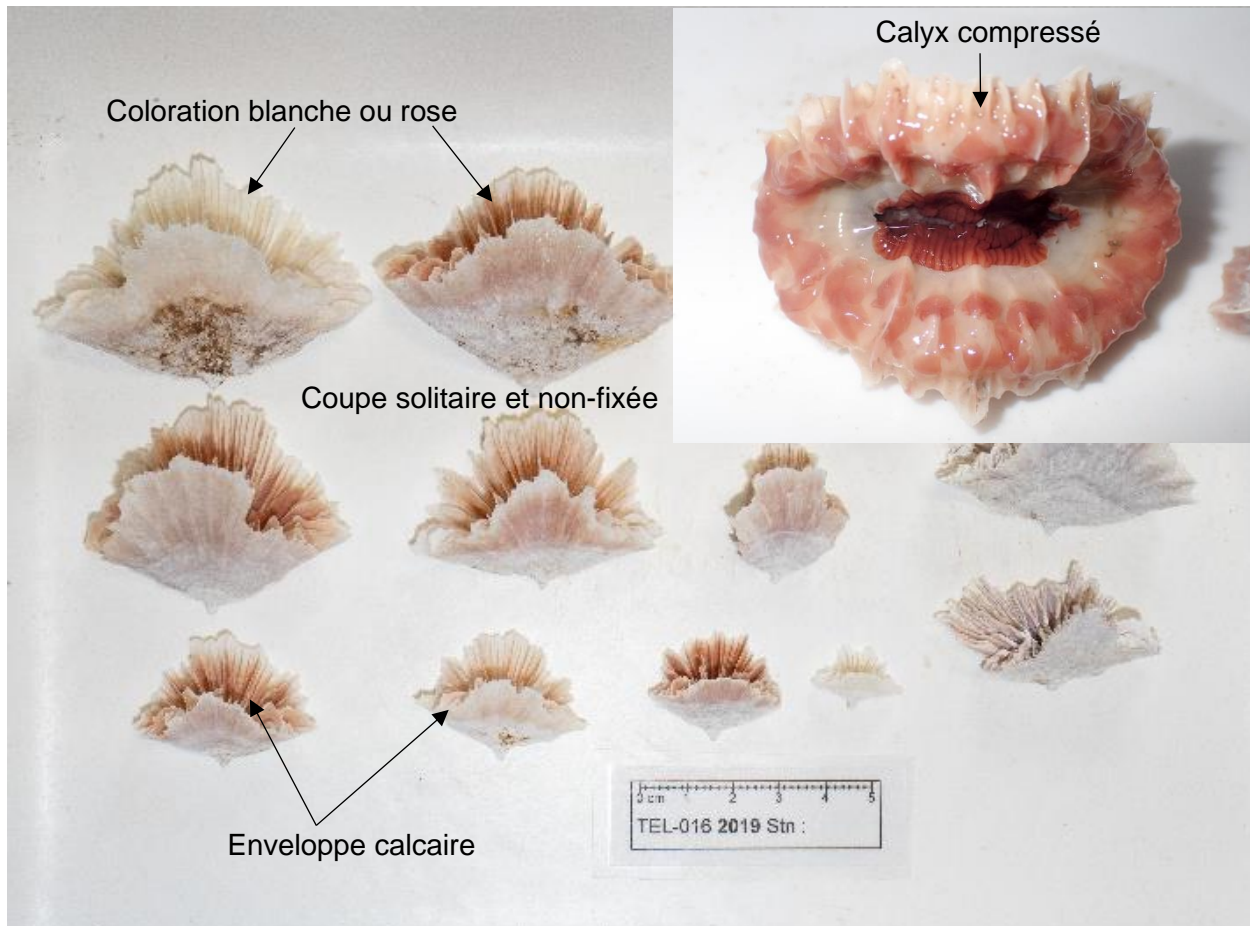
AphiaID: 135194, STRAP: 2224, RVAN: 8362

Écologie

- Substrat : sable, vase.
- Forme des agrégations de plusieurs individus, peut-être pour faciliter la reproduction.



Identification

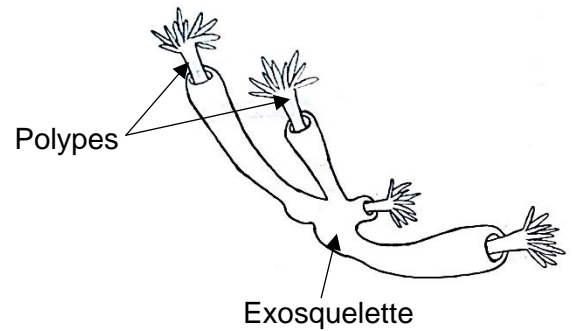


Phylum Cnidaria

Ordre **Zoantharia** (Gray, 1832) AphiaID: **607338**, STRAP: -, RVAN: -

Les zoanthidés sont des animaux marins coloniaux relativement peu étudiés qui possèdent une grande diversité de formes corporelle. Leur morphologie est très semblable à celle des anémones. Ils se distinguent cependant de ces derniers par la capacité de plusieurs à se fabriquer un **exosquelette** en combinant du sable et de petites roches, et en reliant plusieurs **polypes**.

Deux espèces de zoanthidés appartenant au genre *Epizoanthus* sont documentées dans les captures du relevé NGSL. L'espèce *E. erdmanni* est commune dans le relevé alors que l'espèce *E. papillosus* a été observée une seule fois.



© Laurie Isabel

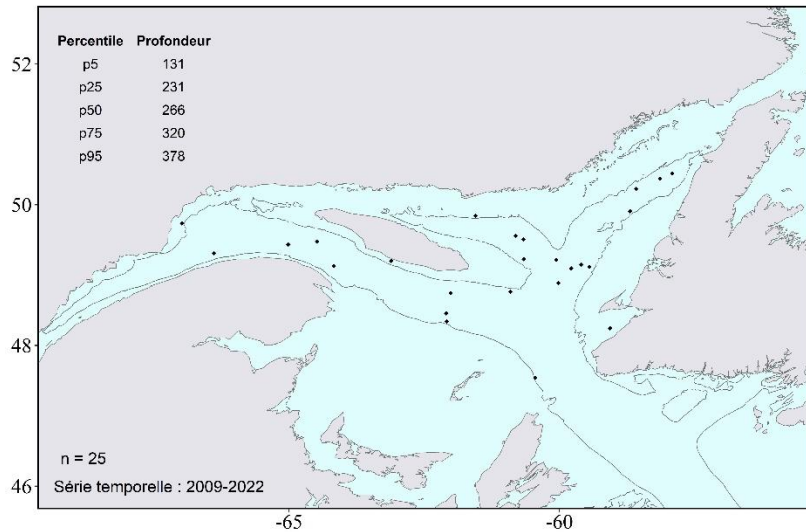


Epizoanthus erdmanni (Danielssen, 1890)

AphiaID: 101027, STRAP: 2156, RVAN: 7757

Écologie

- Substrat : sable.



Identification

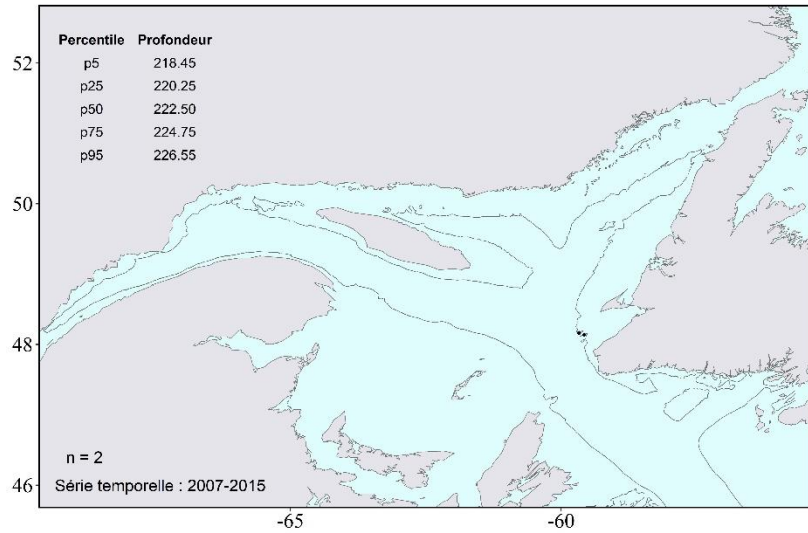




Epizoanthus papillosus (Johnston, 1842)
AphiaID: 101037, STRAP: 2178, RVAN: 8321

Écologie

- Substrat : ND.
- Vit commensalement avec les bernard l'hermite, *Pagurus* sp.



Identification



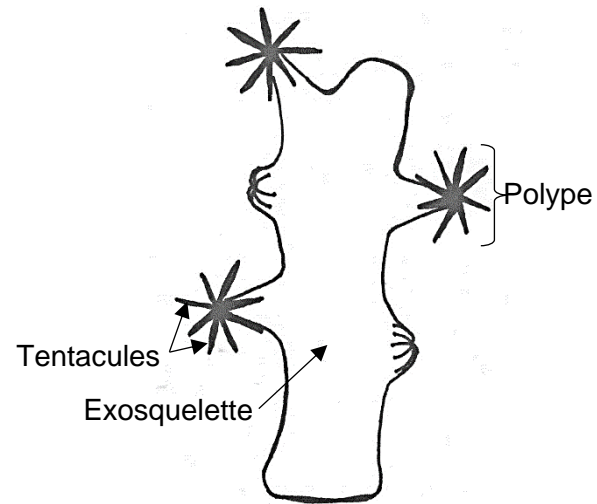
Phylum Cnidaria

Ordre **Malacalcyonacea** (McFadden, van Ofwegen & Quattrini, 2022)

AphiaID: **1609357**, STRAP: -, RVAN: -

Les malacalcyonacés forment l'un des deux groupes d'octocoraux. Aucun trait morphologique unique ou groupe de traits ne les définissent, rendant leur classification difficile. De façon générale, ils sont formés de plusieurs petits **polypes** portant huit **tentacules** et reliés par un **exosquelette** commun. Certaines espèces s'ancrent solidement par leur pied sur des surfaces dures telles que des roches alors que d'autres enfouissent la partie distale de leur corps dans le sédiment. Les malacalcyonacés peuvent donc être retrouvés sur une multitude de substrats différents.

Quatre espèces de malacalcyonacés sont capturées dans le relevé NGSL : *Drifa glomerata*, *Duva florida*, *Gersemia rubiformis* et *Gersemia fruticosa*. Deux de ces espèces sont parfois difficiles à distinguer et nécessitent une analyse de leurs sclérites sous binoculaire pour confirmer l'identification.



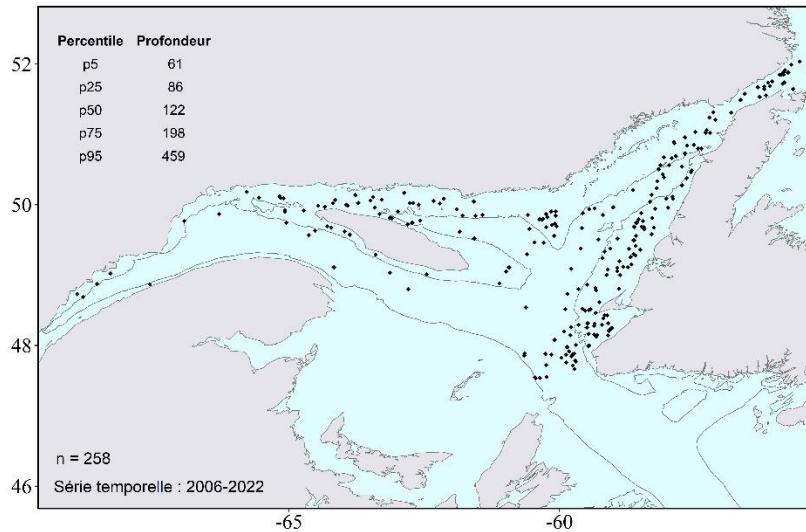
© Laurie Isabel



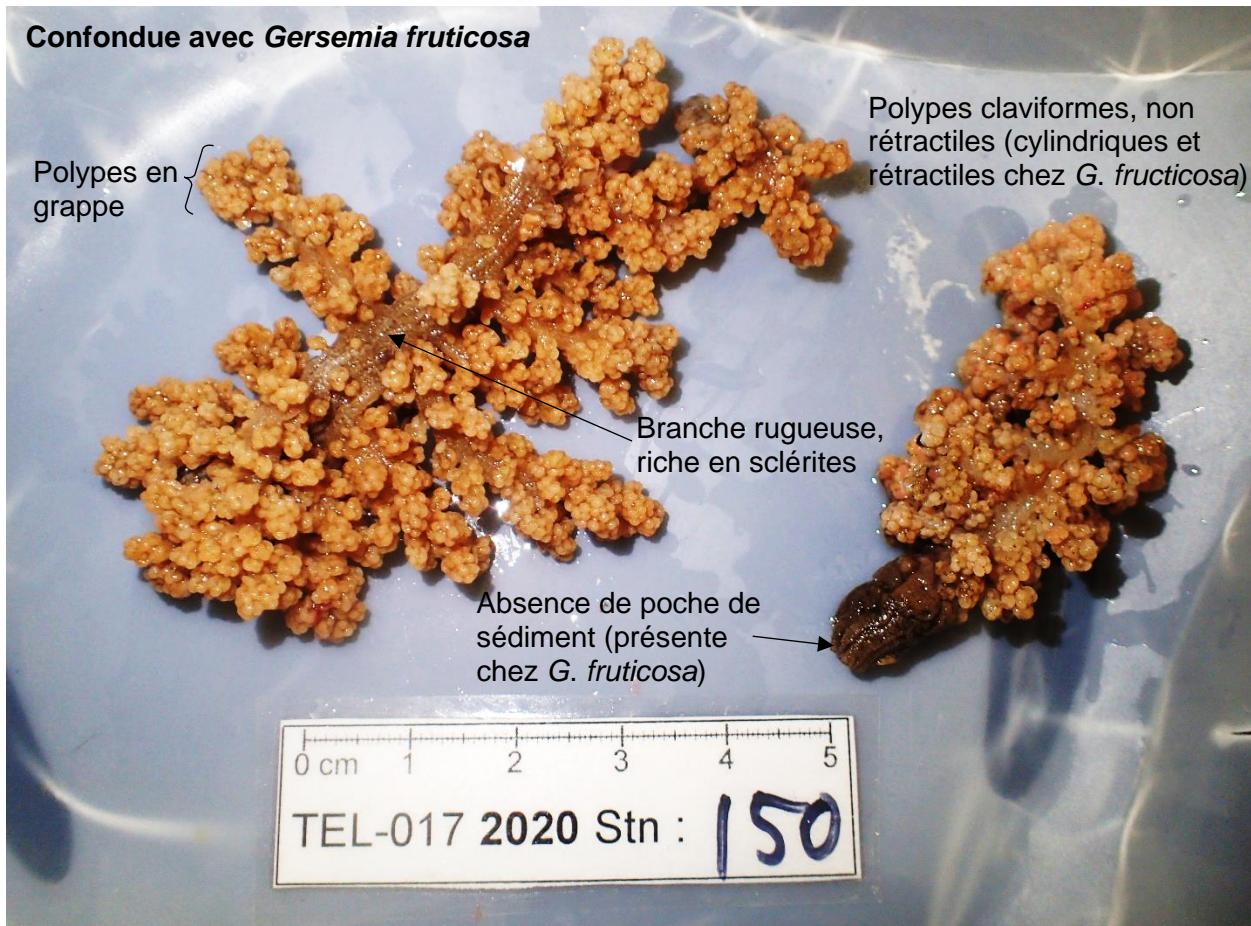
Drifa glomerata (Verrill, 1869)
 AphiaID: 146941, STRAP: 2191, RVAN: 7711

Écologie

- Substrat : roche.
- Les occurrences dans les chenaux profonds probablement *Gersemia fruticosa*).
- Habitat pour les gorgonocéphales juvéniles.



Identification

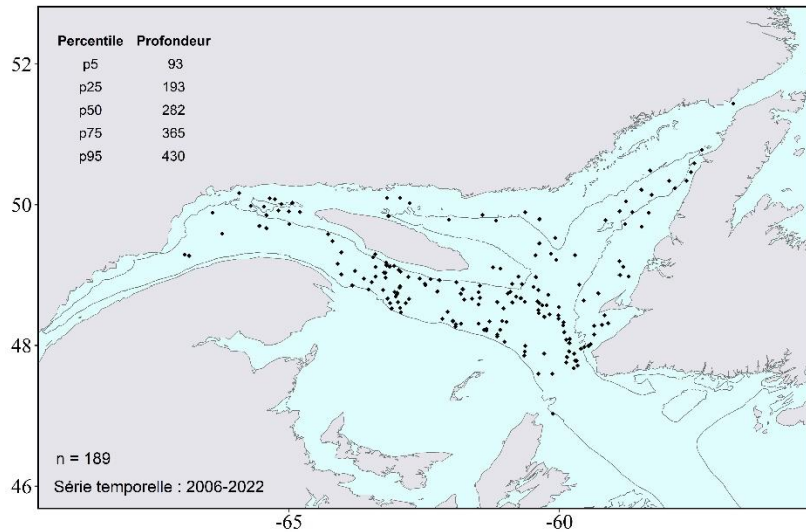




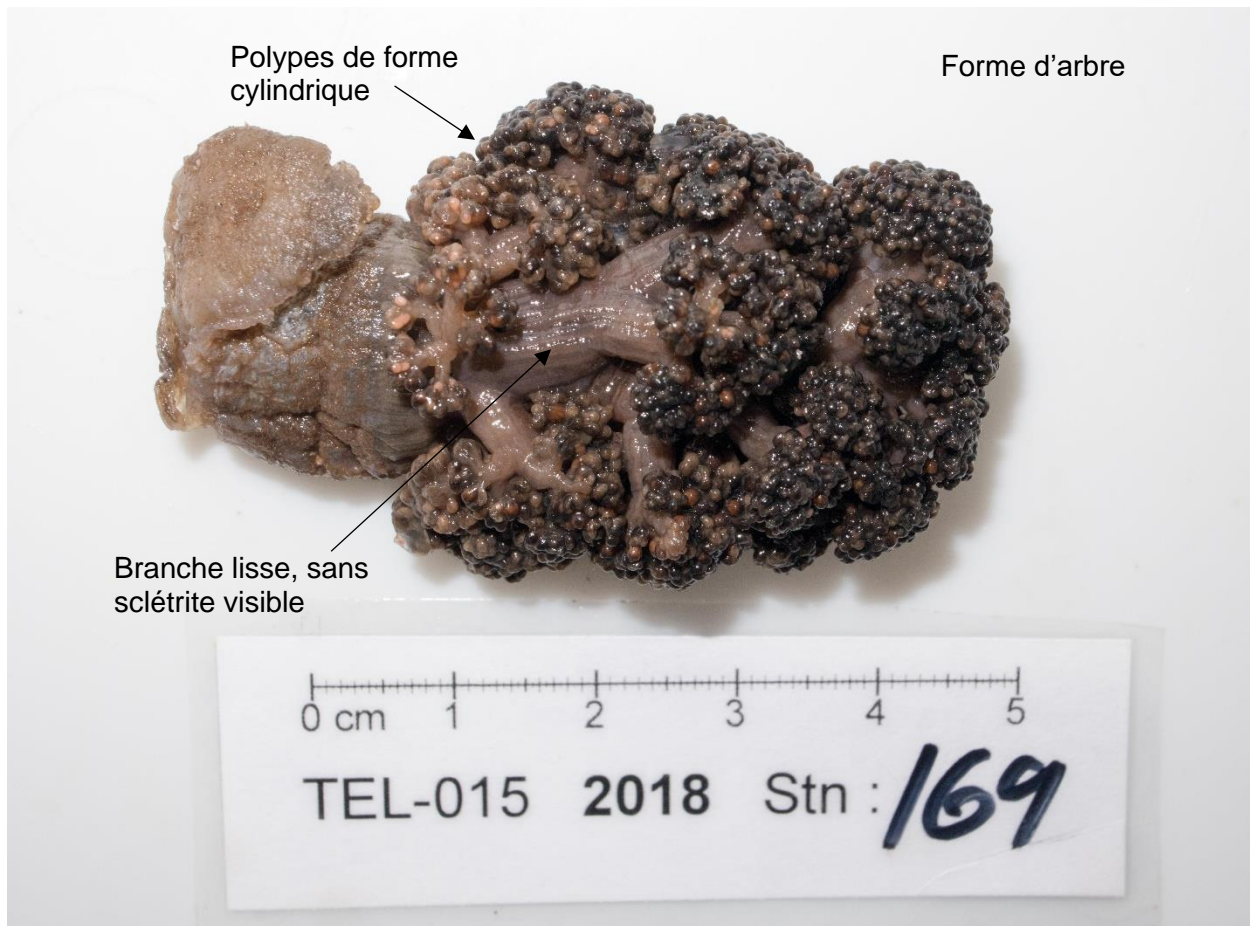
Duva florida (Rathke, 1806)
AphiaID: 146943, STRAP: 2183, RVAN: 7710

Écologie

- Substrat : roche.
- Habitat pour les gorgonocéphales juvéniles.



Identification

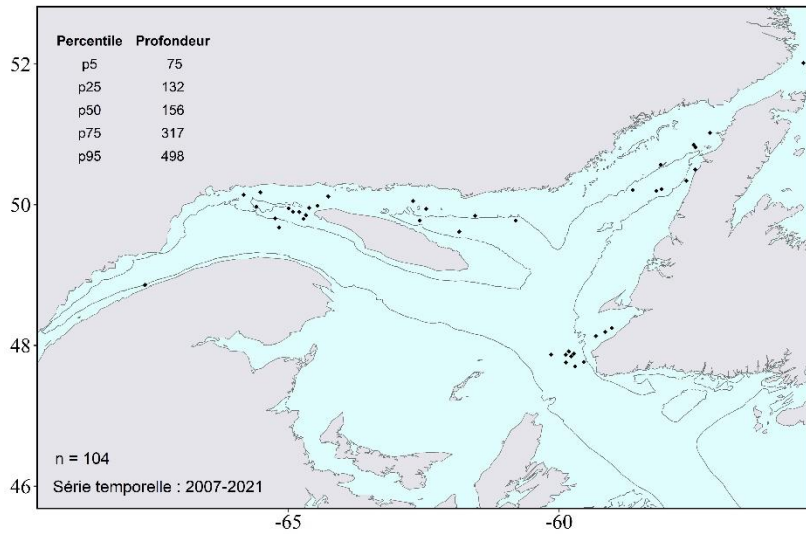




Gersemia fruticosa (Sars, 1860)
 AphiaID: 156101, STRAP: 2212, RVAN: -

Écologie

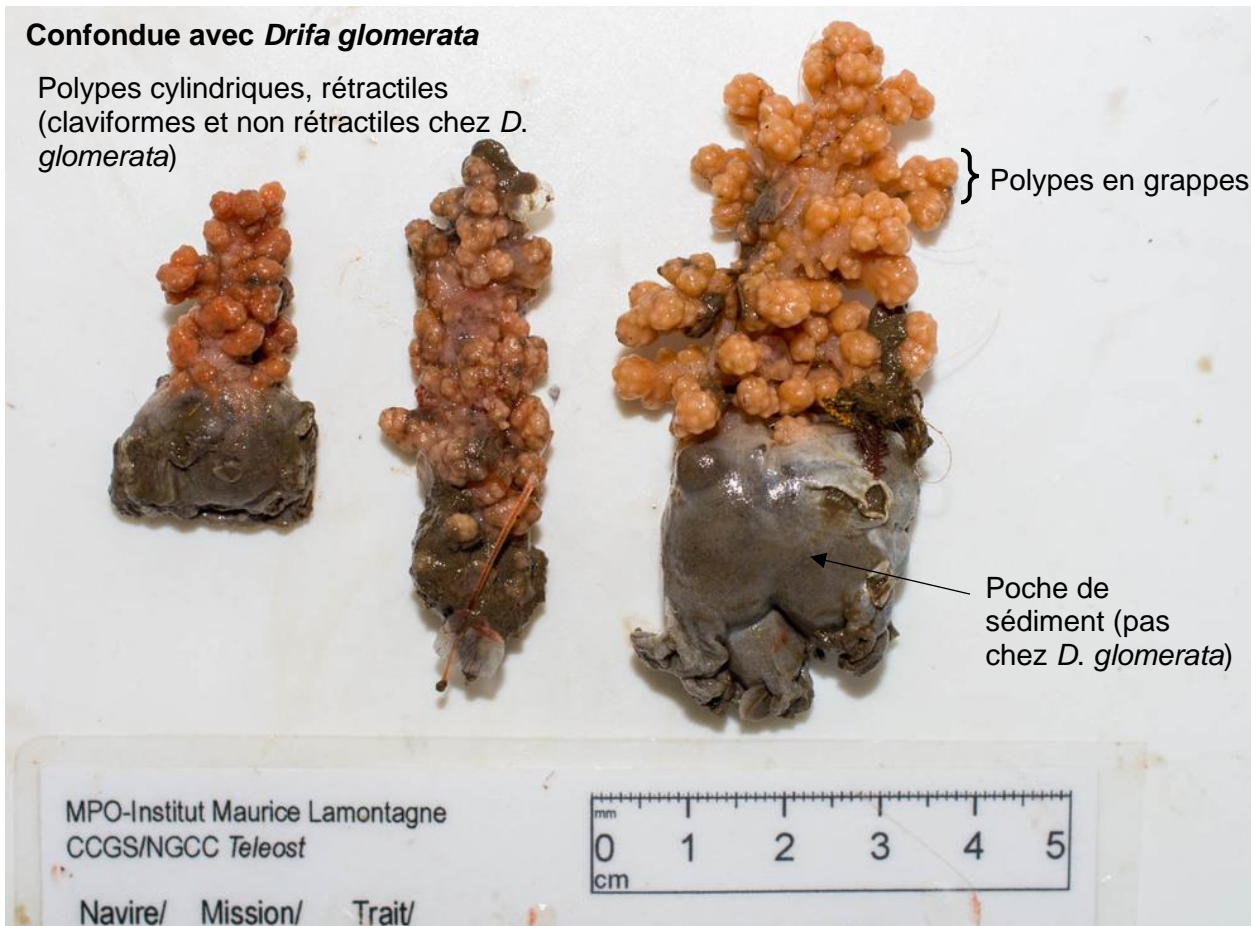
- Substrat : sable, vase.



Identification

Confondue avec *Drifa glomerata*

Polypes cylindriques, rétractiles
 (claviformes et non rétractiles chez *D. glomerata*)



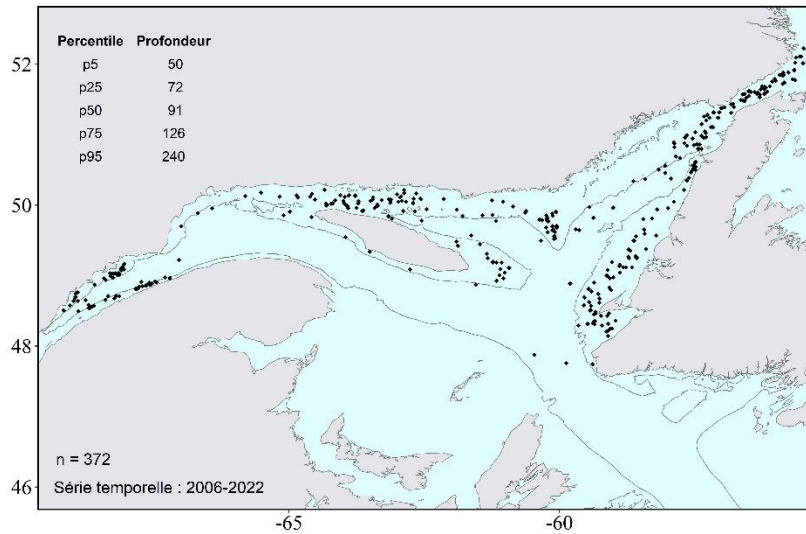


***Gersemia rubiformis* (Ehrenberg, 1834)**

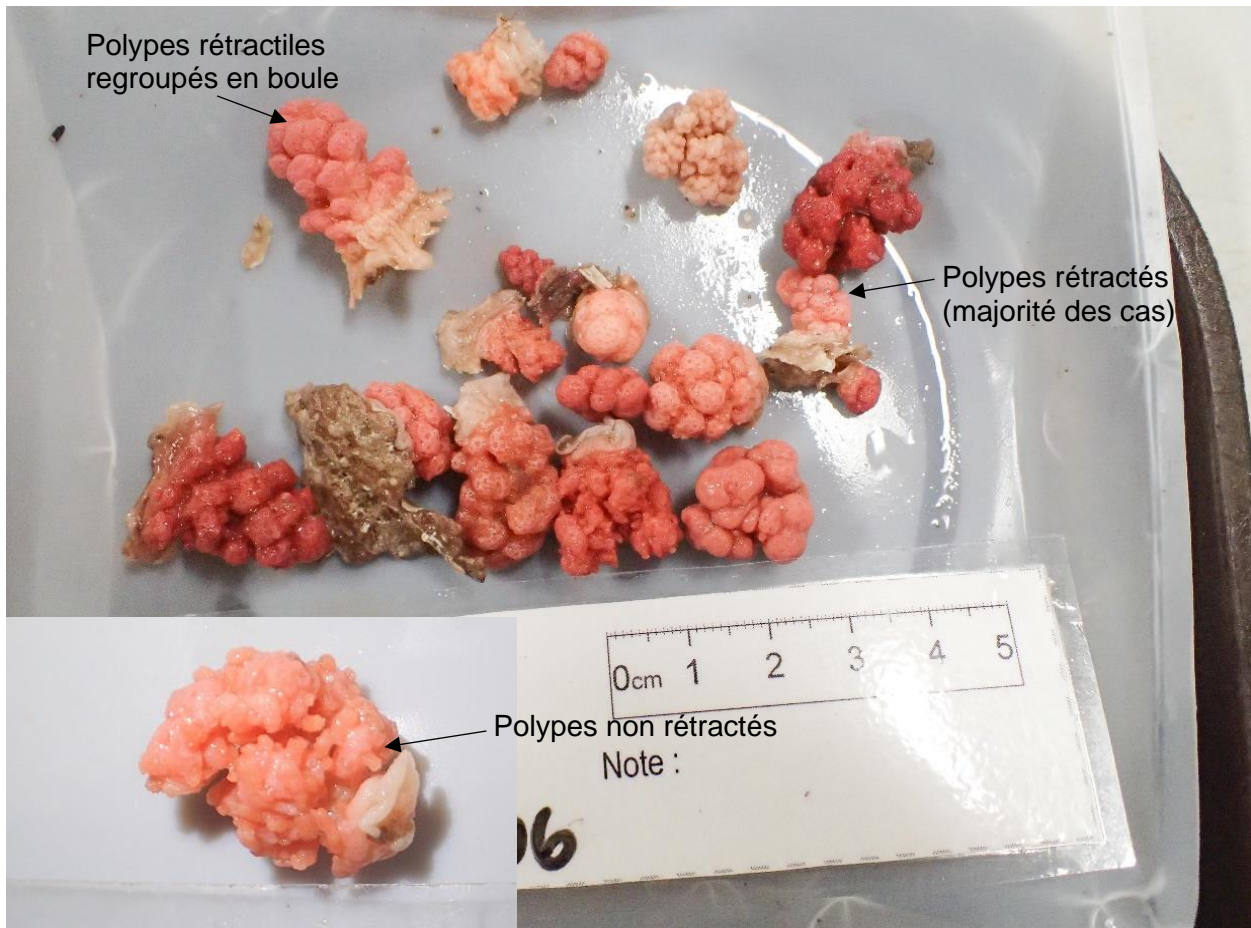
AphiaID: 156103, STRAP: 2184, RVAN: 8324

Écologie

- Substrat : roche.
- Capacité de contraction momentanée pour se protéger des perturbations mécaniques.
- Les perturbations mécaniques (ex. chalut) provoque le relâchement de gamètes.



Identification



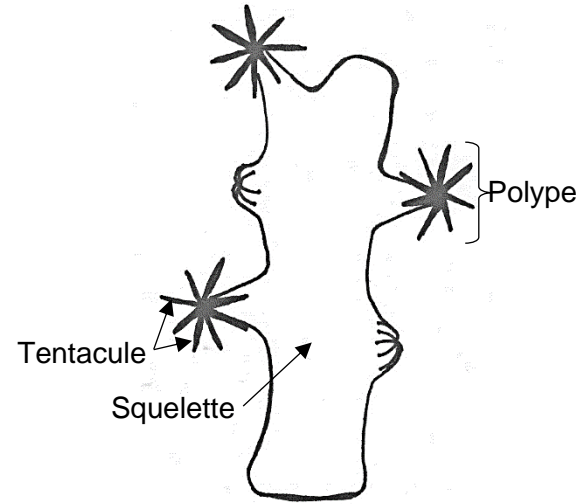
Phylum Cnidaria

Ordre **Scleralcyonacea** (McFadden, van Ofwegen & Quattrini, 2022)

AphiaID: **1609355**, STRAP: -, RVAN: -

Les scleralcyonacés forment l'un des deux groupes d'octocoraux. À l'instar des malacalcyonacea, aucun trait morphologique unique ou groupe de traits ne les définissent, rendant leur classification difficile. Toutefois, la plupart des taxons de ce groupe sécrète du carbonate de calcium pour former un exosquelette d'où ils tirent leur nom. De façon générale, ils sont formés de plusieurs petits **polypes** portant huit **tentacules** et reliés par un **exosquelette** commun. Certaines espèces s'ancrent solidement par leur **pied** sur des surfaces dures telles que des roches alors que d'autres enfouissent la partie distale de leur corps dans le sédiment. Les scléralcyonacés peuvent donc être retrouvés sur une multitude de substrats différents.

On retrouve six espèces de scleralcyonacés dans les captures du relevé NGSL dont cinq appartiennent à la super-famille des Pennatuloidae, qui est décrite plus en détails ci-bas. L'autre espèce capturée dans le relevé NGSL appartient à la famille Corallidae, soit *Heteropolypus* sp.



© Laurie Isabel

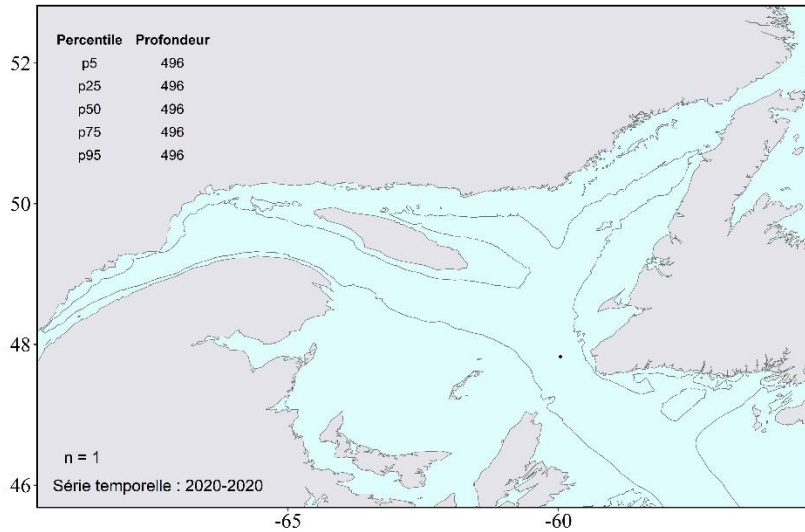


Heteropolypus sp. (Tixier-Durivault, 1964)

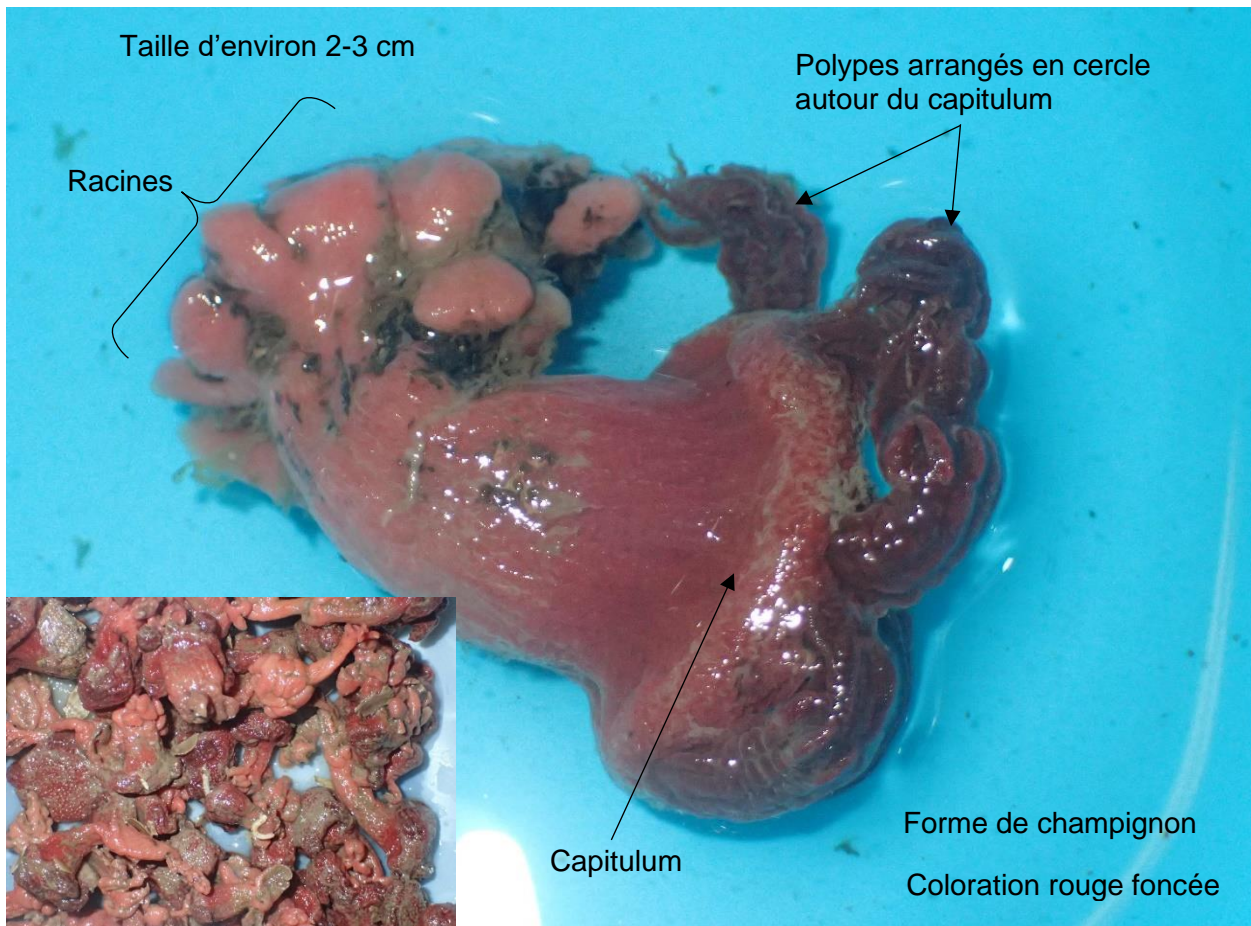
AphiaID: 345446, STRAP: 2222, RVAN: 7758

Écologie

- Substrat : sable, vase.
- S'ancrent dans les sédiments mous par leurs racines ne laissant hors de l'eau que le capitulum portant les polypes.



Identification



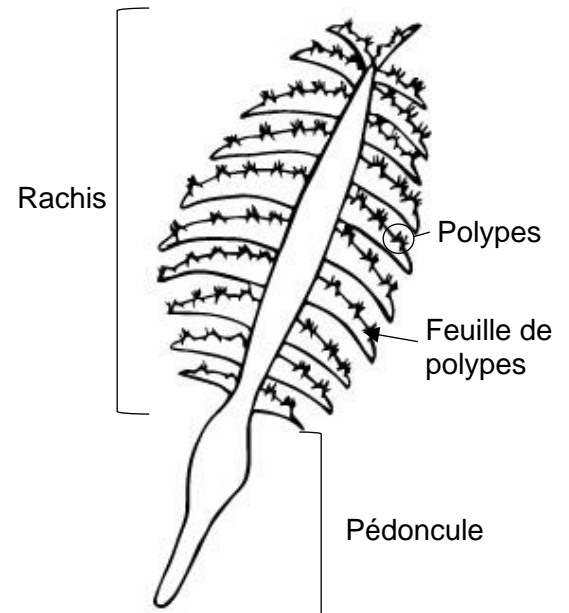
Phylum Cnidaria

Super-famille **Pennatuloidea** (van Ofwegen & Quattrini, 2022)

AphiaID: **1609360**, STRAP: **2201**, RVAN: **8318**

Les pennatules, ou plumes de mer, sont des organismes marins coloniaux. Certaines espèces peuvent atteindre près de 1,5 m de hauteur. Les pennatules sont formées de plusieurs **polypes**. Les polypes sont accrochés directement sur la tige centrale ou arrangés en **feuille** de plusieurs polypes qui s'attachent sur la tige centrale. La plume est appelée **rachis** dans la portion couverte par les polypes et **pédoncule** dans la portion nue.

Cinq espèces de plumes de mer sont capturées dans le relevé NGSL. Elles colonisent les fonds de sable ou de vase à plus de 100 m de profondeur. Plusieurs espèces forment de grands champs qui peuvent servir de refuge à plusieurs espèces de poissons et d'invertébrés.



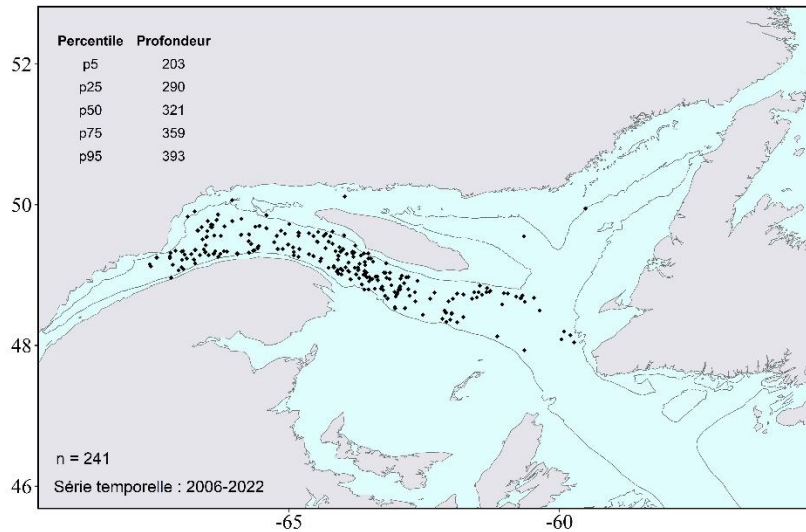
© Laurie Isabel



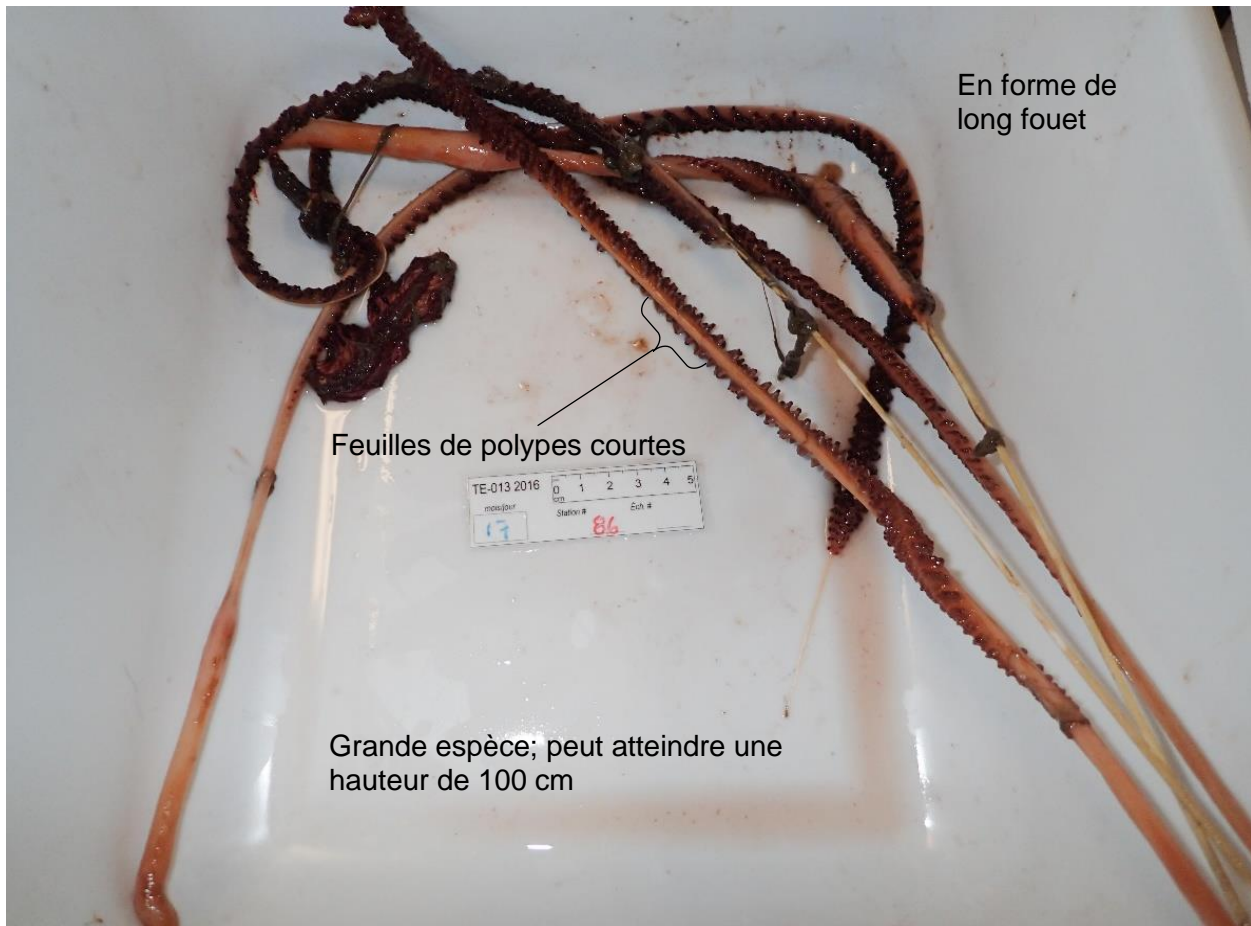
***Balticina finmarchica* (Sars, 1851)**
AphiaID: 584787, STRAP: 2217, RVAN: 7714

Écologie

- Substrat : sable, vase.
- Forme des colonies qui hébergent des larves de plusieurs espèces dont les sébastes.
- Vit plus de 20 ans.



Identification



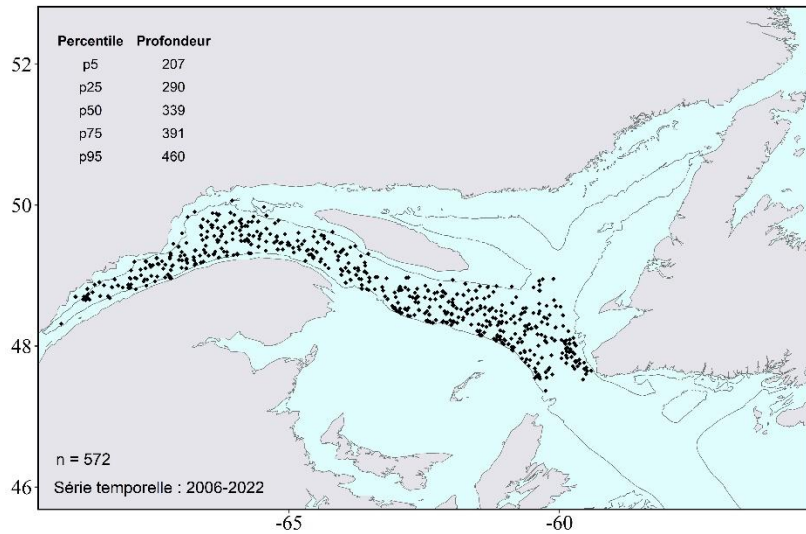


***Anthoptilum grandiflorum* (Verrill, 1879)**

AphiaID: 128504, STRAP: 2218, RVAN: 8361

Écologie

- Substrat : sable, vase.
- Forme des colonies qui hébergent des larves de plusieurs espèces, dont les sébastes.



Identification

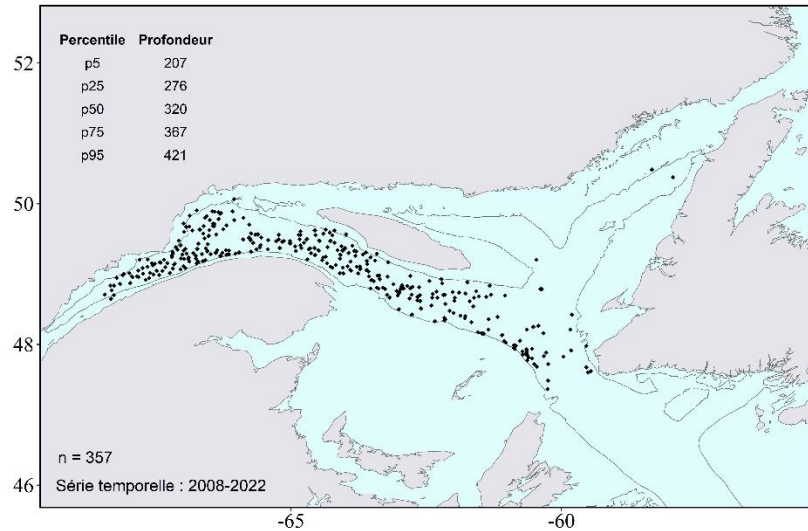




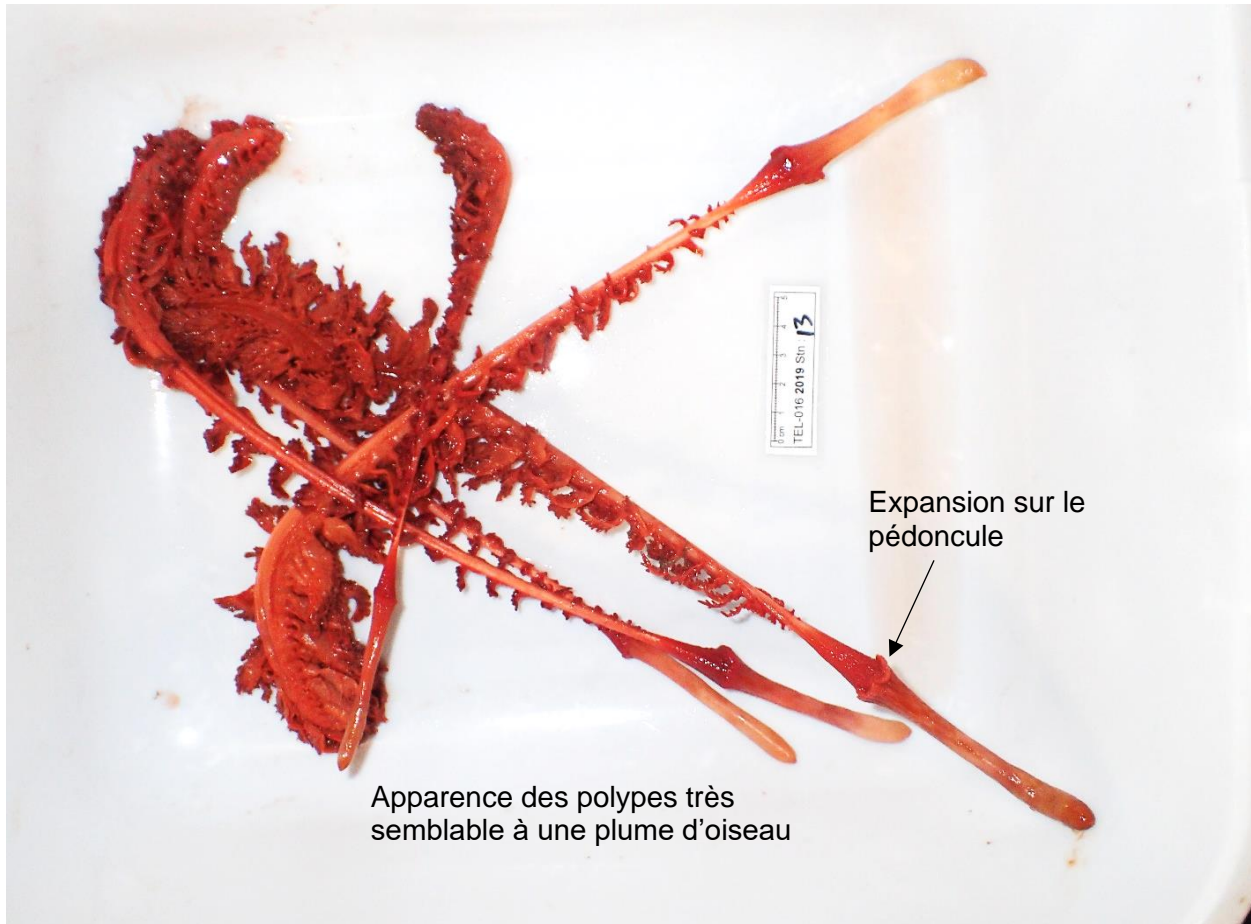
Ptilella grandis (Ehrenberg, 1834)
AphiaID: 1379630, STRAP: 2210, RVAN: 8360

Écologie

- Substrat : sable, vase.
- Forme des champs de plumes.



Identification

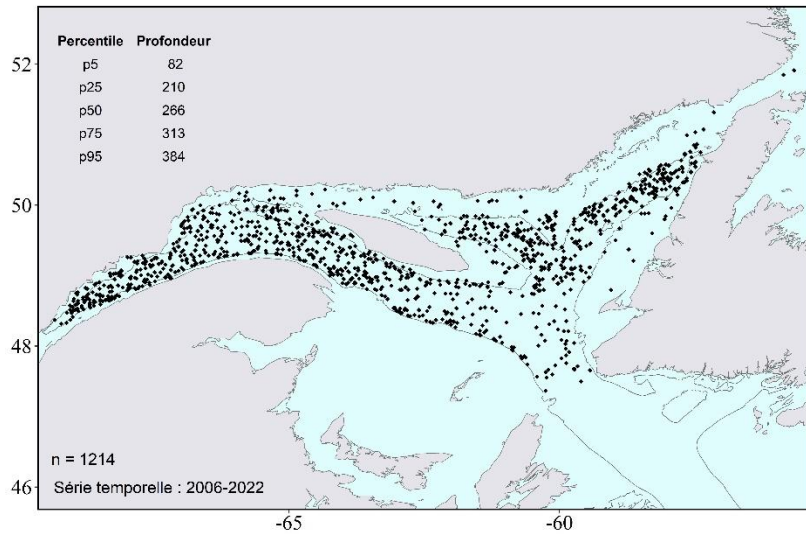




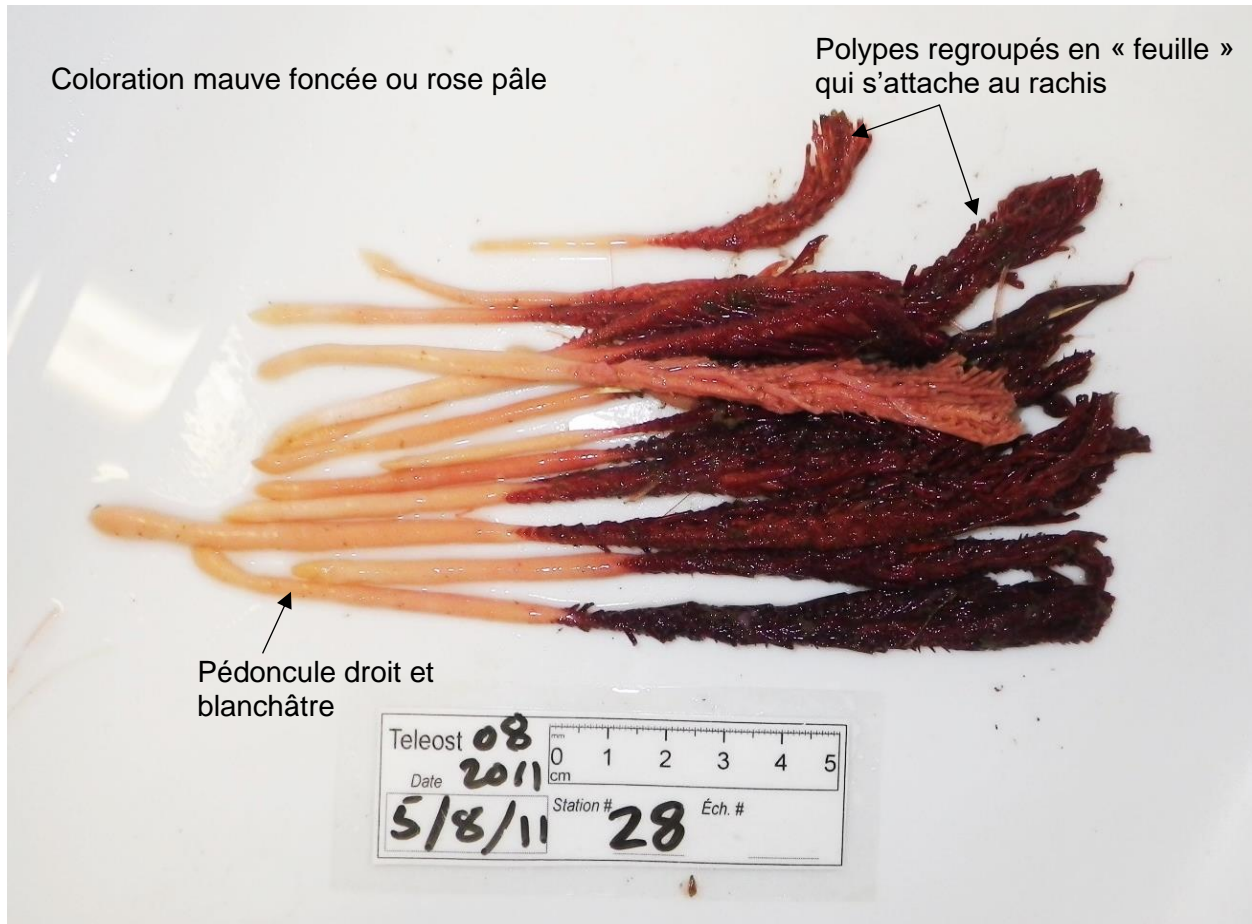
Pennatula aculeata (Danielssen, 1860)
 AphiaID: 128515, STRAP: 2203, RVAN: 7712

Écologie

- Substrat : sable, vase.
- Capacité de se rétracter dans les sédiments.
- Forme de denses champs de plumes.
- Vit plus de 20 ans.



Identification



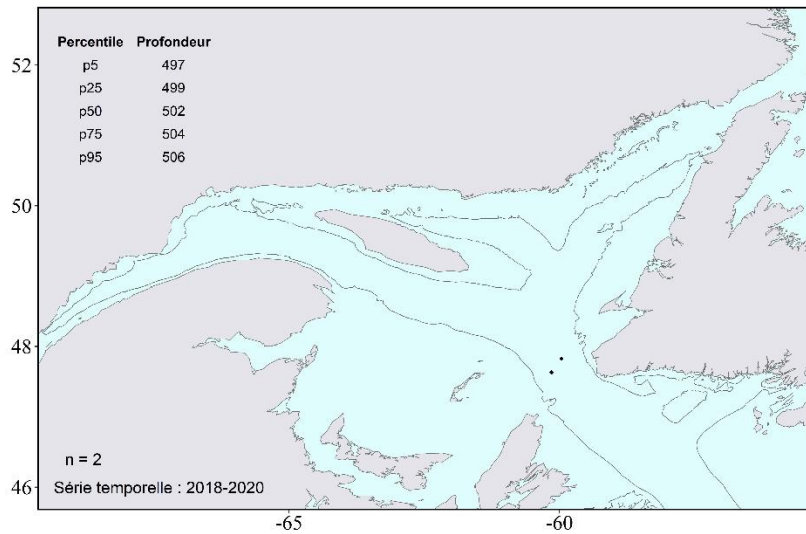


***Kophobelemnon stelliferum* (Müller, 1776)**

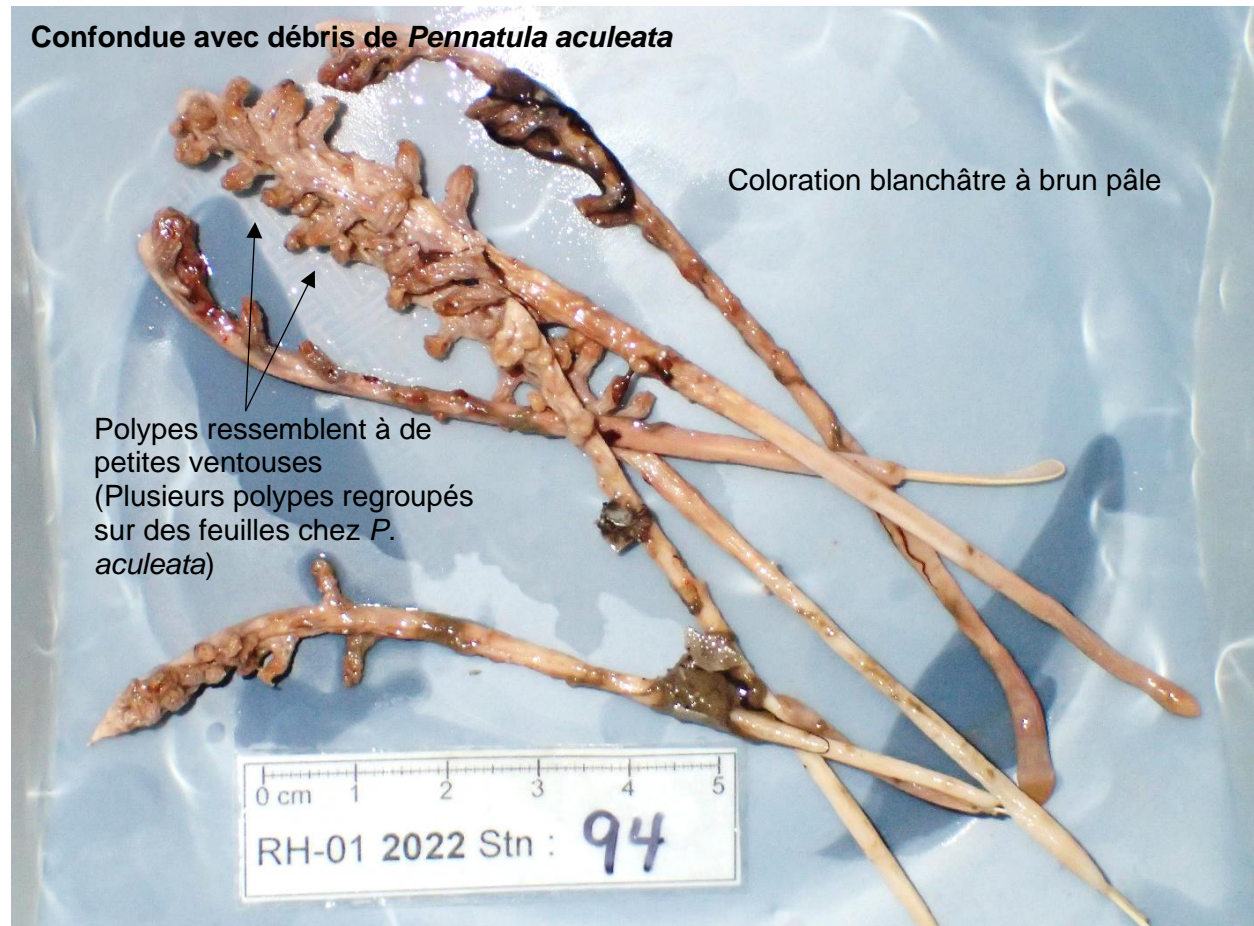
AphiaID: 128512, STRAP: 2213, RVAN: -

Écologie

- Substrat : vase.
- Capacité de se rétracter dans les sédiments.



Identification



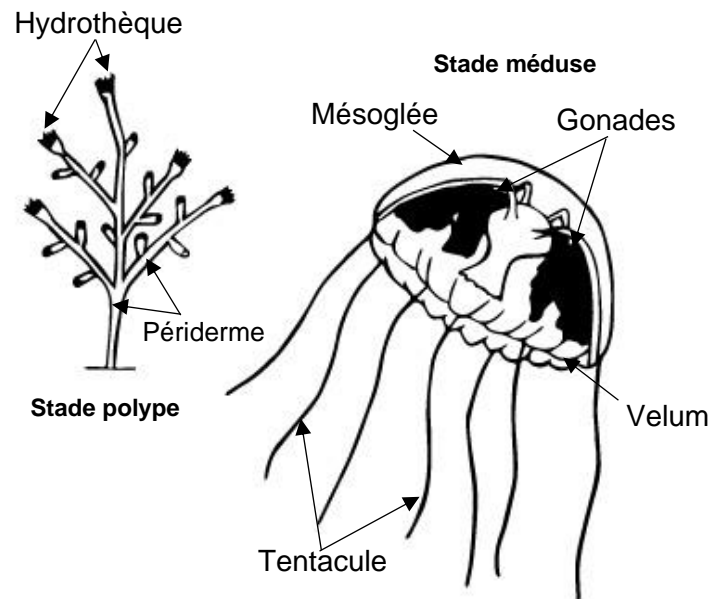
Phylum Cnidaria

Classe **Hydrozoa** (Owen, 1843) AphiaID : 1337, STRAP: 1341, RVAN: 8400

Les hydrozoaires constituent un groupe diversifié avec une variété de cycles et de formes de vie. La plupart des hydrozoaires ont à la fois un stade de vie de polype et de méduse. Le stade polype est formé d'**hydrothèques**. Il en existe deux (2) types : les gastrozoïdes, responsables de l'alimentation et les gonozoïdes, responsables de la reproduction. Les hydrothèques sont toutes reliées entre-elles par un exosquelette chitineux transparent appelé **périderme**.

Les hydroméduses, le stade méduse des hydrozoaires, sont parfois difficiles à distinguer des vraies méduses scyphozoaires. Le seul élément qui les distingue est la présence du **velum** chez les hydroméduses. Le velum est un repli de l'**ombrelle** favorisant la locomotion. Les hydroméduses ont une symétrie radiale en 4 parties. L'ombrelle, gélatineuse et transparente, laisse voir la symétrie des **gonades**. De nombreuses **tentacules** sont accrochées à l'extrémité de la mésoglée. Elles peuvent servir à la protection, à l'alimentation et parfois même à la reproduction.

Les hydrozoaires sont l'un des groupes d'invertébrés les plus diversifiés dans le golfe du Saint-Laurent. Les hydrozoaires sont principalement retrouvés en milieu rocheux fermement attachés sur des substrats durs. La majorité des hydrozoaires de stade polype capturés dans le relevé NGSL est enregistrée à la classe Hydrozoa puisqu'une analyse sous loupe binoculaire est nécessaire pour l'identification. Quatre espèces d'hydrozoaires sont enregistrées dans les captures du relevé NGSL : *Thuiaria thuja*, le siphonophore *Stephalia corona* et les hydroméduses *Ptychogena lactea* et *Staurostoma mertensii*.



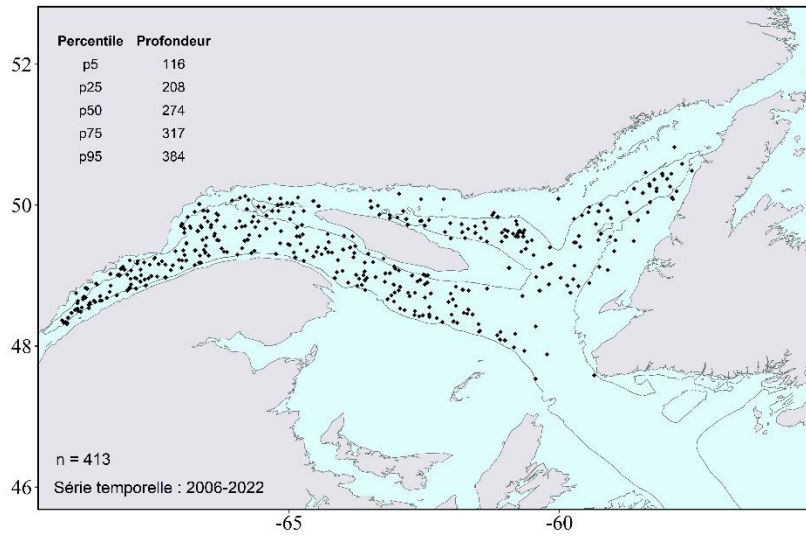
© Laurie Isabel



Ptychogena lactea (Agassiz, 1865)
AphiaID: 117728, STRAP: 1353, RVAN: 7702

Écologie

- Substrat : NA.
- Pélagique.



Identification

Confondue avec *Staurostoma mertensii*;
Regarder les gonades pour différencier les espèces

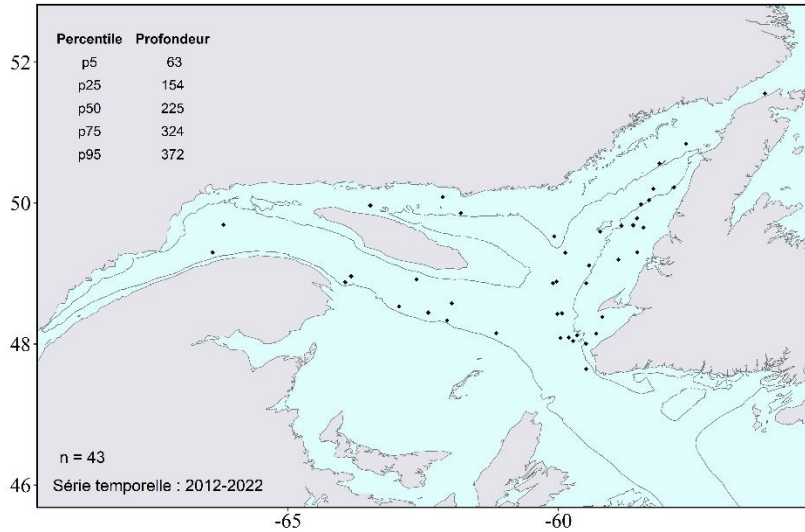




Staurostoma mertensii (Brandt, 1835)
 AphiaID: 594013, STRAP: 1352, RVAN: 7751

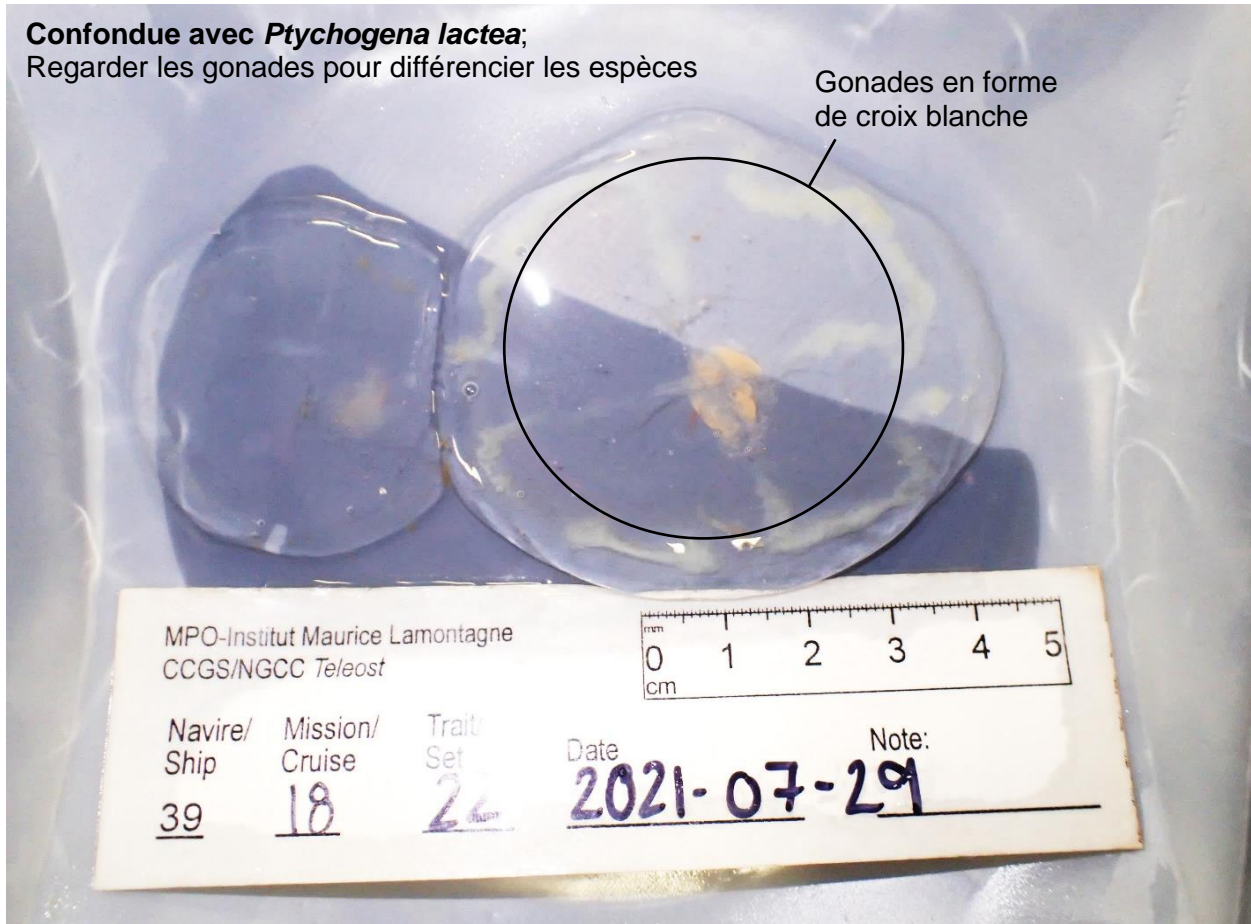
Écologie

- Substrat : NA.
- Pélagique.
- Parfois retrouvée en densité élevée près des plages du Nouveau-Brunswick et de la Nouvelle-Écosse.



Identification

Confondue avec *Ptychogena lactea*;
 Regarder les gonades pour différencier les espèces

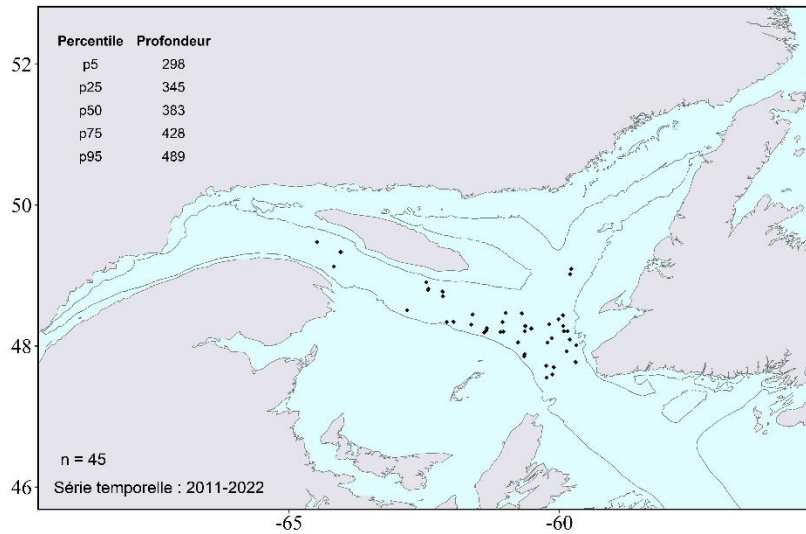




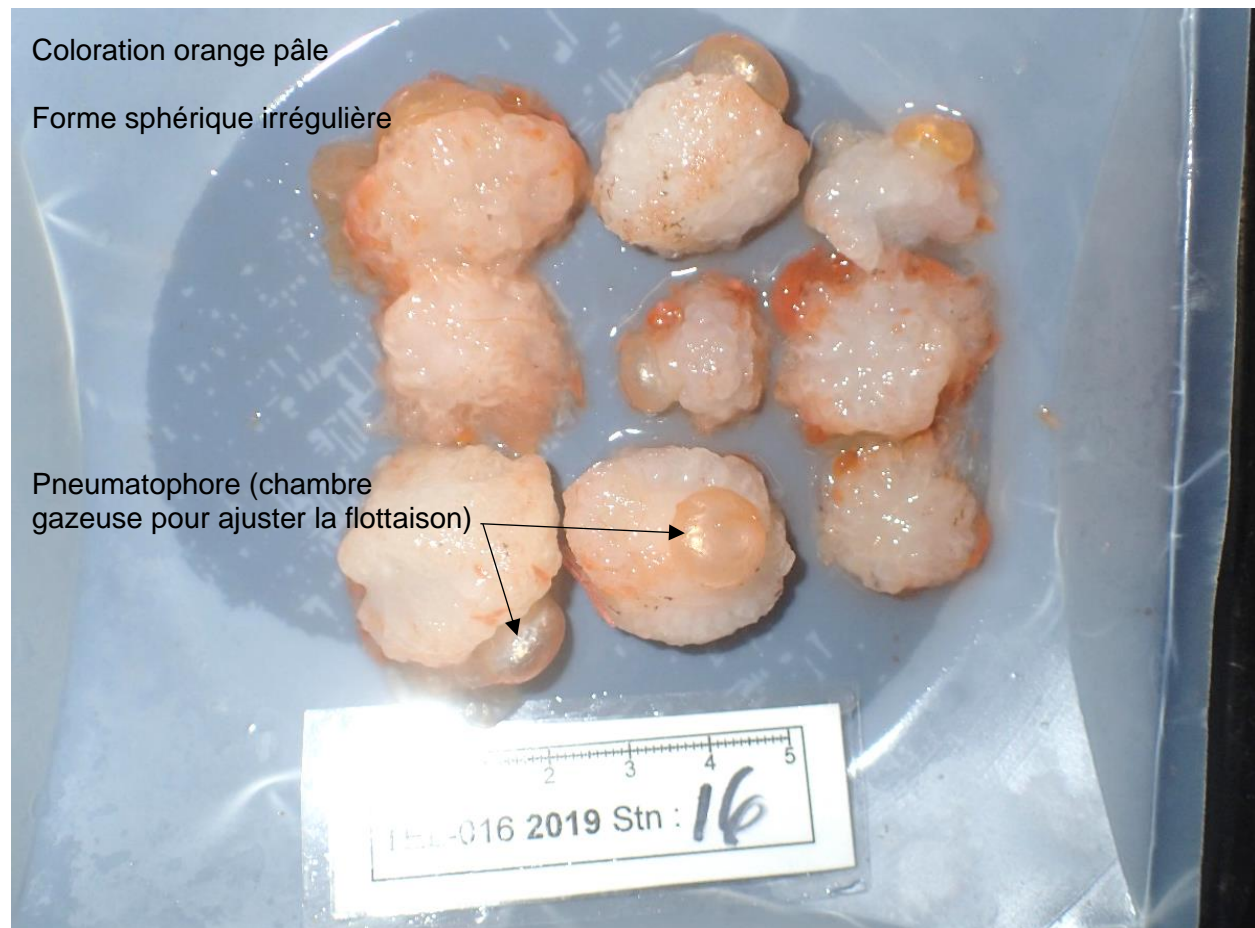
Stephalia corona (Haeckel, 1888)
 AphiaID: 135509, STRAP: 1381, RVAN: -

Écologie

- Substrat : sable, vase.
- S'attache au fond par ses tentacules. Caractéristique unique de la famille des Rhodaliidae.



Identification

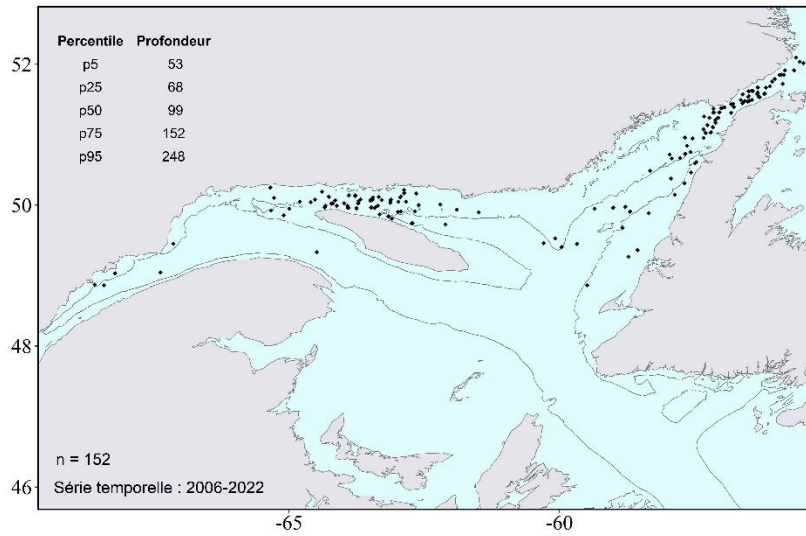




Thuiaria thuja (Linnaeus, 1758)
 AphiaID: 117940, STRAP: 1357, RVAN: 7740

Écologie

- Substrat : roche ou autres substrats durs.



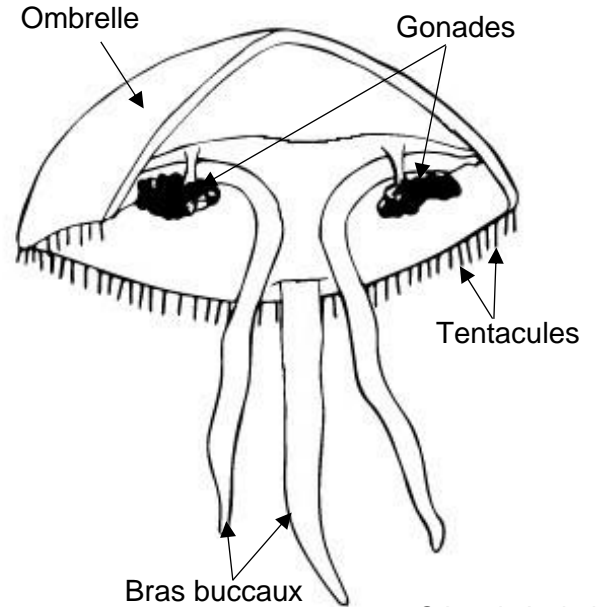
Identification



Phylum Cnidaria

Classe **Scyphozoa** (Goette, 1887) AphiaID : 135220, STRAP: 2040, RVAN: 8500

Les scyphozoaires ou vraies méduses sont des organismes pélagiques nageant librement. Ils sont constitués d'une **ombrelle** transparente et gélatineuse pouvant mesurée jusqu'à 2 m de diamètre. Les **gonades**, au nombre de quatre, sont souvent visibles à travers l'ombrelle. Cette dernière est aussi traversée par de nombreux canaux radiaux partant de son centre et qui sont plus ou moins visibles dépendamment de l'espèce. La bordure externe de l'ombrelle est couverte de nombreuses **tentacules**. La bouche des scyphozoaires se situe au milieu de la face ventrale de l'organisme et est entourée de **bras buccaux** ressemblant à des tentacules. Les méduses possèdent des cellules urticantes, appelées cnidocystes. Elles sont situées sur les bras buccaux, et non sur les tentacules périphériques. Certaines espèces de scyphozoaires se regroupent par centaines, voire milliers, d'individus formant de grands bancs.



© Laurie Isabel

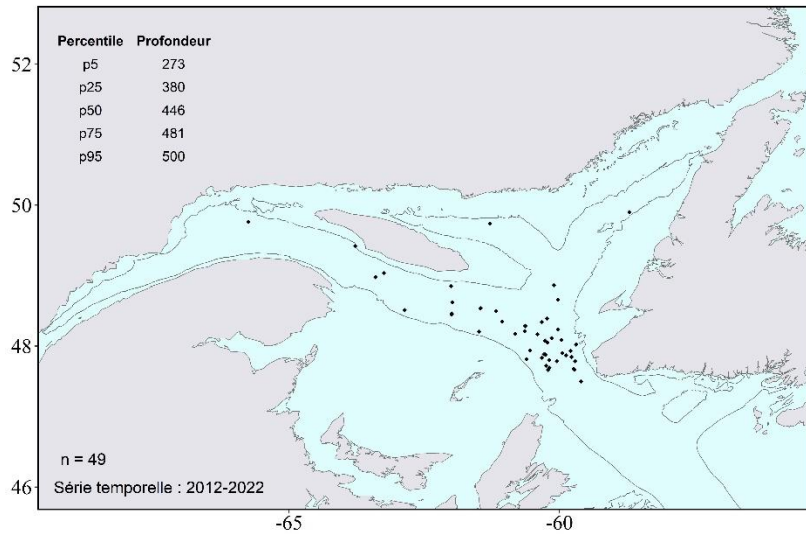
Cinq espèces de scyphozoaire sont capturées dans le relevé NGSL. Deux d'entre elles ont longtemps été considérées comme cosmopolites, soit *Cyanea capillata* et *Aurelia aurita*, mais des analyses génétiques récentes indiquent qu'il existe probablement plusieurs espèces du même genre à travers le monde. Il n'est pas possible de savoir pour l'instant s'il s'agit de ces deux espèces dans le NGSL ou d'une autre espèce des mêmes genres.



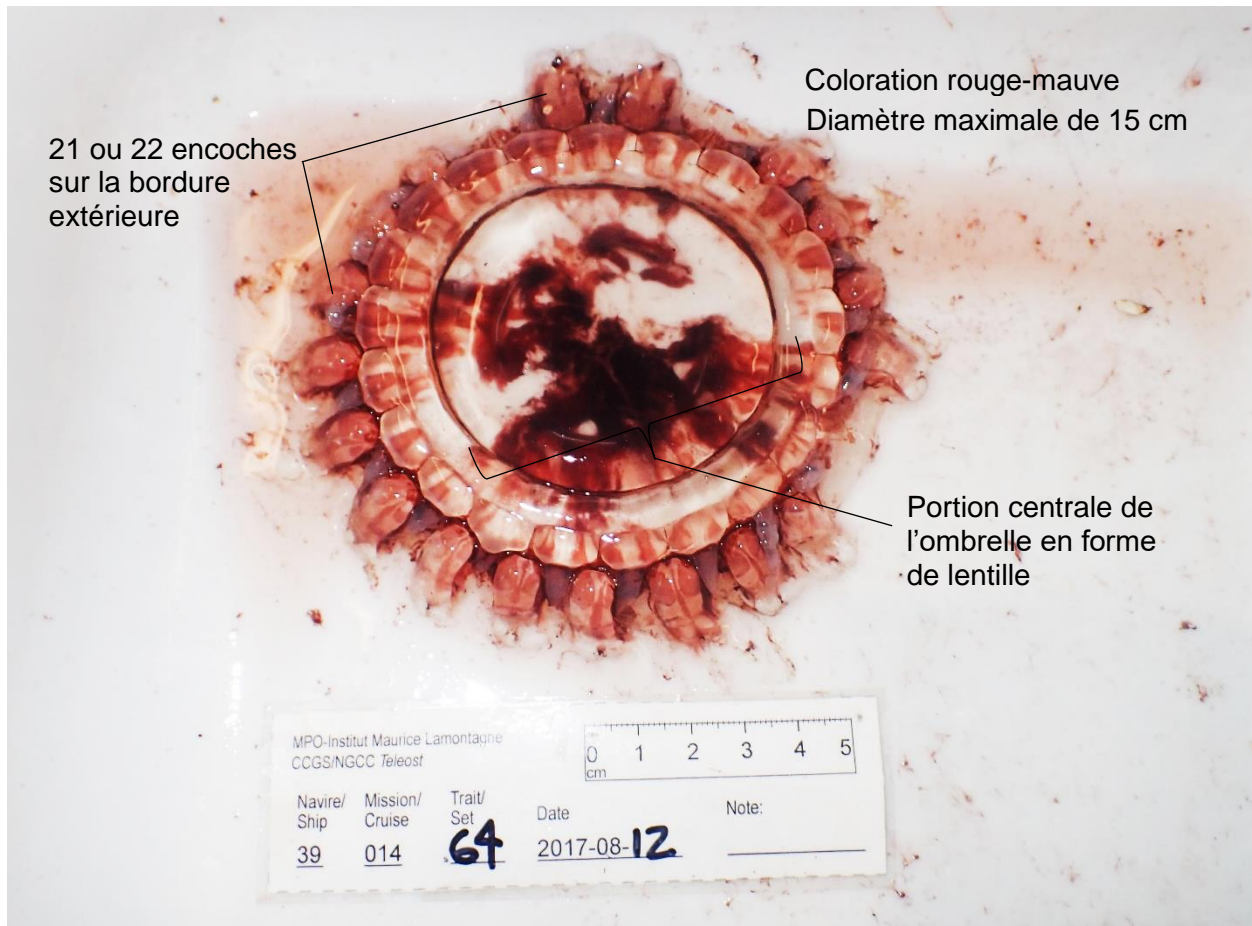
Atolla wyvillei (Haeckel, 1880)
 AphiaID: 135282, STRAP: 2097, RVAN: 7705

Écologie

- Substrat : NA.
- Benthopélagique.
- Bioluminescente.



Identification

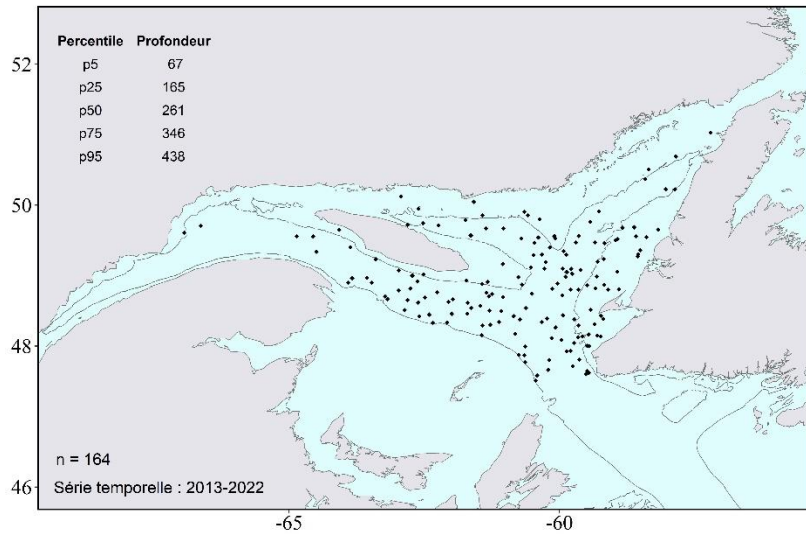




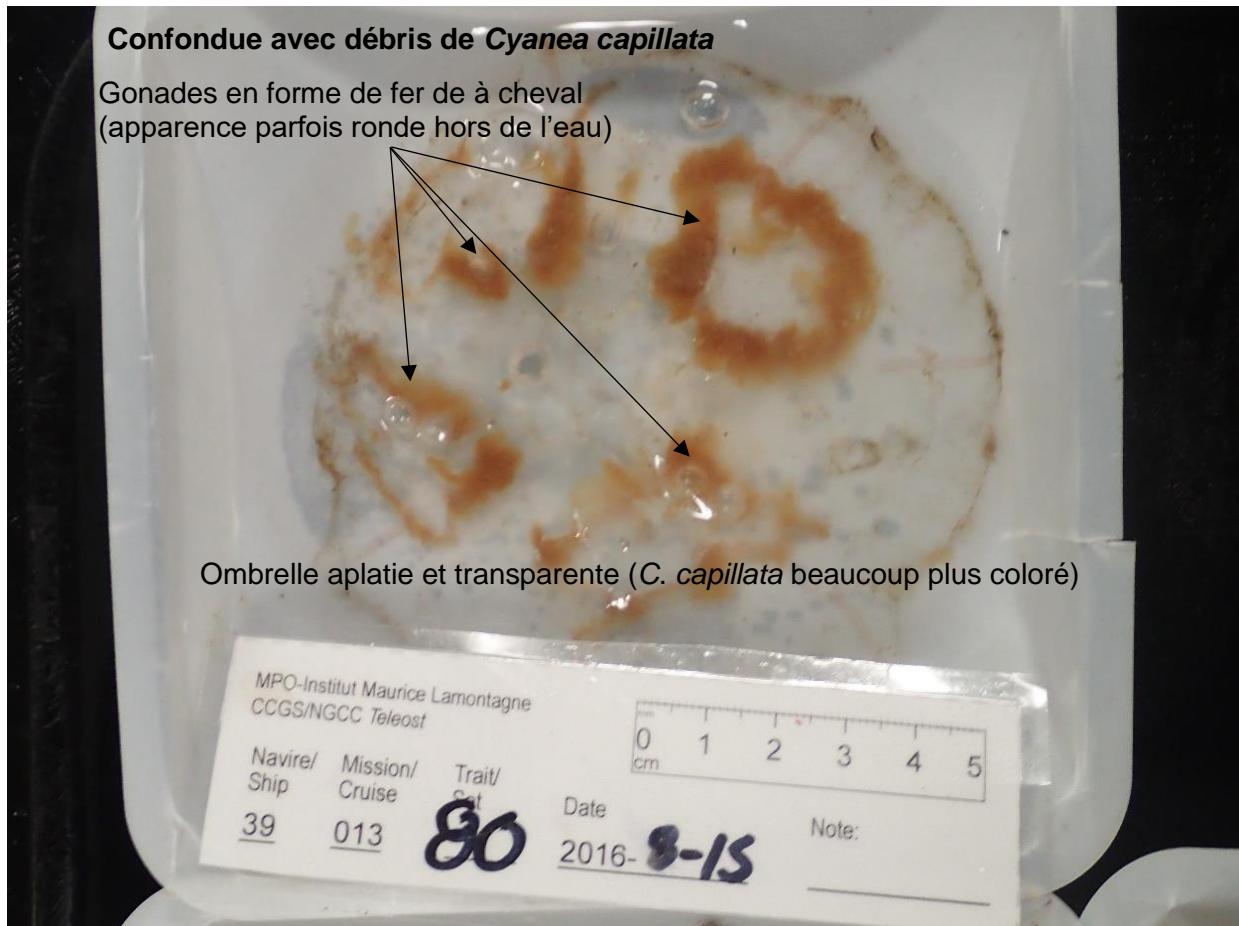
Aurelia aurita (Linnaeus, 1758)
 AphiaID: 135306, STRAP: 2085, RVAN: 8010

Écologie

- Substrat : NA.
- Pélagique.
- Espèce cosmopolite.
- Certains petits amphipodes, se dissimulent sous leur ombrelle et profite d'un mode de locomotion sans effort.



Identification

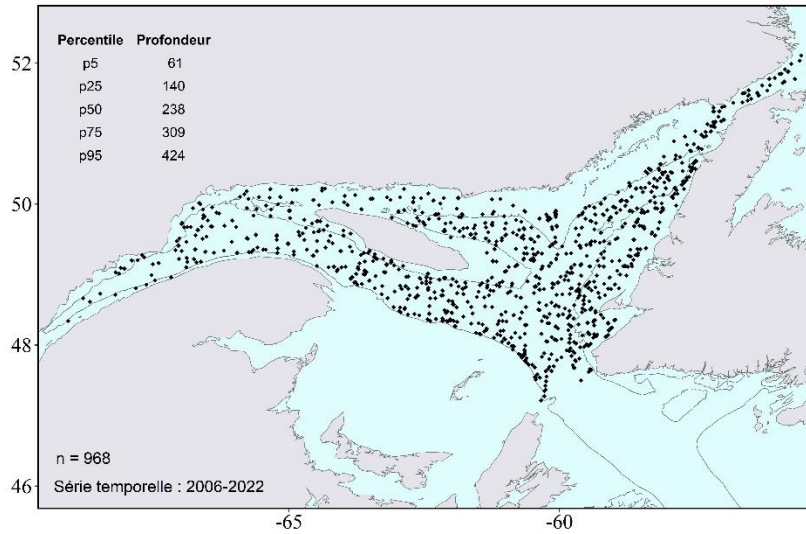




Cyanea capillata (Linnaeus, 1758)
 AphiaID: 135301, STRAP: 2080, RVAN: 8511

Écologie

- Substrat : NA.
- Pélagique.
- Certains petits amphipodes se dissimulent sous leur ombrelle et profite d'un mode de locomotion sans effort.



Identification



Ombrelle aplatie
 Coloration orangée, brunâtre ou rougâtre

Peut atteindre de grandes tailles (2 m de diamètre)

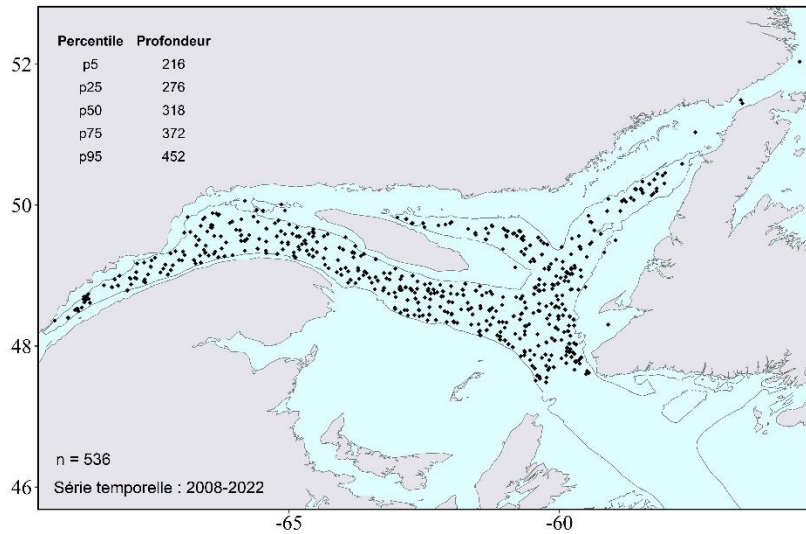


Periphylla periphylla (Péron & Lesueur, 1810)

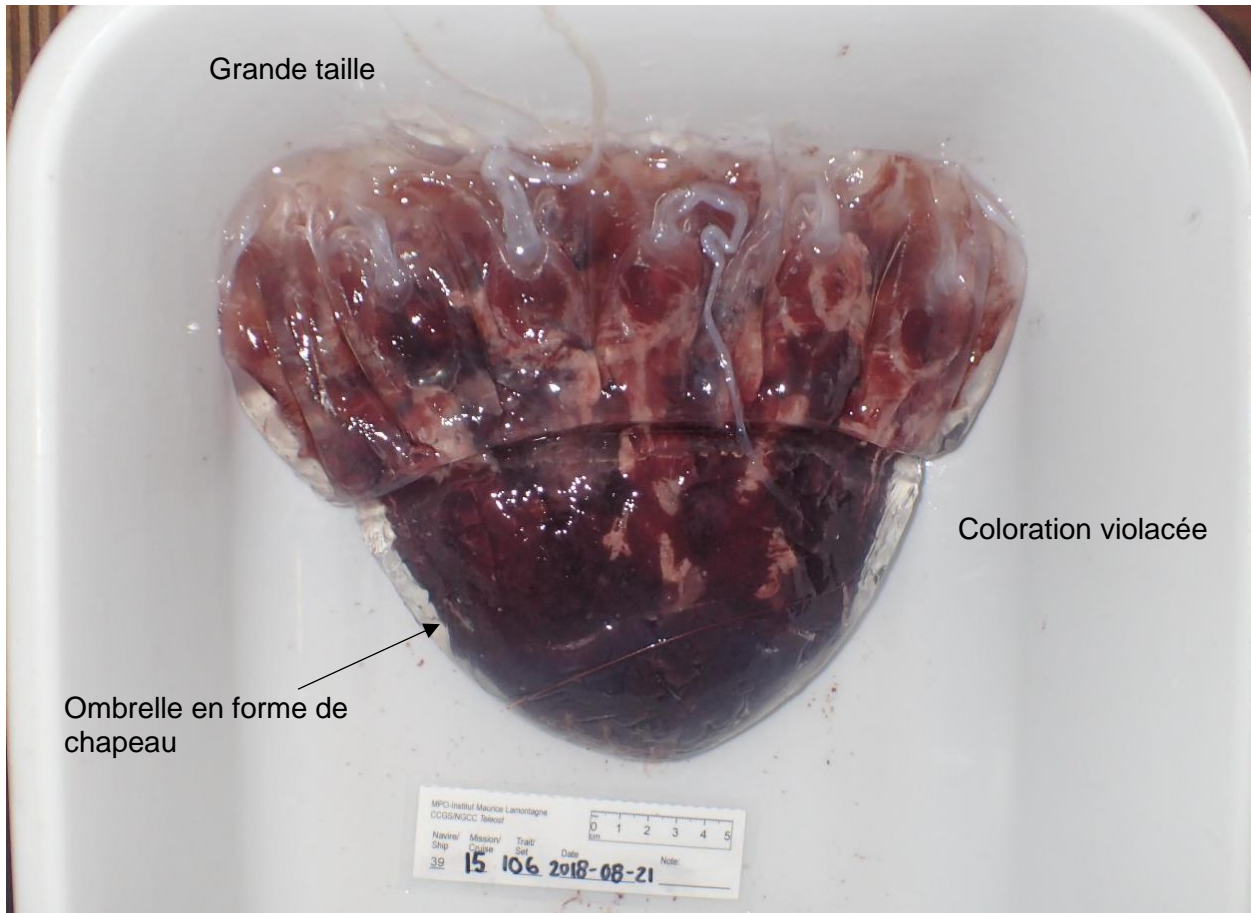
AphiaID: 135294, STRAP: 2096, RVAN: 7704

Écologie

- Substrat : NA.
- Vit en profondeur pour éviter la lumière (photophobique).
- Proie des anémones *Actinostola callosa*.
- Bioluminescente.



Identification



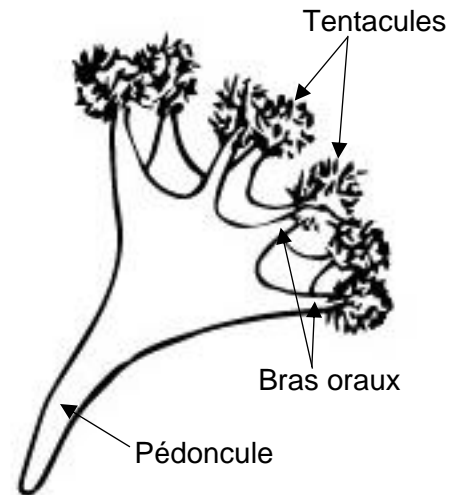
Phylum Cnidaria

Classe **Staurozoa** (Marques & Collins, 2004)

AphiaID: **265044**, STRAP: -, RVAN: -

Les stauroméduses, ou lucernaires, sont de petites méduses sessiles qui vivent accrochées au substrat à l'aide d'un **pédoncule**. Les stauroméduses sont formées de huit **bras oraux** terminés par des **tentacules** en forme de pompon. Elles n'atteignent généralement pas une taille supérieure à 4 cm en hauteur.

Une seule espèce de stauroméduse est capturée dans le relevé NGSL, soit *Lucernaria quadricornis*. D'autres espèces sont présentes dans le golfe du Saint-Laurent, mais ne sont pas capturées lors du relevé NGSL.



© Laurie Isabel

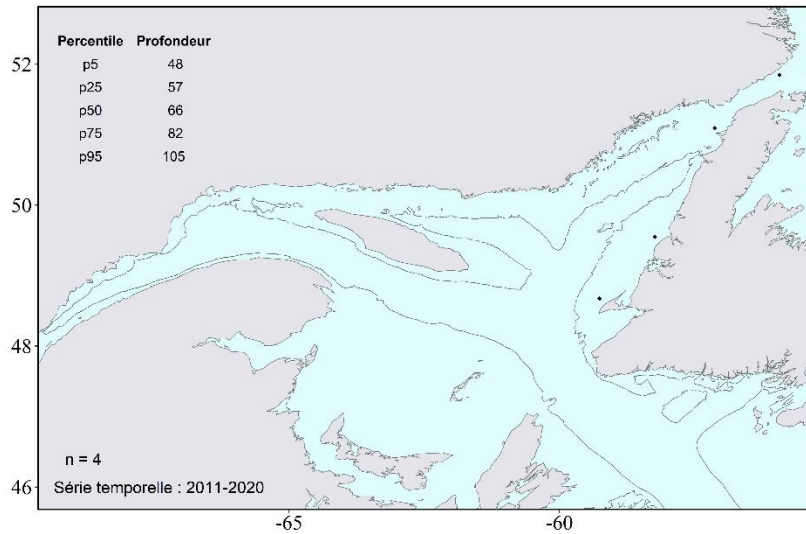


Lucernaria quadricornis (O. F. Müller, 1776)

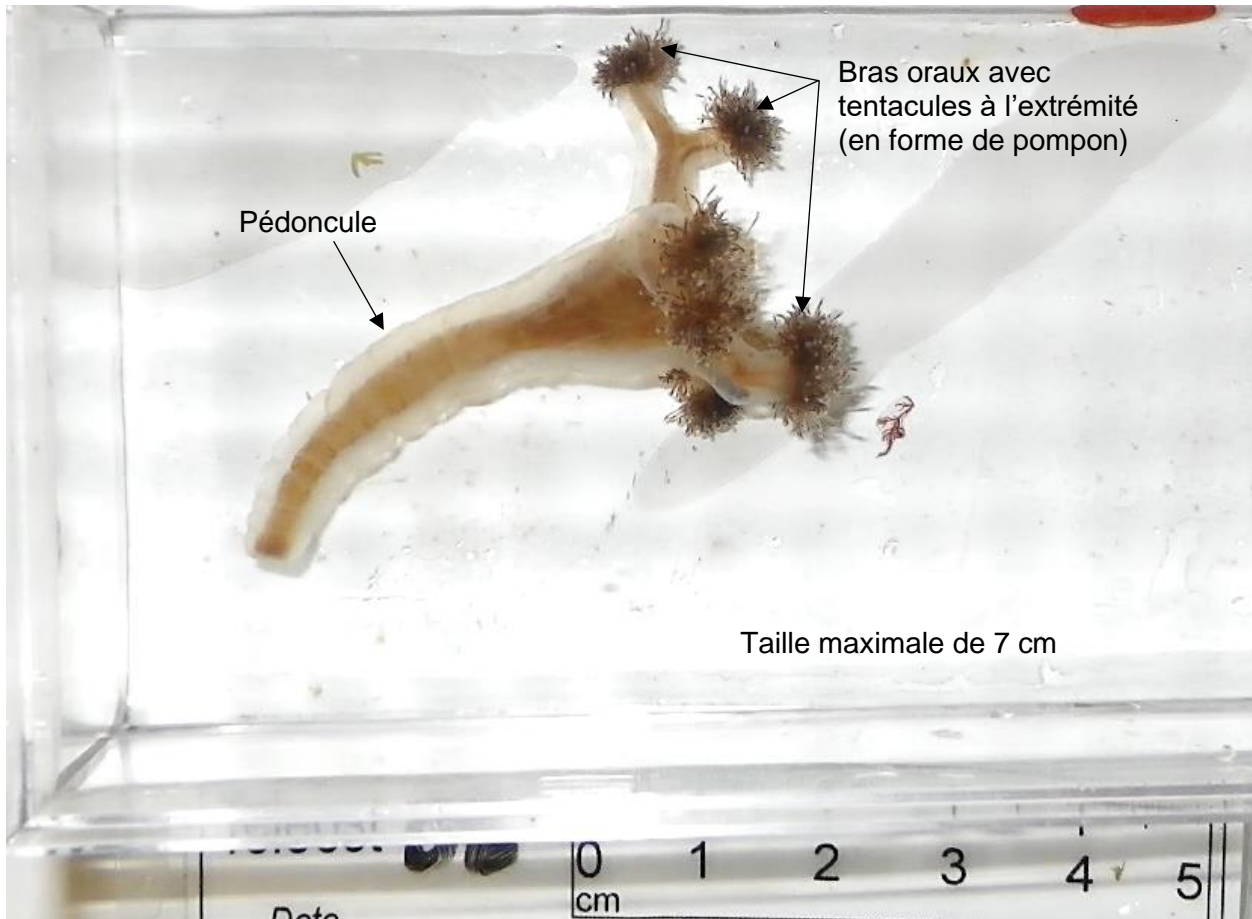
AphiaID: 135328, STRAP: 2050, RVAN: 7752

Écologie

- Substrat : algue ou roche.
- Peut se détacher de son substrat pour aller s'accrocher ailleurs.



Identification



Références

- Ates, R. M. L. 1998. Observations on the symbiosis between *Colus gracilis* (Da Costa, 1778) (Mollusca: Gastropoda) and *Hormathia digitata* (O.F. Müller, 1776) (Cnidaria: Actiniaria). Zool. Verh., 323.
- Auster, P. J., Heinonen, K. B., Watling, L., Parrish-Kuhn, C., Heupel, E. et Lindholm, J. 2011. A rare deepwater anemone and its associates in the Stellwagen Bank National Marine Sanctuary (Gulf of Maine, north-west Atlantic). Mar. Biodivers. Rec., 4. <https://doi.org/10.1017/s1755267211000200>
- Baillon, S., Hamel, J. F. et Mercier, A. 2014. Diversity, distribution and nature of faunal associations with deep-sea pennatulacean corals in the Northwest Atlantic. PLoS One, 9(11), e111519. <https://doi.org/10.1371/journal.pone.0111519>
- Baillon, S., Hamel, J.-F., Wareham, V. E. et Mercier, A. 2013. Seasonality in reproduction of the deep-water pennatulacean coral *Anthoptilum grandiflorum*. Mar. Biol., 161(1), 29-43. <https://doi.org/10.1007/s00227-013-2311-8>
- Brunel, P., Bossé, L. et Lamarche, G. 1998. Catalogue des invertébrés marins de l'estuaire et du golfe du Saint-Laurent. Publ. spéc. sci. halieut. aquat. 126. 405 p.
- Buhl-Mortensen, L., Mortensen, P. B., Armsworthy, S. et Jackson, D. 2007. Field observations of *Flabellum* spp. and laboratory study of the behavior and respiration of *Flabellum alabastrum*. Bull. Mar. Sci., 81(3), 543-552.
- Dahl, E. 1959. The Amphipod, *Hyperia galba*, an ectoparasite of the jelly-fish, *Cyanea capillata*. Nature, 183(4677), 1749-1749. <https://doi.org/10.1038/1831749a0>
- DORIS. 2023. Lucernaire à quatres cornes. <https://doris.ffessm.fr/Especies/Lucernaria-quadricornis-Lucernaire-a-quatre-cornes-1633> (Accédé le 24 juillet 2023)
- DORIS. 2023. Oeillet de mer. <https://doris.ffessm.fr/Especies/Metridium-senile-OEillet-de-mer-130> (Accédé le 24 juillet 2023)
- Grebel'nyi, S. D. 2007. New records of the sea anemone *Ptychodactis patula* Appellof, 1893 (Anthozoa : Actiniaria) in the northern and far eastern seas of Russia. Russ. J. Mar. Biol., 33(1), 54-57. <https://doi.org/10.1134/S1063074007010063>
- Henry, L.-A., Kenchington, E. L. R. et Silvaggio, A. 2003. Effects of mechanical experimental disturbance on aspects of colony responses, reproduction, and regeneration in the cold-water octocoral *Gersemia rubiformis*. Can. J. Zool., 81(10). 1691-1701. <https://doi.org/10.1139/z03-161>
- Himmelman, J. H., Cardinal, A. et Bourget, E. 1983. Community development following removal of urchins, *Strongylocentrotus droebachiensis*, from the rocky subtidal zone of the St. Lawrence Estuary, Eastern Canada. Oecologia, 59(1), 27-39. <https://doi.org/10.1007/BF00388068>
- Jarms, G. et Tiemann, H. 2004. *Actinostola callosa* (Verrill, 1882) (Actinostolidae, Anthozoa), a medusivorous sea anemone and its mass occurrence in the Lurefjord, Norway. Helgol. Mar. Res., 58(1), 15-17. <https://doi.org/10.1007/s10152-003-0158-y>

Phylum Cnidaria

- Jonsson, L. G., Lundälv, T. et Johannesson, K. 2001. Symbiotic associations between anthozoans and crustaceans in a temperate coastal area. *Mar. Ecol. Prog. Ser.*, 209, 189–195. <http://www.jstor.org/stable/24863846>
- Kaartvedt, S., Klevjer, T. A., Torgersen, T., Sørnes, T. A. et Røstad, A. 2007. Diel vertical migration of individual jellyfish (*Periphylla periphylla*). *Limnol. Oceanogr.*, 52(3), 975-983. <https://doi.org/10.4319/lo.2007.52.3.0975>
- Langton, R. W., Langton, E. W., Theroux, R. B. et Uzmann, J. R. 1990. Distribution, behavior and abundance of sea pens, *Pennatulula aculeata*, in the Gulf of Maine. *Mar. Biol.*, 107(3), 463-469. <https://doi.org/10.1007/bf01313430>
- McFadden, C. S., Van Ofwegen, L. P. et Quattrini, A. M. 2022. Revisionary systematics of Octocorallia (Cnidaria: Anthozoa) guided by phylogenomics. *BSSB*, 1(3). <https://doi.org/10.18061/bssb.v1i3.8735>
- Molodtsova, T. N. 2013. Deep-sea mushroom soft corals (Octocorallia: Alcyonacea: Alcyoniidae) of the Northern Mid-Atlantic Ridge. *Mar. Biol. Res.*, 9(5-6), 488-515. <https://doi.org/10.1080/17451000.2012.750427>
- Murillo, F. J., MacDonald, B. W., Kenchington, E., Campana, S. E., Sainte-Marie, B. et Sacau, M. 2018. Morphometry and growth of sea pen species from dense habitats in the Gulf of St. Lawrence, eastern Canada. *Mar. Biol. Res.*, 14(4), 366-382. <https://doi.org/10.1080/17451000.2017.1417604>
- Neves, B. d. M. 2016. Growth in cold water octocorals: Rates, morphology and environmental controls. Thèse de doctorat. Memorial University of Newfoundland, St. John's.
- Neves, B. d. M., Edinger, E., Layne, G. D. et Wareham, V. E. 2015. Decadal longevity and slow growth rates in the deep-water sea pen *Halipteris finmarchica* (Sars, 1851) (Octocorallia: Pennatulaceae): Implications for vulnerability and recovery from anthropogenic disturbance. *Hydrobiologia*, 759(1), 147-170. <https://doi.org/10.1007/s10750-015-2229-x>
- Neves, B. d. M., Wareham Hayes, V., Herder, E., Hedges, K., Grant, C. et Archambault, P. 2020. Cold-water soft corals (Cnidaria: Nephtheidae) as habitat for juvenile basket stars (Echinodermata: Gorgonocephalidae). *Front. Mar. Sci.*, 7. <https://doi.org/10.3389/fmars.2020.547896>
- Nozères, C., Archambault, D. et Miller, R. 2014. Photo-catalogue d'invertébrés de l'estuaire et du nord du golfe du Saint-Laurent des relevés au chalut (2005-2013). *Rapp. manus. can. sci. halieut. aquat.*, 3035: iv + 221 p.
- Riemann-Zürneck, K. 1994. Taxonomy and ecological aspects of the subarctic sea anemones *Hormathia digitata*, *Hormathia nodosa* and *Allantactis parasitica* (Coelenterata, Actiniaria). *Ophelia*, 39(3), 197-224. <https://doi.org/10.1080/00785326.1994.10429544>
- Riis, A. et Dolmer, P. 2003. The distribution of the sea anemone *Metridium senile* (L.) related to dredging for blue mussels (*Mytilus edulis* L.) and flow habitat. *Ophelia*, 57(1), 43-52. <https://doi.org/10.1080/00785236.2003.10409504>
- Robson, E. A. 1961. Some observations on swimming behaviour of anemone *Stomphia coccinea*. *J. Exp. Biol.*, 38(2), 343-&. <https://doi.org/10.1242/jeb.38.2.343>

Phylum Cnidaria

- Robson, E. A. 1961. Swimming response and its pacemaker system in anemone *Stomphia coccinea*. J. Exp. Biol., 38(3), 685-8. <https://doi.org/10.1242/jeb.38.3.685>
- Ryland, J. S. et Ward, H. 2016. Carcinoecium-forming *Epizoanthus* [Hexacorallia: Zoantharia] and the biology of *E. papillosus* in the eastern Atlantic, with special reference to the cnidom. Zootaxa, 4088(4), 489-514. <https://doi.org/10.11646/zootaxa.4088.4.2>
- Sherwood, O. A., Jamieson, R. E., Edinger, E. N. et Wareham, V. E. 2008. Stable C and N isotopic composition of cold-water corals from the Newfoundland and Labrador continental slope: Examination of trophic, depth and spatial effects. Deep-Sea Res. I: Oceanogr. Res. Pap., 55(10), 1392-1402. <https://doi.org/10.1016/j.dsr.2008.05.013>
- Sun, Z., Hamel, J.-F., Edinger, E. et Mercier, A. 2009. Reproductive biology of the deep-sea octocoral *Drifa glomerata* in the Northwest Atlantic. Marine Biol., 157(4), 863-873. <https://doi.org/10.1007/s00227-009-1369-9>
- Waller, R. G. et Tyler, P. A. 2010. Reproductive patterns in two deep-water solitary corals from the north-east Atlantic - *Flabellum alabastrum* and *F. angulare* (Cnidaria: Anthozoa: Scleractinia). J. Mar. Biol. Assoc., 91(3), 669-675. <https://doi.org/10.1017/s0025315410000822>

Ctenophora

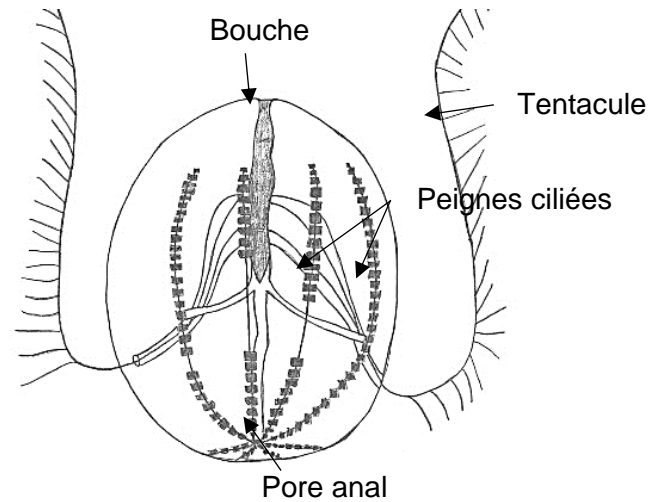
Phylum Ctenophora

Ctenophora (Eschscholtz, 1829)

AphiaID: 1248, STRAP: 2250, RVAN: 8100

Les cténophores sont des organismes marins généralement pélagiques. Ils sont de forme ovoïde, rubanée, en poire ou en cloche. Leur corps est entièrement transparent et ils sont reconnus pour leur bioluminescence. Les cténophores se déplacent grâce à leurs cils locomoteurs alignés en rangées pour former huit **peignes ciliés**. Ils possèdent un **anus** et une **bouche** distincts situés à chaque pôle de l'organisme. Les cténophores possèdent aussi une paire de **tentacules rétractables** recouvertes de cellules collantes qui leur permettent de capturer les proies et de les acheminer jusqu'à la bouche.

Une seule espèce de cténophore est capturée dans le relevé NGSL : *Pleurobrachia pileus*. Cette dernière est planctonique et est capturée lors de la remontée du chalut dans la colonne d'eau.



Redessiné à partir de Fox (2001).

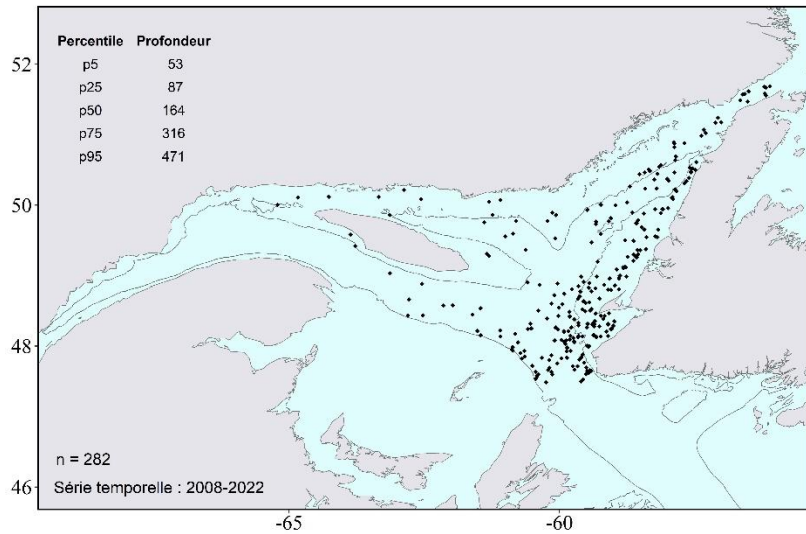


Pleurobrachia pileus (O.F. Müller, 1776)

AphiaID: 106386, STRAP: 2255, RVAN: 7717

Écologie

- Substrat : NA.
- Pélagique.
- Abondance maximale au printemps et à l'automne, en même temps que le phytoplancton.



Identification



Références

- Fox, R. 2001. Invertebrate Anatomy OnLine : *Pleurobrachia pileus*©.
<https://lanwebs.lander.edu/faculty/rsfox/invertebrates/pleurobrachia.html>. (Accédé le 25 juillet 2023).
- Liley, R. 1958. Ctenophora. Fiches d'identification du zooplancton. ICES: Copenhagen, Denmark. 5 p.
- Milne, W. R. et Corey, S. 1986. Distributional patterns of the ctenophores *Pleurobrachia pileus* and *Beroe cucumis* in the Bay of Fundy region, Canada. *Can. J. Zool.*, 64(11), 2639-2644. <https://doi.org/10.1139/z86-383>

Arthropoda

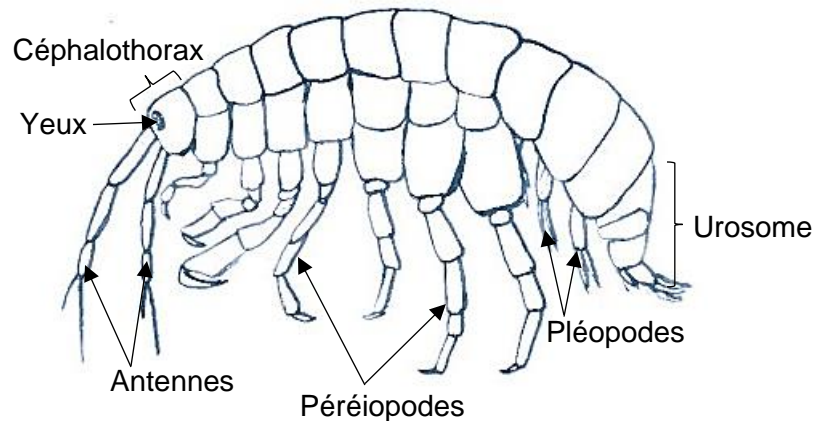
Phylum Arthropoda

Ordre Amphipoda (Latreille, 1816)

AphiaID : 1135, STRAP: 6930, RVAN: 2800

Les amphipodes sont de petits crustacés très abondants en milieu marin. La diversité de formes corporelles des amphipodes est élevée. Les amphipodes possèdent deux types de pattes, soit les **péréiopodes** et les **pléopodes**. Ils ont généralement le corps compressé latéralement. La tête est fusionnée au thorax pour former le **céphalothorax**. Ce dernier porte deux paires d'**antennes** et les **yeux** ne sont pas toujours présents. Leur corps se termine par un segment appelé l'**urosome**.

Les amphipodes sont un groupe très diversifié dans le golfe du Saint-Laurent avec plus de 300 espèces d'identifiées. Étant donnée leur petite taille et leur comportement benthopélagique, la vaste majorité d'entre eux ne sont pas vulnérables à l'échantillonnage effectué lors du relevé NGSL et ne sont donc pas capturés. Quelques individus de grande taille sont toutefois capturés lors du relevé, incluant onze espèces d'amphipodes et un genre. Six espèces appartenant au genre *Anonyx* sont observées dans le NGSL, soit *A. compactus*, *A. debryni*, *A. lilljeborgi*, *A. makarovi*, *A. nugax*, *A. ochoticus* et *A. sarsi*. Leur identification n'est toutefois pas possible sans la loupe binoculaire, et les individus sont identifiés au genre *Anonyx* dans les données du relevé. Quelques spécimens capturés lors du relevé sont parfois identifiés à l'ordre Amphipoda en raison de l'incertitude associée aux identifications et/ou d'un manque d'expertise.



Redessiné à partir de Holsinger (1972)

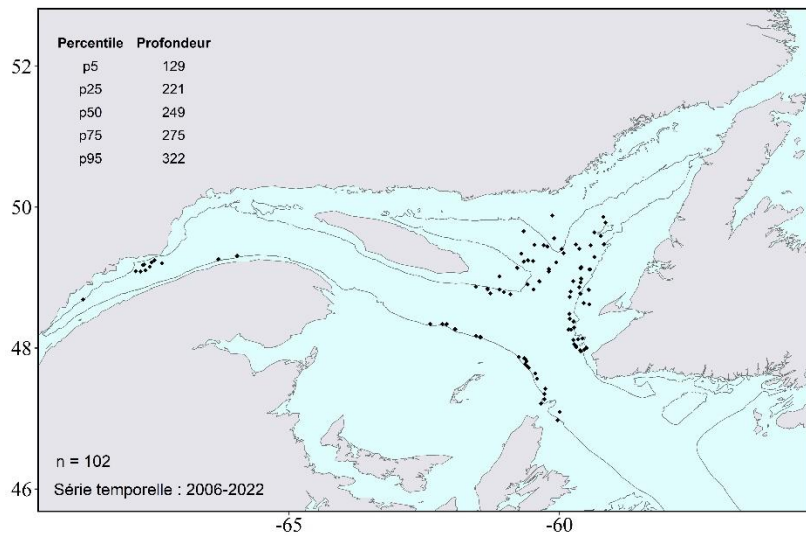


Epimeria (Epimeria) loricata (G.O. Sars, 1879)

AphiaID: 1053399, STRAP: 7383, RVAN: 7727

Écologie

- Substrat : ND.



Identification

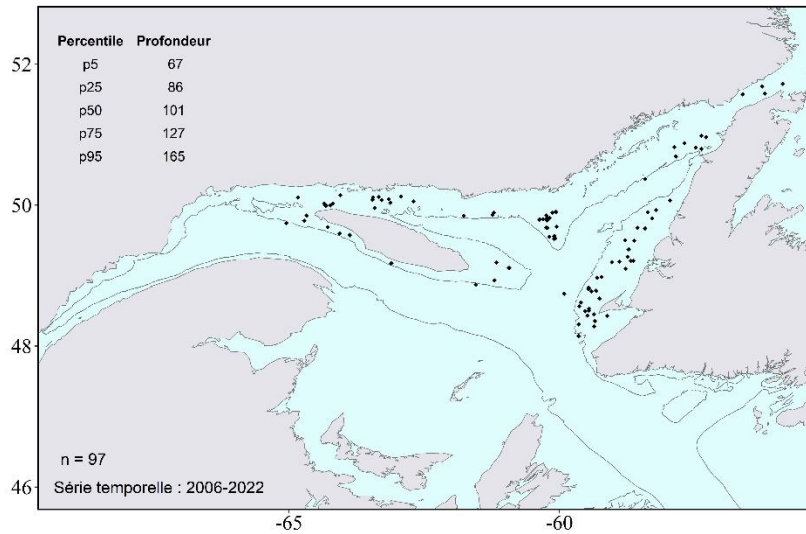




Paramphithoe hystrix (Ross, 1835)
 AphiaID: 102152, STRAP: 7586, RVAN: 2805

Écologie

- Substrat : roche.
- S'alimente en cisailant de petits morceaux de ses proies, e.g. éponges, hydrozoaires, étoiles de mer.
- Coloration changeante en fonction de leur alimentation.

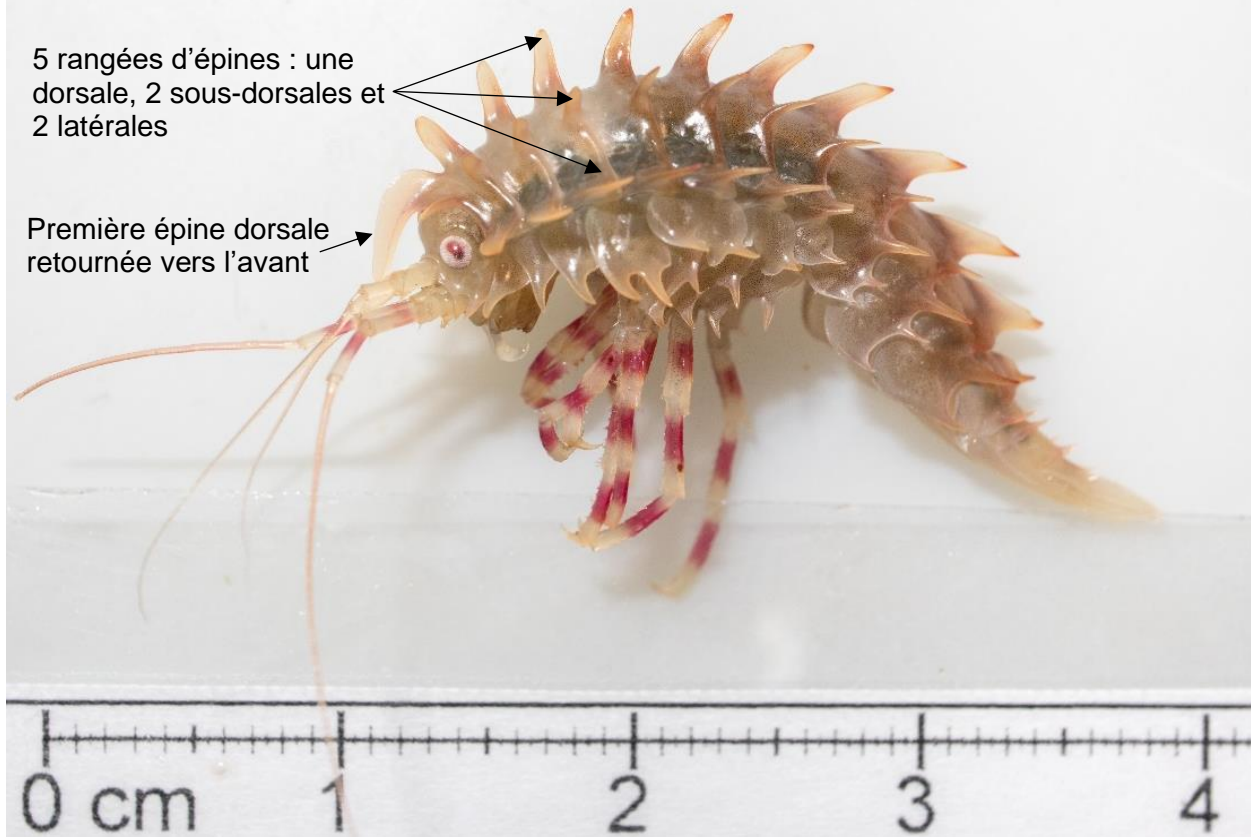


Identification

Identification difficile, car potentiellement plusieurs espèces identifiées comme étant *P. hystrix*; prendre en photo et rapporter les spécimens si possible

5 rangées d'épines : une dorsale, 2 sous-dorsales et 2 latérales

Première épine dorsale retournée vers l'avant

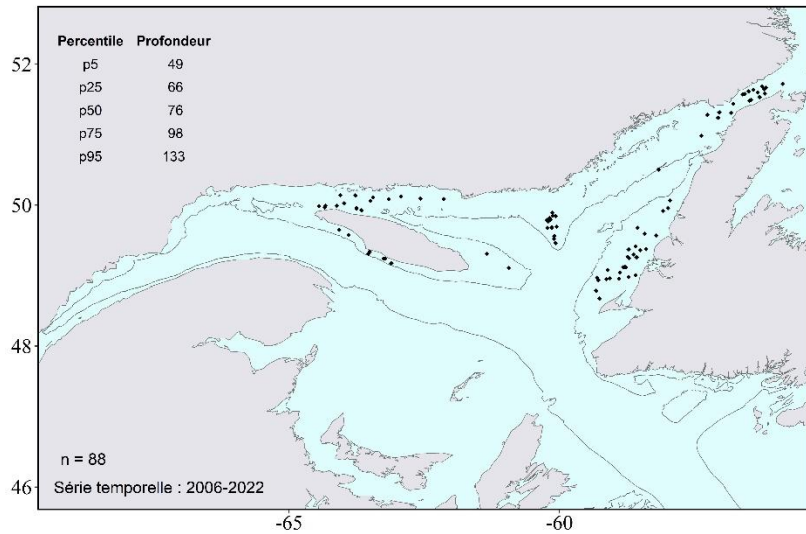




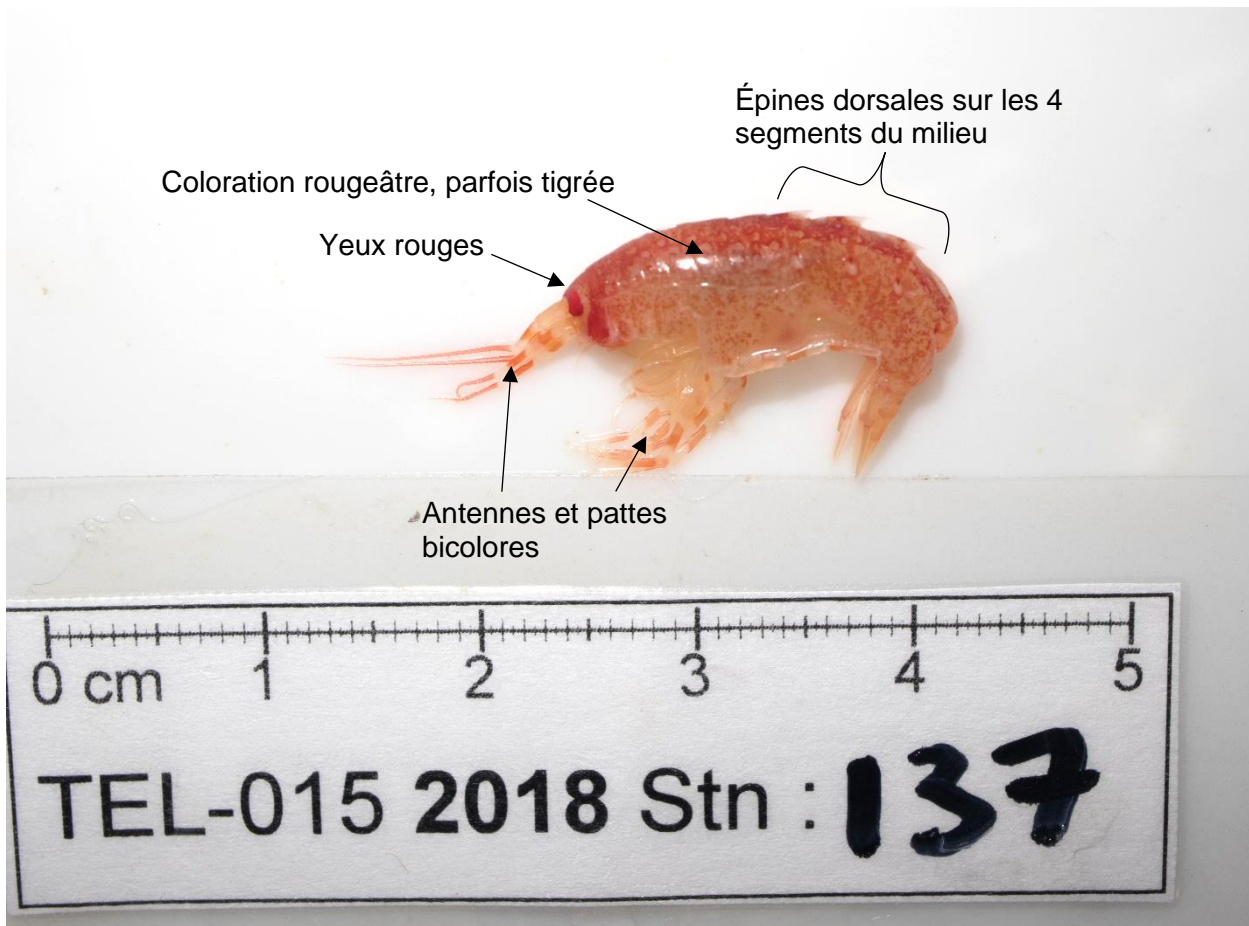
Eusirus cuspidatus (Krøyer, 1845)
 AphiaID: 102199, STRAP: 7195, RVAN: 8358

Écologie

- Substrat : ND.
- Benthopélagique.



Identification

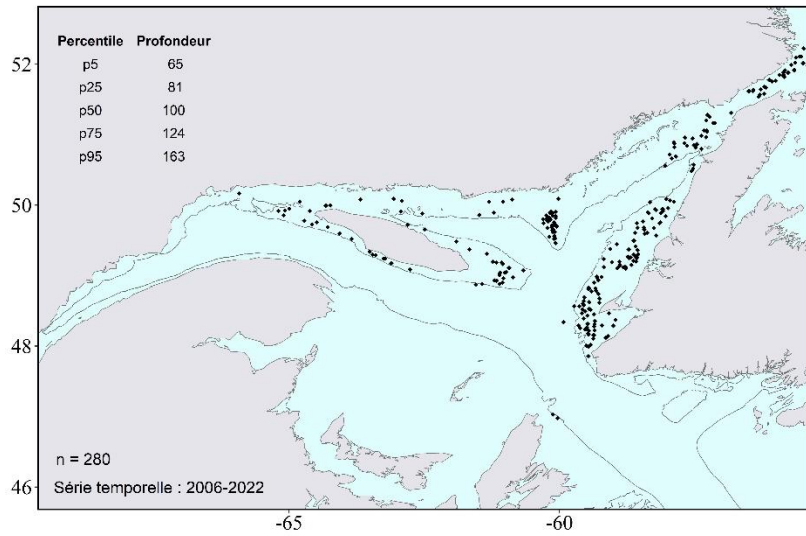




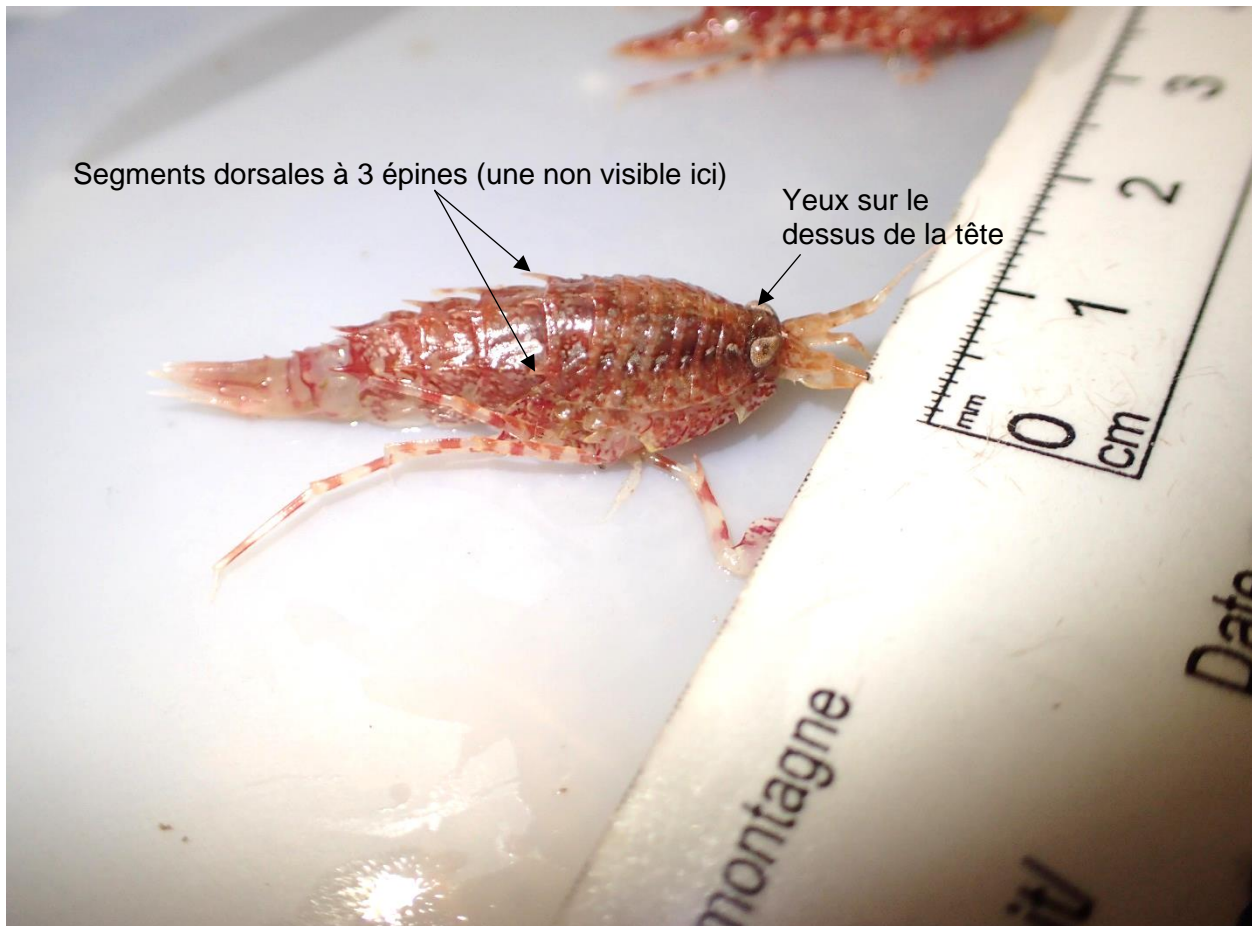
Rhachotropis aculeata (Lepechin, 1780)
AphiaID: 102224, STRAP: 7211, RVAN: 2848

Écologie

- Substrat : ND.
- Benthopélagique.



Identification

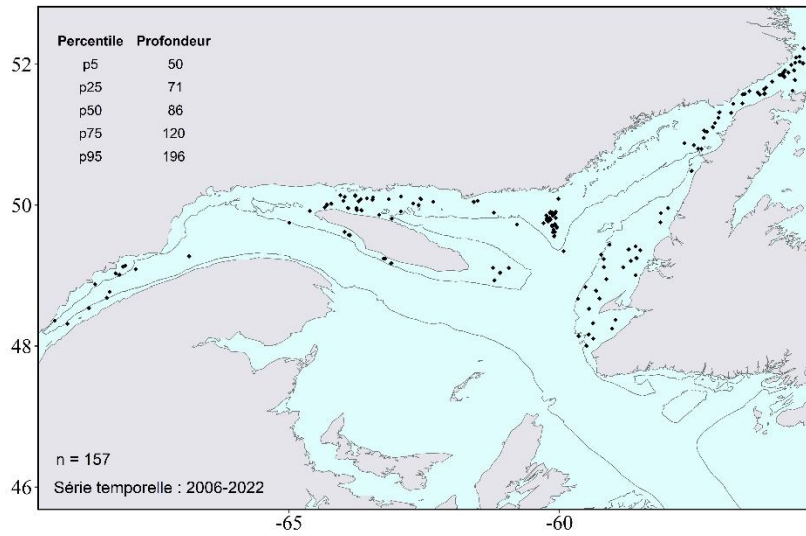




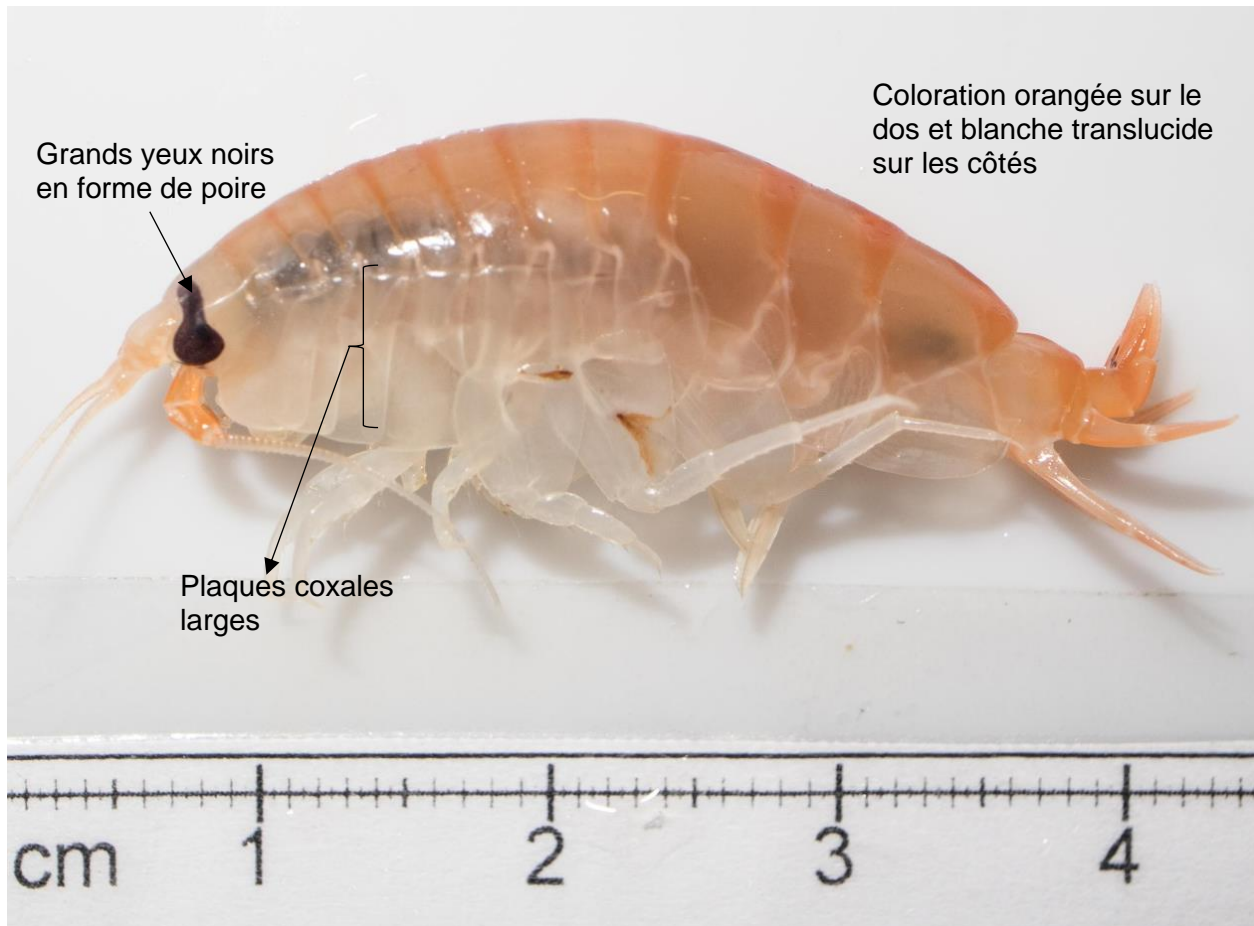
***Anonyx* sp. (Krøyer, 1838)**
AphiaID: 101592, STRAP: 7389, RVAN: 2833

Écologie

- Substrat : ND.



Identification

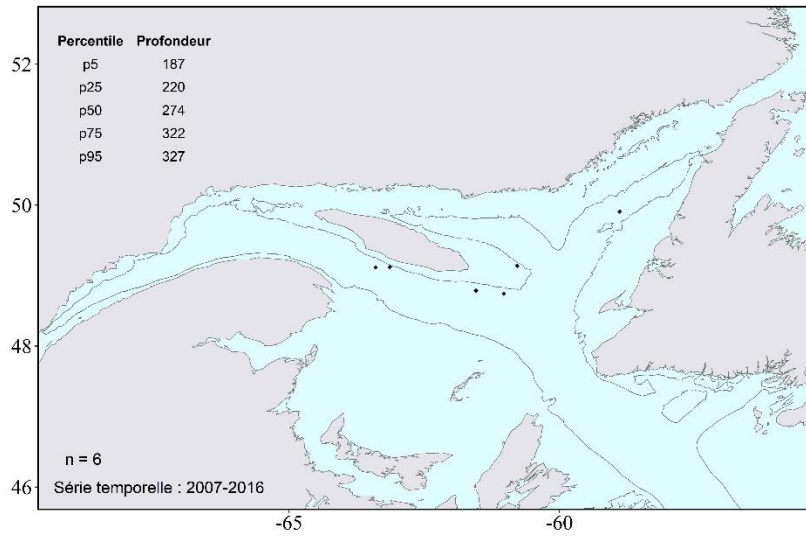




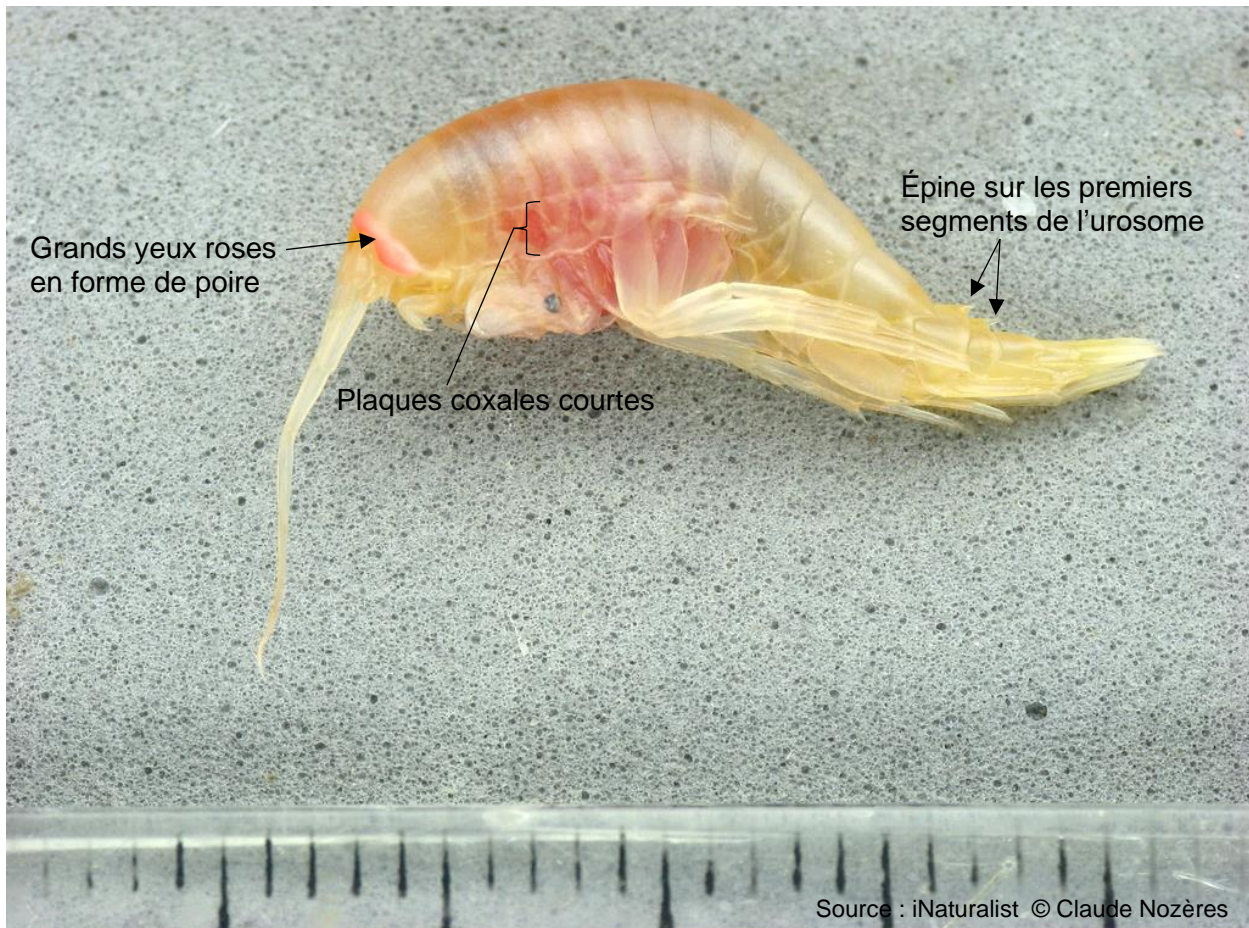
Pardalisca abyssi (Boeck, 1871)
AphiaID: 102945, STRAP: 7594, RVAN: -

Écologie

- Substrat : ND.



Identification

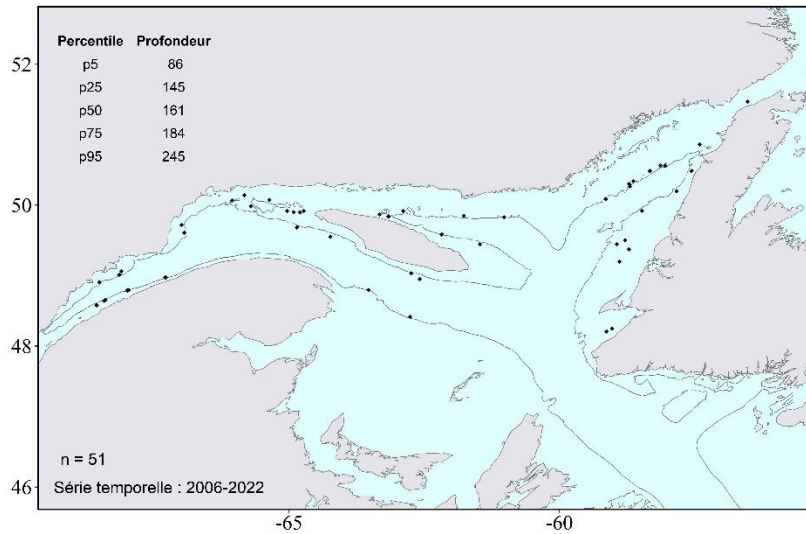




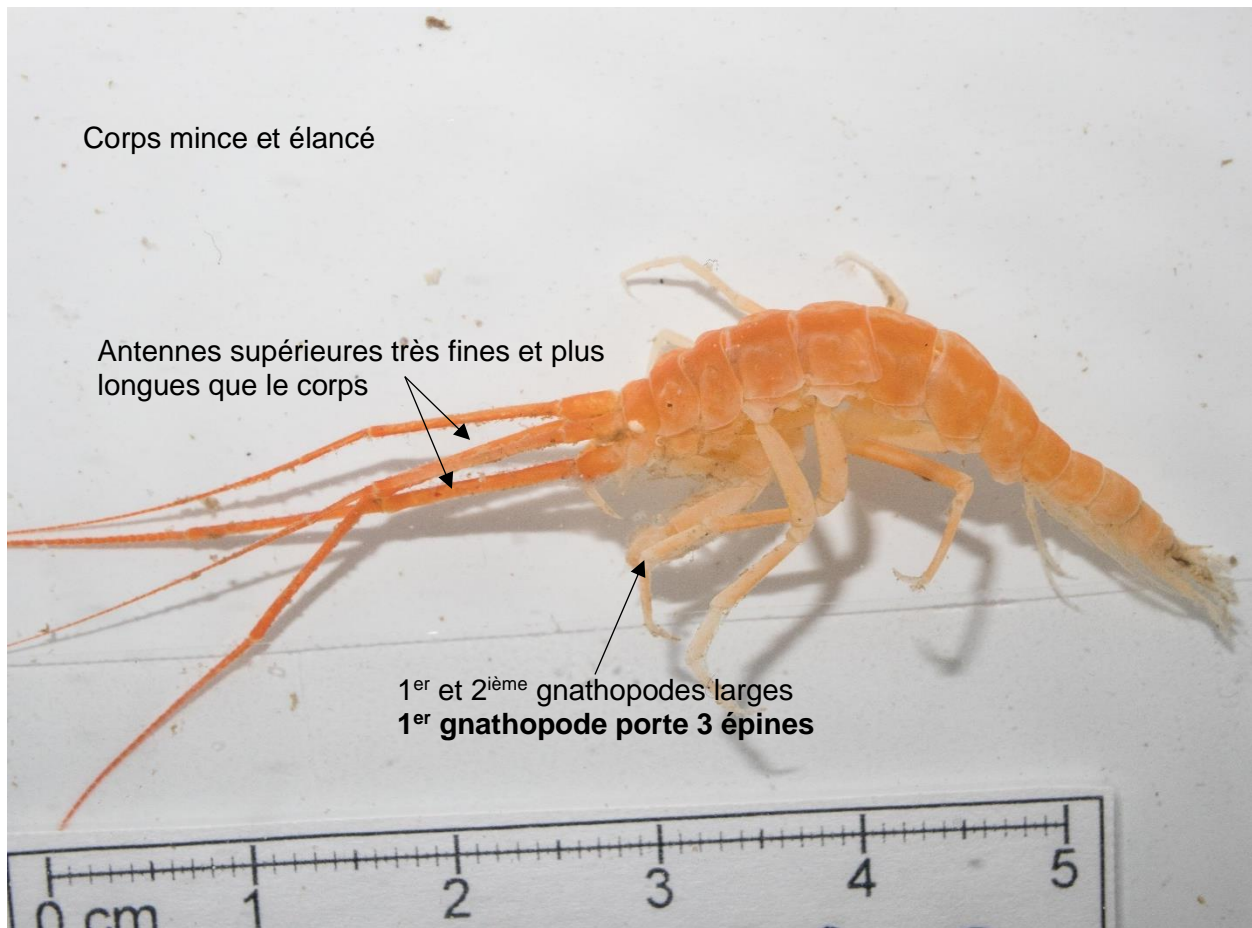
***Neohela monstrosa* (Boeck, 1861)**
 AphiaID: 102108, STRAP: 7483, RVAN: 2804

Écologie

- Substrat : vase.
- Creuse dans les sédiments pour se cacher des prédateurs et forme de grands terriers.
- Bioturbateur important.



Identification

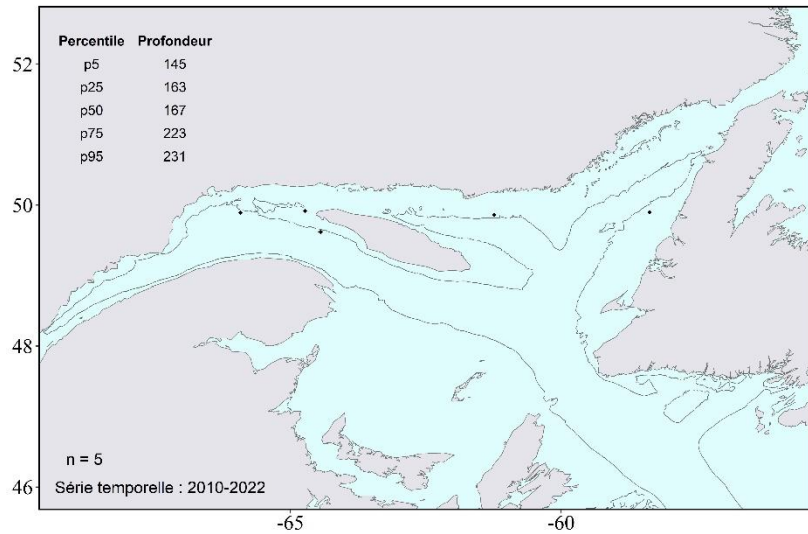




Wimvadocus torelli (Goës, 1866)
AphiaID: 535546, STRAP: 7691, RVAN: 2821

Écologie

- Substrat : ND.



Identification

Identification difficile, car peu de caractères distinctifs visible à l'œil nu;
prendre en photo et rapporter le spécimen si possible

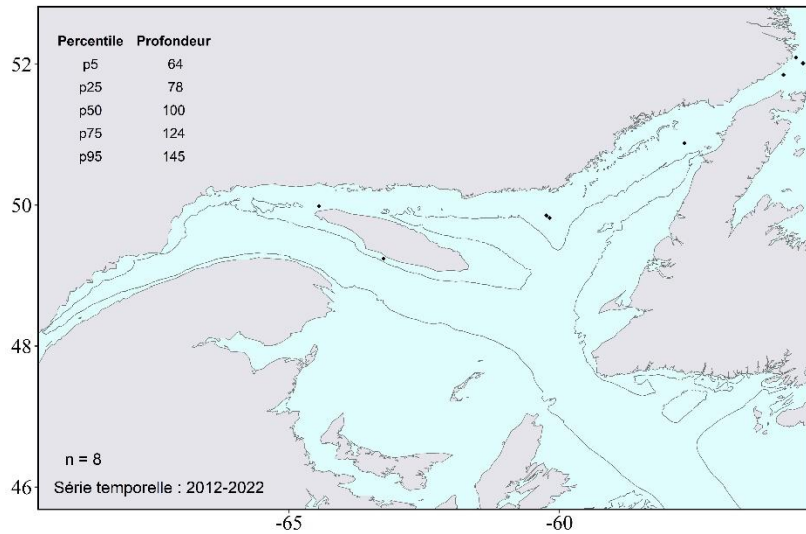




Megamoera dentata (Krøyer, 1842)
 AphiaID: 423508, STRAP: 7268, RVAN: 2812

Écologie

- Substrat : ND.



Identification

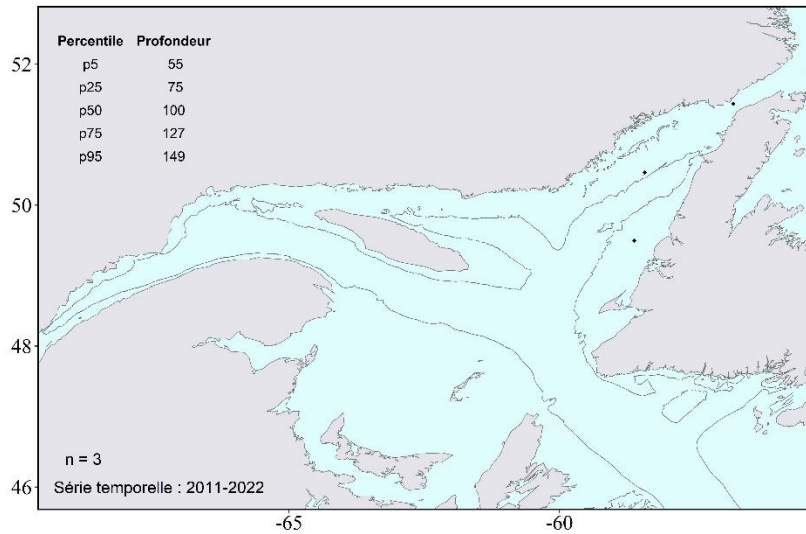




Maera loveni (Bruzelius, 1859)
 AphiaID: 102820, STRAP: 7279, RVAN: 2825

Écologie

- Substrat : sable, vase.
- Creuse des terriers dans l'argile sableuse à l'intérieur desquels il vit, se nourrissant des matériaux du fond.



Identification

Identification difficile, car peu de caractères distinctifs visibles à l'œil nu; prendre en photo et rapporter le spécimen si possible



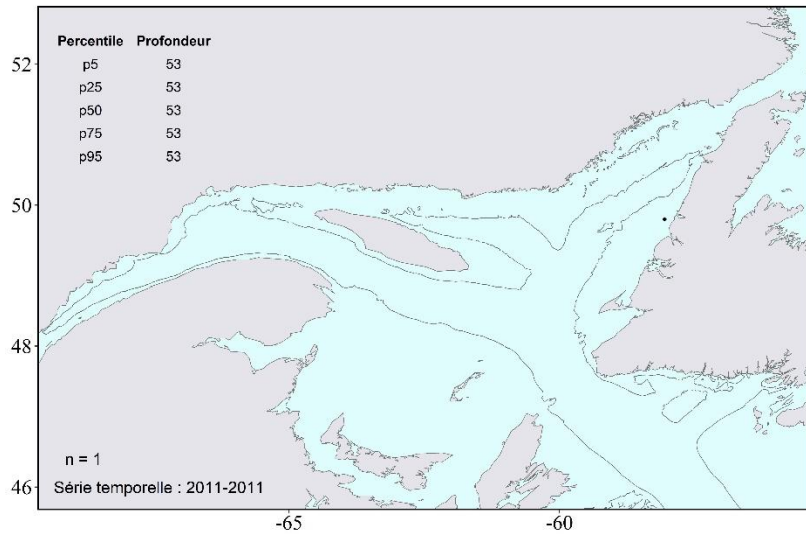


Oediceros saginatus (Krøyer, 1842)

AphiaID: 102908, STRAP: 7555, RVAN: -

Écologie

- Substrat : NA.



Identification

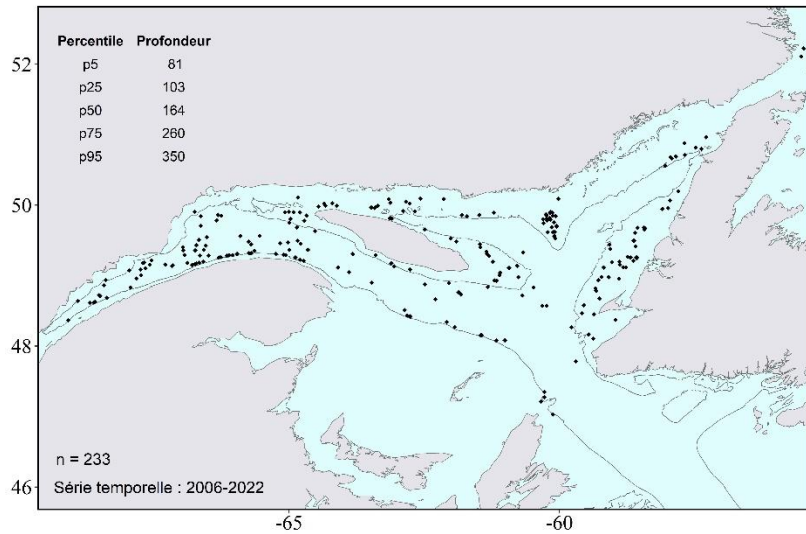




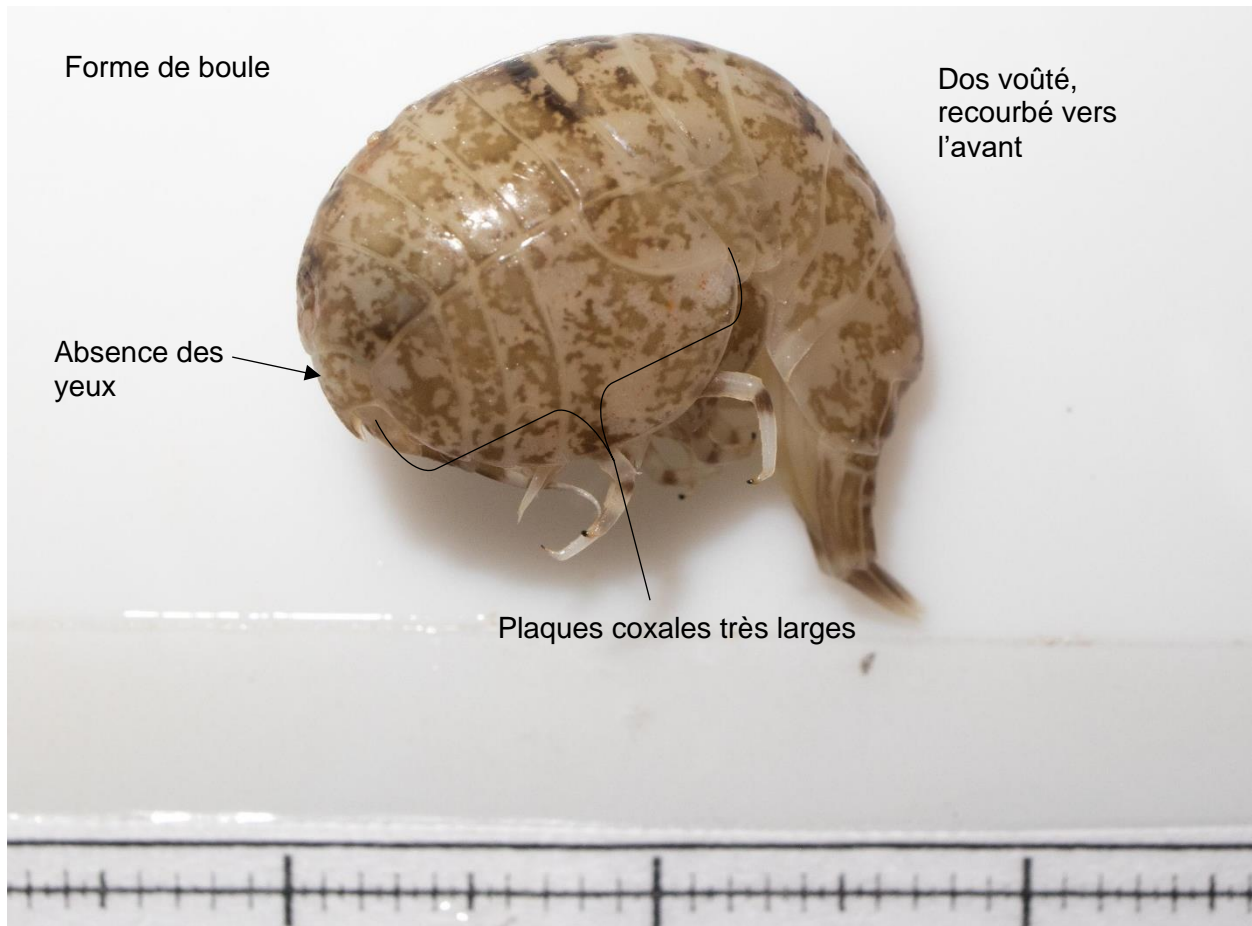
Stegocephalus inflatus (Krøyer, 1842)
AphiaID: 103105, STRAP: 7750, RVAN: 7746

Écologie

- Substrat : NA.



Identification



Phylum Arthropoda

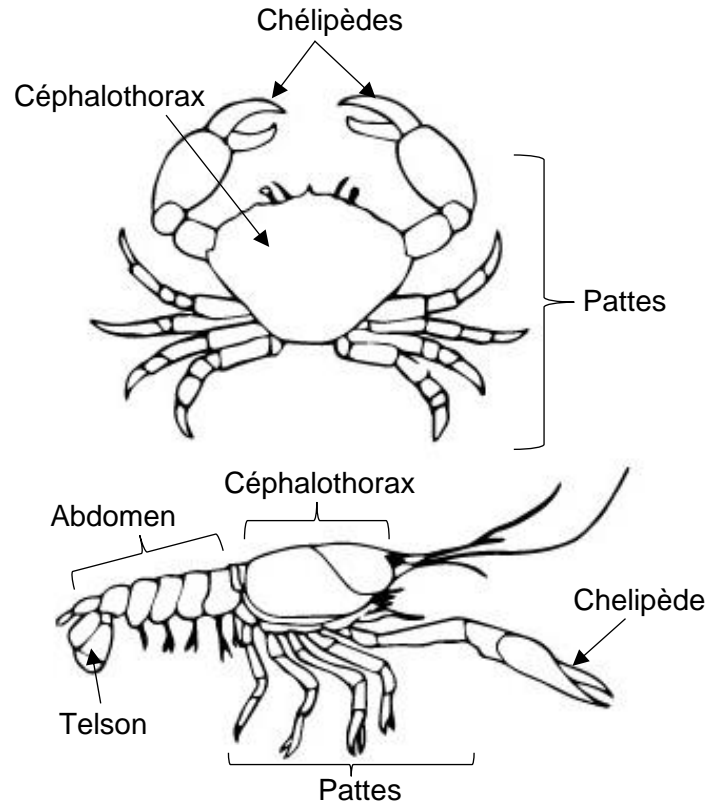
Ordre **Decapoda** (Latreille, 1802)
AphiaID: 1130, STRAP: 8019, RVAN: 2100

CRABES, HOMARDS ET CREVETTES

Les décapodes sont des crustacés à carapace retrouvés principalement en milieu marin. Ils ont une très grande importance commerciale dans la majorité des régions où on les retrouve. Ils muent de façon périodique afin de remplacer leur carapace, ce qui leur permet de grandir. Certains décapodes ont un corps arrondi et aplati dorso-ventralement, comme les crabes et les bernard-l'hermite, alors que d'autres, comme les homards et les crevettes, ont un corps allongé et aplati latéralement. Ils portent cinq paires de **pattes**, d'où leur nom Decapoda. La première paire de pattes, appelée **chélipède**, est généralement plus longue que les autres et portent des pinces à son extrémité. La tête et le thorax, appelé **céphalothorax**, sont fusionnés. Chez les crabes, l'abdomen et le thorax sont recourbés sous le céphalothorax sur la partie ventrale de l'animal. Chez les homards et les crevettes, l'**abdomen** est aussi long que le céphalothorax et se termine par le **telson**. Ce dernier est formé de cinq uropodes en forme d'aileron.

Chez les **bernard-l'hermite**, l'abdomen est mou, c'est-à-dire qu'il n'est pas recouvert par une carapace. Les bernard-l'hermite vivent donc en partie cachés dans de vieux coquillages pour protéger leur abdomen des prédateurs.

Cinq espèces de crabes et une seule espèce de homard sont capturées dans le relevé NGSL. Le groupe des crevettes est beaucoup plus diversifiés avec vingt-six espèces identifiées dont deux crevettes fouisseuses. Trois espèces de bernard-l'hermite sont capturées lors du relevé NGSL : *P. arcuatus*, *P. pubescens* et *P. acadianus*. Ces dernières sont historiquement identifiées au genre *Pagurus*, mais pourraient être identifiées à l'espèce sur le navire.



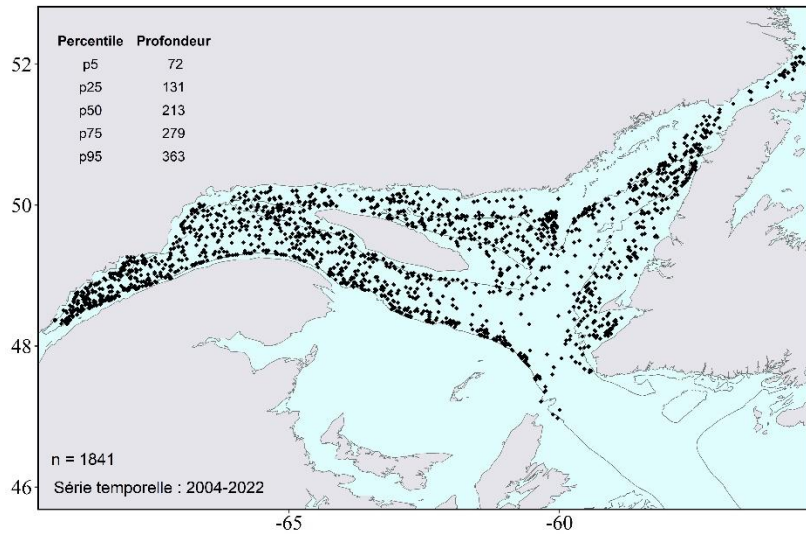
© Laurie Isabel



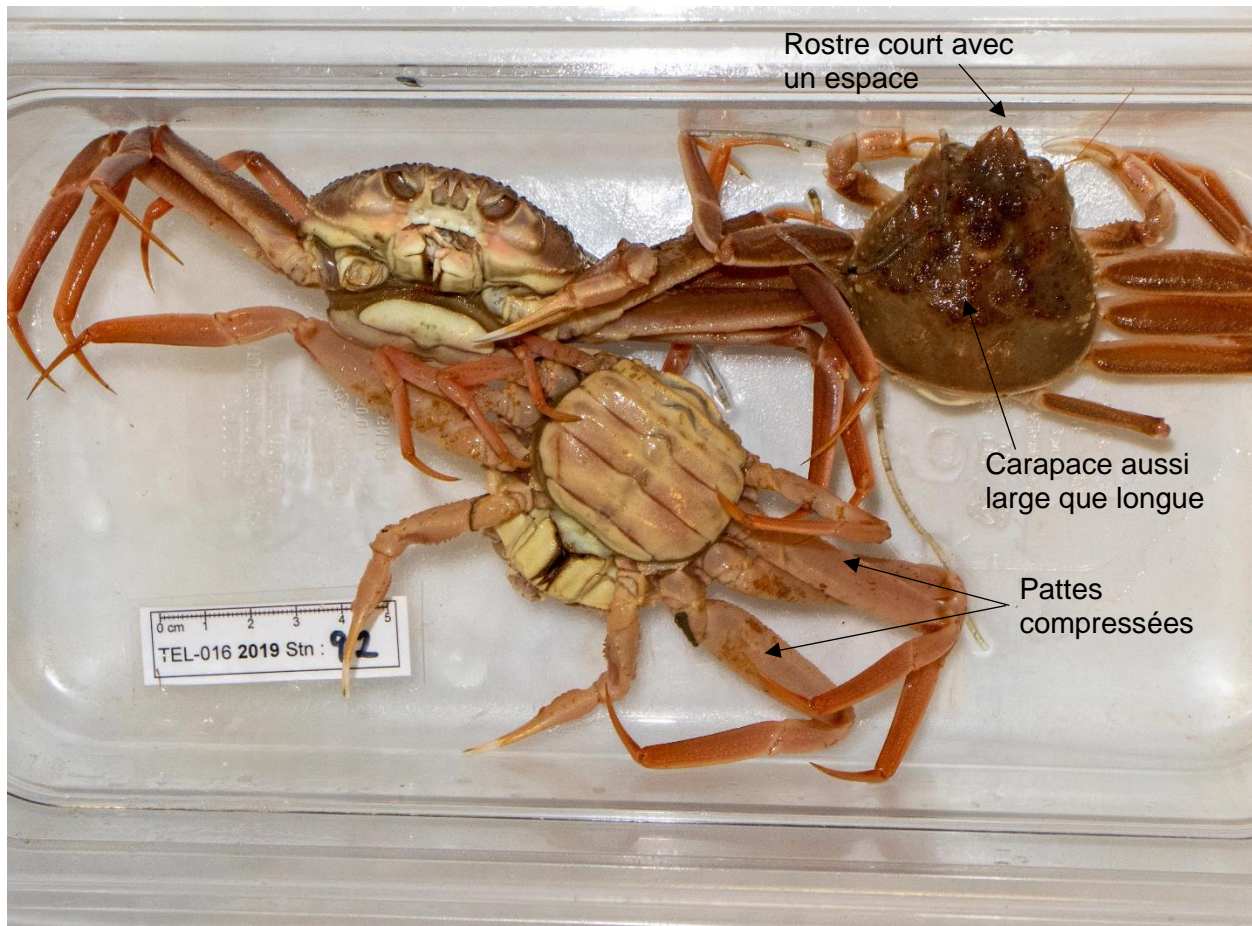
Chionoecetes opilio (Fabricius, 1788)
AphiaID: 107315, STRAP: 8213, RVAN: 2526

Écologie

- Substrat : sable, vase.
- Espèce d'eaux froides : tolérance aux températures entre -1.5°C et 7°C.
- Importante pêche commerciale.



Identification

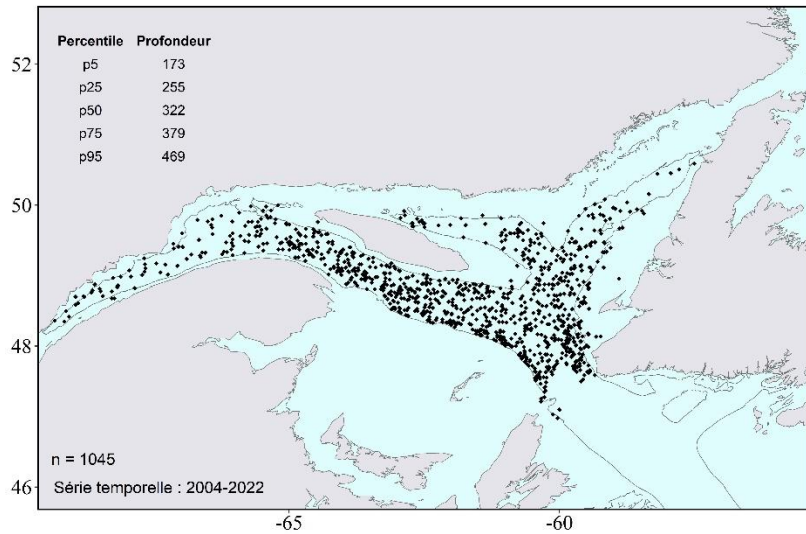




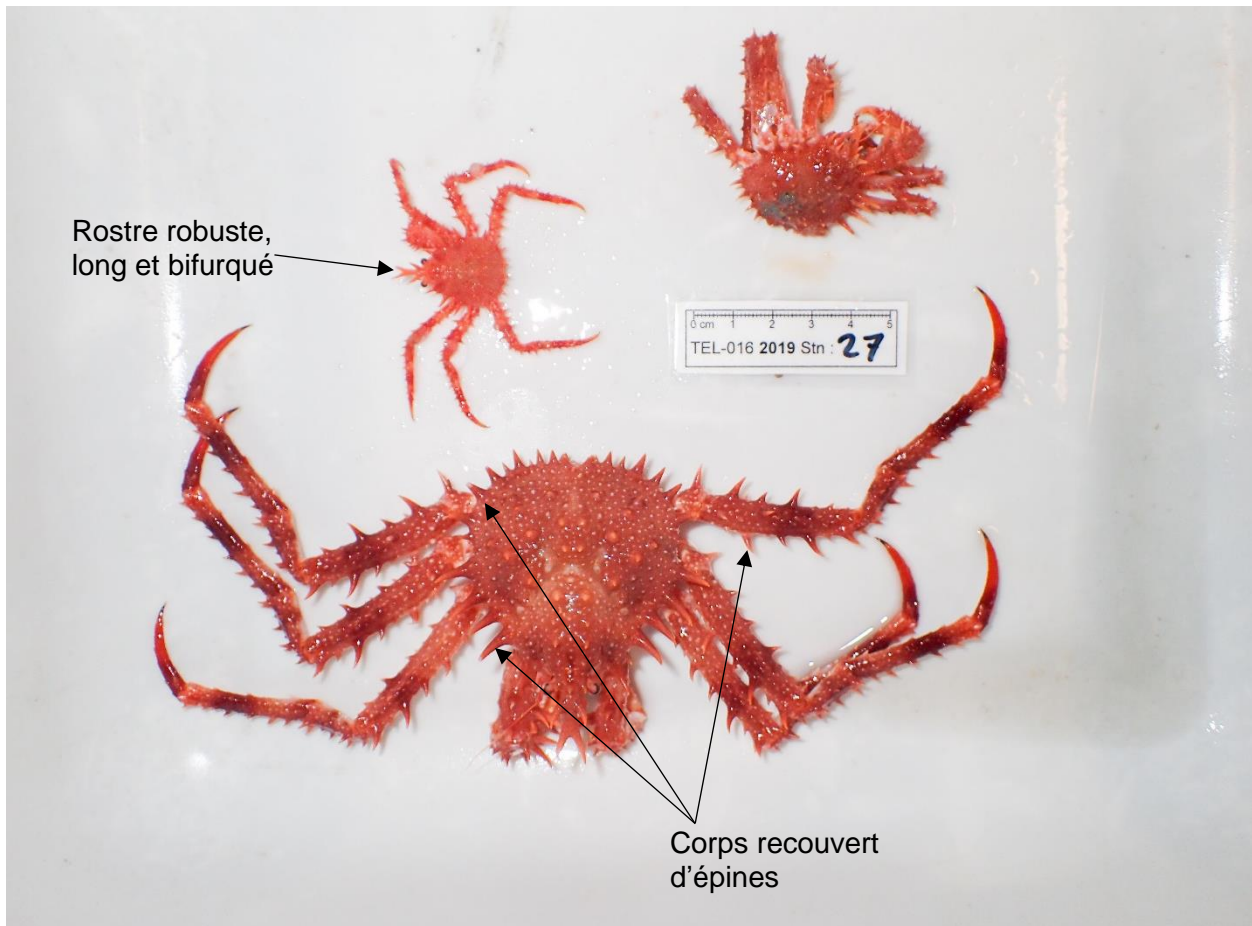
Lithodes maja (Linnaeus, 1758)
AphiaID: 107205, STRAP: 8196, RVAN: 2523

Écologie

- Substrat : tous types.
- Espèce d'eaux froides.



Identification

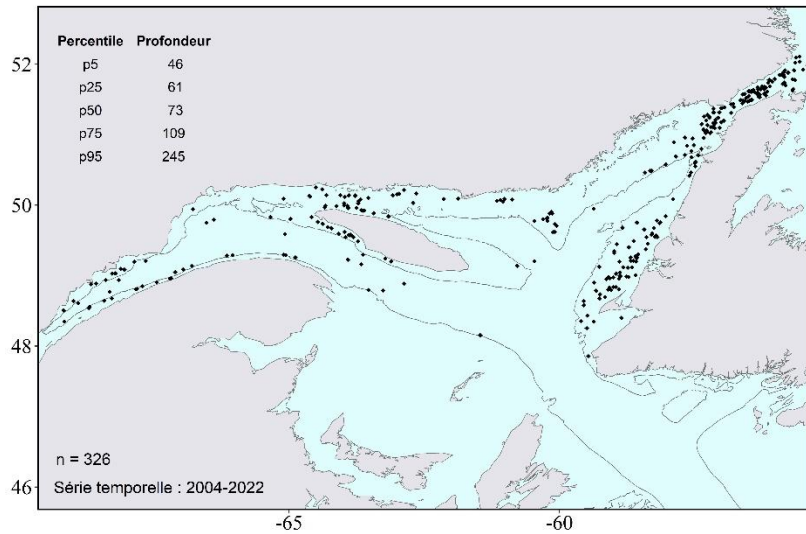




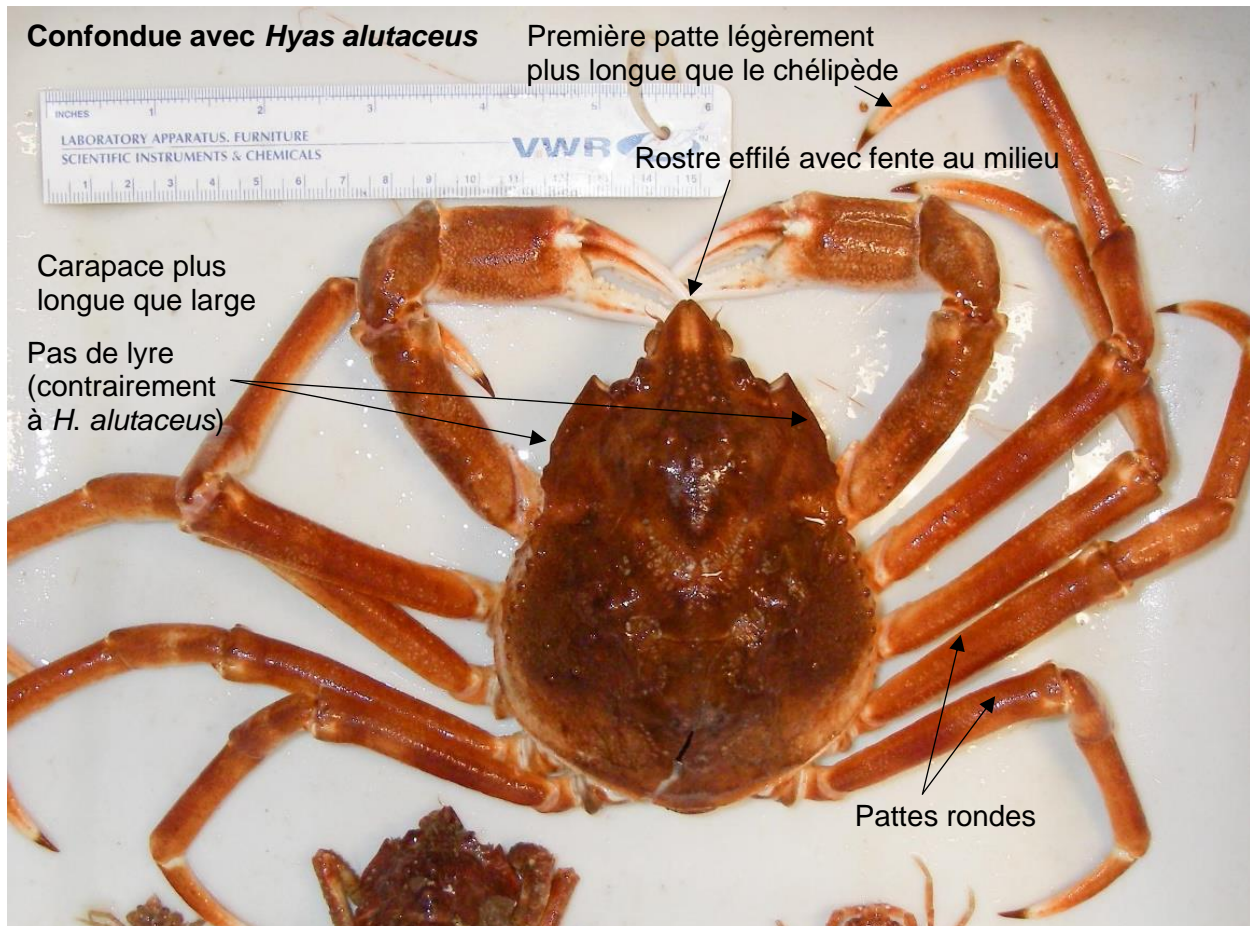
Hyas araneus (Linnaeus, 1758)
 AphiaID: 107322, STRAP: 8217, RVAN: 2527

Écologie

- Substrat : tous types.
- Coloration diversifiée et épiphytes sur la carapace pour le camouflage.



Identification

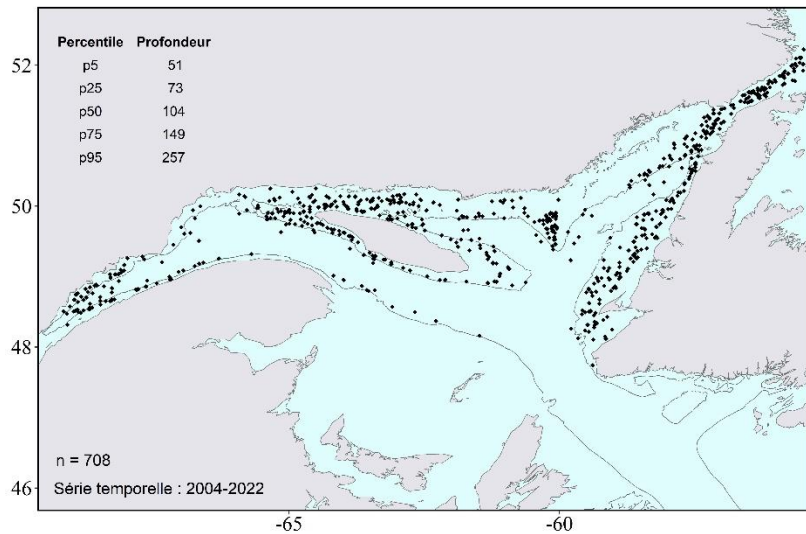




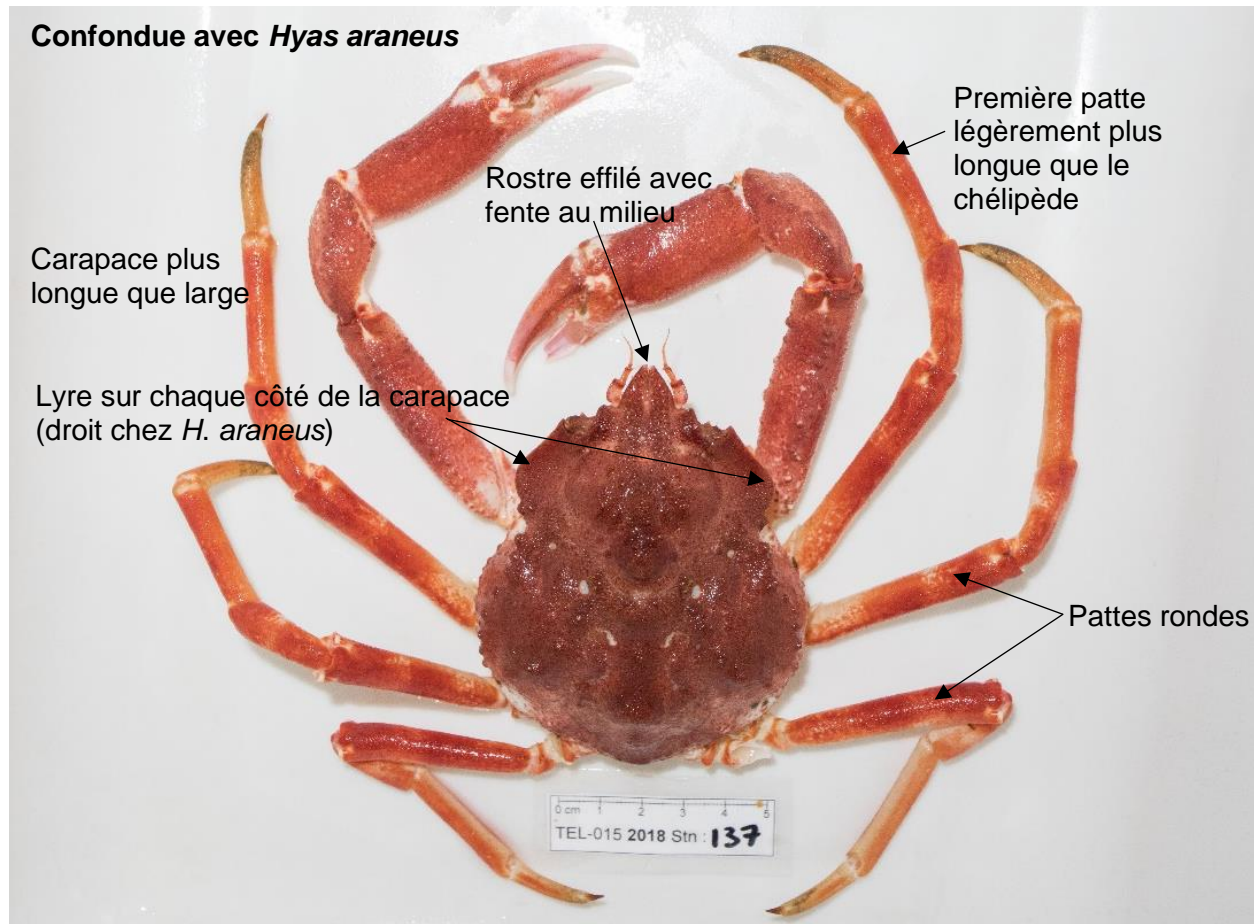
Hyas alutaceus (Brandt, 1851)
 AphiaID: 442166, STRAP: 8219, RVAN: 7738

Écologie

- Substrat : tous types.
- Cette espèce a une distribution plus étendue que son congénère *H. araneus* (en arctique).
- Coloration diversifiée et épiphytes sur la carapace pour le camouflage.



Identification

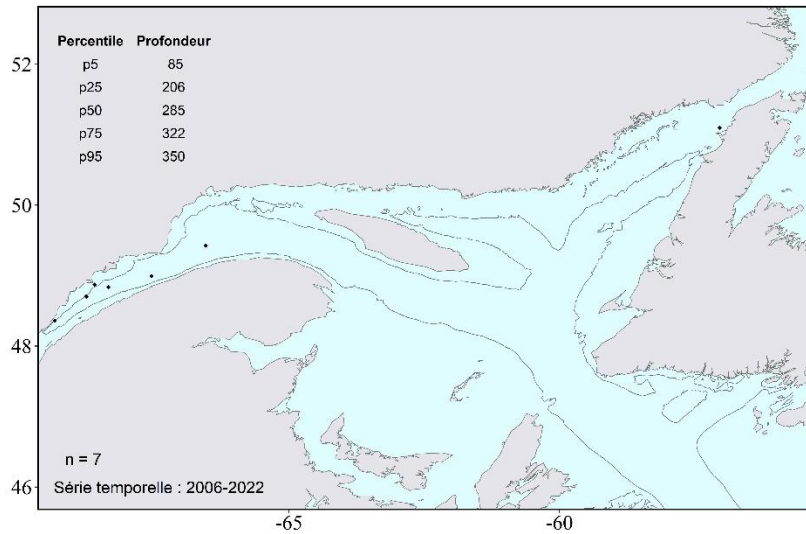




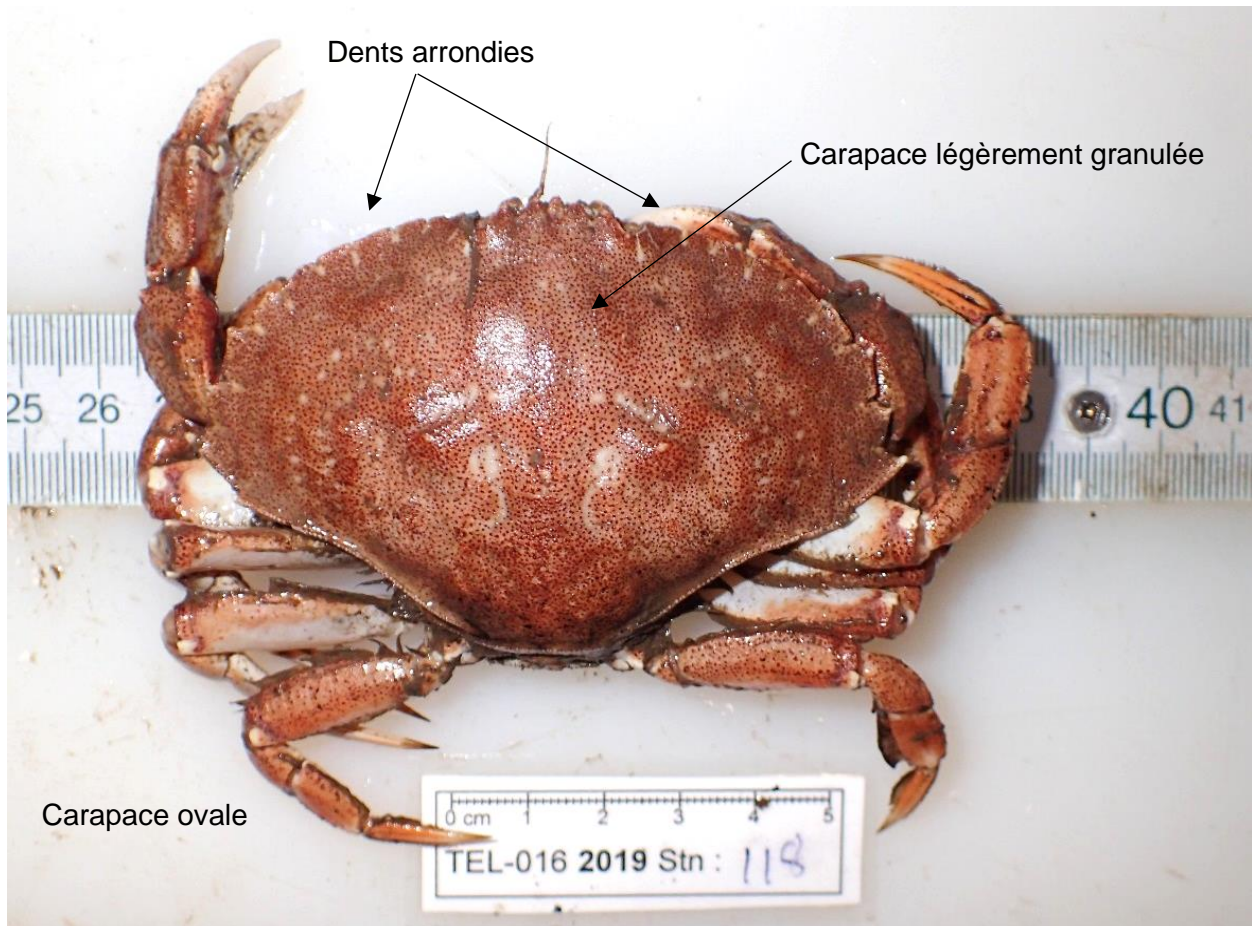
***Cancer irroratus* (Say, 1817)**
 AphiaID: 158057, STRAP: 8206, RVAN: 2513

Écologie

- Substrat : roche, vase, sable.
- Les petits individus vivent généralement sur des substrats rocheux et les grands individus sur des substrats mous.
- Prédateur important des pétoncles.



Identification



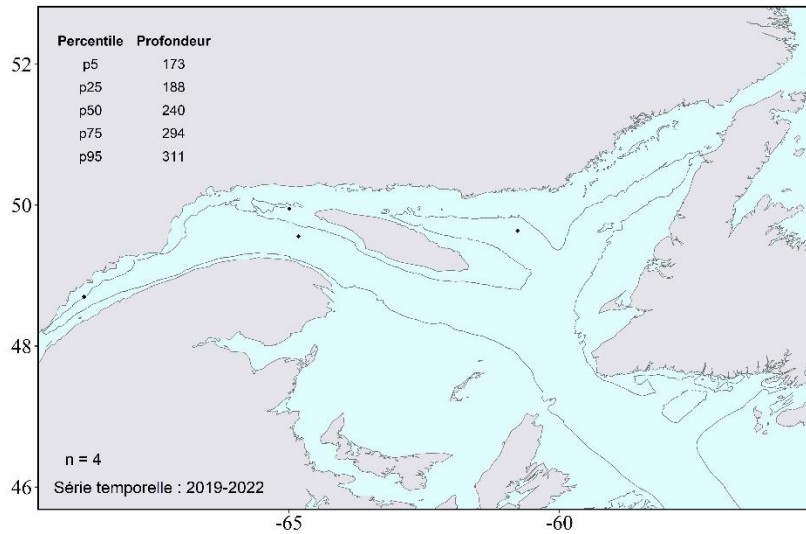


Homarus americanus (H. Milne Edwards, 1837)

AphiaID: 156134, STRAP: 8154, RVAN: 2550

Écologie

- Substrat : sable, roche.
- Importante pêche commerciale.
- Espèce plutôt nocturne; reste généralement cachée dans des crevasses le jour.



Identification

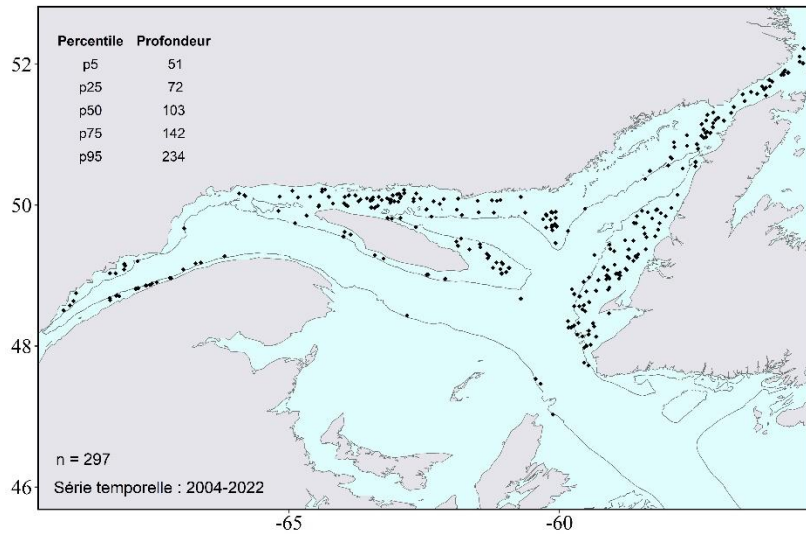




Pagurus sp. (Fabricius, 1775)
 AphiaID: 106854, STRAP: 8178, RVAN: 2561

Écologie

- Substrat : ND.
- Vivent dans les coquillages vides de gastéropode pour se protéger.



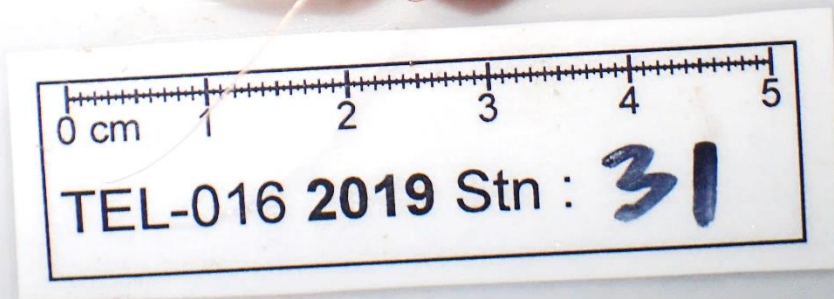
Identification



Portion postérieure molle enfouie dans le coquillage



Corps asymétrique; un côté plus gros que l'autre

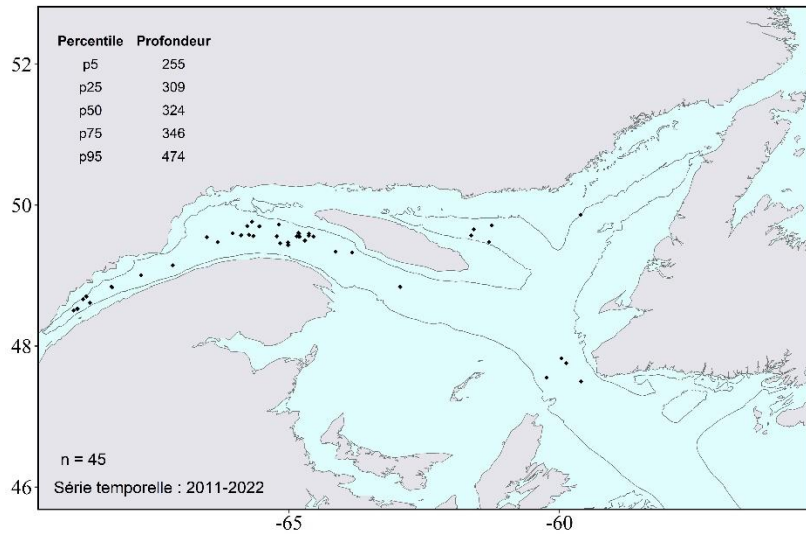




Calocaris templemani (Squires, 1965)
 AphiaID: 158383, STRAP: 8173, RVAN: 7728

Écologie

- Substrat : sable, vase.
- Fouisseuse; forme des tunnels dans le sédiment jusqu'à 15 cm de profond.



Identification



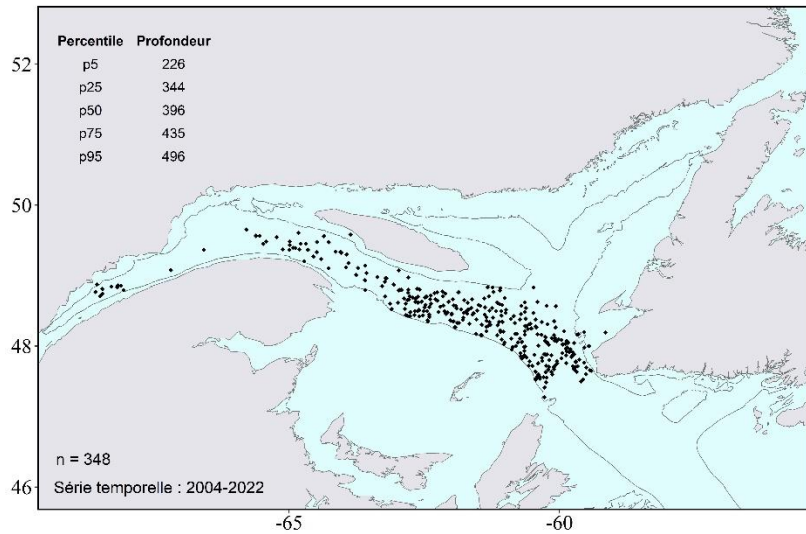


***Munidopsis curvirostra* (Whiteaves, 1874)**

AphiaID: 107175, STRAP: 8164, RVAN: 2566

Écologie

- Substrat : vase.
- Principalement retrouvée dans le chenal Laurentien.
- Espèce bathyale normalement retrouvée à plus de 600 m dans l'Atlantique Nord.



Identification

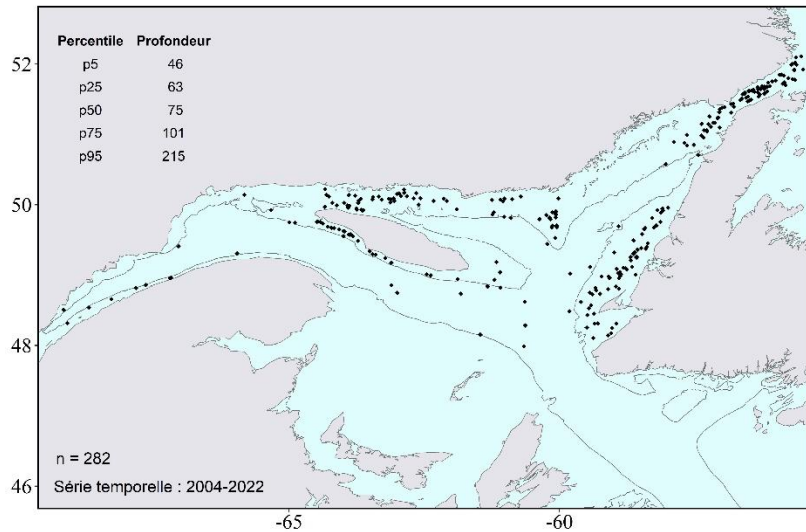




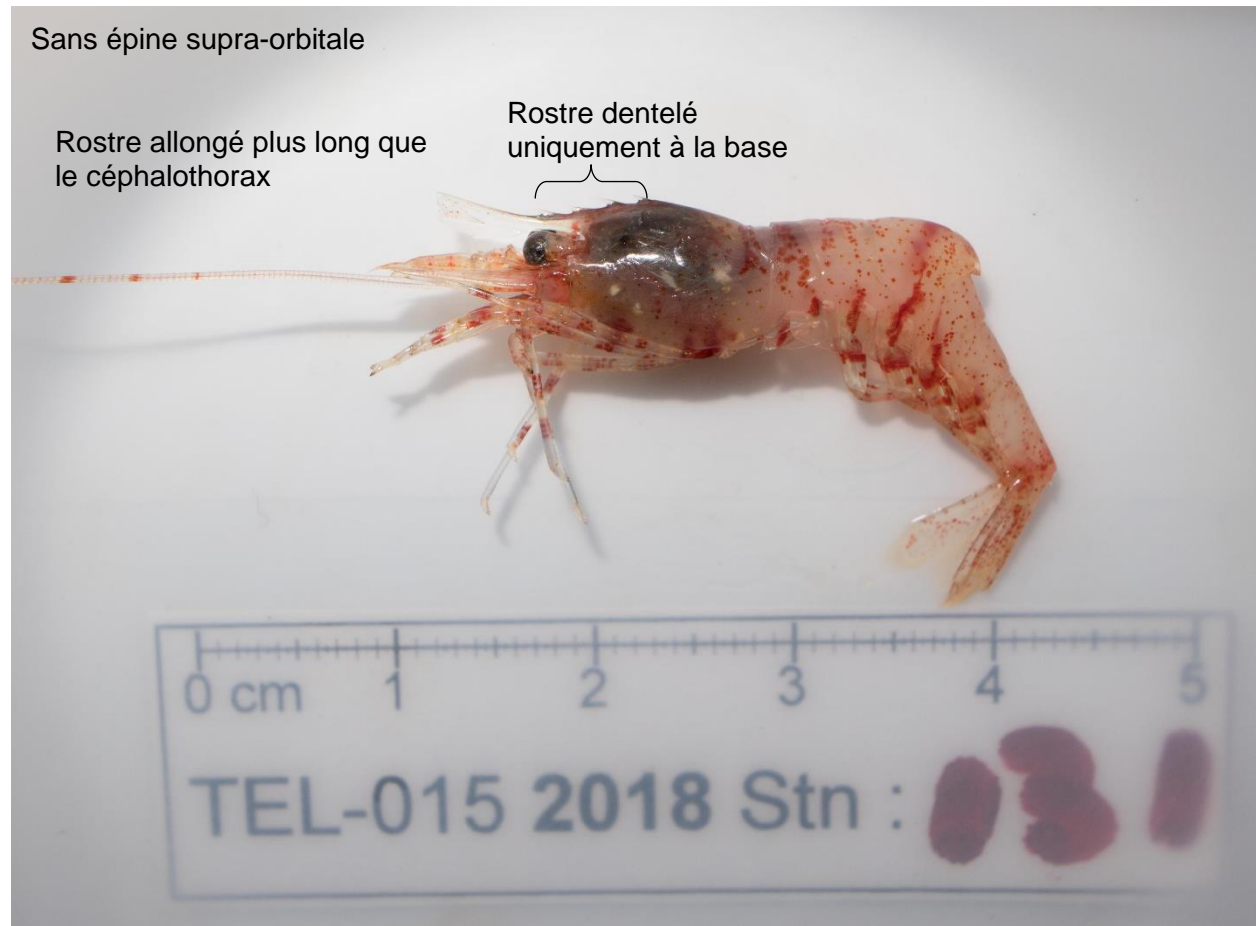
Eualus fabricii (Krøyer, 1841)
AphiaID: 158357, STRAP: 8075, RVAN: 2332

Écologie

- Substrat : vase, roche.
- Espèce d'eaux froides.



Identification

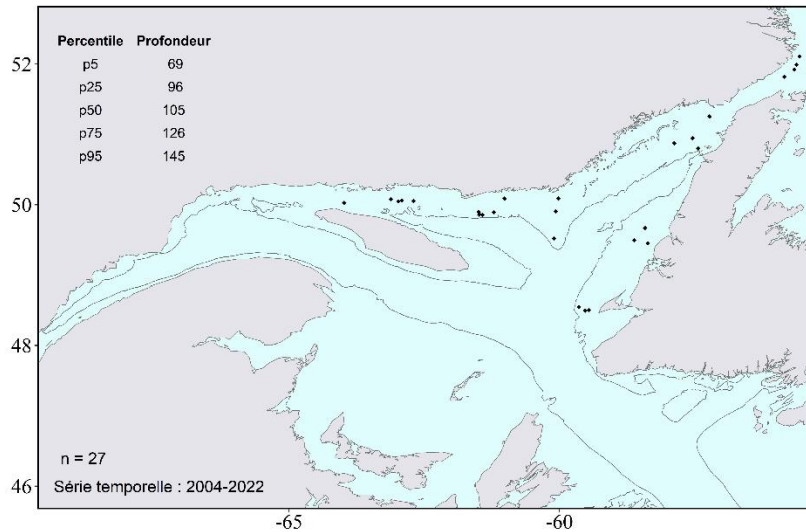




Eualus belcheri (Bell, 1855)
 AphiaID: 107502, STRAP: 8081, RVAN: 7805

Écologie

- Substrat : roche, vase.
- Espèce d'eaux froides.



Identification

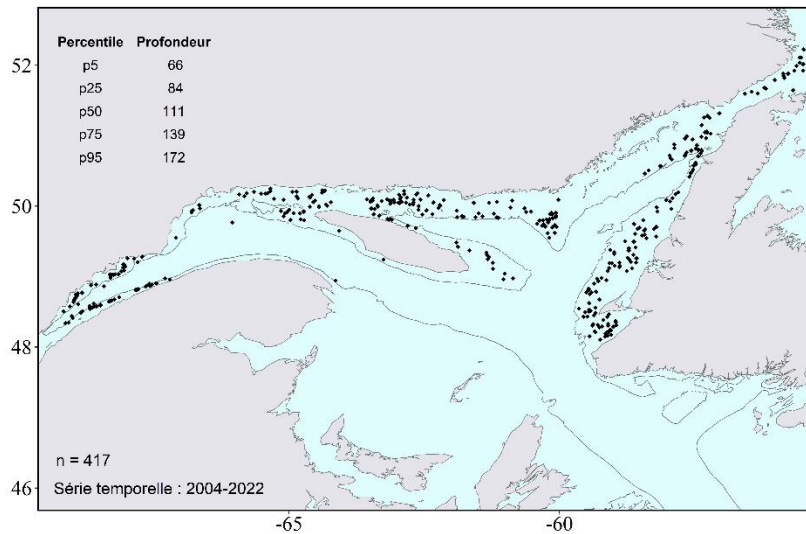




Eualus macilentus (Krøyer, 1841)
AphiaID: 158359, STRAP: 8077, RVAN: 2331

Écologie

- Substrat : vase, roche.



Identification

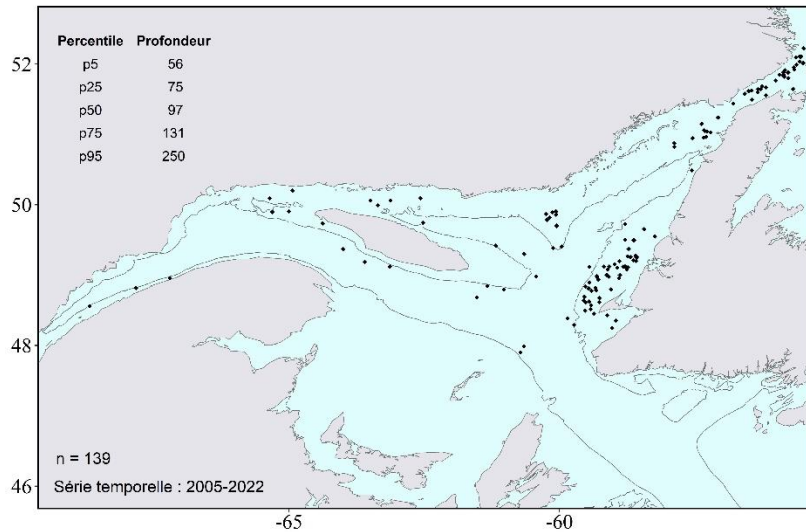




Eualus gaimardii (H. Milne Edwards, 1837)
AphiaID: 107504, STRAP: 8079, RVAN: 2333

Écologie

- Substrat : sable, roche.



Identification

Confondue avec *Eualus belcheri*

Sans épine supra-orbitale

Rostre dentelé sur la face dorsale et ventrale,
un peu plus long que le céphalothorax

Crochet sur le 3^{ème} somite
abdominal (moins
prononcé que *E. belcheri*)



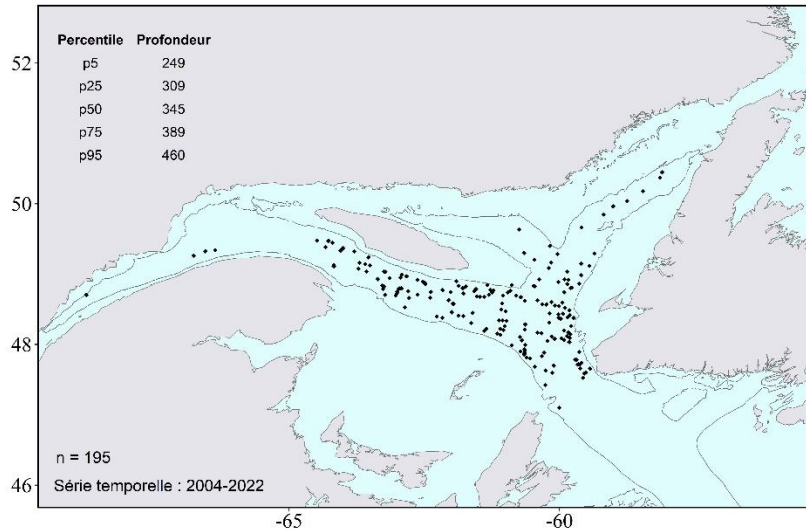


Atlantopandalus propinquus (G. O. Sars, 1870)

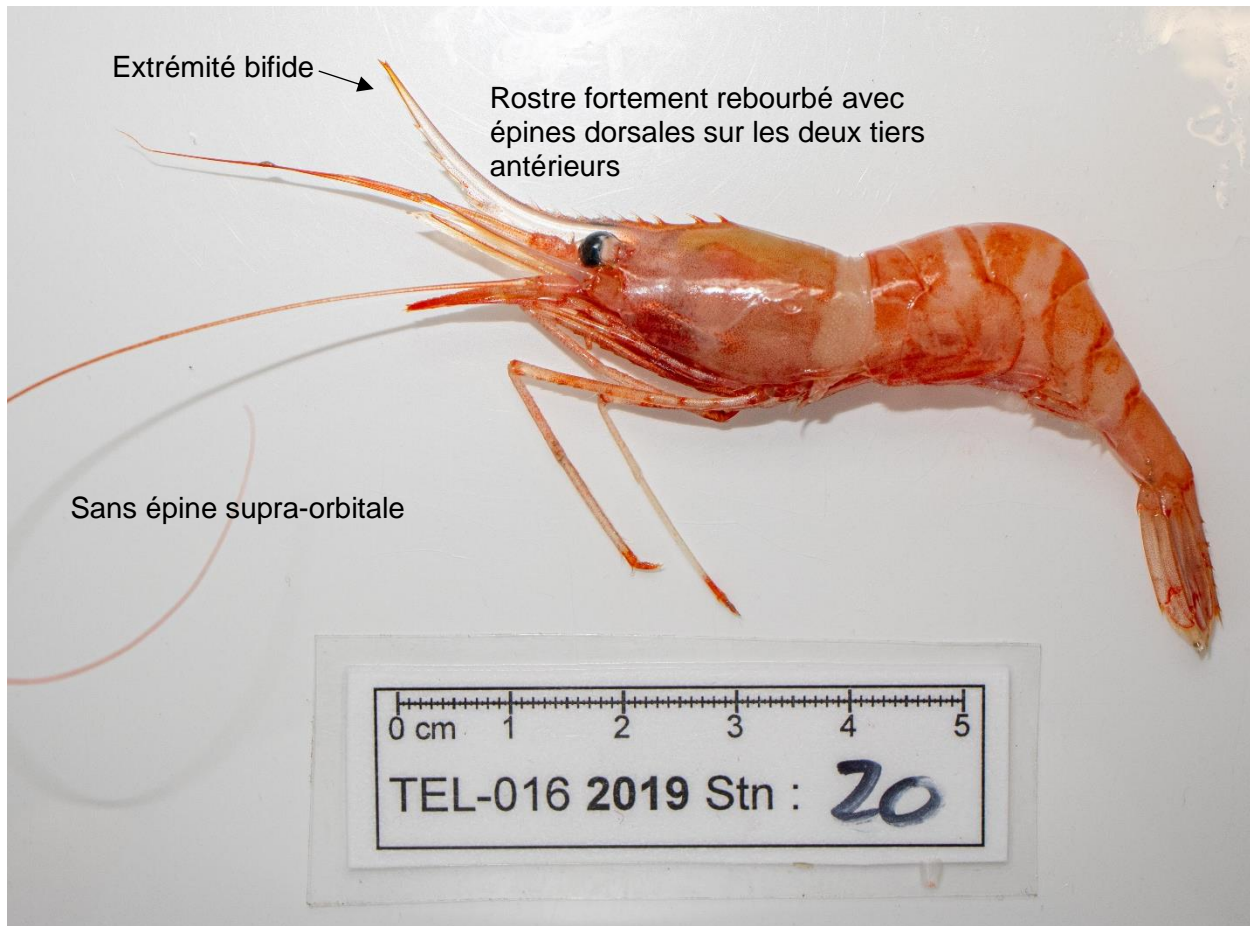
AphiaID: 158351, STRAP: 8113, RVAN: 2213

Écologie

- Substrat : tous types.
- Associée aux eaux chaudes de l'Atlantique.



Identification



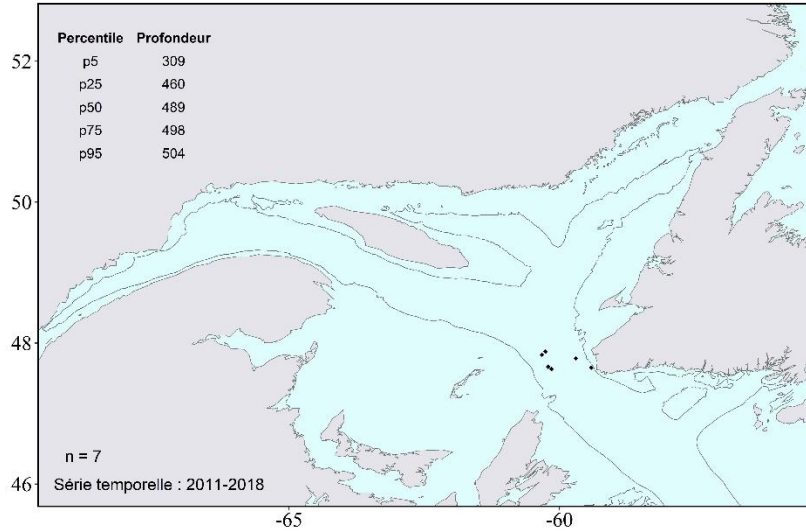


***Hymenopenaeus debilis* (Smith, 1882)**

AphiaID: 107117, STRAP: 8028, RVAN: 7802

Écologie

- Substrat : ND.
- Espèce atlantique retrouvée occasionnellement dans le NGSL près du détroit de Cabot.



Identification

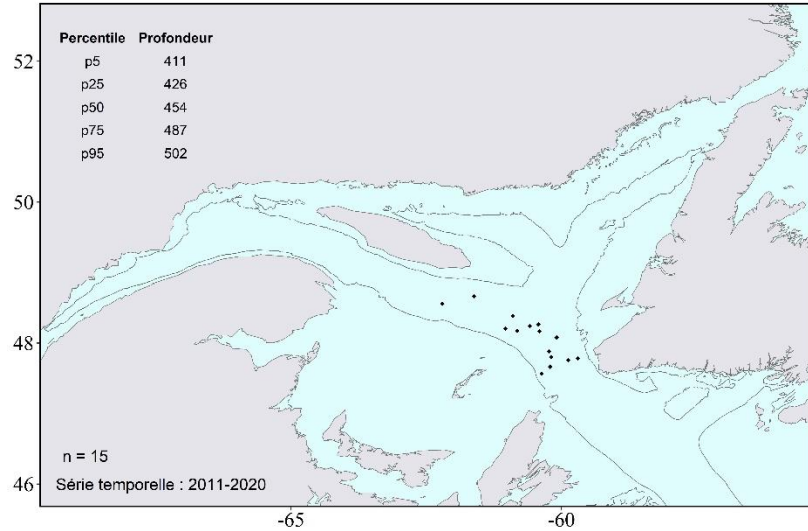




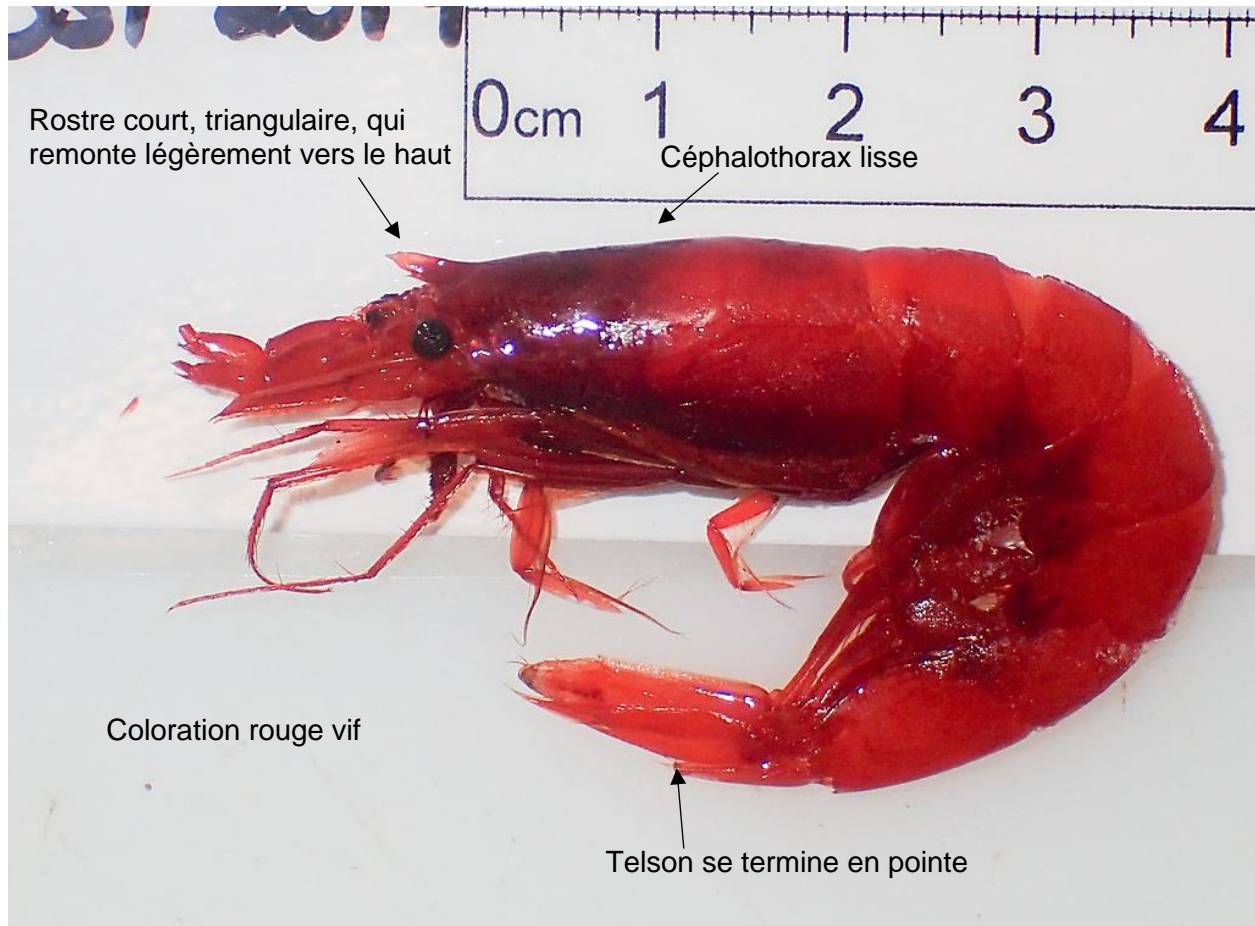
Robustosergia robusta (Smith, 1882)
AphialD: 1056517, STRAP: 8035, RVAN: 1283

Écologie

- Substrat : NA.
- Mésopélagique.
- Espèce effectuant d'importantes migrations verticales.



Identification



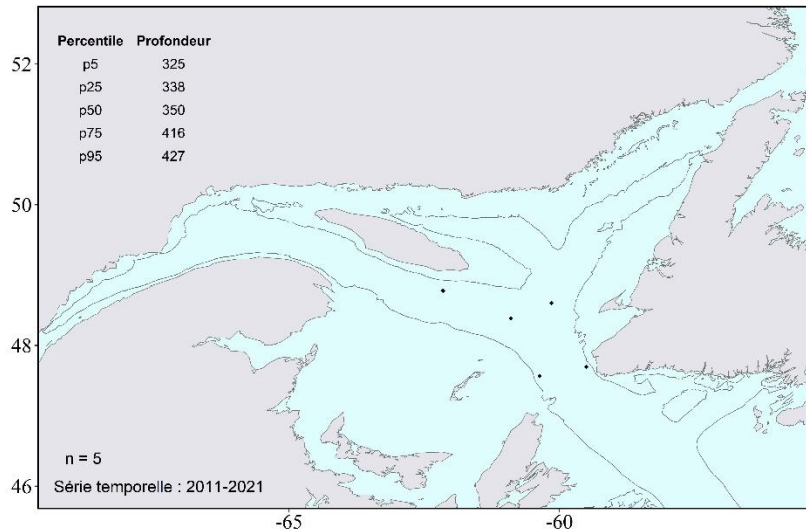


Plesionika martia (A. Milne-Edwards, 1883)

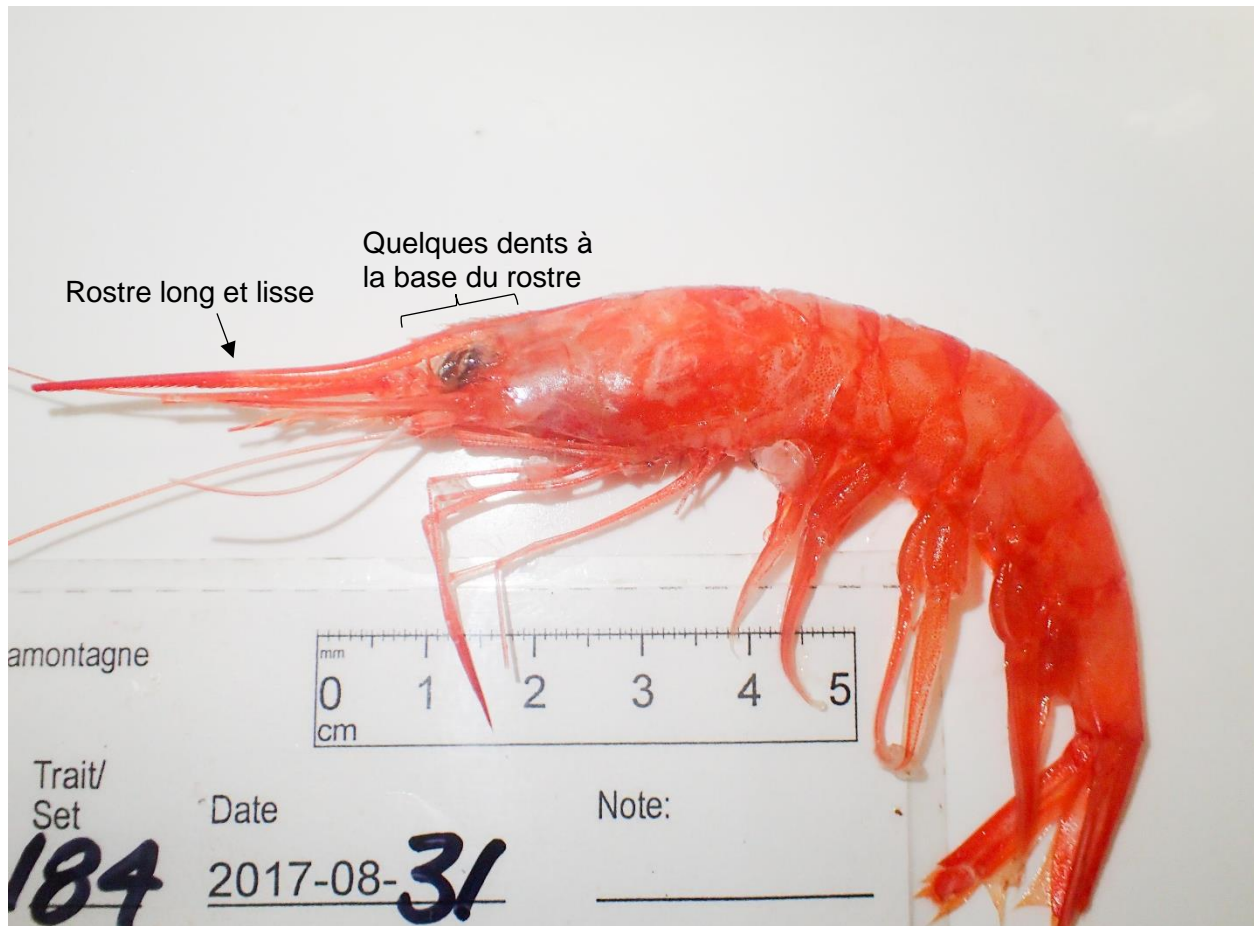
AphiaID: 107661, STRAP: 8114, RVAN: 7806

Écologie

- Substrat : ND.
- Espèce cosmopolite.



Identification

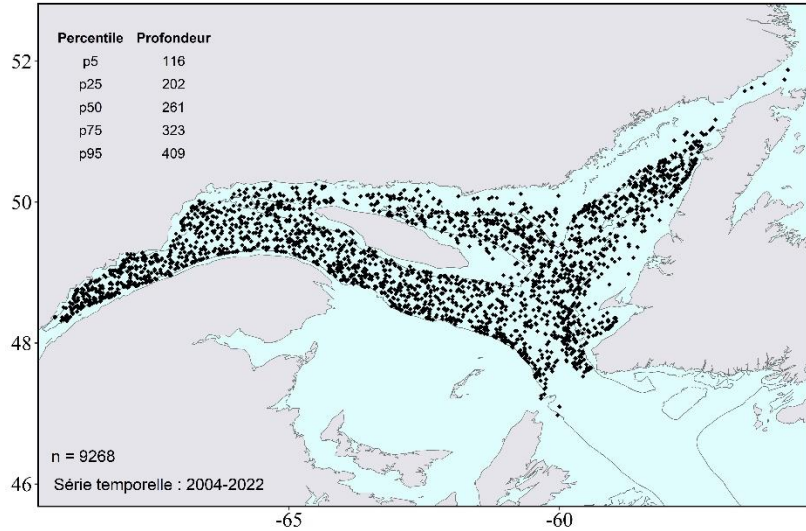




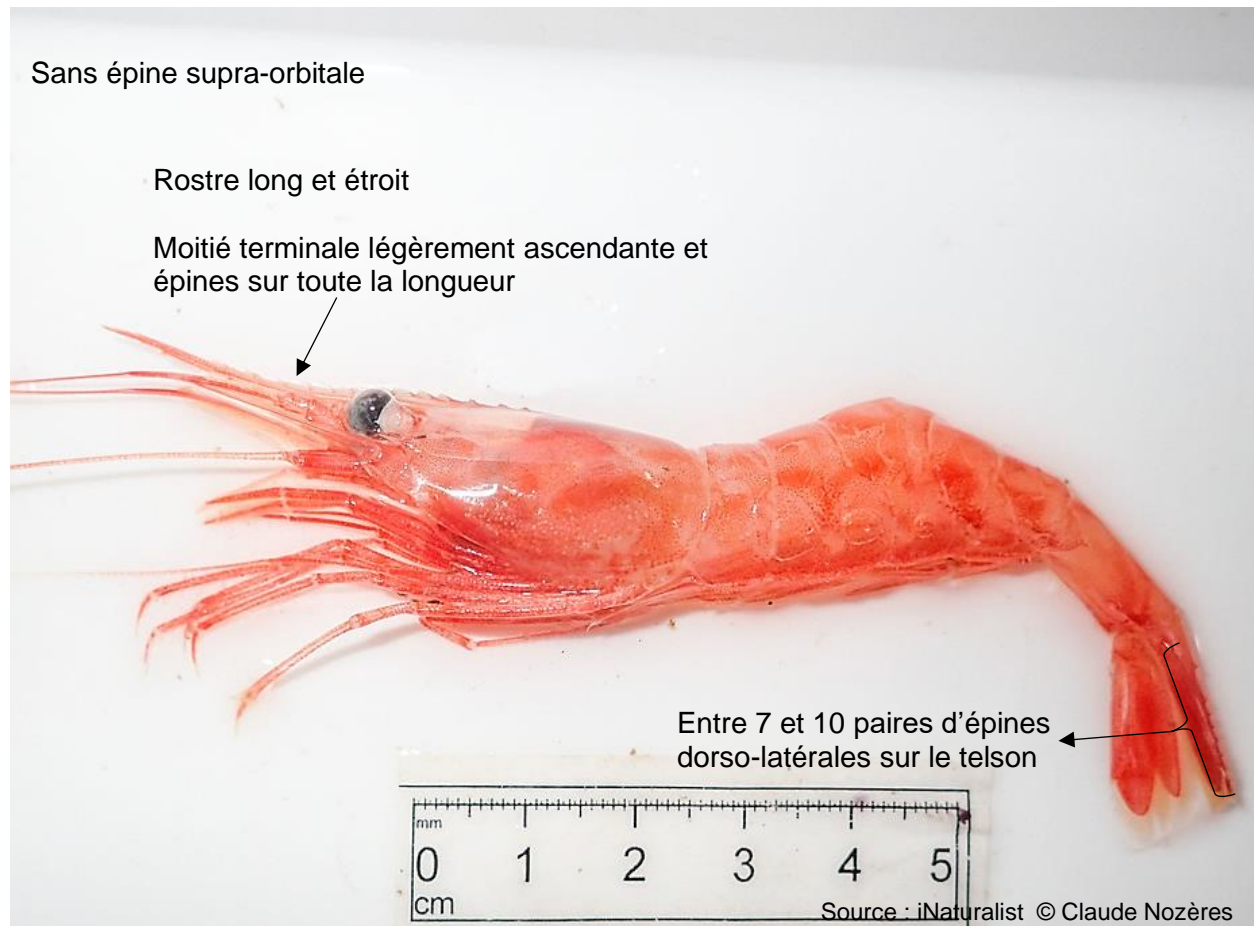
***Pandalus borealis* (Krøyer, 1838)**
 AphiaID: 107649, STRAP: 8111, RVAN: 2211

Écologie

- Substrat : sable, vase.
- Importante pêche commerciale.
- Espèce d'eaux froides : préfère les eaux entre 3 et 7°C dans le NGSL.



Identification

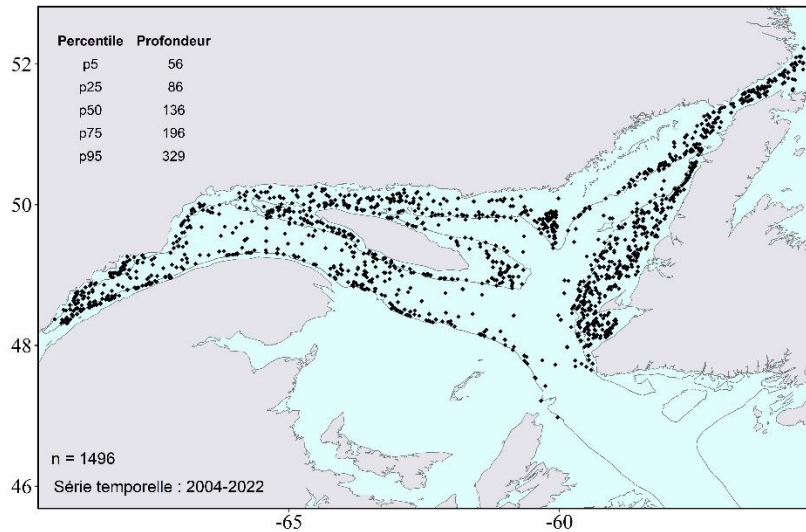




Pandalus montagui (Leach, 1814)
AphiaID : 107651, STRAP : 8112, RVAN : 2212

Écologie

- Substrat : roche.



Identification

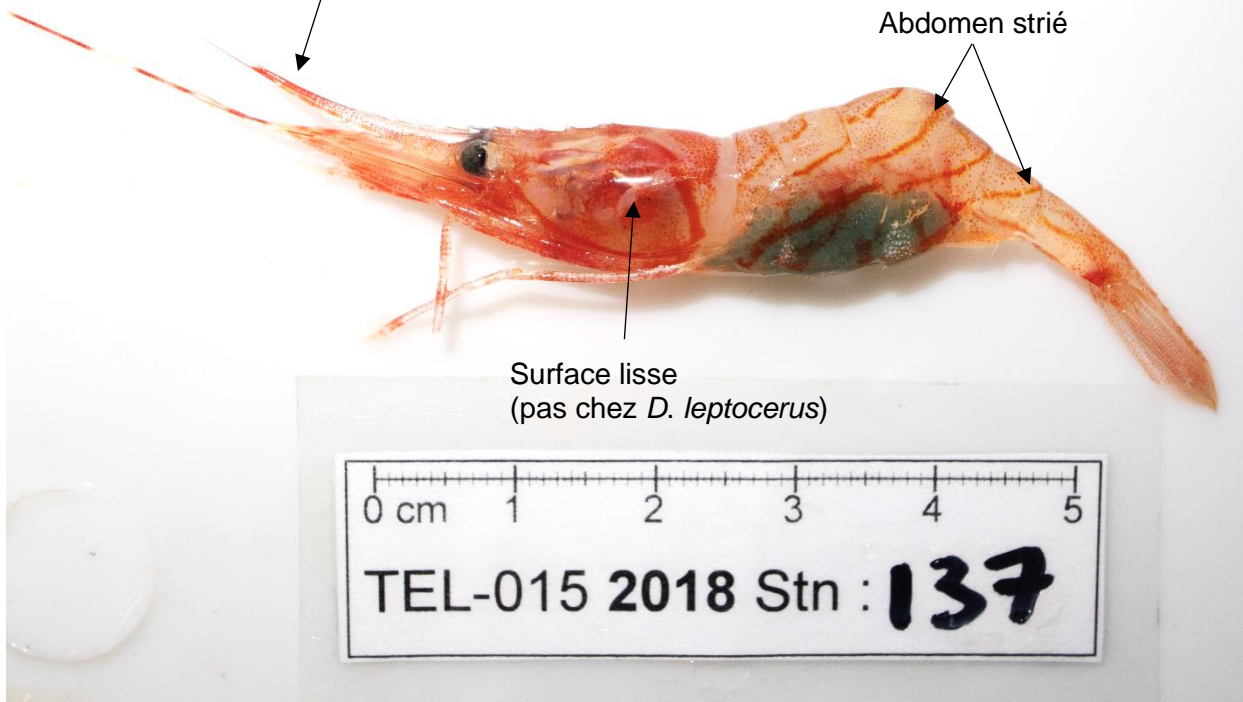
Confondue avec *Dichelopandalus leptocerus*

Sans épine supra-orbitale

Rostre long et étroit légèrement tourné vers le haut et sans épine dorsale à l'avant

Abdomen strié

Surface lisse
(pas chez *D. leptocerus*)



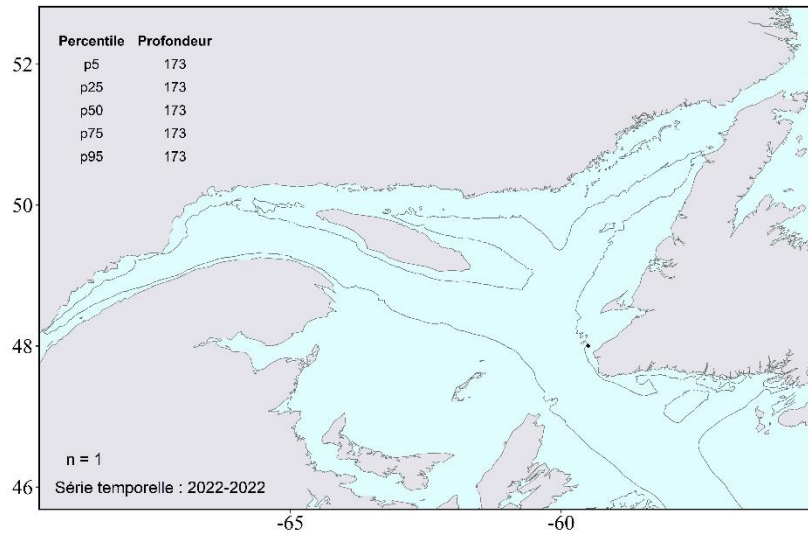


***Dichelopandalus leptocerus* (Smith, 1881)**

AphiaID : 158356, STRAP : 8108, RVAN : 2214

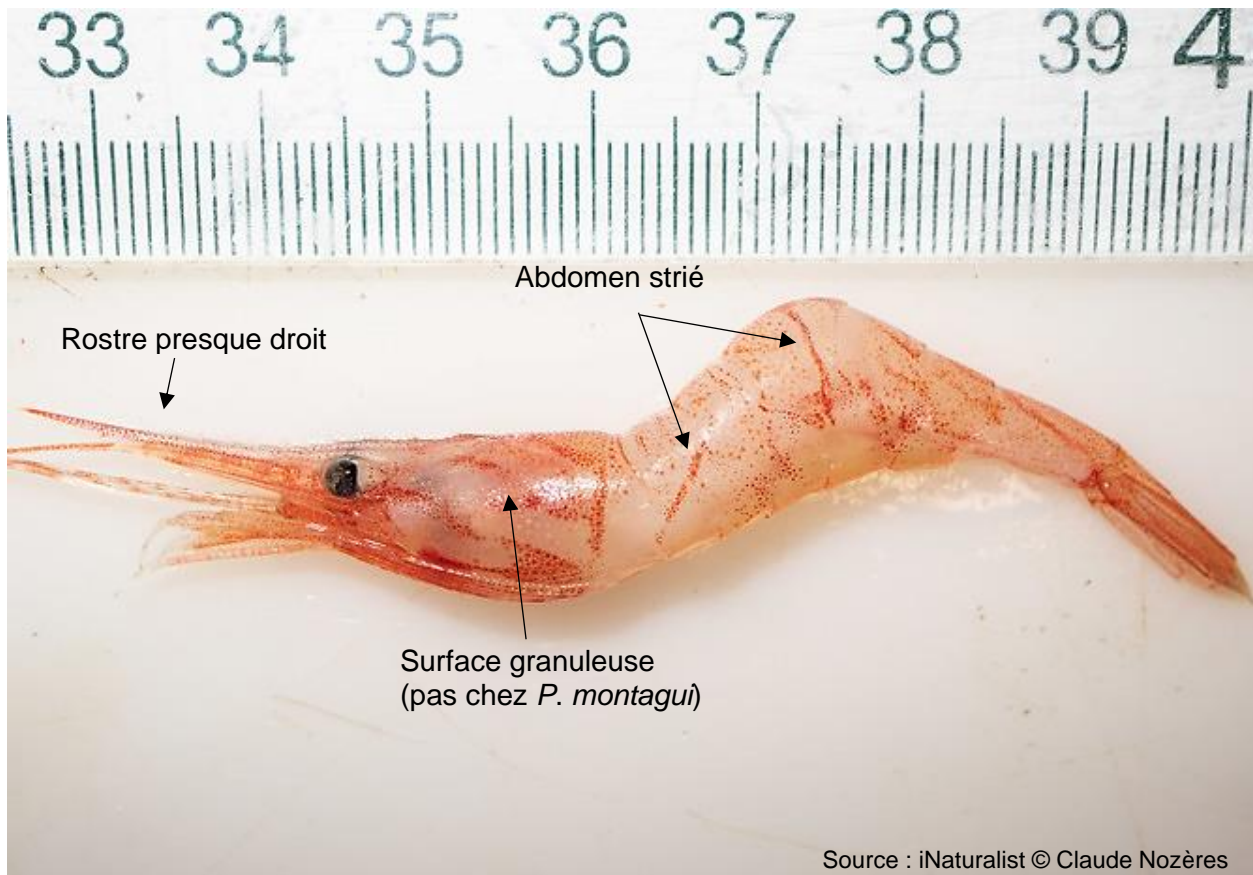
Écologie

- Substrat : sable, vase.



Identification

Confondue avec *Pandalus montagui*



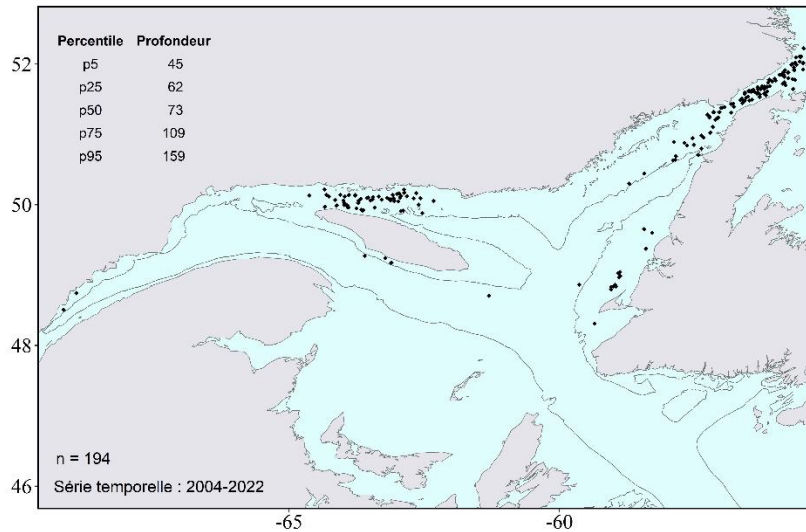


***Lebbeus groenlandicus* (Fabricius, 1775)**

AphiaID: 107520, STRAP: 8092, RVAN: 2319

Écologie

- Substrat : roche, vase.



Identification

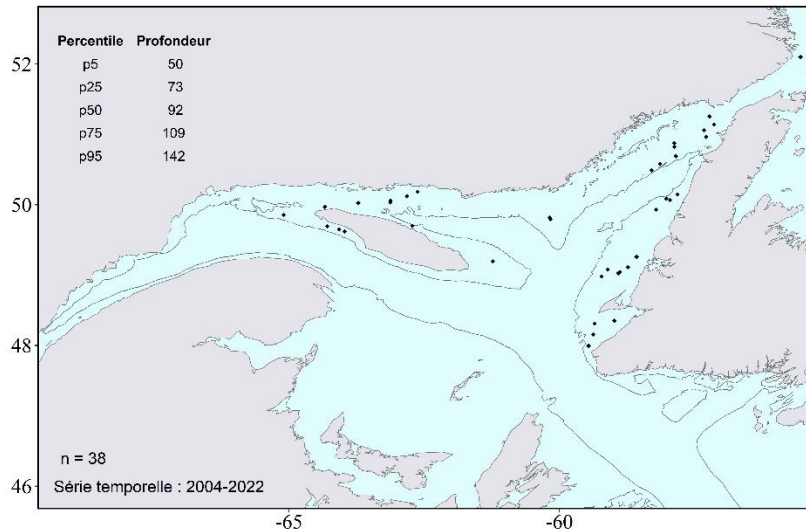




Lebbeus microceros (Krøyer, 1841)
AphiaID: 158362, STRAP: 8095, RVAN: 1282

Écologie

- Substrat : ND.



Identification

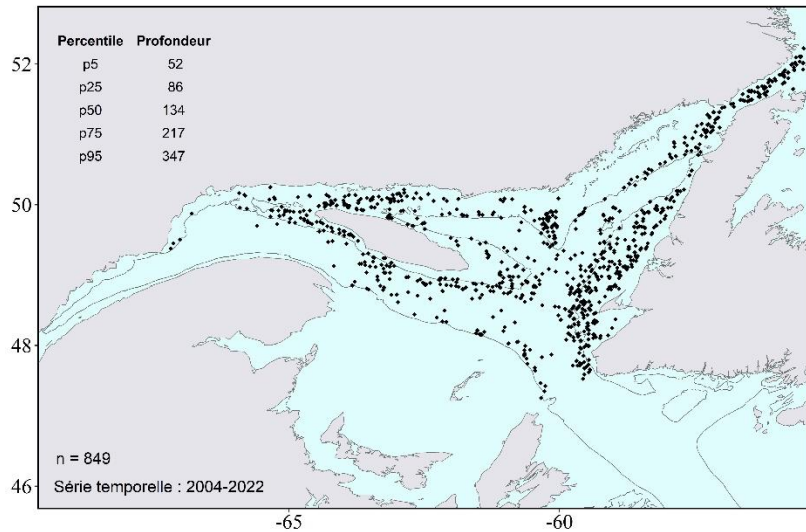




Lebbeus polaris (Sabine, 1824)
 AphiaID: 107521, STRAP: 8093, RVAN: 2312

Écologie

- Substrat : ND.



Identification

Potentiellement plusieurs espèces identifiées comme étant *L. polaris*;
 prendre en photo et rapporter les spécimens si possible

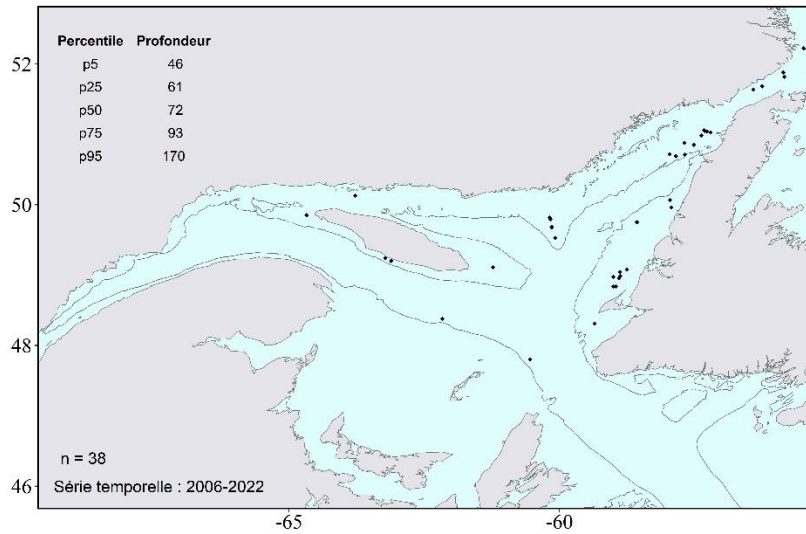




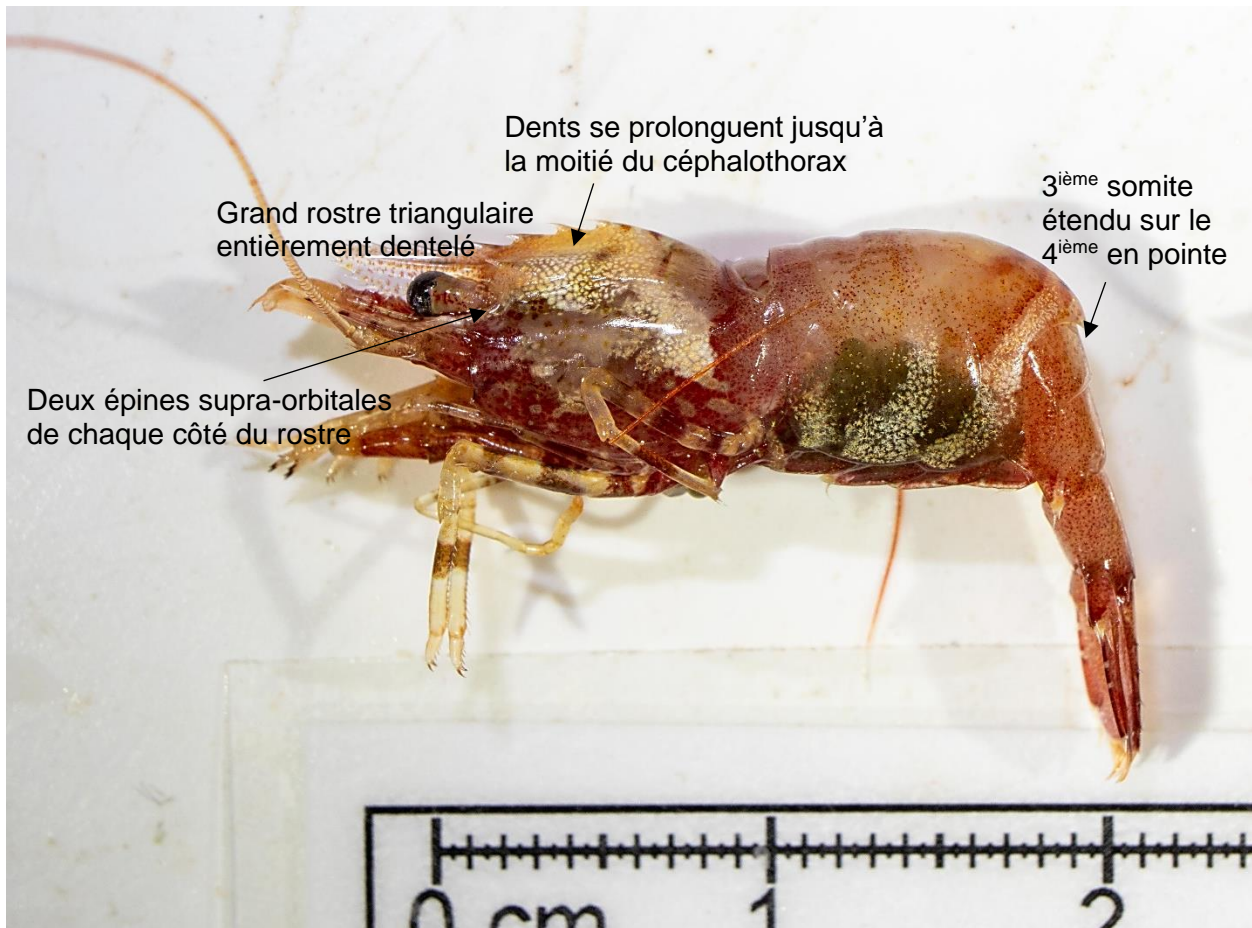
Spirontocatis phippisii (Krøyer, 1841)
 AphiaID: 107532, STRAP: 8086, RVAN: 2315

Écologie

- Substrat : ND.



Identification

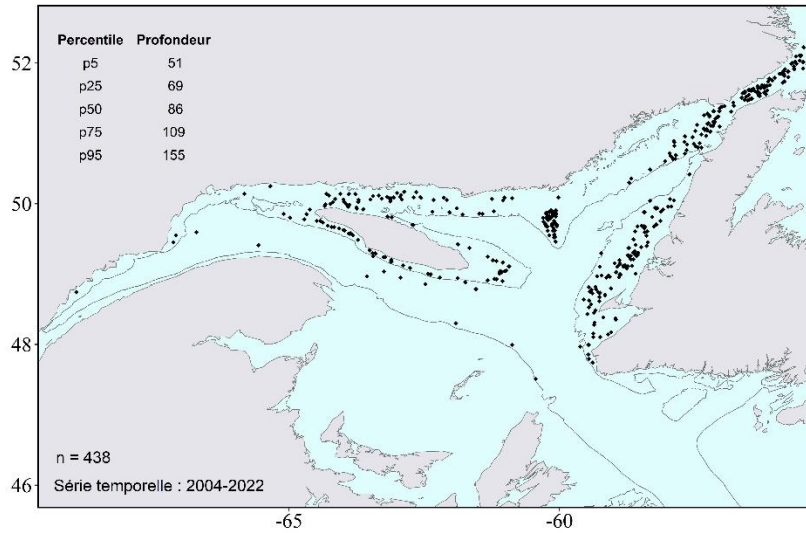




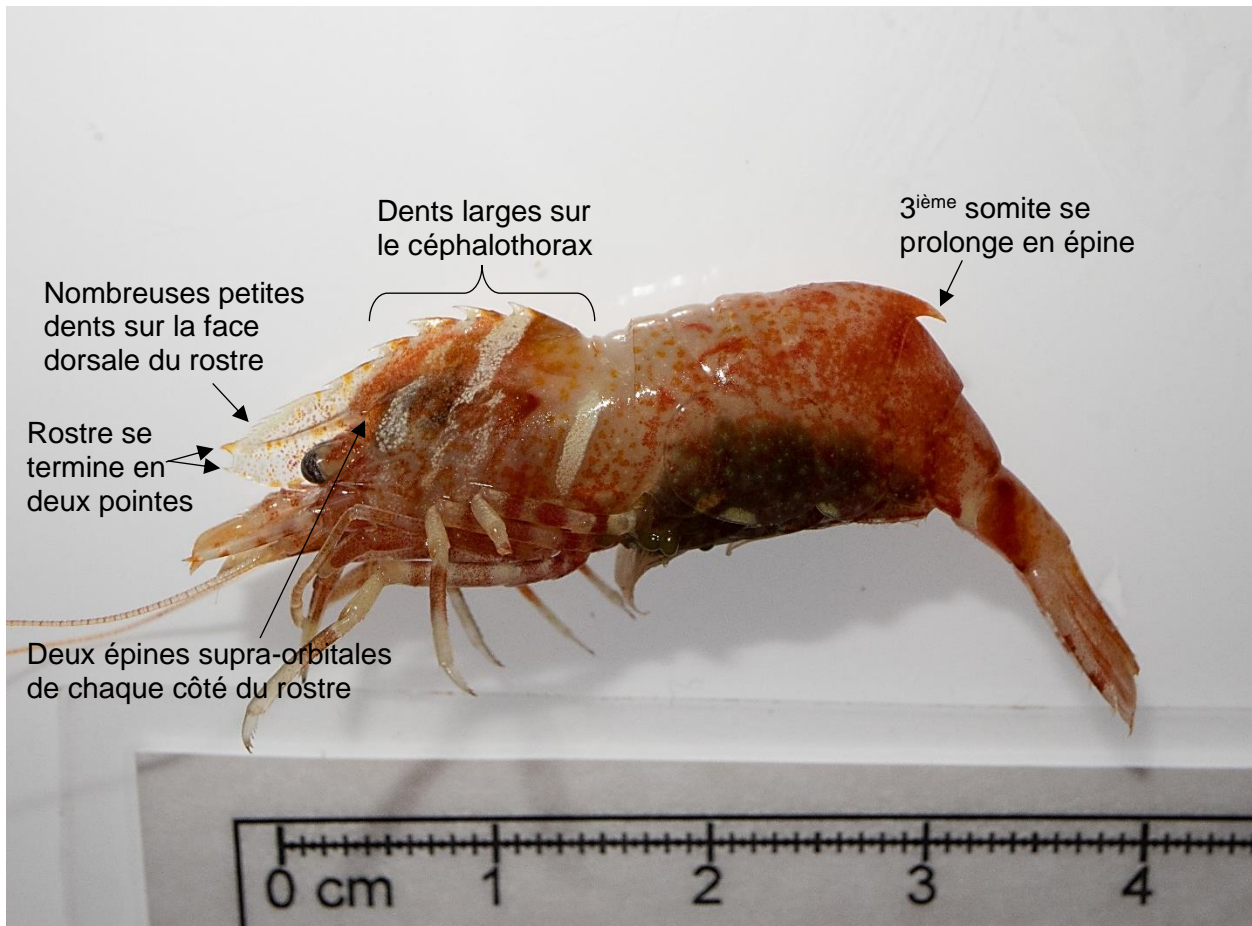
Spirontocaris spinus (Sowerby, 1805)
 AphiaID: 107533, STRAP: 8085, RVAN: 2316

Écologie

- Substrat : ND.



Identification



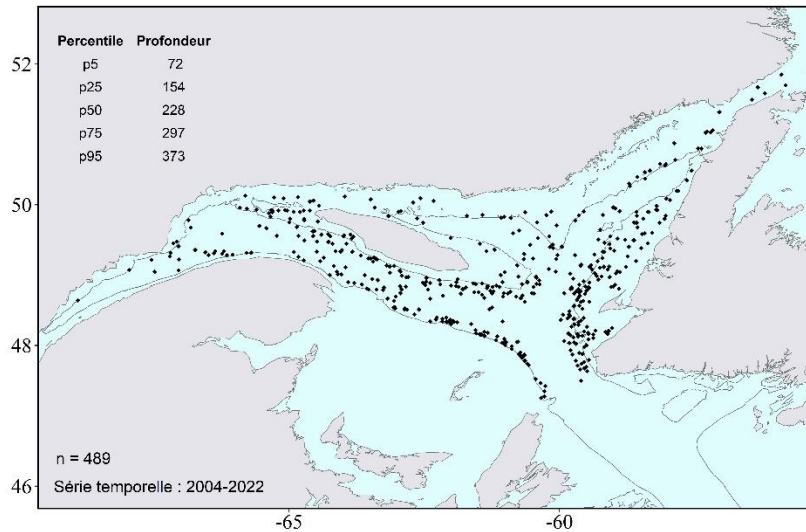


Spirontocaris liljeborgii (Danielssen, 1859)

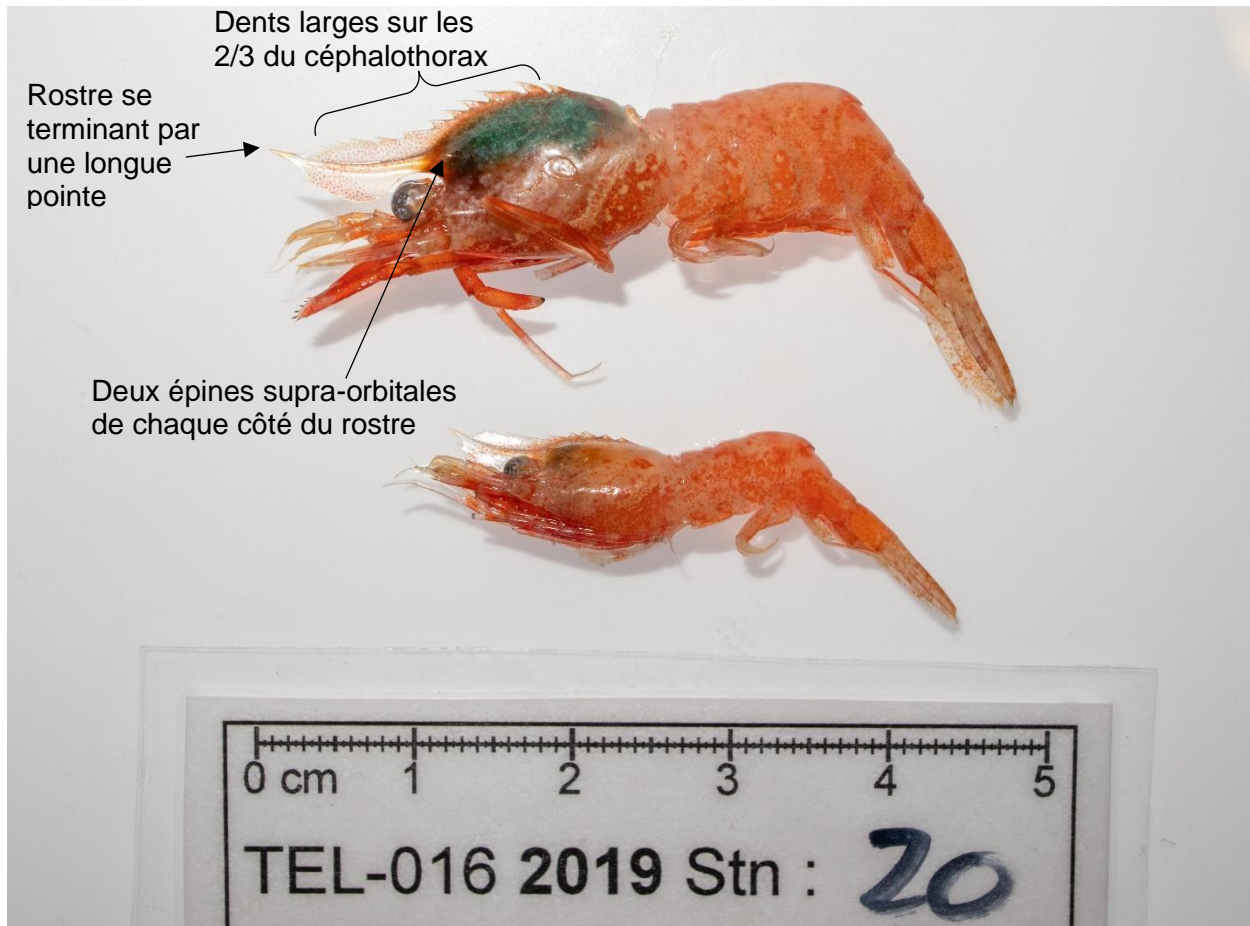
AphiaID: 107531, STRAP: 8087, RVAN: 2313

Écologie

- Substrat : ND.



Identification

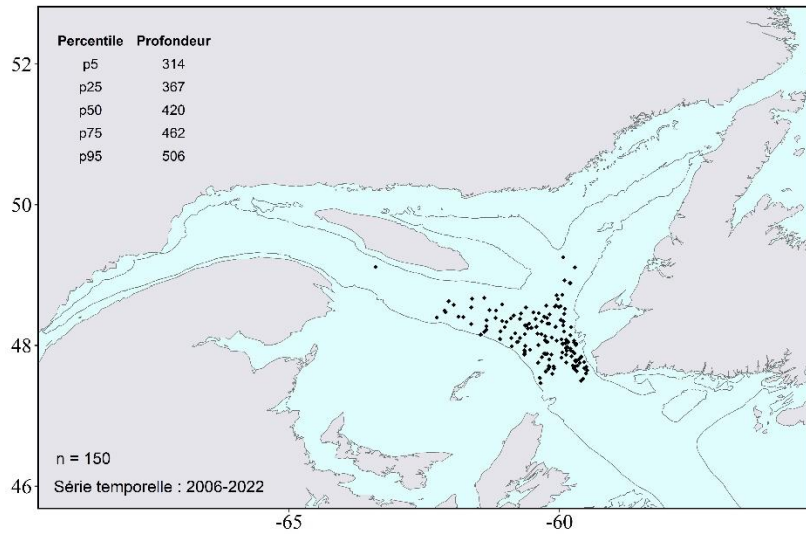




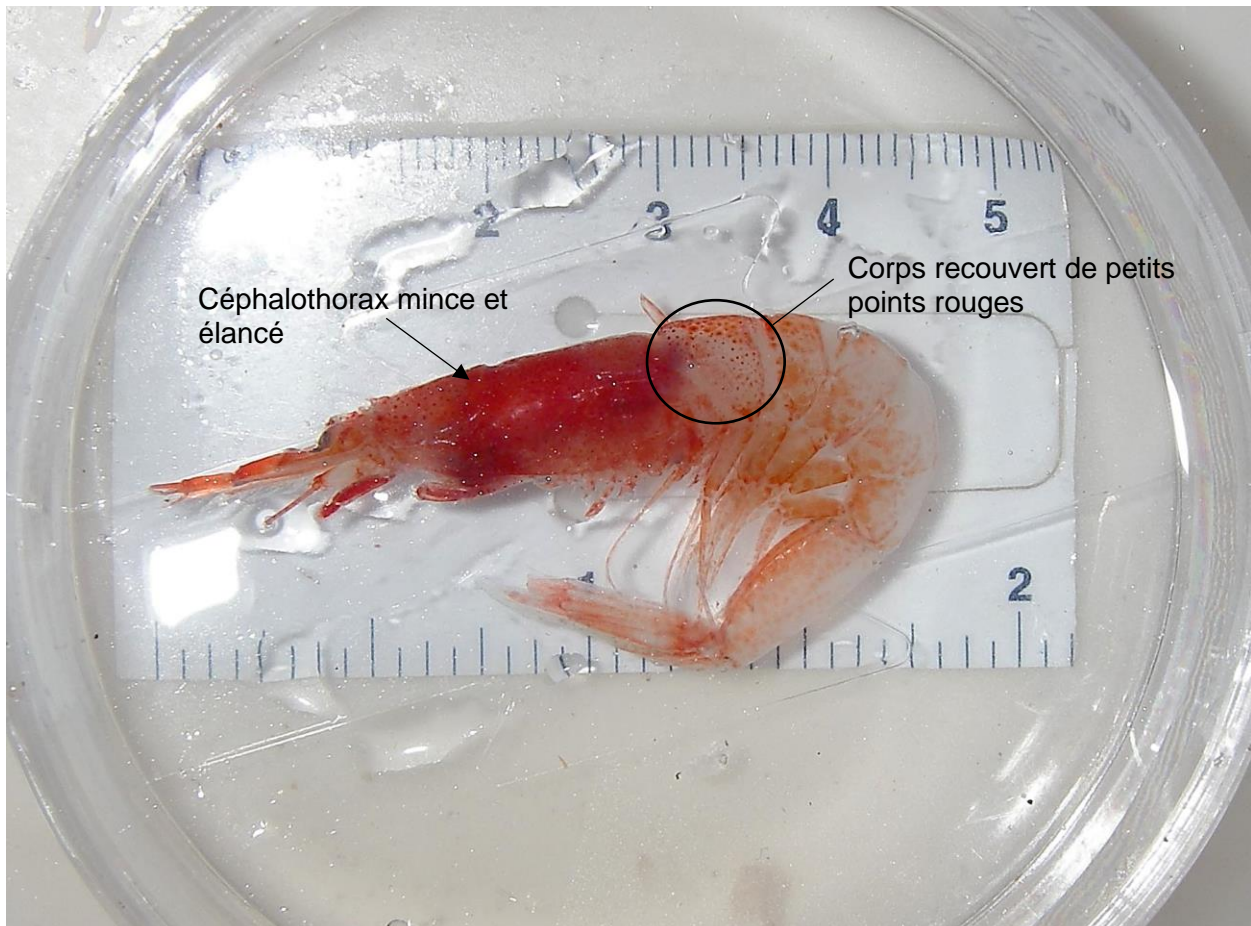
Eusergestes arcticus (Krøyer, 1855)
AphiaID: 515738, STRAP: 8033, RVAN: 2223

Écologie

- Substrat: NA.
- Mésopélagique.
- Effectue d'importantes migrations verticales journalières.



Identification

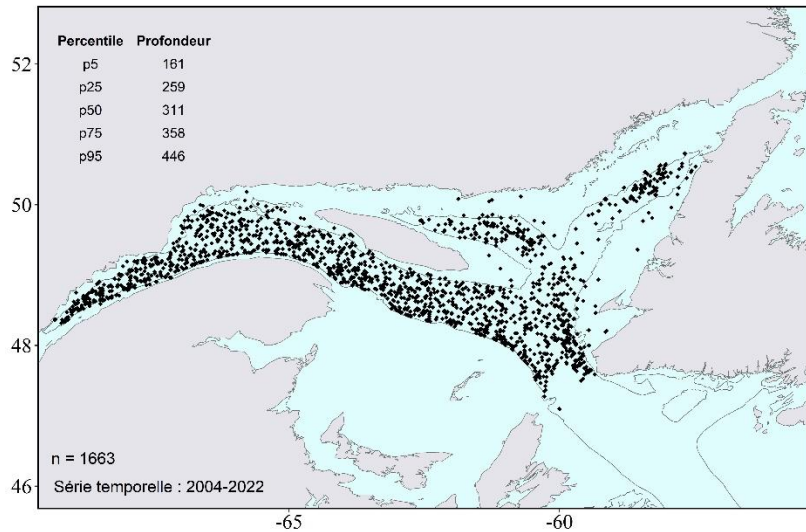




Pasiphaea multidentata (Esmark, 1866)
AphiaID: 107676, STRAP: 8057, RVAN: 2221

Écologie

- Substrat : ND.



Identification

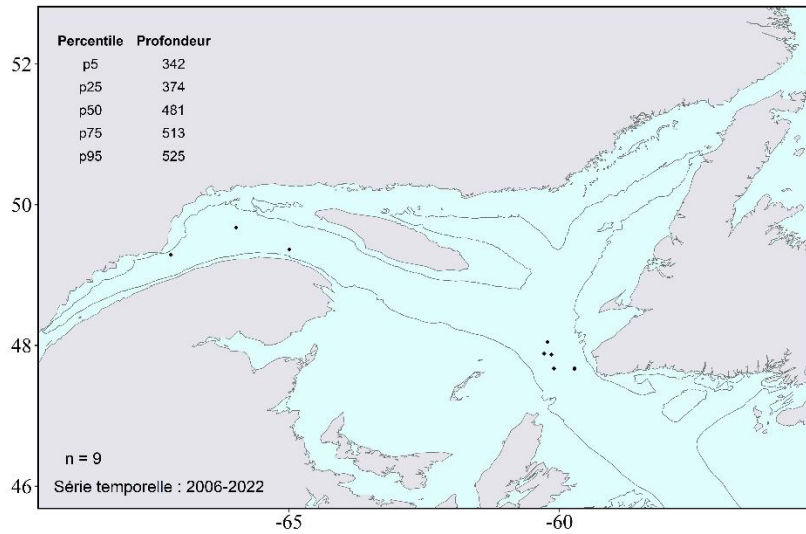




Pasiphaea tarda (Krøyer, 1845)
AphiaID: 107678, STRAP: 8056, RVAN: 2220

Écologie

- Substrat : NA.
- Pélagique.



Identification



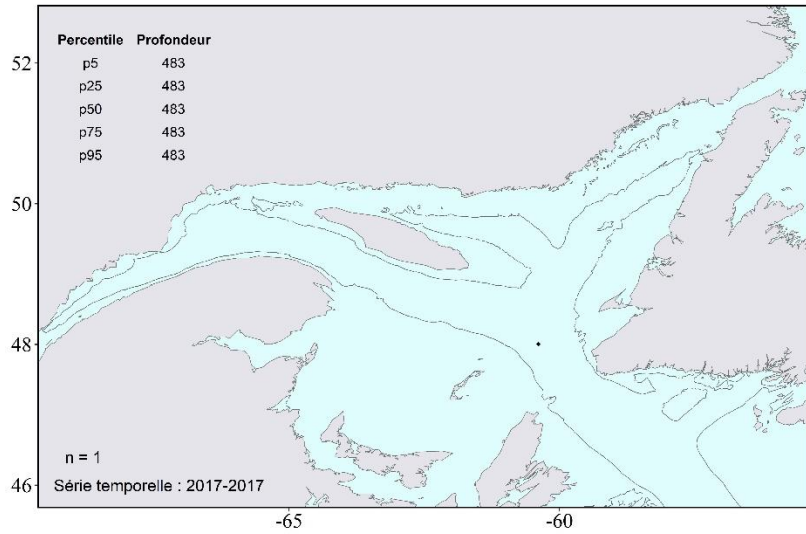


Aristaeopsis edwardsiana (Johnson, 1868)

AphiaID: 240796, STRAP: 8024, RVAN: 1281

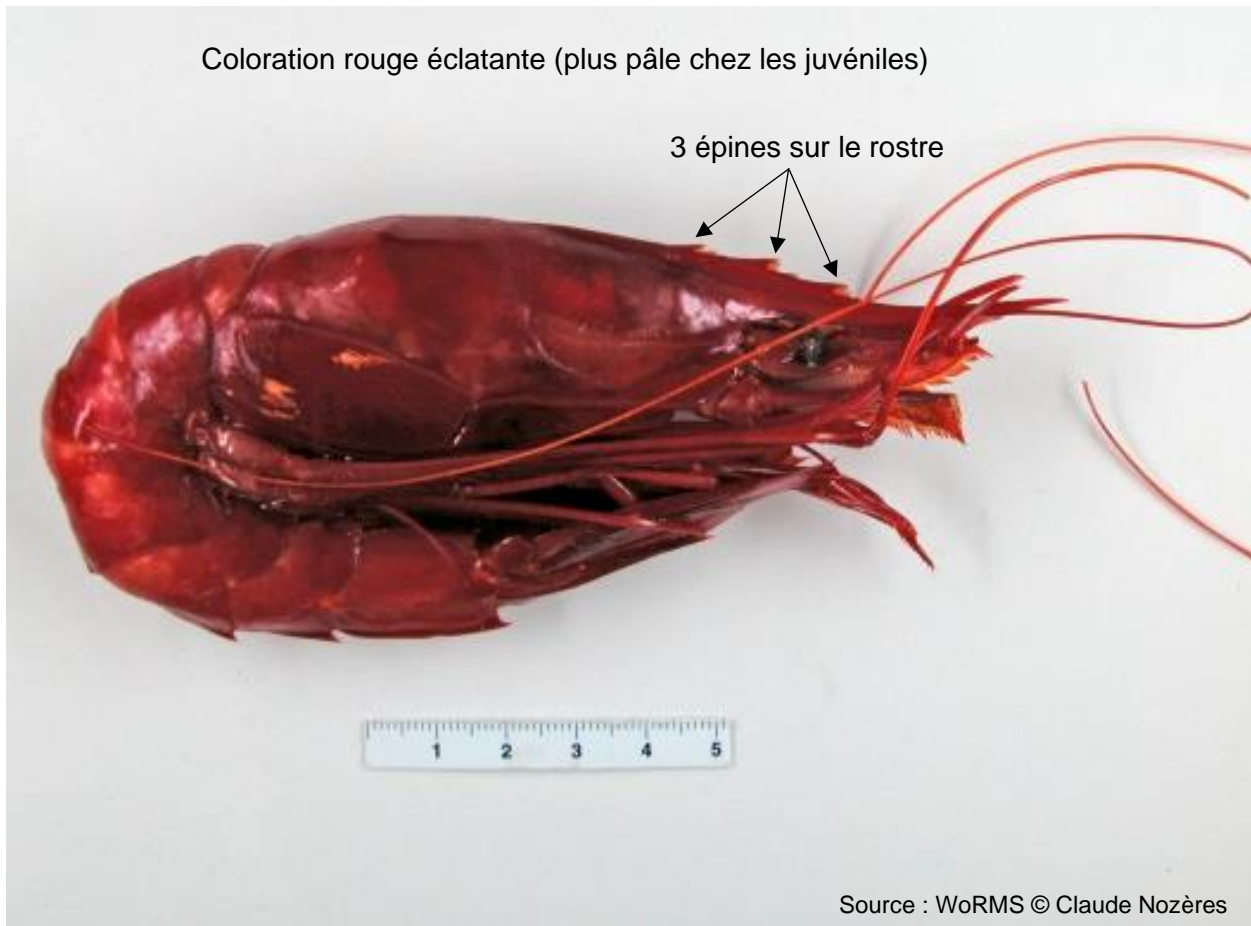
Écologie

- Substrat : ND.
- Zone d'étude à sa limite nordique de distribution.
- Espèce abondante et commerciale dans les tropiques.
- Seuls les juvéniles sont capturés dans le relevé NGSL.



Identification

Coloration rouge éclatante (plus pâle chez les juvéniles)



Source : WoRMS © Claude Nozères

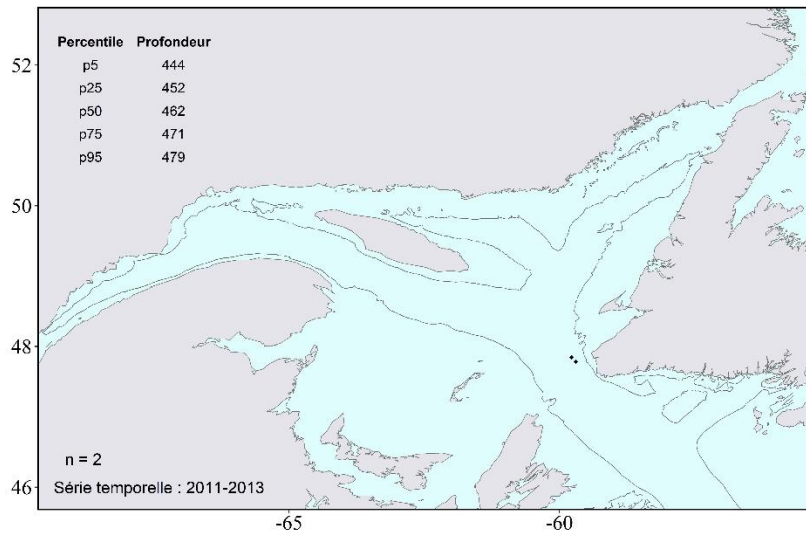


Aristeus antillensis (A. Milne-Edwards & Bouvier, 1909)

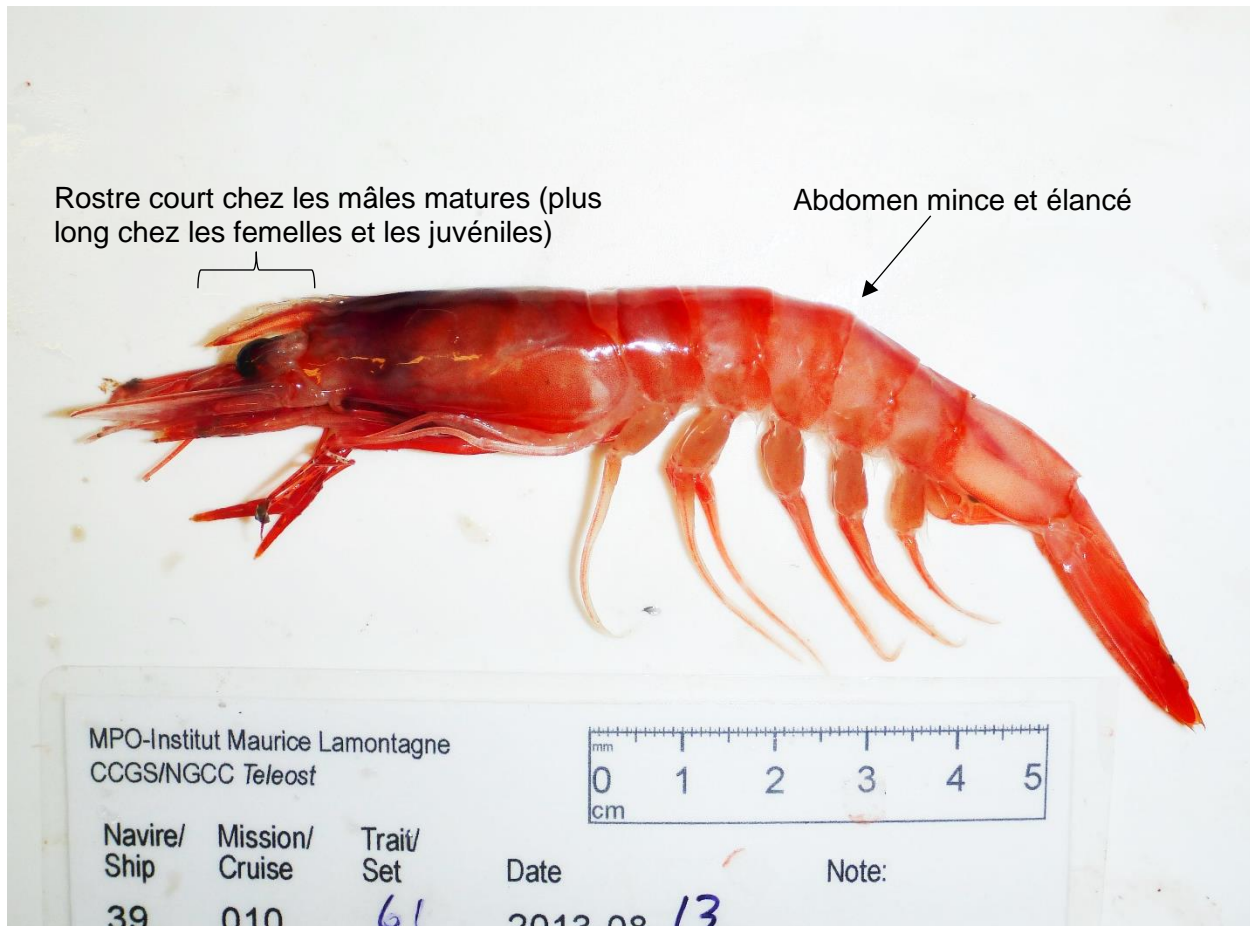
AphiaID: 158327, STRAP: 8025, RVAN: -

Écologie

- Substrat : ND.



Identification

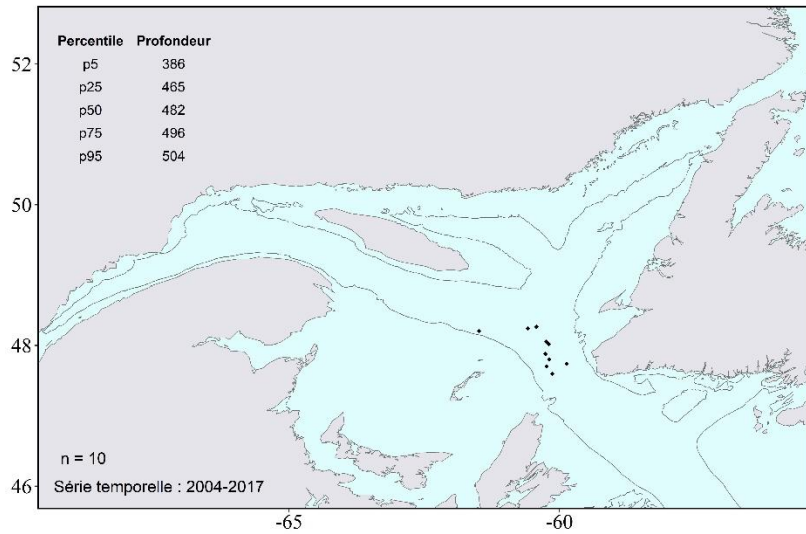




AcanthePHYra pelagica (Risso, 1816)
 AphiaID: 107581, STRAP: 8040, RVAN: 8353

Écologie

- Substrat : ND.



Identification



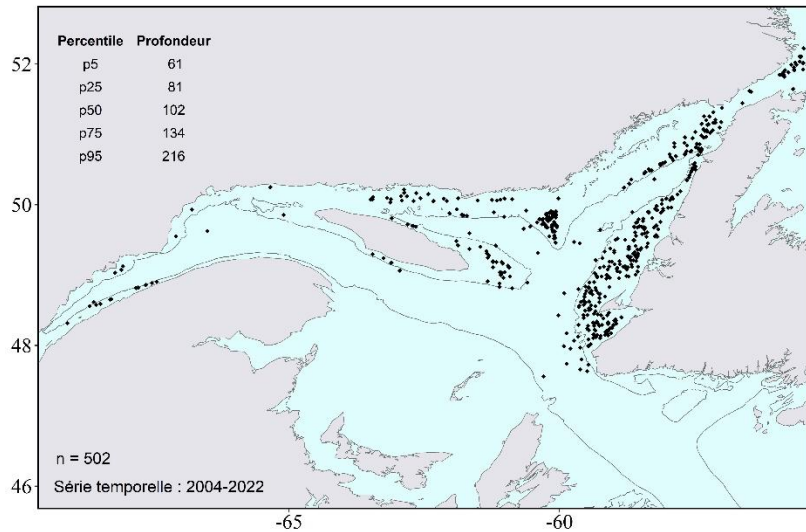


Sabinea septemcarinata (Sabine, 1824)

AphiaID: 107567, STRAP: 8128, RVAN: 2421

Écologie

- Substrat : ND.



Identification

Confondue avec *Sabinea sarsii*

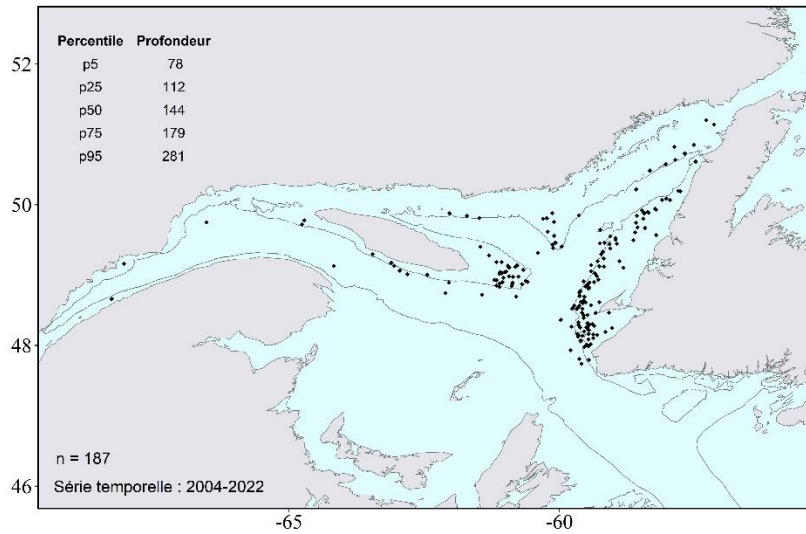




Sabinea sarsii (Smith, 1879)
 AphiaID: 107566, STRAP: 8129, RVAN: 2419

Écologie

- Substrat : ND.



Identification

Confondue avec *Sabinea septemcarinata*

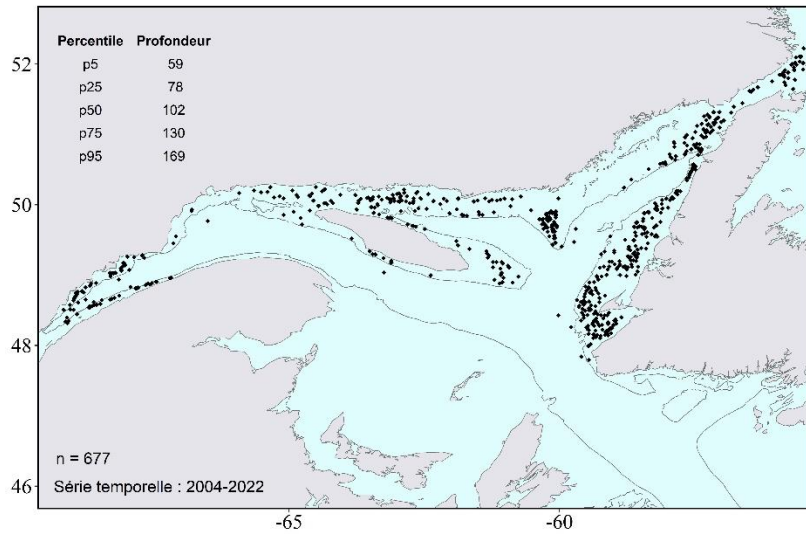




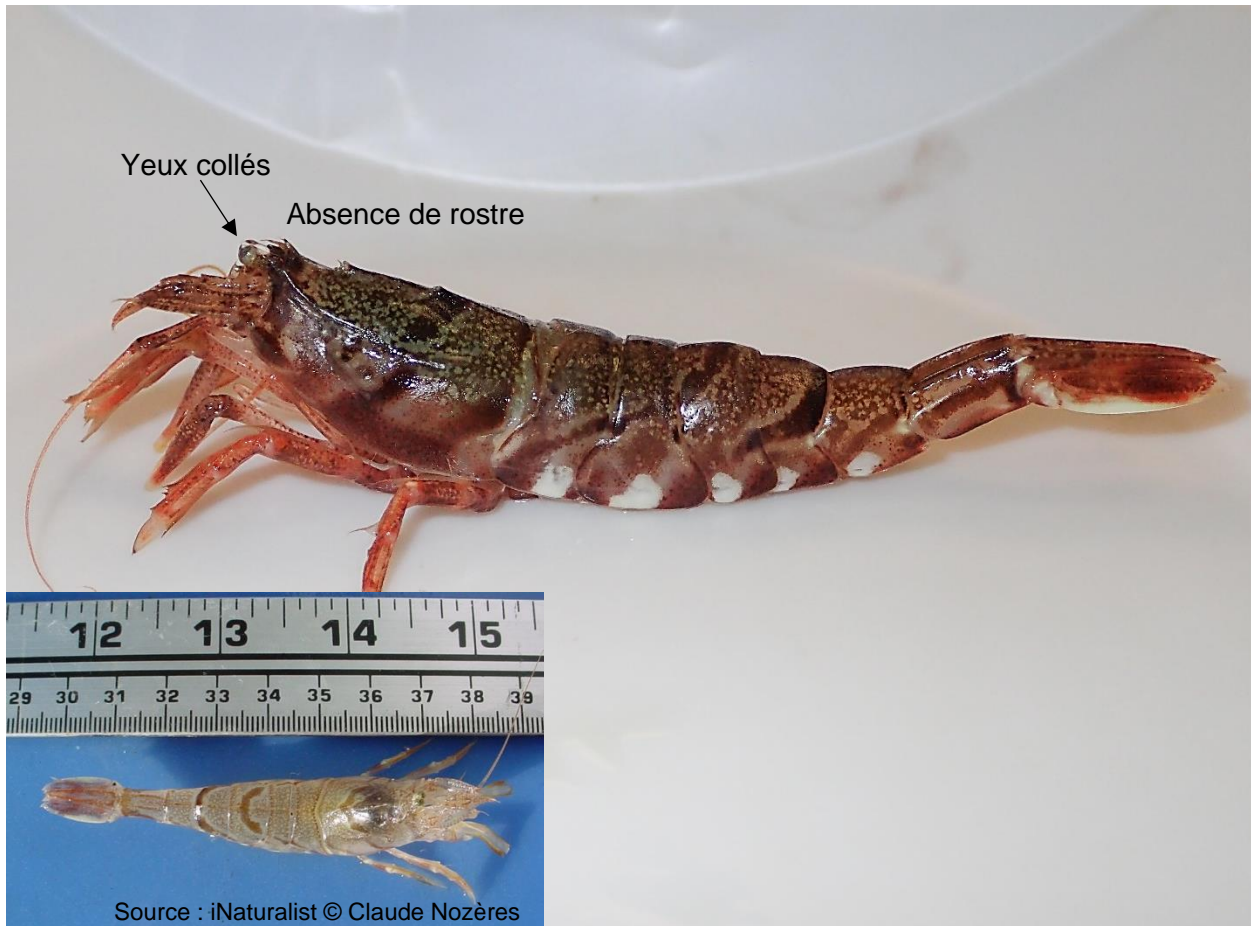
Argis dentata (Rathbun, 1902)
AphiaID: 107550, STRAP: 8138, RVAN: 2411

Écologie

- Substrat : ND.



Identification

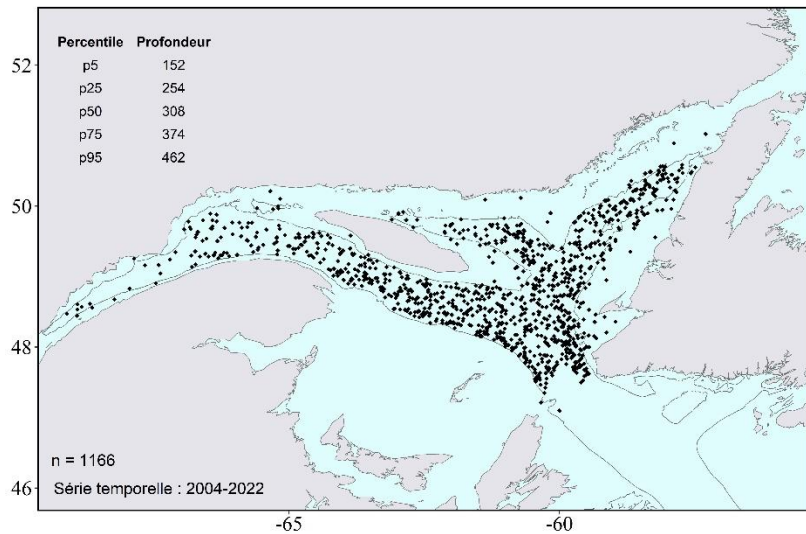




Pontophilus norvegicus (Sars, 1861)
AphiaID: 107563, STRAP: 8135, RVAN: 2415

Écologie

- Substrat : ND.



Identification

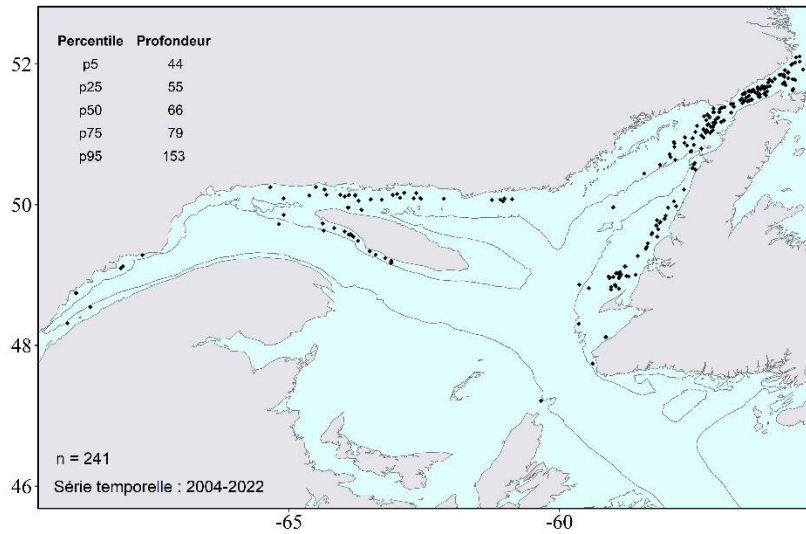




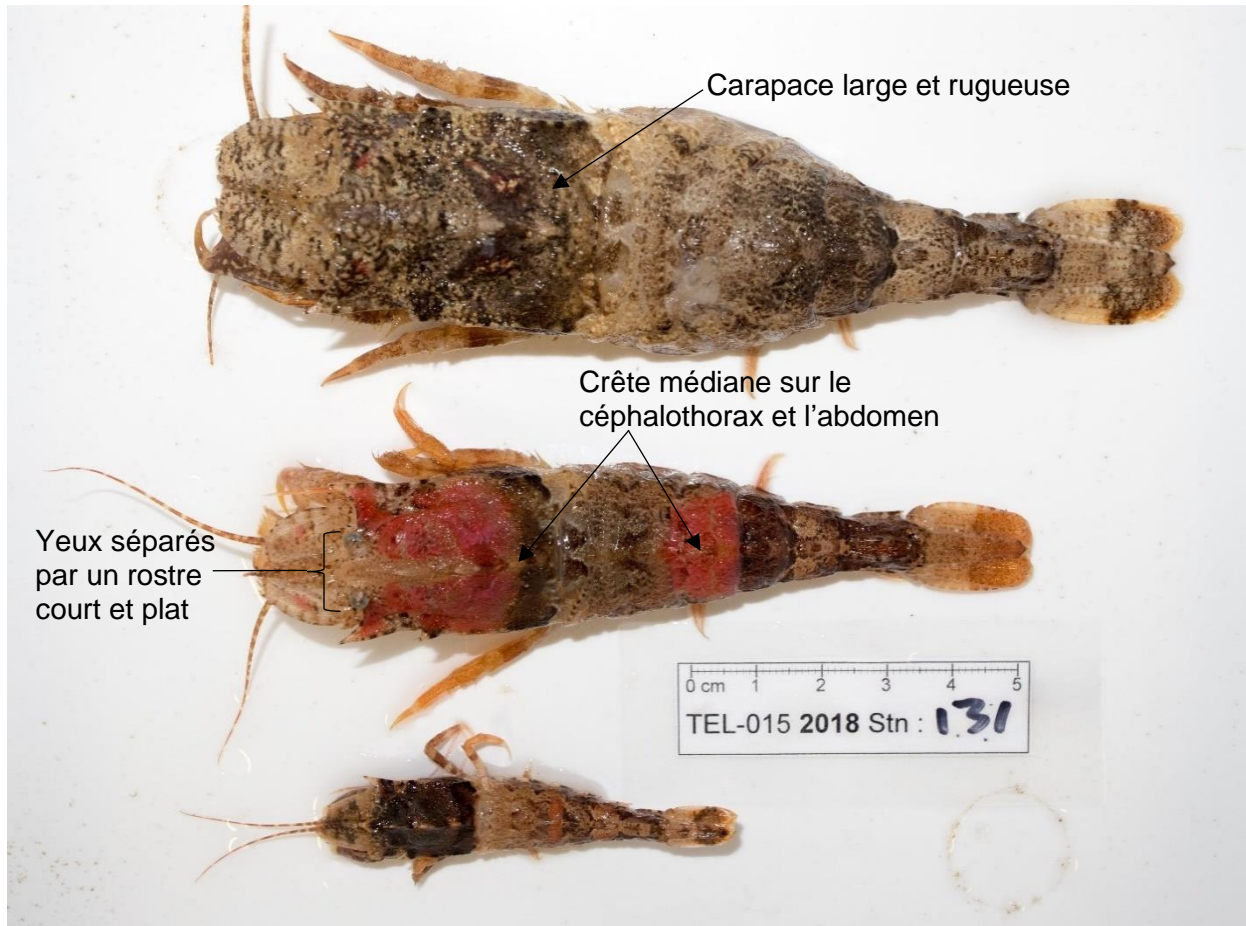
Sclerocrangon boreas (Phipps, 1774)
AphiaID: 107568, STRAP: 8119, RVAN: 2414

Écologie

- Substrat : sable, vase.
- Comportement fousseur.



Identification

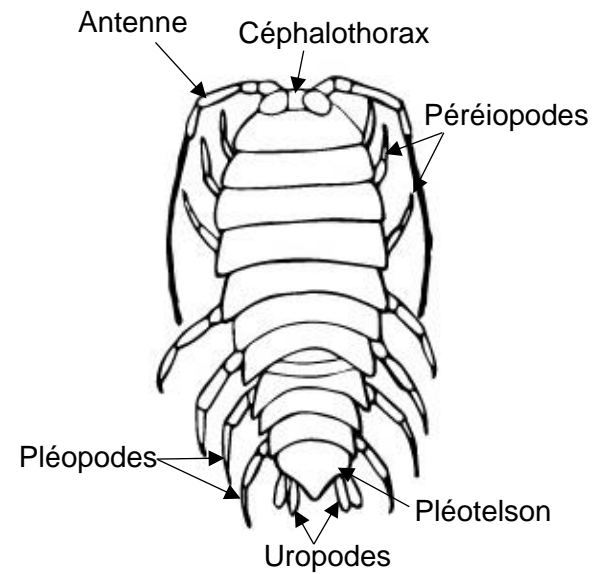


Phylum Arthropoda

Ordre **Isopoda** (Latreille, 1817) AphiaID: **1131**, STRAP: **6760**, RVAN: **2980**

Les isopodes sont de petits crustacés retrouvés dans presque tous les types d'habitats, terrestres et aquatiques. Les isopodes ont une grande diversité corporelle. Leur corps est généralement comprimé dorso-ventralement et est formé par dix-neuf segments rigides. Le **céphalothorax**, fusion de la tête et du premier segment du thorax, porte une paire d'**antennes**. Les **yeux** sont parfois absents. Les isopodes possèdent deux types de pattes : les **péréiopodes** et les **pléopodes**.

Deux espèces d'isopodes sont capturées lors du relevé NGSL et appartiennent à la famille Aegidae, *Systemus infelix* et *Aega psora*. Elles sont des ectoparasites de poissons démersaux. Ces isopodes se détachent de leur hôte une fois dans le chalut.



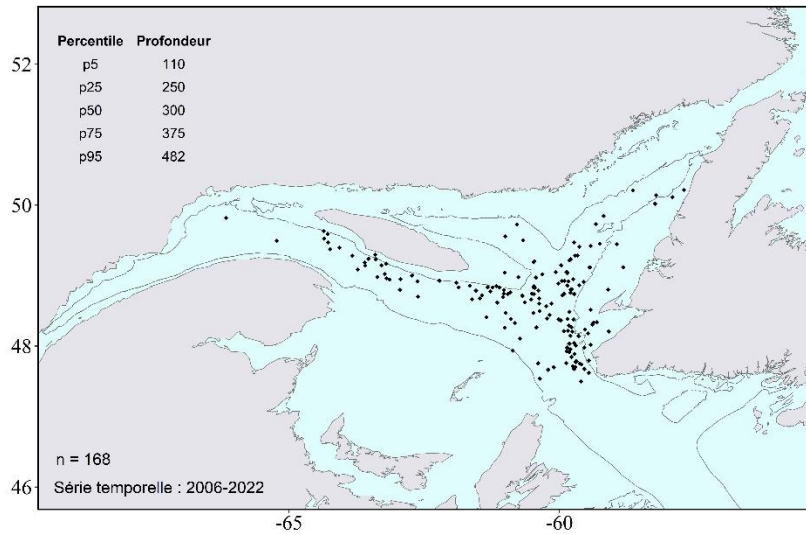
Redessiné à partir de Van Name (1936)



Aega psora (Linnaeus, 1758)
AphiaID: 118827, STRAP: 6771, RVAN: 2981

Écologie

- Substrat : NA.
- Ectoparasite d'un certain nombre d'espèces de poissons démersaux dans l'Atlantique Nord (surtout la morue et le flétan).



Identification

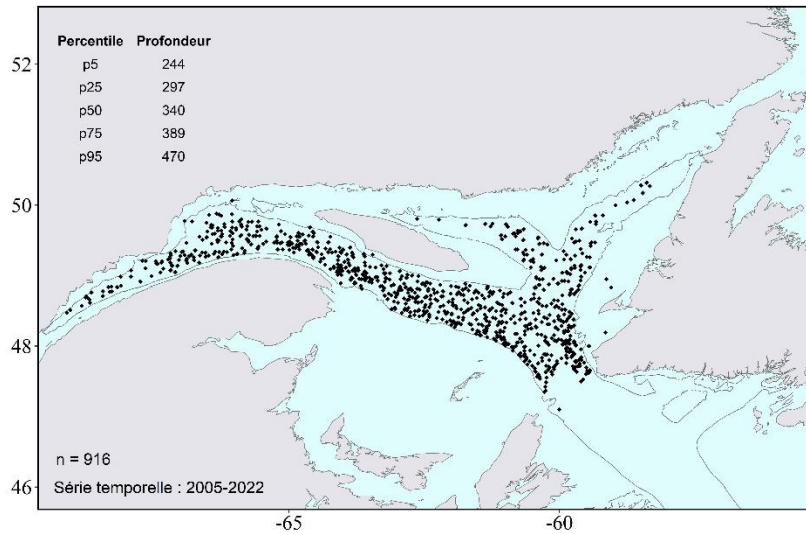




***Syscenus infelix* (Harger, 1880)**
 AphiaID: 156446, STRAP: 6791, RVAN: 8352

Écologie

- Substrat : NA.
- Ectoparasite du grenadier du Grands Banc, *Nezumia bairdii*.
- Toujours accrochée à la ligne médiane dorsale immédiatement derrière la nageoire dorsale du grenadier.



Identification



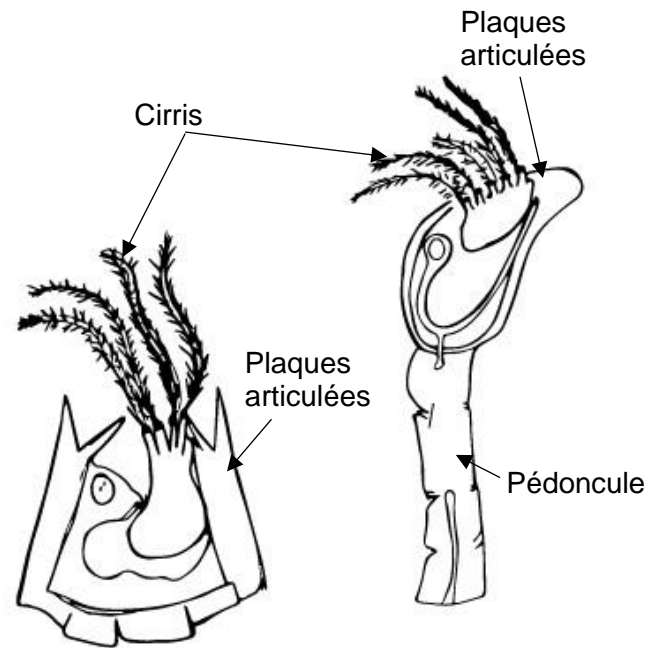
Phylum Arthropoda

Sous-classe Cirripedia (Burmeister, 1834)

AphiaID: 1082, STRAP: 6580, RVAN: 2990

Les cirripèdes, comprenant les balanes, sont des crustacés marins sessiles dont la morphologie diffère considérablement de celle des autres membres du clade. Les cirripèdes vivent fermement attachés à une variété de substrats durs. Ils possèdent une coquille calcaire composée de **plaques articulées** qui recouvrent l'organisme. Certaines espèces possèdent un **pédoncule** par lequel elles s'attachent au substrat. Les cirripèdes tirent leur nom de leurs pattes modifiées, appelées **cirris**. Les cirris sont de longs fouets portant de nombreuses soies permettant aux cirripèdes de capturer des particules organiques en suspension dans l'eau pour s'alimenter.

Quatre espèces de balanes sont capturées dans le relevé NGSL. Deux d'entre elles sont de grandes tailles, soit l'espèce pédonculée des grandes profondeurs *Arcoscalpellum michelotianum* et la balane turbanée géante côtière *Chirona hameri*. Elles sont rares dans les captures, mais facilement identifiables. Les deux autres espèces de balanes appartiennent au genre *Balanus*, soit *B. balanus* et *B. crenatus*. Elles sont toutefois très difficiles à distinguer sans une loupe binoculaire et elles sont donc enregistrées au genre. Ces espèces ne peuvent pas être pesées adéquatement puisqu'elles vivent fermement accrochées au substrat et sont très difficiles à décoller. La présence des individus *Balanus* sp. n'est pas systématiquement inscrite dans les données de capture du relevé NGSL, notamment lorsque les individus sont accrochés aux carapaces ou aux coquilles d'autres espèces.



Redessiné à partir de King (2001)

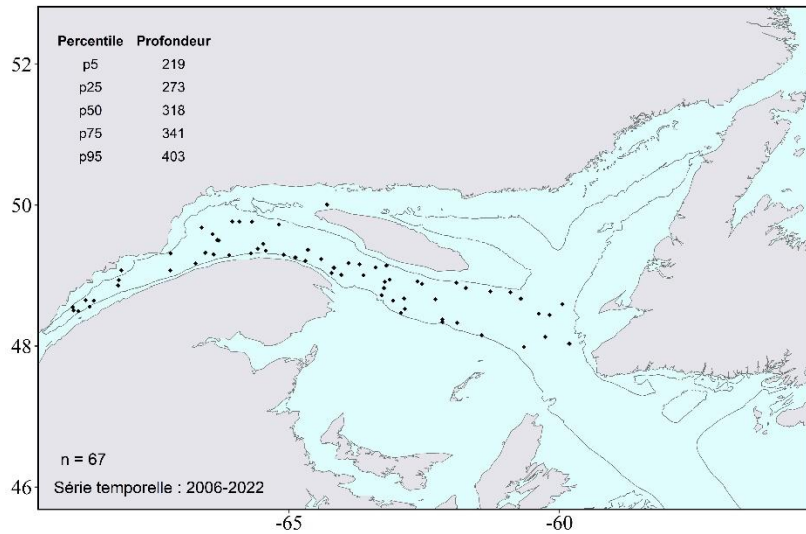


Arcoscalpellum michelottianum (Seguenza, 1876)

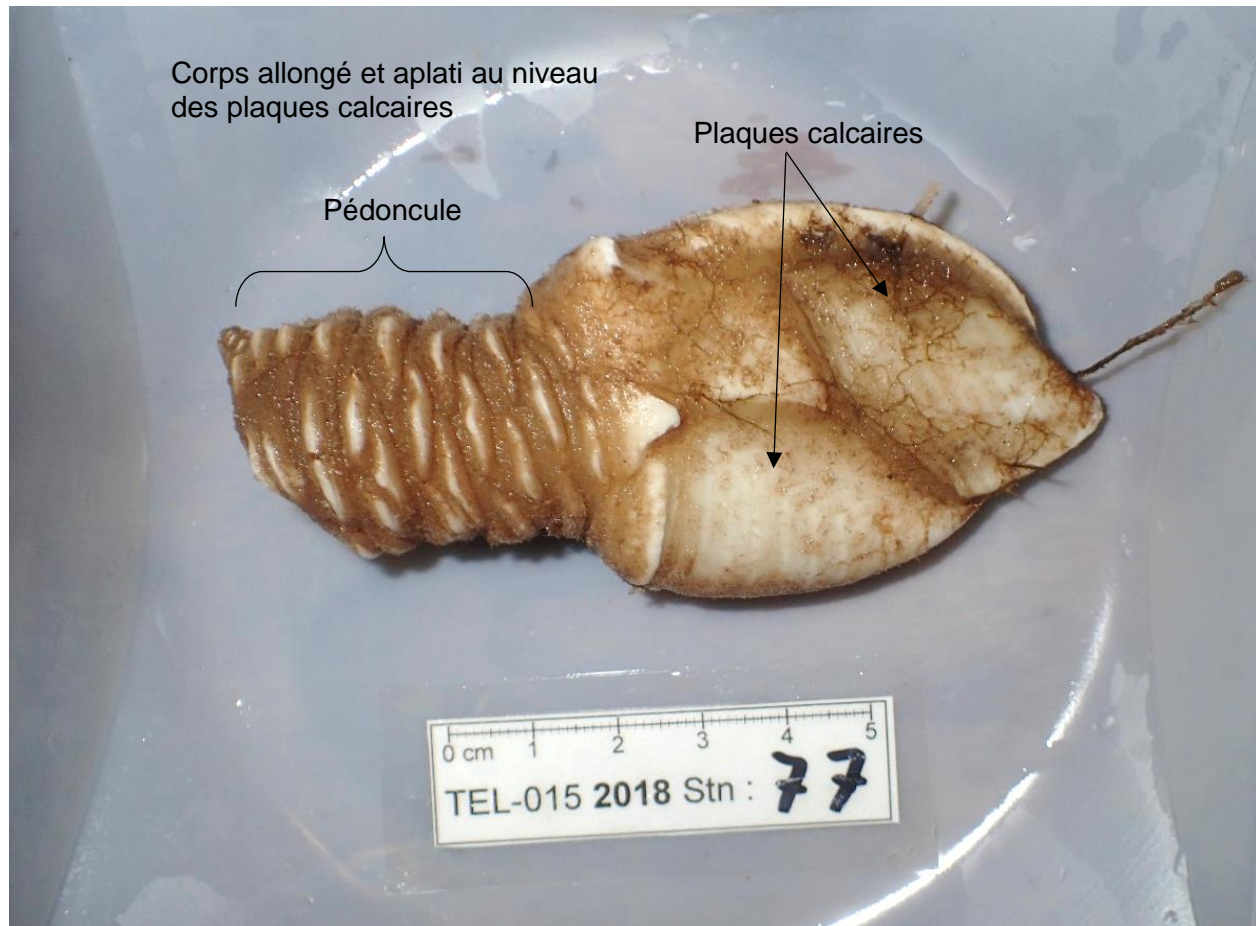
AphiaID: 106182, STRAP: 6594, RVAN: 7726

Écologie

- Substrat: roche ou autres substrats durs.
- Espèce solitaire d'eaux profondes.



Identification

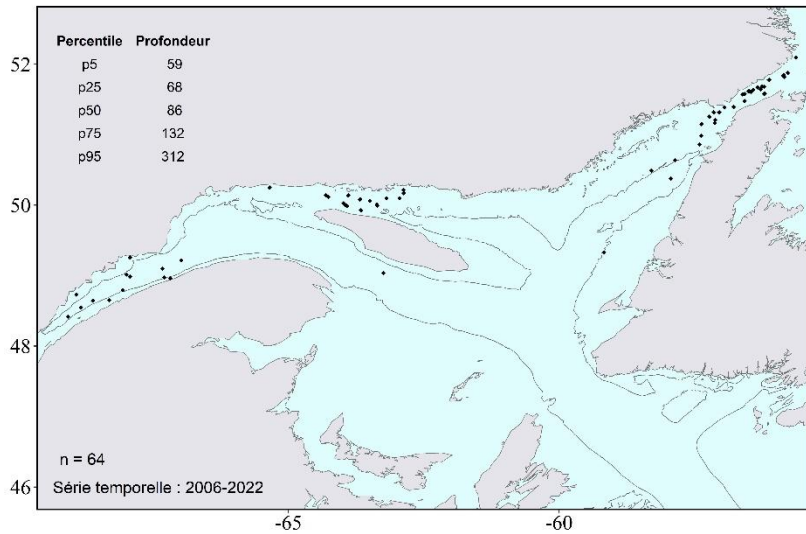




Balanus sp. (Costa, 1778)
 AphiaID: 106122, STRAP: 6592, RVAN: 7799

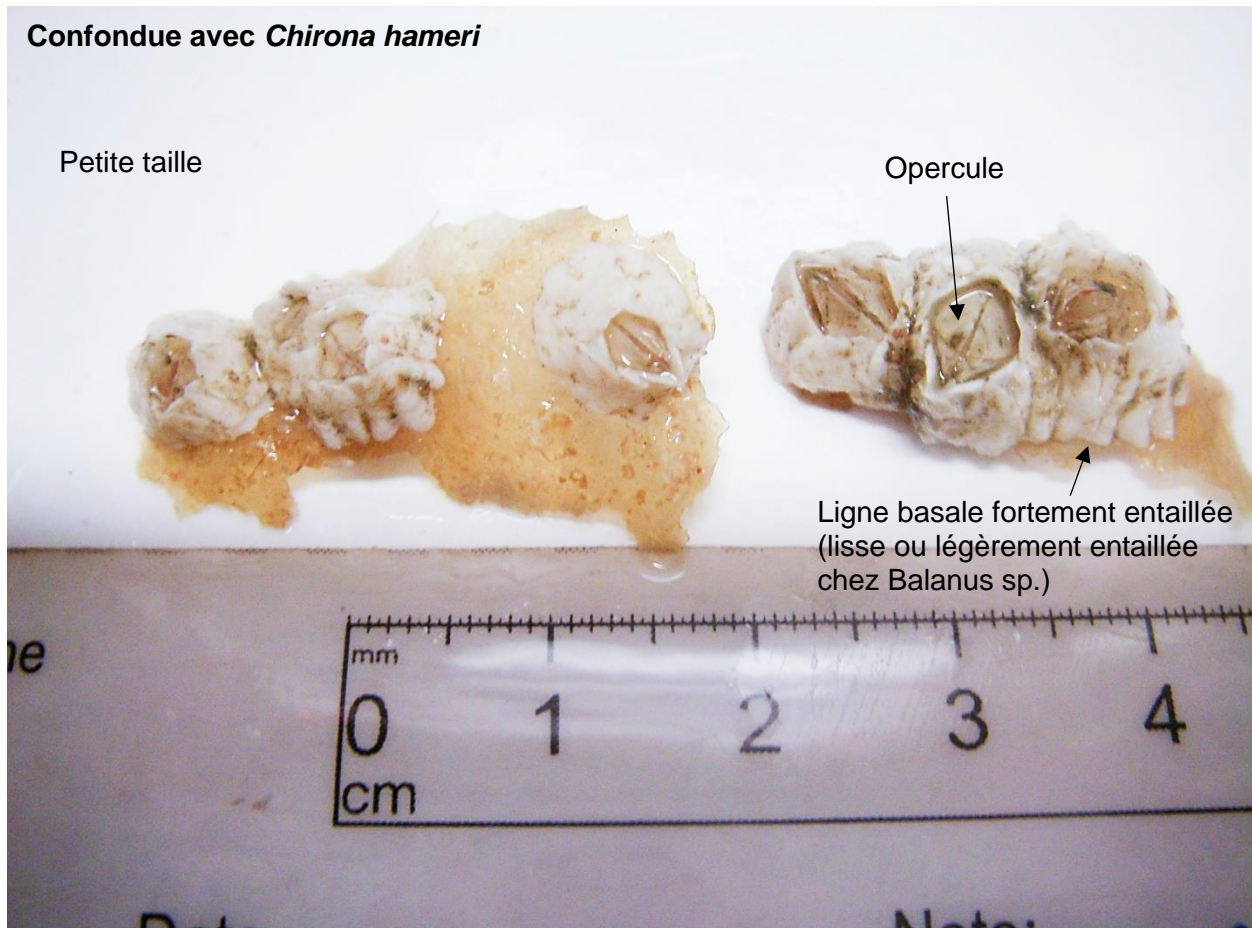
Écologie

- Substrat : roche ou autres substrats durs.



Identification

Confondue avec *Chirona hameri*

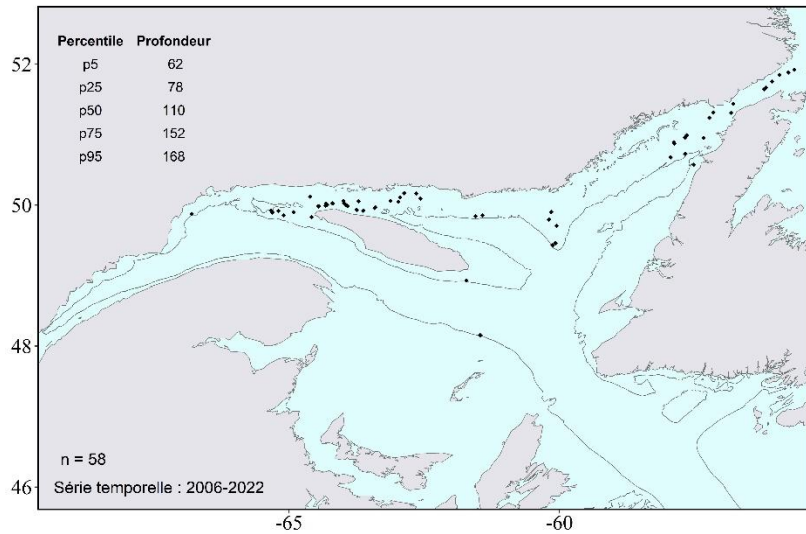




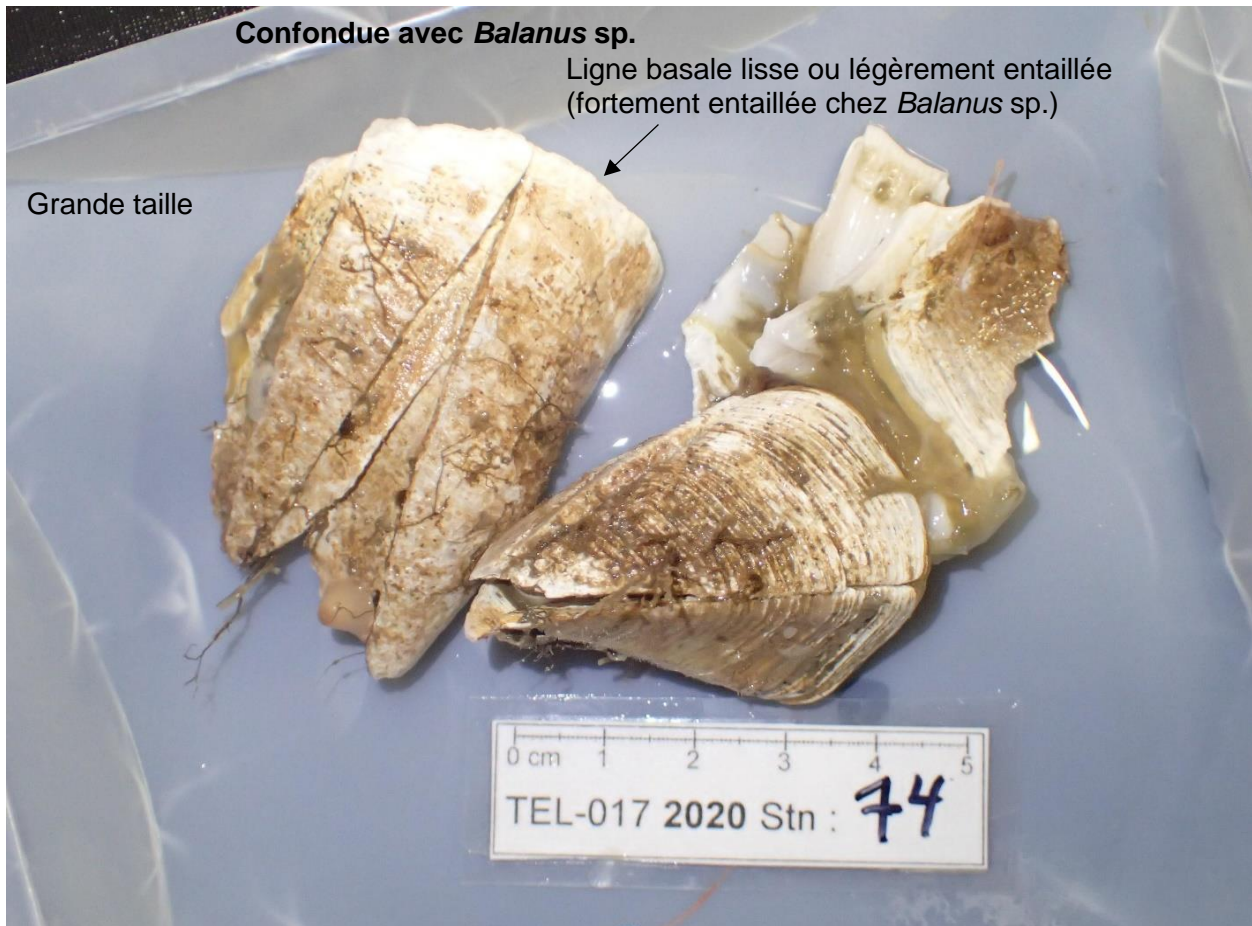
Chirona hameri (Ascanius, 1767)
 AphiaID: 106207, STRAP: 6593, RVAN: 7800

Écologie

- Substrat : roche ou autres substrats durs.



Identification



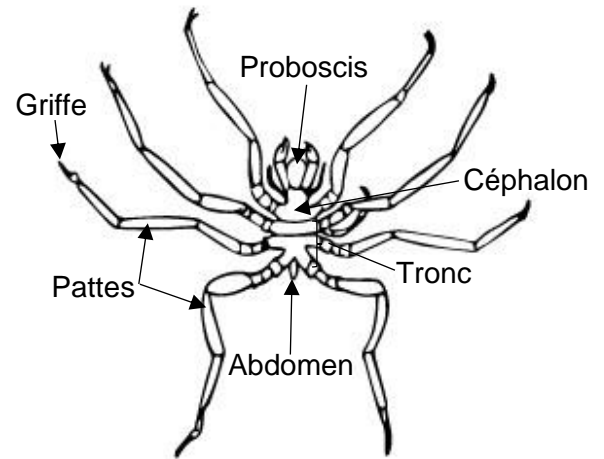
Phylum Arthropoda

Classe **Pycnogonida** (Latreille, 1810)

AphiaID: **1302**, STRAP: **5951**, RVAN: **5100**

Les araignées de mer, appelées ainsi à cause de leur apparence très semblable aux vraies araignées, sont une classe d'arthropodes exclusivement marins. Ils possèdent un petit **corps** et de longues **pattes** se terminant par une griffe. Leur tête comprend un long **proboscis** leur permettant de s'alimenter en suçant les invertébrés mous.

Dix espèces d'araignée de mer sont capturées lors du relevé NGSL. À l'exception d'une espèce (*Pycnogonum littorale*), elles appartiennent toutes au genre *Nymphon*, soit *N. brevitarse*, *N. grossipes*, *N. hirtipes*, *N. longitarse*, *N. macrum*, *N. rubrum*, *N. serratum*, *N. sluiteri* et *N. stroemi*. Une analyse sous la loupe binoculaire est toutefois nécessaire pour distinguer les espèces, à l'exception de *N. hirtipes*. En effet, la présence de soies sur l'ensemble de son corps la distingue facilement des autres espèces du genre *Nymphon* capturées dans le relevé NGSL.



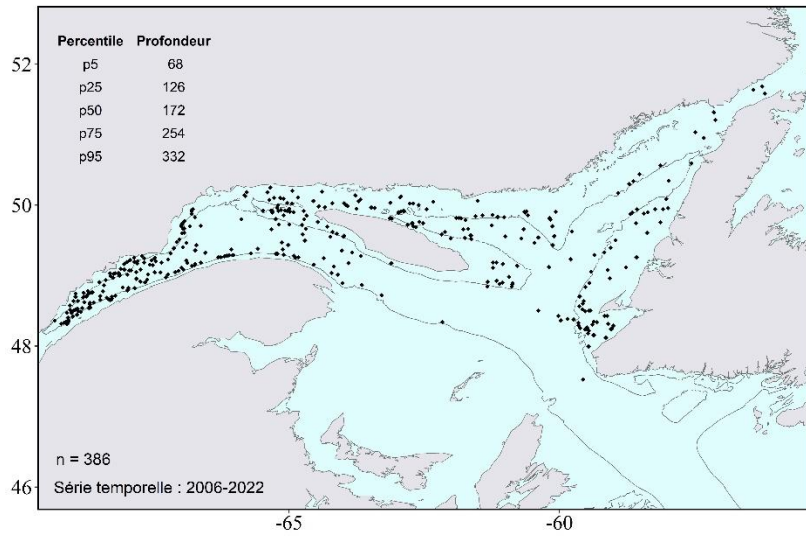
© Laurie Isabel



***Nymphon* sp.** (Fabricius, 1794)
AphiaID: 134591, STRAP: 5961, RVAN: 2893

Écologie

- Substrat : roche, sable, vase.



Identification

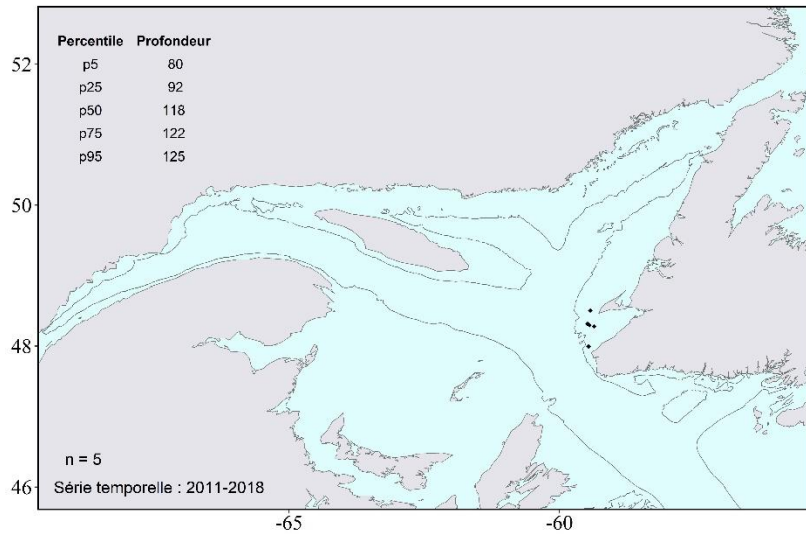




Nymphon hirtipes (Bell, 1855)
AphiaID: 134690, STRAP: 5964, RVAN: 7798

Écologie

- Substrat : roche.
- Probablement associée aux eaux froides de la couche intermédiaire.



Identification

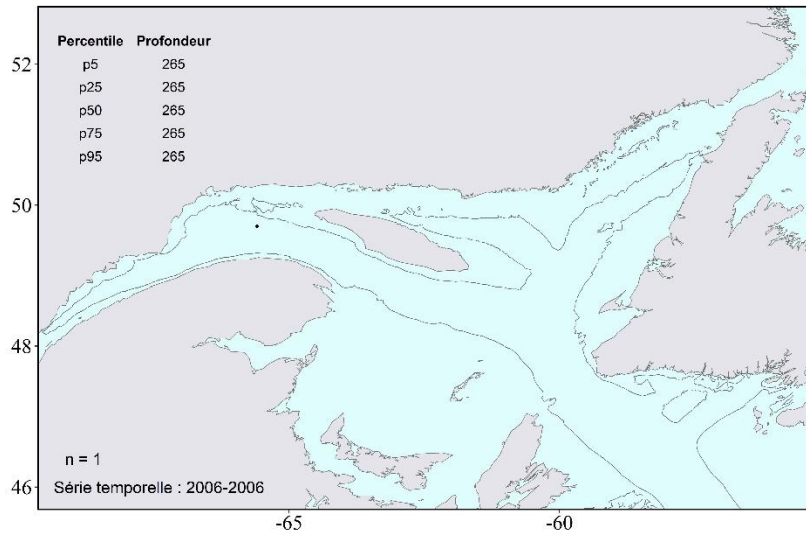




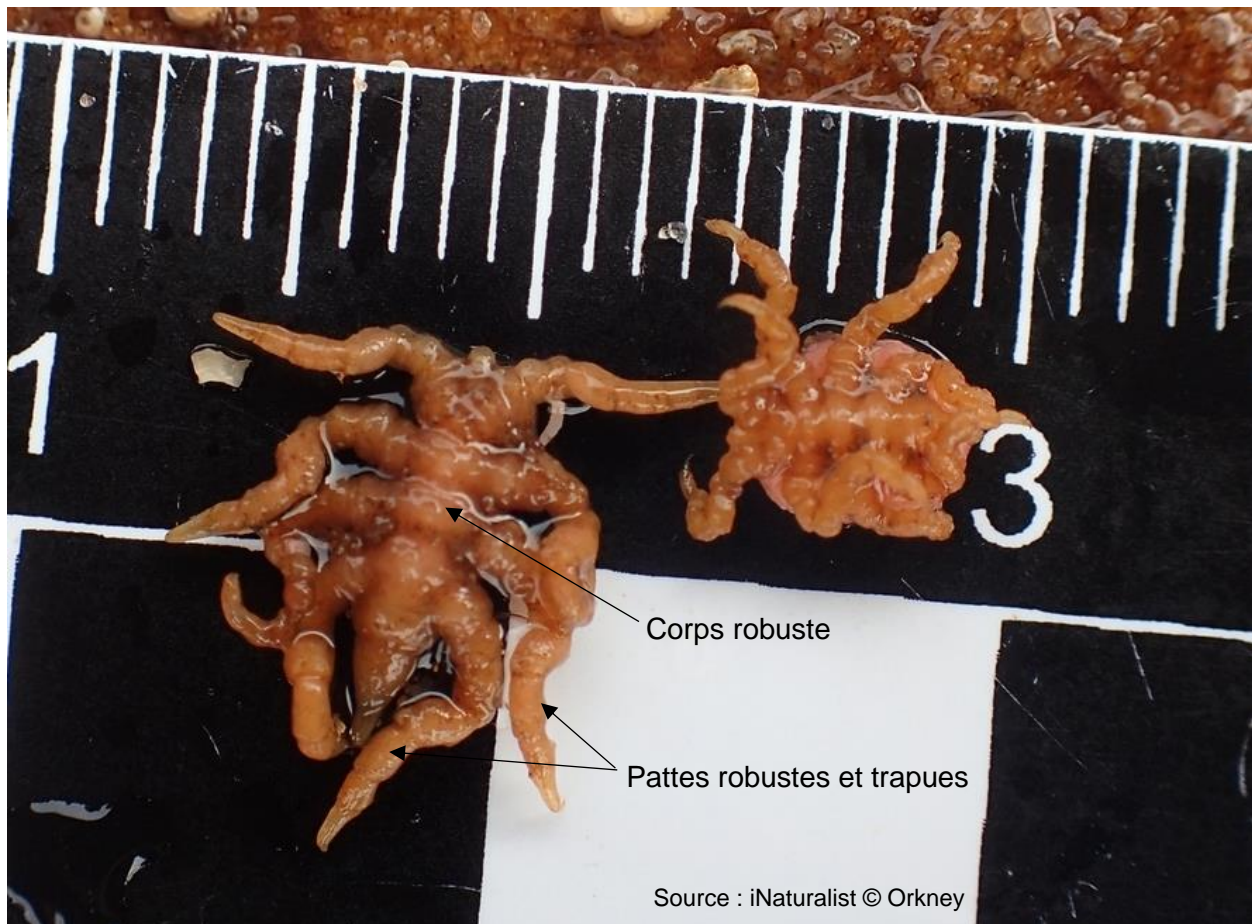
Pycnogonum litorale (Strøm, 1762)
AphiaID: 239867, STRAP: 5975, RVAN: 5102

Écologie

- Substrat : roche.
- Retrouvée à proximité d'anémones et d'hydrozoaires dont elle se nourrit exclusivement.



Identification



Références

- Atkinson, R. J. A., Moore, P. G. et Morgan, P. J. 2009. The burrows and burrowing behaviour of *Maera loveni* (Crustacea: Amphipoda). *J. Zool.*, 198(4), 399-416.
<https://doi.org/10.1111/jzo.1982.198.4.399>
- Birkely, S. R., et Gulliksen, B. 2003. Feeding ecology in five shrimp species (Decapoda, Caridea) from an Arctic Fjord (Isfjorden, Svalbard), with emphasis on *Sclerocrangon boreas* (Phipps, 1774). *Crustaceana*, 76(6), 699-715.
<http://www.jstor.org/stable/20105610>
- Brown, A., Thatje, S., Oliphant, A., Munro, C. et Smith, K. E. 2018. Temperature effects on larval development in the lithodid crab *Lithodes maja*. *J. Sea Res.*, 139, 73-84.
<https://doi.org/10.1016/j.seares.2018.06.009>
- Brunel, P., Bossé, L. et Lamarche, G. 1998. Catalogue des invertébrés marins de l'estuaire et du golfe du Saint-Laurent. *Publ. spéc. sci. halieut. aquat.* 126. 405 p.
- Buhl-Mortensen, L., Tandberg, A. H. S., Buhl-Mortensen, P. et Gates, A. R. 2015. Behaviour and habitat of *Neohela monstrosa* (Boeck, 1861) (Amphipoda: Corophiida) in Norwegian Sea deep water. *J. Nat. Hist.*, 50(5-6), 323-337.
<https://doi.org/10.1080/00222933.2015.1062152>
- Burmeister, A. et Sainte-Marie, B. 2010. Pattern and causes of a temperature-dependent gradient of size at terminal moult in snow crab (*Chionoecetes opilio*) along West Greenland. *Polar Biol.*, 33(6), 775-788. <https://doi.org/10.1007/s00300-009-0755-6>
- Dawe, J. 2007. Decoration in *Hyas araneus*. Thèse de baccalauréat. Memorial University of Newfoundland, iv + 36 p
- DORIS. 2023. Amphipode hérisson des éponges. <https://doris.ffessm.fr/Especies/Paramphithoe-hystrix-Amphipode-herisson-des-eponges-4645> (Accédé le 28 juillet 2023)
- DORIS. 2023. Pycnogonon. <https://doris.ffessm.fr/Especies/Pycnogonum-litorale-Pycnogonon-941> (Accédé le 28 juillet 2023)
- Gagnon, J.-M., Beaudin, L., Silverberg, N. et Mauviel, A. 2013. Mesocosm and in situ observations of the burrowing shrimp *Calocaris templemani* (Decapoda: Thalassinidea) and its bioturbation activities in soft sediments of the Laurentian Trough. *Marine Biol.*, 160(10), 2687-2697. <https://doi.org/10.1007/s00227-013-2262-0>
- Guderley, H. E., Himmelman, J. H., Nadeau, M., Cortes, H. P., Tremblay, I. et Janssoone, X. 2015. Effect of different predators on the escape response of *Placopecten magellanicus*. *Marine Biol.*, 162(7), 1407-1415. <https://doi.org/10.1007/s00227-015-2677-x>
- Hine, E. W. 2022. The deep-pelagic sergestid shrimp assemblage in the Gulf of Mexico in the vicinity of the Deepwater Horizon oil spill. Thèse de maîtrise. Nova Southeastern University, Fort Lauderdale.
- Holsinger, J. R. 1972. *The freshwater amphipod crustaceans (Gammaridae) of North America*. Water Pollution Control Research Series 18050 ELD04/72, US Environmental Protection Agency, Environmental Monitoring and Support Laboratory. Cincinnati.

- King, R. 2001. Animals in sea history: Barnacles. <https://seahistory.org/sea-history-for-kids/barnacles/> (Accédé le 26 juillet 2023)
- Mercier, A., Baillon, S. et Hamel, J.-F. 2015. Life history and feeding biology of the deep-sea pycnogonid *Nymphon hirtipes*. Deep Sea Res. Part I Oceanogr. Res., 106, 1-8. <https://doi.org/10.1016/j.dsr.2015.08.015>
- Noël P., 2015. La munidopsis à rostre courbe *Munidopsis curvirostra* Whiteaves, 1874. https://inpn.mnhn.fr/fichesEspece/EspeciesMarines/Munidopsis_curvirostra.pdf (Accédé le 24 juillet 2023)
- Nozères, C., Archambault, D. et Miller, R. 2014. Photo-catalogue d'invertébrés de l'estuaire et du nord du golfe du Saint-Laurent des relevés au chalut (2005-2013). Rapp. manus. can. sci. halieut. aquat., 3035: iv + 221 p.
- Ouellette-Plante, J., Chabot, D., Nozères, C. et Bourdages, H. 2020. Régimes alimentaires de poissons démersaux provenant des relevés écosystémiques du NGCC *Teleost* dans l'estuaire et le nord du golfe du Saint-Laurent, août 2015-2017. Rapp. tech. can. sci. halieut. aquat. 3383: v + 124 p.
- Ross, S. W., Sulak, K. J. et Munroe, T. A. 2001. Association of *Syscenus infelix* (Crustacea: Isopoda: Aegidae) with benthopelagic rattail fishes, *Nezumia* spp. (Macrouridae), along the western North Atlantic continental slope. Marine Biol., 138(3), 595-601. <https://doi.org/10.1007/s002270000485>
- Schnabel, K. E. et Hebert, P. D. N. 2003. Resource-associated divergence in the arctic marine amphipod *Paramphithoe hystrix*. Marine Biol., 143(5), 851-857. <https://doi.org/10.1007/s00227-003-1126-4>
- Squires, H. J. 1990. Decapod Crustacea of the Atlantic Coast of Canada. Bull. can. halieut. sci. aquat. 221: 532 p.
- Steele, D. et Lilly, G. 1999. Predation by cod (*Gadus morhua*) on amphipod crustaceans in the Northwestern Atlantic. Vie et Milieu, 49(4), 309-316.
- Tavares, C. R. et Serejo, C. S. 2007. Taxonomy of Aristeidae (Dendrobranchiata:Penaeoidea) from the central coast of Brazil, collected by the Revizee program, between 19° and 22°S. Zootaxa, 1585(1), 1-44. <https://doi.org/10.11646/zootaxa.1585.1.1>
- Van Name, W. G. 1936. The American land and fresh-water isopod Crustacea. Bull. Amer. Mus. nat. Hist, 71: 1-535.
- Vestheim, H. et Kaartvedt, S. 2009. Vertical migration, feeding and colouration in the mesopelagic shrimp *Sergestes arcticus*. J. Plankton. Res., 31(11), 1427-1435. <https://doi.org/10.1093/plankt/fbp077>
- Walther, K., Sartoris, F. J., Bock, C. et Pörtner, H. O. 2009. Impact of anthropogenic ocean acidification on thermal tolerance of the spider crab *Hyas araneus*. Biogeosciences, 6(10), 2207-2215. <https://doi.org/10.5194/bg-6-2207-2009>

Phylum Arthropoda

Williams, A. B. et Turner, R. D. 1986. Squat lobsters (Galatheidae: *Munidopsis*) associated with mesh-enclosed wood panels submerged in the deep sea. J. Crust. Biol., 6(3), 617-624.
<https://doi.org/10.1163/193724086x00415>

Zimina, O. L. 2021. Decapod crustaceans of the Kara Sea: species composition and peculiarities of distribution. Proceedings ZIN, 325(3), 364-372.
<https://doi.org/10.31610/trudyzin/2021.325.3.364>

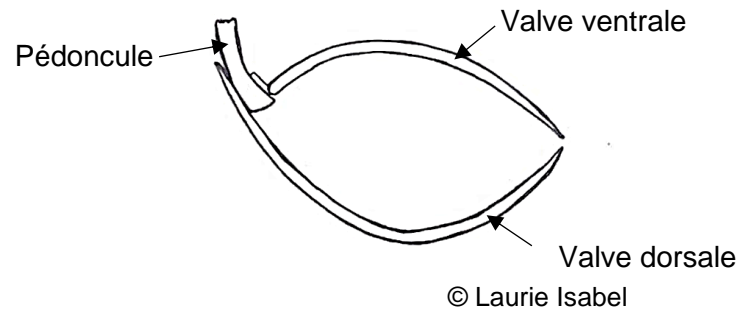
Brachiopoda

Phylum Brachiopoda

Brachiopoda (Duméril, 1805)

AphiaID: **1803**, STRAP: **3080**, RVAN: **1930**

Les brachiopodes sont des espèces marines vivant accrochées sur les fonds. Ils préfèrent généralement les eaux peu profondes, mais peuvent aussi être retrouvés à de grandes profondeurs. L'apparence extérieure des brachiopodes ressemble beaucoup à celle des bivalves avec leurs deux **coquilles calcaires** sécrétées par leur manteau. À la différence des bivalves, les valves des brachiopodes sont ventrale et dorsale plutôt que gauche et droite. Ces organismes vivent attachés au substrat directement ou par le biais d'un **pédoncule**.



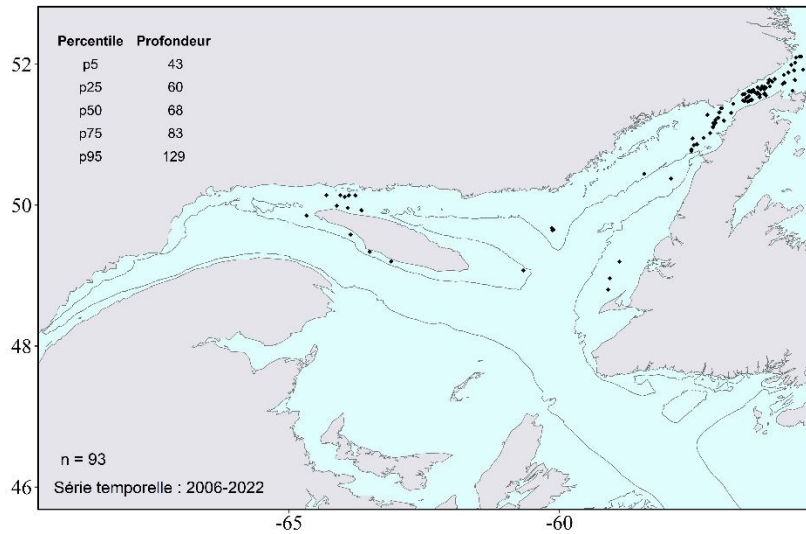
Seulement deux espèces de brachiopodes sont capturées dans le relevé NGSL, soit *Terebratulina septentionalis* et *Hemithiris psittacea*.



Hemithiris psittacea (Gmelin, 1791)
 AphiaID: 104054, STRAP: 3090, RVAN: 7761

Écologie

- Substrat : roche ou autres substrats durs.
- Espèce d'eaux froides.



Identification



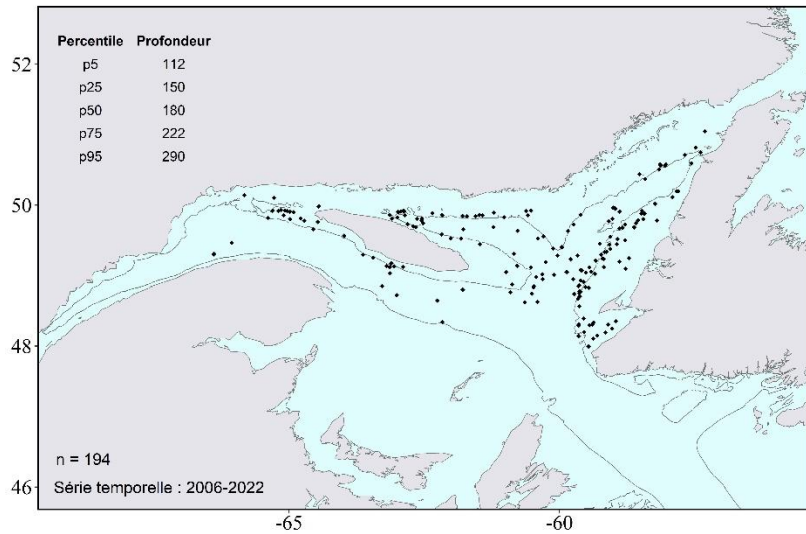


Terebratulina septentrionalis (Couthouy, 1838)

AphiaID: 104056, STRAP: 3101, RVAN: 7719

Écologie

- Substrat : roche ou autres substrats durs.



Identification



Références

- Bitner, M. A. et Cohen, B. L. 2013. Brachiopoda. Encyclopedia of Life Sciences. John Wiley & Sons. [https://doi.org/https://doi.org/10.1002/9780470015902.a0001614.pub3](https://doi.org/10.1002/9780470015902.a0001614.pub3)
- Kuzmina, T. V. 2021. New data on the development of the brachiopod *Hemithiris psittacea* (Rhynchonelliformea: Rhynchonellida). Invertebr. Biol., 18(3), 321-331. <https://doi.org/10.15298/invertzool.18.3.06>
- Kuzmina, T. V., Temereva, E. N. et Malakhov, V. V. 2018. Ultrastructure of the lophophoral coelomic lining in the brachiopod *Hemithiris psittacea*: functional and evolutionary significance. Zoomorphology, 137(2), 257-272. <https://doi.org/10.1007/s00435-018-0397-8>
- Witman, J. D. et Cooper, R. A. 1983. Disturbance and contrasting patterns of population structure in the brachiopod *Terebratulina septentrionalis* (Couthouy) from two subtidal habitats. J. Exp. Mar. Biol. Ecol., 73(1), 57-79. [https://doi.org/10.1016/0022-0981\(83\)90005-9](https://doi.org/10.1016/0022-0981(83)90005-9)

Bryozoa

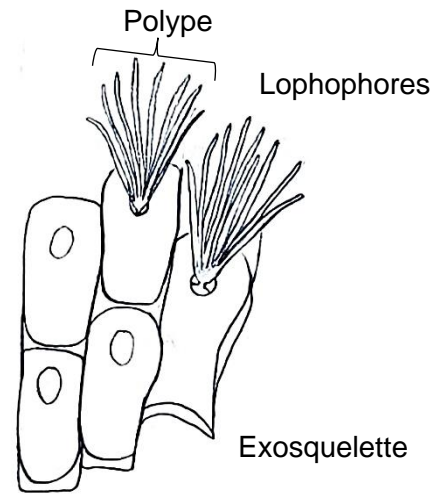
Phylum Bryozoa

Bryozoa

AphiaID: 146142, STRAP: 2670, RVAN: 1900

Les bryozoaires sont des organismes généralement coloniaux vivant fermement attachés sur des substrats durs. Ils sont formés de plusieurs **polypes**, appelés zoïdes. Ces unités s'alimentent en allongeant leurs **lophophores** pour collecter les particules en suspension dans l'eau. Chaque zoïde sécrète une substance formant un **exosquelette**. Cet exosquelette peut être gélatineux, chitineux ou calcaireux dépendamment de l'espèce. La plupart des espèces de bryozoaires sont sessiles, mais certaines espèces peuvent se déplacer, en glissant, ou de façon active. Certaines colonies forment des surfaces encroûtantes sur des algues, des coquillages ou des roches.

Les bryozoaires sont très diversifiés dans le golfe du Saint-Laurent. Dans le relevé NGSL, plusieurs fragments de colonie sont capturés. À l'exception des individus appartenant au genre *Alcyonidium* et des espèces *Securiflustra securifrons* et *Phidolopora elongata*, les bryozoaires capturés sont enregistrés au phylum Bryozoa puisqu'une analyse sous la loupe binoculaire est nécessaire pour identifier les espèces.



© Laurie Isabel

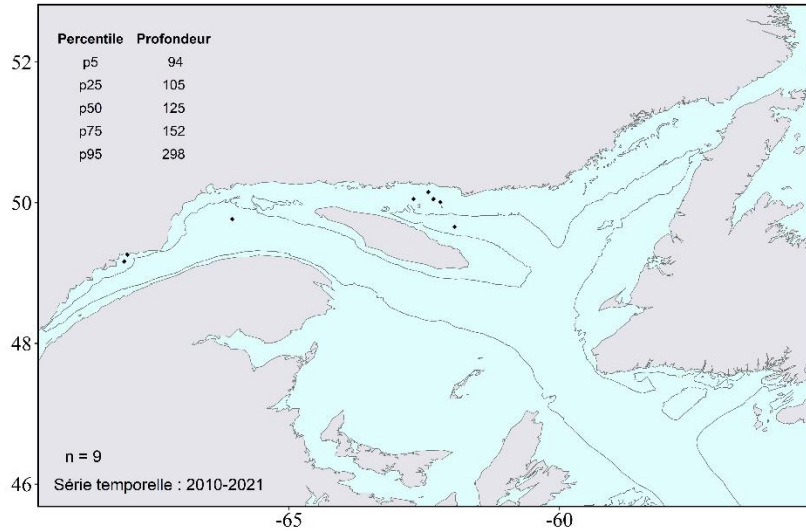


Alcyonidium gelatinosum (Linnaeus, 1761)

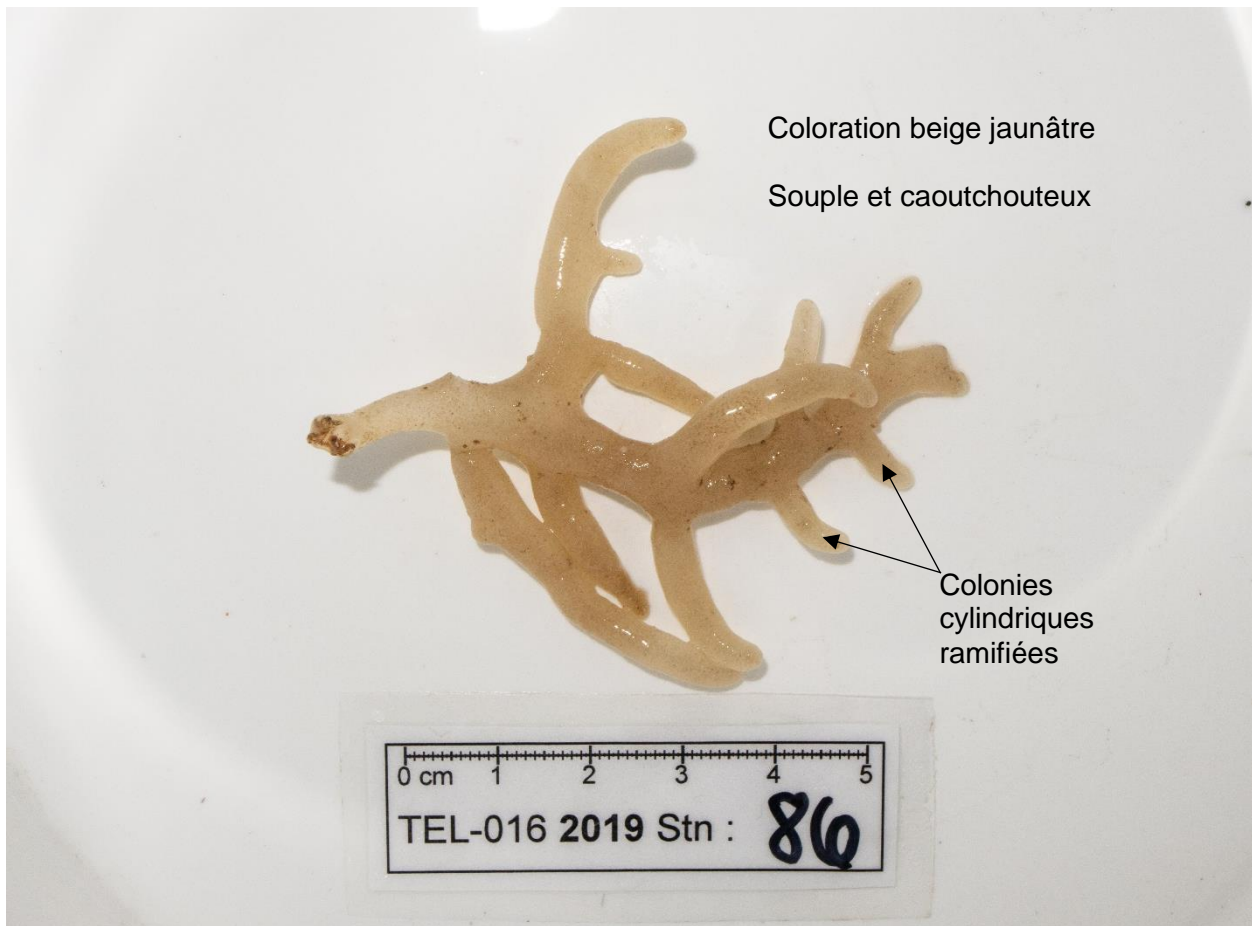
AphiaID: 111600, STRAP: 2676, RVAN: 7745

Écologie

- Substrat : roche ou autres substrats durs.



Identification



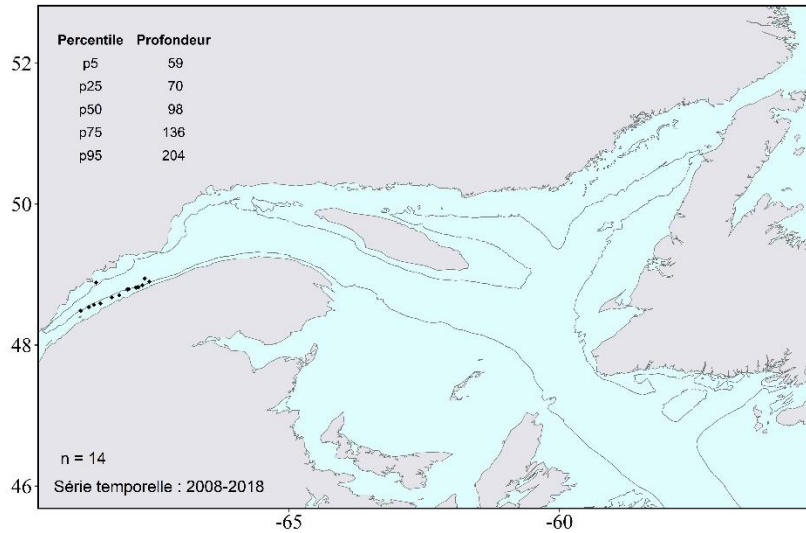


Alcyonidium pachydermatum (Denisenko, 1996)

AphiaID: 470640, STRAP: 2677, RVAN: 7759

Écologie

- Substrat : ND.



Identification



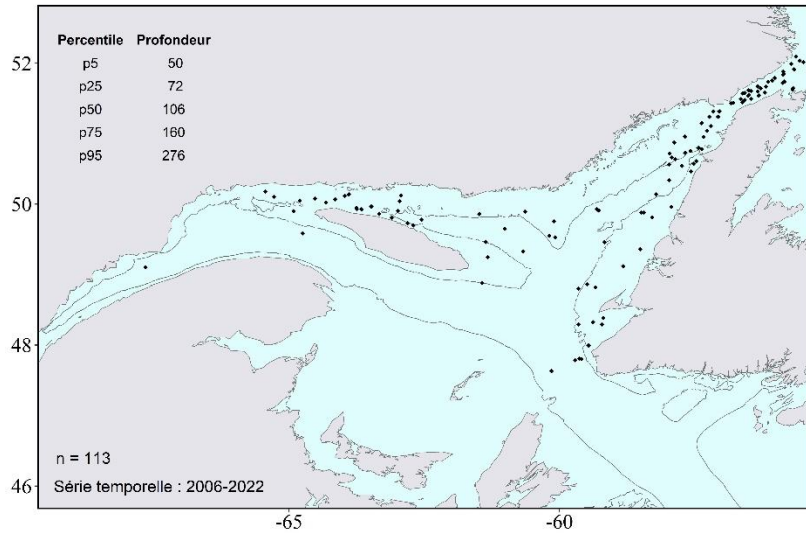


***Securiflustra securifrons* (Pallas, 1766)**

AphiaID: 111374, STRAP: 2679, RVAN: 7760

Écologie

- Substrat : roche ou autres substrats durs.



Identification



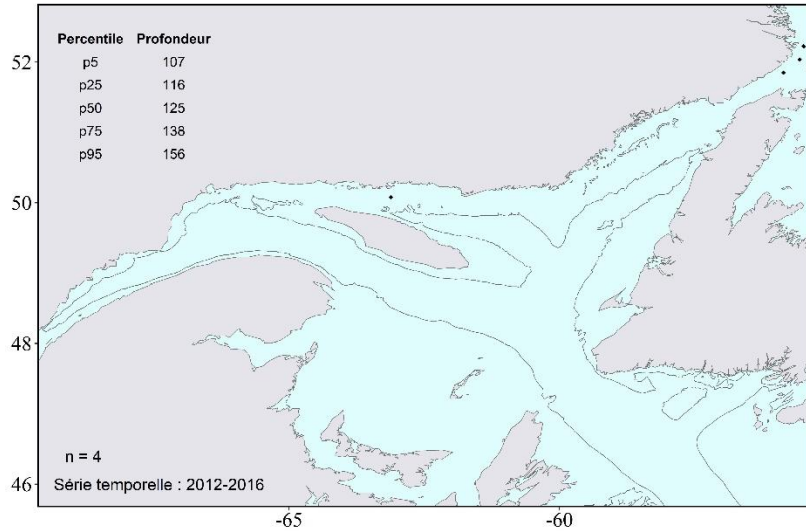


Phidolopora elongata (Smitt, 1866)

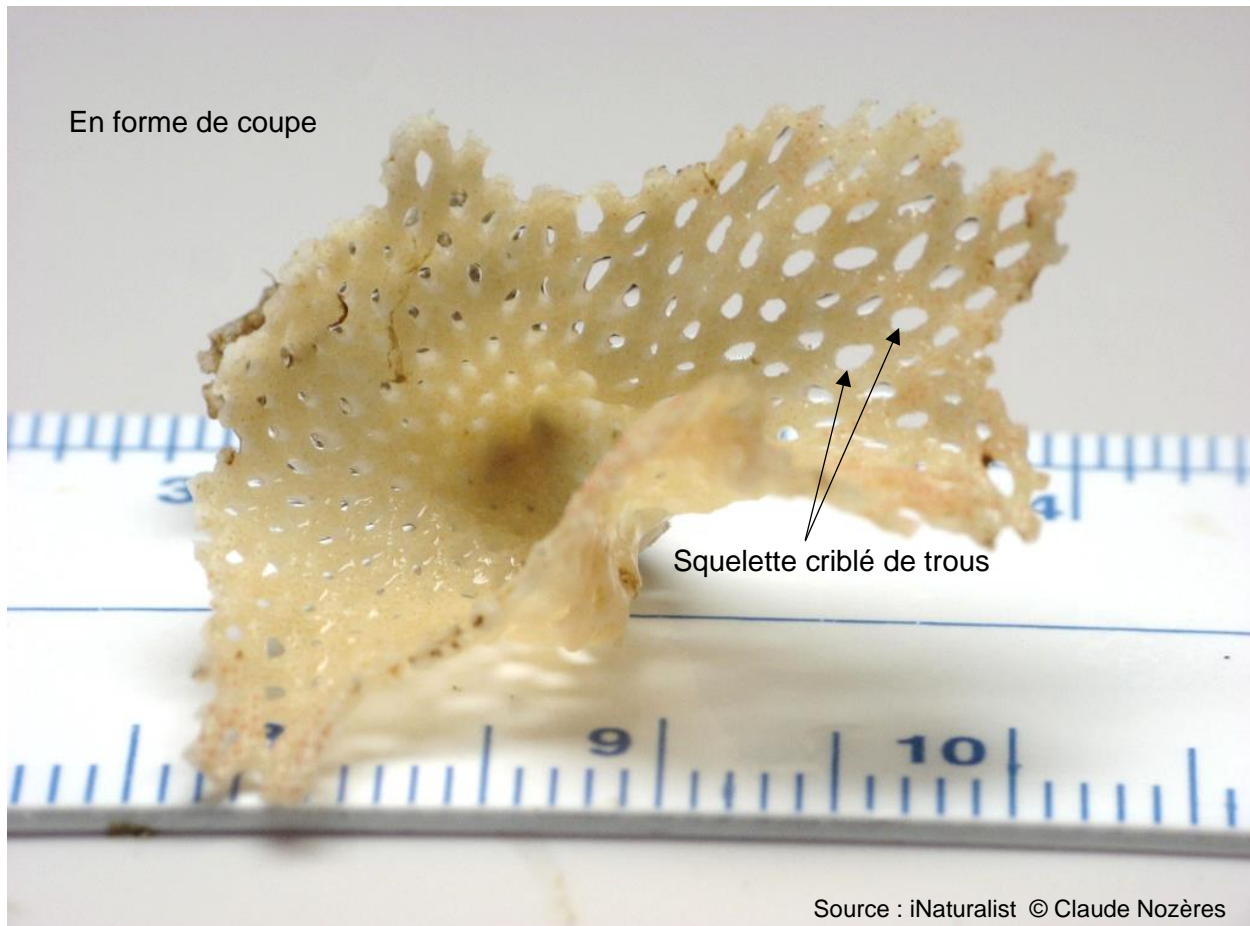
AphiaID: 111445, STRAP: 2686, RVAN: -

Écologie

- Substrat roche ou autres substrats durs.



Identification



Références

- Brunel, P., Bossé, L. et Lamarche, G. 1998. Catalogue des invertébrés marins de l'estuaire et du golfe du Saint-Laurent. Publ. spéc. sci. halieut. aquat. 126. 405 p.
- Denisenko, N. V. 2009. New species and new records of rare ctenostome bryozoans of the genus *Alcyonidium* in the Russian Arctic Seas. Proceedings ZIN, 313(4), 419-426.
<https://doi.org/10.31610/trudyzin/2009.313.4.419>
- Nozères, C., Archambault, D. et Miller, R. 2014. Photo-catalogue d'invertébrés de l'estuaire et du nord du golfe du Saint-Laurent des relevés au chalut (2005-2013). Rapp. manus. can. sci. halieut. aquat., 3035: iv + 221 p.

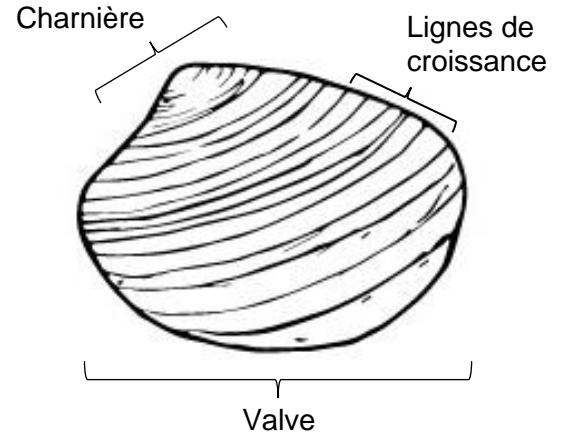
Mollusca

Phylum Mollusca

Classe **Bivalvia** (Linnaeus, 1758) AphiaID: **105**, STRAP: **3995**, RVAN: **4300**

Les bivalves sont des organismes aquatiques comprimés latéralement et protégés par une coquille. La plupart des bivalves sont des filtreurs sédentaires. Les bivalves sont formés de deux coquilles, appelées **valves**, maintenues ensemble au niveau de la **charnière** par un ligament, qui permet à l'animal de s'ouvrir, et par des muscles abducteurs qui permettent à l'animal de se refermer. Au niveau de la charnière se trouve l'**umbo**, l'extrémité saillante des valves. Les bivalves jouent un rôle important dans les écosystèmes aquatiques puisqu'ils filtrent l'eau pour s'alimenter.

Vingt-trois taxons de bivalves sont capturés dans le relevé NGSL. Quelques-uns sont identifiés au genre plutôt qu'à l'espèce puisqu'une analyse sous la loupe binoculaire des caractères internes est nécessaire pour distinguer les espèces. C'est le cas pour le genre *Nuculana*, *Yoldia*, *Musculus*, *Mytilus* et *Astarte*. Trois espèces appartenant au genre *Nuculana* sont retrouvées dans le NGSL, soit *N. minuta*, *N. pernula* et *N. tenuisculata*, quatre espèces appartenant au genre *Yoldia*, soit *Y. hyperborea*, *Y. limatula*, *Y. myalis* et *Y. sapotilla*, deux espèces appartenant au genre *Musculus*, soit *M. discors* et *M. niger*, deux espèces appartenant au genre *Mytilus*, soit *M. edulis* et *M. trossulus* et, pour finir, cinq espèces appartenant au genre *Astarte*, soit *A. borealis*, *A. crenata*, *A. elliptica*, *A. montagui* et *A. undata*. Deux espèces, *Heteranomia squamula* et *Anomia simplex*, sont quant à elles identifiées à la famille Anomiidae.



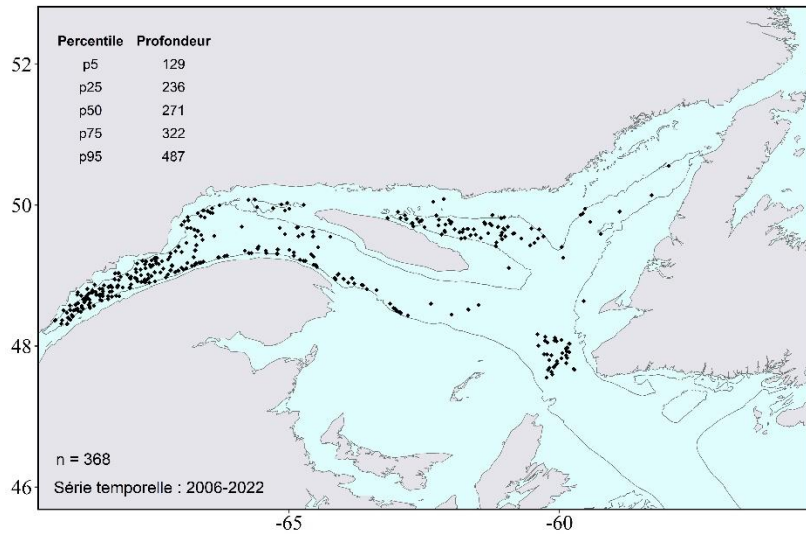
© Laurie Isabel



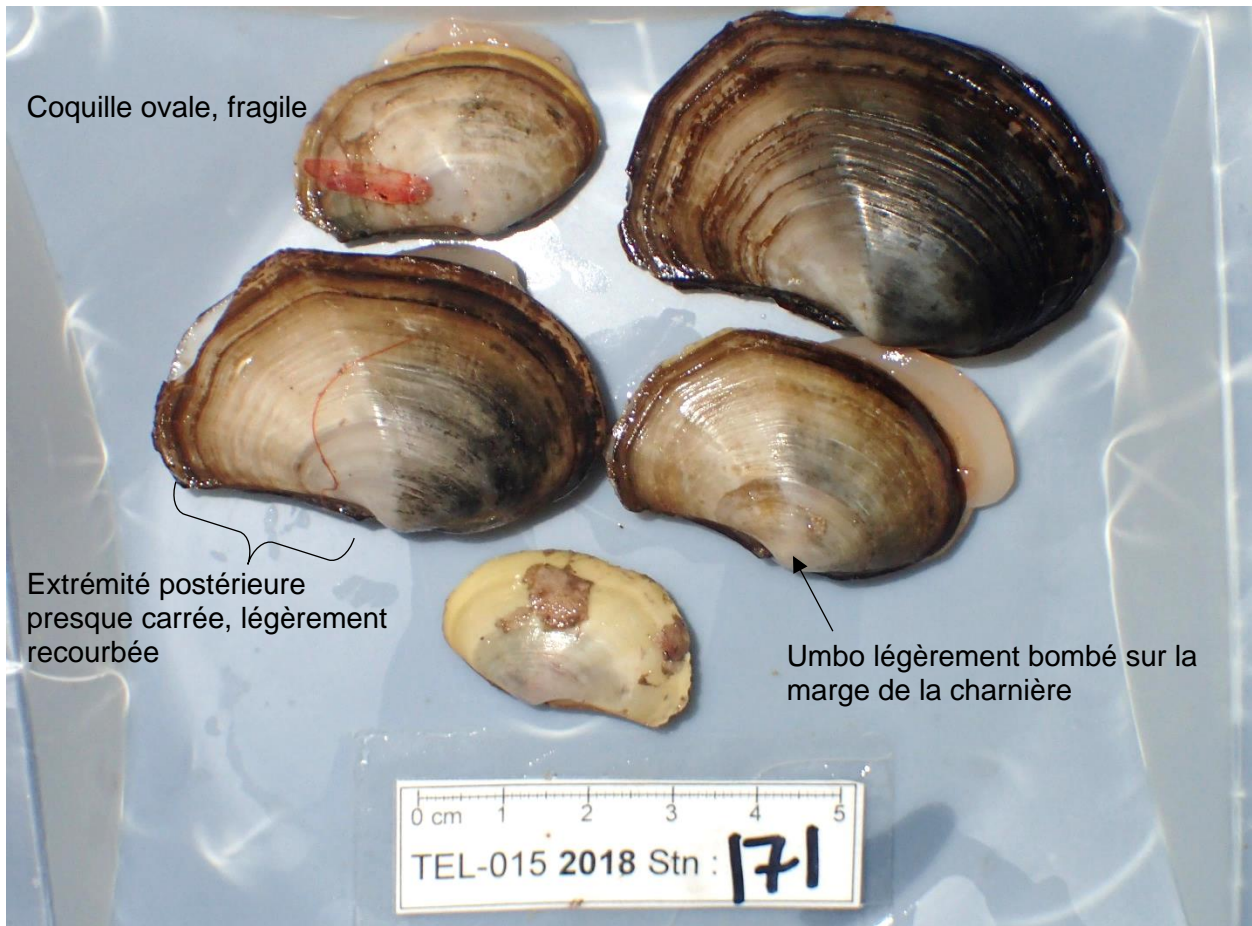
***Megayoldia thraciaeformis* (Storer, 1838)**
AphiaID: 141983, STRAP: 4025, RVAN: 4357

Écologie

- Substrat : sable, vase.



Identification

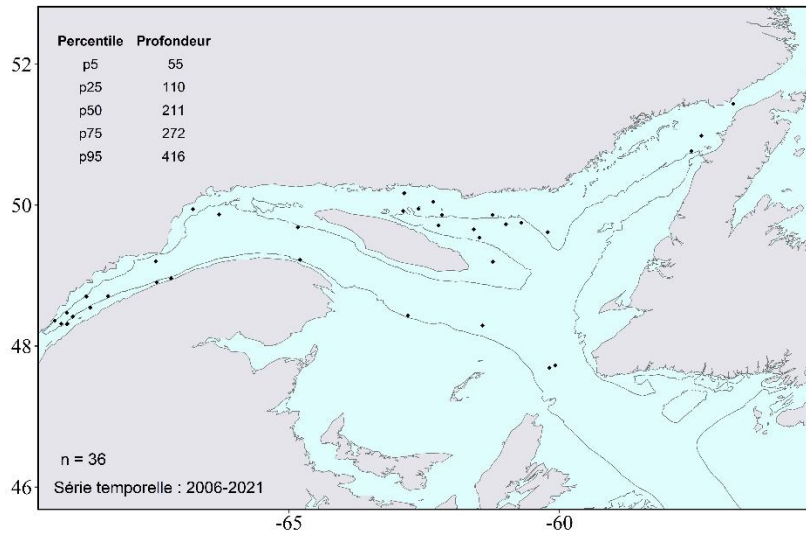




***Nuculana* sp. (Link, 1807)**
AphiaID: 138259, STRAP: 4019, RVAN: 4351

Écologie

- Substrat : ND.



Identification

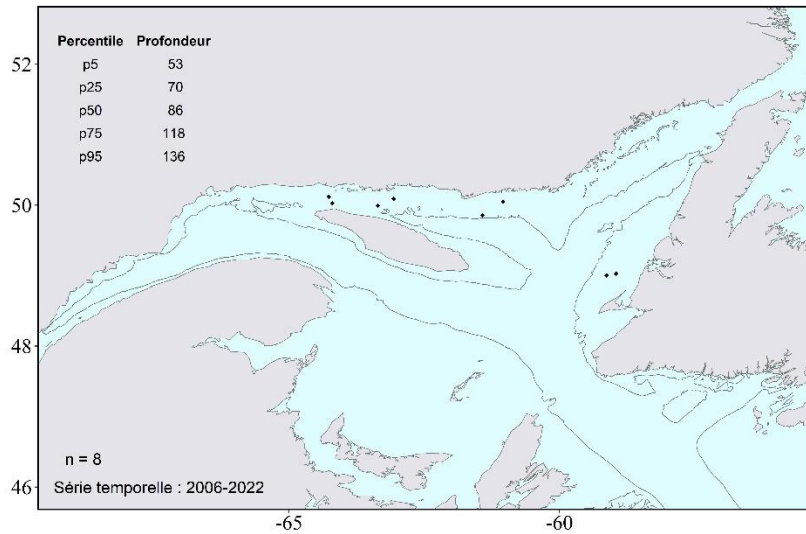




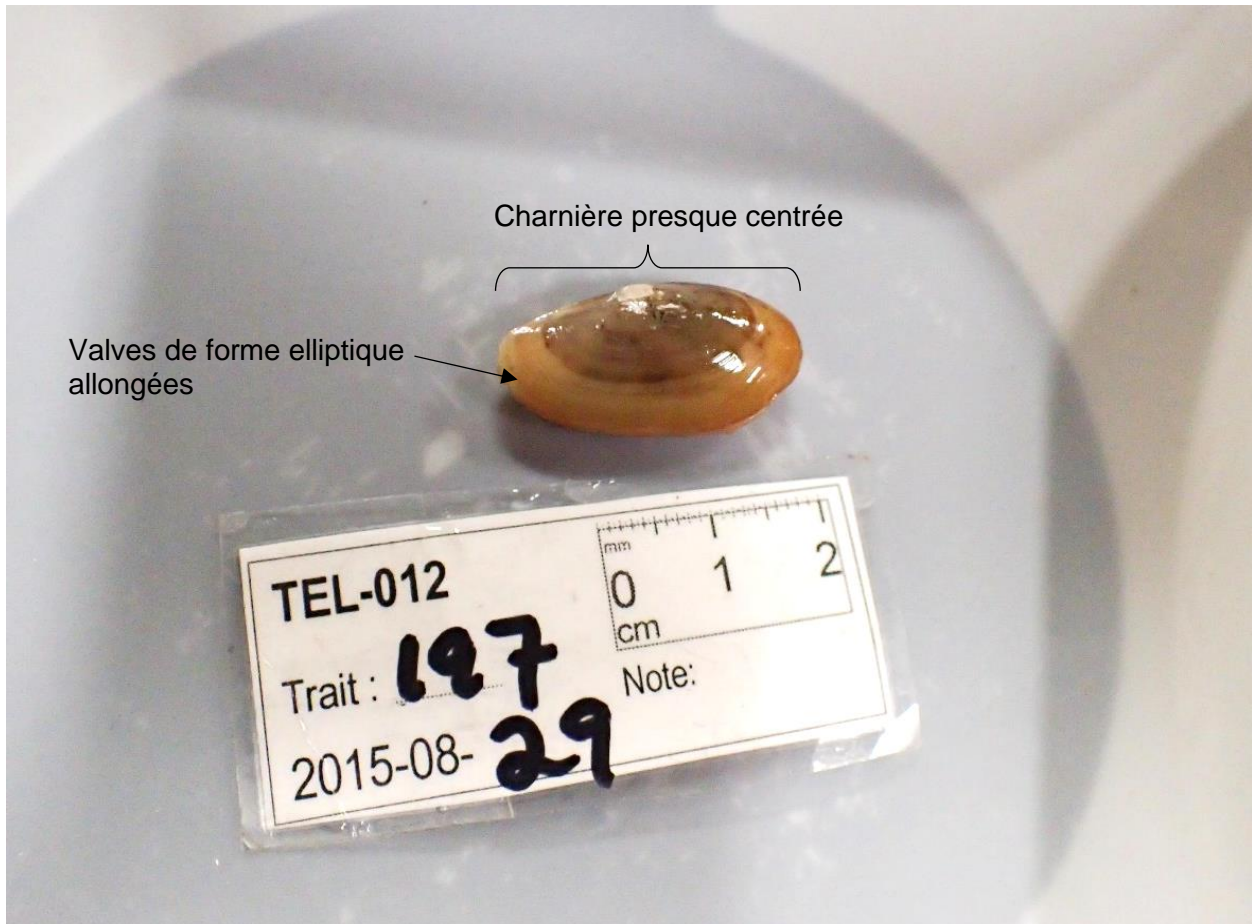
***Yoldia* sp.** (Møller, 1842)
 AphiaID: 138672, STRAP: 4074, RVAN: 4354

Écologie

- Substrat : sable, vase.
- Vivent enfouies dans le sédiment.



Identification



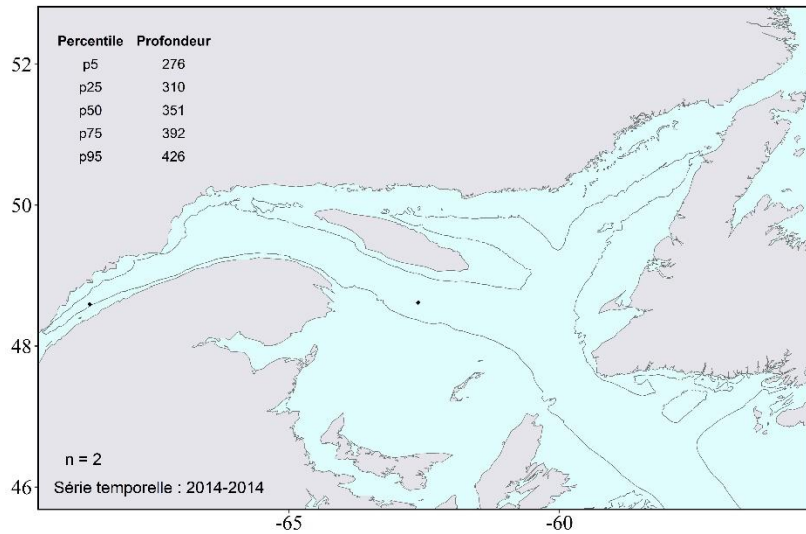


Mesodesma arctatum (Conrad, 1831)

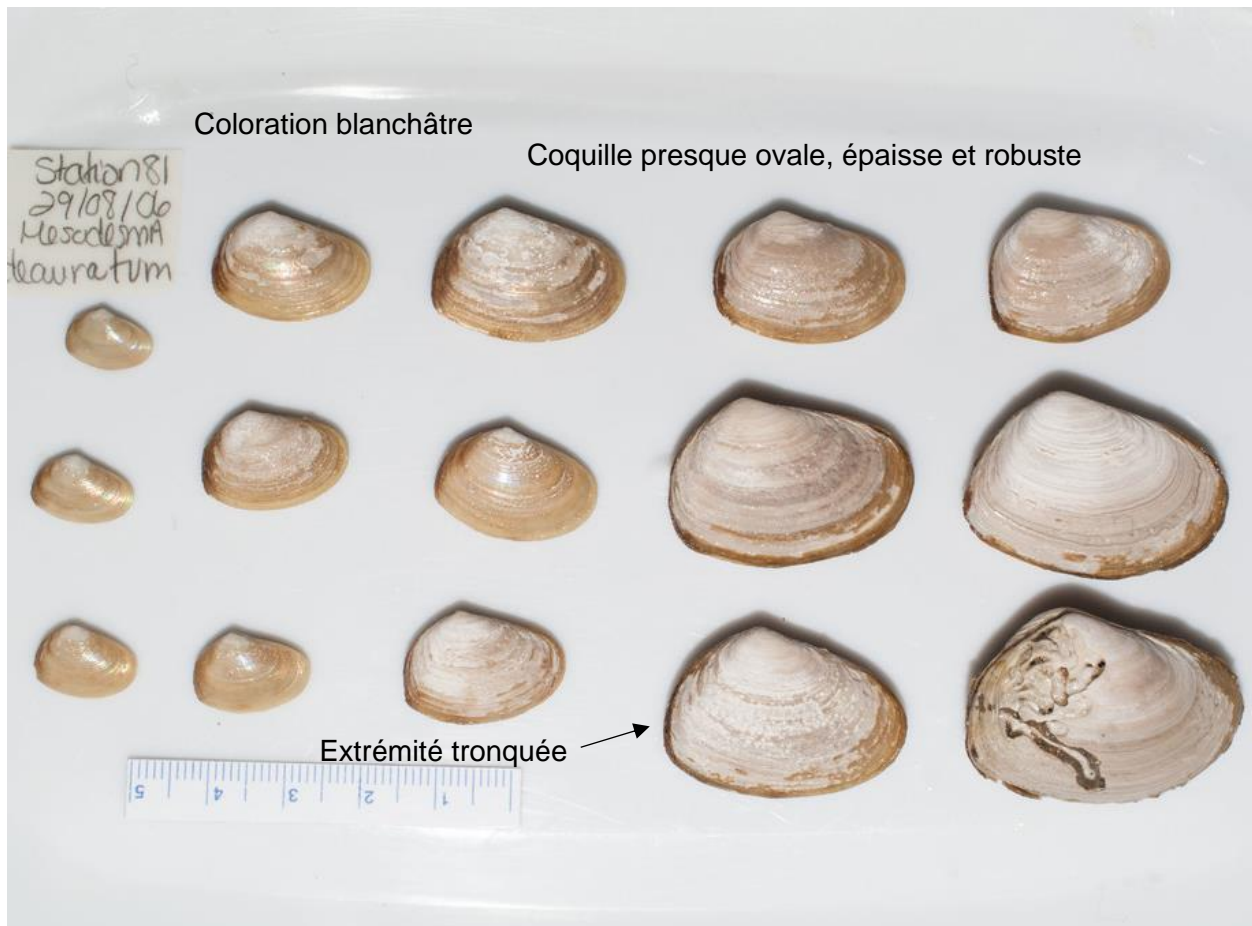
AphiaID: 156805, STRAP: 4384, RVAN: -

Écologie

- Substrat : sable.
- Espèce littorale.



Identification

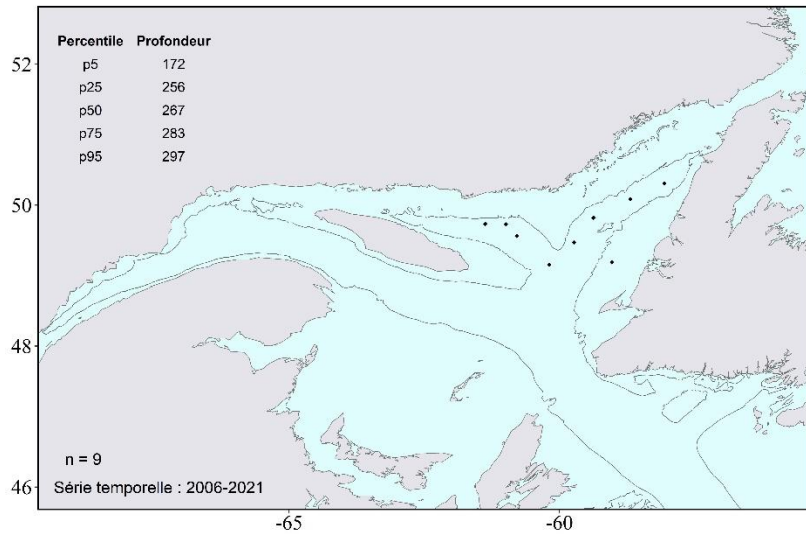




Bathyarca glacialis (Gray, 1824)
AphiaID: 138797, STRAP: 4105, RVAN: 7785

Écologie

- Substrat : roche.
- Espèce d'eaux froides.

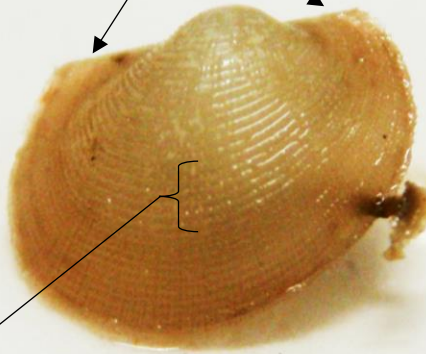


Identification

De petite taille

« Oreilles » sur les côtés de la charnière, à peu près symétriques

Lignes de croissance bien visibles

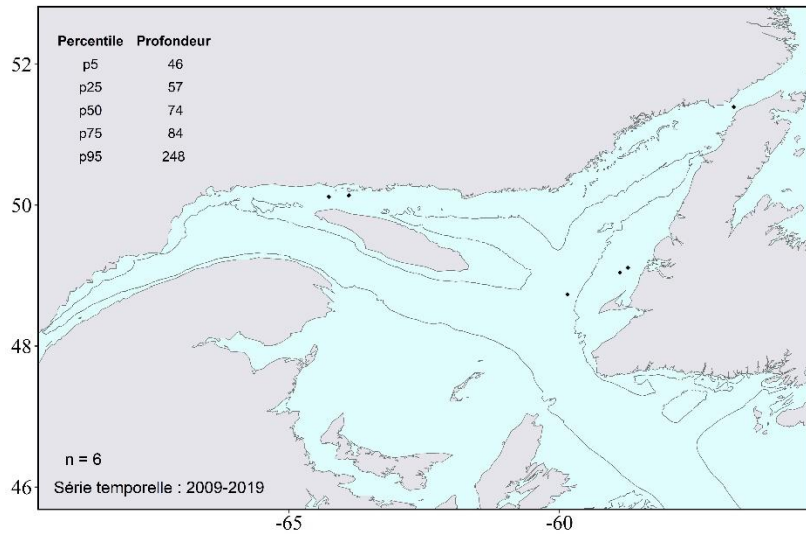




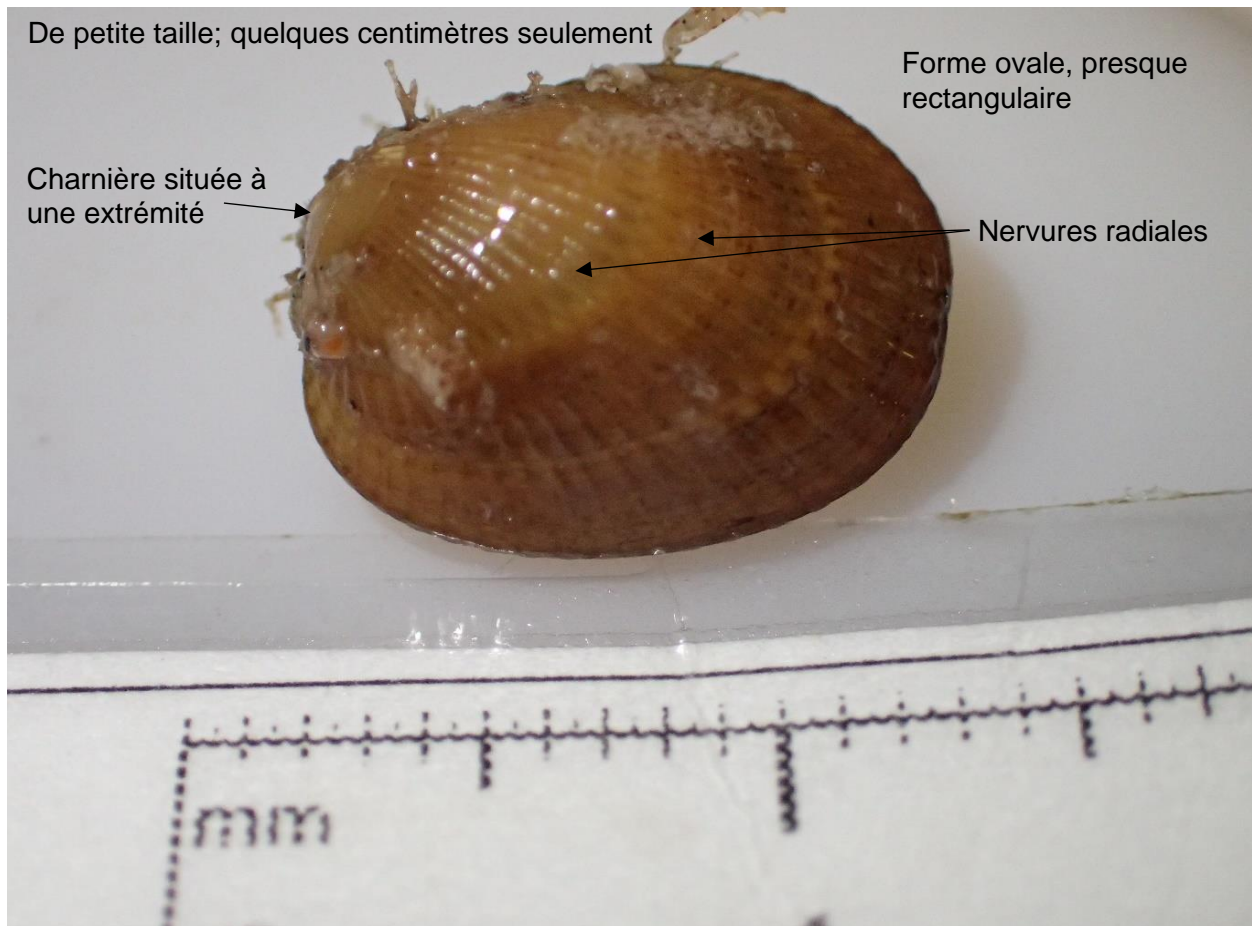
Arvella faba (O. F. Müller, 1776)
AphiaID: 505959, STRAP: 4124, RVAN: 7786

Écologie

- Substrat : ND.



Identification

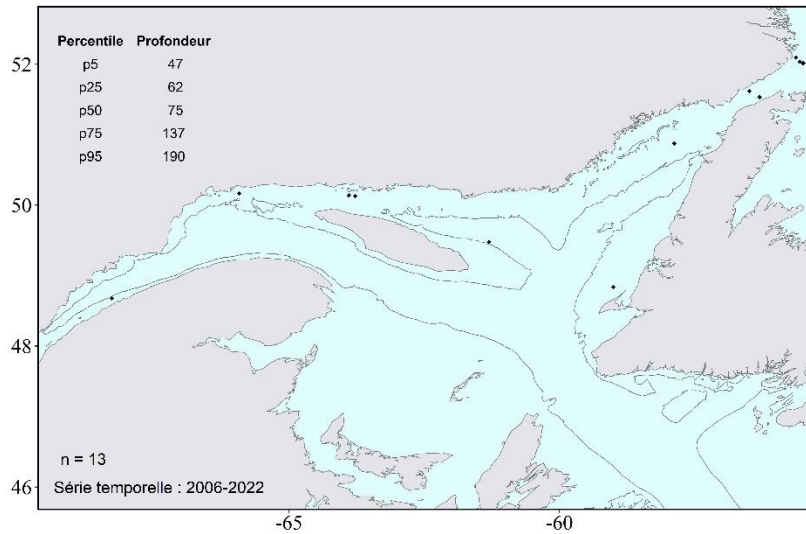




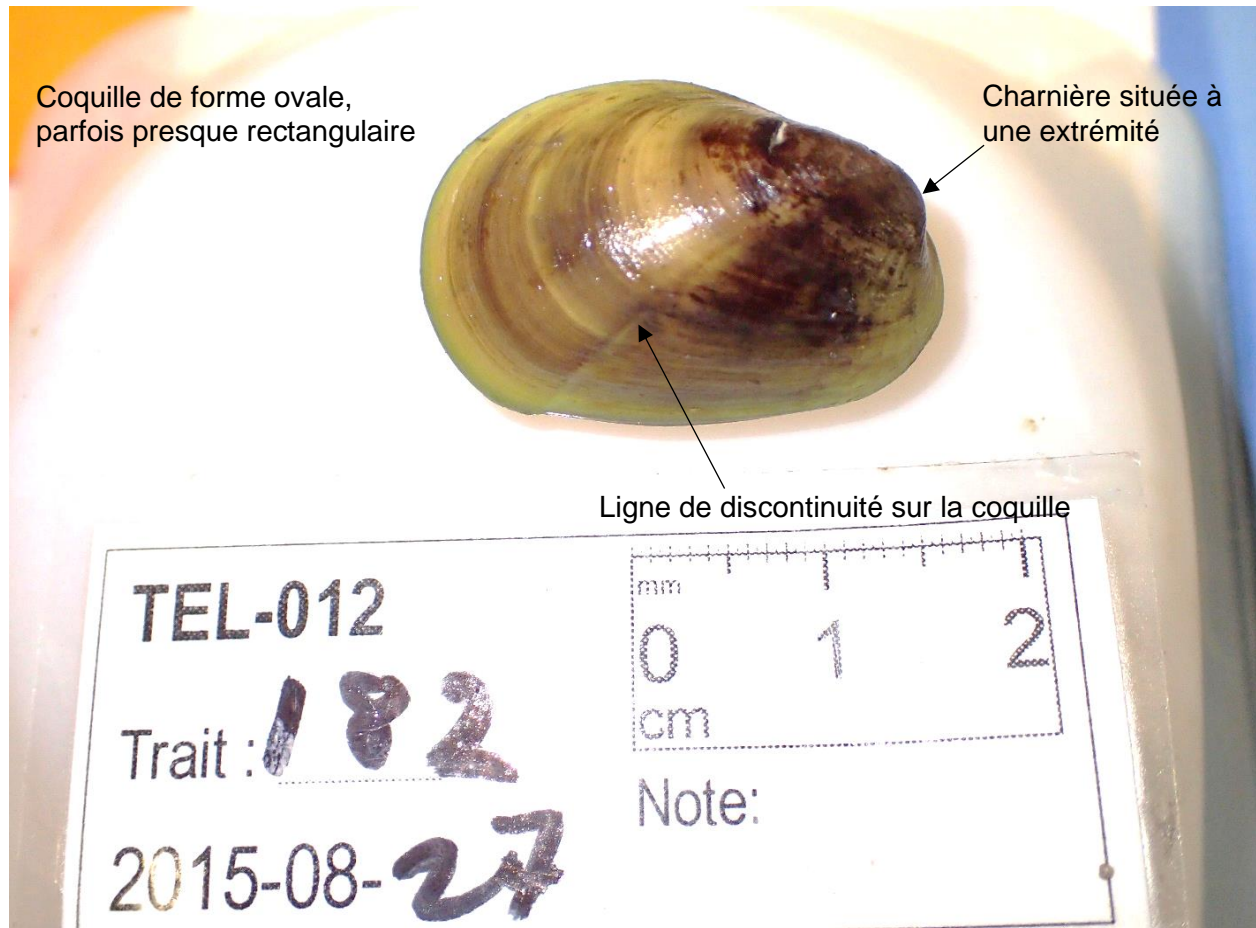
Musculus sp. (Röding, 1798)
 AphiaID: 138225, STRAP: 4126, RVAN: 7787

Écologie

- Substrat : ND.



Identification

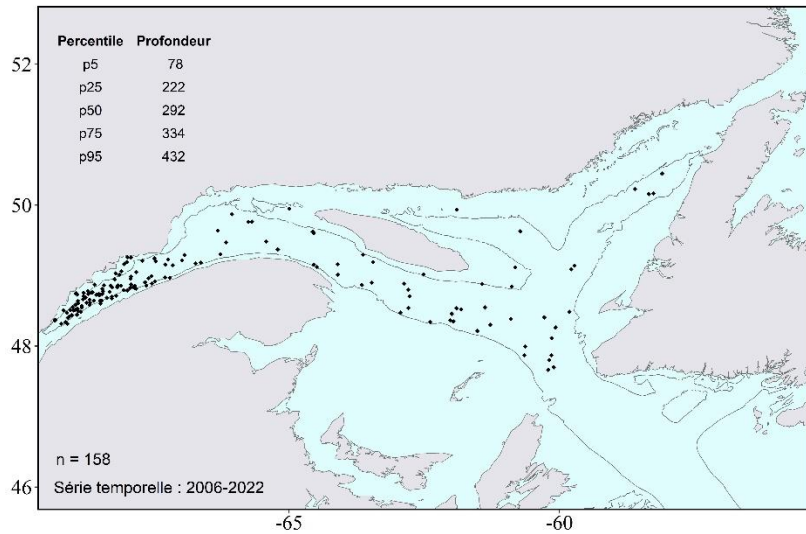




***Mytilus sp.* (Linnaeus, 1758)**
 AphiaID: 138228, STRAP: 4121, RVAN: 7721

Écologie

- Substrat : roche, vase.
- Reproduction possible entre les deux espèces, possibilité d'individus hybrides.
- Forment souvent de denses agrégations.



Identification

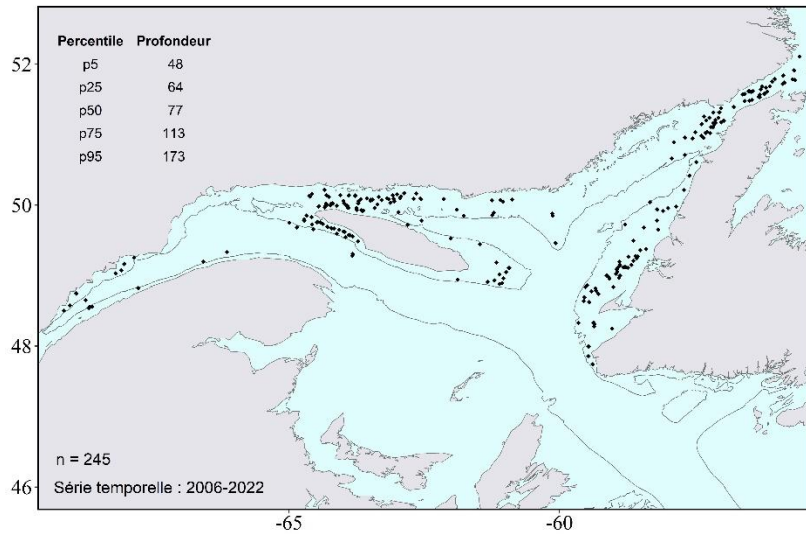




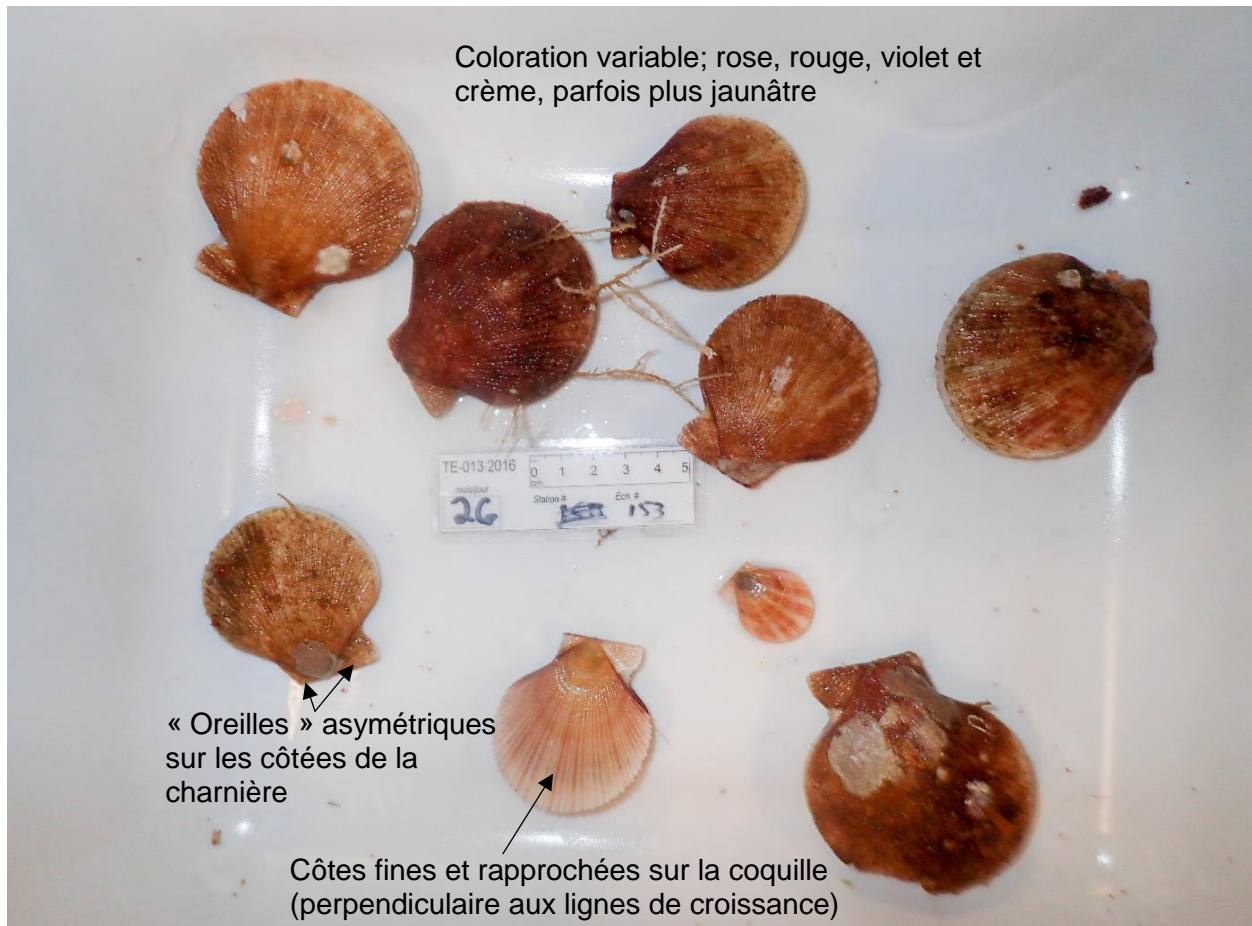
Chlamys islandica (O. F. Müller, 1776)
 AphiaID: 140692, STRAP: 4167, RVAN: 4322

Écologie

- Substrat : sable, roche et parfois vase.
- Associée à des zones de forts courants.



Identification



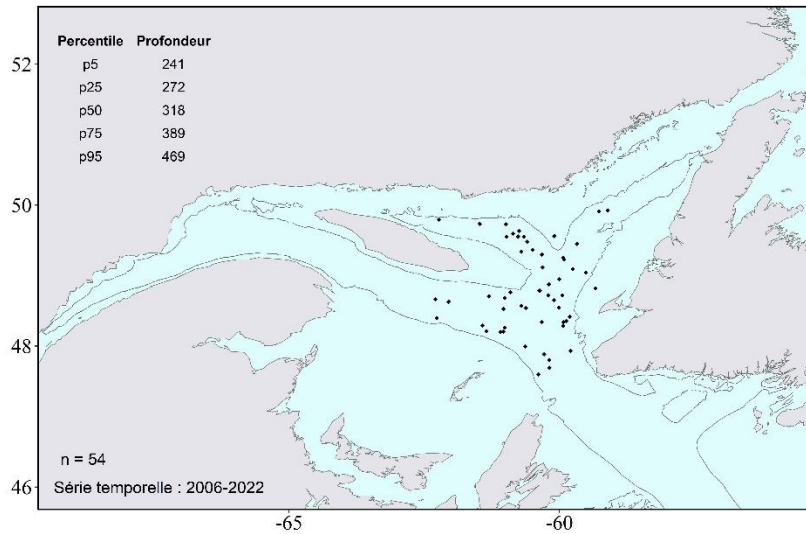


Similipecten greenlandicus (G. B. Sowerby II, 1842)

AphiaID: 181299, STRAP: 4191, RVAN: 7788

Écologie

- Substrat : sable, vase.
- Abondante dans les chenaux, mais rare dans les captures, car trop petite pour les mailles du chalut.

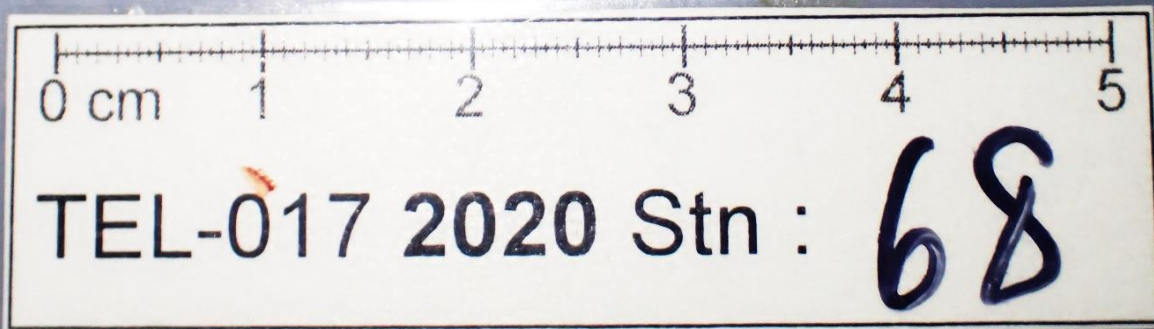
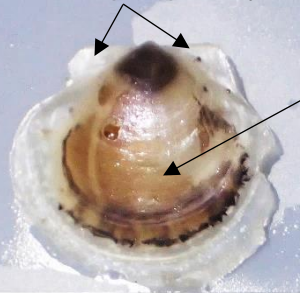


Identification

De petites tailles; jusqu'à 3 cm

« Oreilles » à peu près symétriques

Coquille translucide, blanchâtre-argentée

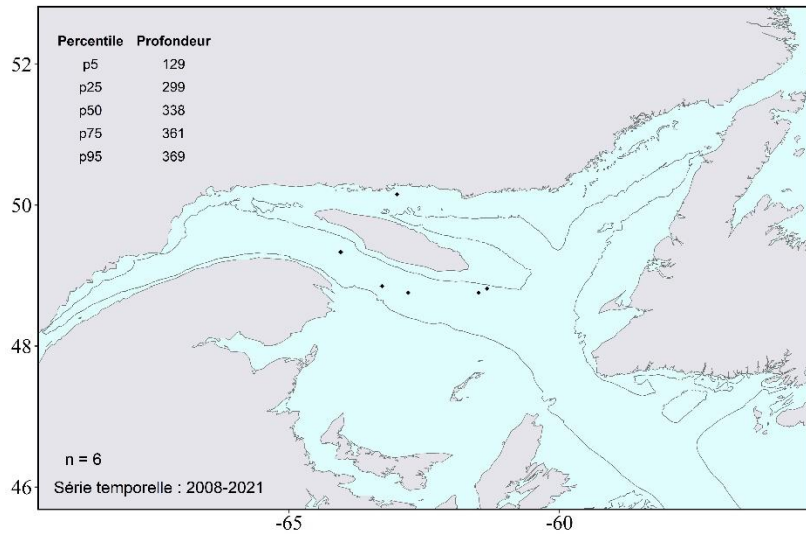




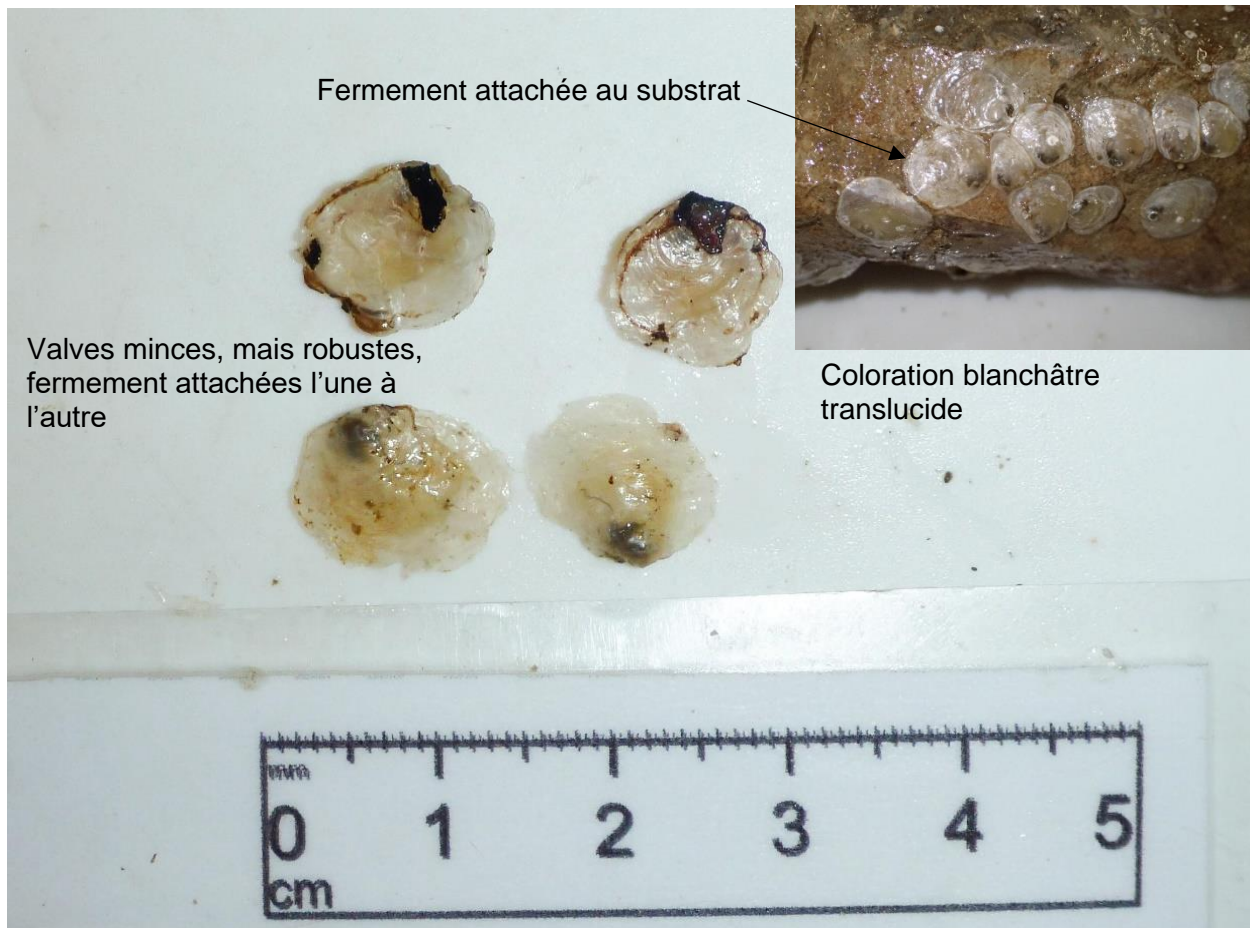
Anomiidae (Rafinesque, 1815)
AphiaID: 214, STRAP: 4218, RVAN: 4328

Écologie

- Substrat : roche ou autres substrats durs.



Identification

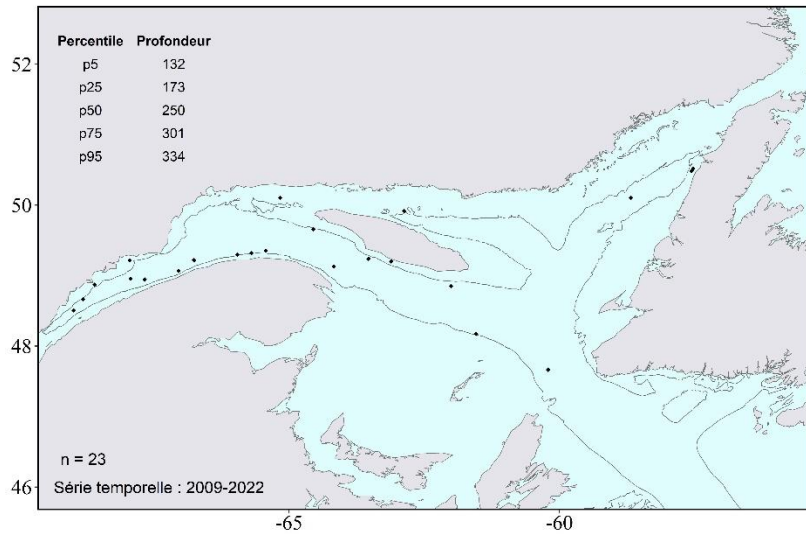




Xylonora atlantica (H. G. Richards, 1942)
 AphialD: 1472292, STRAP: 4451, RVAN: 7792

Écologie

- Substrat : débris de bois.
- Colonise les débris de bois submergés pour s'alimenter.
- Ne forme pas de tubes calcaires, contrairement à plusieurs autres espèces de bivalves qui s'alimentent de la même façon.



Identification

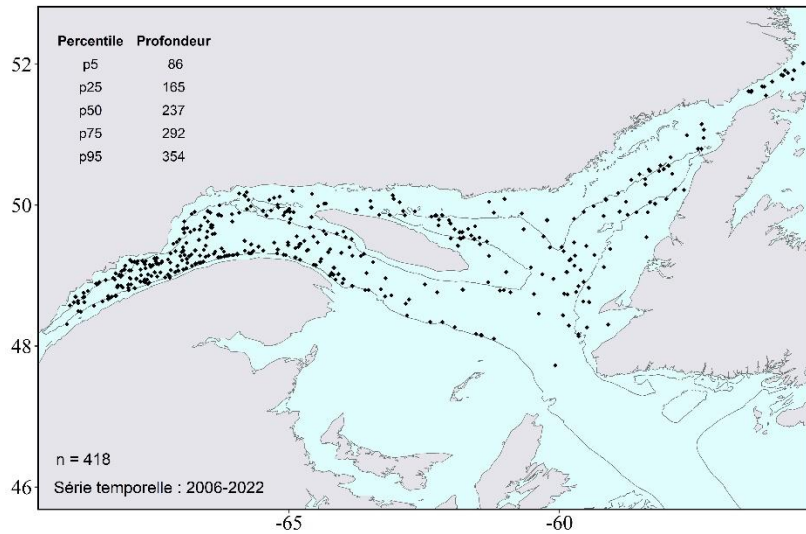




***Astarte* sp.** (J. Sowerby, 1816)
 AphiaID: 137683, STRAP: 4227, RVAN: 4316

Écologie

- Substrat : sable vaseux avec du gravier.
- Extrêmement abondants en milieu côtier, mais plus rare dans le relevé.
- Vivent enfouis dans le sédiment.



Identification

Coquille de forme ovale, légèrement triangulaire

Umbo centré (au niveau de la ligne médiane)

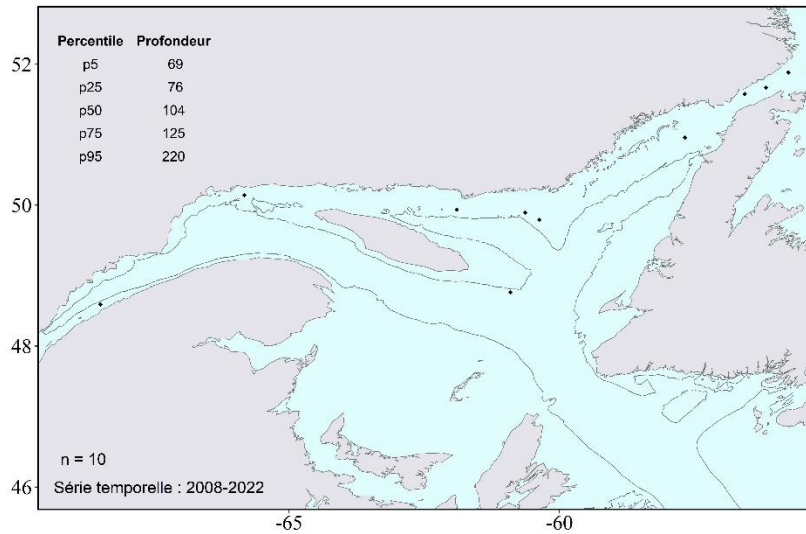




Astarte borealis (Schumacher, 1817)
 AphiaID: 138818, STRAP: 4231, RVAN: 7789

Écologie

- Substrat : sable vaseux avec du gravier.



Identification

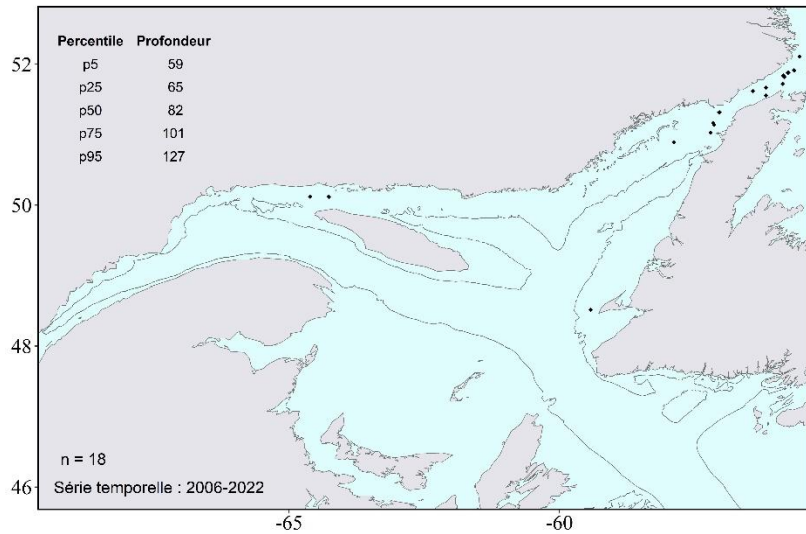




Cyclocardia borealis (Conrad, 1832)
AphiaID: 156832, STRAP: 4268, RVAN: 4344

Écologie

- Substrat : sable, vase.



Identification



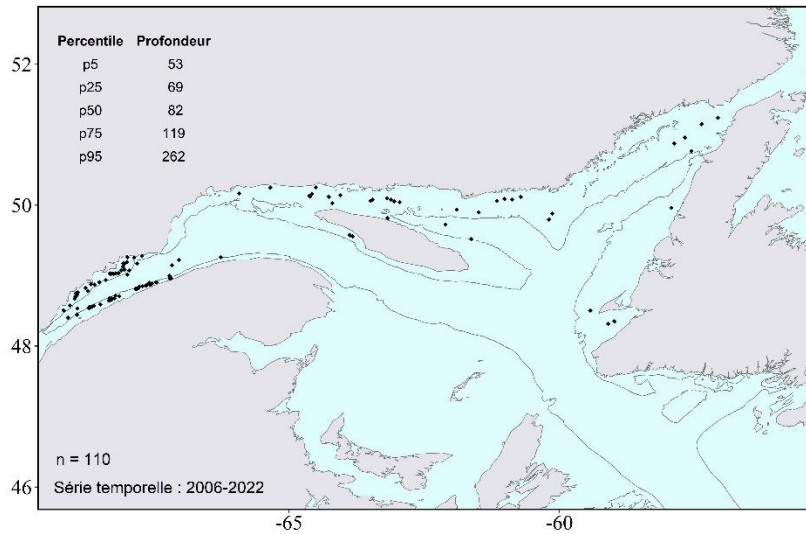


Ciliatocardium ciliatum ciliatum (O. Fabricius, 1780)

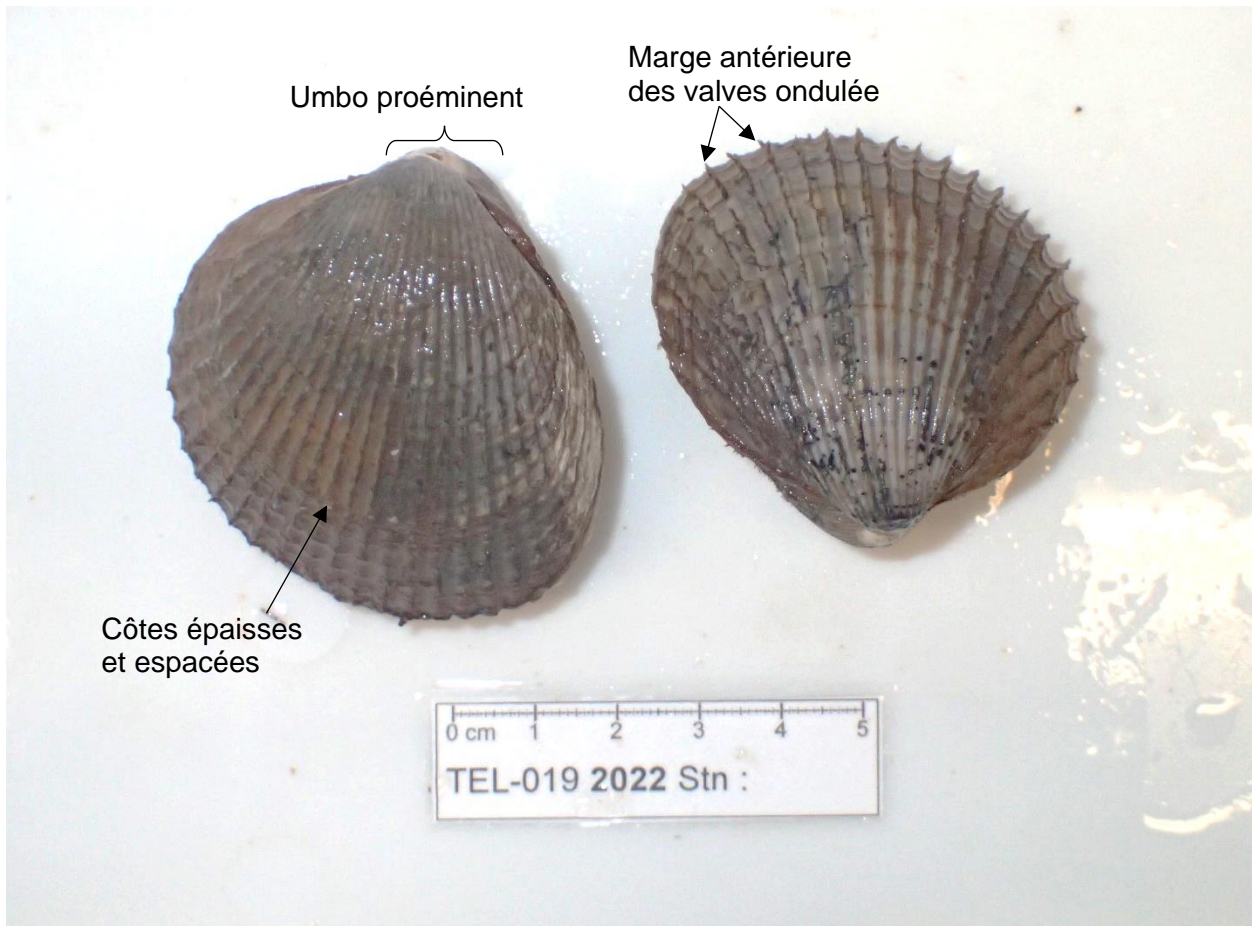
AphiaID: 381904, STRAP: 4351, RVAN: 4342

Écologie

- Substrat : sable ou roche.
- Vit légèrement enfouie dans le sédiment.



Identification

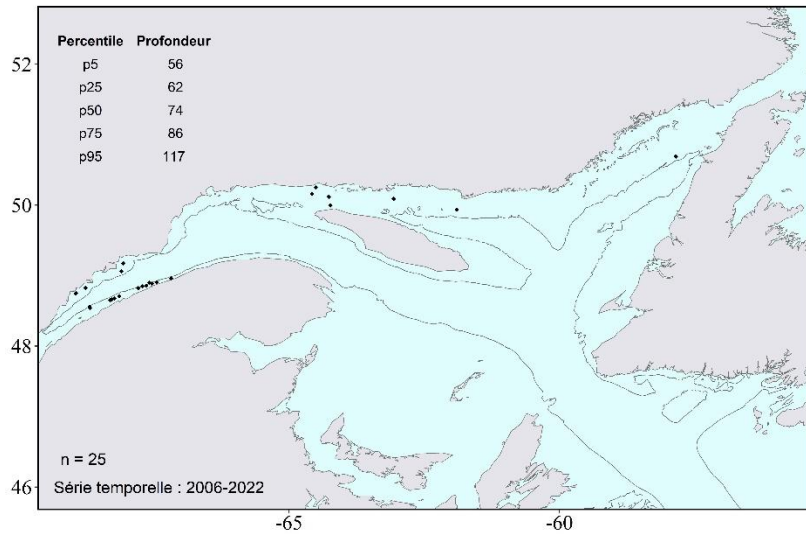




Serripes groenlandicus (Mohr, 1786)
 AphiaID: 582749, STRAP: 4352, RVAN: 4343

Écologie

- Substrat : sable, vase.
- Vit partiellement ou entièrement enfouie dans le sédiment.



Identification

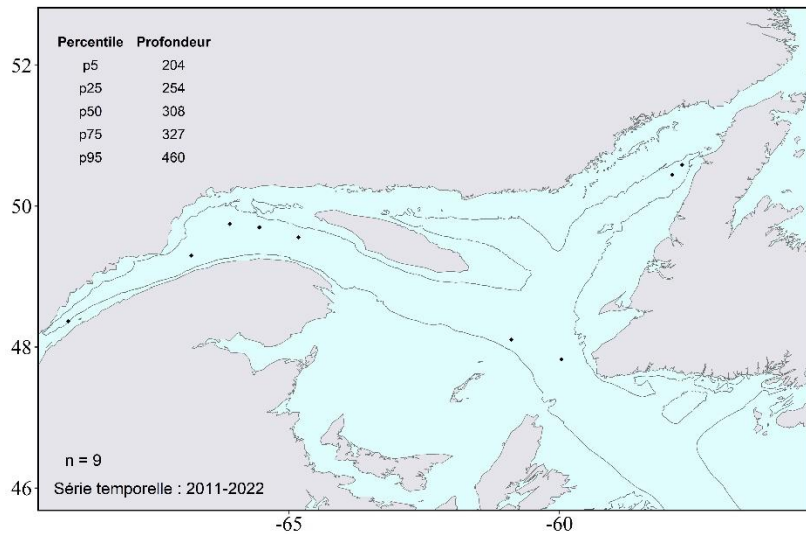




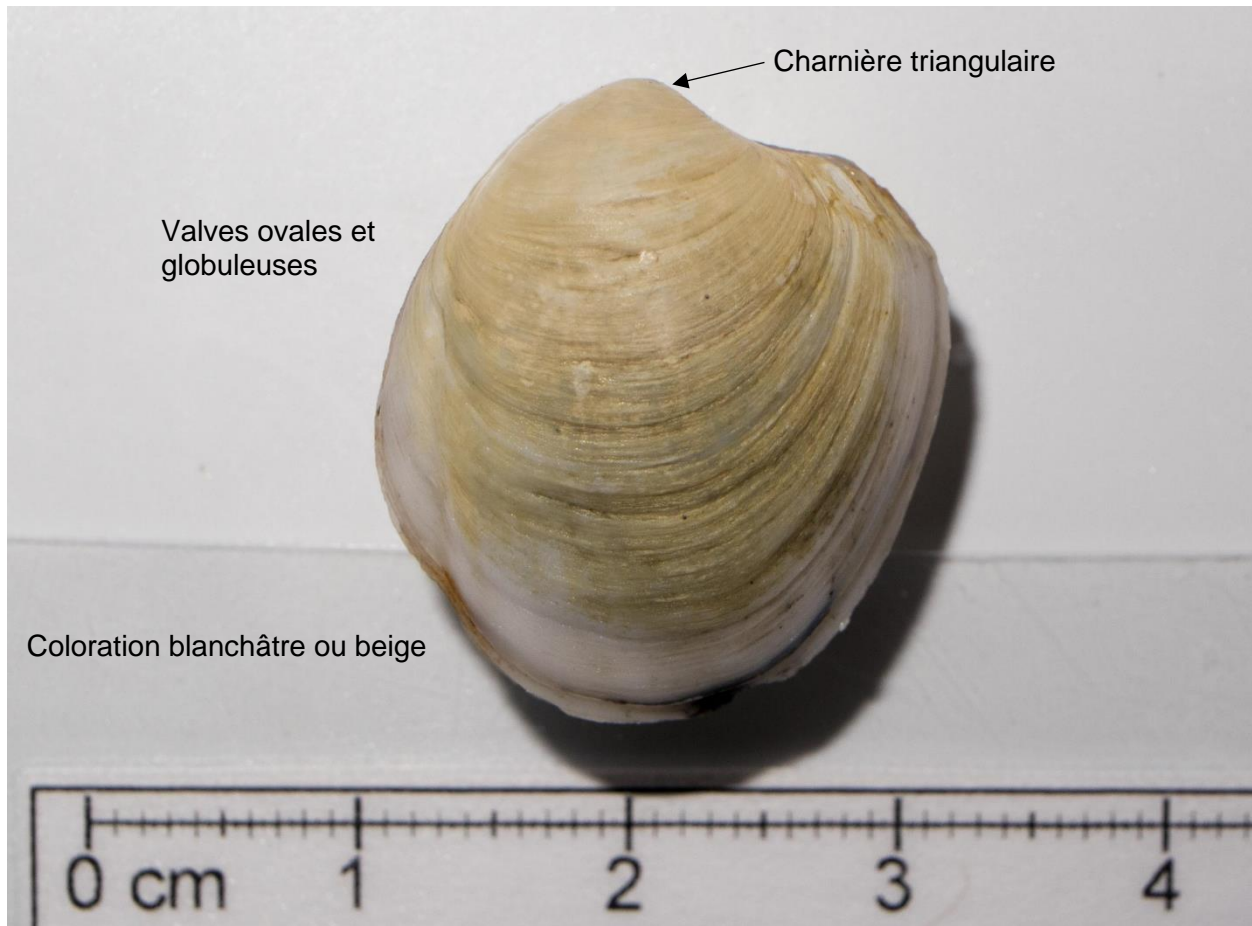
Thyasira sp. (Lamarck, 1818)
AphiaID: 138552, STRAP: 4301, RVAN: 4302

Écologie

- Substrat : sable, vase.
- Retrouvées près des événements de gaz; probablement méthanogénique.
- Bioturbatrices.



Identification

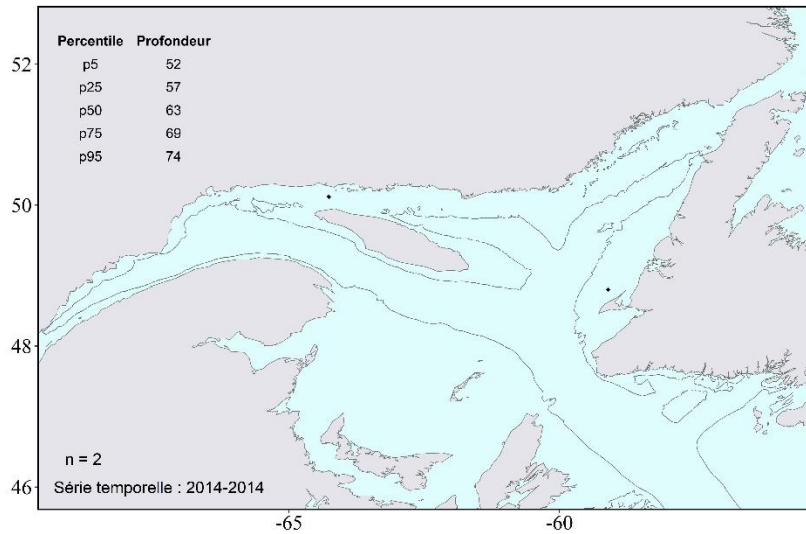




Mya truncata (Linnaeus, 1758)
 AphiaID: 140431, STRAP: 4428, RVAN: 4309

Écologie

- Substrat : sable, vase.
- Vit enfouie dans le sédiment.

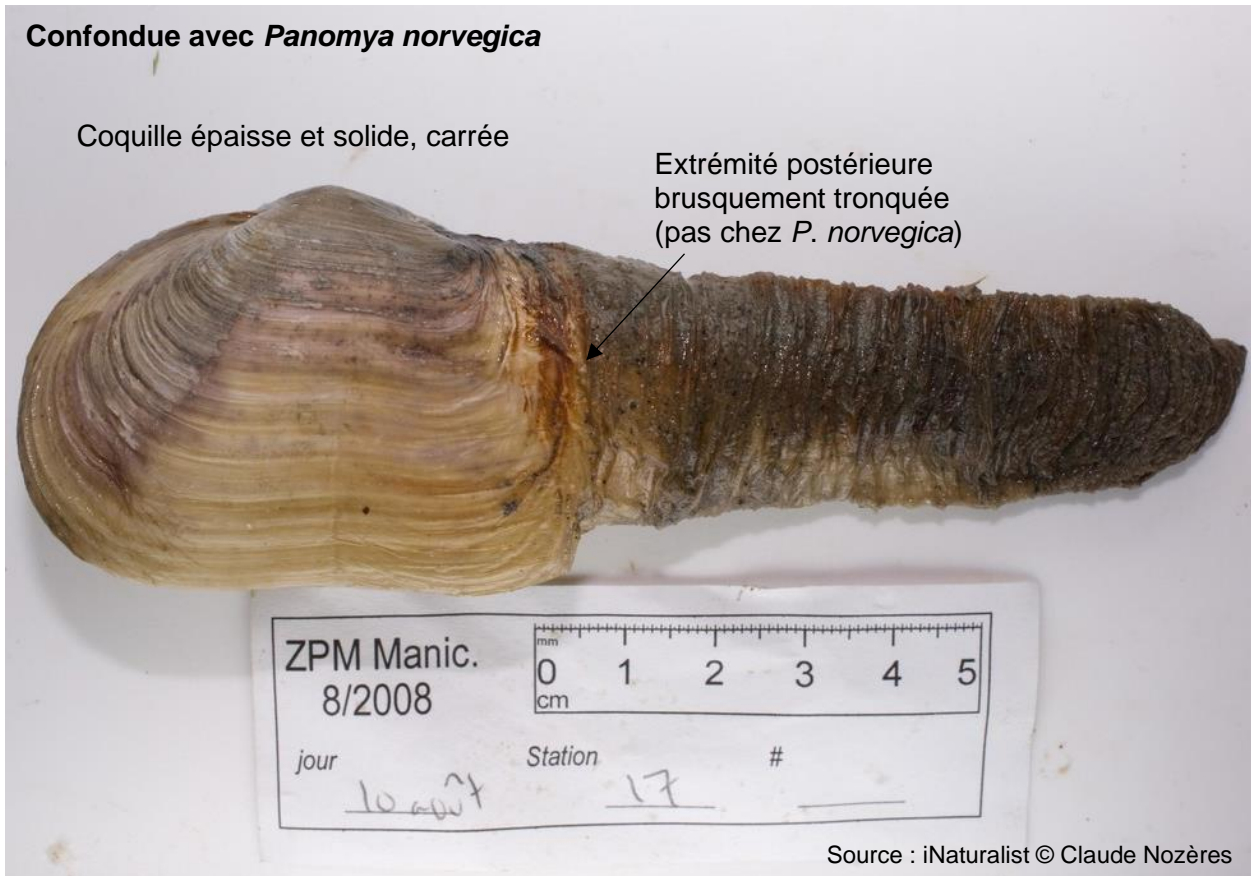


Identification

Confondue avec *Panomya norvegica*

Coquille épaisse et solide, carrée

Extrémité postérieure brusquement tronquée (pas chez *P. norvegica*)

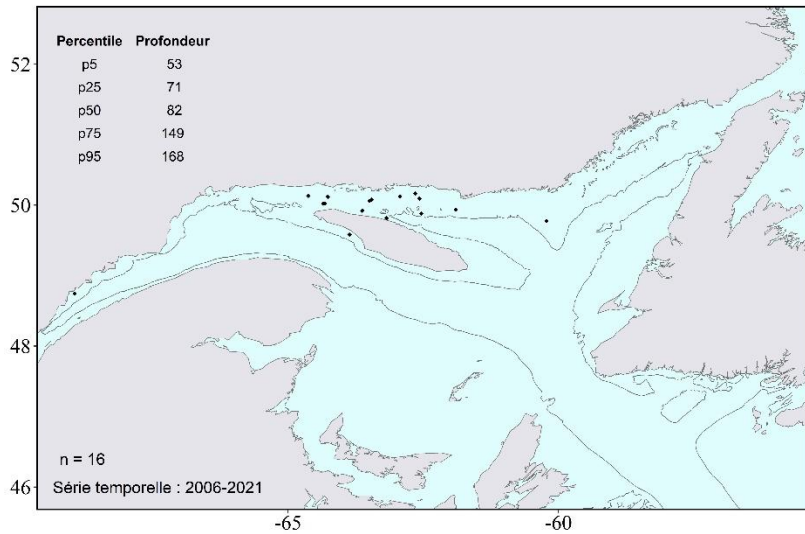




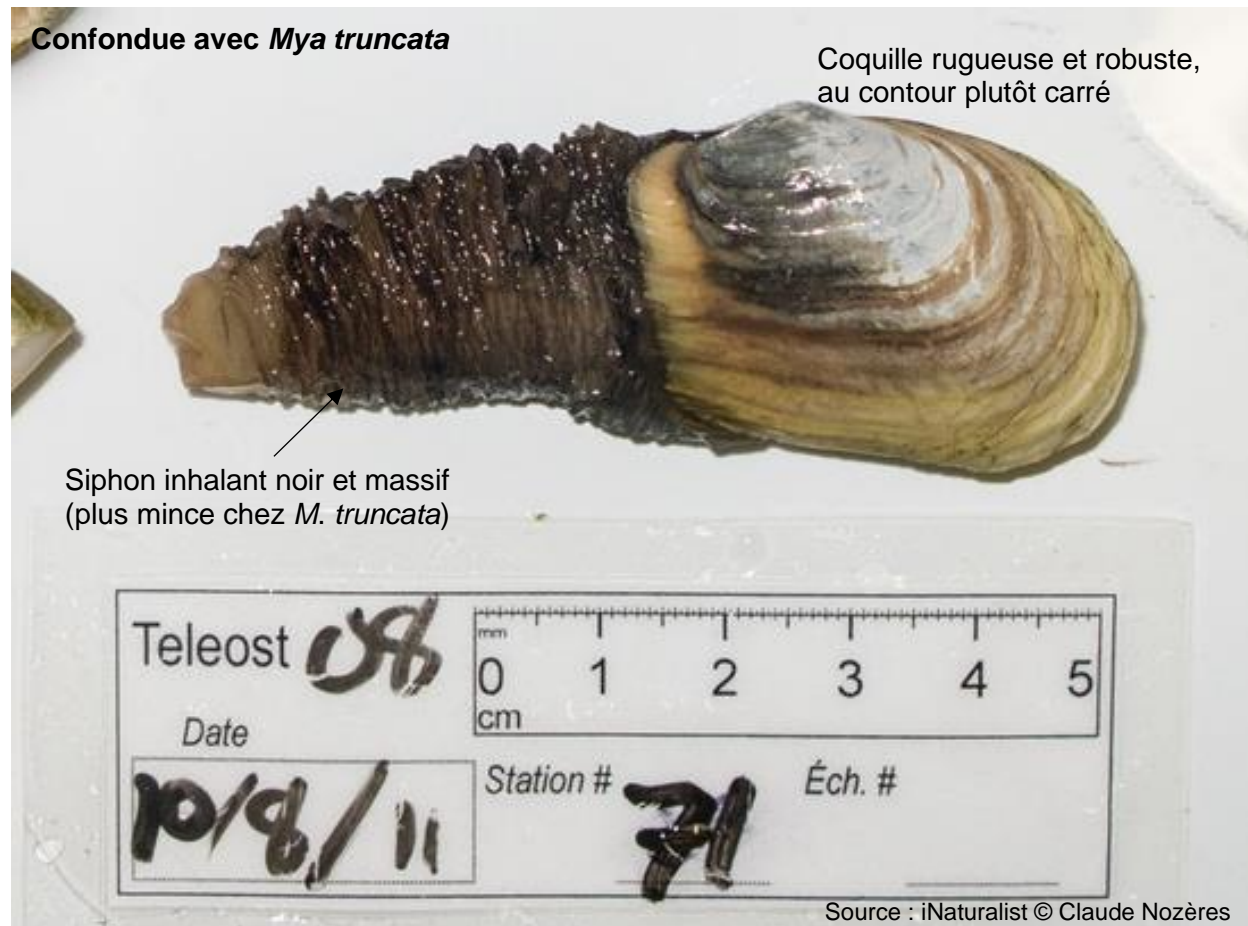
Panomya norvegica (Spengler, 1793)
 AphiaID: 140105, STRAP: 4438, RVAN: 7791

Écologie

- Substrat : vase.
- Vit enfouie dans le sédiment.



Identification

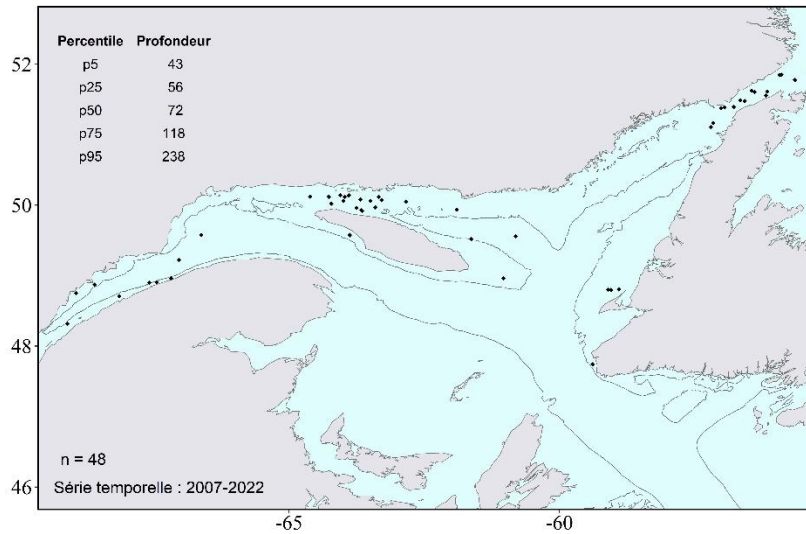




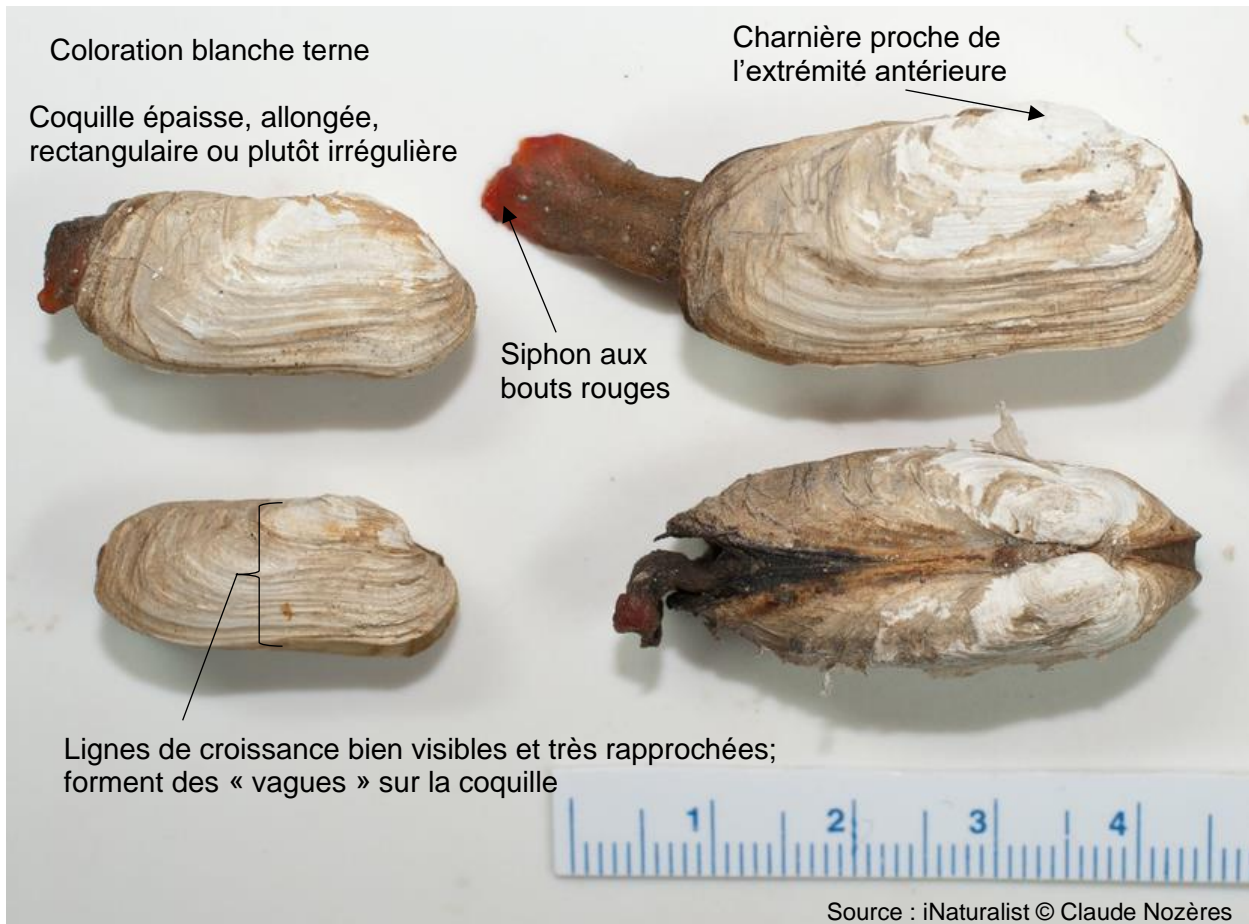
***Hiatella arctica* (Linnaeus, 1767)**
 AphiaID: 140103, STRAP: 4437, RVAN: 4319

Écologie

- Substrat : sable, vase.
- Vit souvent enfouie dans le sédiment.
- Longévité de plus de 100 ans.



Identification

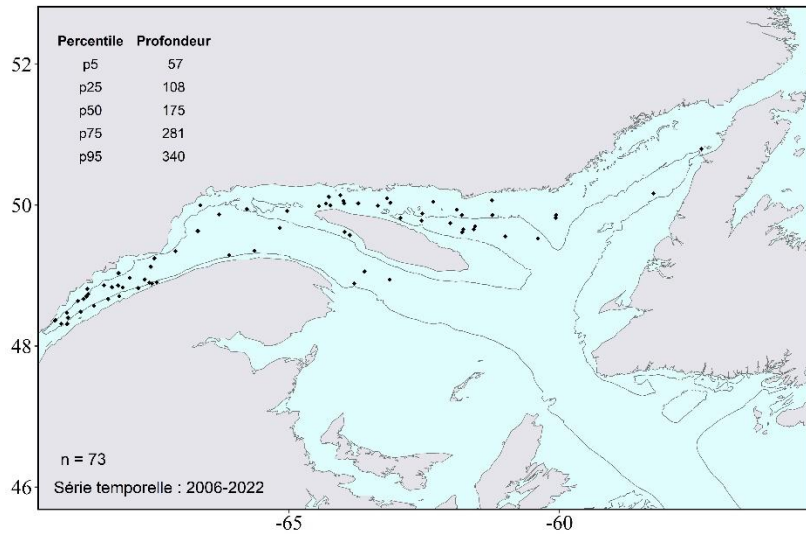




Macoma calcarea (Gmelin, 1791)
 AphiaID: 141580, STRAP: 4395, RVAN: 7790

Écologie

- Substrat : sable, vase.



Identification

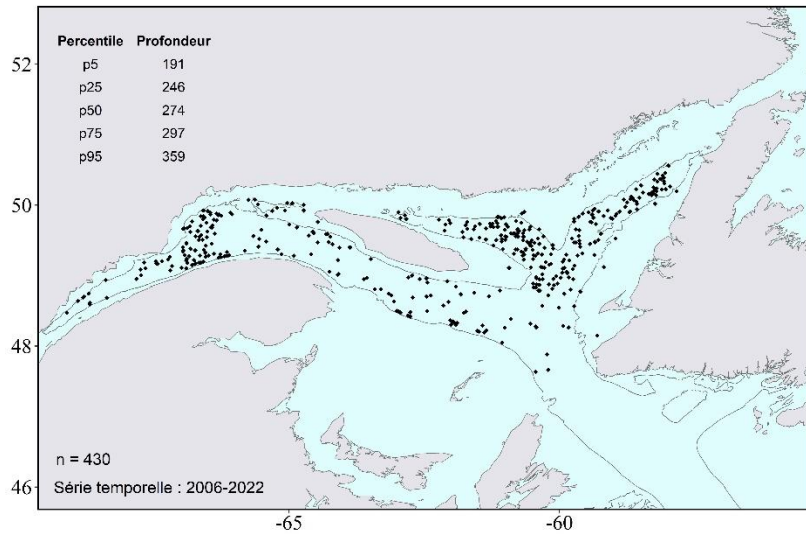




Cuspidaria glacialis (G. O. Sars, 1878)
 AphiaID: 139445, STRAP: 4526, RVAN: 4306

Écologie

- Substrat : vase.
- Vit enfouie dans le sédiment.



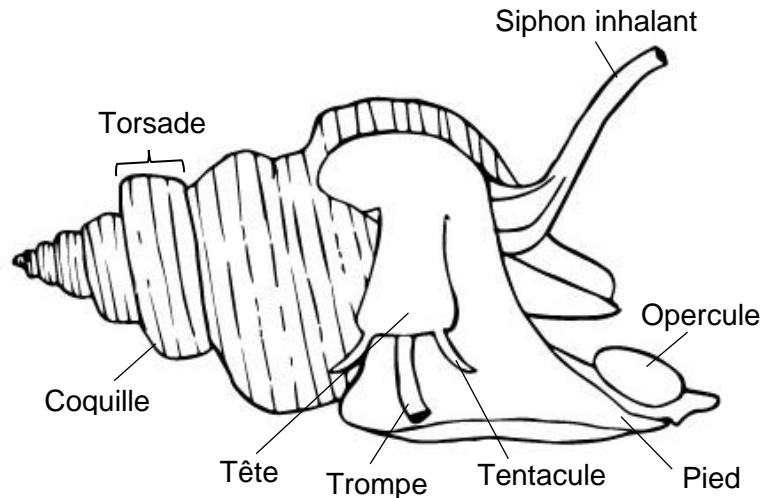
Identification



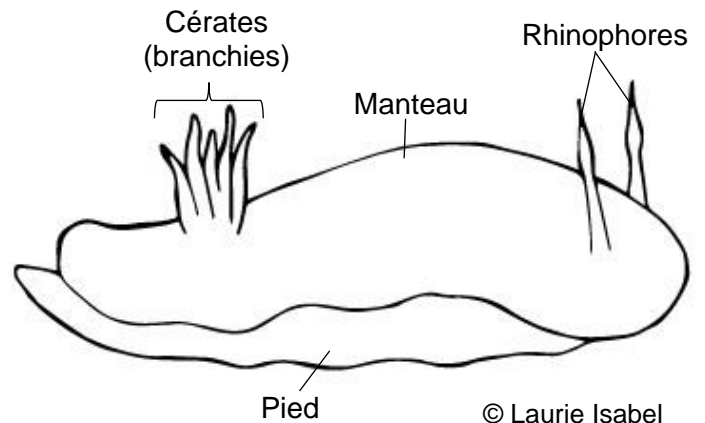
Phylum Mollusca

Classe **Gastropoda** (Cuvier, 1795) AphiaID: 101, STRAP: 3175, RVAN: 4200

Les gastéropodes sont un groupe de mollusques très diversifié au niveau de leur morphologie, de leur habitat et de leur taxonomie. La grande majorité des gastéropodes vivant en milieu marin sont benthiques, mais certains sont planctoniques. La plupart des gastéropodes possèdent une **coquille**, généralement constituée de plusieurs **torsades**, protégeant le corps de l'organisme. Ils peuvent se rétracter complètement à l'intérieur de leur coquille. Les gastéropodes possèdent un **opercule** pour obstruer l'ouverture de leur coquille et se protéger efficacement contre les prédateurs. Ils se déplacent grâce à un **pied** charnu qui couvre presque toute la face ventrale de l'organisme. Leur corps est recouvert par le manteau, fait de tissus mous, qui est fabriqué par la coquille. Sur la portion antérieure, le manteau se prolonge en **siphon**. Ce dernier sert à des fonctions sensorielles, à l'échange de gaz par les branchies et à l'évacuation des déchets. La **tête** des gastéropodes porte généralement des **tentacules** sensorielles, des yeux et une **trompe**. La bouche est située au bout d'une trompe.



Redessiné à partir de Sohl (1979)



© Laurie Isabel

Les nudibranches sont des gastéropodes ayant perdu leur coquille au fil de l'évolution. La tête des nudibranches porte une paire de structures chimio-sensorielles appelés

rhinophores. Chez les nudibranches, les échanges gazeux se produisent sur toute la surface du corps, le **manteau**, ainsi que par les **branchies**. Chez certaines espèces de nudibranches, les branchies forment une structure en forme de plume autour de l'anus. Chez d'autres espèces, des structures dorsales, appelées **cérates**, servent de branchies en diffusant l'oxygène de l'eau environnante. Les nudibranches se déplacent en glissant à l'aide de leur **pied**.

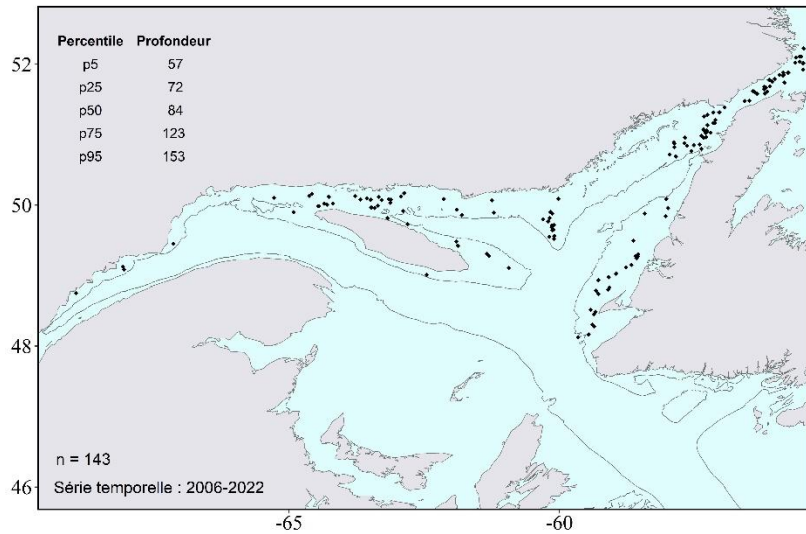
Une trentaine d'espèces de gastéropodes sont capturées dans le relevé NGSL. Parmi celles-ci, cinq sont des nudibranches. Ces espèces sont plutôt côtières, à l'exception d'*Heterodoris robusta* qui peut être retrouvé à des profondeurs allant jusqu'à 400 m. Six espèces de gastéropodes sont enregistrées au genre. Deux d'entre elles appartiennent au genre *Solariella*, soit *S. varicosa* ou *S. obscura*, et les quatre autres appartiennent au genre *Buccinum*, soit *B. undatum*, *B. scalariforme*, *B. cyaneum* et *B. terranova*.



Margarites costalis (A. Gould, 1841)
 AphiaID: 141819, STRAP: 3219, RVAN: 4224

Écologie

- Substrat : roche.



Identification

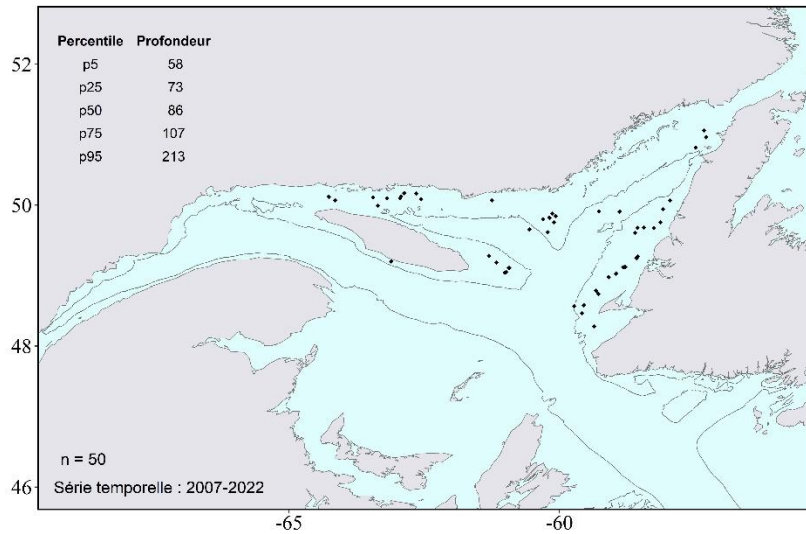




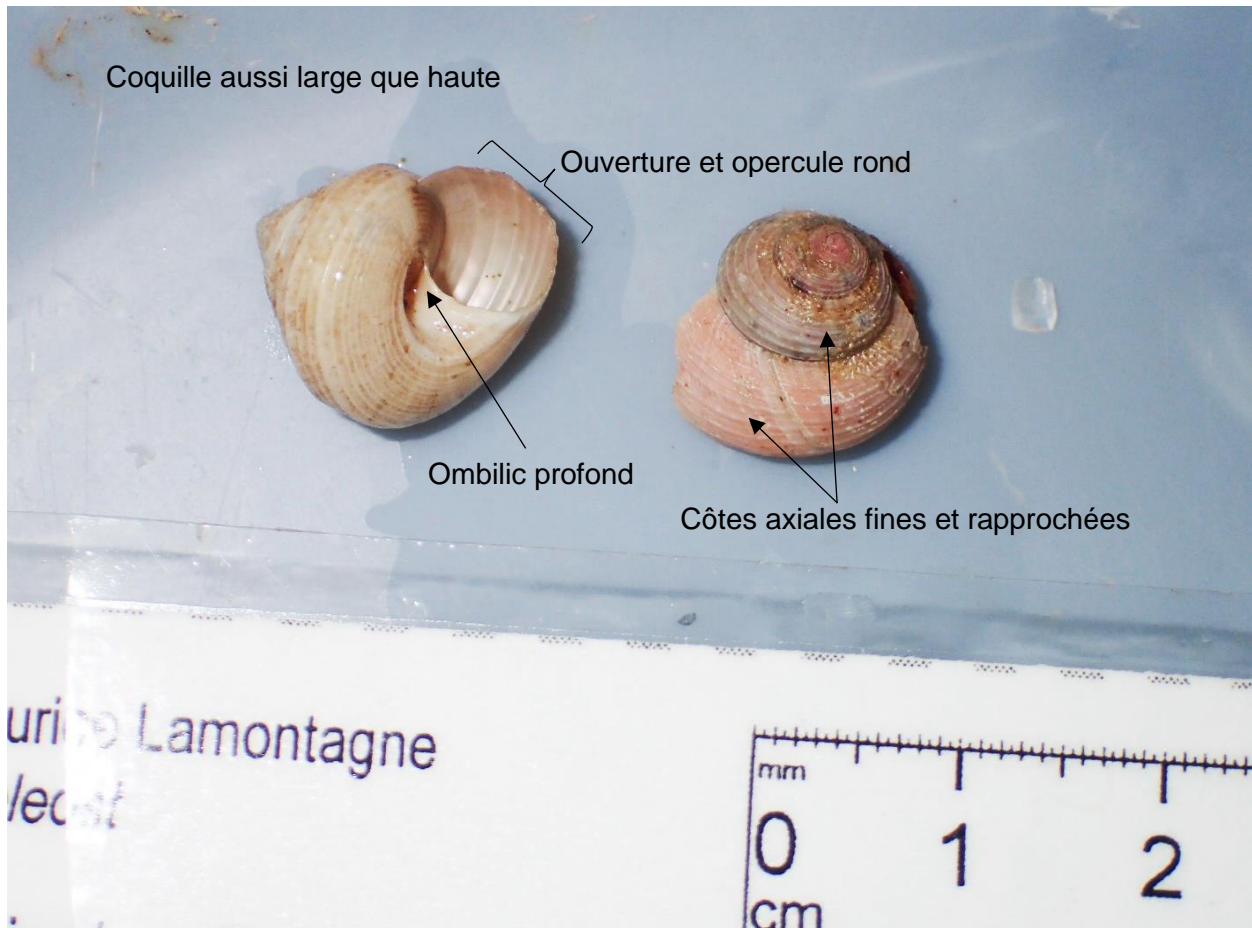
Margarites groenlandicus (Gmelin, 1791)
AphiaID: 141820, STRAP: 3216, RVAN: 4225

Écologie

- Substrat : roche



Identification

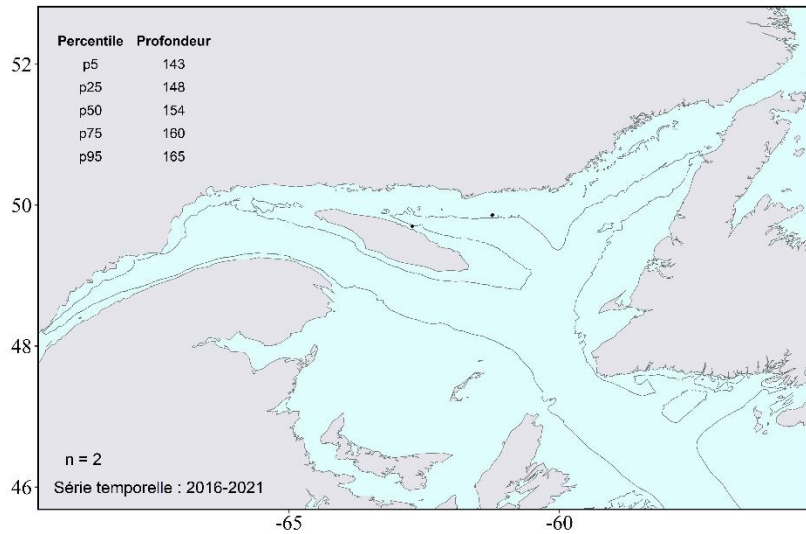




***Solariella* sp.** (S. V. Wood, 1842)
 AphiaID: 138597, STRAP: 3225, RVAN: 7766

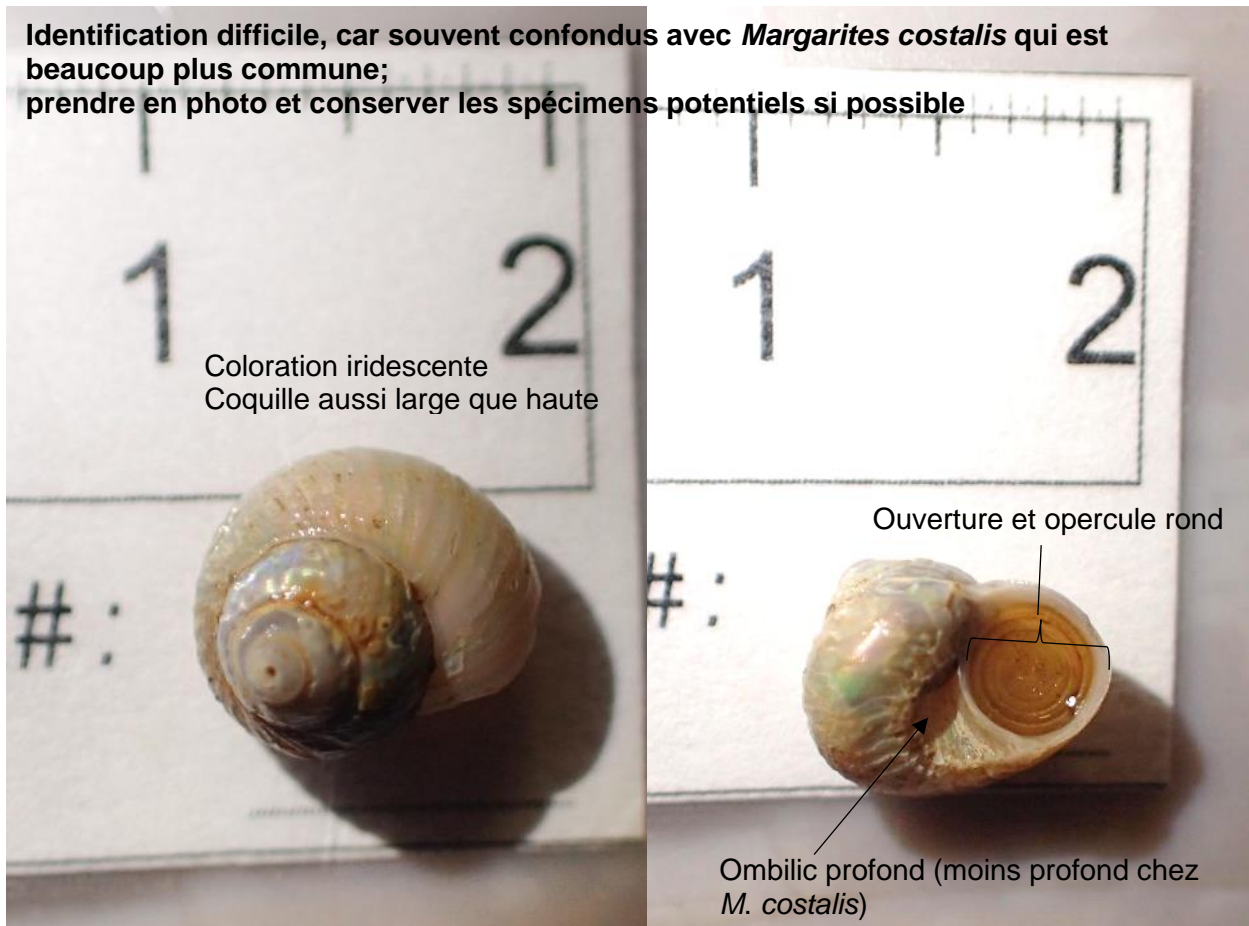
Écologie

- Substrat : ND.



Identification

Identification difficile, car souvent confondus avec *Margarites costalis* qui est beaucoup plus commune;
 prendre en photo et conserver les spécimens potentiels si possible



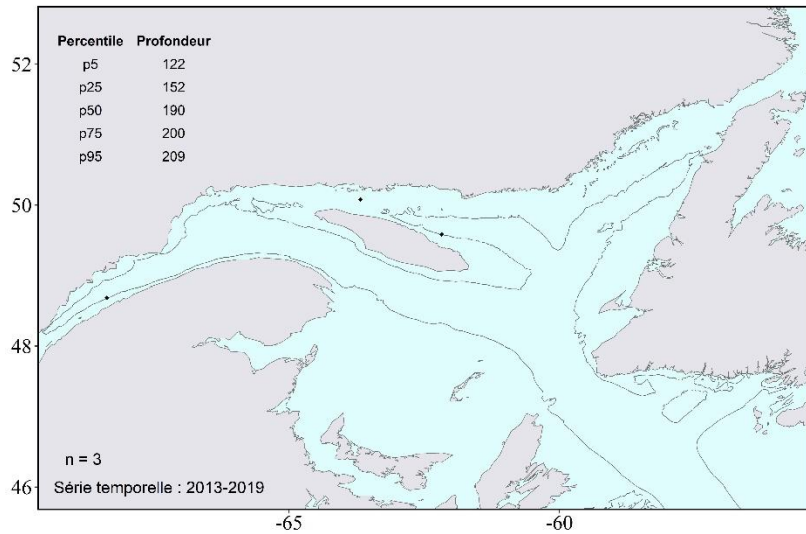


Ariadnaria borealis (Broderip & G. B. Sowerby I, 1829)

AphiaID: 714762, STRAP: 3305, RVAN: 7768

Écologie

- Substrat : ND.



Identification

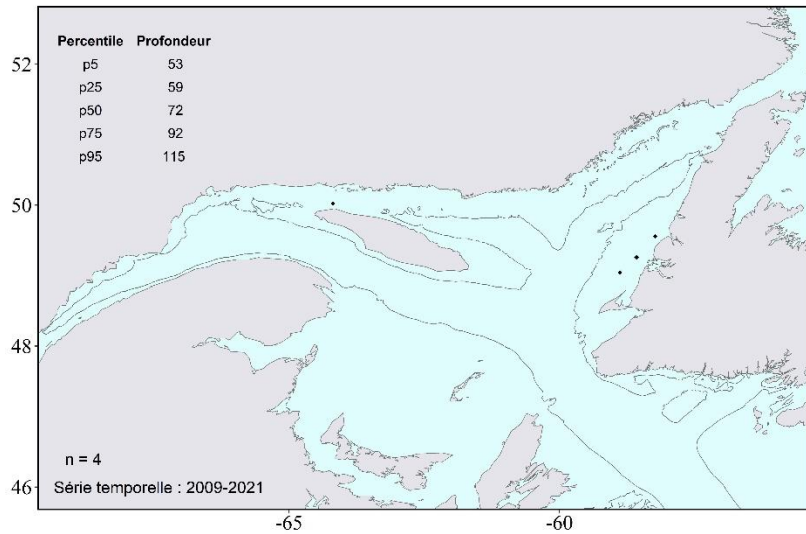




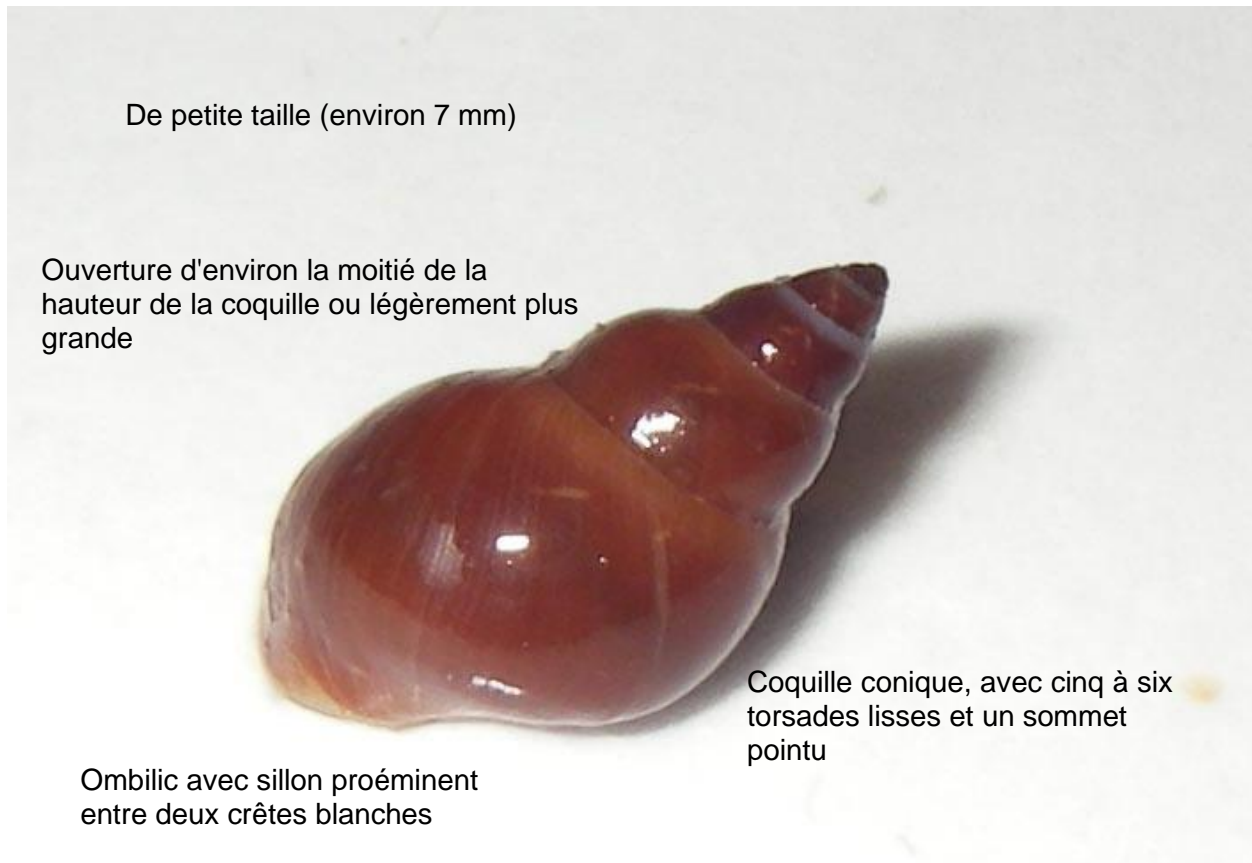
Lacuna vincta (Montagu, 1803)
AphiaID: 140170, STRAP: 3255, RVAN: 7767

Écologie

- Substrat : algue.
- Se nourrit des algues sur lesquelles elle vit.



Identification



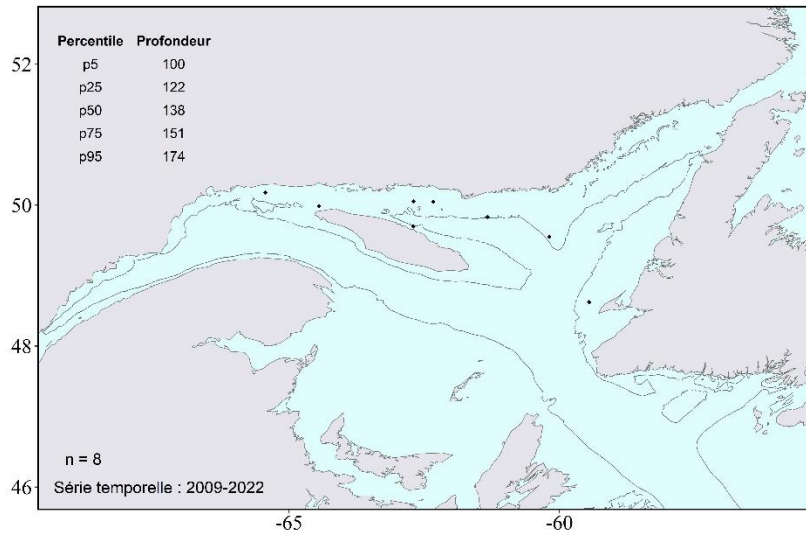


***Tachyrhynchus erosus* (Couthouy, 1838)**

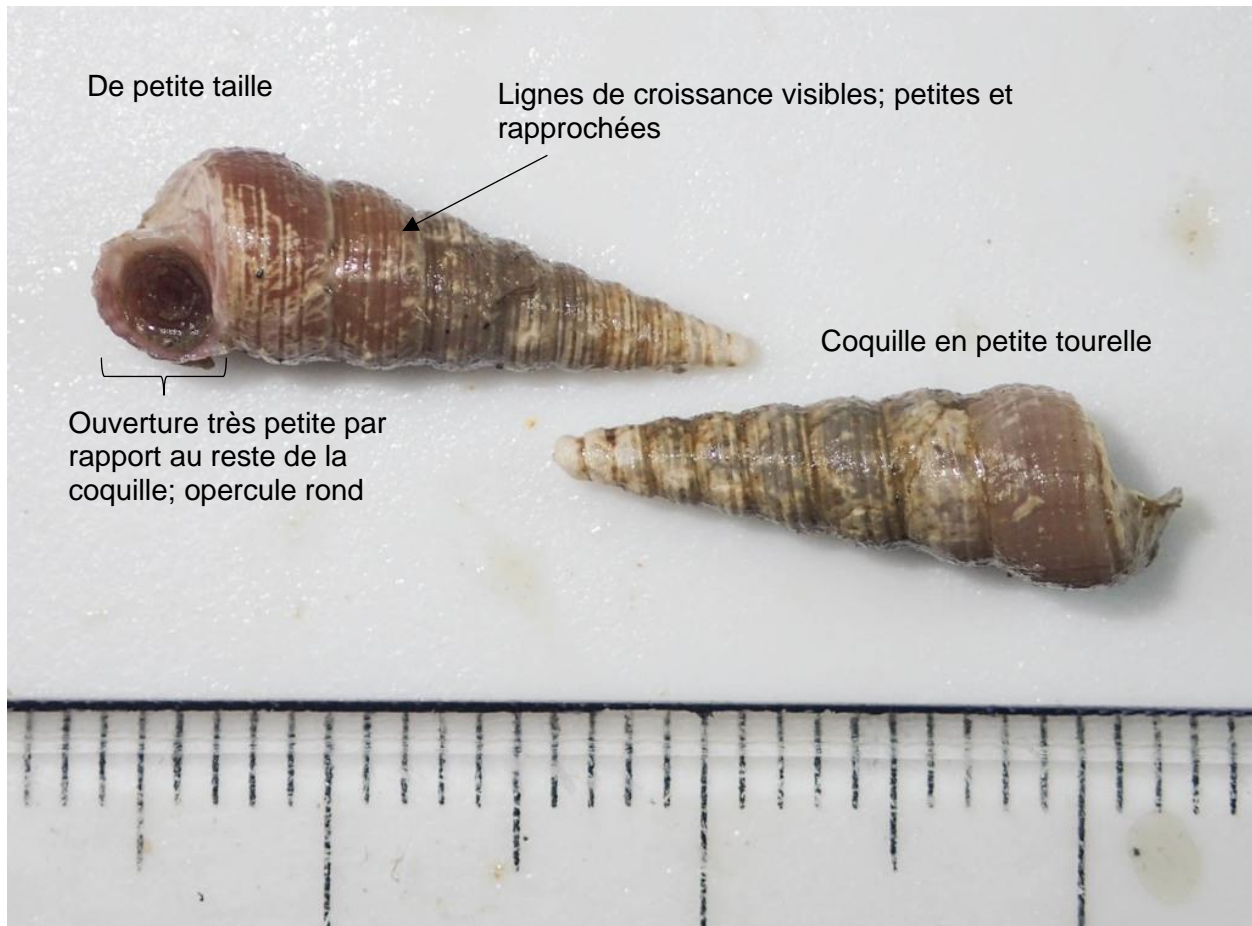
AphiaID: 196391, STRAP: 3310, RVAN: 7769

Écologie

- Substrat : ND.



Identification

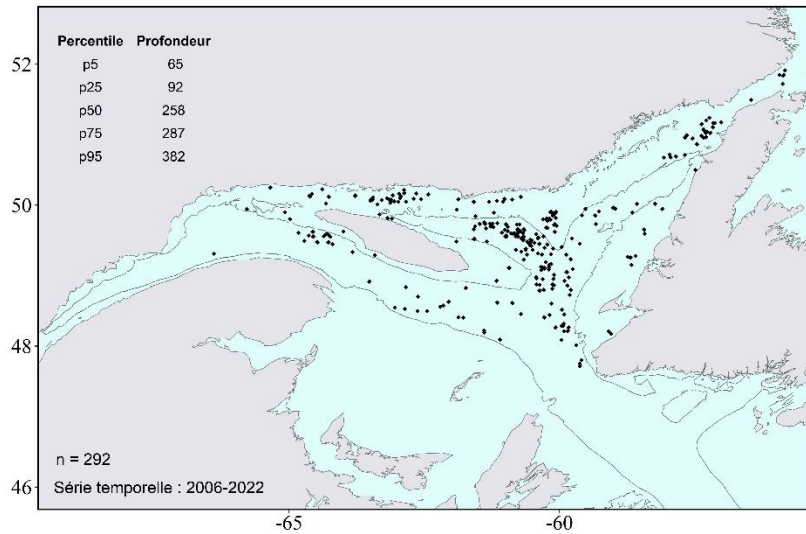




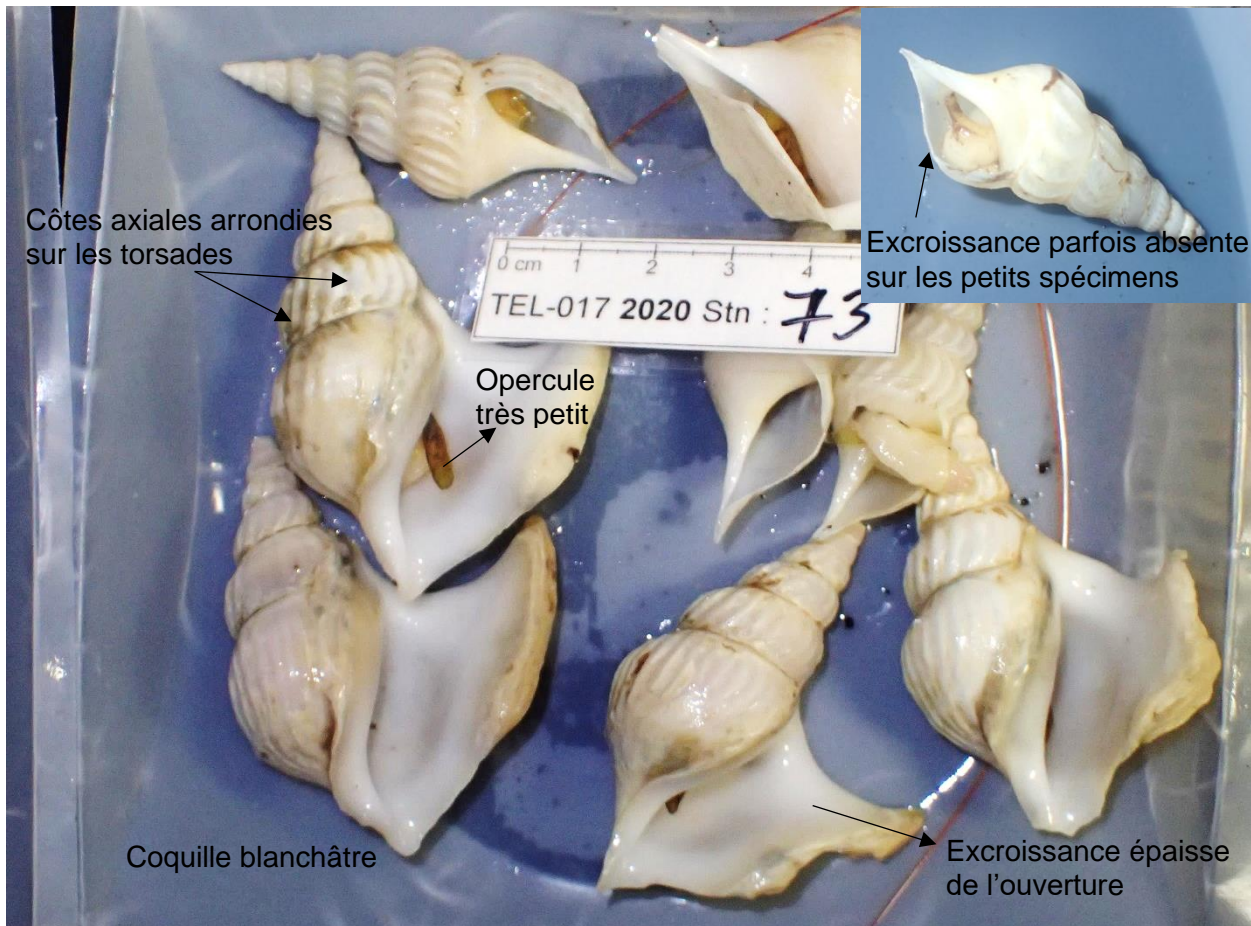
Arrhoges occidentalis (H. Beck, 1836)
 AphiaID: 531617, STRAP: 3418, RVAN: 7720

Écologie

- Substrat : sable, vase.



Identification

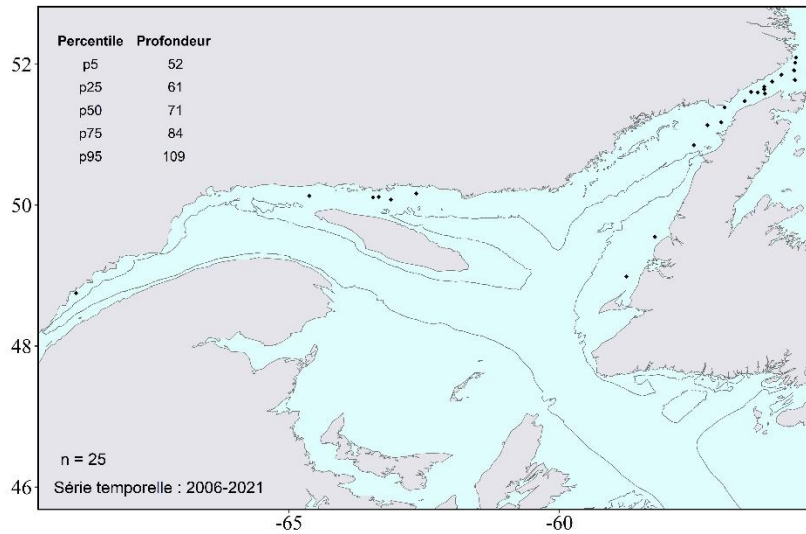




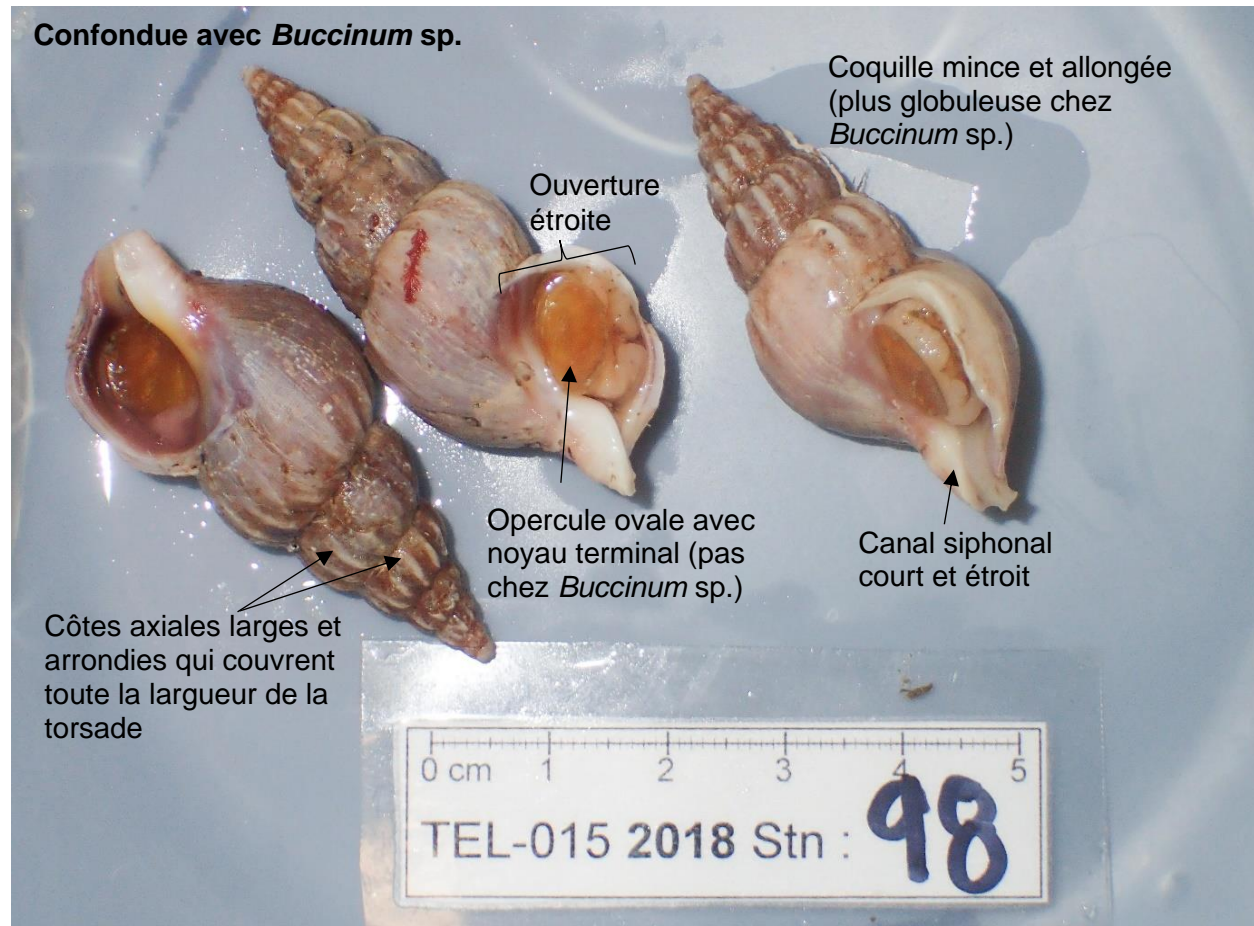
Plicifusus kroyeri (Møller, 1842)
 AphiaID: 491269, STRAP: 3578, RVAN: 7742

Écologie

- Substrat : roche.



Identification

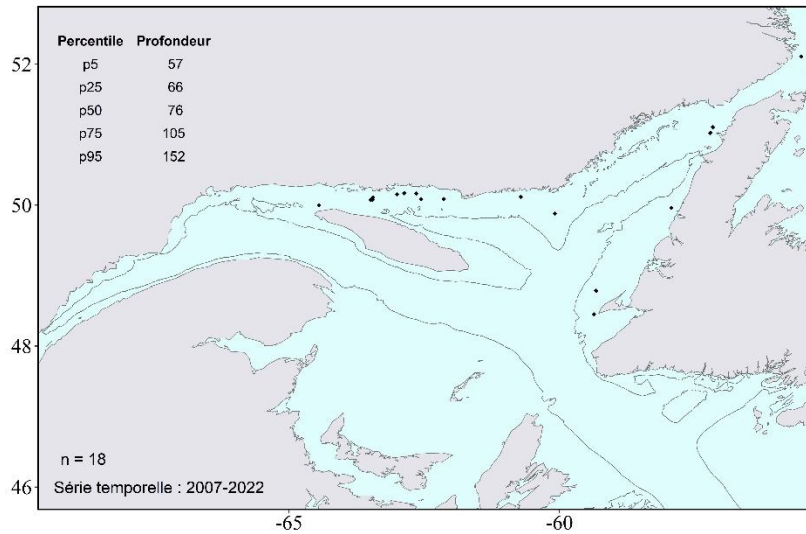




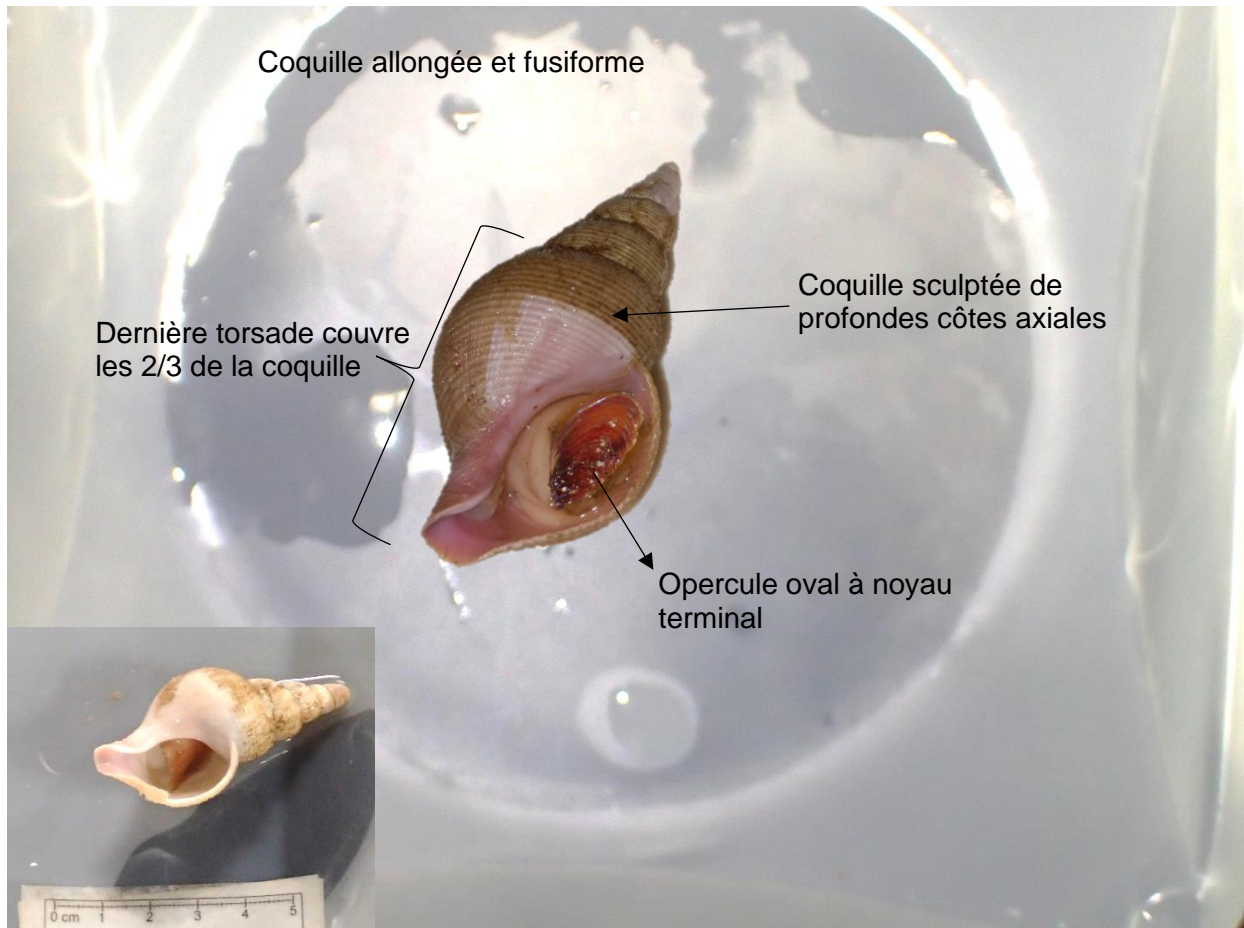
Aulacofusus brevicauda (Deshayes, 1832)
AphiaID: 490735, STRAP: 3583, RVAN: 7779

Écologie

- Substrat : ND.



Identification

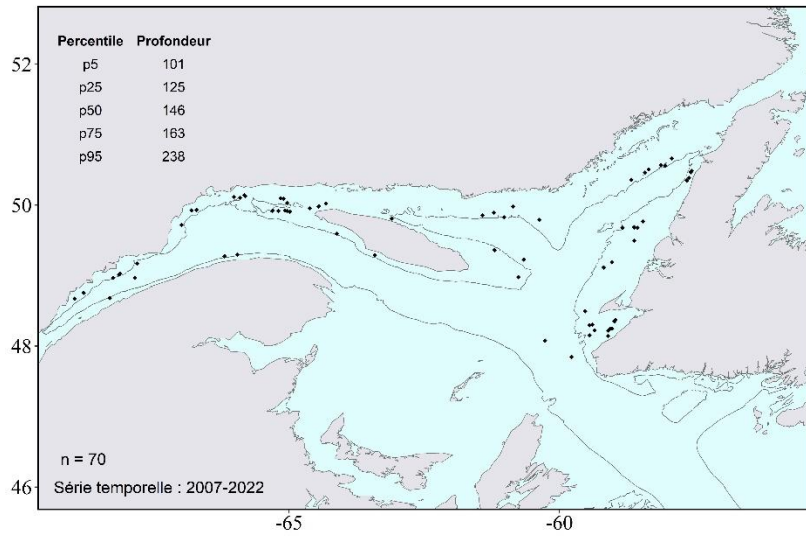




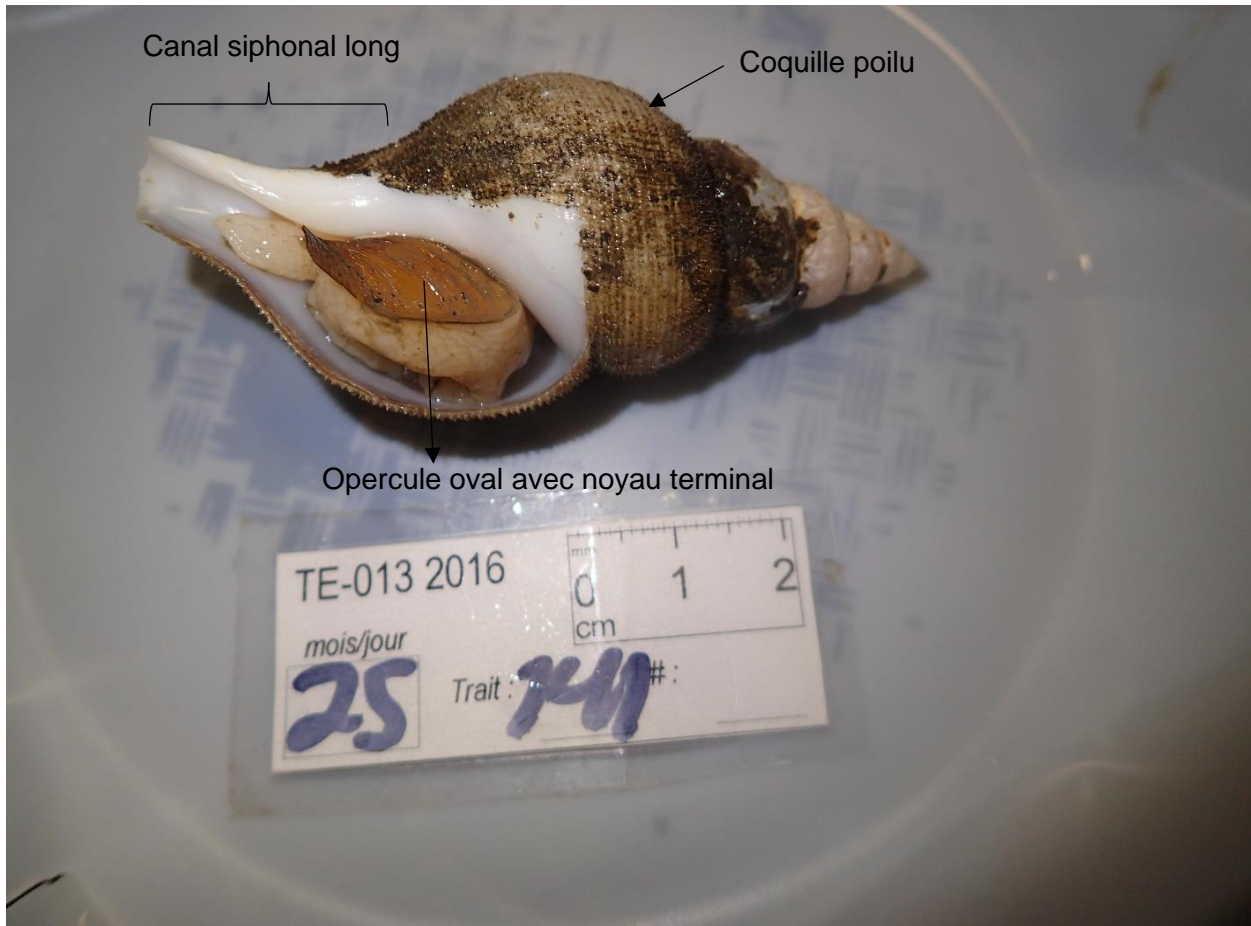
Colus pubescens (A. E. Verrill, 1882)
AphiaID: 160212, STRAP: 3577, RVAN: 7741

Écologie

- Substrat : sable, vase.



Identification

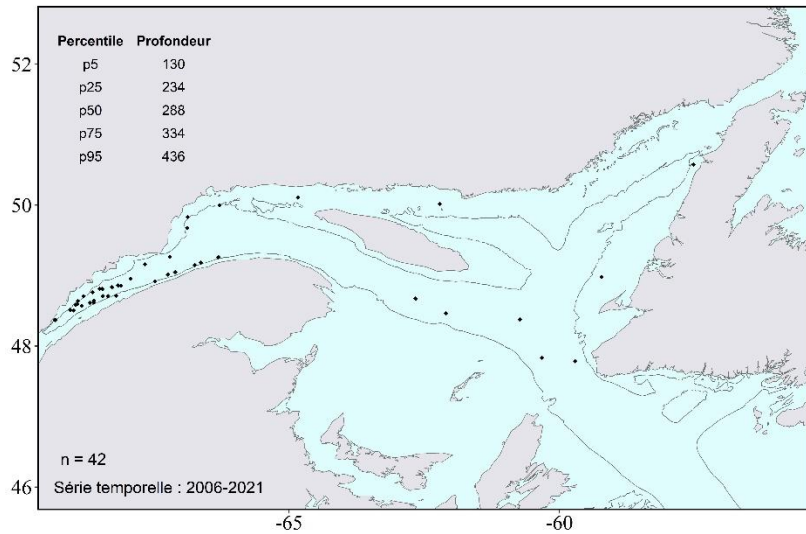




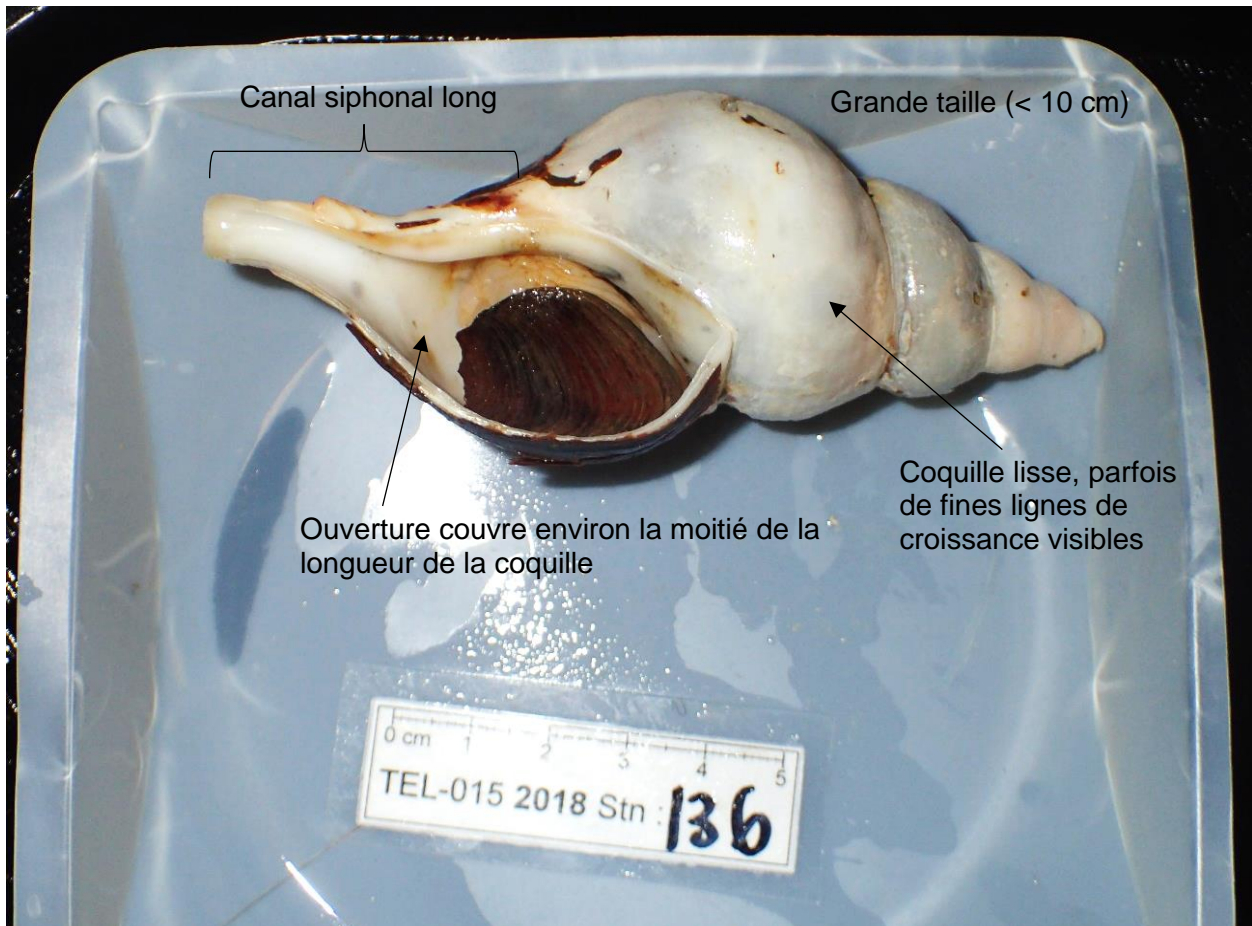
Colus stimpsoni (Mörch, 1868)
AphiaID: 160215, STRAP: 3576, RVAN: 7778

Écologie

- Substrat : sable, vase.



Identification

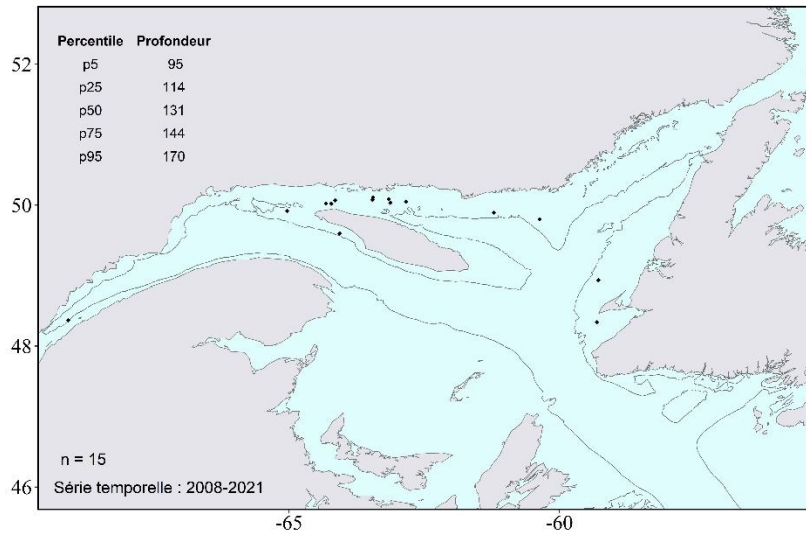




Beringius turtoni (W. Bean, 1834)
 AphiaID: 138855, STRAP: 3519, RVAN: 7774

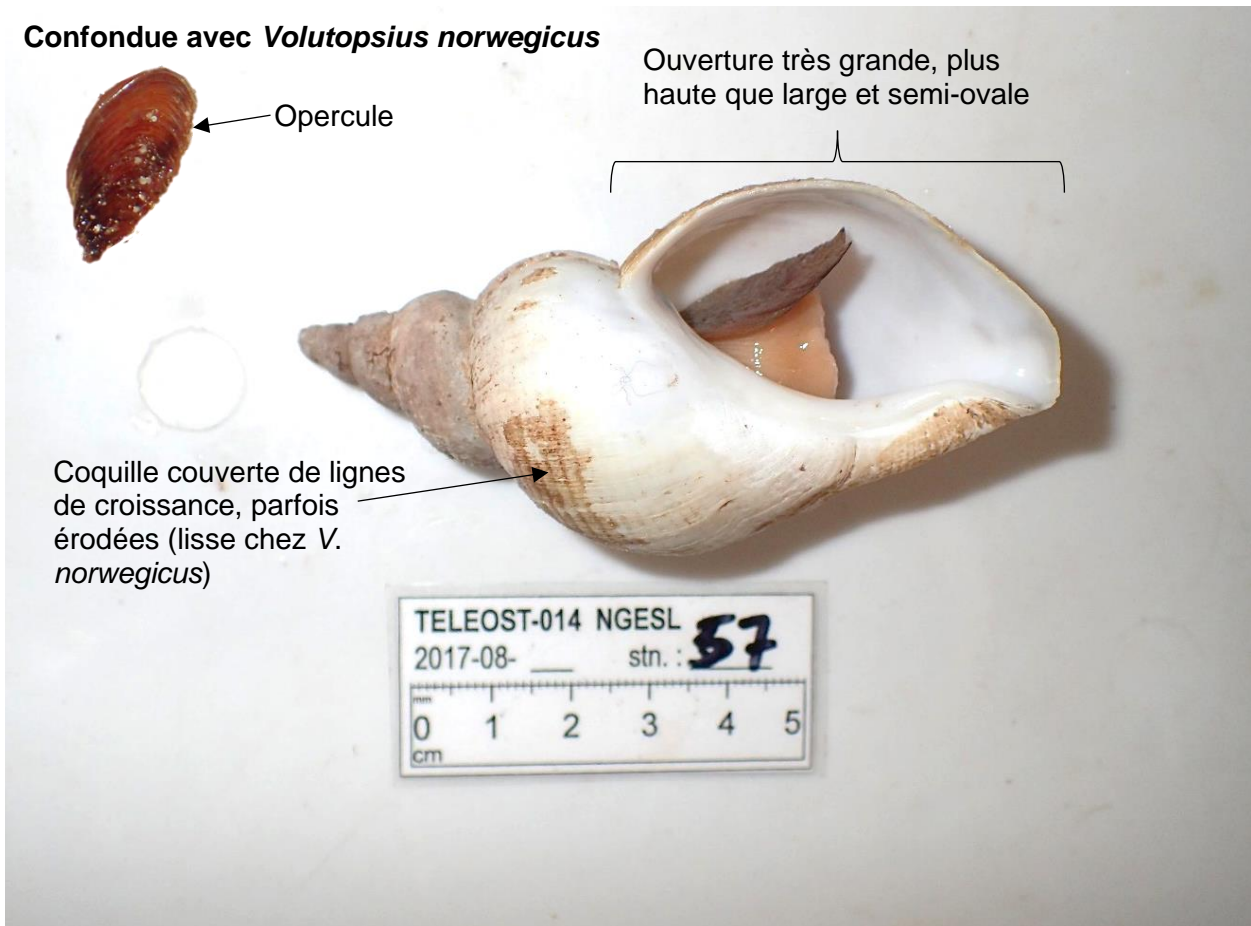
Écologie

- Substrat : vase.



Identification

Confondue avec *Volutopsius norwegicus*

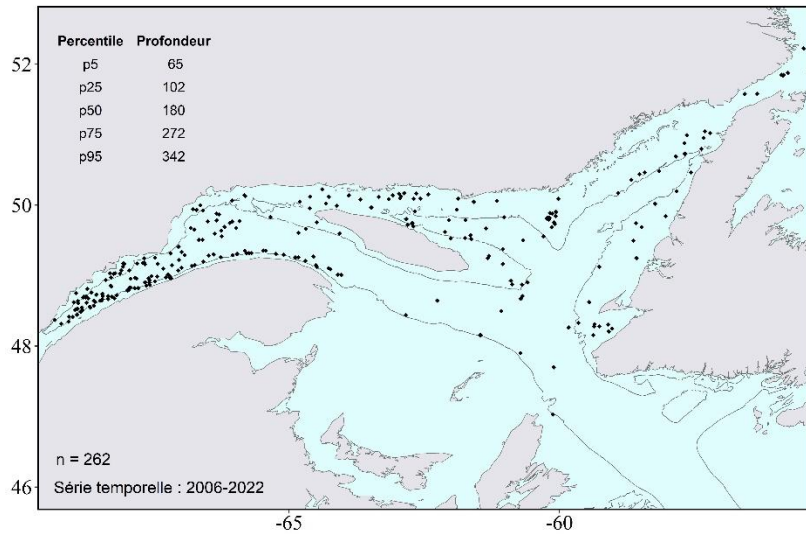




***Buccinum* sp. (Linnaeus, 1758)**
 AphiaID: 137701, STRAP: 3516, RVAN: 4210

Écologie

- Substrat : tous types.



Identification

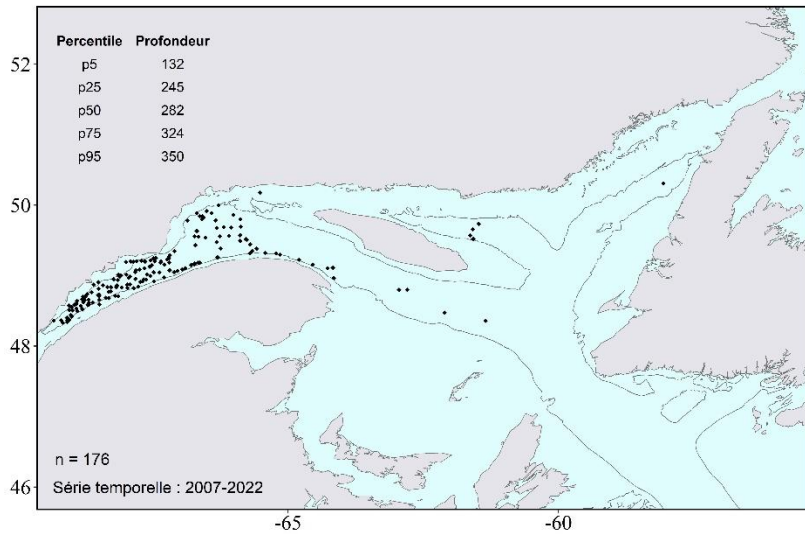




Buccinum cyaneum (Bruguière, 1789)
 AphiaID: 138862, STRAP: 3520, RVAN: 7775

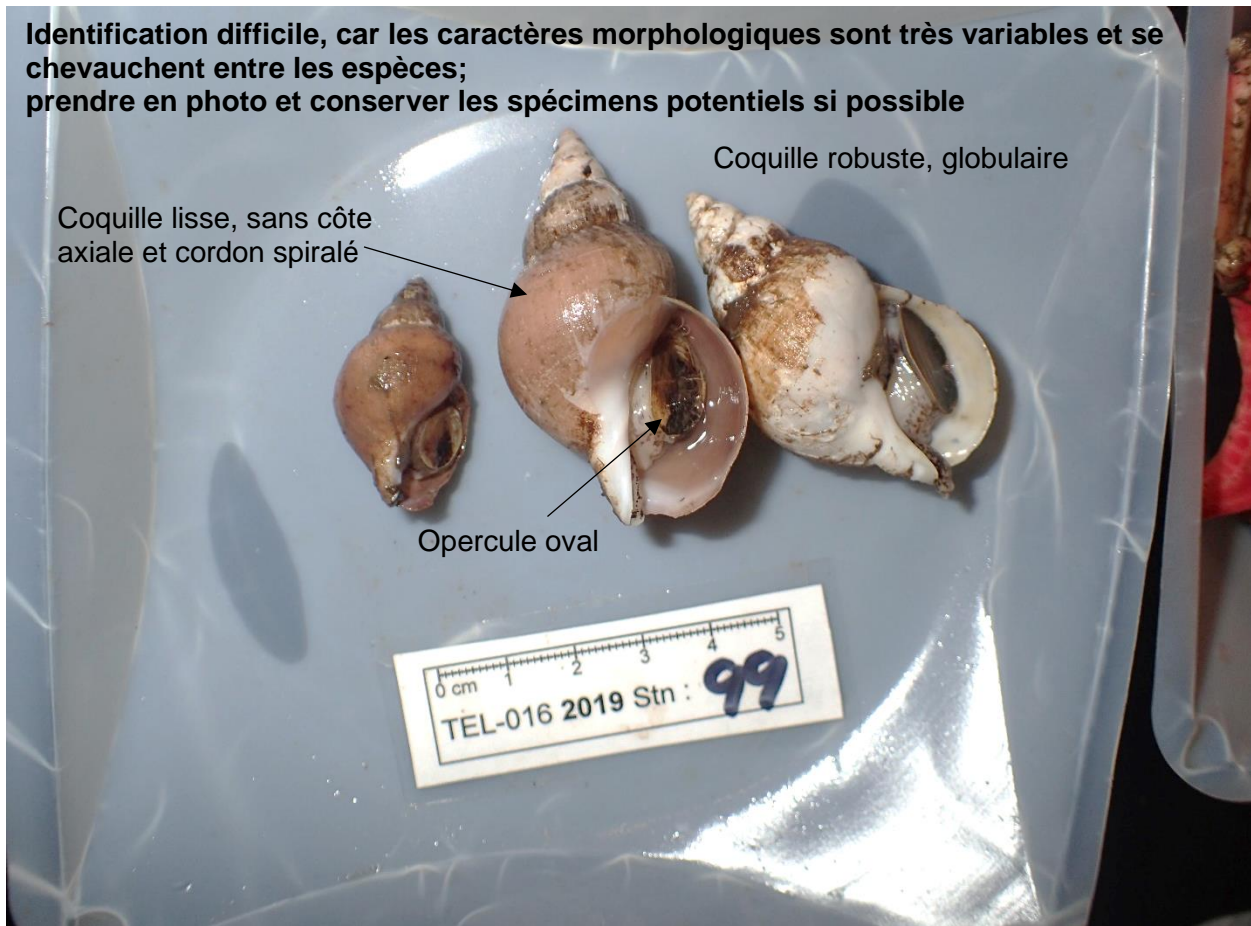
Écologie

- Substrat : tous types.



Identification

Identification difficile, car les caractères morphologiques sont très variables et se chevauchent entre les espèces;
 prendre en photo et conserver les spécimens potentiels si possible

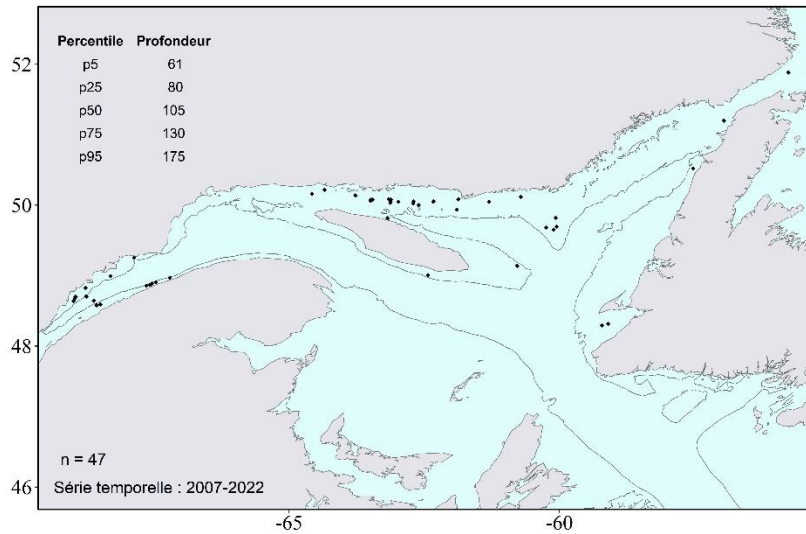




Buccinum scalariforme (Møller, 1842)
 AphiaID: 138875, STRAP: 3523, RVAN: 4212

Écologie

- Substrat : tous types.



Identification

Identification difficile, car les caractères morphologiques sont très variables et se chevauchent entre les espèces;
 prendre en photo et conserver les spécimens potentiels si possible



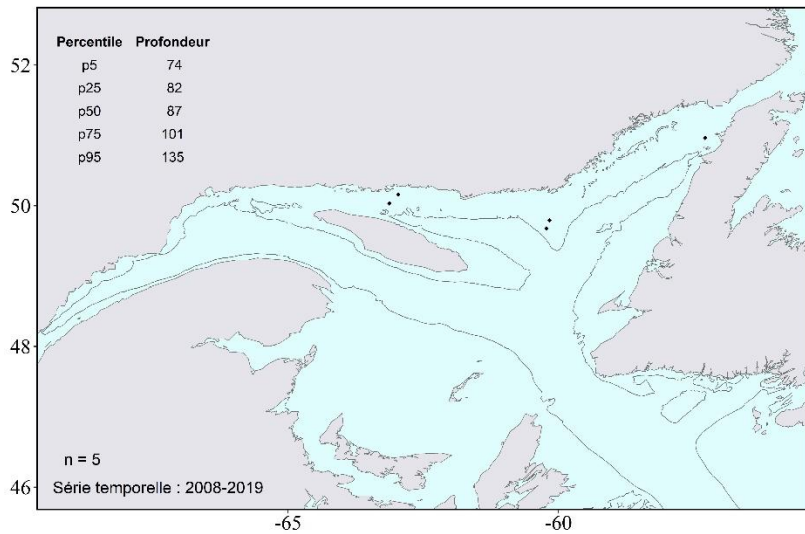


***Buccinum terraenovae* (Mörch, 1869)**

AphiaID: 490864, STRAP: 3514, RVAN: -

Écologie

- Substrat : tous types.



Identification

Identification difficile, car les caractères morphologiques sont très variables et se chevauchent entre les espèces;
prendre en photo et conserver les spécimens potentiels si possible



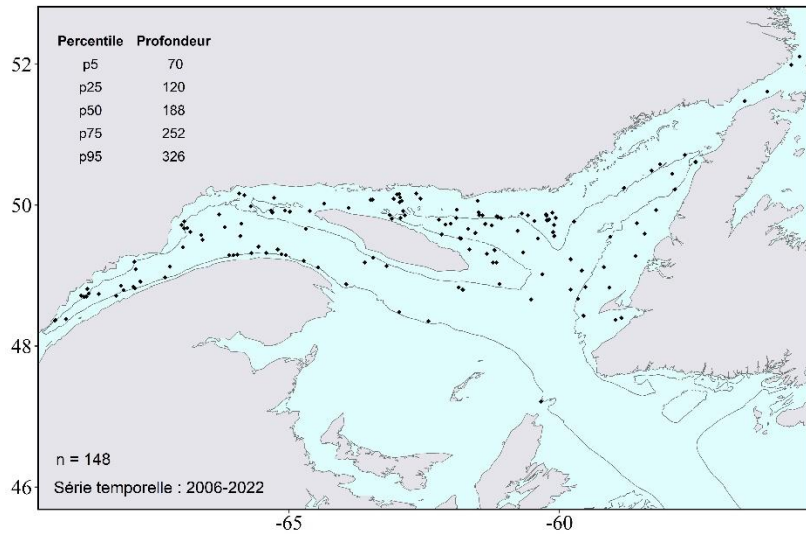
Source : iNaturalist © Claude Nozères



Buccinum undatum (Linnaeus, 1758)
 AphiaID: 138878, STRAP: 3517, RVAN: 4211

Écologie

- Substrat : tous types.

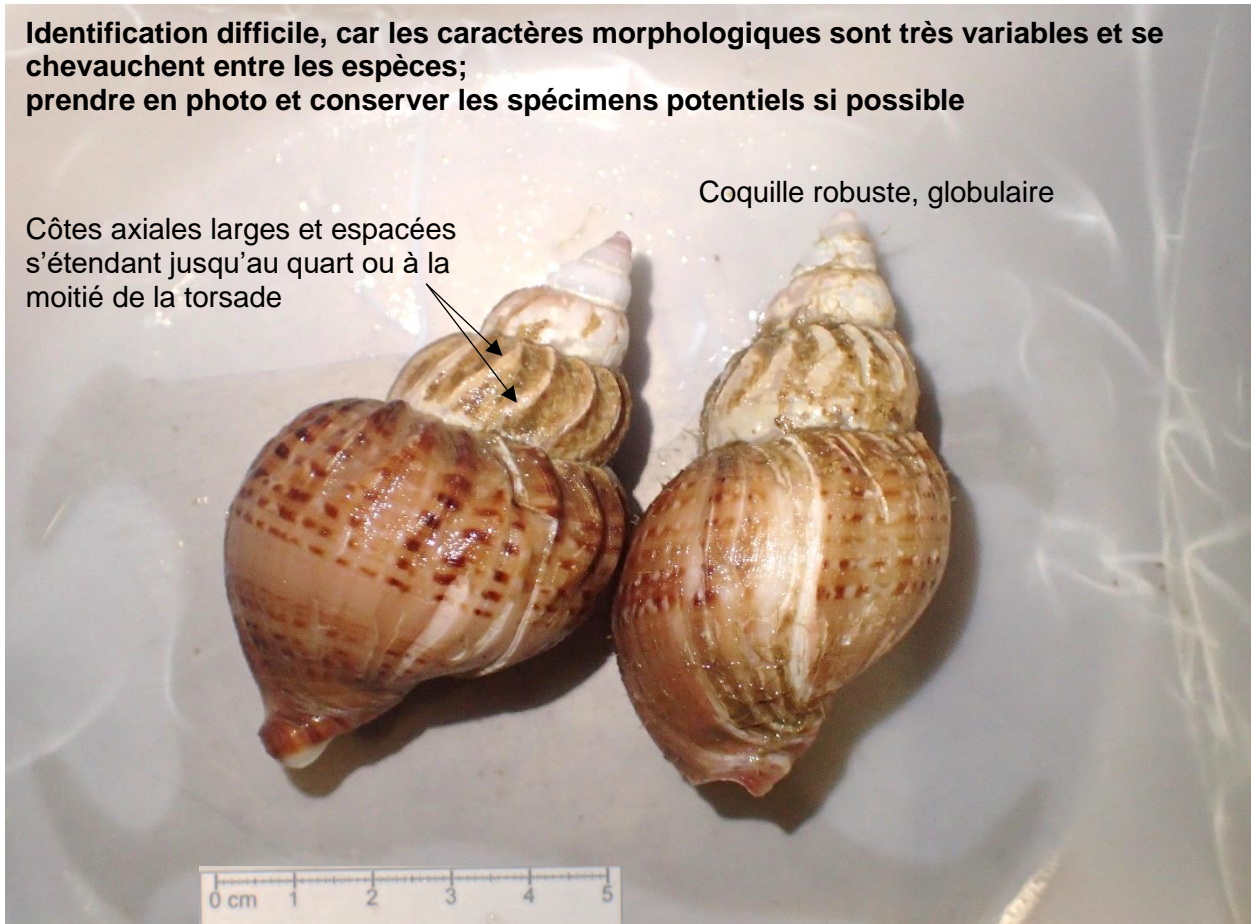


Identification

Identification difficile, car les caractères morphologiques sont très variables et se chevauchent entre les espèces;
 prendre en photo et conserver les spécimens potentiels si possible

Côtes axiales larges et espacées
 s'étendant jusqu'au quart ou à la
 moitié de la torsade

Coquille robuste, globulaire

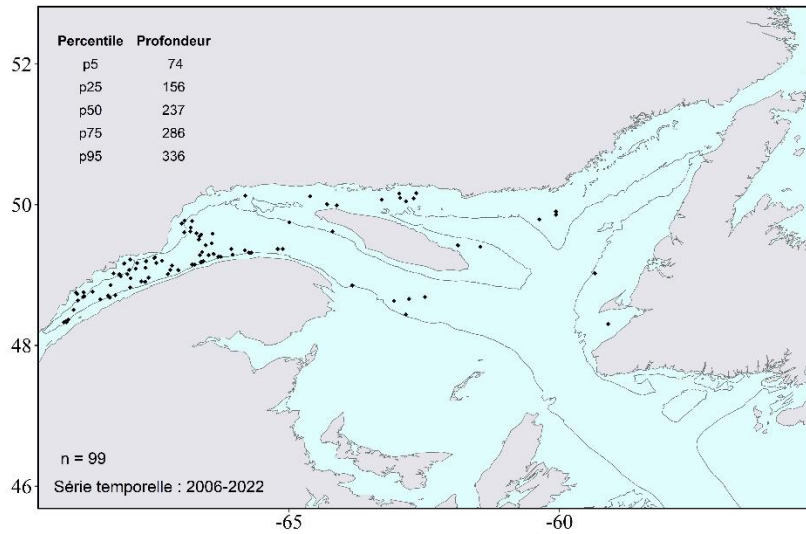




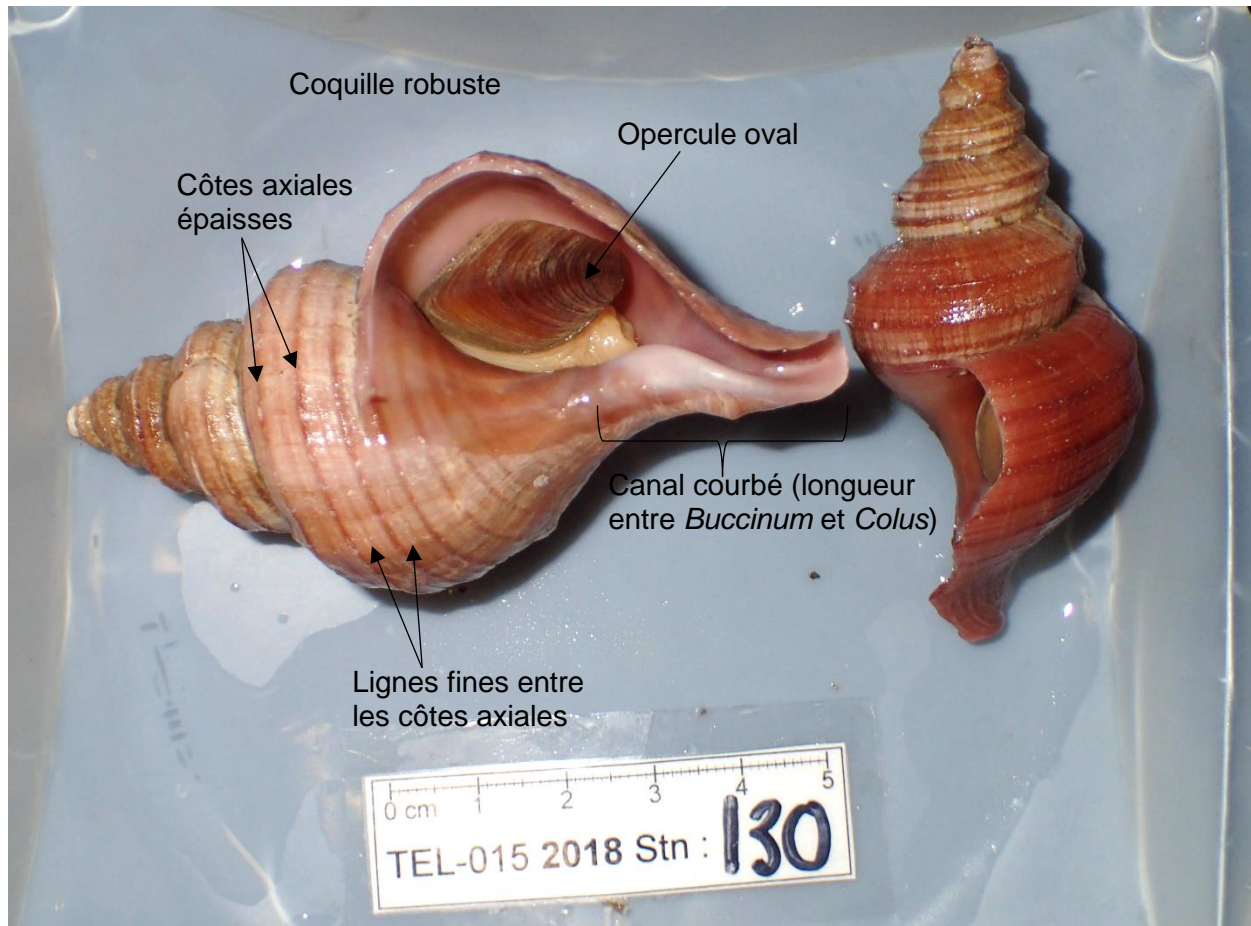
Neptunea despecta (Linnaeus, 1758)
AphiaID: 138923, STRAP: 3567, RVAN: 7777

Écologie

- Substrat : gravier, sable.



Identification

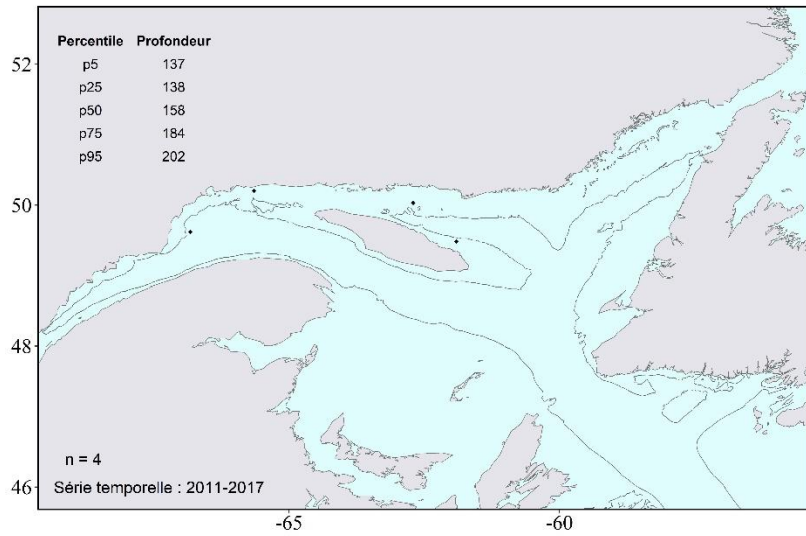




Volutopsius norwegicus (Gmelin, 1791)
AphiaID: 138938, STRAP: 3564, RVAN: 7776

Écologie

- Substrat : ND.



Identification

Confondue avec *Beringius turtoni*

Ouverture très grande, plus haute que large et semi-ovale

Coquille lisse (pas lisse chez *B. turtoni*)

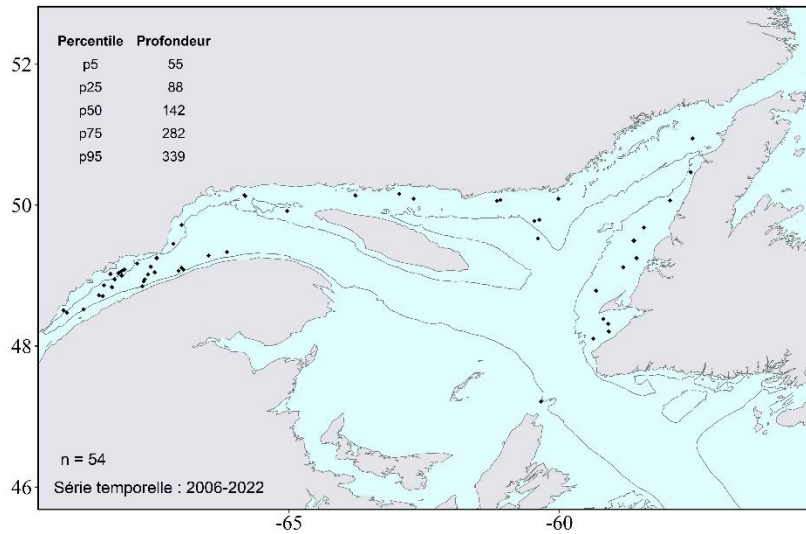




Cryptonatica affinis (Gmelin, 1791)
 AphiaID: 140525, STRAP: 3422, RVAN: 4222

Écologie

- Substrat : sable, vase.



Identification

Confondue avec *Euspira pallida*

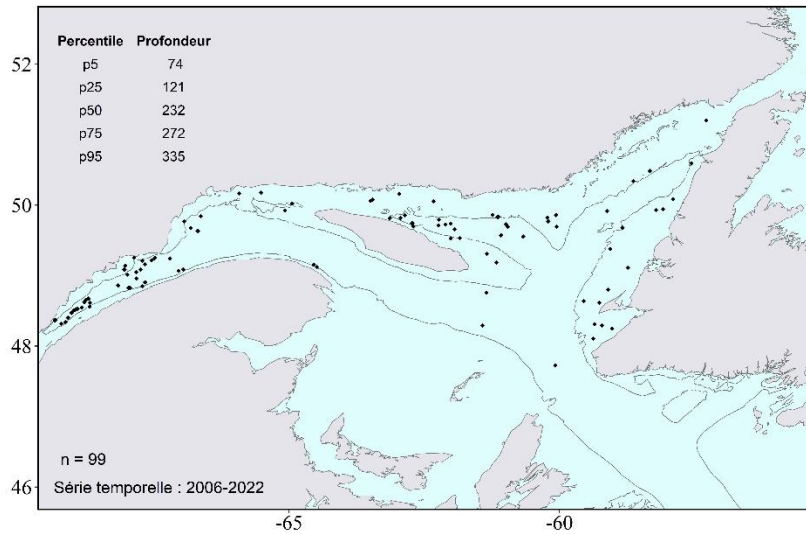




Euspira pallida (Broderip & G. B. Sowerby I, 1829)
 AphiaID: 140536, STRAP: 3437, RVAN: 7770

Écologie

- Substrat : sable, vase.



Identification



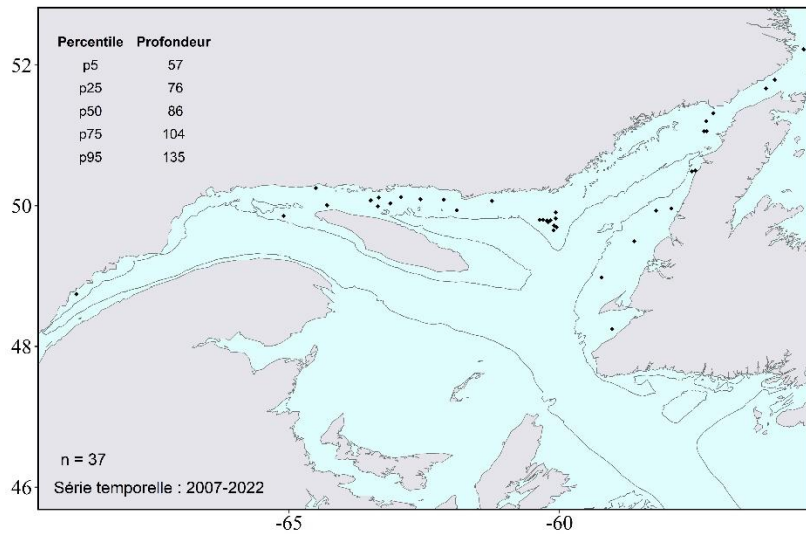


Boreotrophon clathratus (Linnaeus, 1767)

AphiaID: 146732, STRAP: 3487, RVAN: 7772

Écologie

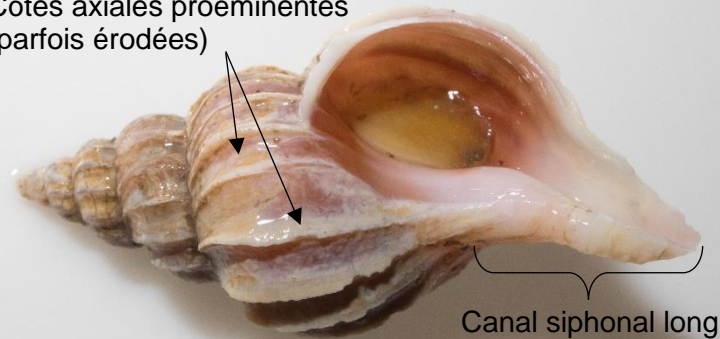
- Substrat : roche, sable, vase.
- Se nourrit de balanes en perçant leur coquille.



Identification

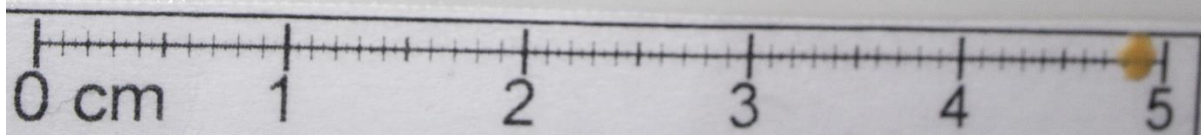
Confondue avec *Scabrotrophon fabricii*

Côtes axiales proéminentes
(parfois érodées)



Canal siphonal long

Pas de structure en spirale sur la coquille
(contrairement à *S.fabricii*)



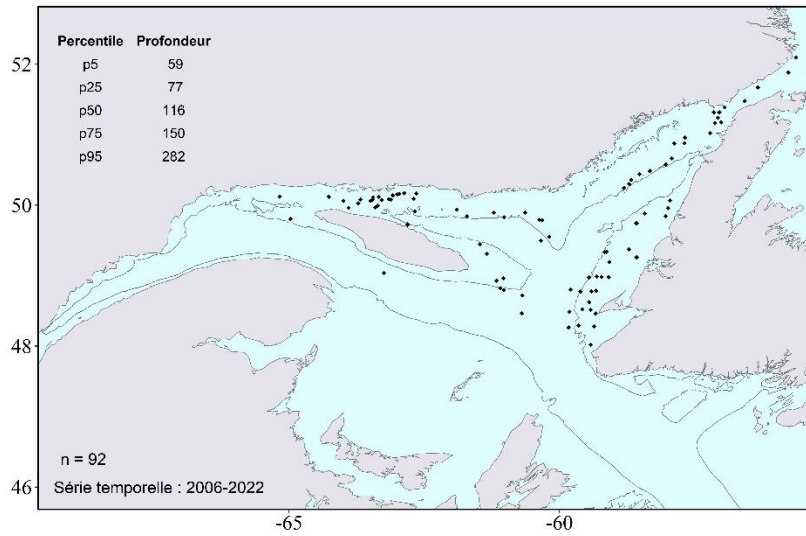
TEL-015 2018 Stn : 137



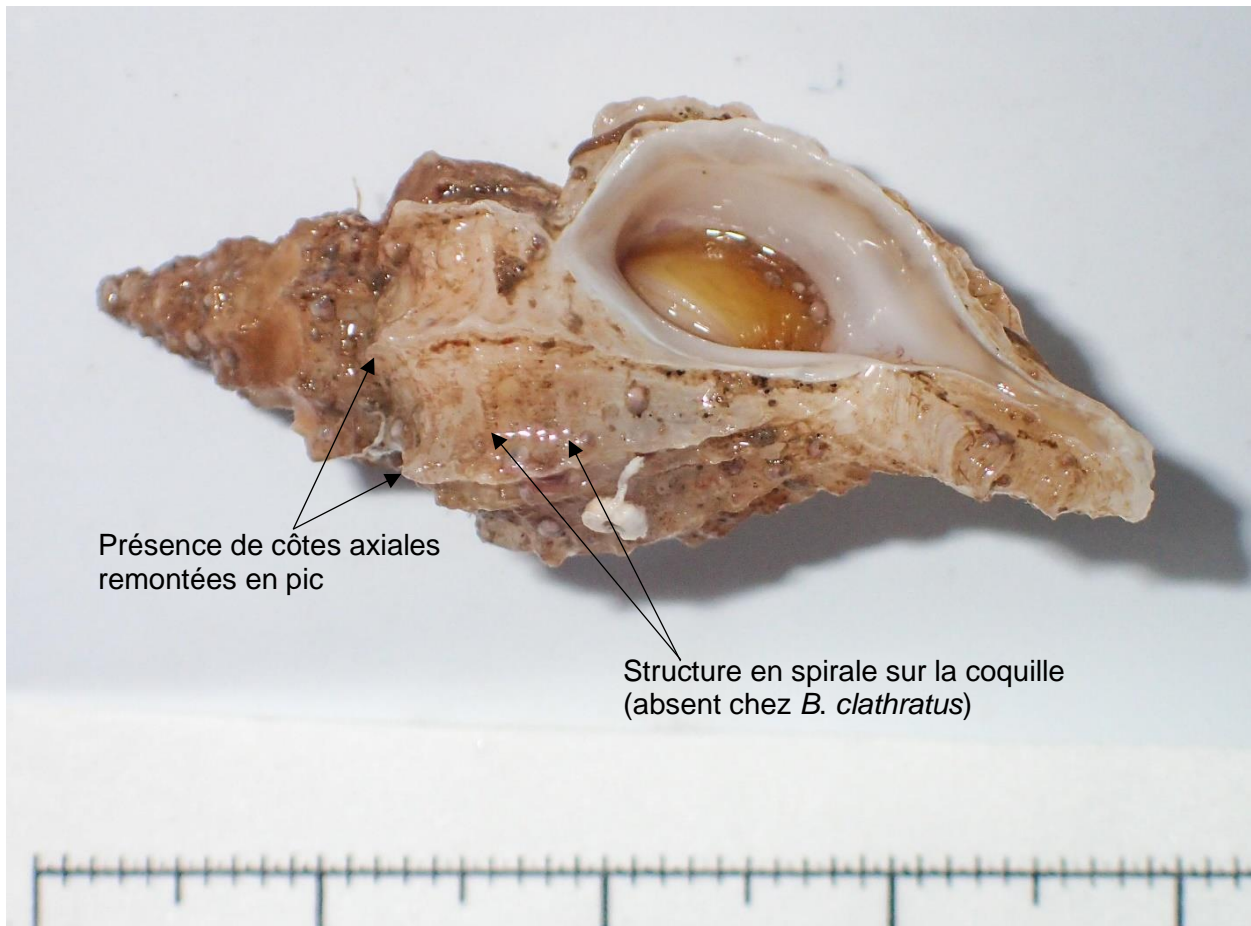
Scabrotrophon fabricii (Møller, 1842)
AphiaID: 147146, STRAP: 3491, RVAN: 7773

Écologie

- Substrat : ND.



Identification



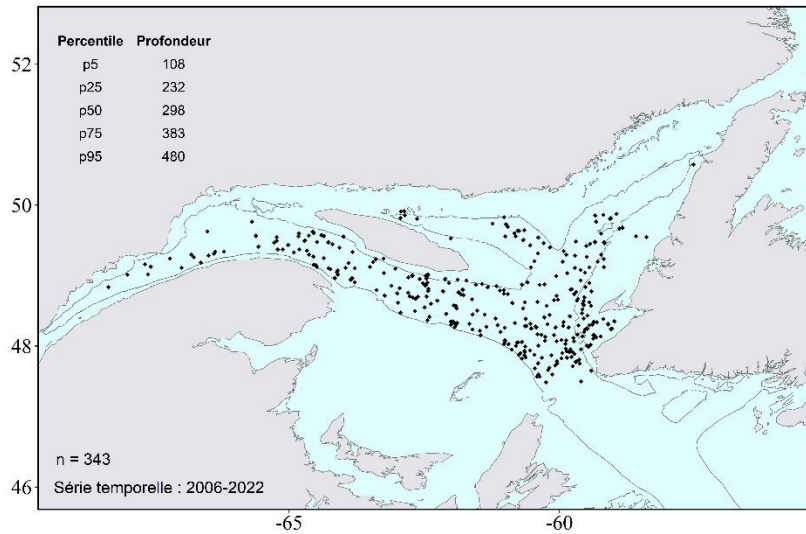


Scaphander punctostriatus (Mighels & C. B. Adams, 1842)

AphiaID: 139490, STRAP: 3715, RVAN: 4431

Écologie

- Substrat : sable, vase.



Identification

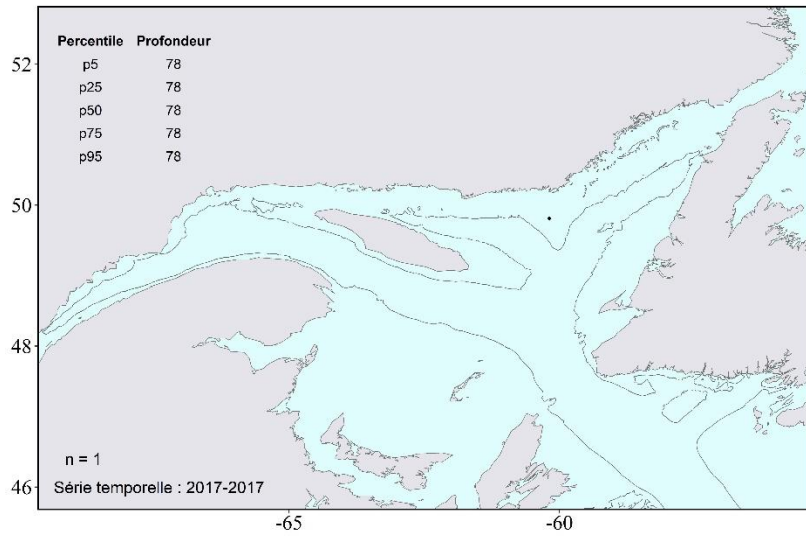




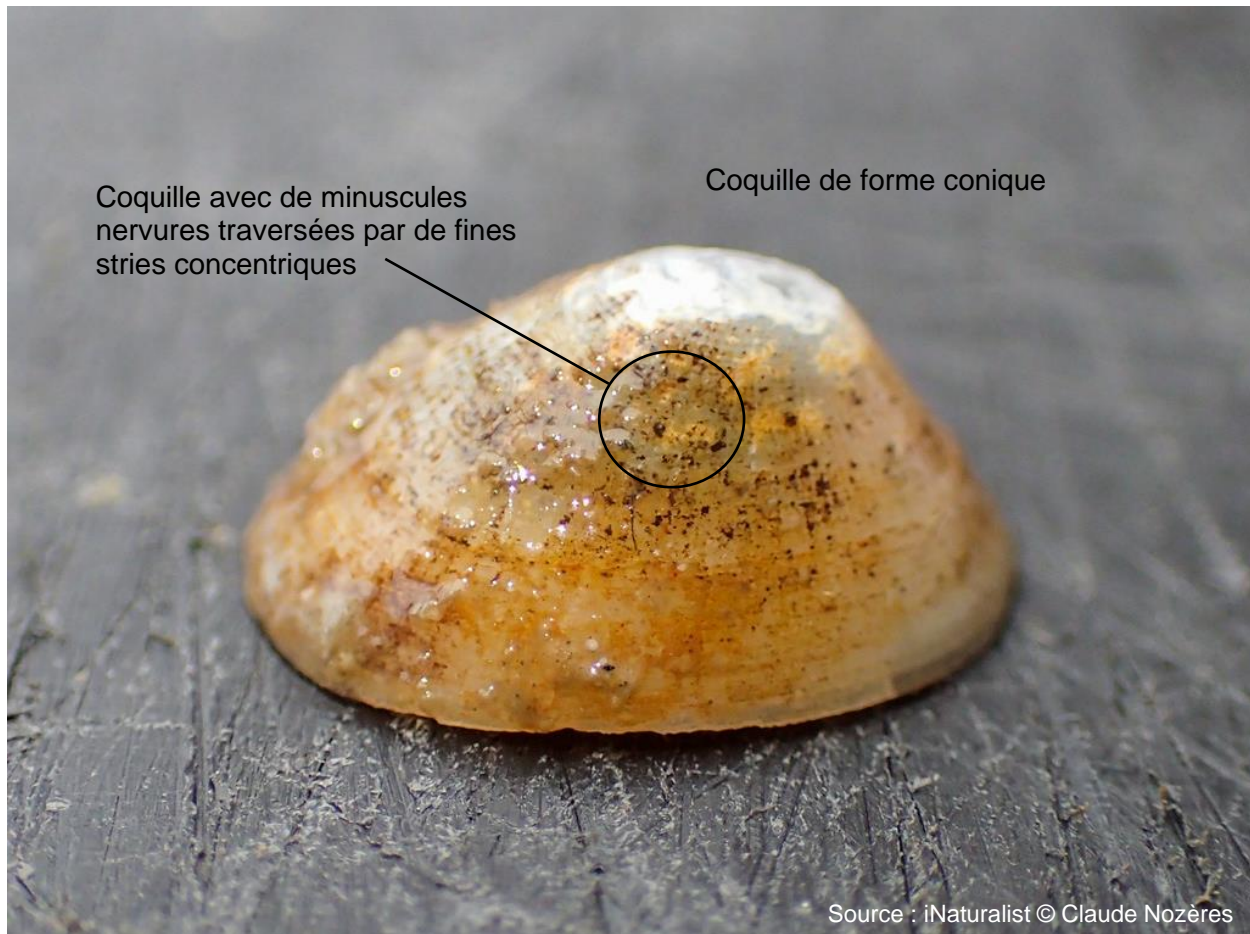
Lepeta caeca (O. F. Müller, 1776)
AphiaID: 140187, STRAP: 3198, RVAN: 7765

Écologie

- Substrat : roche.



Identification

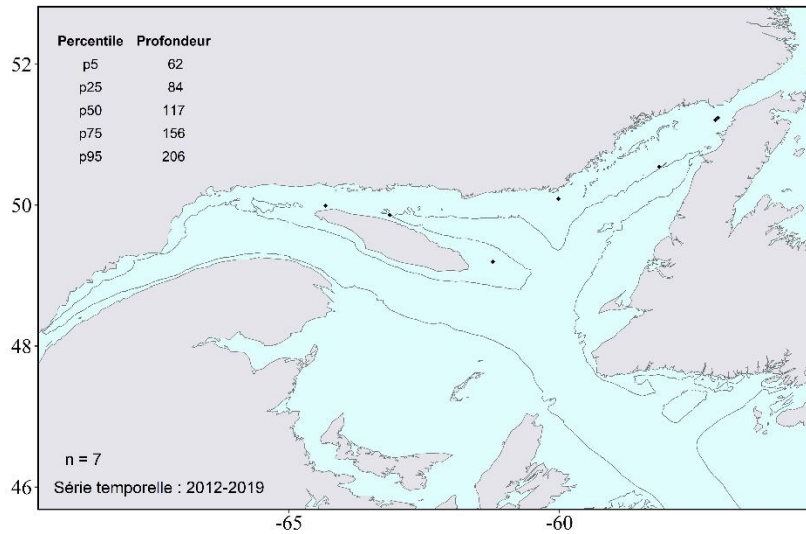




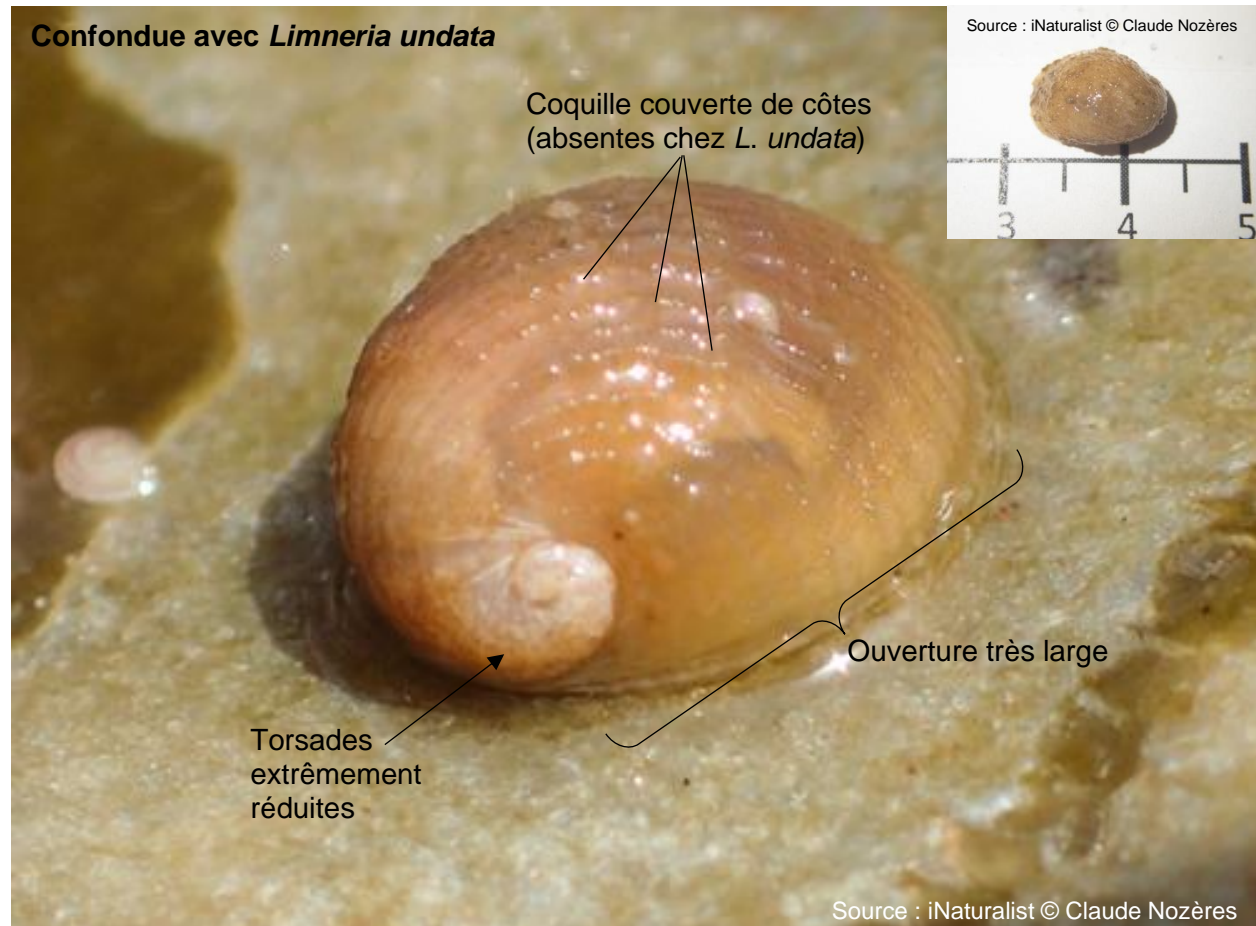
Velutina velutina (O. F. Müller, 1776)
 AphiaID: 141905, STRAP: 3460, RVAN: 4252

Écologie

- Substrat : roche.
- Se nourrit d'ascidies.



Identification

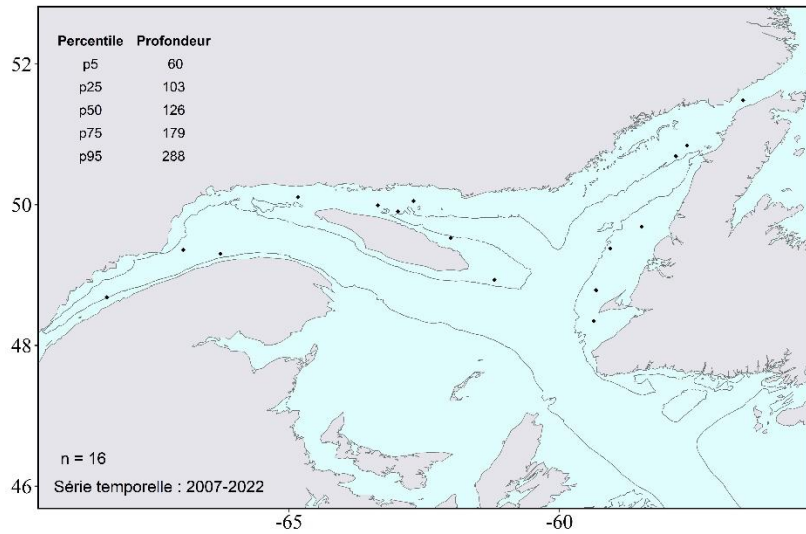




Limneria undata (T. Brown, 1839)
 AphiaID: 159903, STRAP: 3459, RVAN: 7771

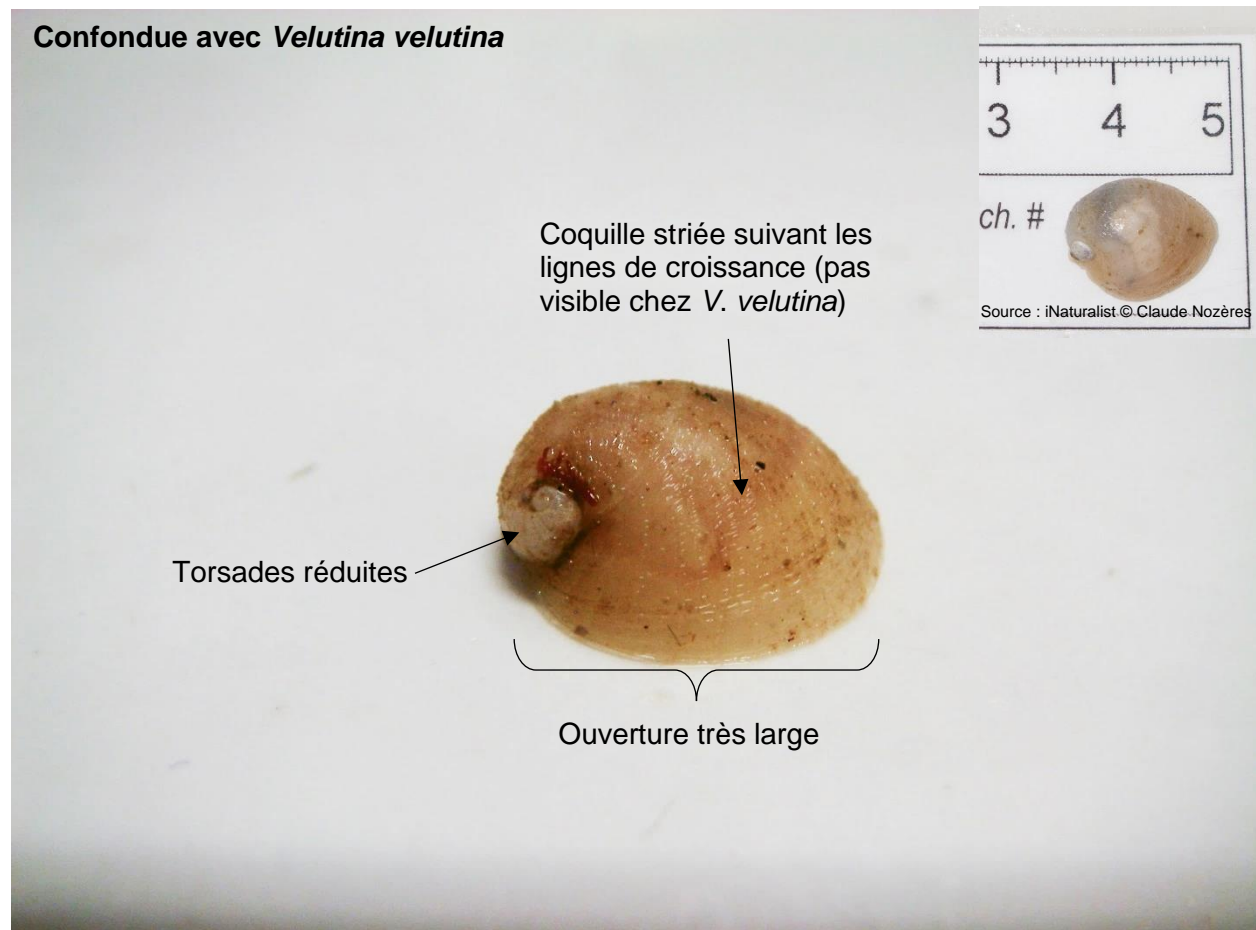
Écologie

- Substrat : tous types.



Identification

Confondue avec *Velutina velutina*

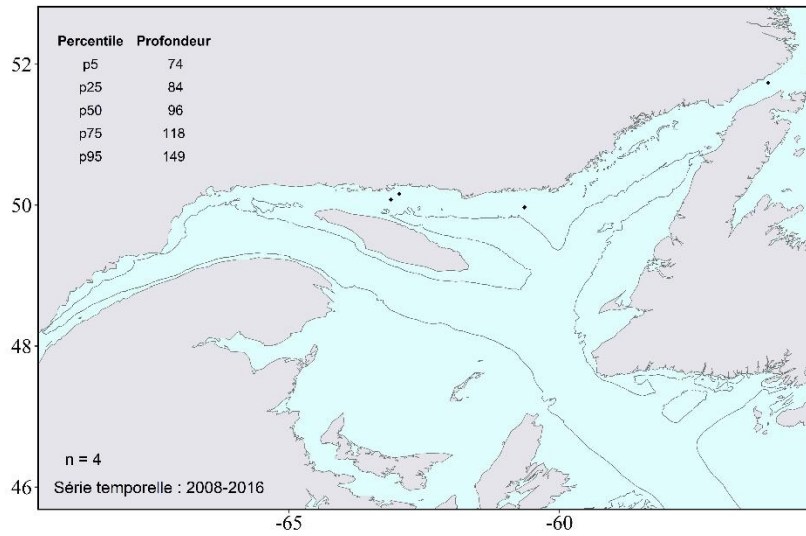




Onchidiopsis corys (Balch, 1910)
AphiaID: 159955, STRAP: 3456, RVAN: 7819

Écologie

- Substrat : ND.



Identification



Source : iNaturalist © Claude Nozères

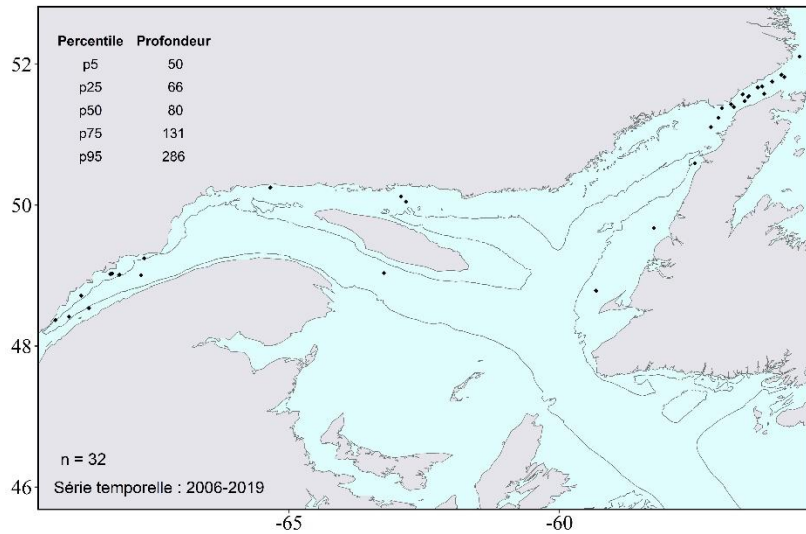


***Dendronotus frondosus* (Ascanius, 1774)**

AphiaID: 139523, STRAP: 3894, RVAN: 7780

Écologie

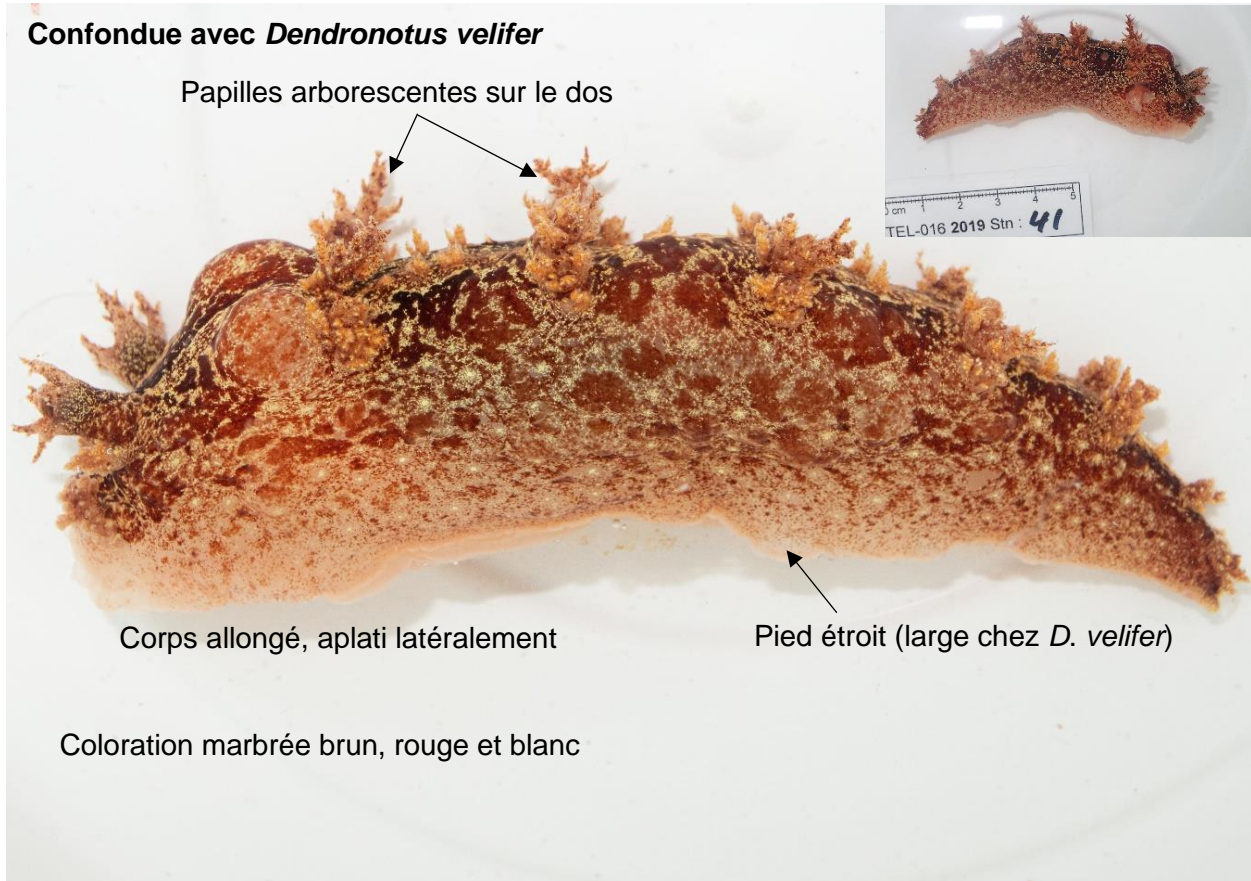
- Substrat : roche.
- S'alimente d'hydrozoaires.



Identification

Confondue avec *Dendronotus velifer*

Papilles arborescentes sur le dos



Corps allongé, aplati latéralement

Pied étroit (large chez *D. velifer*)

Coloration marbrée brun, rouge et blanc

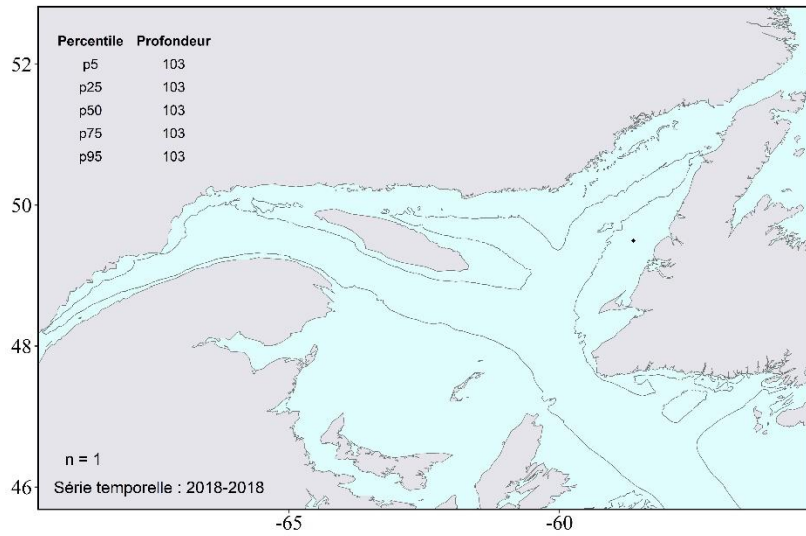


***Dendronotus velifer* (G. O. Sars, 1878)**

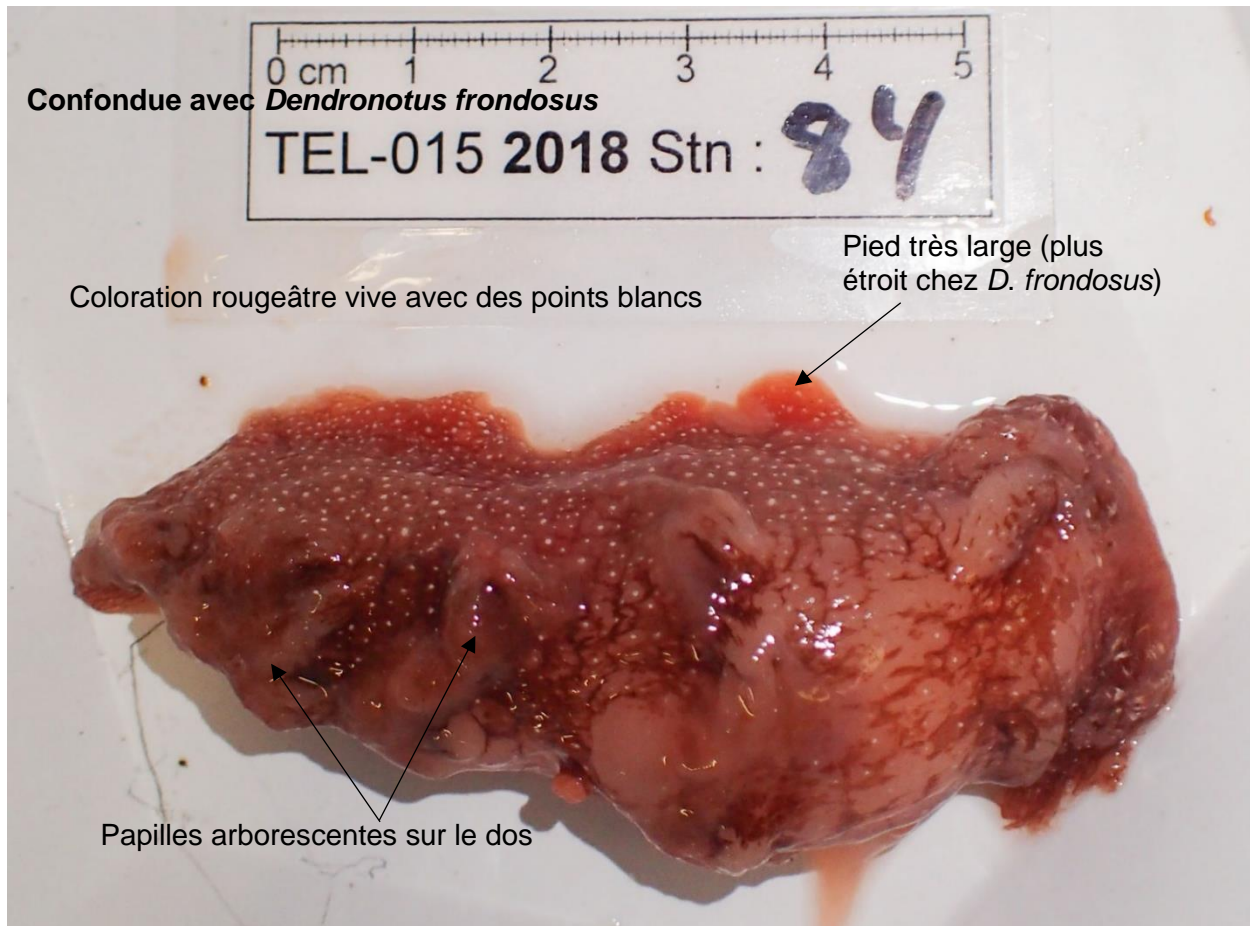
AphiaID: 748384, STRAP: 3897, RVAN: -

Écologie

- Substrat : ND.



Identification



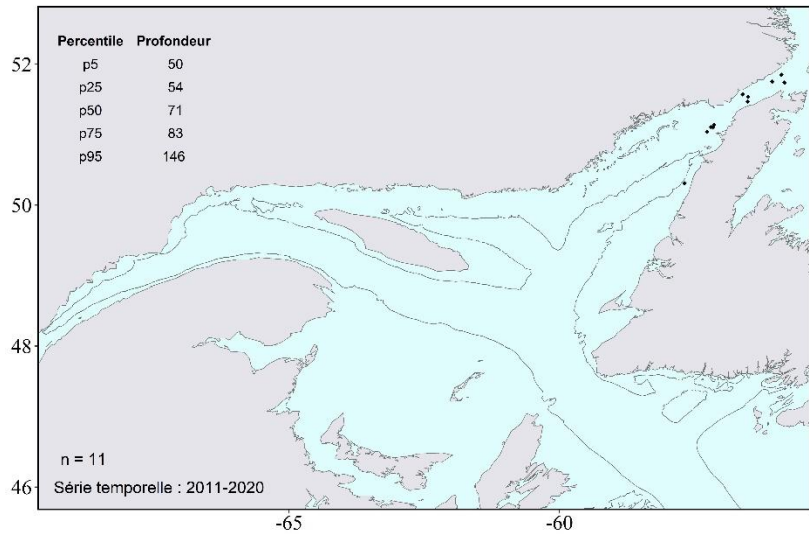


Dendronotus elegans (A. E. Verrill, 1880)

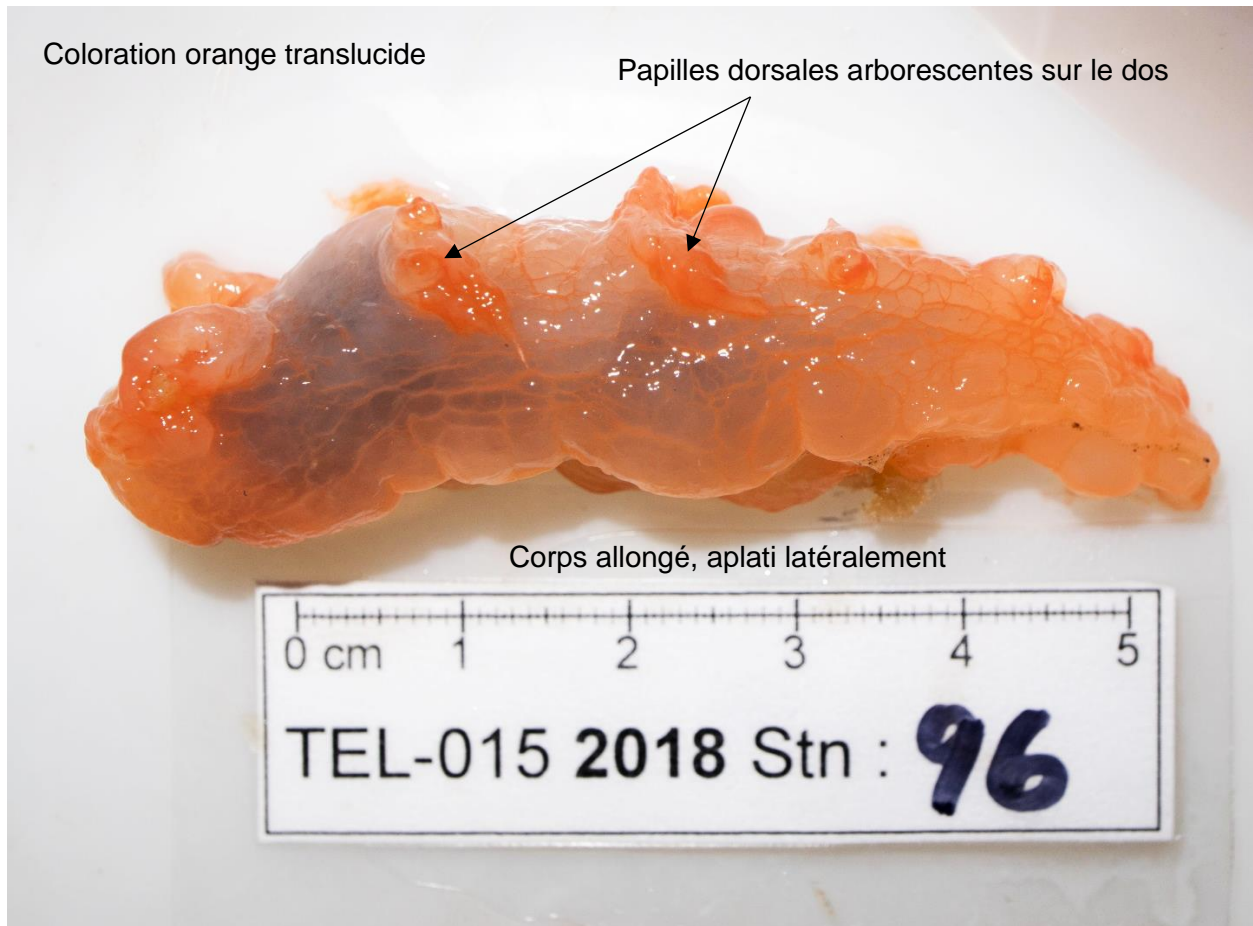
AphiaID: 156710, STRAP: 3895, RVAN: 7781

Écologie

- Substrat : roche.
- S'alimente d'hydrozoaires.



Identification

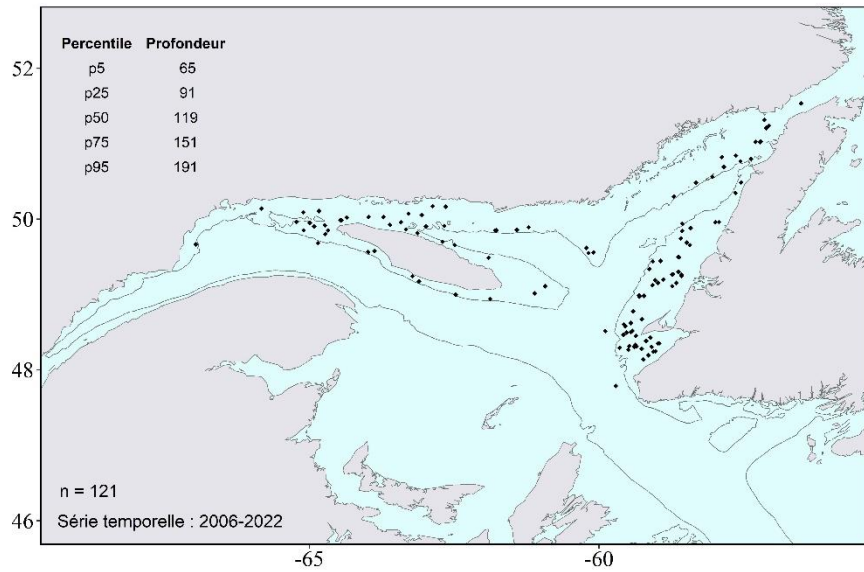




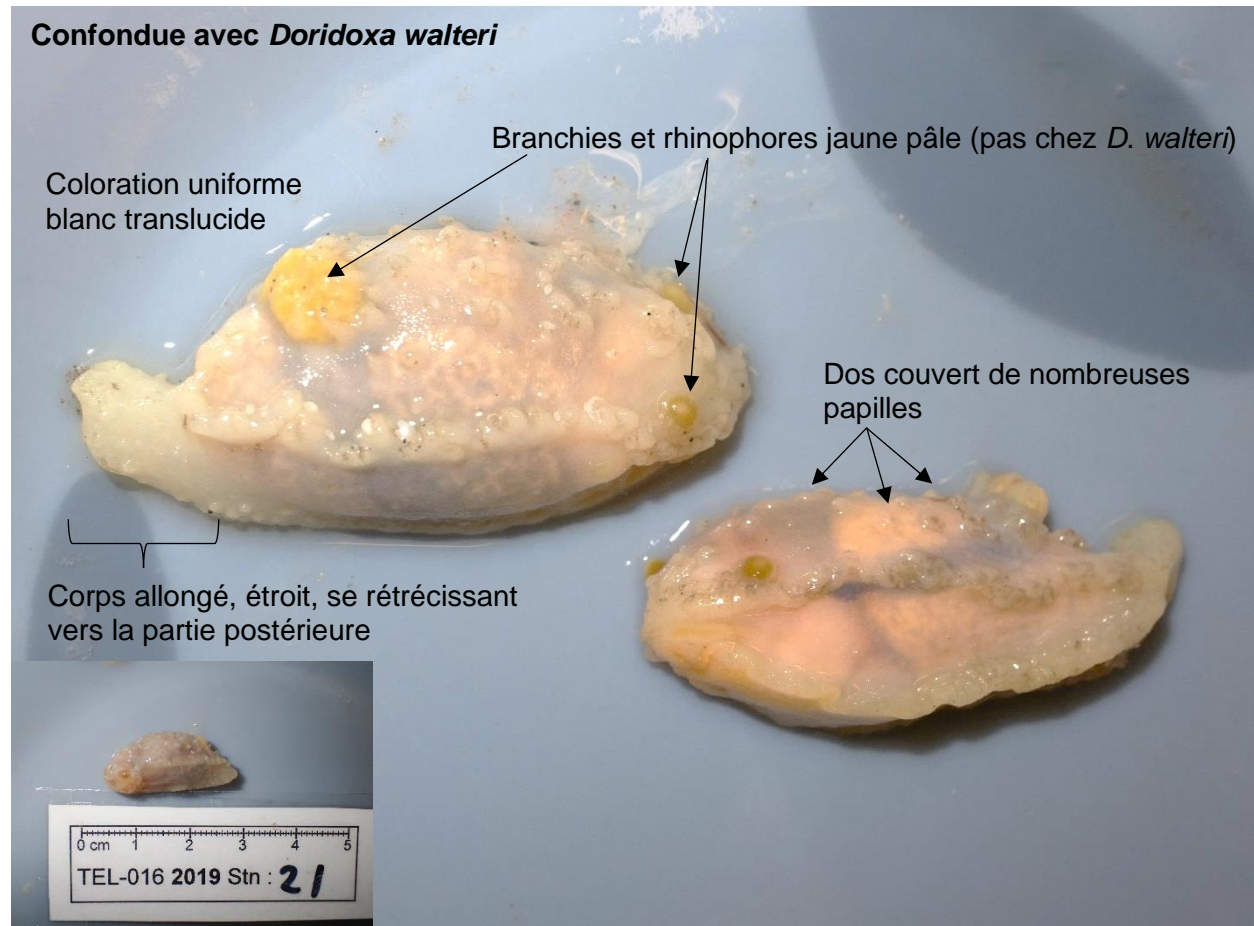
Colga villosa (Odhner, 1907)
 AphiaID: 146851, STRAP: 3908, RVAN: 7782

Écologie

- Substrat : sable.



Identification

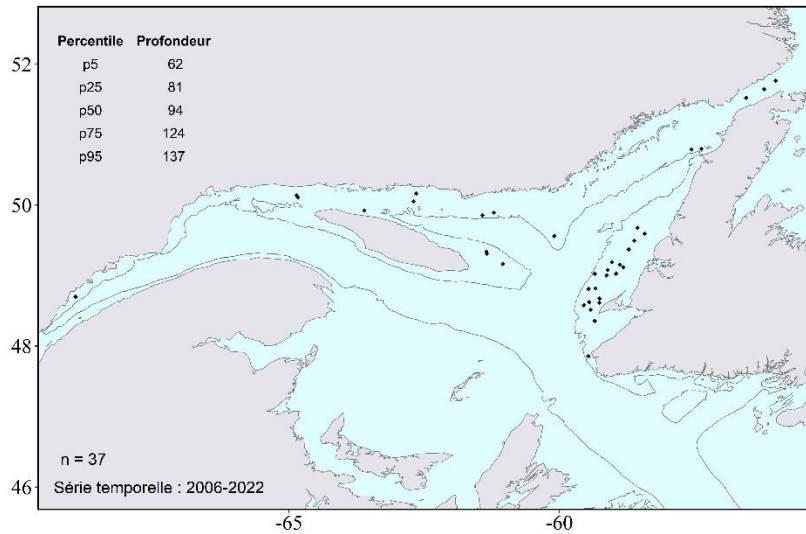




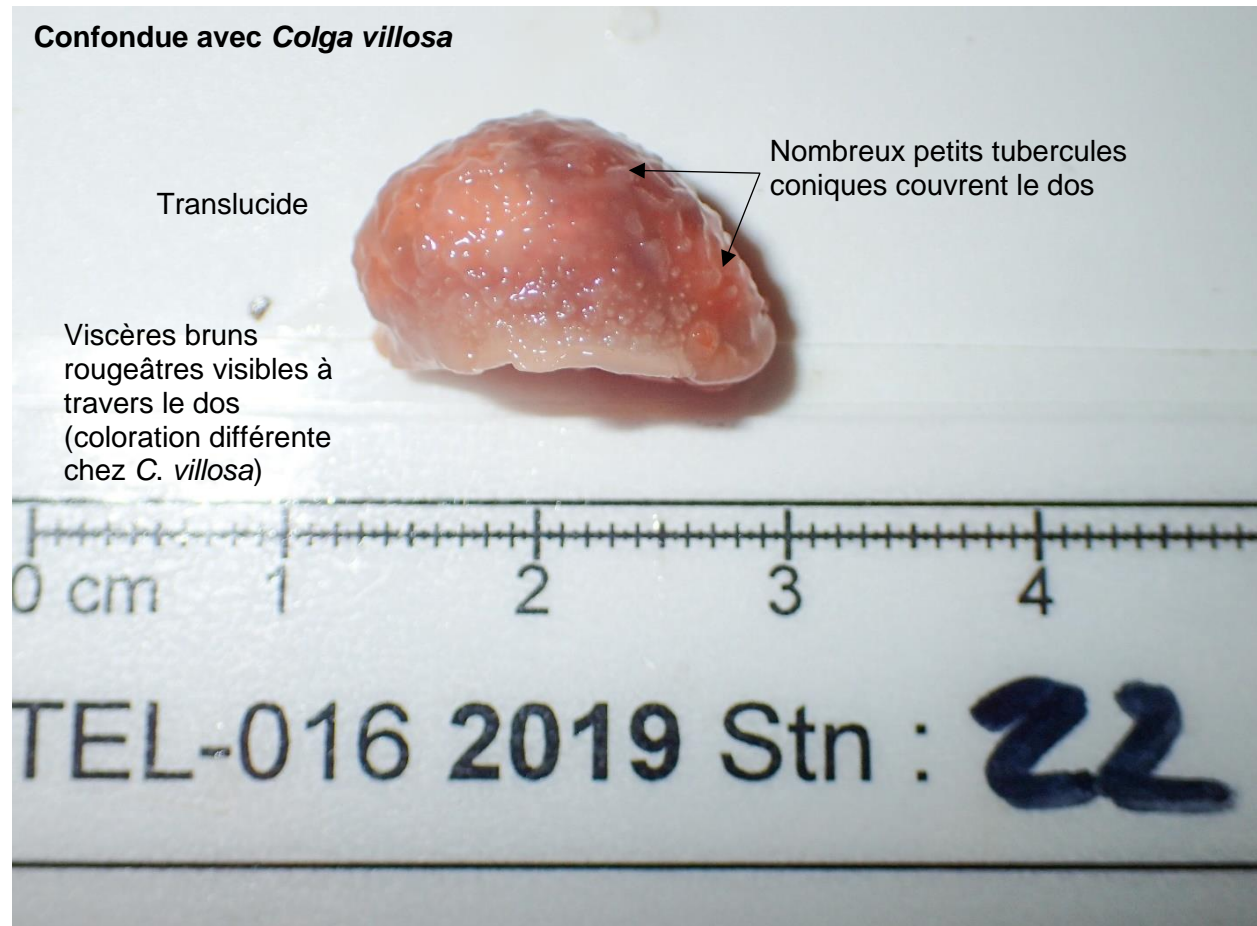
Doridoxa walteri (A. Krause, 1892)
 AphiaID: 576389, STRAP: 3965, RVAN: 7783

Écologie

- Substrat : ND.



Identification



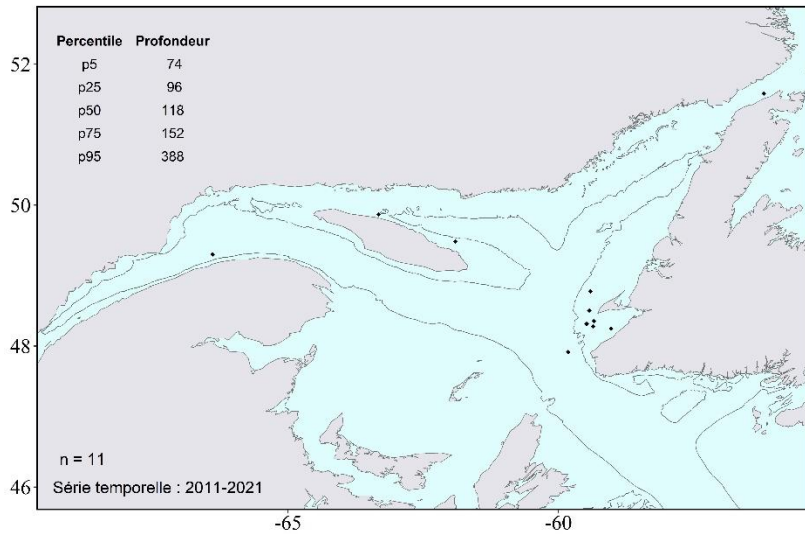


Heterodoris robusta (A. E. Verrill & Emerton, 1882)

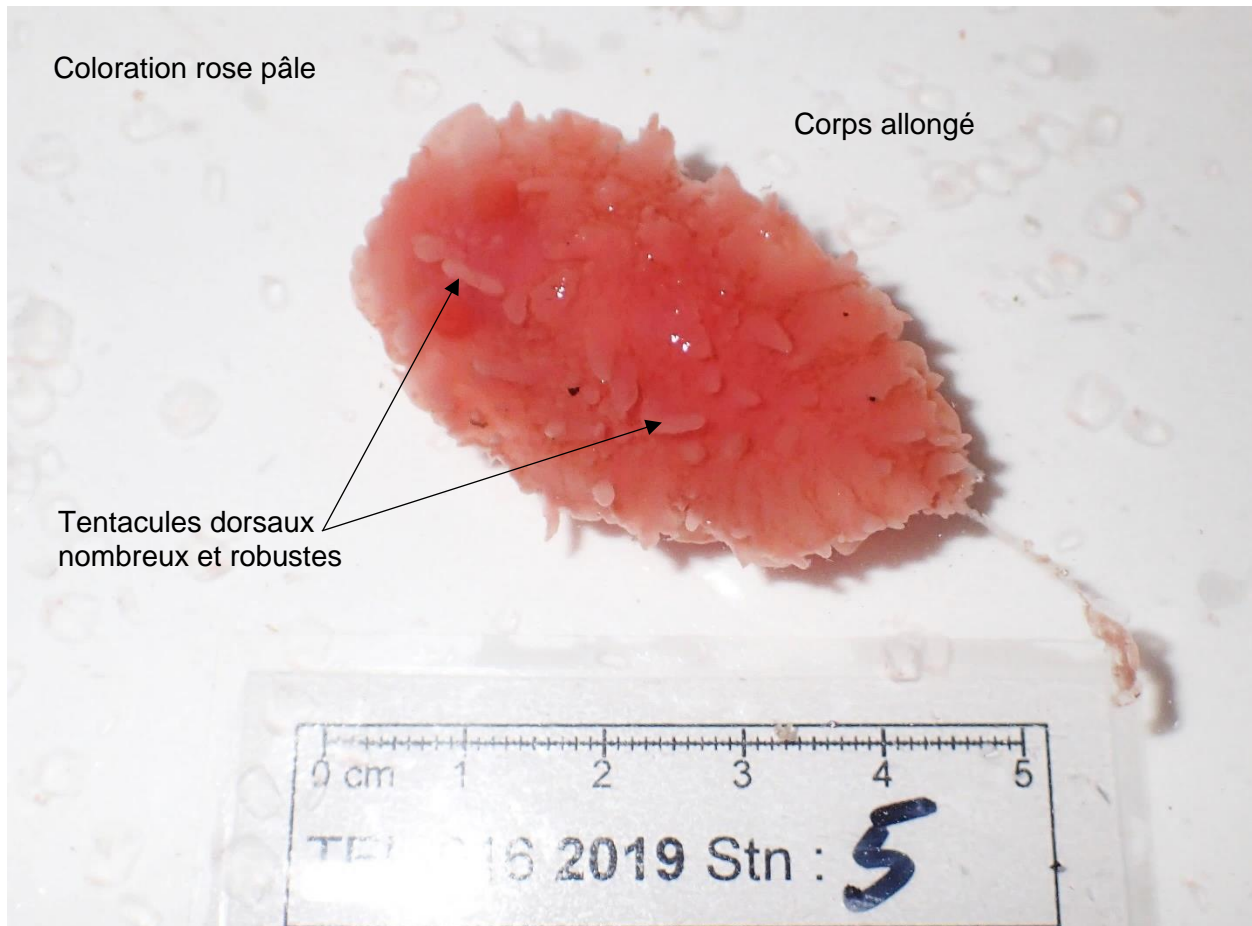
AphiaID: 140101, STRAP: 3964, RVAN: -

Écologie

- Substrat : ND.



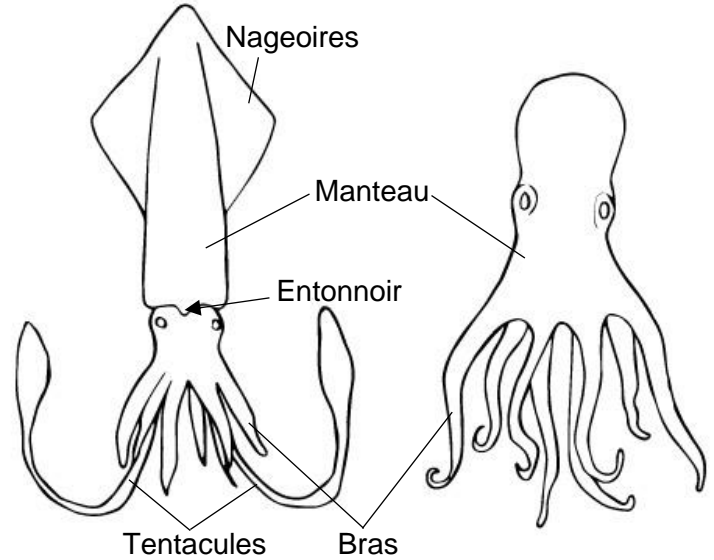
Identification



Phylum Mollusca

Classe Cephalopoda (Cuvier, 1795) AphiaID: 11707, STRAP: 4545, RVAN: 4500

Les céphalopodes sont des mollusques exclusivement marins. Ils sont hautement avancés et ils possèdent le cerveau le plus développé parmi les invertébrés. La plupart des céphalopodes ont complètement perdu leur coquille, mais, pour certains, elle a plutôt évolué vers une structure interne hautement modifiée. C'est le cas chez les calmars qui possèdent une plume, ou gladius, qui sert à la fois de site de fixation et de barrière protectrice pour les organes. La tête et le pied des céphalopodes sont complètement fusionnés et portent huit **bras** disposés en anneaux circulaires. Le calmar et la seiche possèdent deux autres bras spécialisés, appelés **tentacules**. La cavité viscérale des céphalopodes est entourée d'un **manteau** possédant de puissants muscles permettant la contraction de la cavité pour la respiration et la locomotion. Chez certaines espèces, le manteau porte également deux **nageoires** pour faciliter les déplacements. Une structure, appelée **entonnoir**, visible près des yeux à la jonction de la tête et du pied sert de canal d'excrétion.



© Laurie Isabel

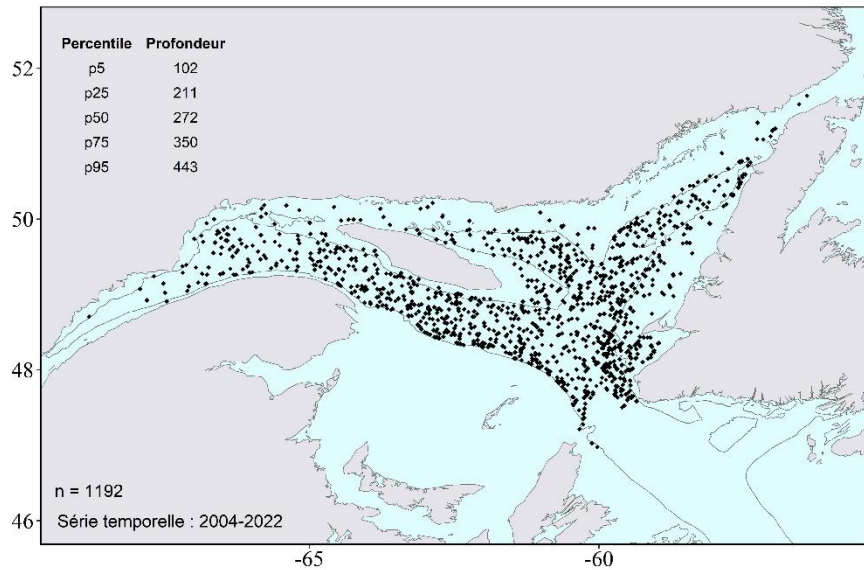
Cinq espèces et un genre de céphalopode sont identifiés dans le relevé NGSL. Le poulpe *Bathypolypus bairdii* et les sépioles du genre *Rossia* sont des résidents benthiques du golfe du Saint-Laurent, alors que l'encornet nordique, *Illex illecebrosus*, l'encornet atlantoboréal, *Gonatus fabricii* et la sépiole, *Stoloteuthis leucoptera*, sont des visiteurs pélagiques saisonniers. La capture des espèces non résidentes du golfe du Saint-Laurent est très variable d'une année à l'autre et dépend de la température des eaux de surfaces. La pieuvre abyssale, *Stauroteuthis syrtensis*, est aussi observée dans les captures du relevé NGSL à de très rares occasions. Deux espèces du genre *Rossia*, soit *R. megaptera* et *R. palpebrosa*, sont capturées dans le relevé NGSL, mais ne peuvent être différenciées sur le navire.



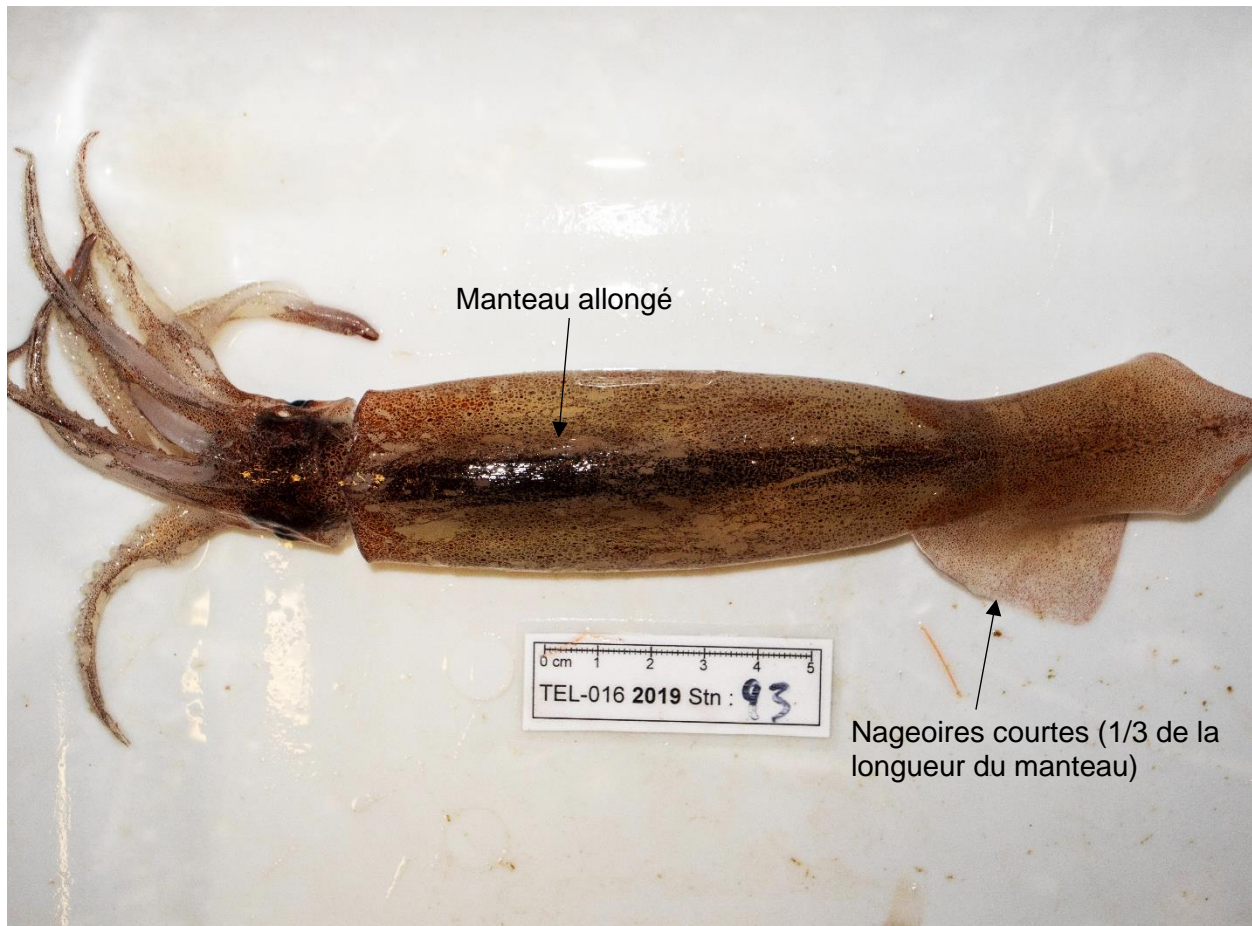
Illex illecebrosus (Lesueur, 1821)
 AphiaID: 153087, STRAP: 4753, RVAN: 4511

Écologie

- Substrat : NA.
- Pélagique.
- Cycle de vie de 2 ans.
- Abondance très variable d'une année à l'autre.
- Associée aux eaux chaudes.



Identification

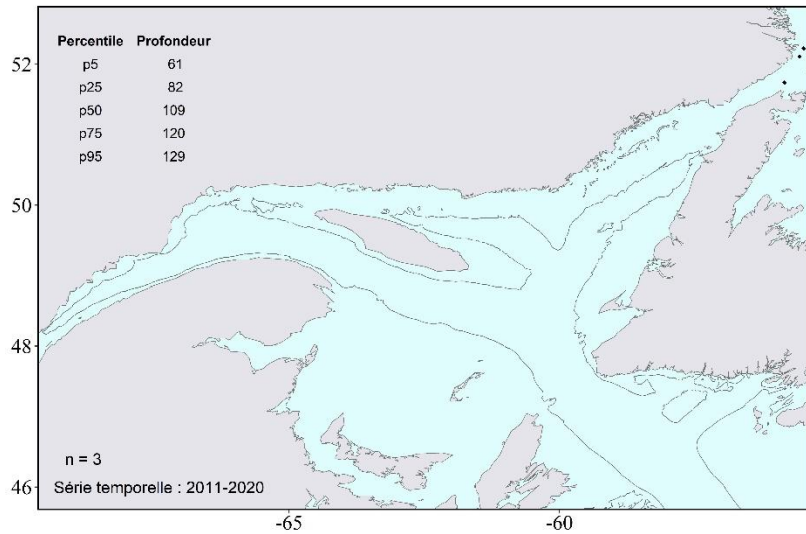




Gonatus fabricii (Lichtenstein, 1818)
 AphiaID: 153097, STRAP: 4770, RVAN: 4599

Écologie

- Substrat : NA.
- Pélagique.
- Juvéniles seulement. Aucun adulte capturé.
- Associée aux eaux froides.

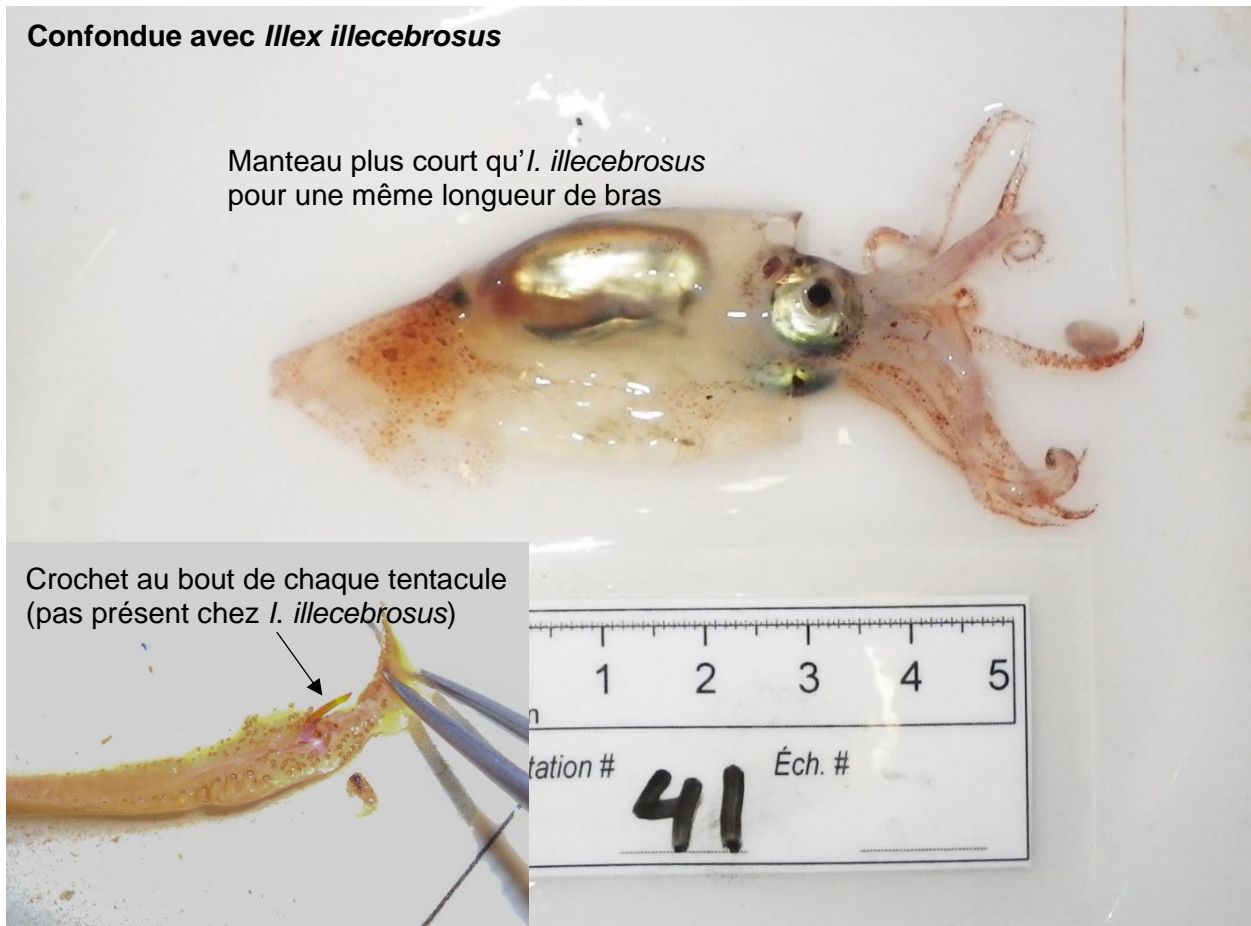


Identification

Confondue avec *Illex illecebrosus*

Manteau plus court qu'*I. illecebrosus*
 pour une même longueur de bras

Crochet au bout de chaque tentacule
 (pas présent chez *I. illecebrosus*)

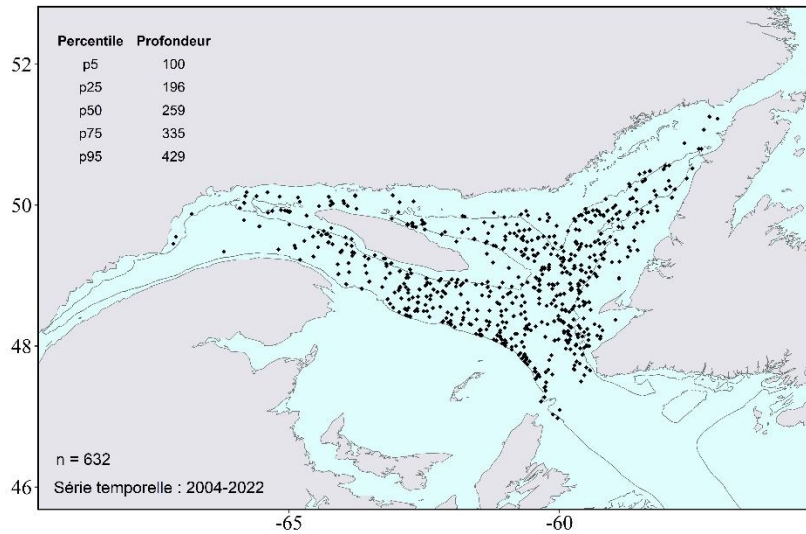




Rossia sp. (Owen, 1835)
 AphiaID: 138481, STRAP: 4557, RVAN: 7723

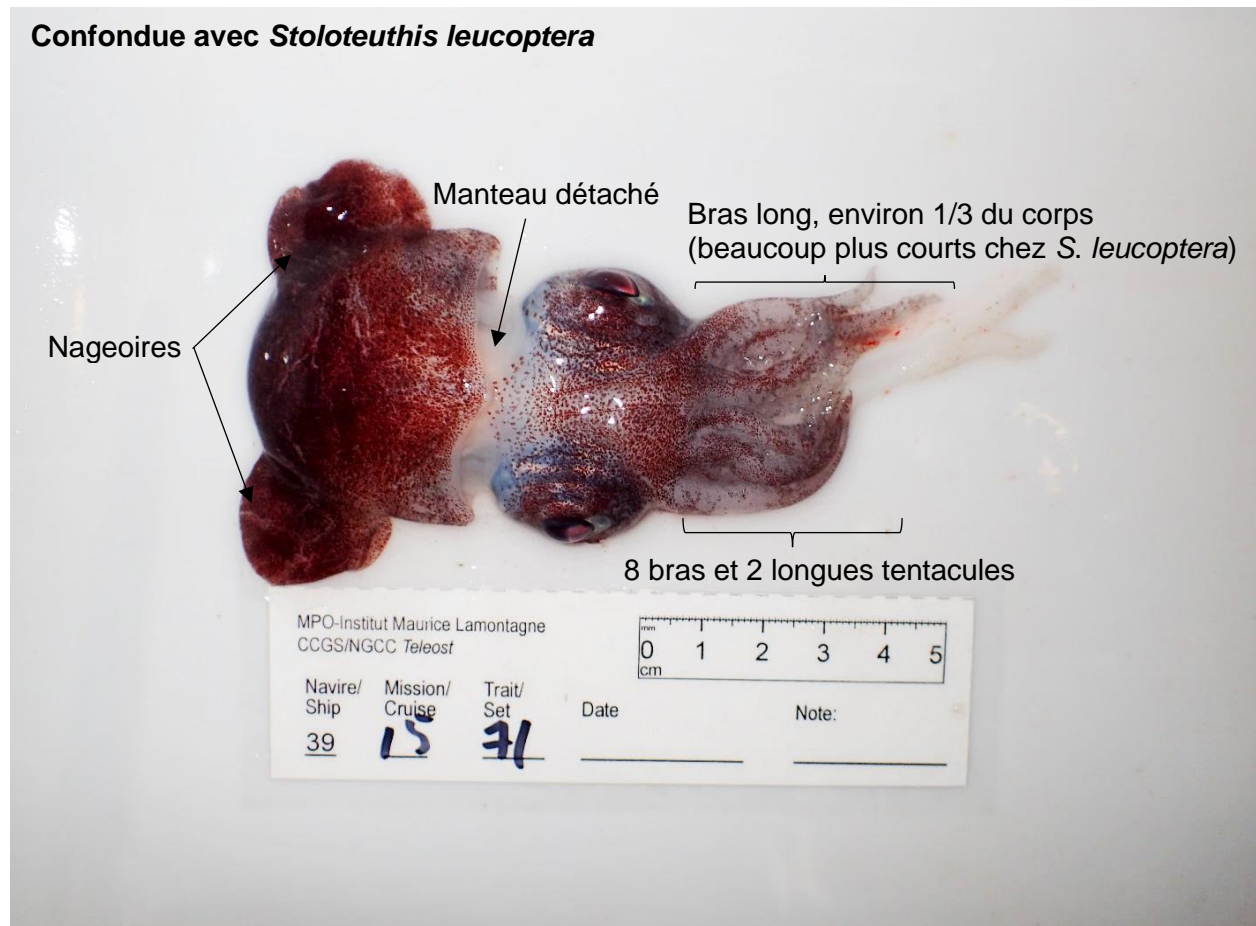
Écologie

- Substrat : sable, vase.
- Benthopélagique.



Identification

Confondue avec *Stoloteuthis leucoptera*



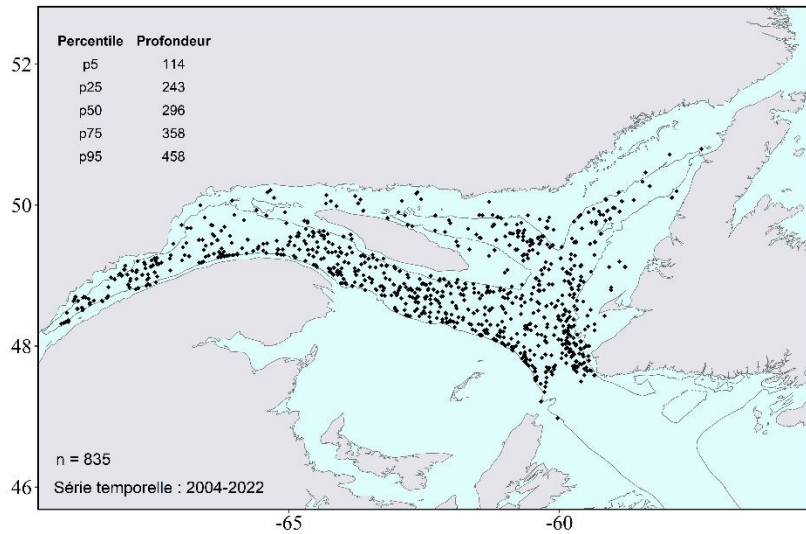


***Bathypolypus bairdii* (A. E. Verrill, 1873)**

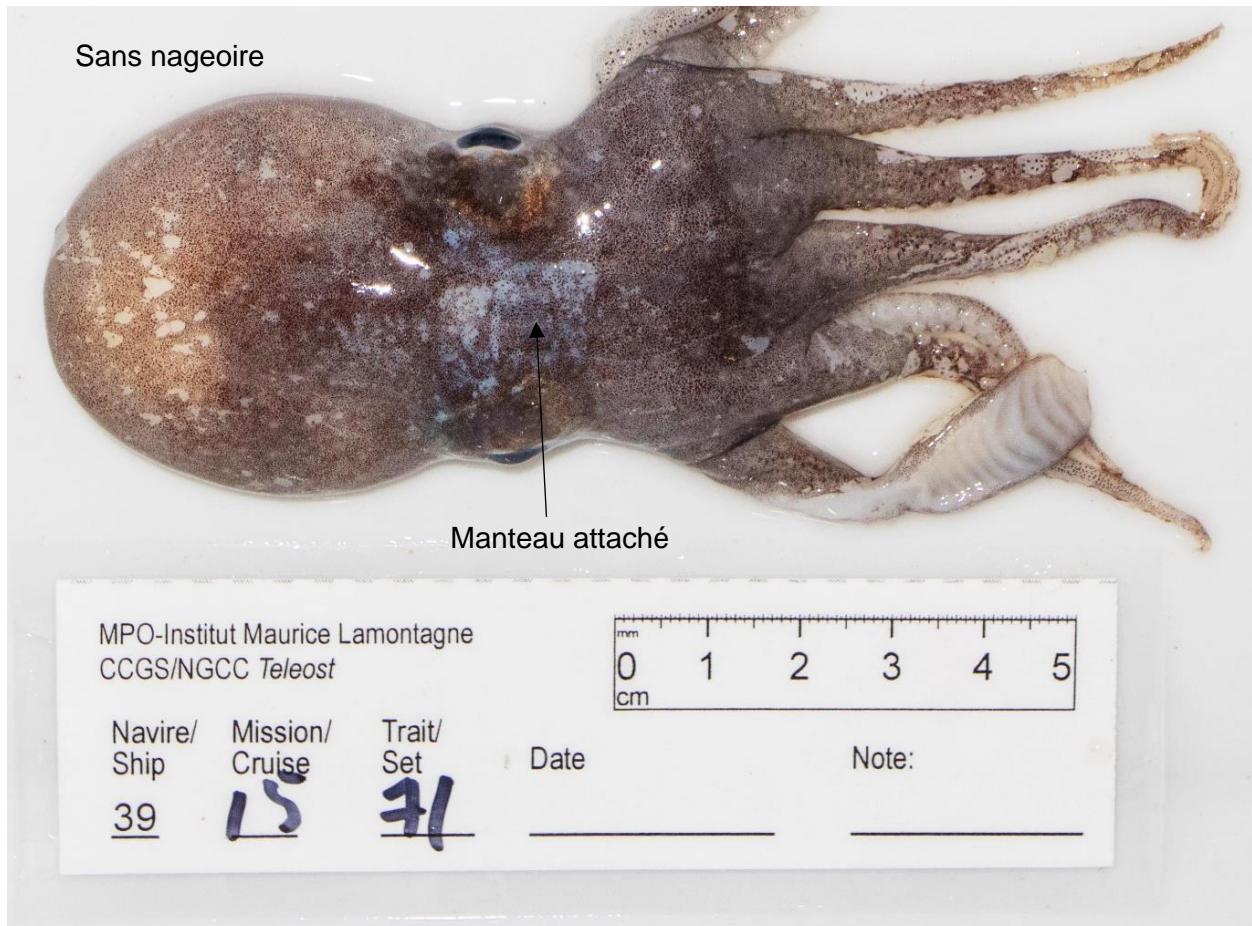
AphiaID: 157011, STRAP: 4904, RVAN: 7724

Écologie

- Substrat : sable, vase.
- Étroitement associée aux masses d'eau dont les températures se situent entre 2 et 8 °C.



Identification



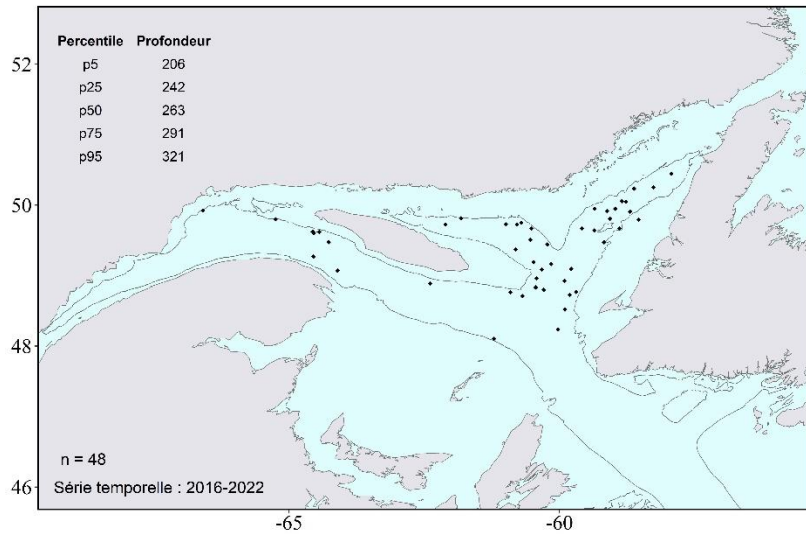


Stoloteuthis leucoptera (A. E. Verrill, 1878)

AphiaID: 157037, STRAP: 4587, RVAN: 4662

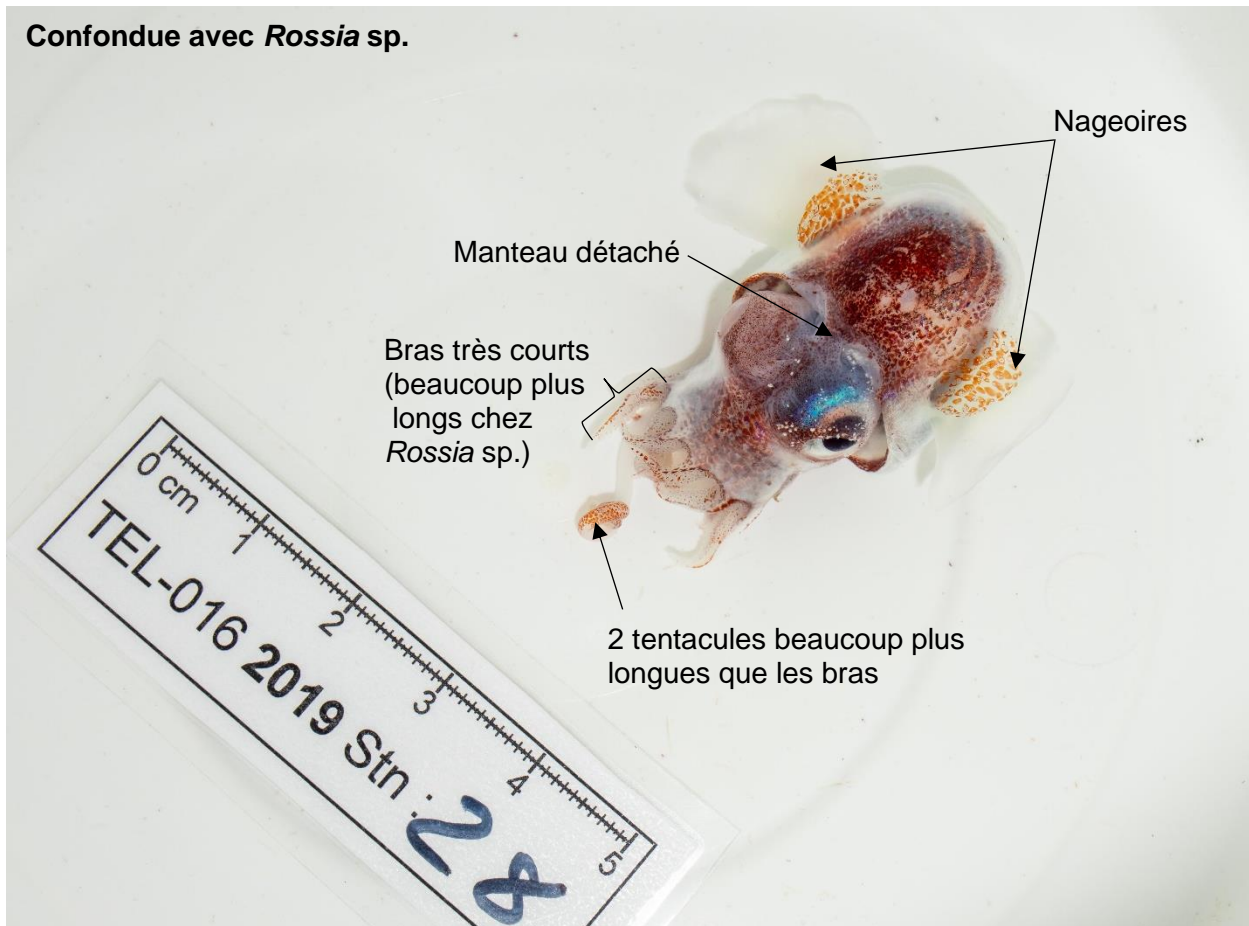
Écologie

- Substrat: NA.
- Pélagique.
- Espèce d'eaux chaudes.



Identification

Confondue avec *Rossia* sp.



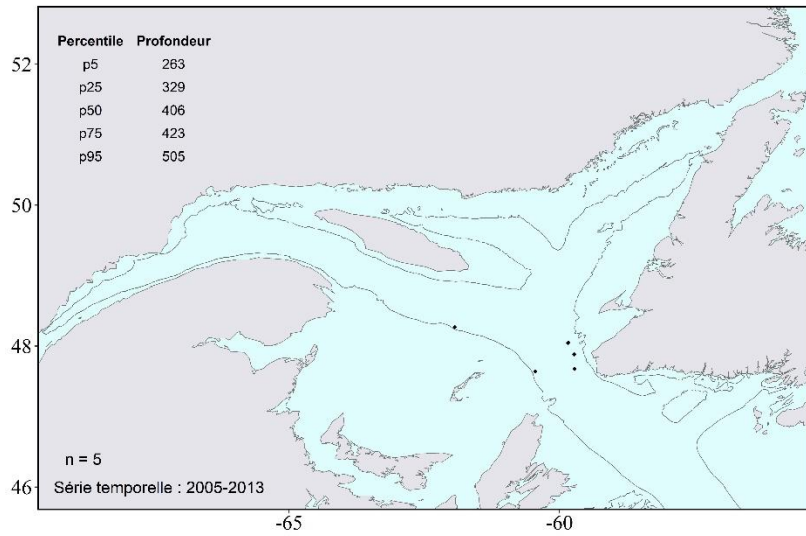


Stauroteuthis syrtensis (A. E. Verrill, 1879)

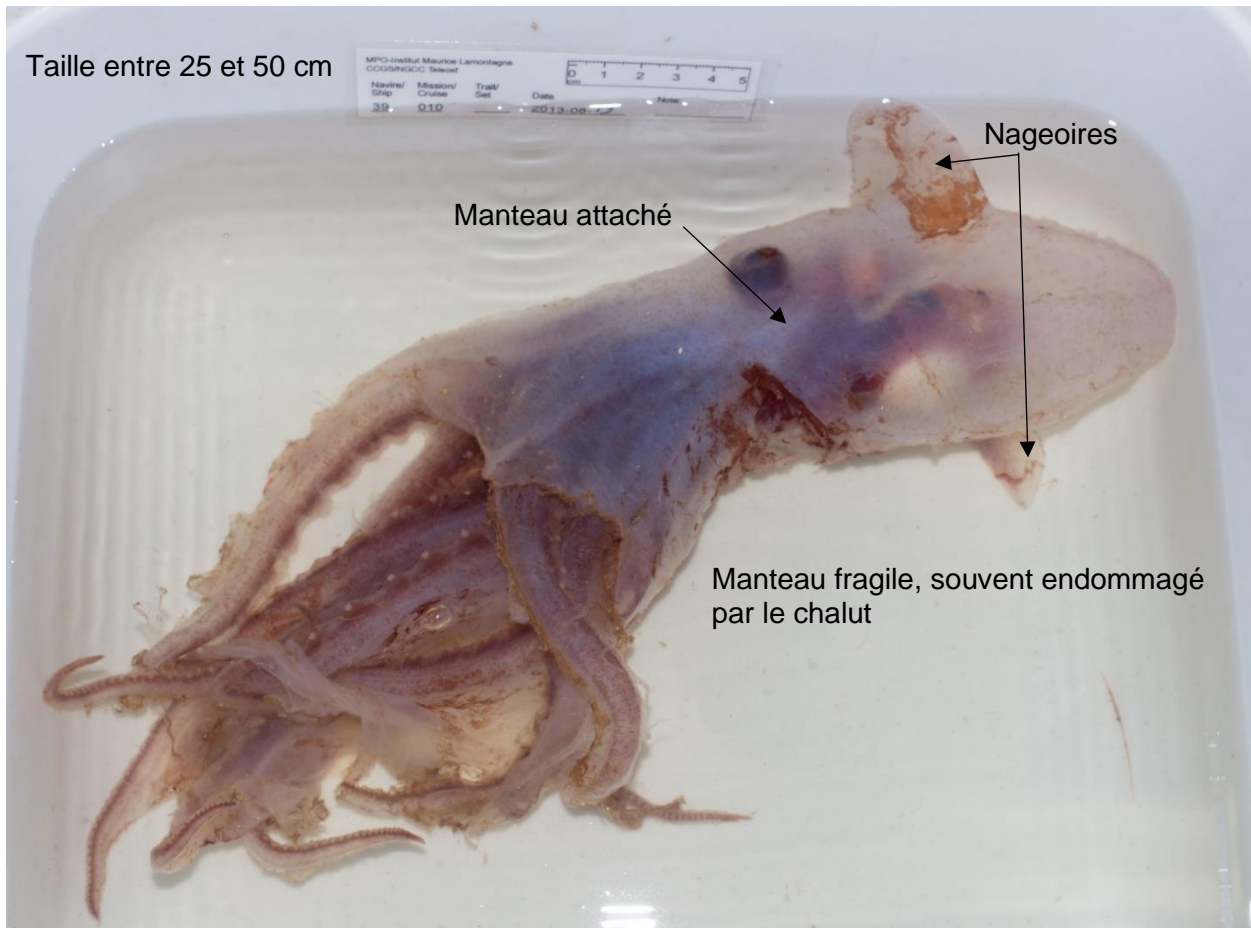
AphiaID: 153122, STRAP: 4853, RVAN: 4661

Écologie

- Substrat : NA.
- Bioluminescente.



Identification



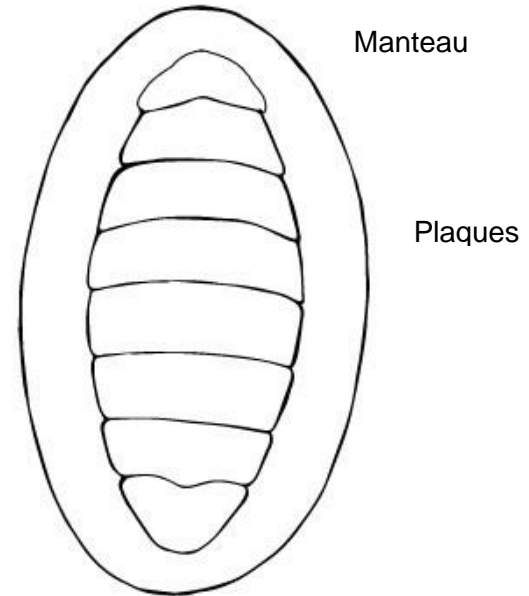
Phylum Mollusca

Classe Polyplacophora (Gray, 1821)

AphiaID: 55, STRAP: 3125, RVAN: 4700

Les chitons sont des organismes marins qui vivent sur des substrats durs, généralement rocheux. La majorité des chitons vivent en milieu intertidal, mais certaines espèces peuvent être retrouvées à de très grandes profondeurs. Les chitons possèdent une **coquille dorsale** formée de huit **plaques** leur conférant une certaine protection. En effet, en plus de la protection physique, les plaques des chitons sont articulées de manière à leur permettre de s'enrouler sur eux-même lorsqu'ils sentent un danger. Les chitons possèdent un pied large sur la face ventrale qui leur permet de se déplacer sur le substrat par reptation. La bouche et l'anus des chitons se trouvent sur la face ventrale de l'organisme, à chacune de ses extrémités.

Trois espèces et une famille de chitons sont observées dans les captures du relevé NGSL. Deux espèces de la famille des Tonicellidae sont capturées lors du relevé, *Tonicella marmorea* et *Boreochiton ruber*. Cependant, une loupe binoculaire est nécessaire pour les distinguer l'une de l'autre. De manière générale, les taxons de chitons sont rarement capturés lors du relevé.



© Laurie Isabel

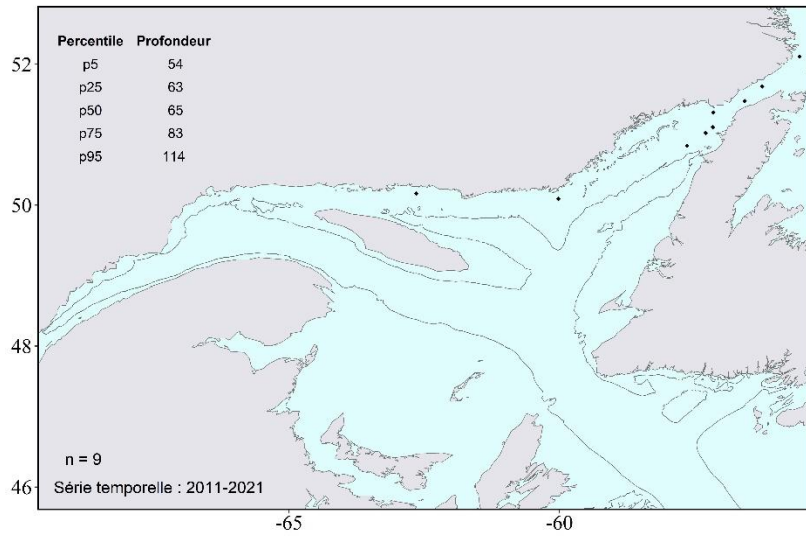


Amicula vestita (Broderip & G. B. Sowerby I, 1829)

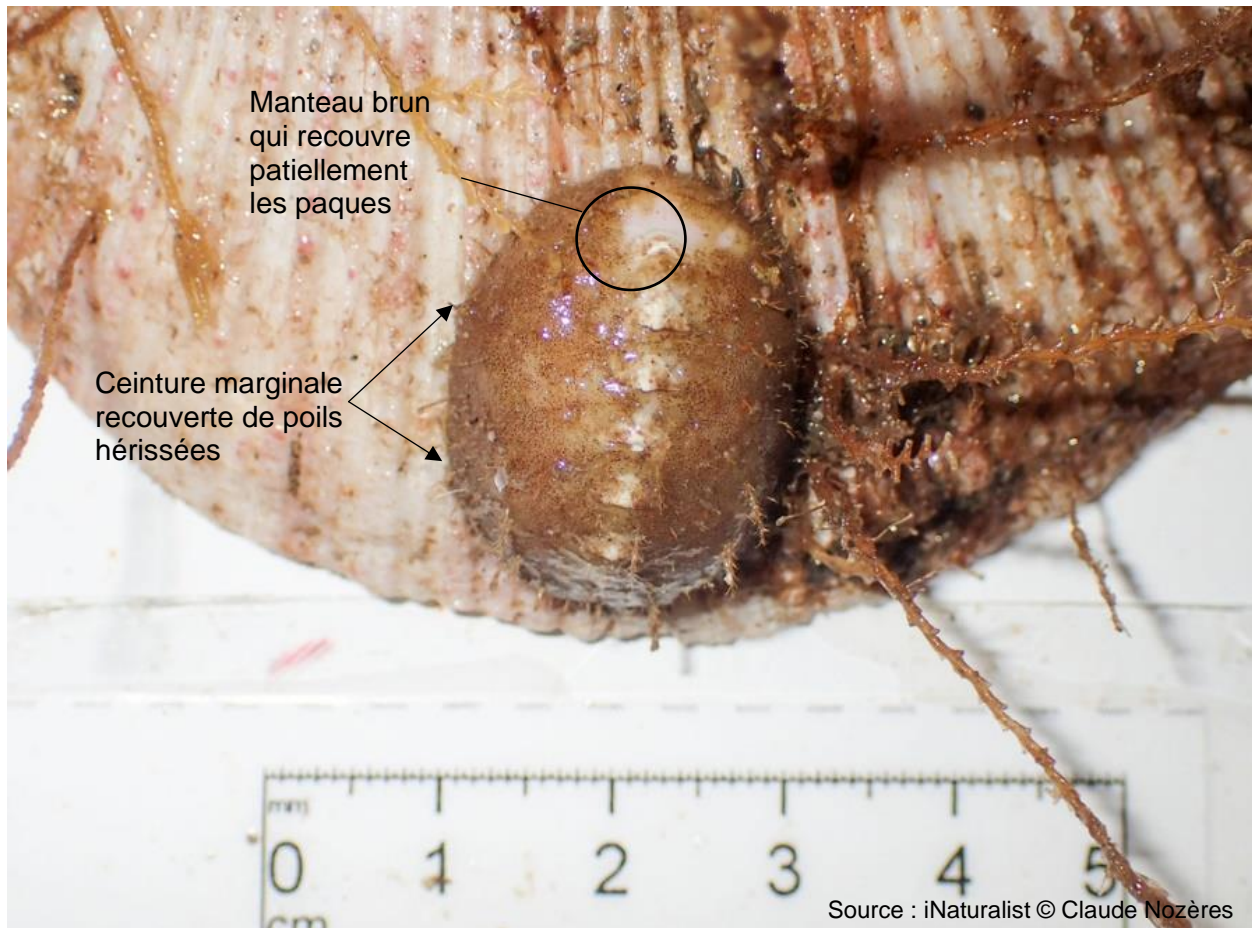
AphiaID: 159928, STRAP: 3164, RVAN: 4711

Écologie

- Substrat : roche.



Identification

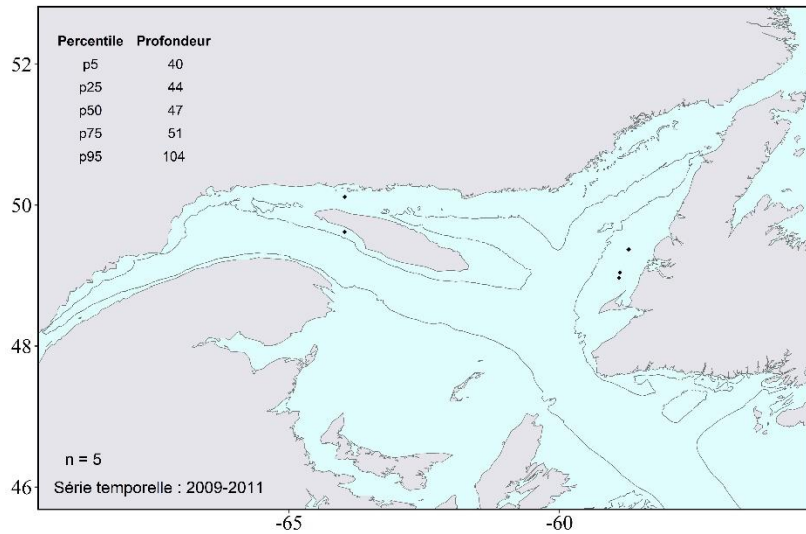




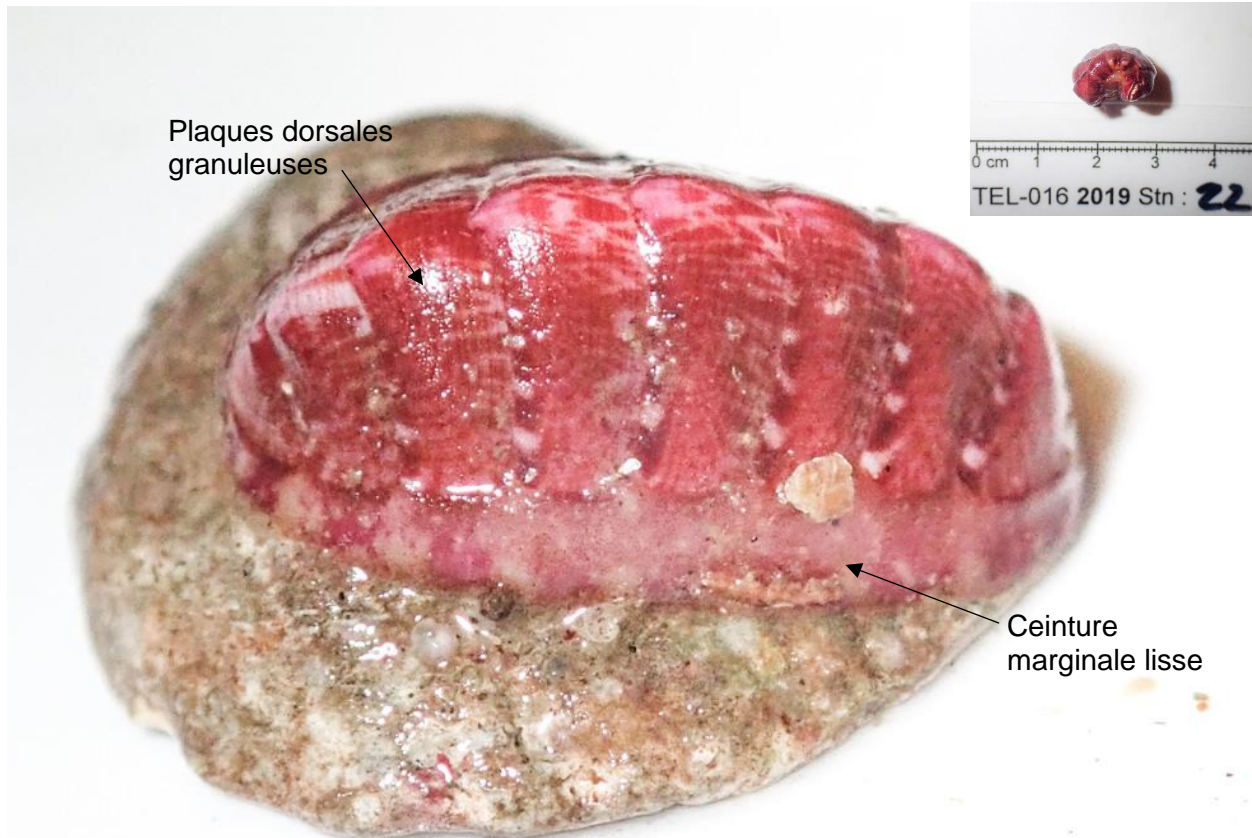
Tonicellidae (Simroth, 1894)
AphiaID: 385500, STRAP: 3133, RVAN: 7762

Écologie

- Substrat : roche.



Identification



Coloration variable, marbrée, allant de brun à rouge

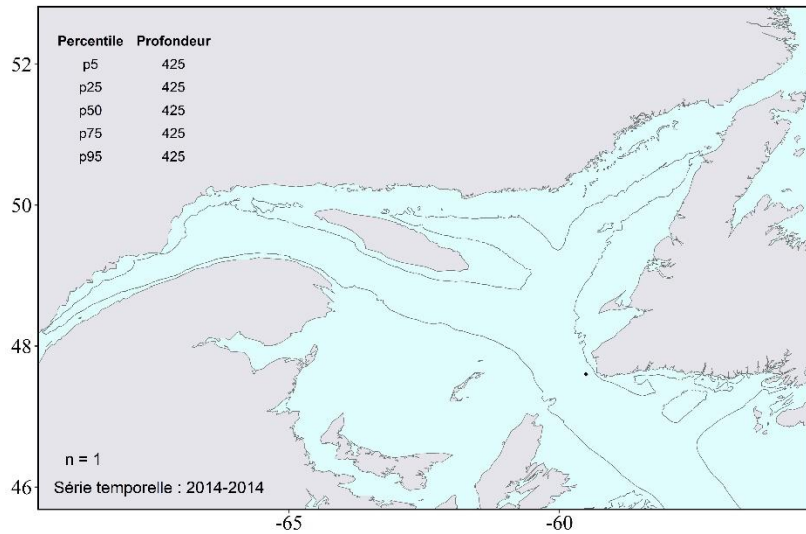
Source : iNaturalist © Claude Nozères



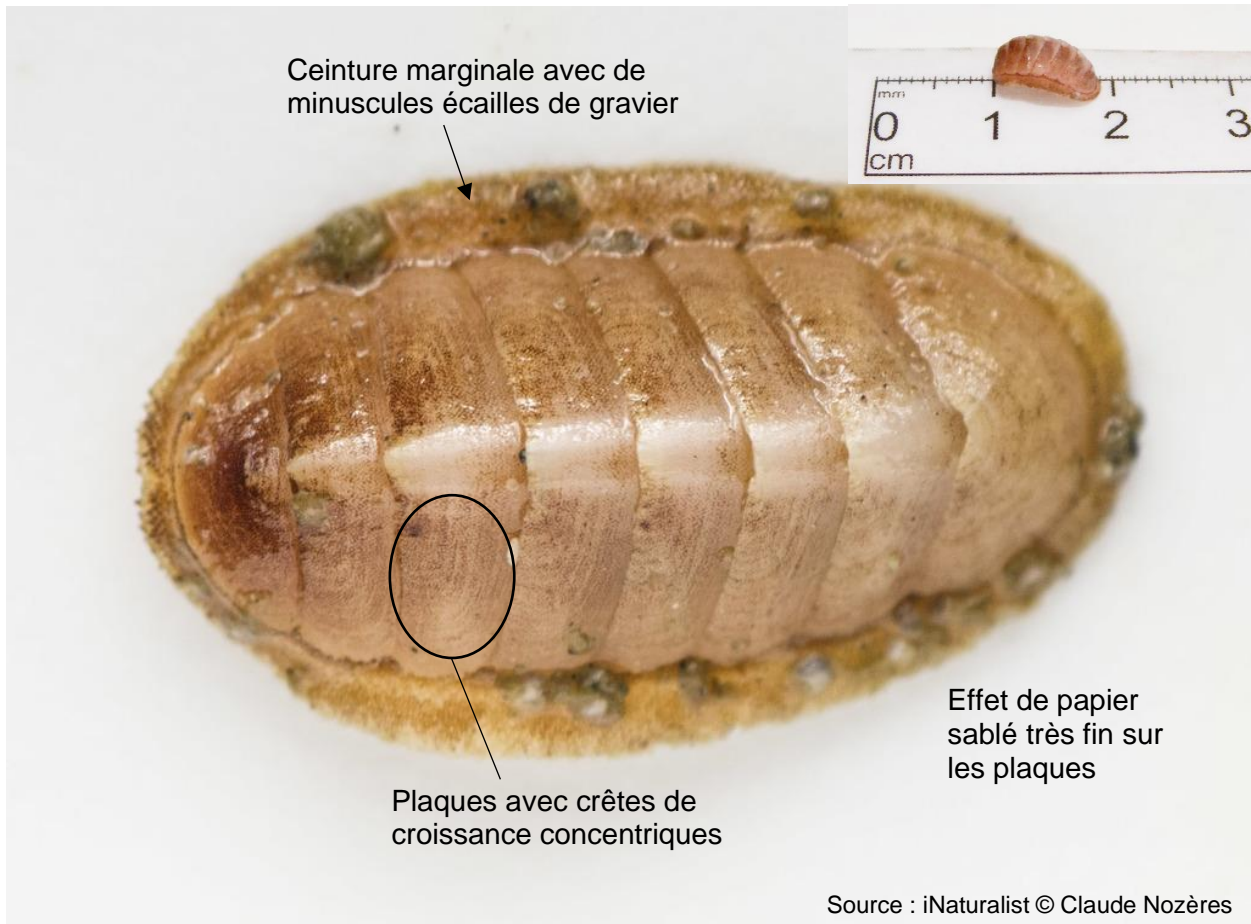
Stenosemus albus (Linnaeus, 1767)
AphiaID: 247773, STRAP: 3145, RVAN: 7764

Écologie

- Substrat : roche.



Identification

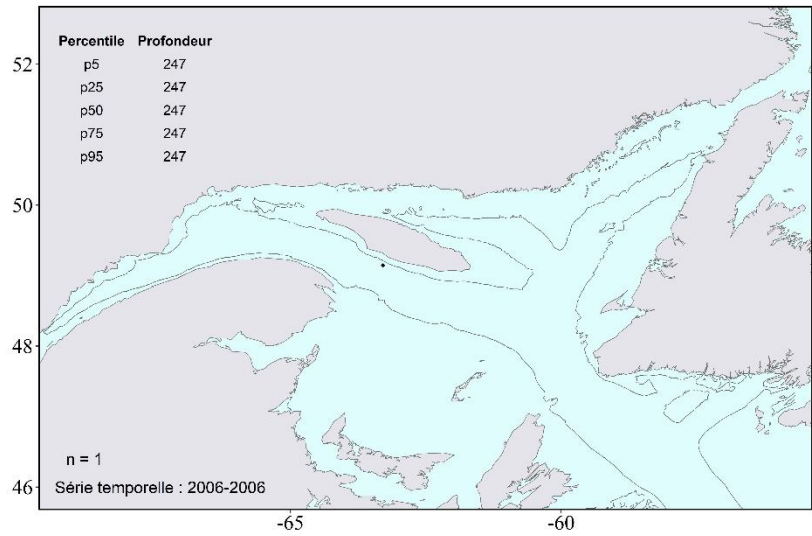




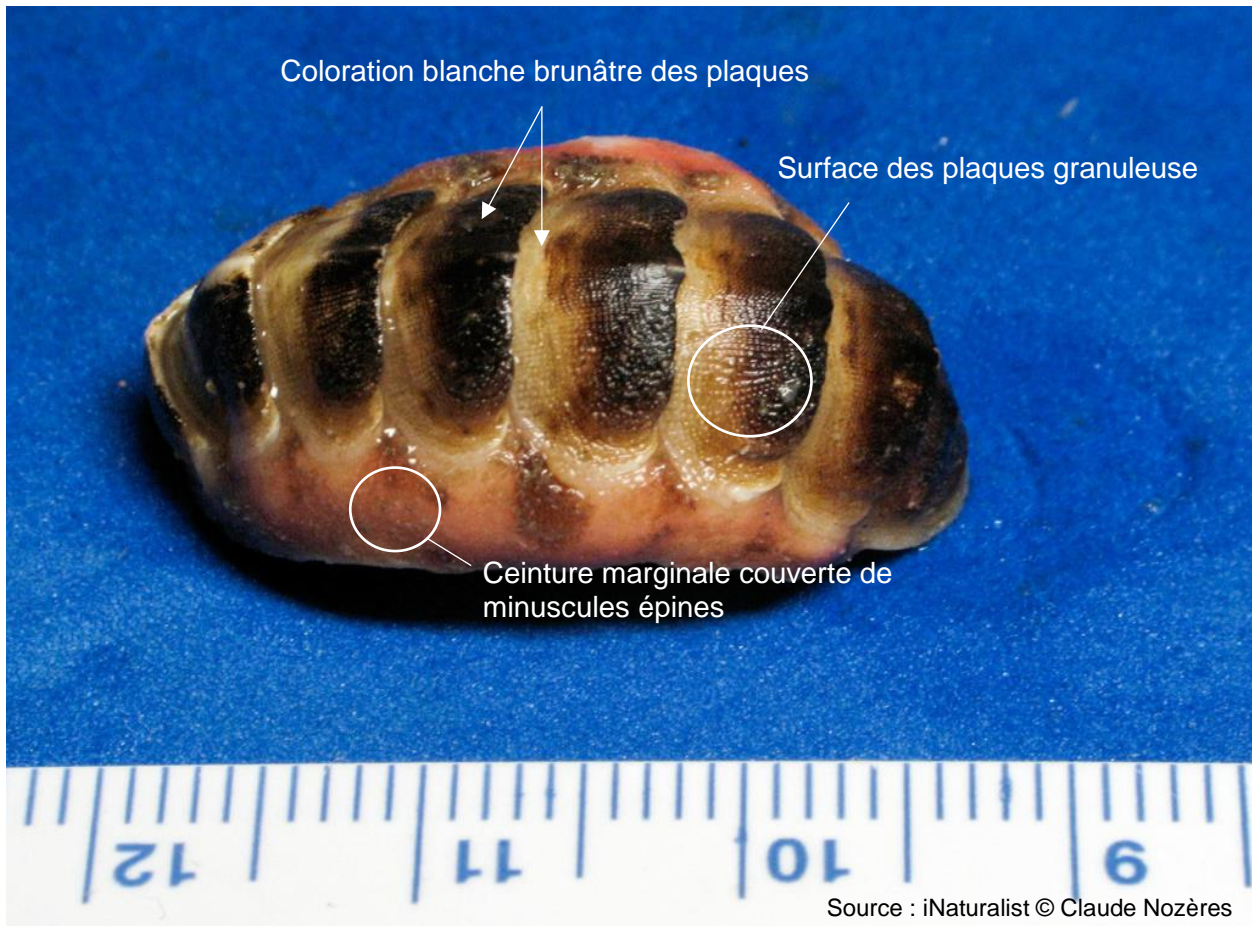
Hanleya hanleyi (W. Bean, 1844)
AphiaID: 140082, STRAP: 3141, RVAN: 7763

Écologie

- Substrat : roche.



Identification

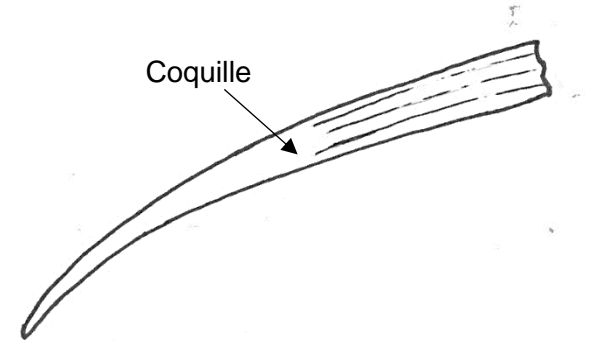


Phylum Mollusca

Classe **Scaphopoda** (Bronn, 1862) AphiaID: **104**, STRAP: **3975**, RVAN: **4110**

Les scaphopodes sont un groupe de mollusque exclusivement marin avec une coquille conique en forme de corne légèrement courbée. La caractéristique la plus distinctive des scaphopodes est que leur coquille est ouverte aux deux extrémités, et non à une seule extrémité comme chez la plupart des mollusques. Les scaphopodes vivent leur vie adulte enfouis dans le sable ou la boue, la tête tournée vers le bas.

Une seule espèce est capturée dans le relevé NGSL, *Antalis occidentalis*.



© Laurie Isabel

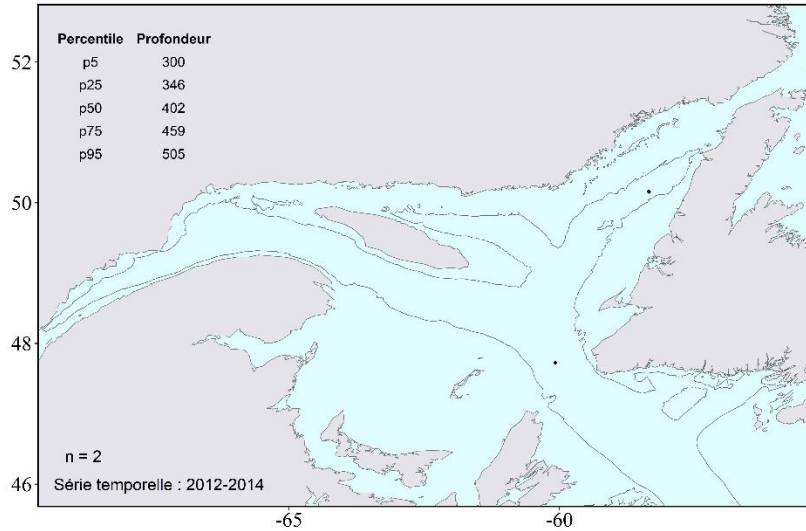


Antalis occidentalis (W. Stimpson, 1851)

AphiaID: 196377, STRAP: 3978, RVAN: 7784

Écologie

- Substrat : sable, vase.
- L'extrémité avec l'ouverture est enfouite dans le sédiment pour capturer les proies y vivant.



Identification



Références

- Amaro, T., Duineveld, G., Bergman, M. et Witbaard, R. 2003. Growth variations in the bivalve *Mya truncata* : A tool to trace changes in the Frisian Front macrofauna (southern North Sea)? Helgoland Marine Research, 57(2), 132-138. <https://doi.org/10.1007/s10152-003-0150-6>
- Ardisson, P. L. et Bourget, E. 1991. Abundance, growth, and production estimation of the blue mussel *Mytilus edulis* on moored navigation buoys in the Estuary and northwestern Gulf of St. Lawrence. Can. J. Fish. Aquat. Sci., 48(12), 2408-2419. <https://doi.org/10.1139/f91-282>
- Bender, K., & Davis, W. R. (1984). The effect of feeding by *Yoldia limatula* on bioturbation. Ophelia, 23(1), 91-100. <https://doi.org/10.1080/00785236.1984.10426606>
- Brêthes, J.-C. F., Desrosiers, G. et Fortin Jr, G. 1986. Croissance et production du bivalve *Mesodesma arctatum* (Conrad) sur la côte nord du golfe du Saint-Laurent. Can. J. Zool., 64(9), 1914-1919. <https://doi.org/10.1139/z86-287>
- Brunel, P., Bossé, L. et Lamarche, G. 1998. Catalogue des invertébrés marins de l'estuaire et du golfe du Saint-Laurent. Publ. spéc. sci. halieut. aquat. 126. 405 p.
- Camus, L., Birkely, S. R., Jones, M. B., Borseth, J. F., Grosvik, B. E., Gulliksen, B., Lonne, O. J., Regoli, F. et Depledge, M. H. 2003. Biomarker responses and PAH uptake in *Mya truncata* following exposure to oil-contaminated sediment in an Arctic fjord (Svalbard). Sci. Total Environ., 308(1-3), 221-234. [https://doi.org/10.1016/S0048-9697\(02\)00616-2](https://doi.org/10.1016/S0048-9697(02)00616-2)
- Chavanich, S. et Harris, L. G. 2002. The Influence of macroalgae on seasonal abundance and feeding preference of a subtidal snail, *Lacuna Vincta* (Montagu) (Littorinidae) in the Gulf of Maine. J. Molluscan Stud., 68(1), 73-78. <https://doi.org/10.1093/mollus/68.1.73>
- Coelho, M. L., Stobberup, K. A., O'Dor, R. et Dawe, E. G. 1994. Life history strategies of the squid, *Illex illecebrosus*, in the Northwest Atlantic. Aquat. Living Resour., 7(4), 233-246. <https://doi.org/10.1051/alr:1994026>
- Coughlan, E., Hynick, E. et Skanes, K. 2021. Statut du pétoncle d'Islande (*Chlamys islandica*) dans la zone transfrontalière franco-canadienne (boîte à pétoncles) du banc de Saint-Pierre en 2017. Secr. can. de consult. sci. du MPO. Doc. de rech. 2021/071. iv + 20 p.
- Dando, P. R. et Southward, A. J. 2009. Chemoautotrophy in bivalve molluscs of the genus *Thyasira*. J. Mar. Biol. Assoc., 66(4), 915-929. <https://doi.org/10.1017/s0025315400048529>
- Dunlop, K., Harendza, A., Plassen, L. et Keeley, N. 2020. Epifaunal habitat associations on mixed and hard bottom substrates in coastal waters of northern Norway. Front. Mar. Sci., 7. <https://doi.org/10.3389/fmars.2020.568802>
- Duperron, S., Gaudron, S. M., Rodrigues, C. F., Cunha, M. R., Decker, C. et Olu, K. 2013. An overview of chemosynthetic symbioses in bivalves from the North Atlantic and Mediterranean Sea. Biogeosciences, 10(5), 3241-3267. <https://doi.org/10.5194/bg-10-3241-2013>

- Ekimova, I., Valdes, A., Chichvarkhin, A., Antokhina, T., Lindsay, T. et Schepetov, D. 2019. Diet-driven ecological radiation and allopatric speciation result in high species diversity in a temperate-cold water marine genus *Dendronotus* (Gastropoda: Nudibranchia). *Mol. Phylogenet. Evol.*, 141, 106609. <https://doi.org/10.1016/j.ympev.2019.106609>
- Flyachinskaya, L. P. et Lezin, P. A. 2020. Larval and juvenile development of the Iceland cockle *Ciliatocardium ciliatum* (Fabricius, 1780) (Bivalvia: Cardiidae). *Proceedings ZIN*, 324(2), 242-251. <https://doi.org/10.31610/trudyzin/2020.324.2.242>
- Gaudron, S. M., Lefebvre, S. et Marques, G. M. 2021. Inferring functional traits in a deep-sea wood-boring bivalve using dynamic energy budget theory. *Sci. Rep.*, 11(1), 22720. <https://doi.org/10.1038/s41598-021-02243-w>
- Guderley, H. E., Himmelman, J. H., Nadeau, M., Cortes, H. P., Tremblay, I. et Janssoone, X. 2015. Effect of different predators on the escape response of *Placopecten magellanicus*. *Marine Biol.*, 162(7), 1407-1415. <https://doi.org/10.1007/s00227-015-2677-x>
- Gulbin, V. V. et Golikov, A. N. 1997. A review of the prosobranch family Velutinidae in cold and temperate waters of the Northern Hemisphere. I. Capulacmaeinae. *Ophelia*, 47(1), 43-54. <https://doi.org/10.1080/00785326.1997.10433389>
- Innes, D. J. et Bates, J. A. 1999. Morphological variation of *Mytilus edulis* and *Mytilus trossulus* in eastern Newfoundland. *Marine Biol.*, 133(4), 691-699. <https://doi.org/10.1007/s002270050510>
- Jaramillo, J. R. et Thompson, R. J. 2008. The reproductive response of the protobranch bivalve *Yoldia hyperborea* to an intermittent influx of phytodetritus. An experimental approach. *J. Exp. Mar. Biol. Ecol.*, 357(1), 57-63. <https://doi.org/10.1016/j.jembe.2007.12.027>
- Kamenev, G. M., Kavun, V. Y., Tarasov, V. G. et Fadeev, V. I. 2004. Distribution of bivalve mollusks *Macoma golikovi* Scarlato and Kafanov, 1988 and *Macoma calcarea* (Gmelin, 1791) in the shallow-water hydrothermal ecosystem of Kraternaya Bight (Yankich Island, Kuril Islands): connection with feeding type and hydrothermal activity of Ushishir Volcano. *Cont. Shelf Res.*, 24(1), 75-95. <https://doi.org/10.1016/j.csr.2003.09.006>
- Lundin, K., Korshunova, T., Malmberg, K., Martynov, A. et Hoeksema, B. W. 2017. Intersection of historical museum collections and modern systematics: a relict population of the Arctic nudibranch *Dendronotus velifer* G.O. Sars, 1878 in a Swedish fjord. *Contrib. Zool.*, 86(4), 303-318. <https://doi.org/10.1163/18759866-08604004>
- Mercer, M. C. 1968. Systematics and biology of the sepiolid squids of the genus *Rossia* Owen, 1835 in Canadian waters with a preliminary review of the genus. Thèse de doctorat. Memorial University of Newfoundland.
- Muus, B. 2002. The *Bathypolypus-Benthoctopus* problem of the North Atlantic (Octopodidae, Cephalopoda). *Malacologia*, 44, 175-222. <https://www.biodiversitylibrary.org/part/2780>
- Nozères, C., Archambault, D. et Miller, R. 2014. Photo-catalogue d'invertébrés de l'estuaire et du nord du golfe du Saint-Laurent des relevés au chalut (2005-2013). *Rapp. manus. can. sci. halieut. aquat.*, 3035: iv + 221 p.

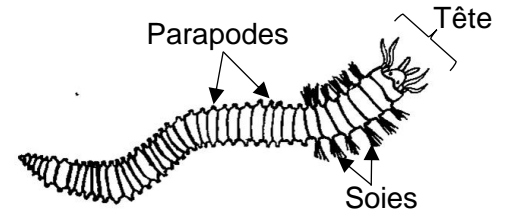
- Roura, A., Guerra, A., Gonzalez, A. F. et Pascual, S. 2010. Sperm ultrastructure in *Bathypolypus bairdii* and *B. sponsalis* (Cephalopoda: Octopoda). *J. morphol.*, 271(2), 143-151. <https://doi.org/10.1002/jmor.10787>
- Saleuddin, A. S. M. 1965. The mode of life and functional anatomy of *Astarte* spp. (Eulamellibranchia). *J. Molluscan Stud.*, 36(4), 229-257. <https://doi.org/10.1093/oxfordjournals.mollus.a064952>
- Sargent, P. S., Hamel, J. F. et Mercier, A. 2019. The life history and feeding ecology of velvet shell, *Velutina velutina* (Gastropoda: Velutinidae), a specialist predator of ascidians. *Can. J. Zool.*, 97(12), 1164-1176. <https://doi.org/10.1139/cjz-2018-0327>
- Sejr, M. K., Sand, M. K., Jensen, K. T., Petersen, J. K., Christensen, P. B. et Rysgaard, S. 2002. Growth and production of *Hiatella arctica* (Bivalvia) in a high-Arctic fjord (Young Sound, Northeast Greenland). *Mar. Ecol. Prog. Ser.*, 244, 163-169. <https://doi.org/DOI10.3354/meps244163>
- Sisson, C. G. 2005. Life history dynamics and biogeography of a nudibranch with contrasting developmental modes: A hypothesis for the evolution of larval types. *J. Nat. Hist.*, 39(20), 1719-1733. <https://doi.org/10.1080/00222930400024709>
- Sisson, C. G. 2005. Veligers from the nudibranch *Dendronotus frondosus* show shell growth and extended planktonic period in laboratory culture. *Hydrobiologia*, 541(1), 205-213. <https://doi.org/10.1007/s10750-004-5708-z>
- Sohl, N. F. 1979. Gastropoda. In *Paleontology* (pp. 337-346). Springer, Berlin. https://doi.org/10.1007/3-540-31078-9_64
- Toro, J. E., Thompson, R. J. et Innes, D. J. 2002. Reproductive isolation and reproductive output in two sympatric mussel species (*Mytilus edulis*, *M. trossulus*) and their hybrids from Newfoundland. *Marine Biol.*, 141(5), 897-909. <https://doi.org/10.1007/s00227-002-0897-3>
- Valdés, Á., Murillo, F. J., McCarthy, J. B. et Yedinak, N. 2016. New deep-water records and species of North Atlantic nudibranchs (Mollusca, Gastropoda: Heterobranchia) with the description of a new species. *J. Mar. Biol. Assoc.*, 97(2), 303-319. <https://doi.org/10.1017/s0025315416000394>
- Villanueva, R., Perricone, V. et Fiorito, G. 2017. Cephalopods as predators: A short journey among behavioral flexibilities, adaptations, and feeding habits. *Front. Physiol.*, 8, 598. <https://doi.org/10.3389/fphys.2017.00598>
- Yakovis, E. et Artemieva, A. 2015. Bored to death: Community-wide effect of predation on a foundation species in a low-disturbance arctic subtidal system. *PLoS One*, 10(7), e0132973. <https://doi.org/10.1371/journal.pone.0132973>

Annelida

Phylum Annelida

Classe **Polychaeta** (Grube, 1850) AphiaID: **883**, STRAP: **4950**, RVAN: **3100**

Les polychètes sont parmi les organismes marins les plus communs. Ils se retrouvent dans une très grande diversité d'habitats allant des profondeurs de l'océan, enfouis dans la boue et le sable, jusqu'à flotter librement près de la surface de l'eau. Les polychètes ont deux modes de vie. Les polychètes errants sont des formes libres, nageuses, alors que les polychètes sédentaires vivent enfouis dans le sable ou dans un tube. Les polychètes sont des vers segmentés avec, généralement, des **parapodes** portant des **soies** sur chacun de leurs segments. Ils possèdent une tête bien développée avec des yeux, des antennes et des palpes sensoriels. Leur pharynx, appelé **proboscis**, est rétractible et porte souvent des dents ou des crochets leur permettant de capturer leurs proies.



© Laurie Isabel

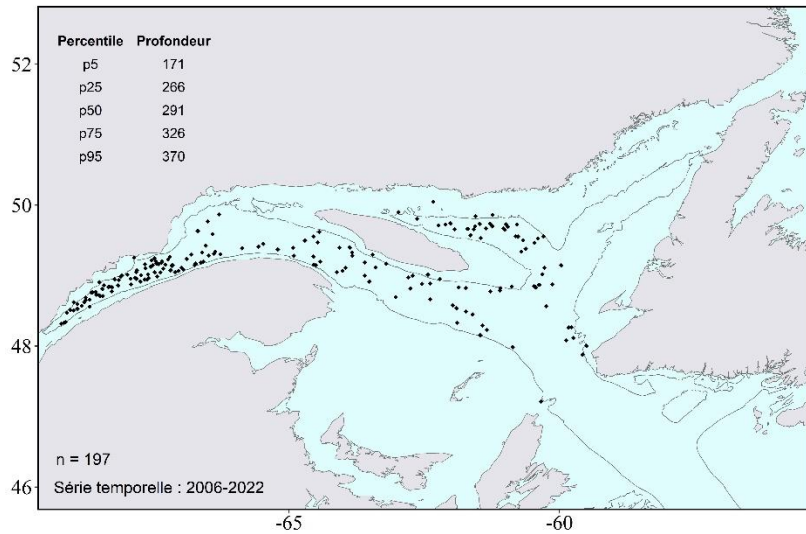
La plupart des polychètes sont endobenthiques (vivent dans les sédiments) ce qui rend leur capture très difficile avec un chalut. Plus de 300 espèces de polychètes vivent dans le golfe du Saint-Laurent, mais seule une petite fraction d'entre elles sont observées dans les captures du relevé NGSL. La plupart des espèces capturées sont enregistrées à la classe Polychaeta puisque leur identification nécessite une loupe binoculaire. Quelques spécimens sont identifiés à la famille directement sur le navire (Polynoidae et Pectinariidae).



Aphrodita hastata (Moore, 1905)
AphiaID: 157181, STRAP: 5002, RVAN: 3200

Écologie

- Substrat : vase.



Identification

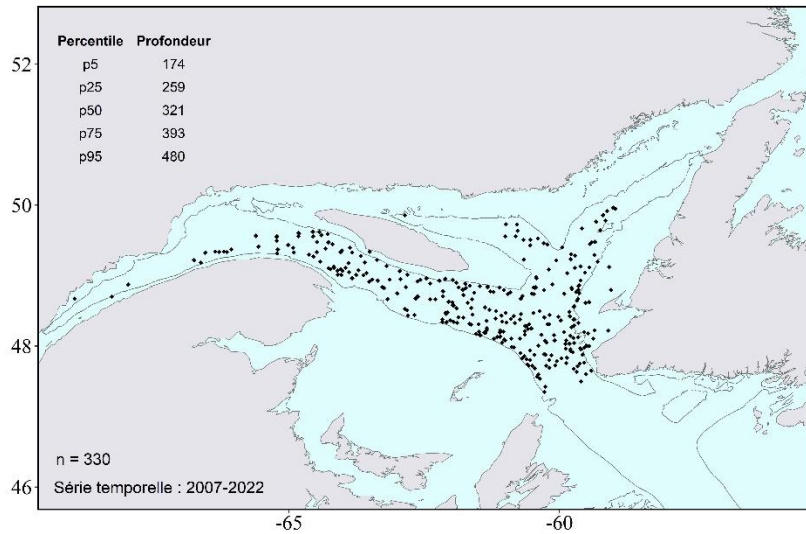




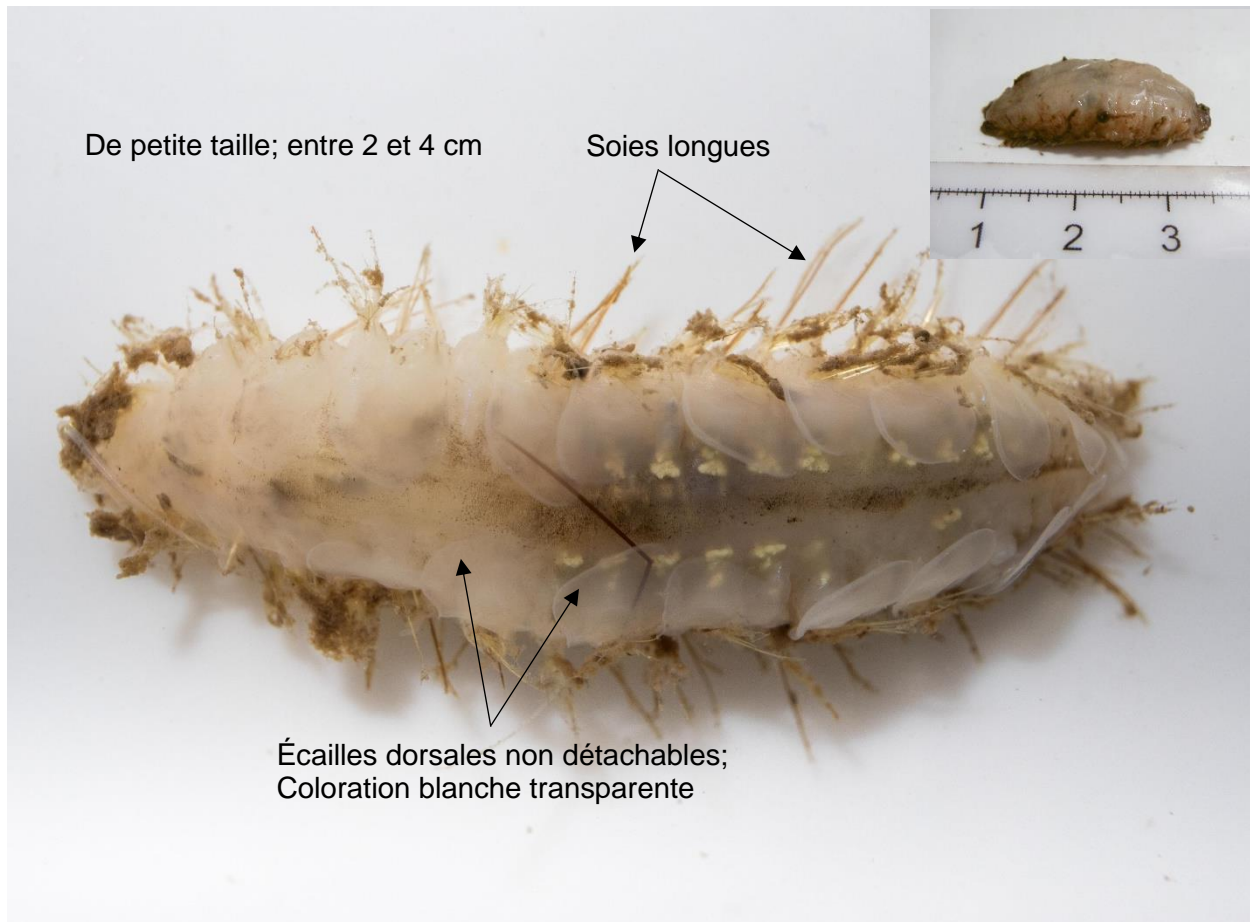
Laetmonice filicornis (Kinberg, 1856)
AphiaID: 129844, STRAP: 5003, RVAN: 7725

Écologie

- Substrat : sable, vase.



Identification

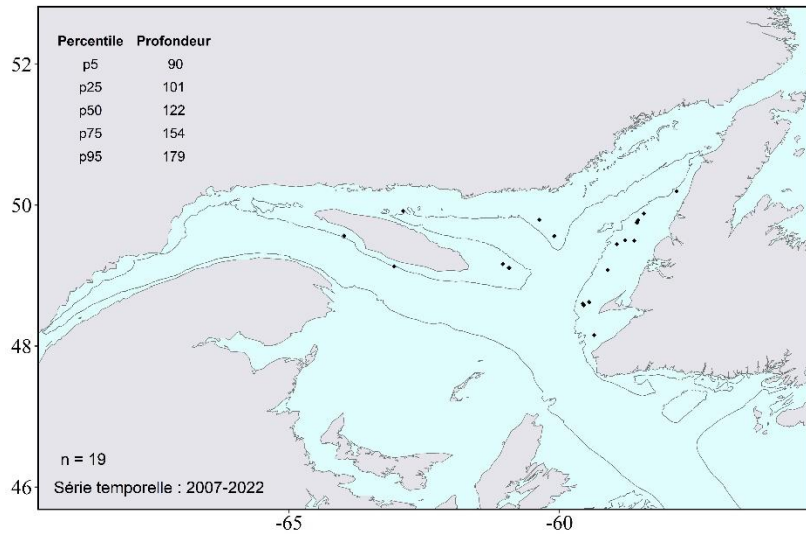




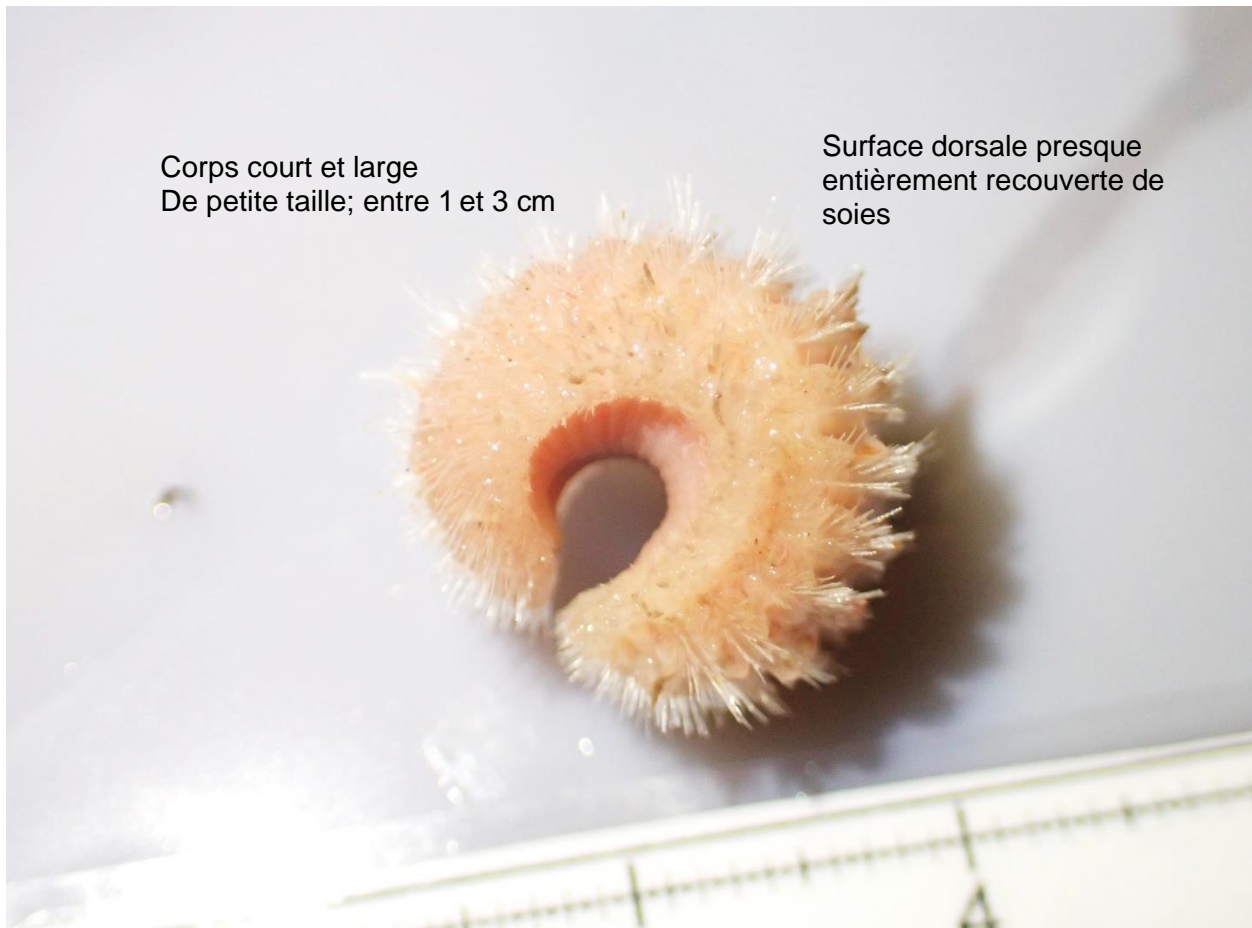
Euphrosine borealis (Örsted, 1843)
AphiaID: 130081, STRAP: 5461, RVAN: 7794

Écologie

- Substrat : tous types.



Identification

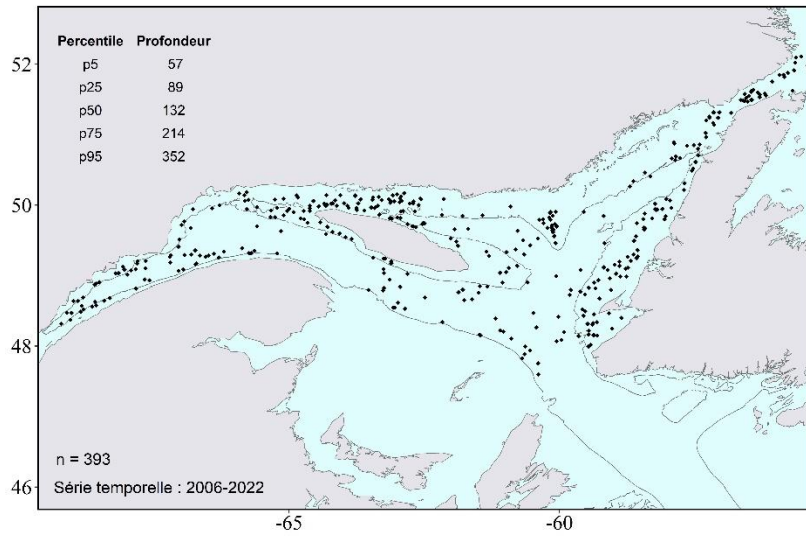




Polynoidae (Kinberg, 1856)
AphiaID: 939, STRAP: 5007, RVAN: 3500

Écologie

- Substrat : tous types.



Identification

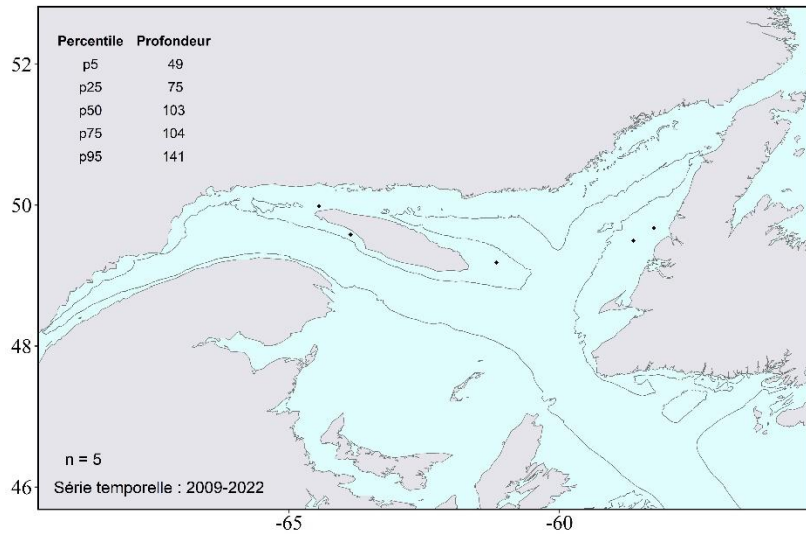




Phyllodoce groenlandica (Örsted, 1842)
 AphiaID: 334506, STRAP: 4955, RVAN: 3111

Écologie

- Substrat : roche.



Identification

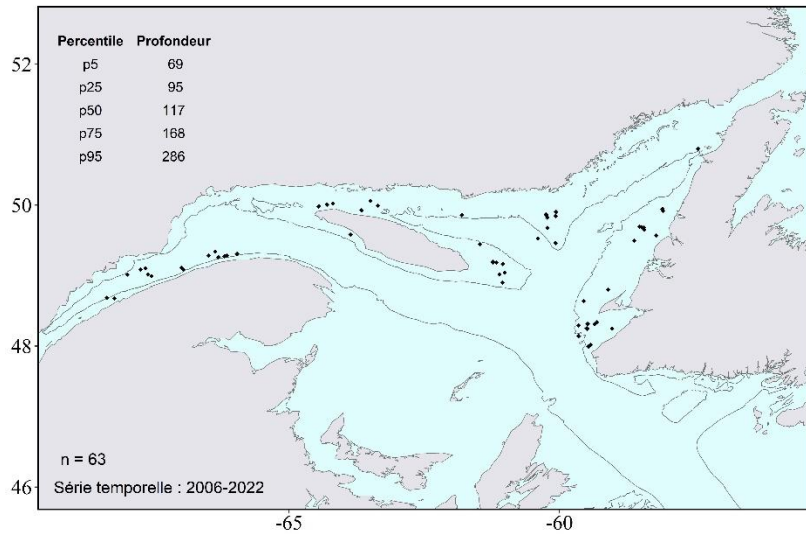




Brada inhabilis (Rathke, 1843)
AphiaID: 130097, STRAP: 5755, RVAN: 7795

Écologie

- Substrat : ND.



Identification

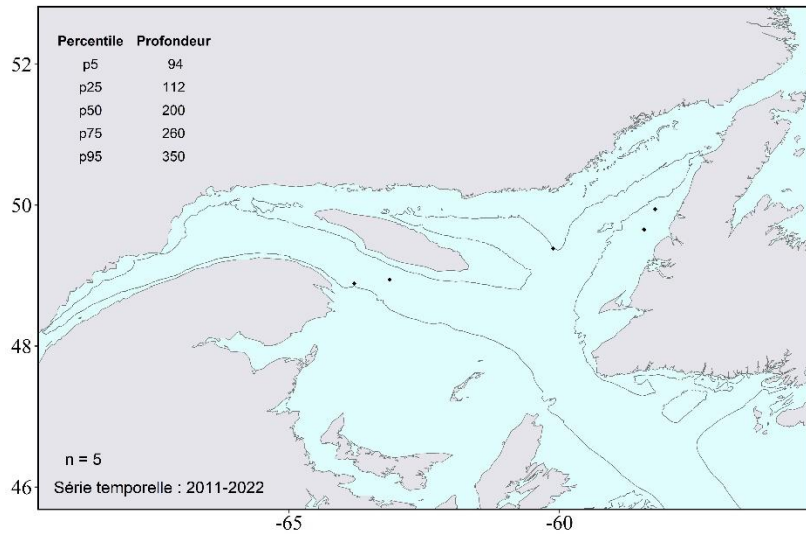




Pectinariidae (Quatrefages, 1866)
AphiaID: 980, STRAP: 5615, RVAN: 3139

Écologie

- Substrat : sable, vase.
- Vivent dans des tubes qu'ils construisent.



Identification



Tubes fait de grains de sable



Corps court et conique

Chaetaes longs, robustes et légèrement incurvés

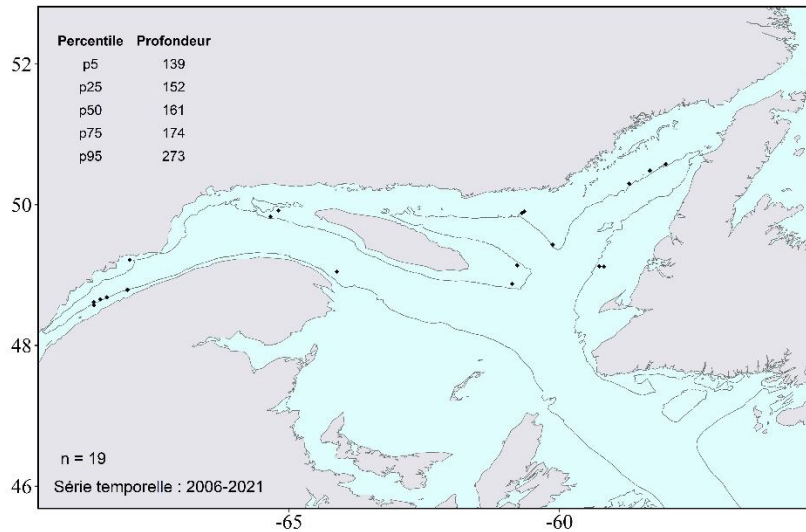


Hamingia arctica (Danielssen & Koren, 1880)

AphiaID: 110364, STRAP: 5934, RVAN: 7797

Écologie

- Substrat : NA.



Identification

Identification difficile, car peu de caractères externes distinctifs; prendre en photo et rapporter le spécimen si possible

Petite taille; maximum 6 cm

Coloration verdâtre, parfois très foncée

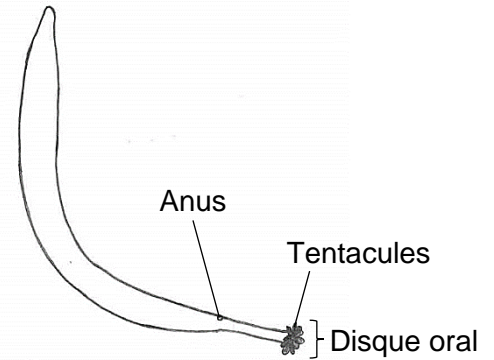


Phylum Annelida

Ordre **Sipuncula** (Stephen, 1965) AphiaID: **1268**, STRAP: **5900**, RVAN: **3300**

Les siponcles sont des organismes marins vermiformes qui vivent cachés dans les sédiments, dans des crevasses ou dans de vieux coquillages. Ils sont souvent confondus avec les annélides. Les siponcles ne présentent aucune segmentation et ne portent pas de soie. La portion antérieure de l'organisme, portant à son extrémité la **bouche**, est appelée l'**introvert** et est rétractile. La bouche est entourée par un cercle de **tentacules**. L'**anus** est situé sur le côté de l'organisme, plus près de la portion antérieure que de la portion postérieure.

Deux espèces de siponcles sont capturées dans le relevé NGSL, soit *Golfingia* (*Golfingia*) *margaritacea* et *Phascolion* (*Phascolion*) *strombus strombus*.



© Laurie Isabel

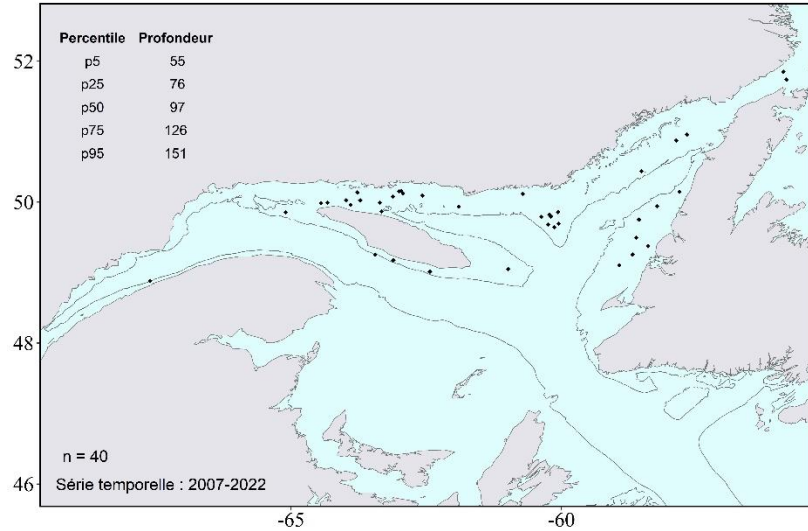


Golfingia (Golfingia) margaritacea (Sars, 1851)

AphiaID: 175027, STRAP: 5902, RVAN: 7796

Écologie

- Substrat : sable, vase.
- Vit enfouie dans les sédiments.



Identification



Corps lisse et ferme

Coloration dorée

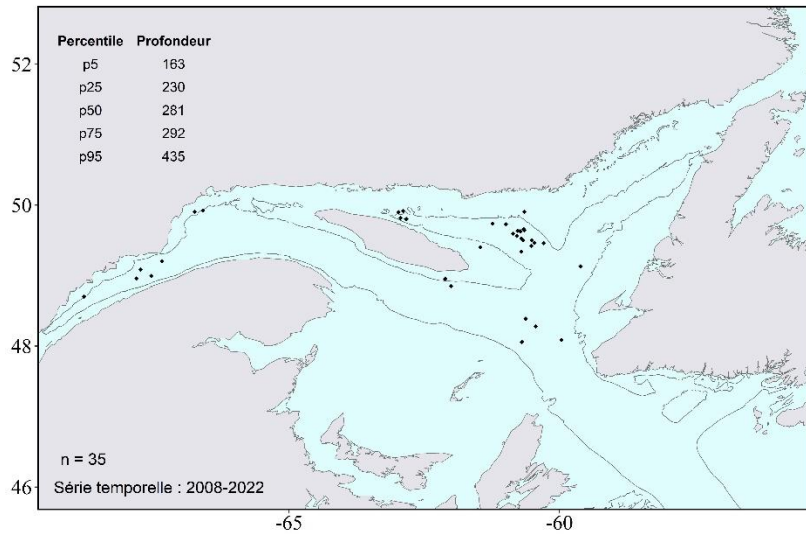


Phascolion (Phascolion) strombus strombus (Montagu, 1804)

AphiaID: 410749, STRAP: 5907, RVAN: 3314

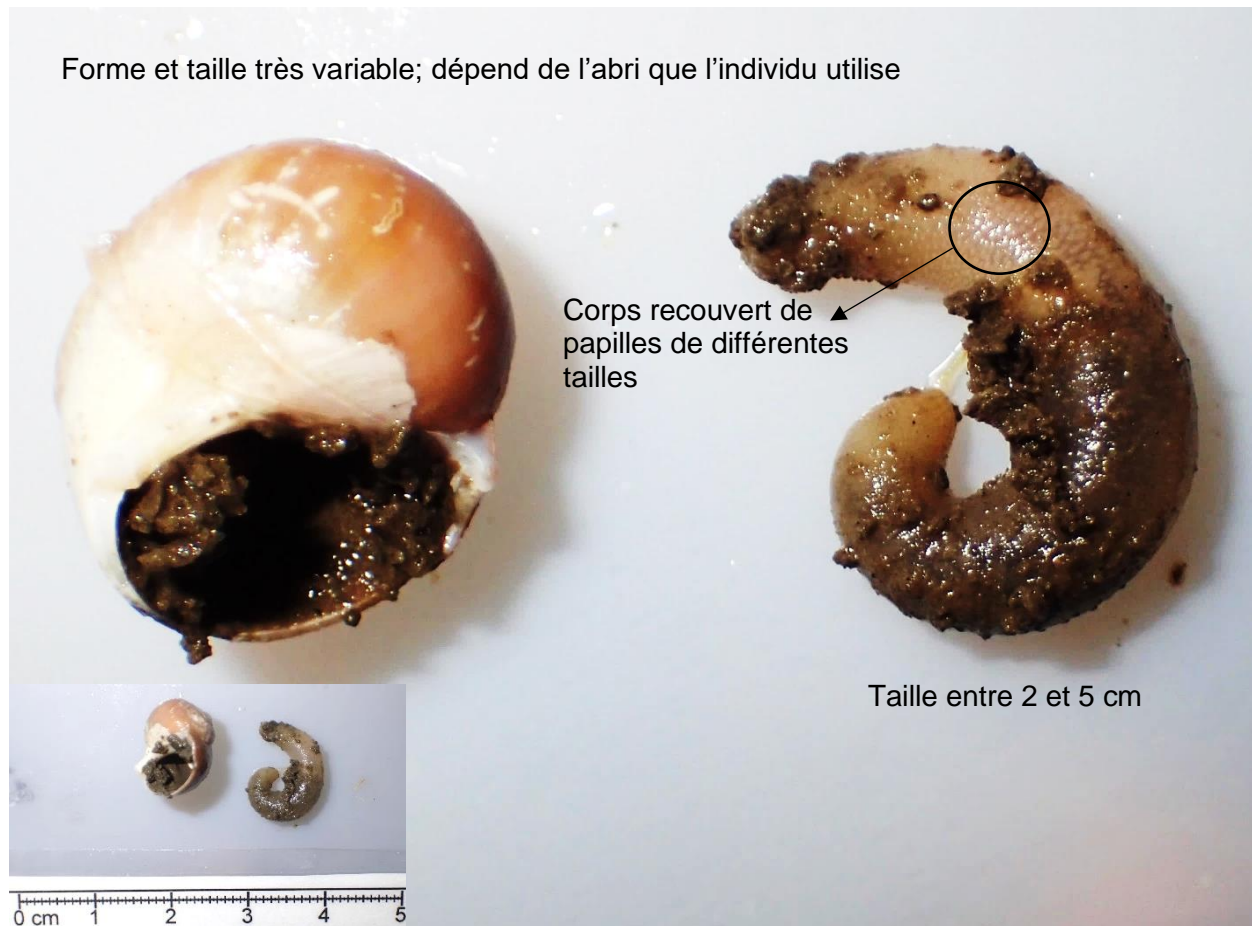
Écologie

- Substrat : sable, vase.
- Vit généralement dans les coquilles mortes de gastéropode.



Identification

Forme et taille très variable; dépend de l'abri que l'individu utilise



Références

- Brunel, P., Bossé, L. et Lamarche, G. 1998. Catalogue des invertébrés marins de l'estuaire et du golfe du Saint-Laurent. Publ. spéc. sci. halieut. aquat. 126. 405 p.
- Hunter, R. D. et Elder, H. Y. 2009. Burrowing dynamics and energy cost of transport in the soft-bodied marine invertebrates *Polyphysia crassa* and *Priapulid caudatus*. J. Zool., 218(2), 209-222. <https://doi.org/10.1111/j.1469-7998.1989.tb02533.x>
- Mackie, A. S. Y. 1991. *Scalibregma celticum* new species (Polychaeta: Scalibregmatidae) from Europe, with a redescription of *Scalibregma inflatum* Rathke, 1843 and comments on the genus *Sclerobregma* Hartman, 1965. Bull. Mar. Sci., 48(2), 268-276.
- Nozères, C., Archambault, D. et Miller, R. 2014. Photo-catalogue d'invertébrés de l'estuaire et du nord du golfe du Saint-Laurent des relevés au chalut (2005-2013). Rapp. manus. can. sci. halieut. aquat., 3035: iv + 221 p.
- Steven, D. 1938. The shore fauna of Amerdloq Fjord, West Greenland. J. Anim. Ecol., 7(1), 53-70. <https://doi.org/10.2307/1114>

Priapulida

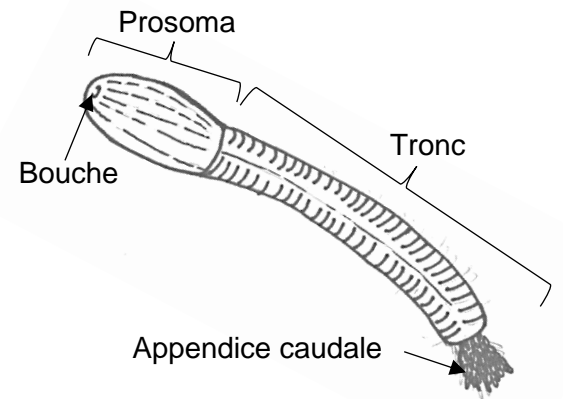
Phylum Priapulida

Priapulida (Théel, 1906)

AphiaID: 101063, STRAP: 2570, RVAN: 3450

Les priapulides sont des vers non segmentés. Ils vivent enfouis dans le sédiment, généralement dans la vase. Le corps des priapulides est divisé en deux sections, un **prosoma** et un **tronc**. Le prosoma, qui porte la **bouche**, peut se rétracter entièrement dans le tronc et sert à l'alimentation et la locomotion. Le tronc est légèrement plus large que le prosoma, annelé et se termine par un **appendice caudale** très ramifié en forme de queue.

Une seule espèce de priapulide est capturée dans le relevé NGSL, *Priapulus caudatus*.



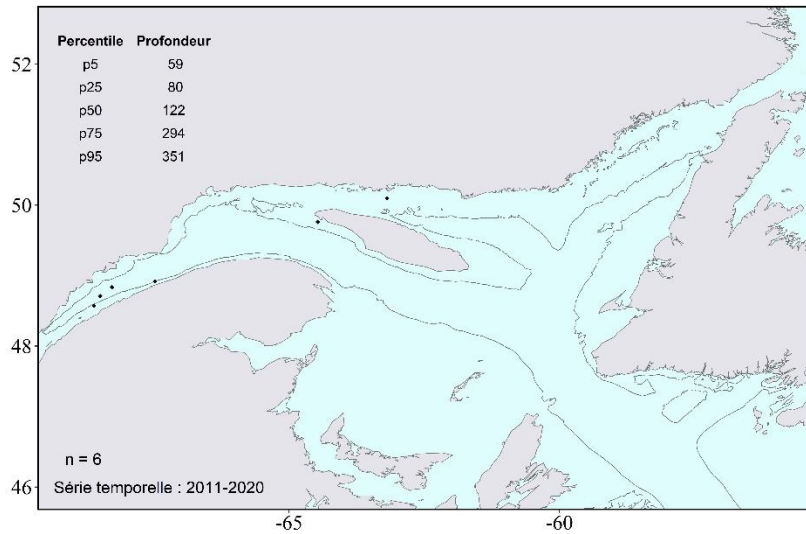
© Laurie Isabel



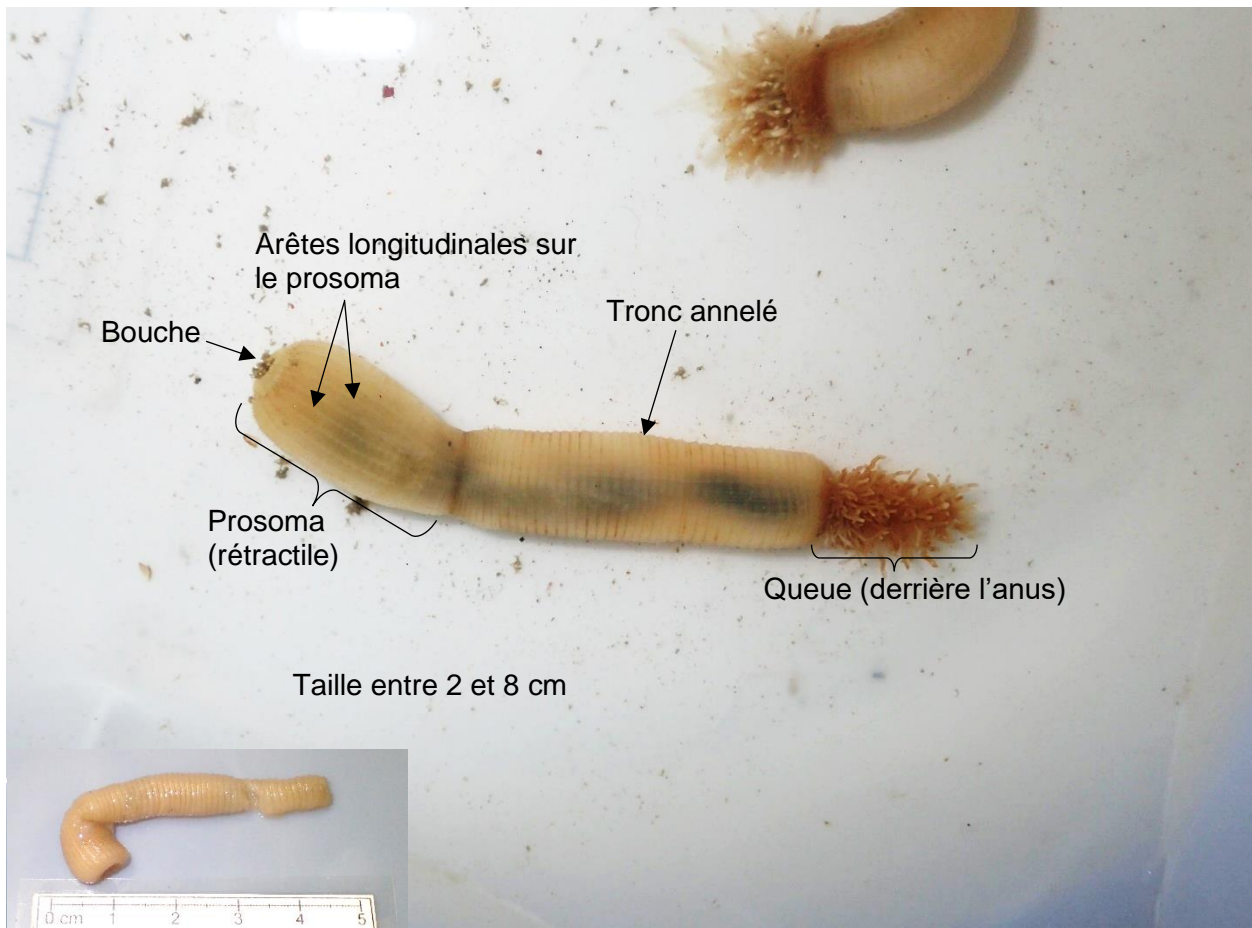
Priapulus caudatus (Lamarck, 1816)
 AphiaID: 101160, STRAP: 2573, RVAN: 3451

Écologie

- Substrat : vase.
- Vit enfouie dans les sédiments.



Identification



Références

Hammond, R. A. 2009. The burrowing of *Priapulus caudatus*. J. Zool., 162(4), 469-480.
<https://doi.org/10.1111/j.1469-7998.1970.tb01281.x>

Echinodermata

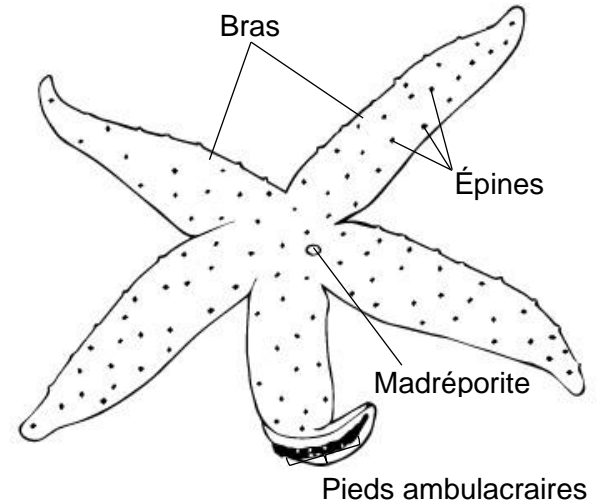
Phylum Echinodermata

Classe Asteroidea (de Blainville, 1830)

AphiaID: 123080, STRAP: 8390, RVAN: 6100

Les étoiles de mer tiennent leur nom de leur forme caractéristique en étoile et elles possèdent généralement cinq **bras**. Sur la face dorsale de l'étoile de mer, on peut observer le **madréporite**, soit l'ouverture du système vasculaire de l'organisme. Sur la face ventrale, chaque bras porte entre deux et quatre rangées de **pieds ambulacraires** permettant à l'étoile de mer de se déplacer sur le substrat.

Dix-neuf espèces et deux genres d'étoiles de mer sont capturés dans le relevé NGSL. Pour le genre *Poraniomorpha*, c'est principalement l'espèce *P. (poraniomorpha) hispida*, mais *P. (Poraniomorpha) bidens*, *P. (Poraniomorpha) tumida* peuvent parfois être présentes dans les captures. Ils n'est toutefois pas possible de distinguer les espèces sans analyse de l'anatomie interne. Pour le genre *Henricia*, les espèces de ce genre sont très variables rendant difficile de fixer des limites pour les distinguer.



© Laurie Isabel

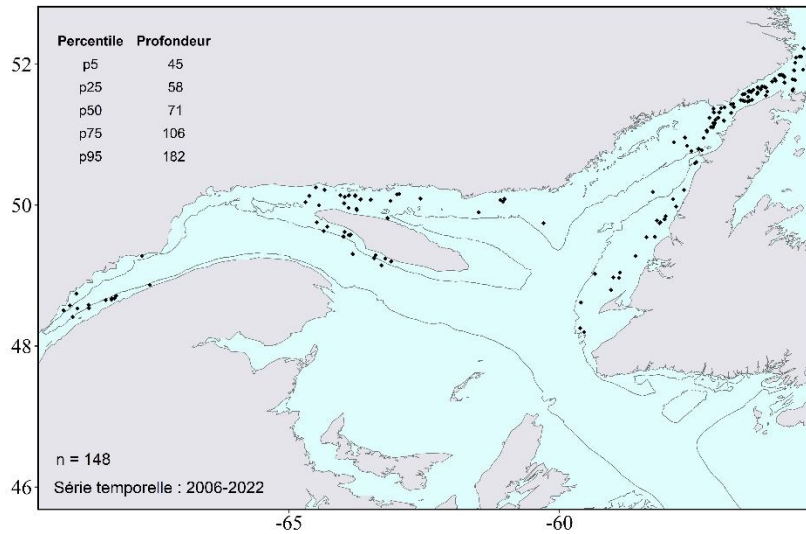


***Leptasterias (Hexasterias) polaris* (Müller & Troschel, 1842)**

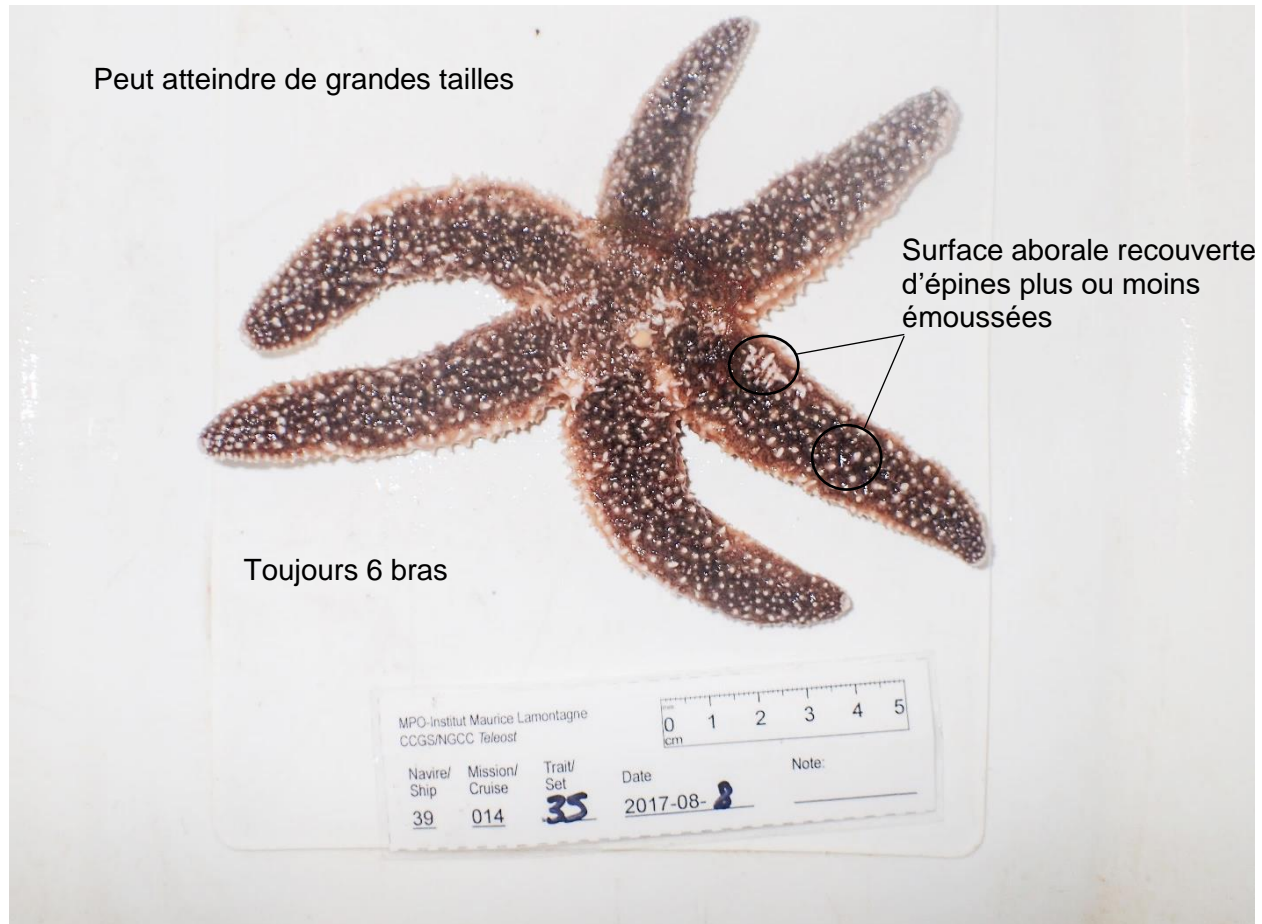
AphiaID: 125154, STRAP: 8511, RVAN: 6113

Écologie

- Substrat : roche.
- Prédateur important, en milieu littoral, des bancs de moules.



Identification



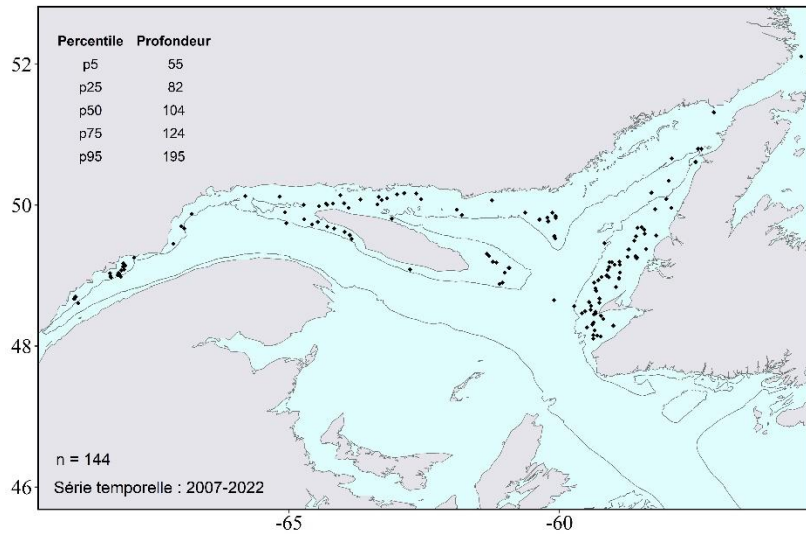


Leptasterias groenlandica (Steenstrup, 1857)

AphiaID: 369176, STRAP: 8513, RVAN: 7811

Écologie

- Substrat : ND.

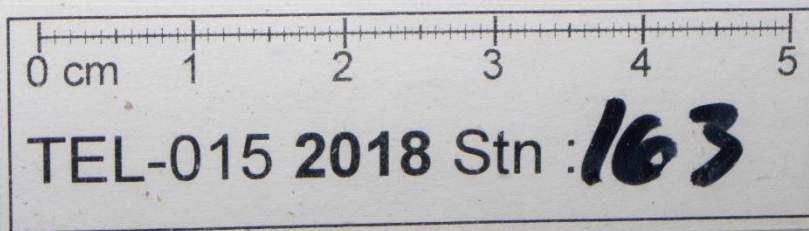


Identification

Confondue avec *Stephanasterias albula*

Ligne médiane sur les bras absente chez *L. groenlandica* (présente chez *S. albula*)

5 bras
Face dorsale épineuse



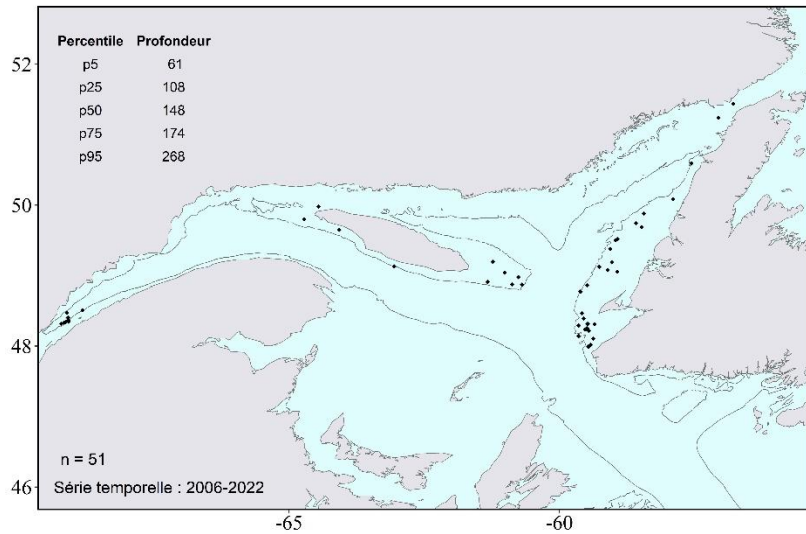


***Stephanasterias albula* (Stimpson, 1853)**

AphiaID: 123808, STRAP: 8515, RVAN: 7812

Écologie

- Substrat : roche.
- Reproduction asexuée par fission uniquement.



Identification

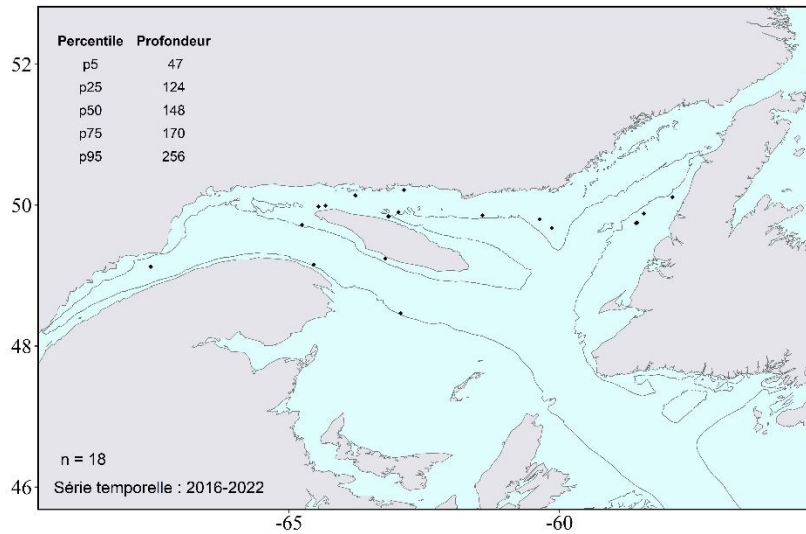




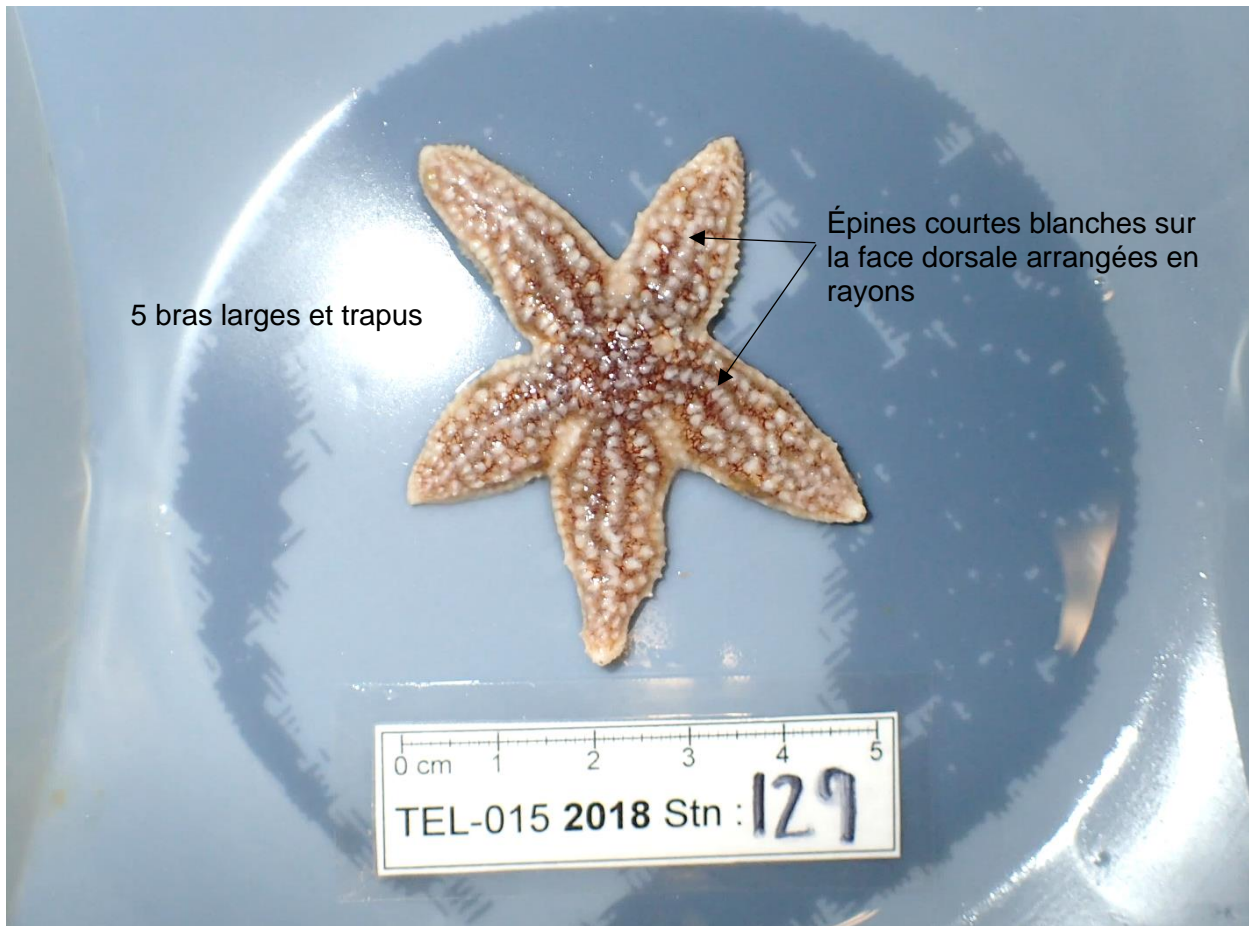
Asterias rubens (Linnaeus, 1758)
AphiaID: 123776, STRAP: 8396, RVAN: 6111

Écologie

- Substrat : roche.
- Rare dans le relevé, mais plus présente dans les années récentes en raison du réchauffement des eaux profondes.
- Prédateur dominant dans les habitats subtidaux rocheux.



Identification

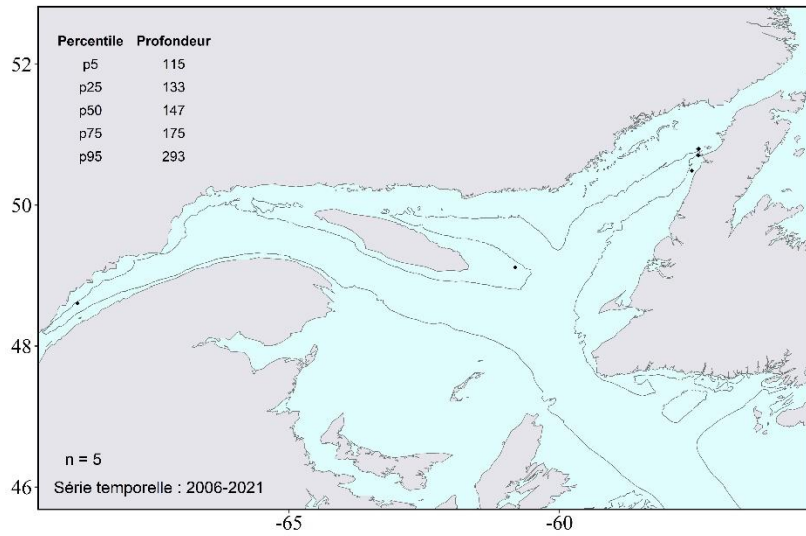




Urasterias lincki (Müller & Troschel, 1842)
AphiaID: 123815, STRAP: 8516, RVAN: 1280

Écologie

- Substrat : ND.
- Espèce arctique.



Identification

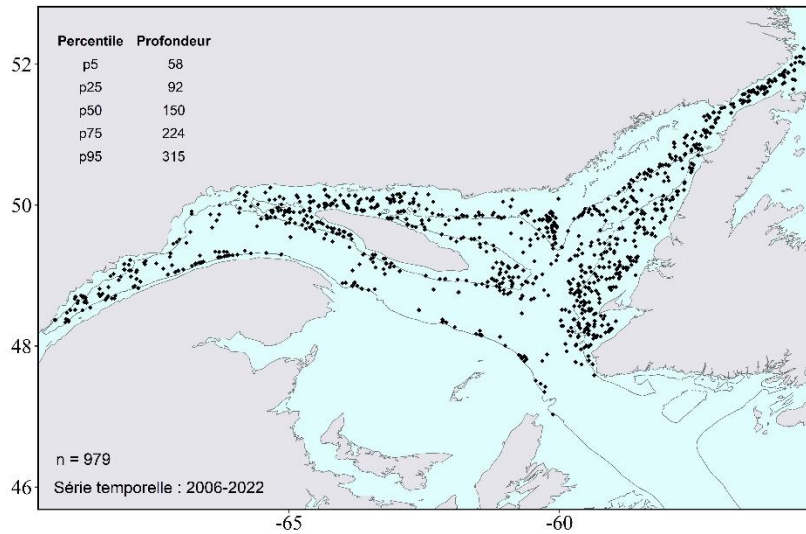




***Henricia* sp.** (Gray, 1840)
AphiaID: 123276, STRAP: 8483, RVAN: 6118

Écologie

- Substrat : tous types.
- Les espèces de ce genre sont très variables rendant difficile de fixer des limites pour les distinguer.
- Hybridation entre les espèces possibles.
- Se nourrissent d'éponges.



Identification



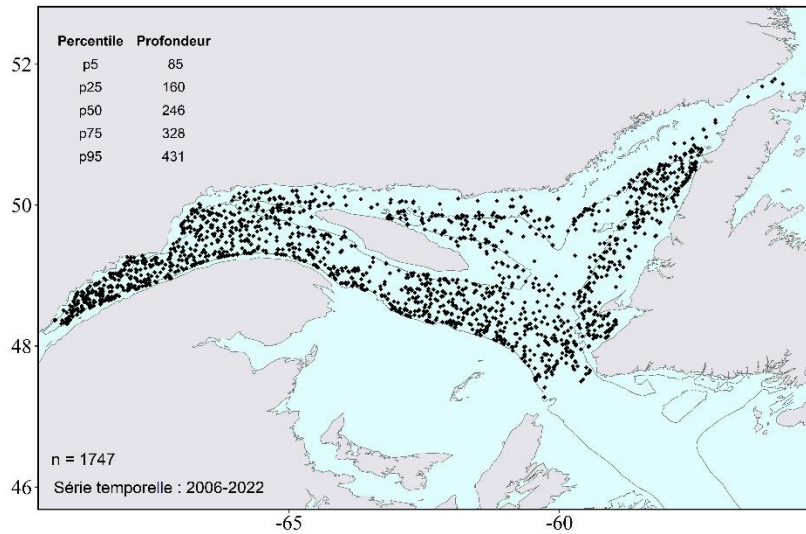


***Ctenodiscus crispatus* (Bruzelius, 1805)**

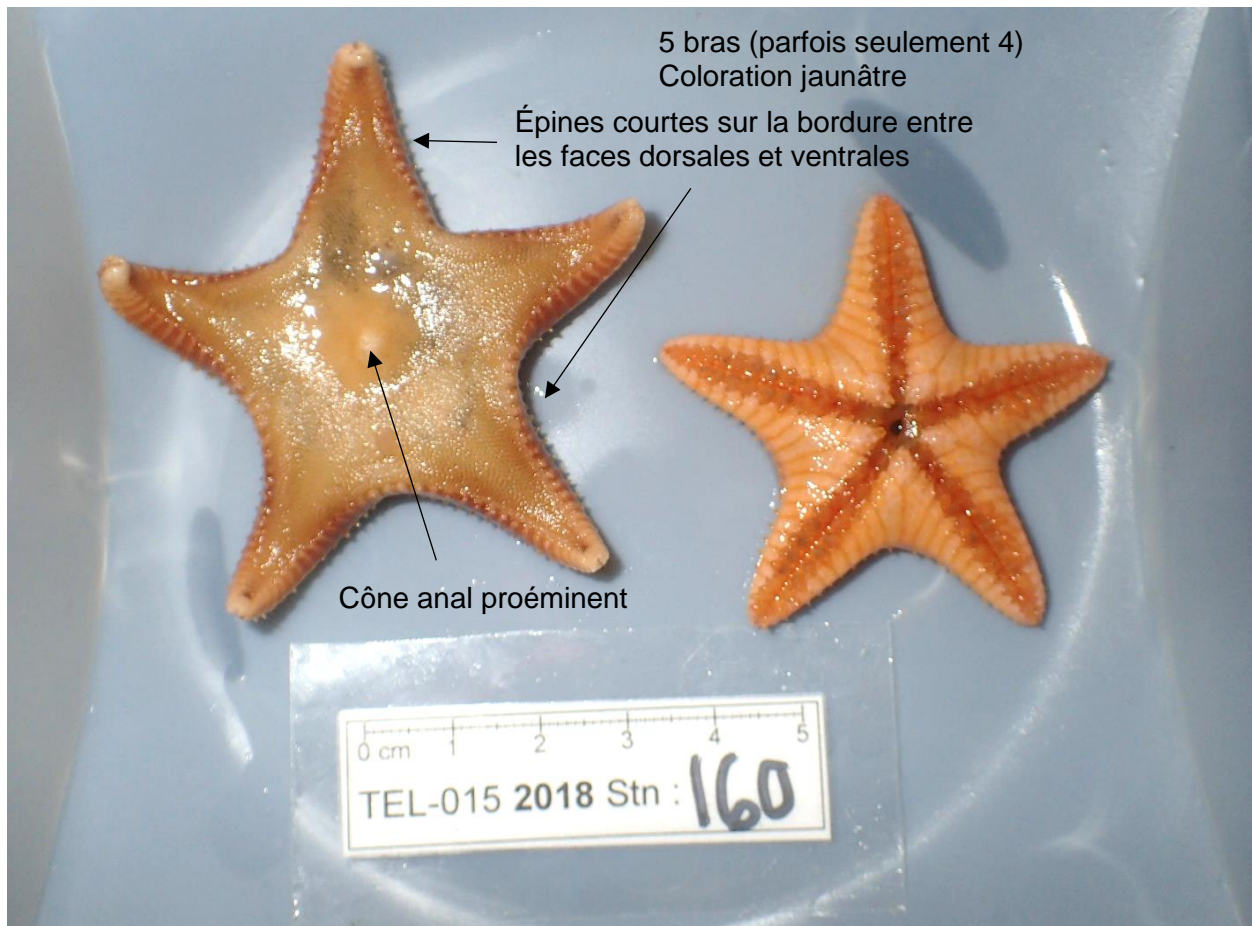
AphiaID: 123915, STRAP: 8407, RVAN: 6115

Écologie

- Substrat : vase.
- Remplit son estomac de boue pour s'alimenter.



Identification



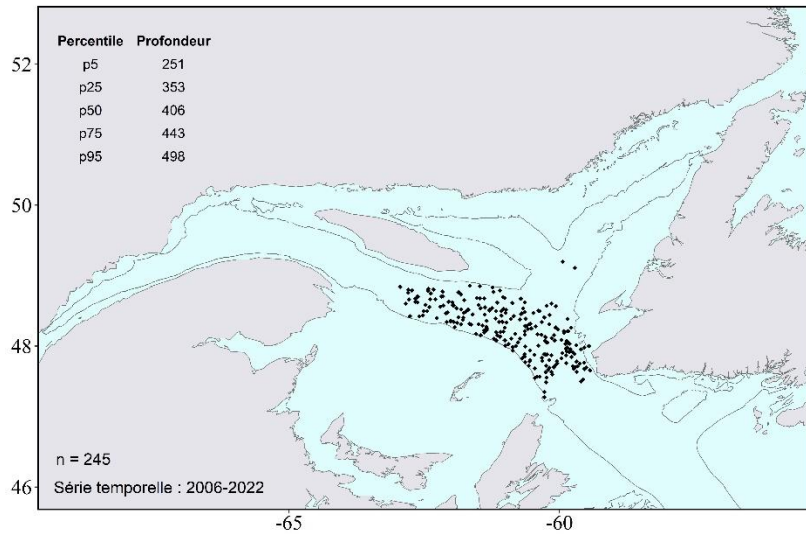


Psilaster andromeda (Müller & Troschel, 1842)

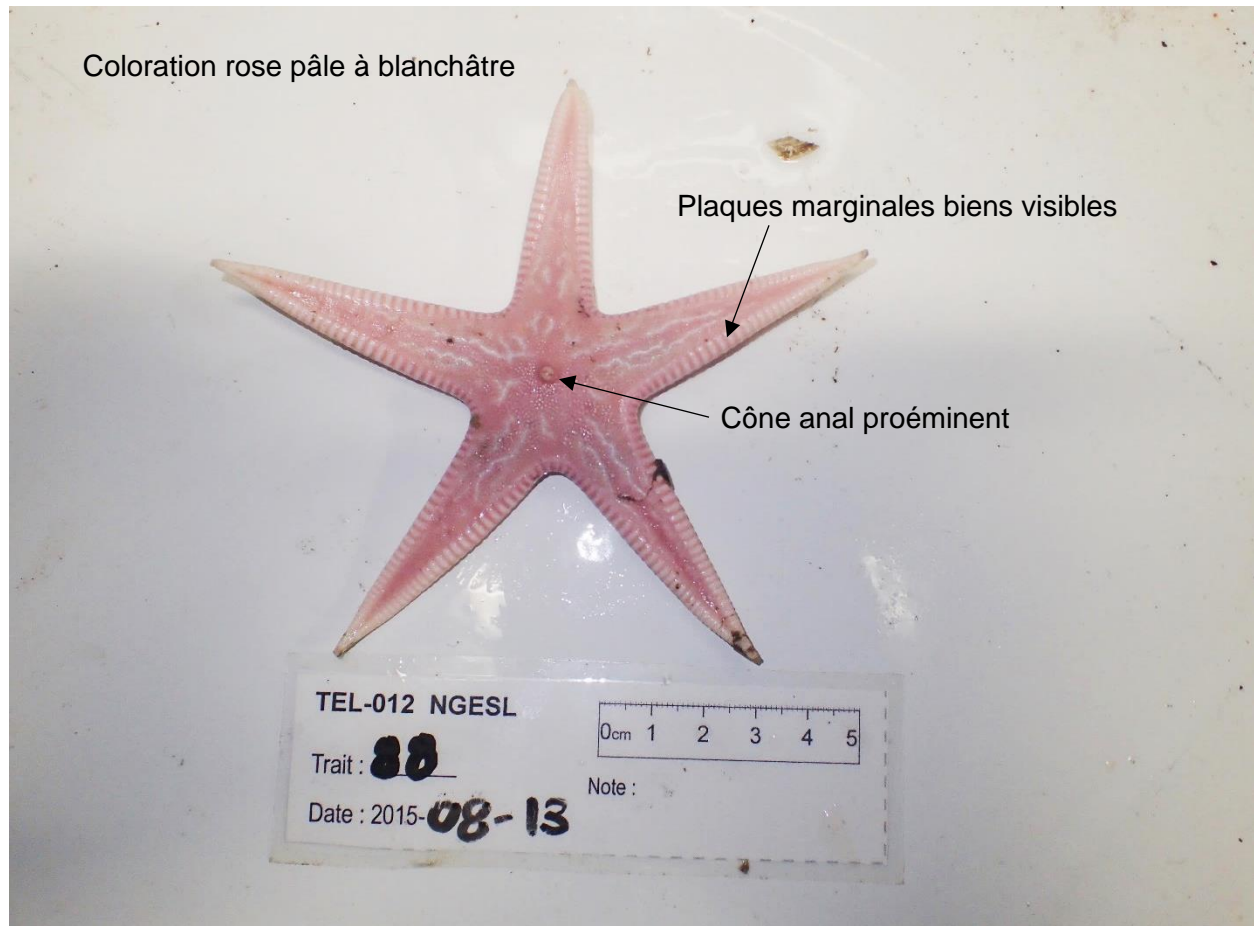
AphiaID: 123908, STRAP: 8520, RVAN: 8347

Écologie

- Substrat : vase.



Identification



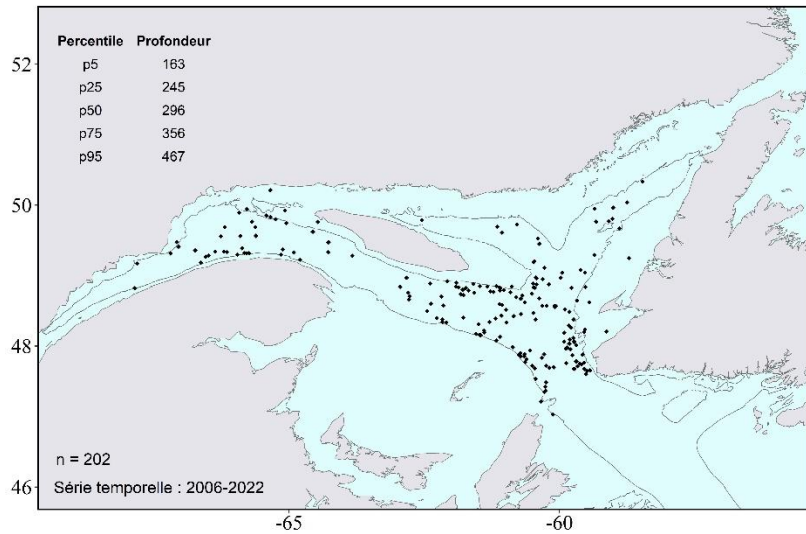


Pseudarchaster parelii (Düben & Koren, 1846)

AphiaID: 124085, STRAP: 8433, RVAN: 8346

Écologie

- Substrat : sable, vase.



Identification

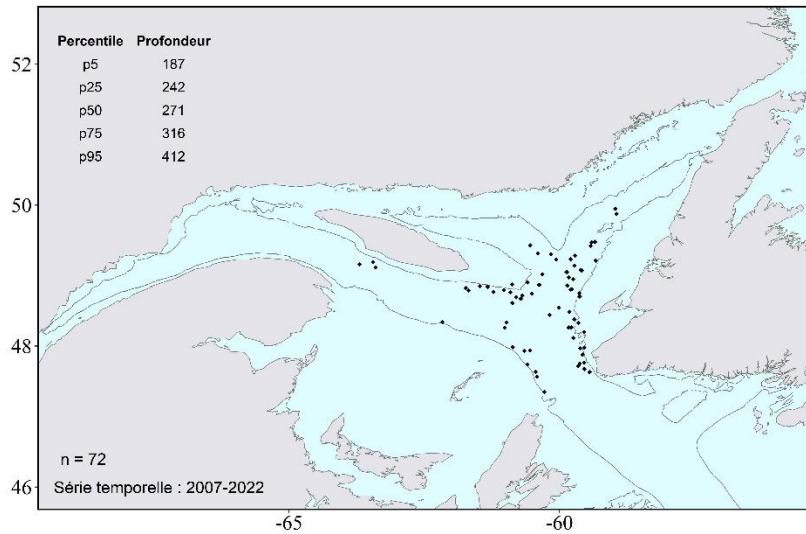




Leptychaster arcticus (M. Sars, 1851)
 AphiaID: 123896, STRAP: 8521, RVAN: 8348

Écologie

- Substrat : sable, vase.
- Remplit son estomac de boue pour s'alimenter.



Identification

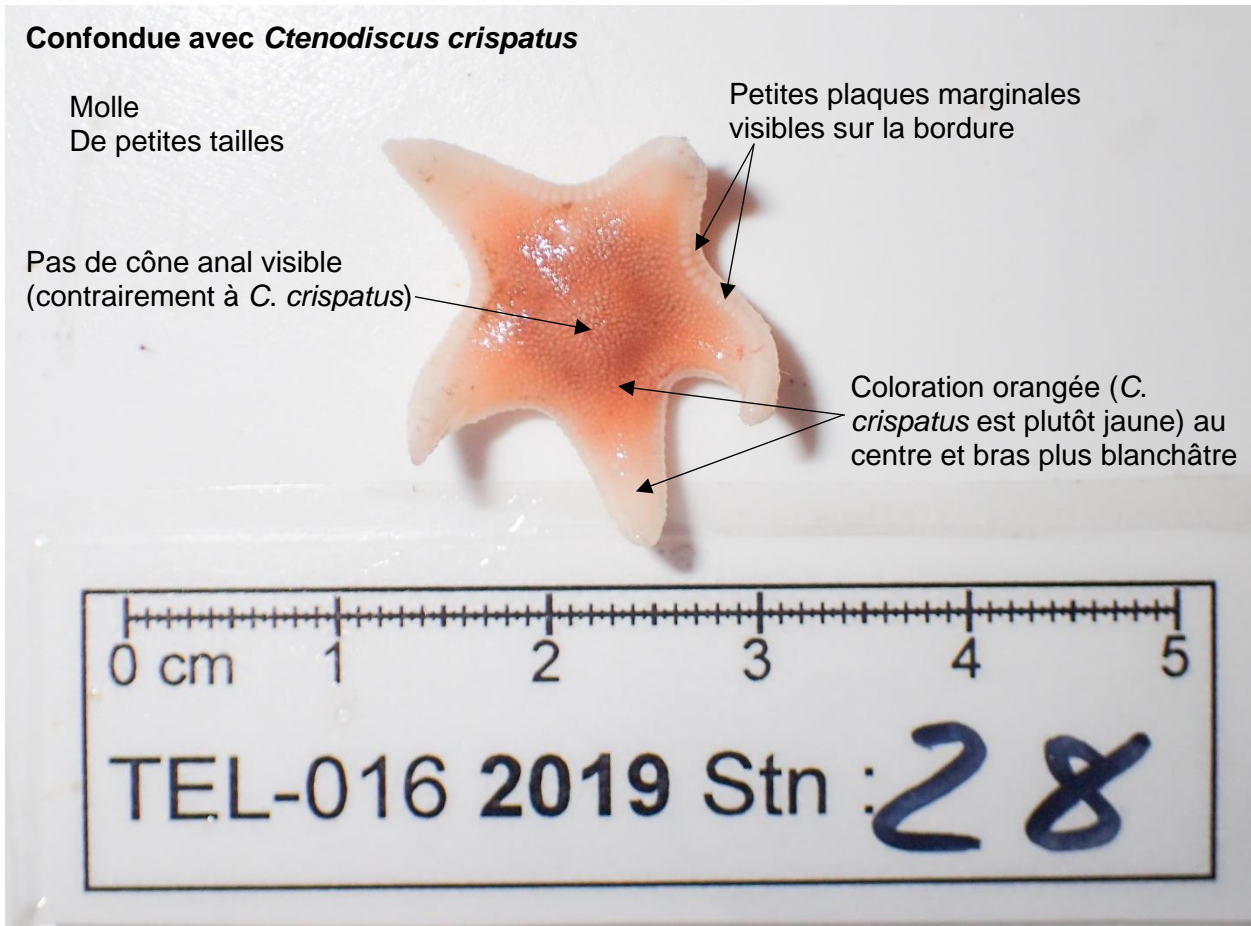
Confondue avec *Ctenodiscus crispatus*

Molle
 De petites tailles

Pas de cône anal visible
 (contrairement à *C. crispatus*)

Petites plaques marginales
 visibles sur la bordure

Coloration orangée (*C. crispatus* est plutôt jaune) au centre et bras plus blanchâtre



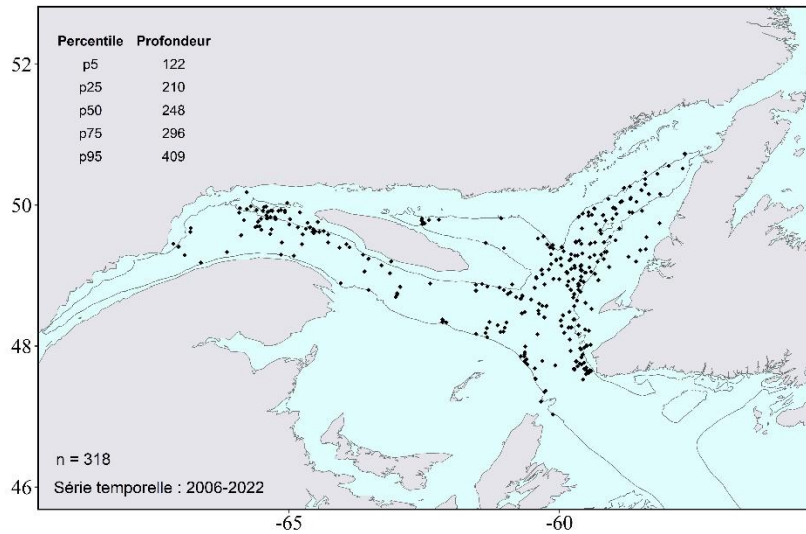


Ceramaster granularis (Retzius, 1783)

AphiaID: 124020, STRAP: 8429, RVAN: 6101

Écologie

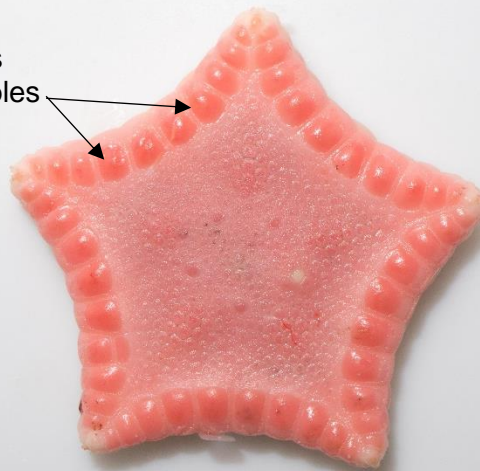
- Substrat : tous types.
- Se nourrit principalement d'éponges.



Identification

Coloration rougâtre à rose pâle

Plaques marginales larges et bien visibles



Forme pentagonale
Bras courts; parfois si courts qu'ils ne forment que les coins du corps

0 cm 1 2 3 4 5

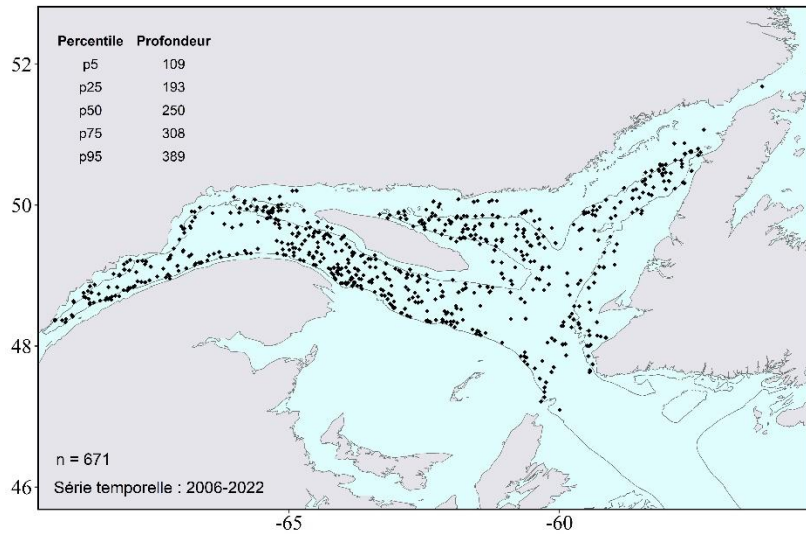
TEL-015 2018 Stn : 169



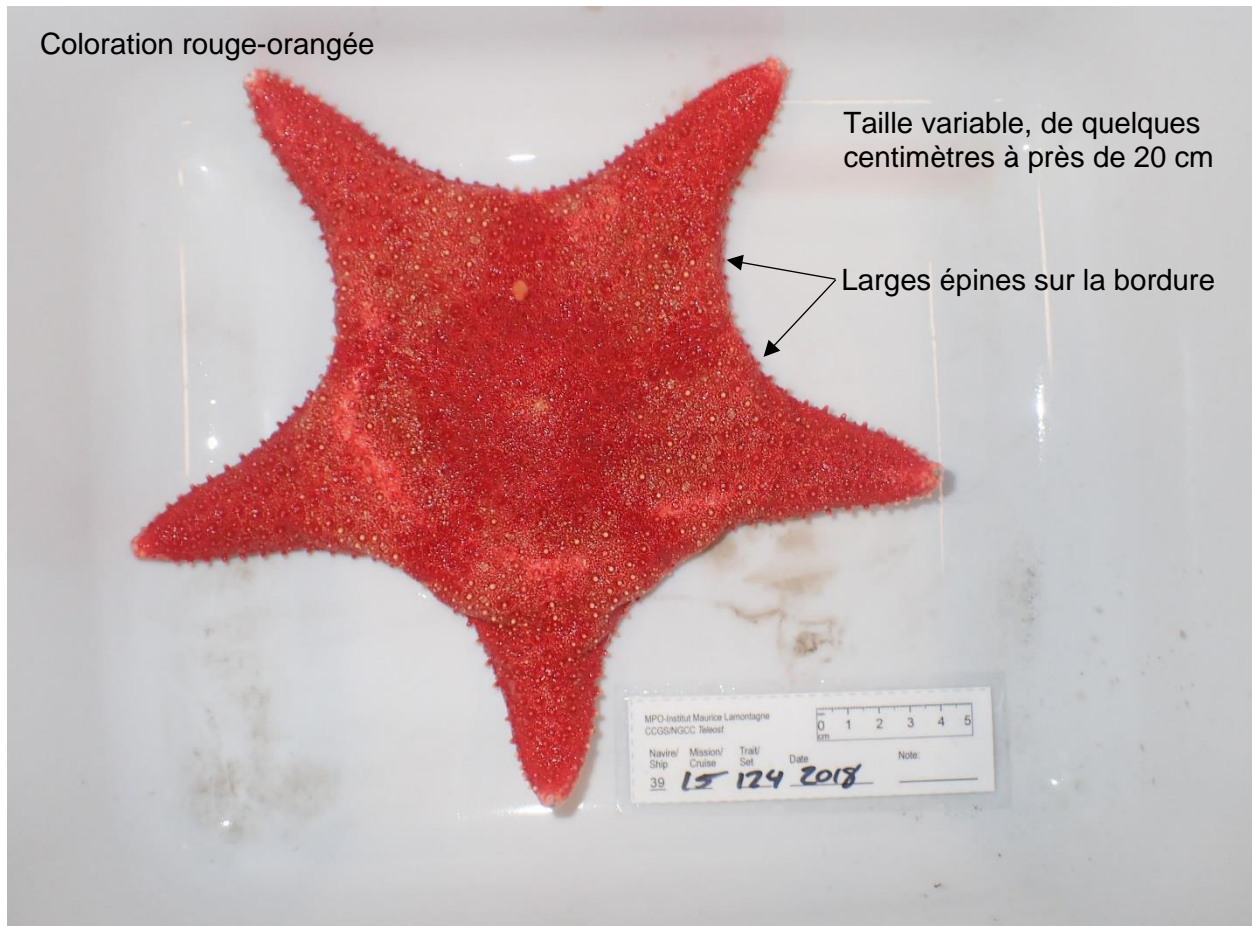
Hippasteria phrygiana (Parelius, 1768)
AphiaID: 124043, STRAP: 8431, RVAN: 6117

Écologie

- Substrat : tous types.



Identification



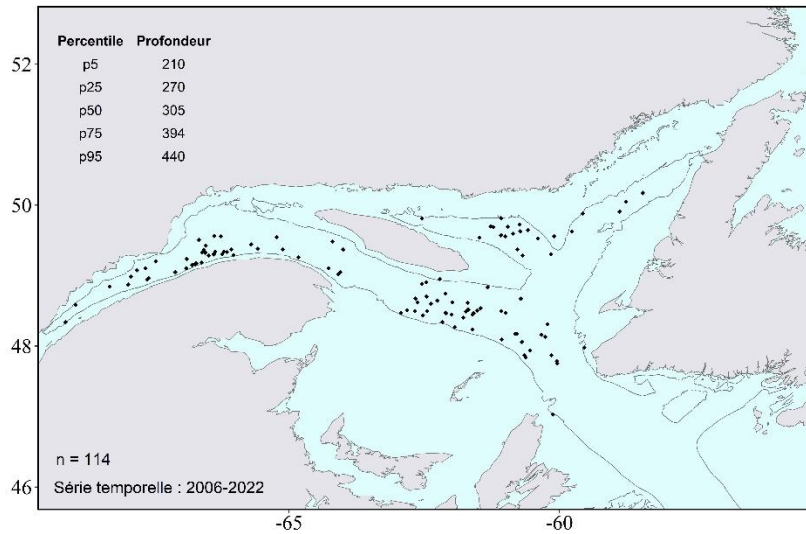


***Poraniomorpha* sp.** (Danielssen & Koren, 1881)

AphiaID: 123321, STRAP: 8435, RVAN: 7729

Écologie

- Substrat : sable avec roches.



Identification

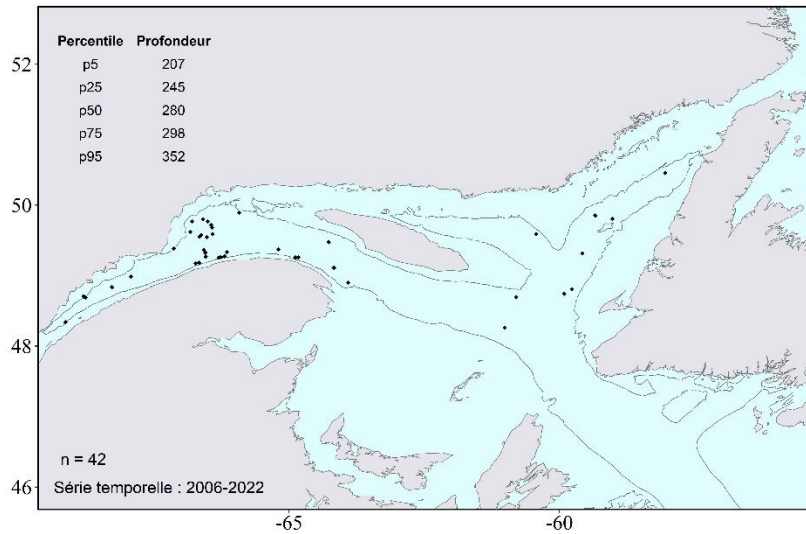




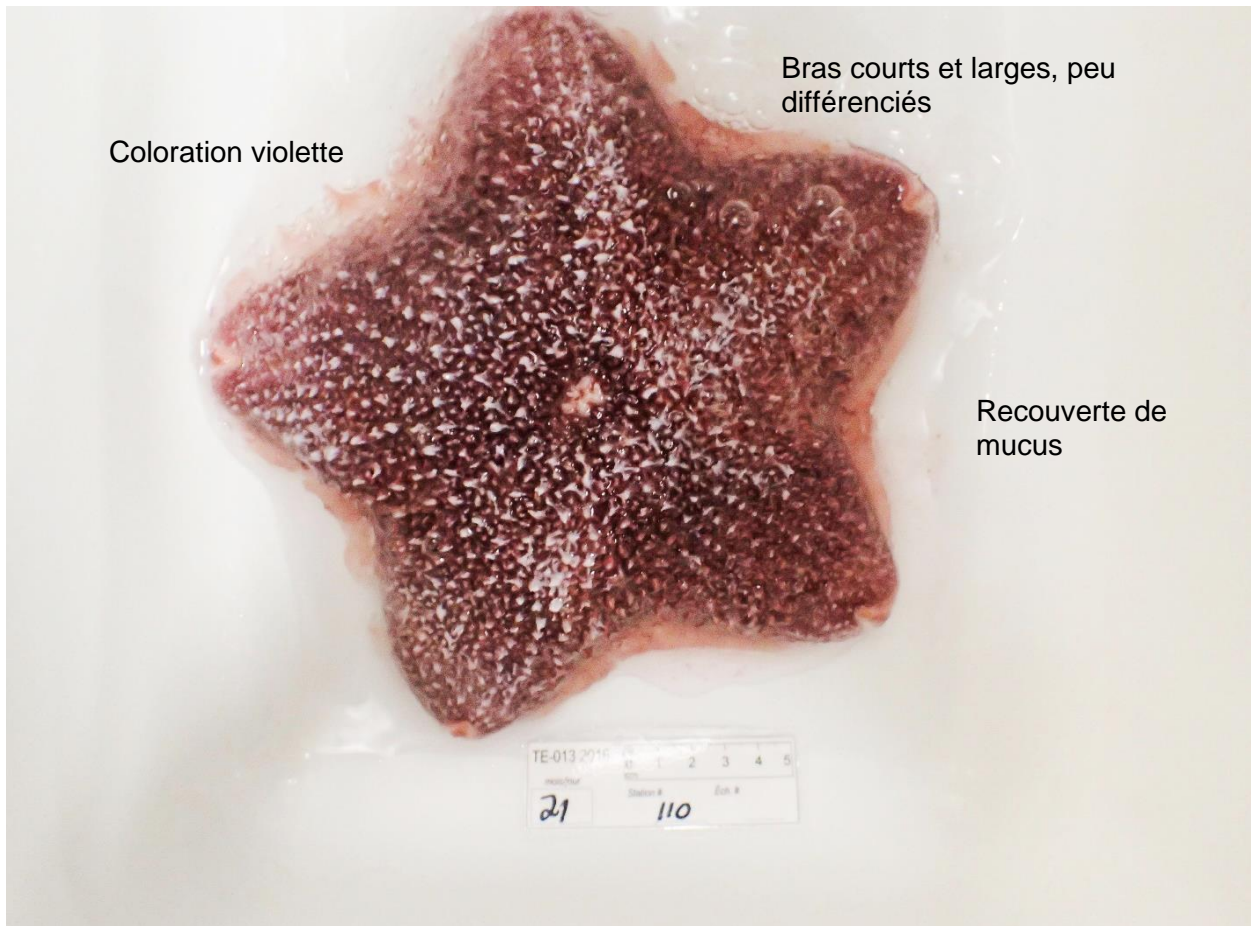
Diplopteraster multipes (M. Sars, 1866)
AphiaID: 124128, STRAP: 8408, RVAN: 6131

Écologie

- Substrat : ND.
- Produit du mucus pour se défendre.
- Bioluminescente.



Identification

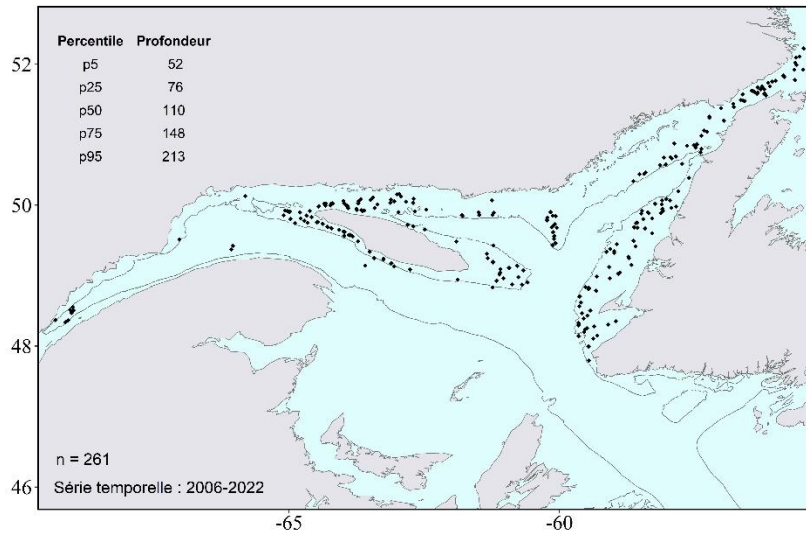




Pteraster militaris (O.F. Müller, 1776)
AphiaID: 124147, STRAP: 8410, RVAN: 6125

Écologie

- Substrat : roche, vase.
- Produit du mucus pour se défendre.
- S'alimente d'éponges, d'hydrozoaires et d'ascidies.



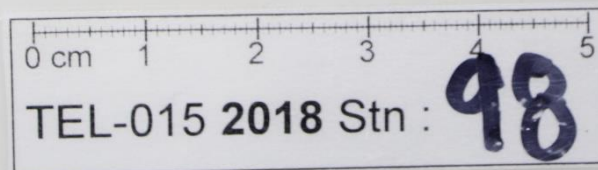
Identification

Confondue avec *Pteraster pulvillus*

Bras assez longs et fins
comparativement à *P. pulvillus*

Surface dorsale recouverte de
nombreux petits corps calcaires
(aspect rugueux)

Bras souvent recourbés au bout

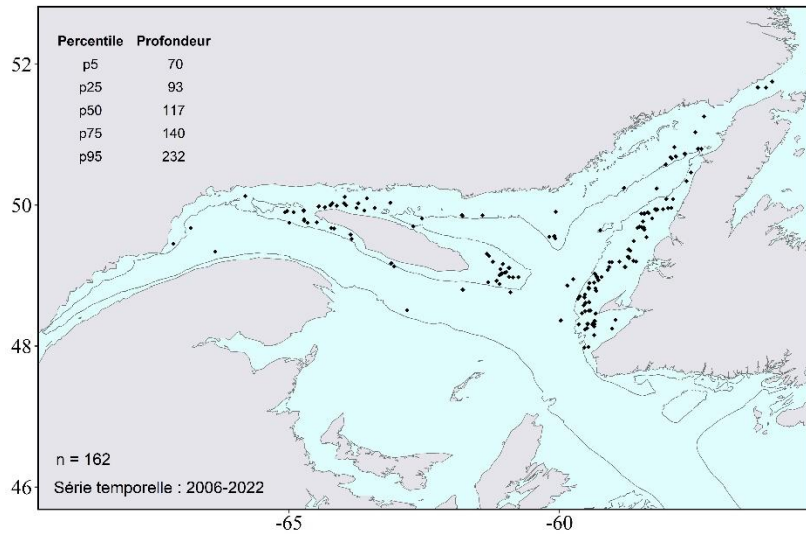




Pteraster pulvillus (M. Sars, 1861)
AphiaID: 124151, STRAP: 8411, RVAN: 7748

Écologie

- Substrat : roche, vase.
- Produit du mucus pour se défendre.



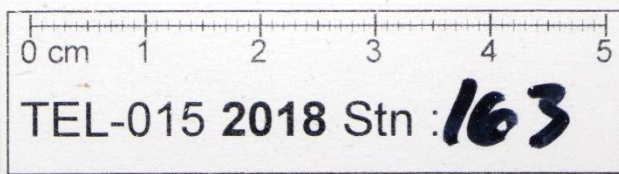
Identification

Confondue avec *Pteraster militaris*

Bras courts et larges
comparativement à *P. militaris*



Surface aborale recouverte de nombreux petits corps calcaires (aspect rugueux)

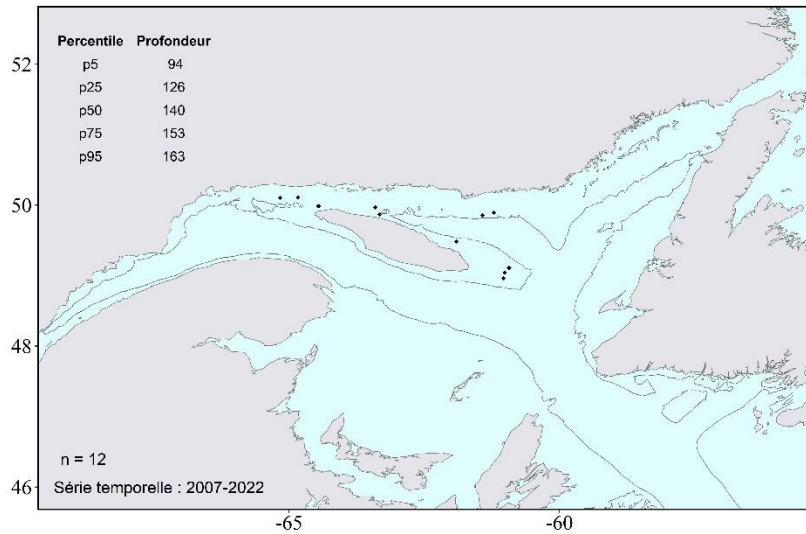




Pteraster obscurus (Perrier, 1891)
 AphiaID: 124149, STRAP: 8412, RVAN: 7810

Écologie

- Substrat : ND.
- Produit du mucus pour se défendre.



Identification



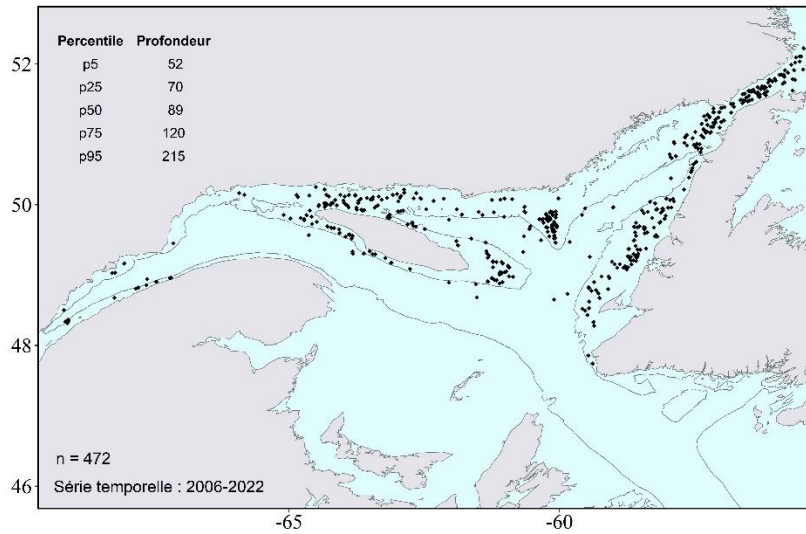


Crossaster papposus (Linnaeus, 1767)

AphiaID: 124154, STRAP: 8447, RVAN: 6123

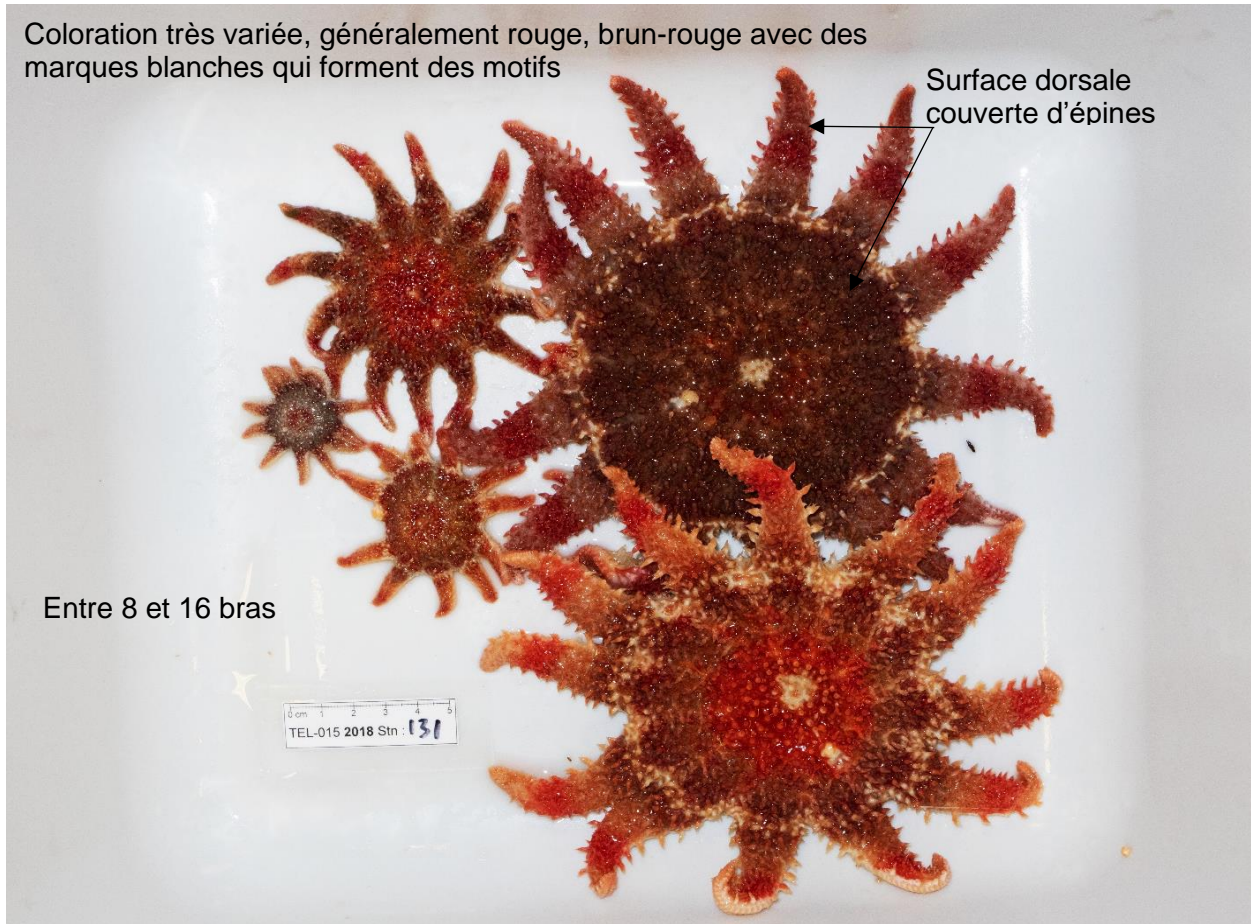
Écologie

- Substrat : sable, roche, bancs de moules, bancs d'huîtres.
- Peut vivre jusqu'à 20 ans.



Identification

Coloration très variée, généralement rouge, brun-rouge avec des marques blanches qui forment des motifs

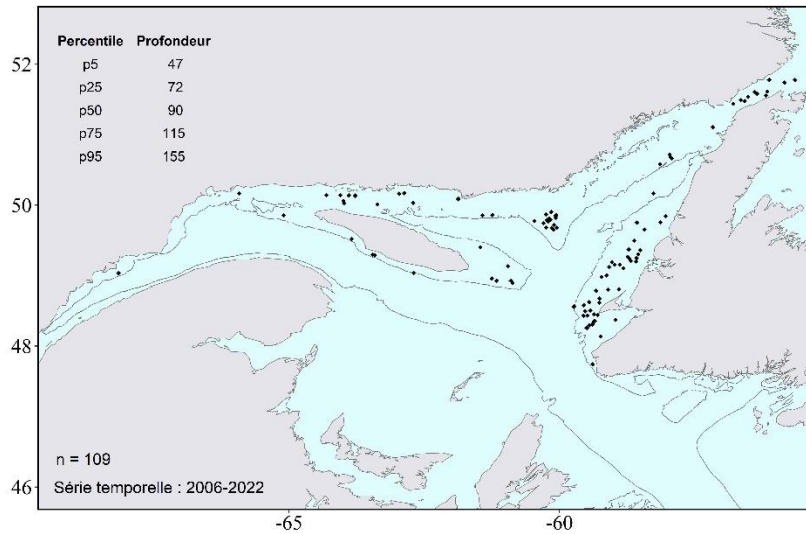




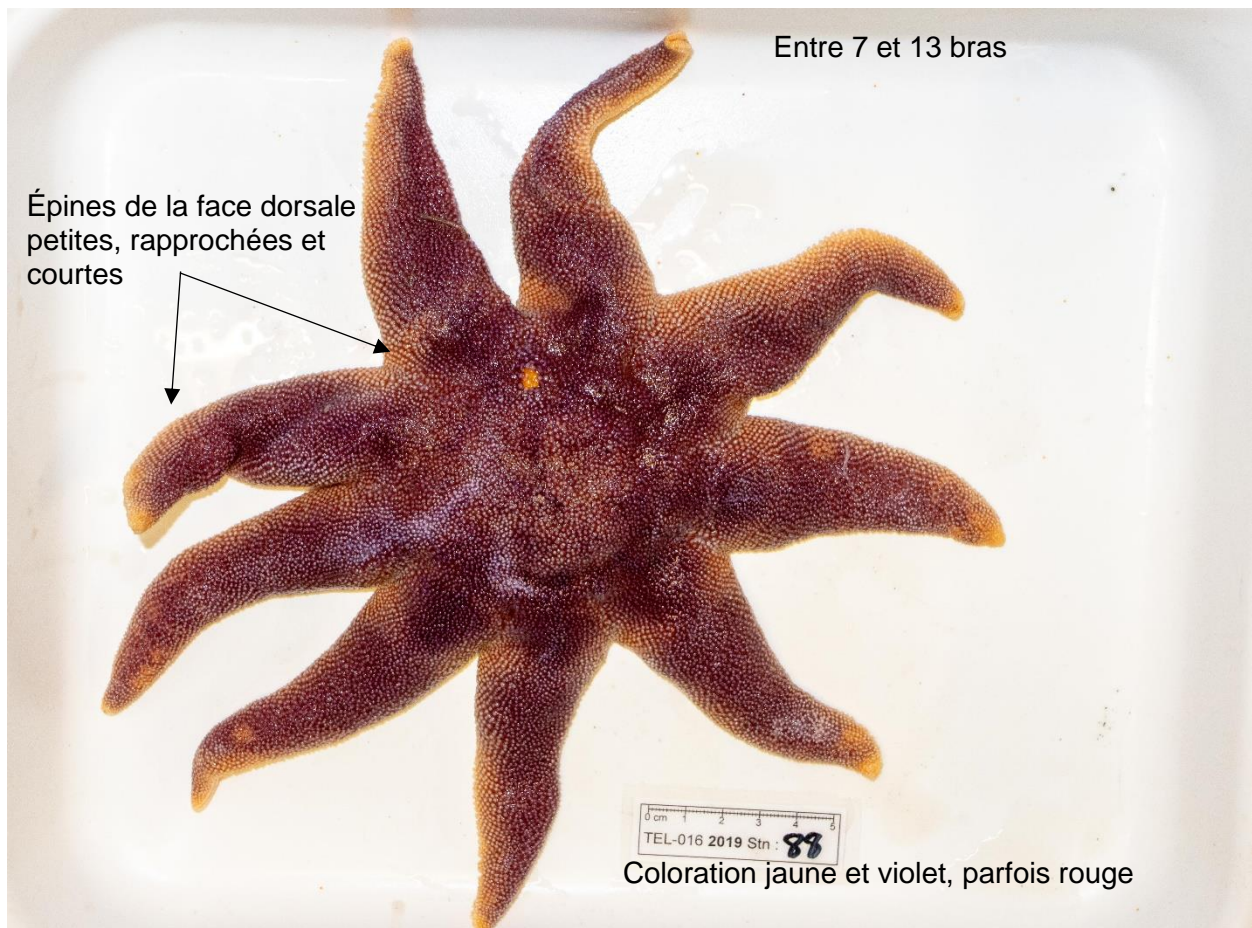
Solaster endeca (Linnaeus, 1771)
AphiaID: 124160, STRAP: 8445, RVAN: 6121

Écologie

- Substrat : tous types.
- Prédateur important des communautés benthiques côtières.



Identification

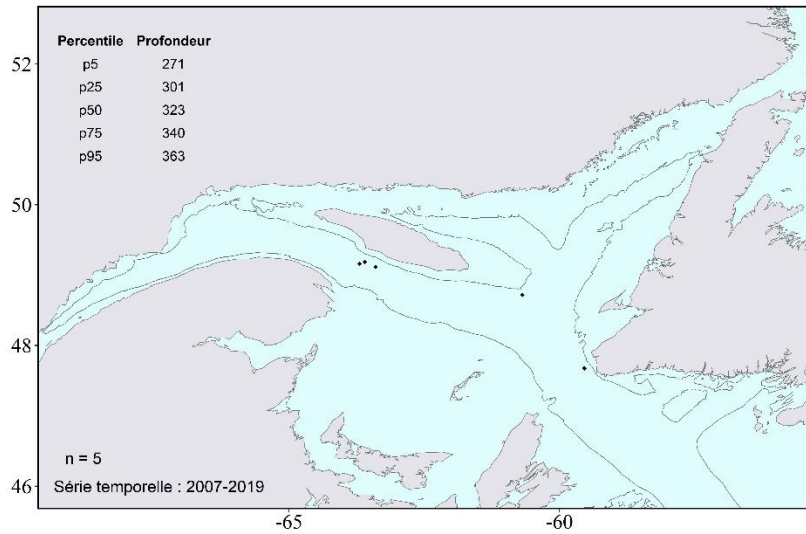




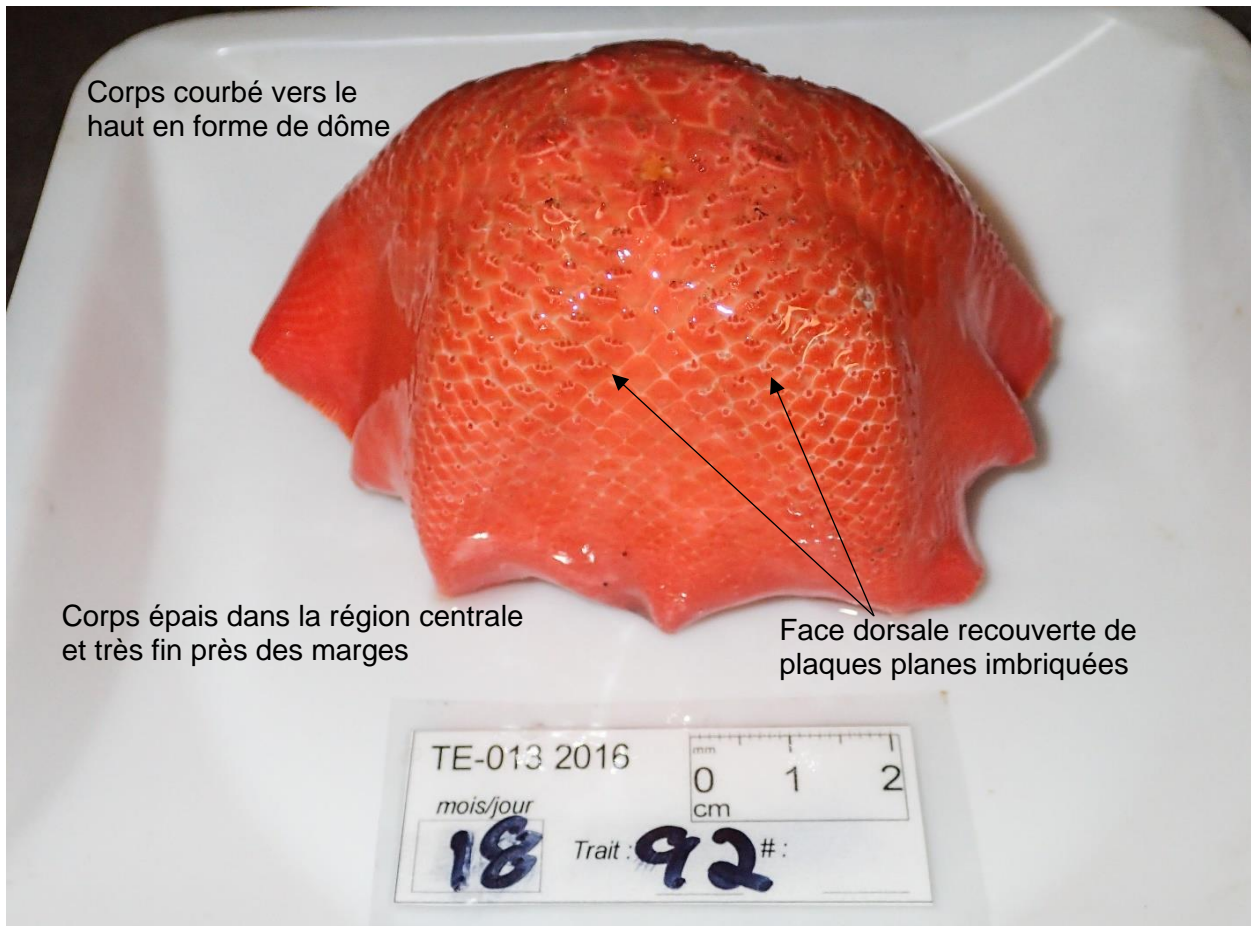
Tremaster mirabilis (Verrill, 1880)
AphiaID: 124002, STRAP: 8446, RVAN: 1279

Écologie

- Substrat : roche.



Identification

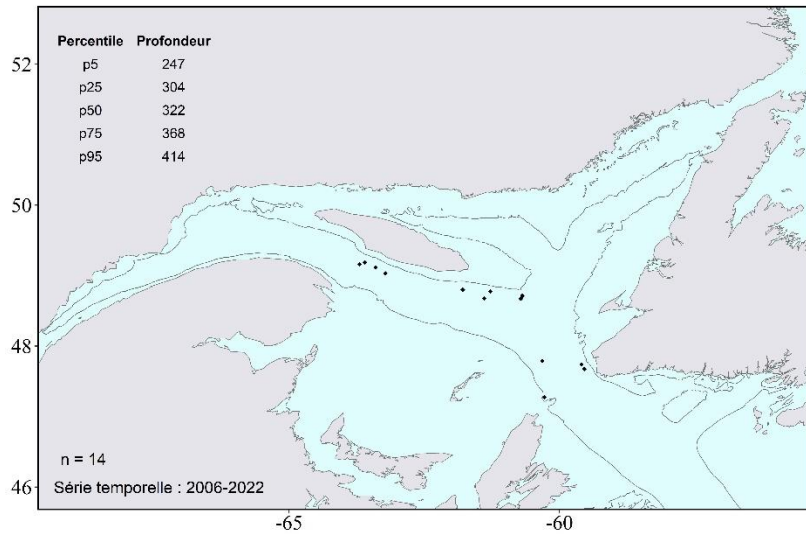




Novodinia americana (Verrill, 1880)
AphiaID: 178261, STRAP: 8448, RVAN: 7730

Écologie

- Substrat : roche.
- Seule étoile de mer planctivore dans la région.
- Mode d'alimentation similaire aux ophiures gorgonocéphales.



Identification



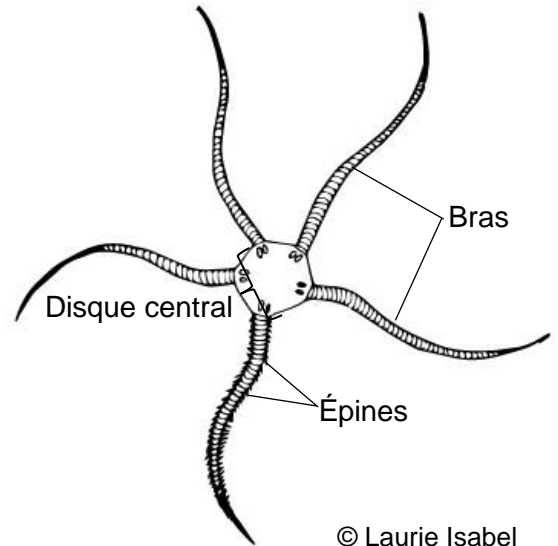
Phylum Echinodermata

Classe Ophiuroidea (Gray, 1840)

AphiaID: 123084, STRAP: 8530, RVAN: 6200

Les ophiures sont des échinodermes formés d'un **disque central** auquel sont reliés cinq **bras**. Ces derniers se brisent facilement, mais se régénèrent par la suite. Ils sont parfois flanqués de rangées d'**épines** plus ou moins longues. Les ophiures sont généralement de petites tailles. Le disque central n'excède jamais les 2 ou 3 cm de diamètre, sauf chez le gorgonocéphale, *Gorgonocephalus arcticus*, où le disque central peut atteindre jusqu'à 10 cm de diamètre.

Six espèces et un genre d'ophiure sont capturés dans le relevé NGSL. Les espèces d'ophiures *Amphiura* sont enregistrées au genre. Une seule espèce, *Amphiura sundevalli*, appartenant à ce genre est probablement présente dans le NGSL, mais des analyses génétiques sont nécessaires pour pouvoir le confirmer.



© Laurie Isabel

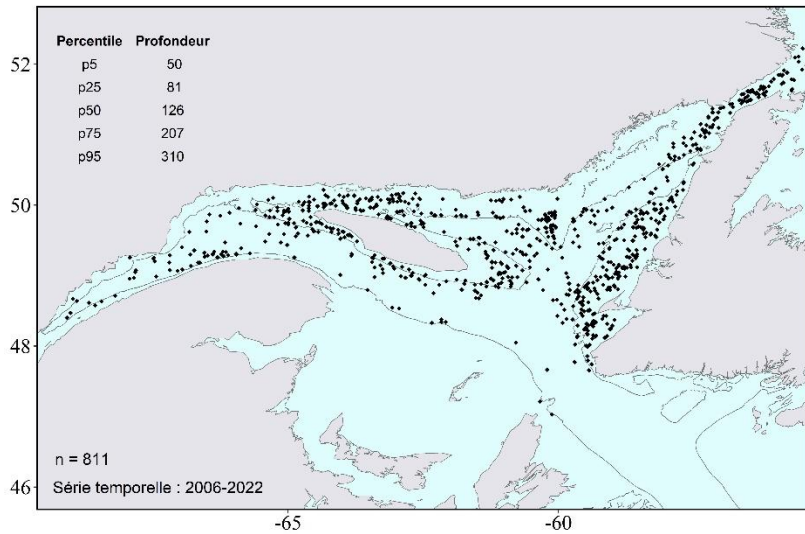


Ophiopholis aculeata (Linnaeus, 1767)

AphiaID: 125125, STRAP: 8583, RVAN: 6211

Écologie

- Substrat : roche.
- Niche dans les crevasses de roches, de coquillages, etc.



Identification



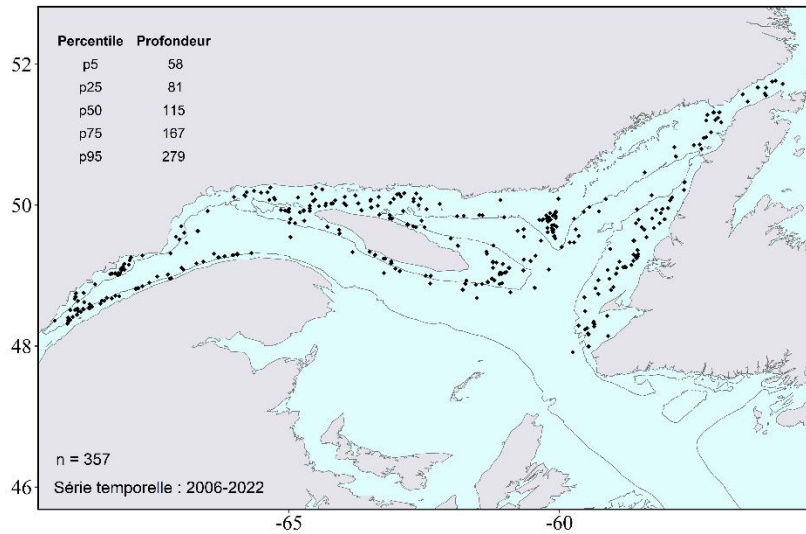


Ophiacantha bidentata (Bruzelius, 1805)

AphiaID: 124978, STRAP: 8575, RVAN: 7814

Écologie

- Substrat : sable, vase.



Identification

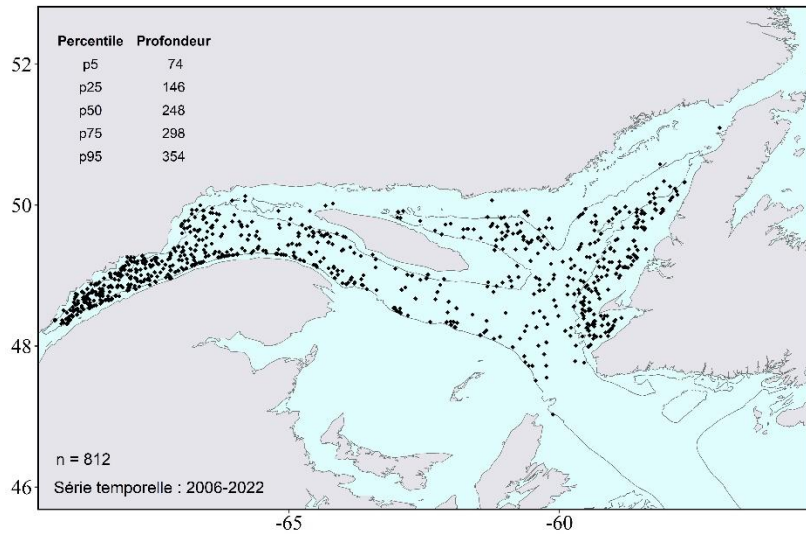




Ophiura sarsii (Lütken, 1855)
AphiaID: 124934, STRAP: 8553, RVAN: 6213

Écologie

- Substrat: vase.
- Peut former des lits denses.



Identification

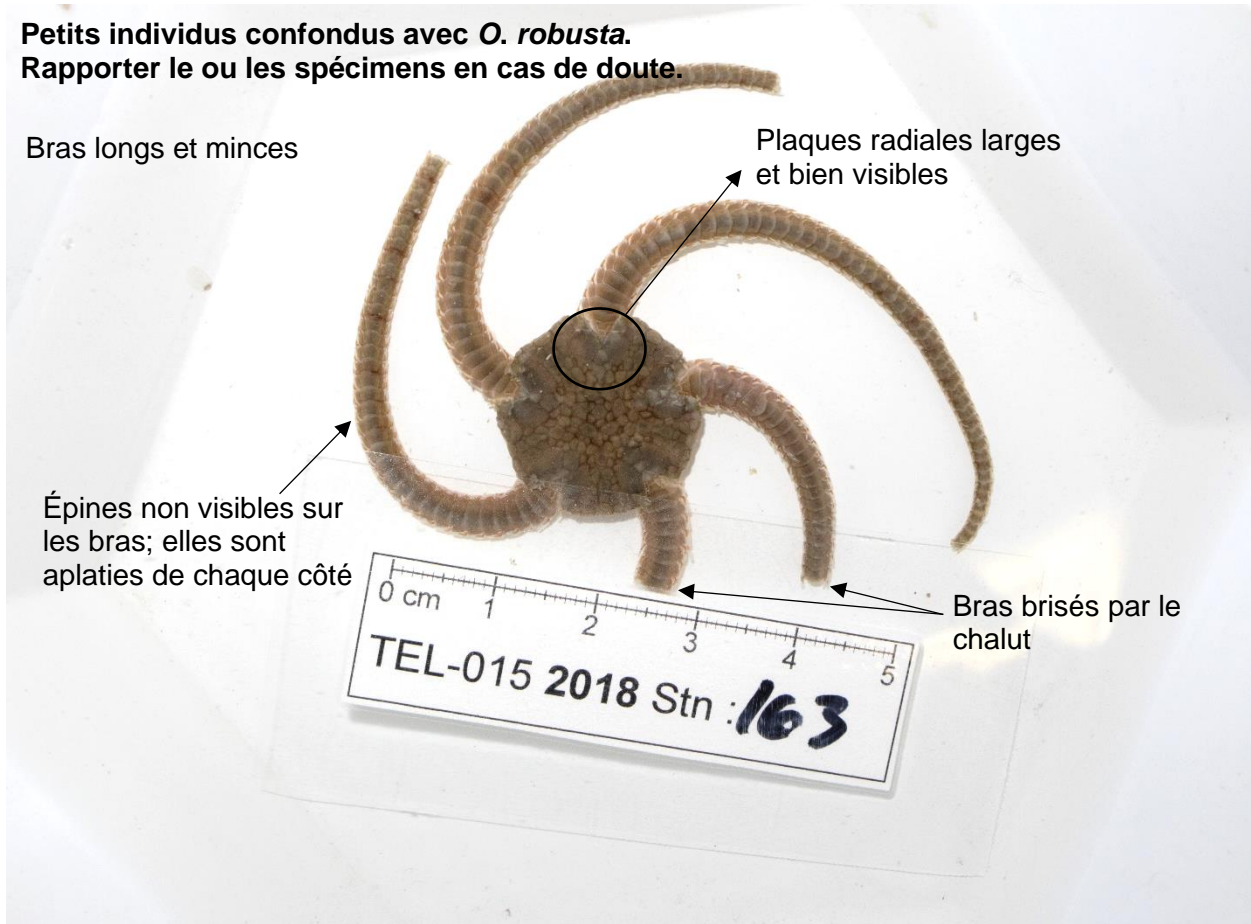
Petits individus confondus avec *O. robusta*.
Rapporter le ou les spécimens en cas de doute.

Bras longs et minces

Plaques radiales larges et bien visibles

Épines non visibles sur les bras; elles sont aplaties de chaque côté

Bras brisés par le chalut

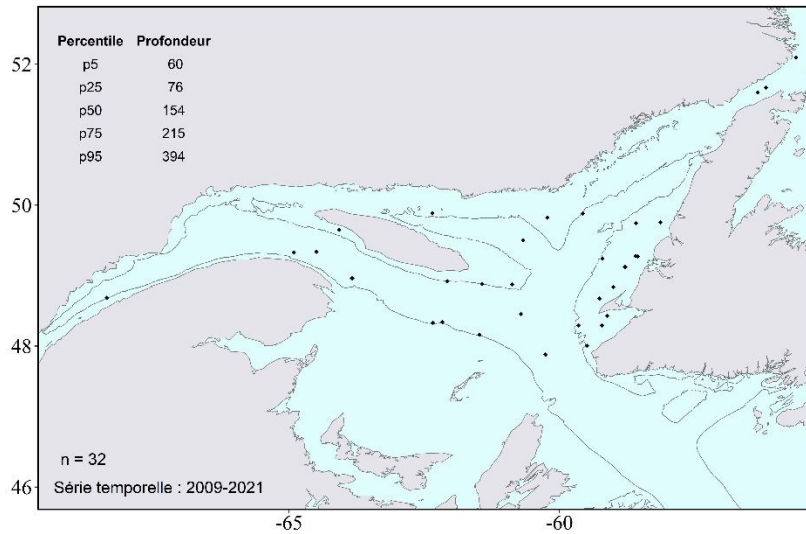




Ophiura robusta (Ayes, 1852)
 AphiaID: 124933, STRAP: 8552, RVAN: 6215

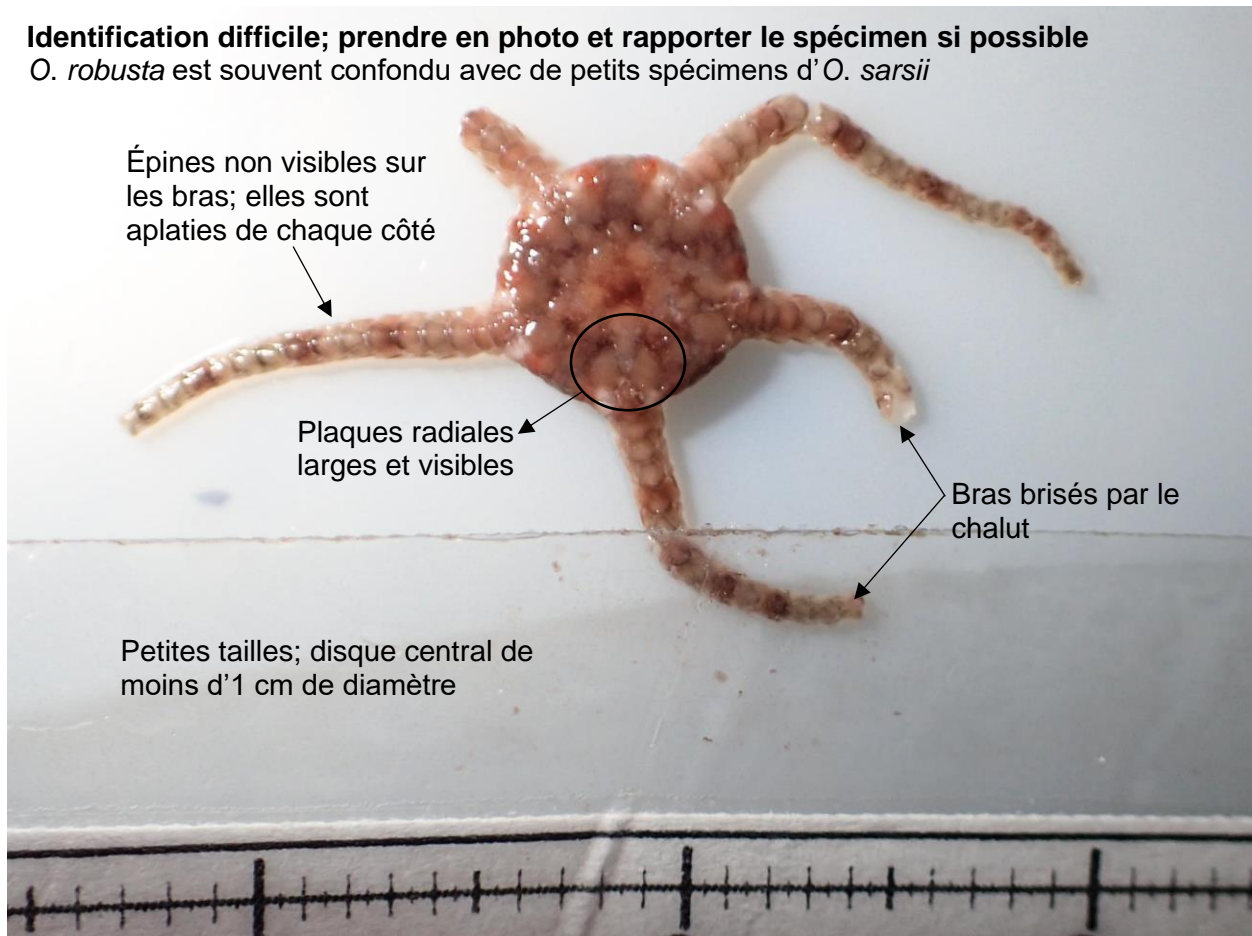
Écologie

- Substrat: roche.



Identification

Identification difficile; prendre en photo et rapporter le spécimen si possible
O. robusta est souvent confondu avec de petits spécimens d'*O. sarsii*

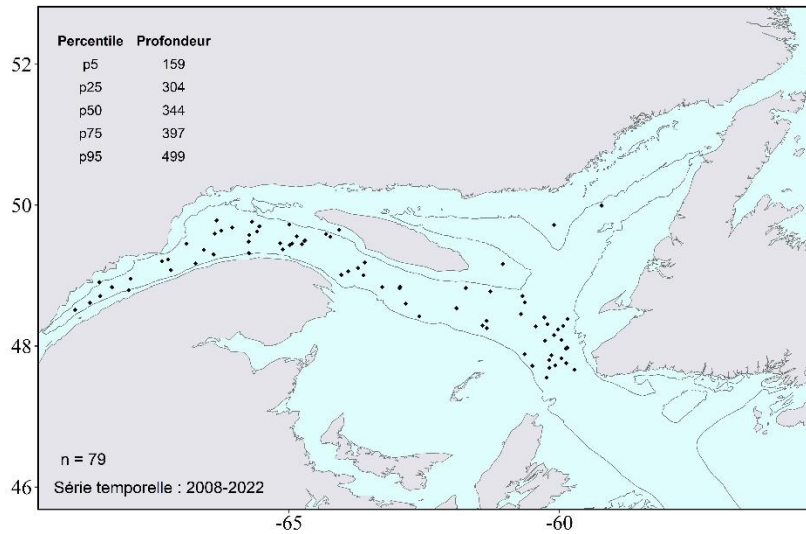




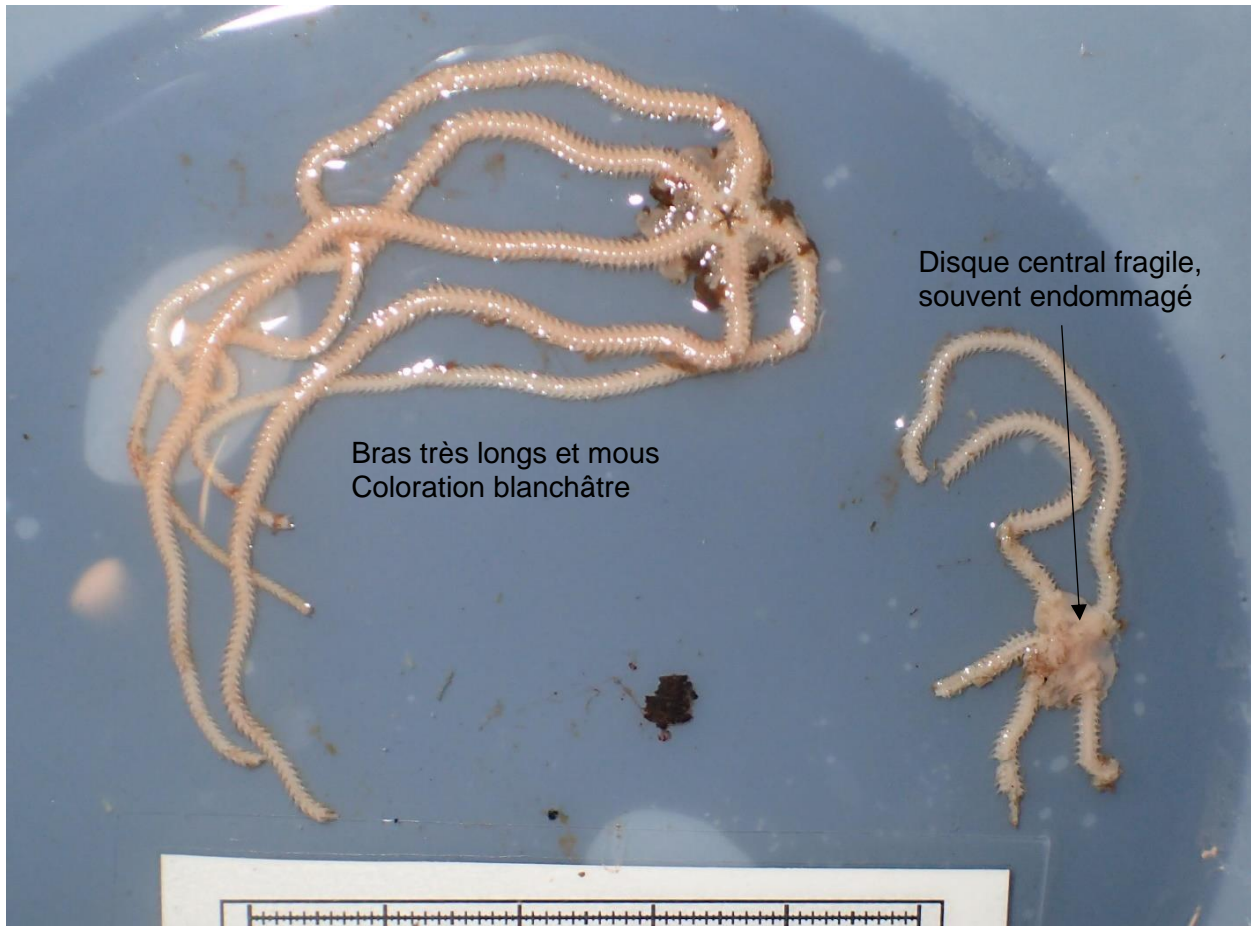
***Amphiura* sp.** (Forbes, 1843)
AphiaID: 123613, STRAP: 8593, RVAN: 7732

Écologie

- Substrat : vase.
- Disque enfoui dans les sédiments avec les bouts des bras sortant du sédiment pour capturer le plancton.



Identification



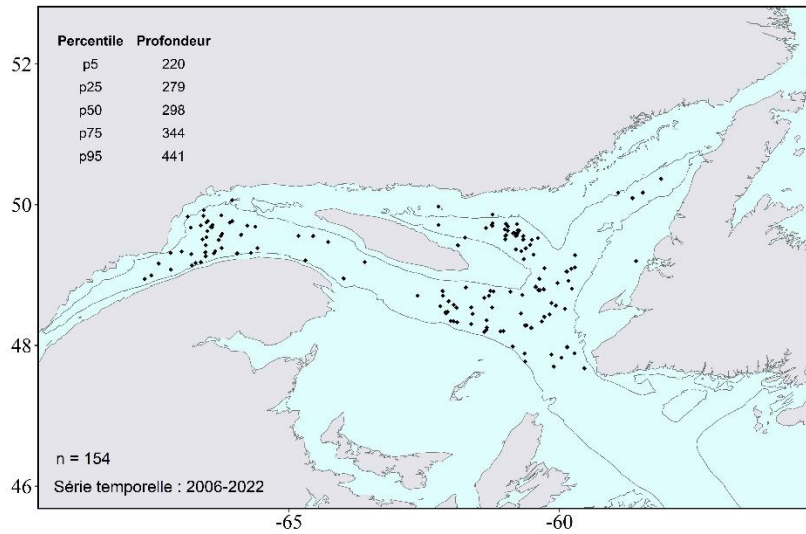


Ophioscolex glacialis (Müller & Troschel, 1842)

AphiaID: 125147, STRAP: 8585, RVAN: 7815

Écologie

- Substrat : vase.
- Bras phosphorescents.



Identification

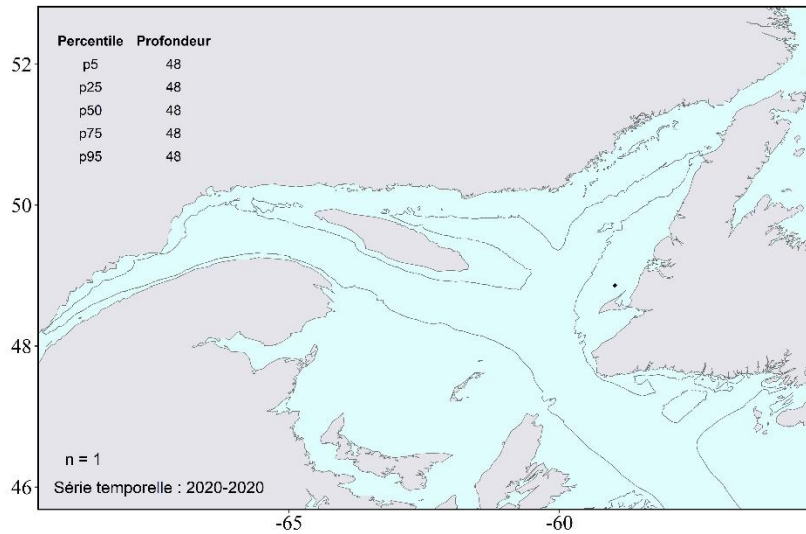




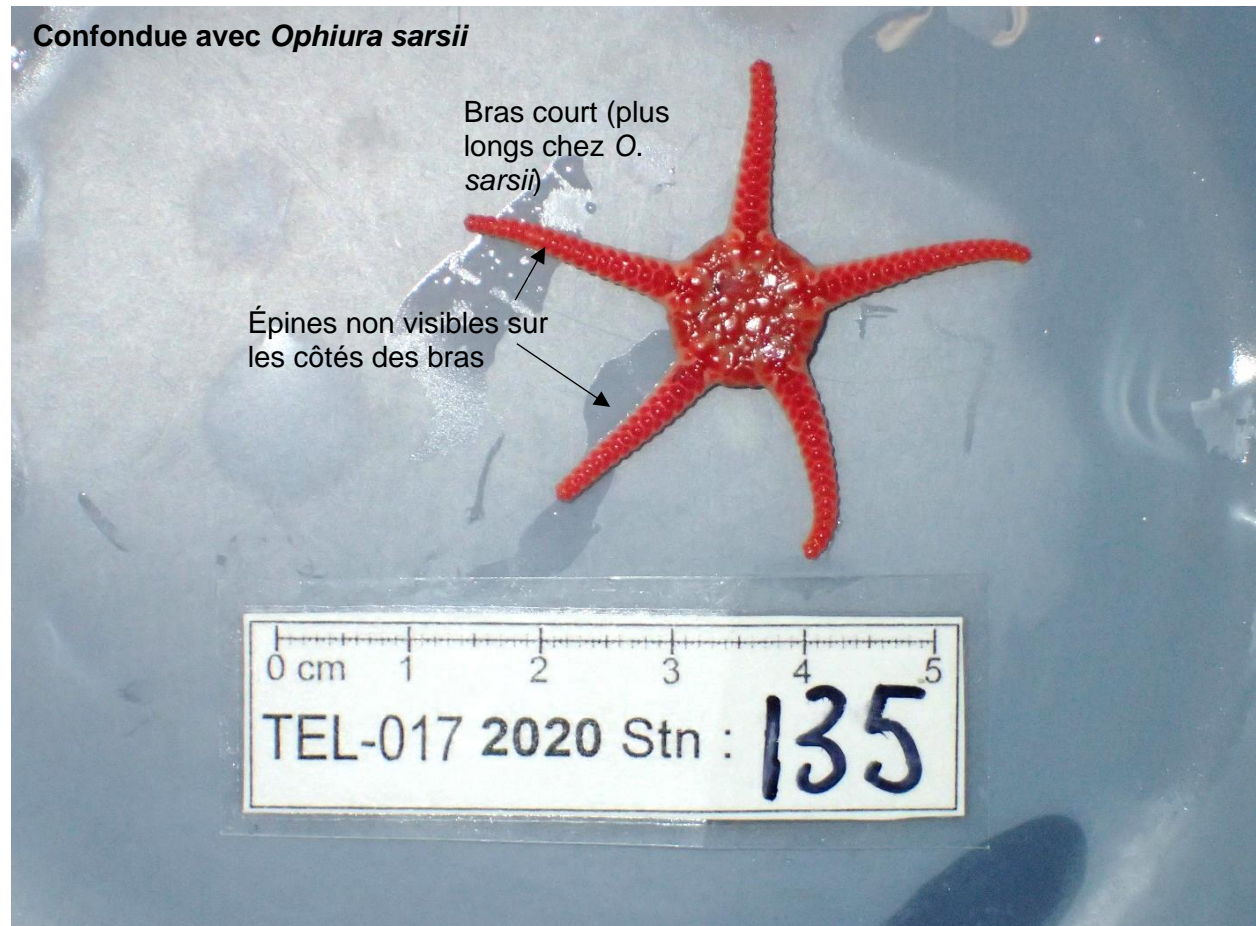
Stegophiura nodosa (Lütken, 1855)
 AphiaID: 124943, STRAP: 8570, RVAN: 6217

Écologie

- Substrat : sable.
- Espèce d'eaux froides. Très abondante dans les eaux arctiques.



Identification



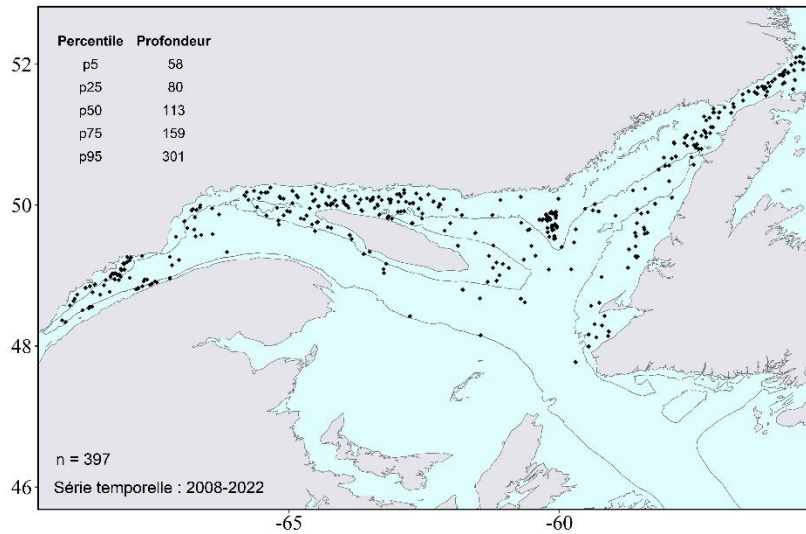


***Gorgonocephalus arcticus* (Leach, 1819)**

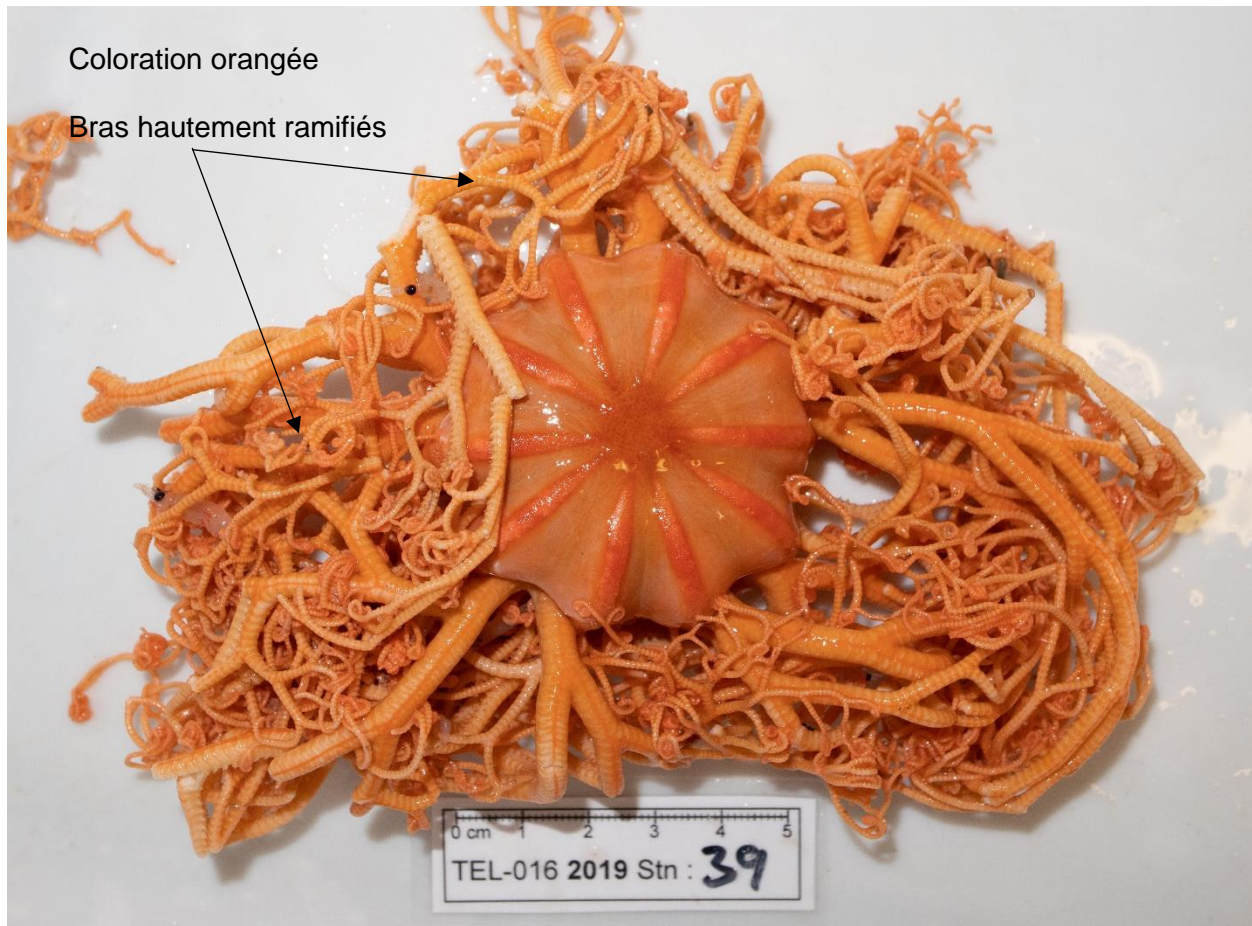
AphiaID: 124966, STRAP: 8541, RVAN: 7813

Écologie

- Substrat : roche.
- Leurs bras richement ramifiés forment un réseau dense dans lequel sont emprisonnés les organismes dont ils se nourrissent.
- Les jeunes gorgonocéphales vivent sur les branches de certaines espèces de coraux mous comme *Drifa glomerata*, *Duva florida* et *Gersemia rubiformis*.



Identification



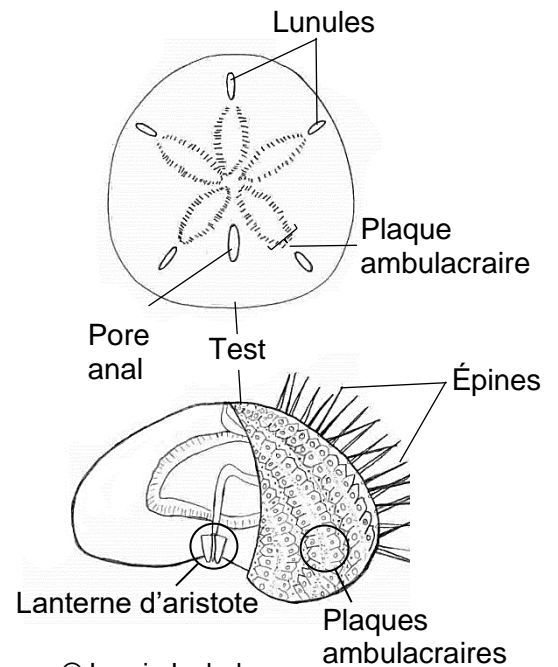
Phylum Echinodermata

Classe Echinoidea (Schumacher, 1817)

AphiaID: 123082, STRAP: 8360, RVAN: 6397

Les oursins de mer sont des organismes marins épineux de forme globulaire ou aplatie. Ils possèdent un **test** rigide formé de **plaques ambulacraires** régulièrement disposées qui portent des rangées d'**épines** mobiles. Ces épines protègent l'organisme contre les prédateurs. Chez quelques espèces d'oursins de mer, les épines contiennent du poison. La bouche de l'oursin de mer s'ouvre sur la face ventrale alors que l'anus, moins visible, a une localisation variable.

Quatre espèces d'oursins sont observées dans le relevé NGSL. Les oursins de mer *Strongylocentrotus droebachiensis* et *Strongylocentrotus pallidus* sont enregistrés au genre dans les captures du relevé NGSL puisque leur différenciation nécessite une analyse morphologique approfondie.



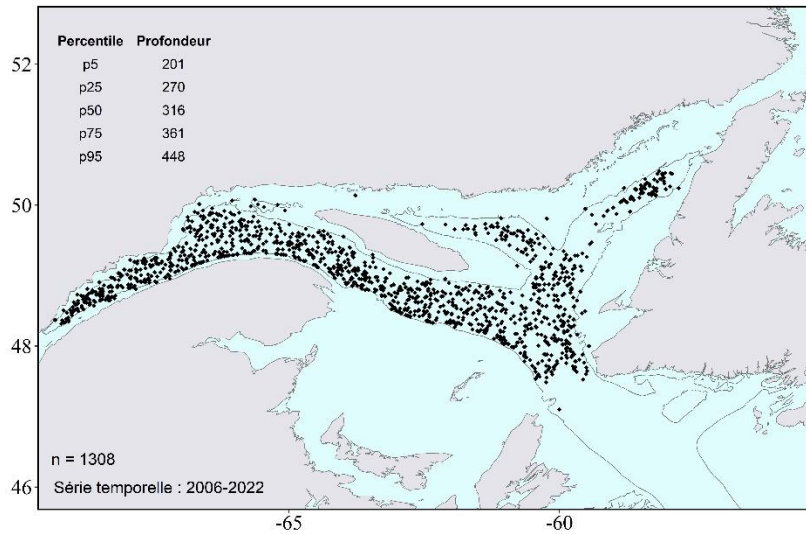


Brisaster fragilis (Düben & Koren, 1844)

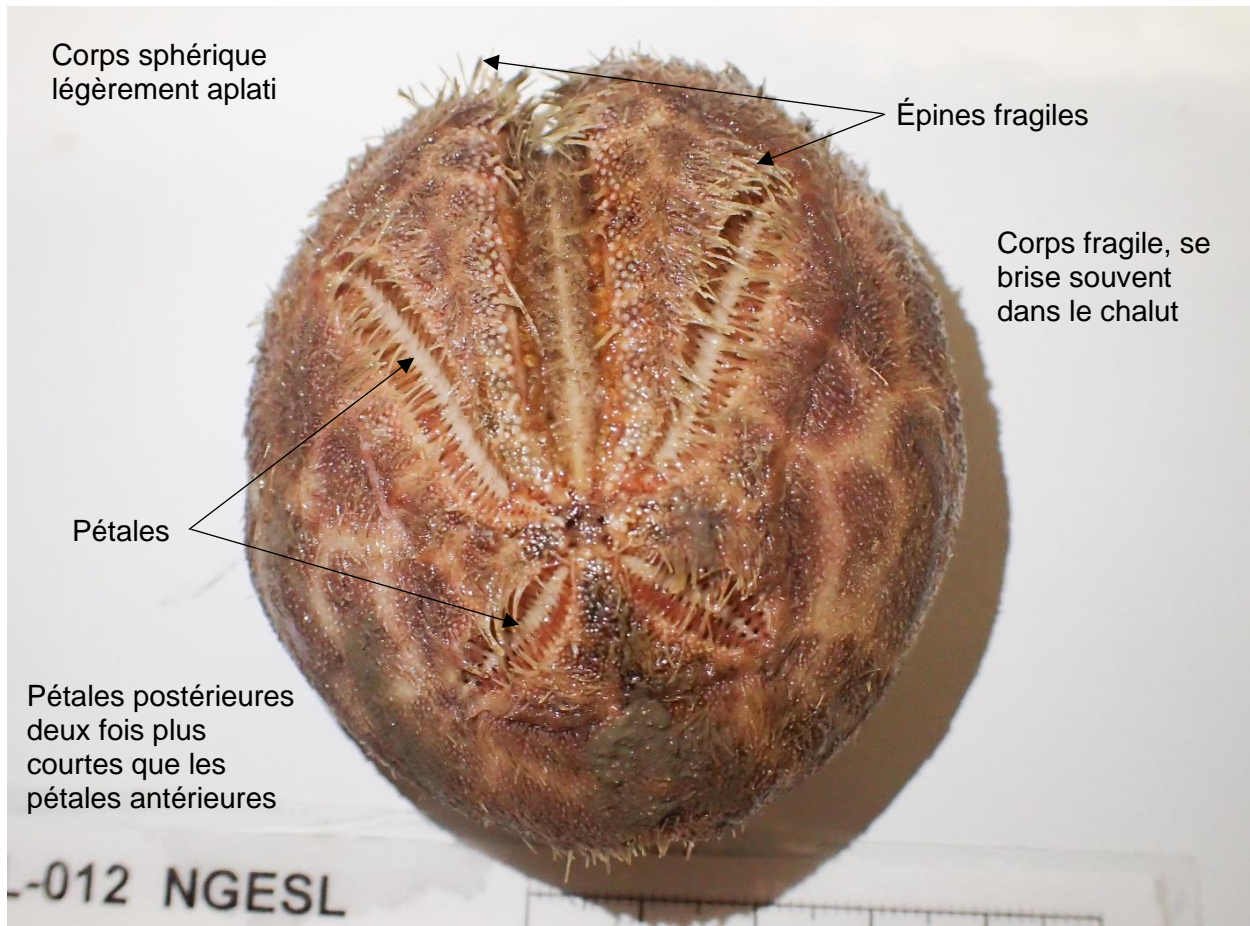
AphiaID: 124404, STRAP: 8378, RVAN: 6413

Écologie

- Substrat : sable fin, vase.
- Forme de grandes agrégations dans l'estuaire.
- Remplit son intestin de boue.



Identification

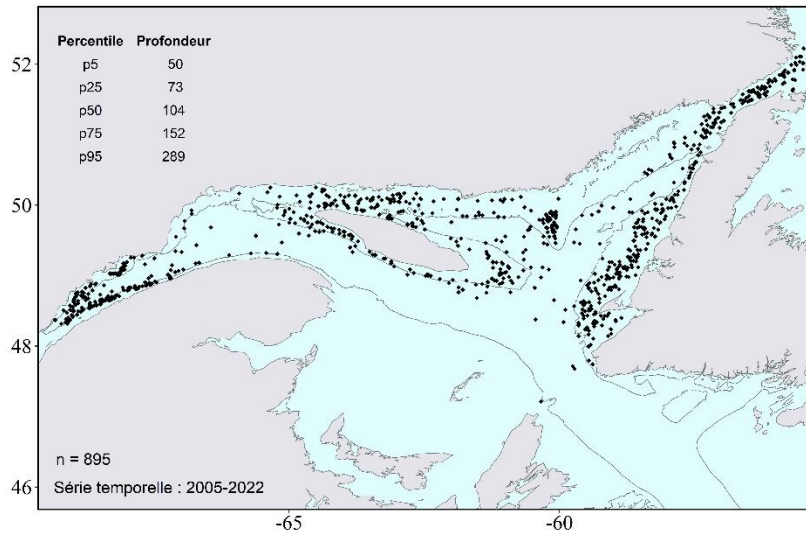




***Strongylocentrotus* sp. (Brandt, 1835)**
AphiaID: 123390, STRAP: 8363, RVAN: 6400

Écologie

- Substrat : roche.
- Brouteurs; peuvent causer des dommages importants aux forêts de laminaires.

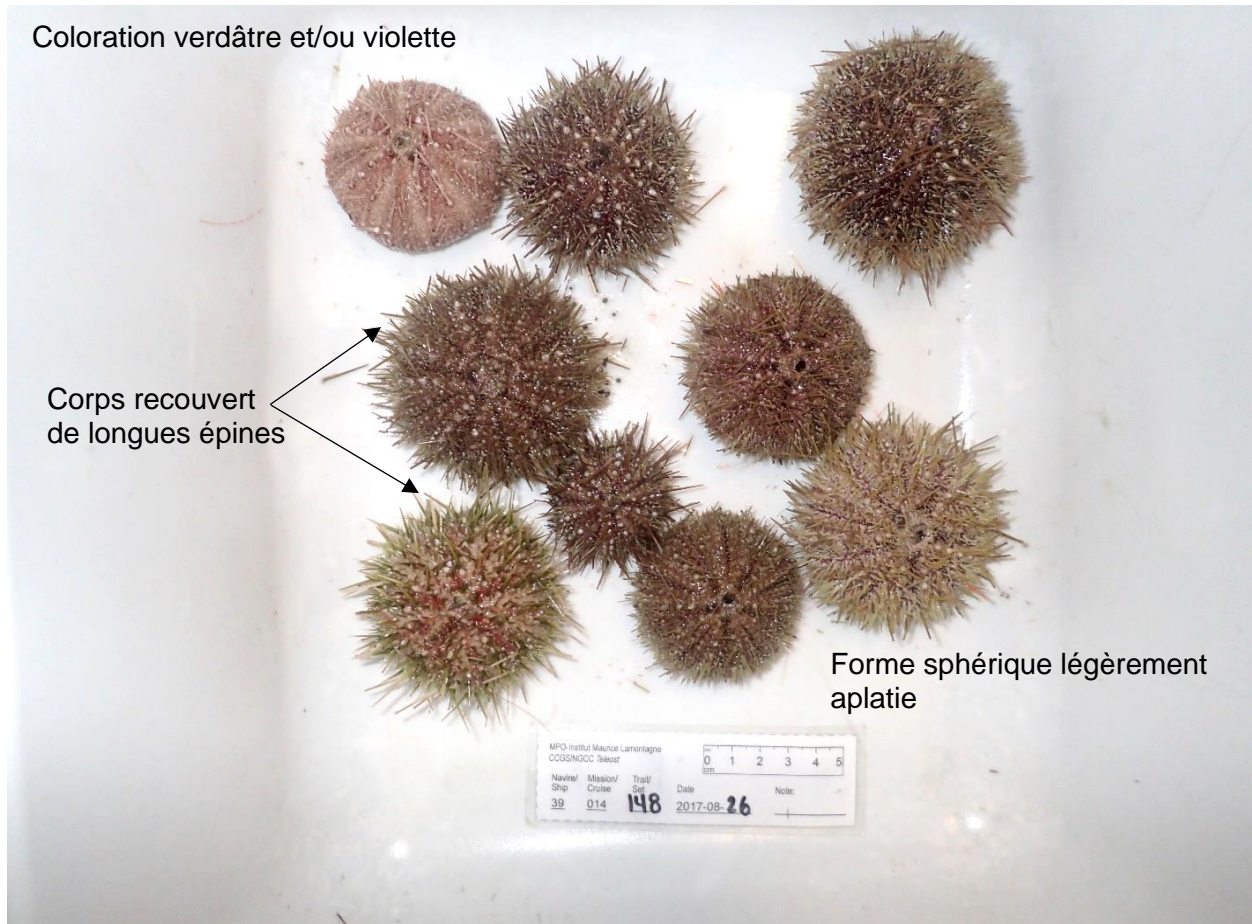


Identification

Coloration verdâtre et/ou violette

Corps recouvert de longues épines

Forme sphérique légèrement aplatie



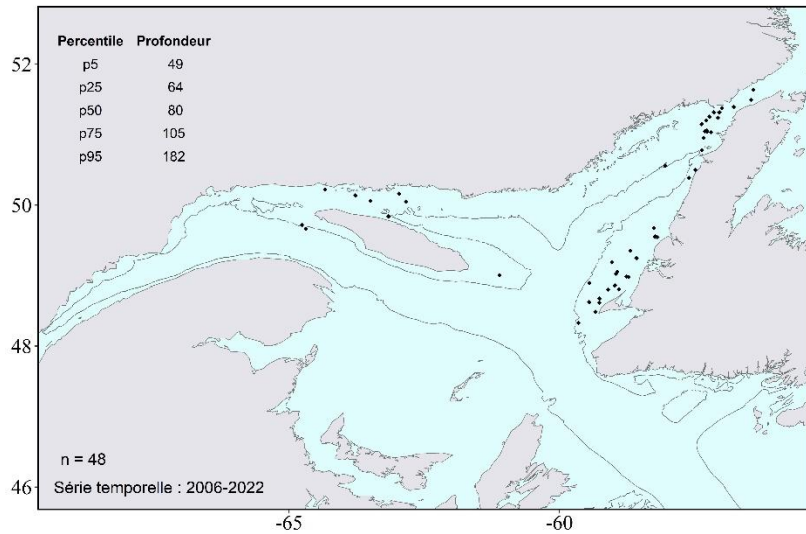


***Echinarachnius parma* (Lamarck, 1816)**

AphiaID: 158062, STRAP: 8373, RVAN: 6511

Écologie

- Substrat : sable, vase.
- Forme de denses agrégations de milliers d'individus à certains endroits.



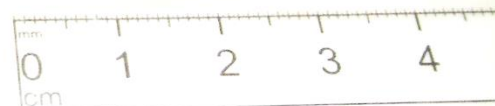
Identification

Corps plat, en forme de disque

Recouvert d'épines lui donnant une coloration marron rougeâtre, teintée de pourpre et de rouge



MPO-Institut Maurice Lamontagne
CCGS/NGCC Teleost



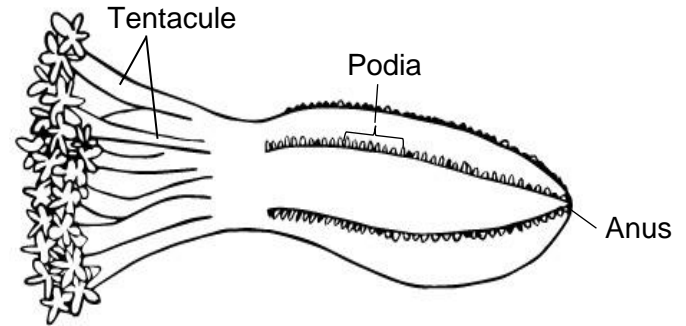
Navire/ Ship	Mission/ Cruise	Trait/ Set	Date	Note:
<u>39</u>	<u>006</u>	<u>68</u>	<u>2009-08-10</u>	<u>47</u>

Phylum Echinodermata

Classe **Holothuroidea** (de Blainville, 1834)

AphiaID : **123083**, STRAP: **8290**, RVAN: **6600**

Les concombres de mer sont des échinodermes ayant un corps de forme allongée, vermiforme ou allantoïde. Contrairement aux autres échinodermes, ils ne possèdent pas de bras libres, mais un cercle de **tentacules** autour de la **bouche** leur permettant de capturer la nourriture. L'**anus** est séparé de la bouche et se trouve à l'extrémité postérieure de l'organisme. Certaines espèces de concombre de mer présentent une surface dorsale et ventrale distincte. Les concombres de mer peuvent se déplacer en rampant à l'aide de leurs **podias** généralement disposés en cinq rangées distinctes.



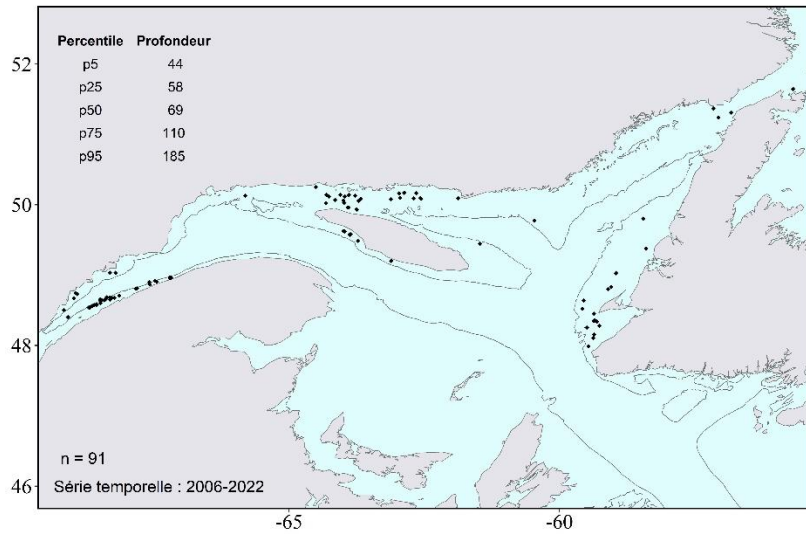
Cinq espèces de concombre de mer sont facilement identifiables dans les captures des relevés NGSL. Toutefois, d'autres espèces, généralement de petites tailles, sont présentes, mais il est difficile de les identifier en mer sans loupe binoculaire.



Cucumaria frondosa (Gunnerus, 1767)
AphiaID: 124612, STRAP: 8312, RVAN: 6611

Écologie

- Substrat : roche.
- Peut former des populations denses en milieu rocheux.



Identification

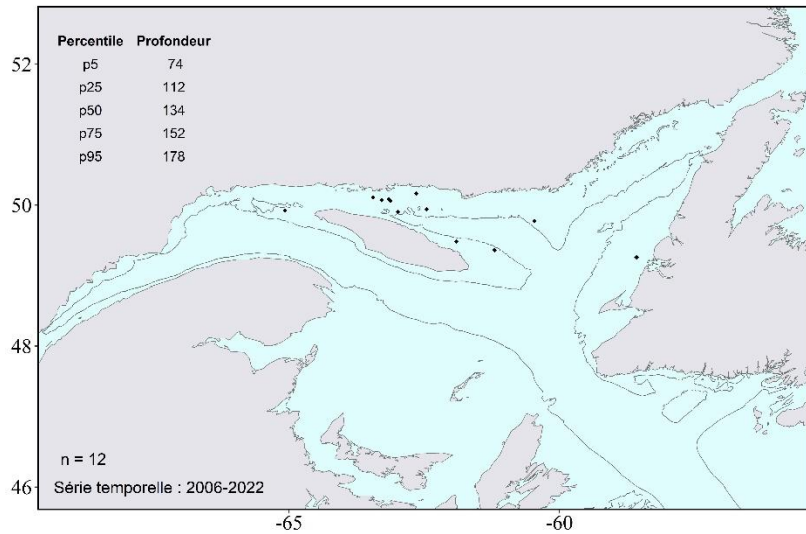




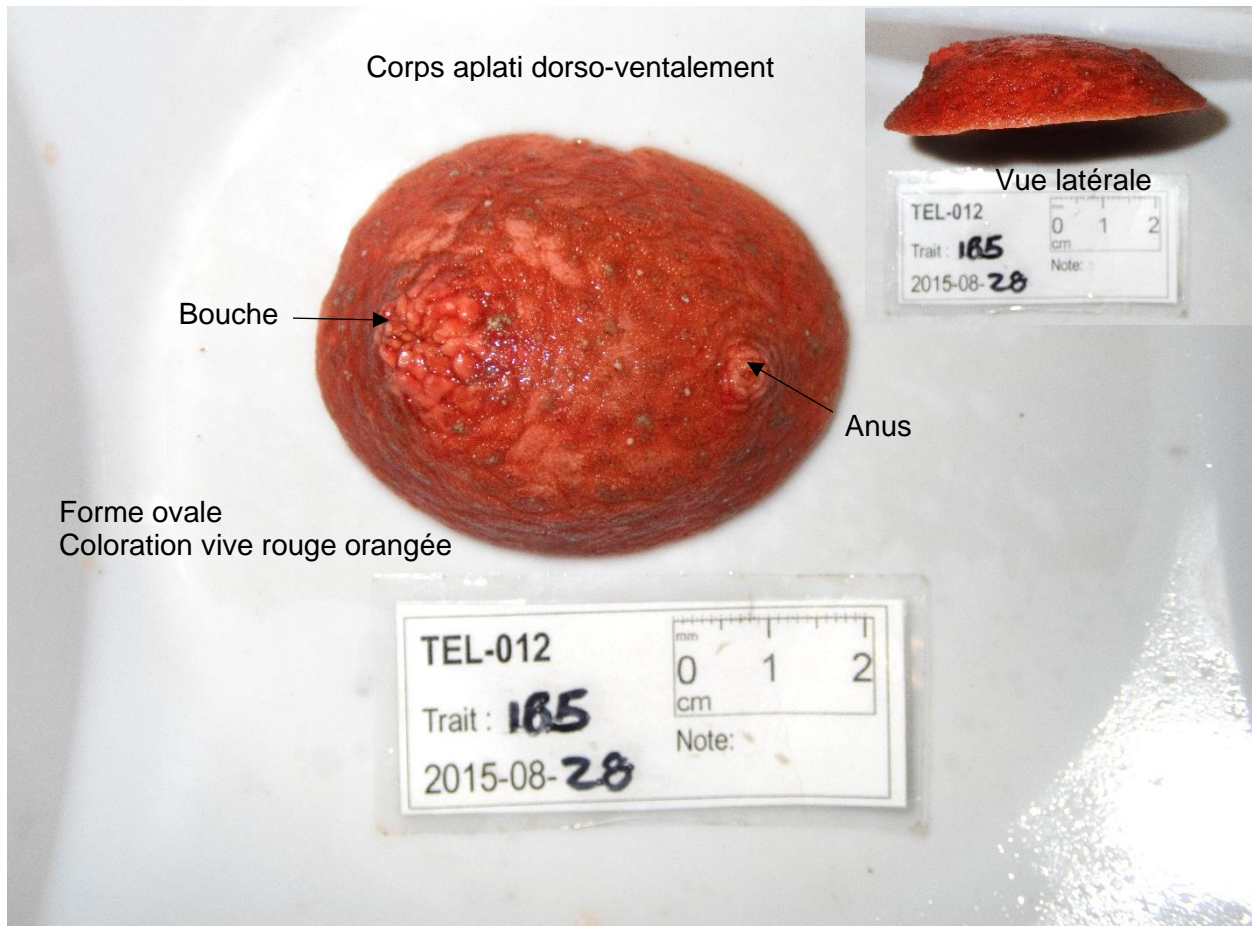
Psolus fabricii (Düben & Koren, 1846)
AphiaID: 124703, STRAP: 8295, RVAN: 6713

Écologie

- Substrat : roche.



Identification



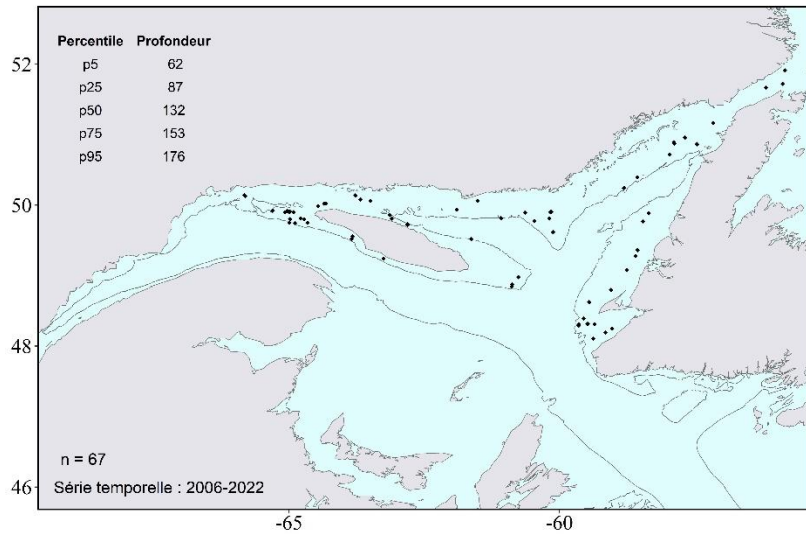


Psolus phantapus (Strussenfeldt, 1765)

AphiaID: 124710, STRAP: 8294, RVAN: 6715

Écologie

- Substrat : sable, vase.
- Vit partiellement enfouie dans le sédiment.



Identification

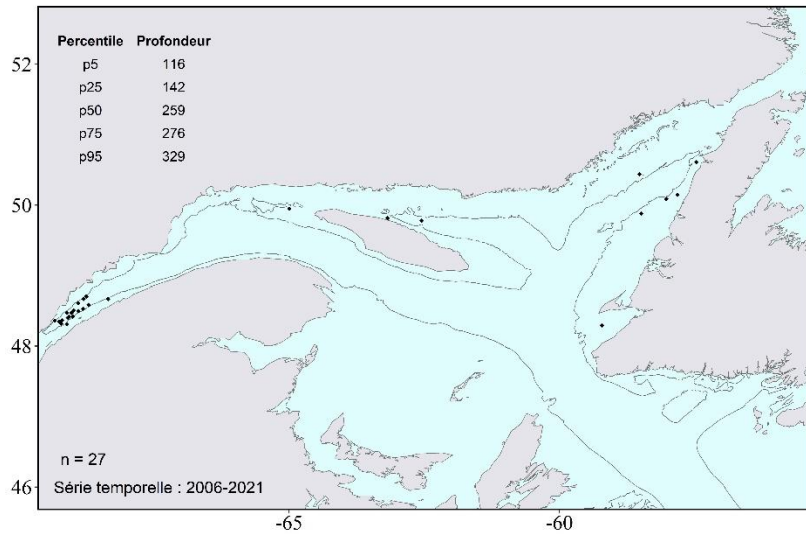




Molpadia oolitica (Pourtalès, 1851)
AphiaID: 124802, STRAP: 8322, RVAN: 7809

Écologie

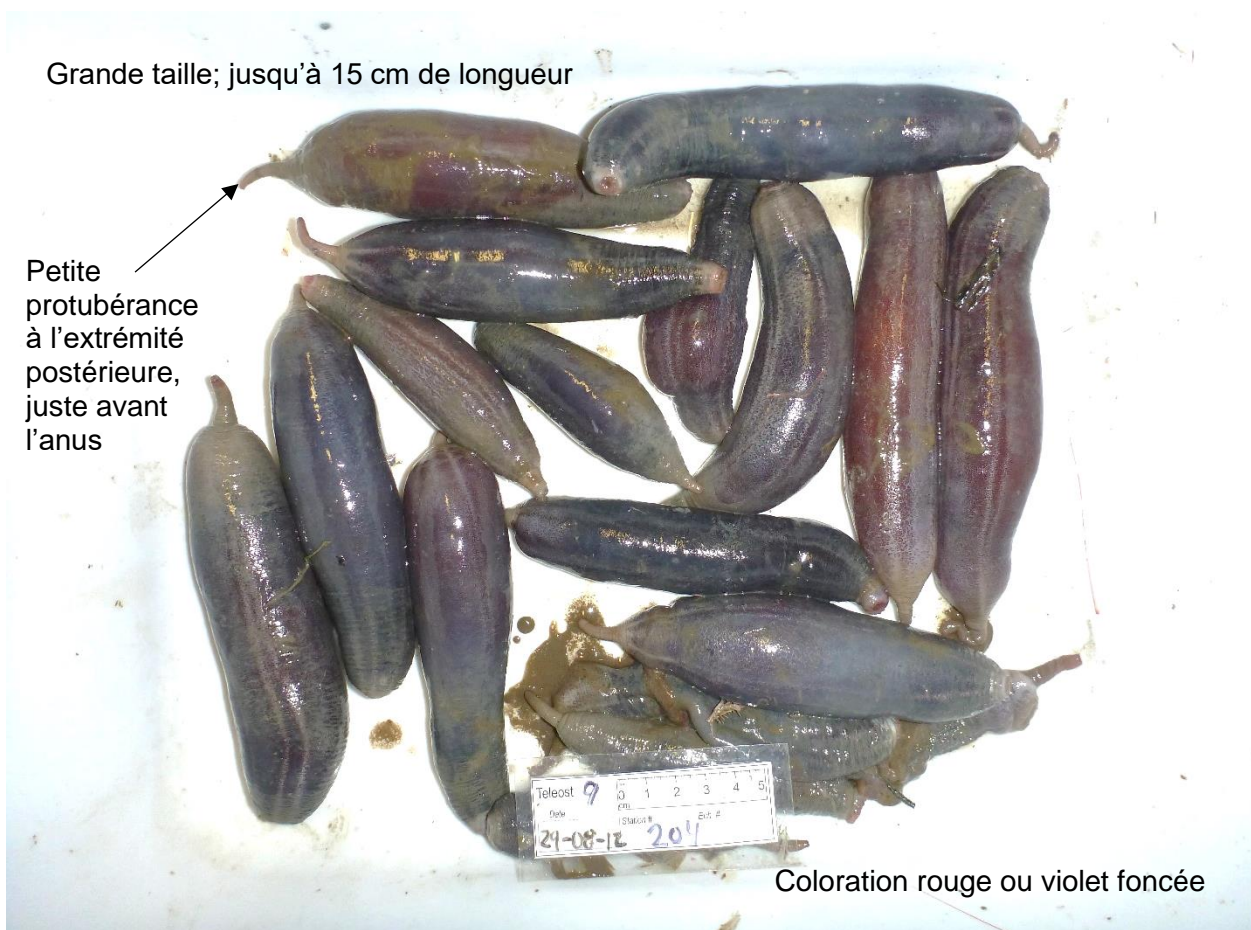
- Substrat : vase.
- Vit enfouie verticalement dans les fonds vaseux.



Identification

Grande taille; jusqu'à 15 cm de longueur

Petite protubérance à l'extrémité postérieure, juste avant l'anus



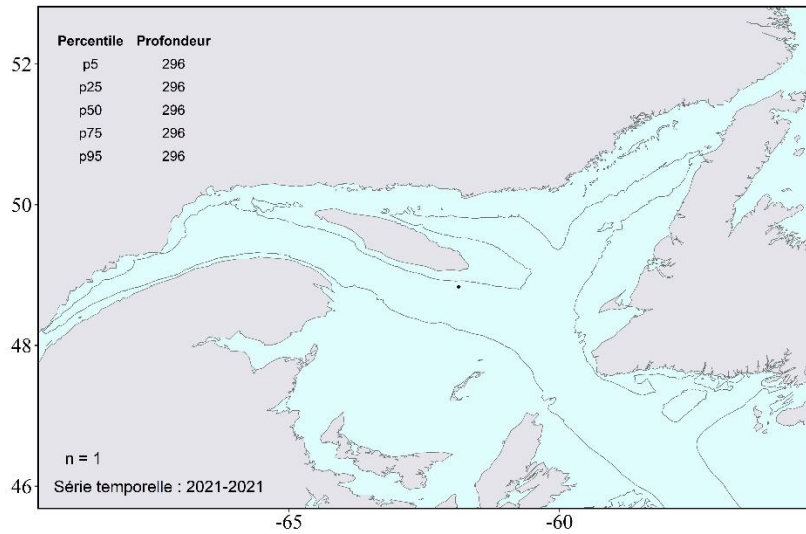
Coloration rouge ou violet foncée



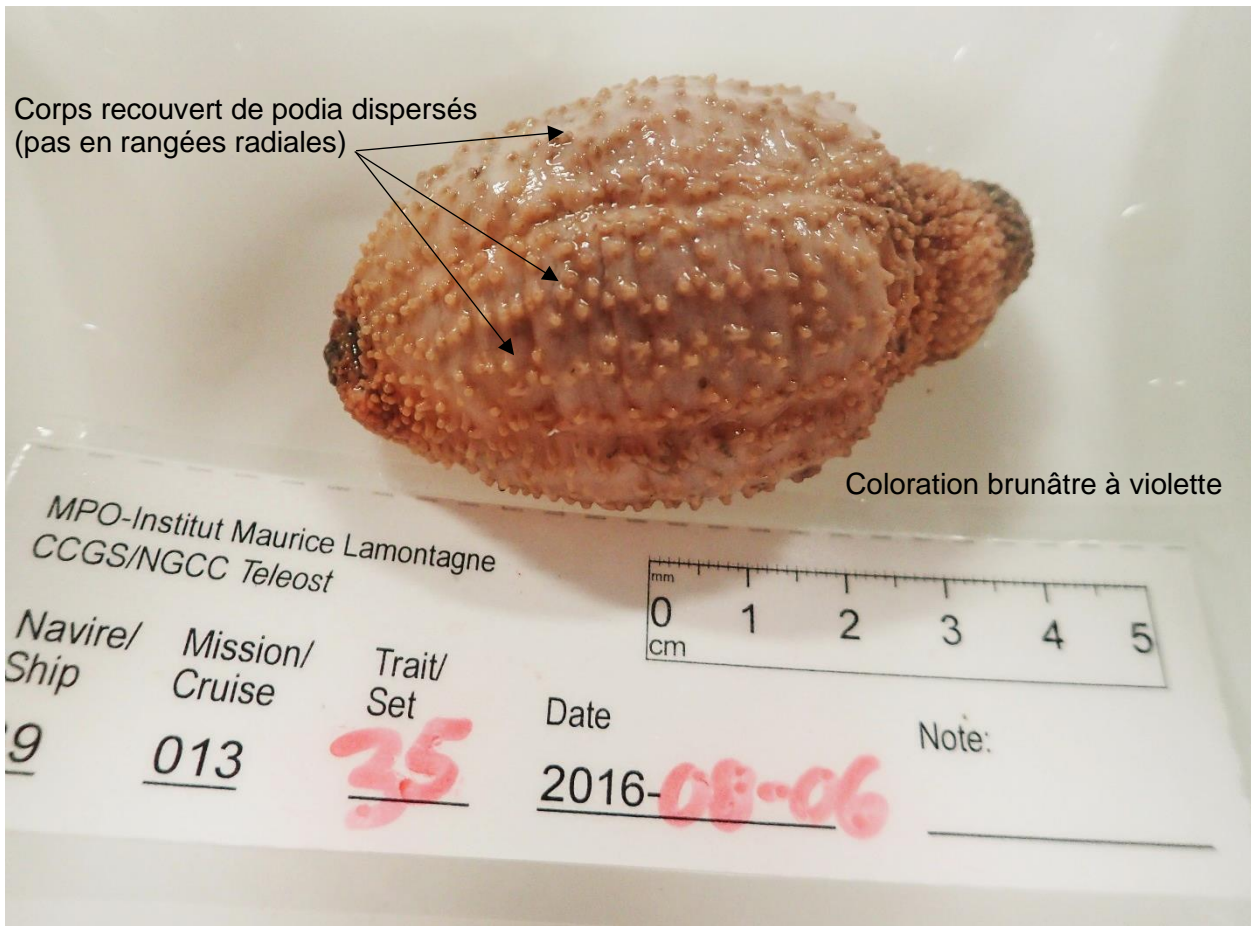
Ekmania barthii (Troschel, 1846)
 AphiaID: 124681, STRAP: 8316, RVAN: 7808

Écologie

- Substrat : roche ou autres substrats durs.



Identification



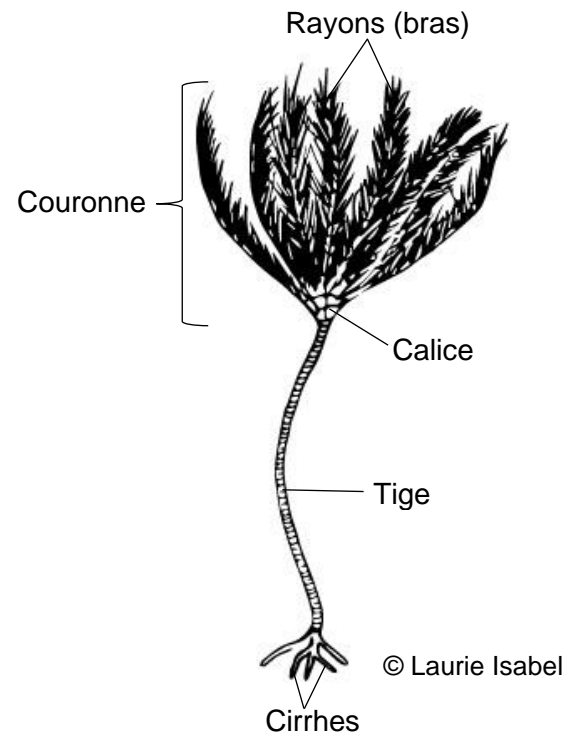
Phylum Echinodermata

Classe Crinoidea (Miller, 1821)

AphiaID: 123081, STRAP: 8261, RVAN: 6900

Les crinoïdes sont des animaux mobiles se déplaçant grâce à leurs longs **rayons**, aussi appelés **bras**, flexibles. Leurs bras prennent racine sur le **calice** qui abrite la plupart des organes de l'organisme et s'ouvre sur l'anus et la surface buccale. Les rayons sont aussi utilisés pour l'alimentation en acheminant la nourriture vers la surface buccale. La plupart des crinoïdes possèdent aussi des **cirrhés** permettant à l'organisme de s'ancrer dans le substrat. Certains crinoïdes, principalement ceux retrouvés à de grandes profondeurs, possèdent une structure corporelle située entre le calice et les cirrhes appelée **tige**. Cette dernière permet à l'organisme de s'ancrer plus profondément dans le substrat. La plupart des crinoïdes vivent en eaux profondes, mais quelques-uns sont retrouvés en eaux peu profondes, principalement dans les récifs coralliens.

Une seule espèce de crinoïdes est capturée dans le relevé NGSL, soit *Heliometra glacialis*.



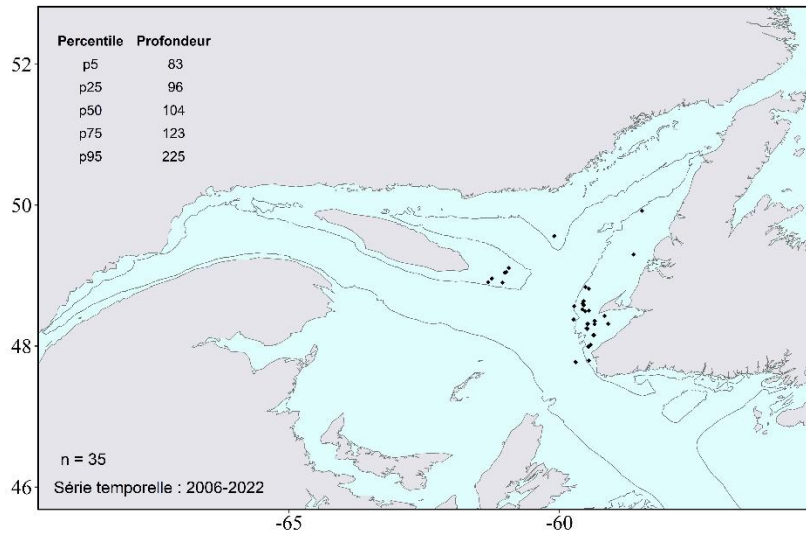


Heliometra glacialis (Owen, 1833 ex Leach MS)

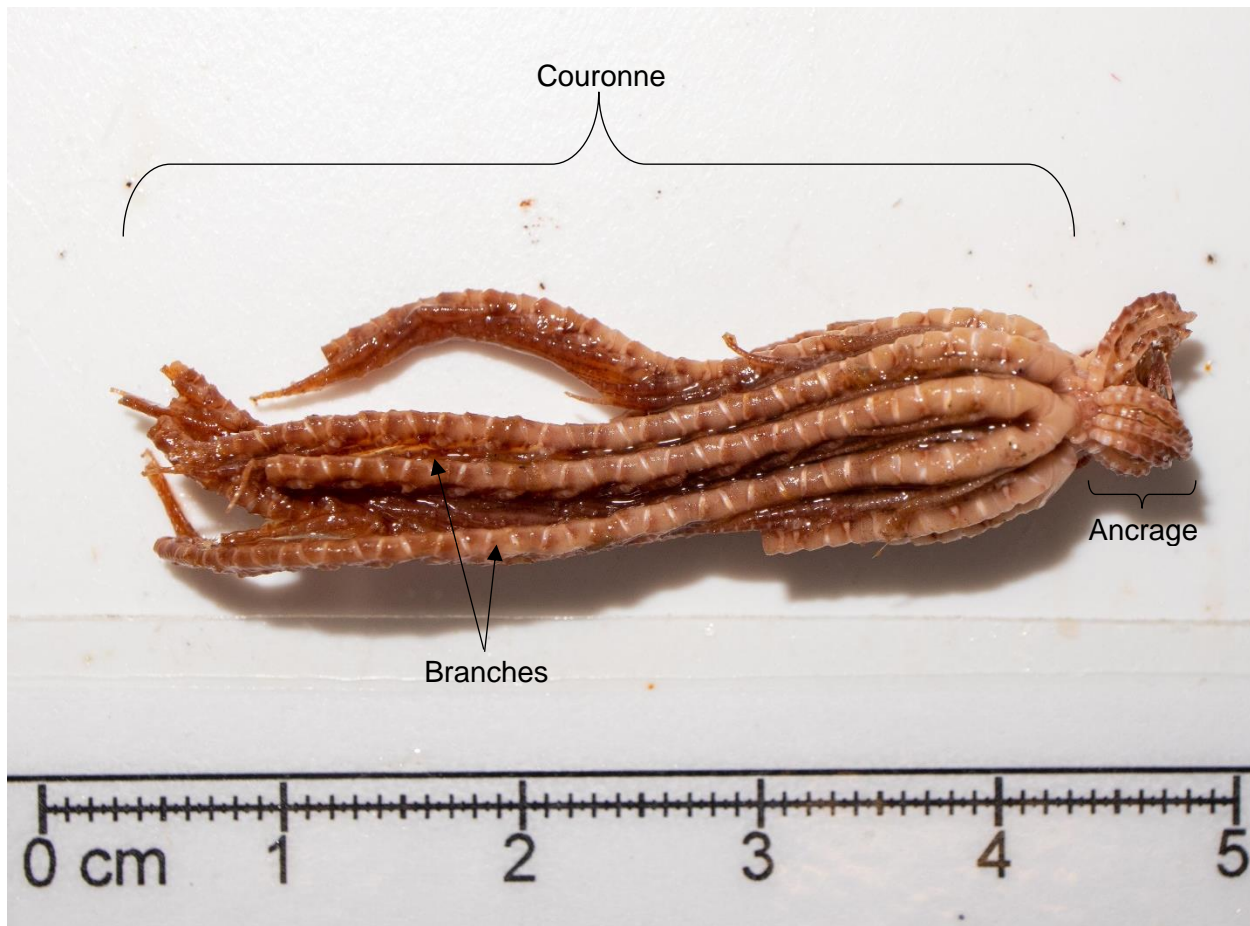
AphiaID: 124223, STRAP: 8263, RVAN: 7807

Écologie

- Substrat : tous types.
- Se déplace librement en ondulant les branches de sa couronne.



Identification



Références

- Birk, M. H., Blicher, M. E., et Garm, A. 2018. Deep-sea starfish from the Arctic have well-developed eyes in the dark. *Proc. Biol. Sci.*, 285(1872).
<https://doi.org/10.1098/rspb.2017.2743>
- Cabanac, A. et Himmelman, J. H. 1996. Population structure of the sand dollar *Echinarachnius parma* in the subtidal zone of the northern Gulf of St. Lawrence, eastern Canada. *Can. J. Zool.*, 74(4), 698-709. <https://doi.org/10.1139/z96-079>
- Carlson, H. R. et Pfister, C. A. 1999. A seventeen-year study of the rose star *Crossaster papposus* population in a coastal bay in southeast Alaska. *Marine Biol.*, 133(2), 223-230.
<https://doi.org/10.1007/s002270050461>
- Emson, R. H., Mladenov, P. V. et Barrow, K. 1991. The feeding mechanism of the basket star *Gorgonocephalus arcticus*. *Can. J. Zool.*, 69(2), 449-455. <https://doi.org/10.1139/z91-070>
- Gale, K. S. P., Hamel, J.-F. et Mercier, A. 2013. Trophic ecology of deep-sea Asteroidea (Echinodermata) from eastern Canada. *Deep Sea Res. Part I Oceanogr. Res. Pap.*, 80, 25-36. <https://doi.org/10.1016/j.dsr.2013.05.016>
- Gaymer, C. F., Himmelman, J. H. et Johnson, L. E. 2001. Distribution and feeding ecology of the seastars *Leptasterias polaris* and *Asterias vulgaris* in the northern Gulf of St. Lawrence, Canada. *J. Mar. Biol. Assoc.*, 81(5), 827-843.
<https://doi.org/10.1017/s0025315401004660>
- Guderley, H. E., Himmelman, J. H., Nadeau, M., Cortes, H. P., Tremblay, I. et Janssoone, X. 2015. Effect of different predators on the escape response of *Placopecten magellanicus*. *Marine Biol.*, 162(7), 1407-1415. <https://doi.org/10.1007/s00227-015-2677-x>
- Hansen, B. et McKenzie, J. D. 1991. A taxonomic review of Northern Atlantic species of Thyronidiinae and Semperiellinae (Echinodermata: Holothuroidea: Dendrochirotida). *Zool. J. Linn. Soc.*, 103(2), 101-127. <https://doi.org/10.1111/j.1096-3642.1991.tb00899.x>
- Harris, J. L., MacIsaac, K., Gilkinson, K. D. et Kenchington, E. L. 2009. Feeding biology of *Ophiura sarsii* Lütken, 1855 on Banquereau bank and the effects of fishing. *Marine Biol.*, 156(9), 1891-1902. <https://doi.org/10.1007/s00227-009-1222-1>
- Himmelman, J. H., Cardinal, A. et Bourget, E. 1983. Community development following removal of urchins, *Strongylocentrotus droebachiensis*, from the rocky subtidal zone of the St. Lawrence Estuary, Eastern Canada. *Oecologia*, 59(1), 27-39.
<https://doi.org/10.1007/BF00388068>
- Jossart, Q., Kochzius, M., Danis, B., Saucède, T. et Moreau, C. V. E. 2021. Diversity of the Pterasteridae (Asteroidea) in the Southern Ocean: a molecular and morphological approach. *Zool. J. Linn. Soc.*, 192(1), 105-116.
<https://doi.org/10.1093/zoolinnean/zlaa097>

Phylum Echinodermata

- Knott, K. E., Ringvold, H. et Blicher, M. E. 2018. Morphological and molecular analysis of *Henricia* Gray, 1840 (Asteroidea: Echinodermata) from the Northern Atlantic Ocean. Zool. J. Linn. Soc., 182(4), 791-807. <https://doi.org/10.1093/zoolinnean/zlx066>
- Mladenov, P. V., Carson, S. F. et Walker, C. W. 1986. Reproductive ecology of an obligately fissiparous population of the sea star *Stephanasterias albula* Stimpson. J. Exp. Mar. Biol. Ecol., 96(2), 155-175. [https://doi.org/10.1016/0022-0981\(86\)90240-6](https://doi.org/10.1016/0022-0981(86)90240-6)
- Mortensen, T. 1927. Handbook of the echinoderms of the British Isles. Oxford University Press, London, 471 p.
- Nadeau, M., Barbeau, M. A. et Brêthes, J.-C. 2009. Behavioural mechanisms of sea stars (*Asterias vulgaris* Verrill and *Leptasterias polaris* Müller) and crabs (*Cancer irroratus* Say and *Hyas araneus* Linnaeus) preying on juvenile sea scallops (*Placopecten magellanicus* (Gmelin)), and procedural effects of scallop tethering. J. Exp. Mar. Biol. Ecol., 374(2), 134-143. <https://doi.org/10.1016/j.jembe.2009.04.014>
- Neves, B. d. M., Wareham Hayes, V., Herder, E., Hedges, K., Grant, C. et Archambault, P. 2020. Cold-water soft corals (Cnidaria: Nephtheidae) as habitat for juvenile basket stars (Echinodermata: Gorgonocephalidae). Front. Mar. Sci., 7. <https://doi.org/10.3389/fmars.2020.547896>
- Rhoads, D. C. et Young, D. K. 1971. Animal-sediment relations in Cape Cod Bay, Massachusetts II. Reworking by *Molpadia oolitica* (Holothuroidea). Marine Biol., 11(3), 255-261. <https://doi.org/10.1007/bf00401273>
- Ringvold, H. et Andersen, T. 2016. Starfish (Asteroidea, Echinodermata) from the Faroe Islands; spatial distribution and abundance. Deep Sea Res. Part I Oceanogr. Res., 107, 22-30. <https://doi.org/10.1016/j.dsr.2015.09.004>
- Shick, J. M. 1976. Physiological and behavioral responses to hypoxia and hydrogen sulfide in the infaunal asteroid *Ctenodiscus crispatus*. Marine Biol., 37(3), 279-289. <https://doi.org/10.1007/bf00387613>
- Shick, J. M., Taylor, W. F. et Lamb, A. N. 1981. Reproduction and genetic variation in the deposit-feeding sea star *Ctenodiscus crispatus*. Marine Biol., 63(1), 51-66. <https://doi.org/10.1007/bf00394662>
- Stratanenko, E. A. et Denisenko, S. G. 2020. Growth of *Stegophiura nodosa* (Echinodermata, Ophiuroidea) in the Pechora Sea. J. Mar. Biol. Assoc., 100(7), 1129-1133. <https://doi.org/10.1017/s0025315420001010>
- St-Pierre, A. P., Moreland, H. R. et Gagnon, P. 2018. Body size and competitor identity modulate prey consumption and feeding behaviour in a slow-moving benthic predator (*Asterias rubens*, Linnaeus). J. Exp. Mar. Biol. Ecol., 507, 8-16. <https://doi.org/10.1016/j.jembe.2018.07.002>
- Stratanenko, E. A. et Denisenko, S. G. 2020. Growth of *Stegophiura nodosa* (Echinodermata, Ophiuroidea) in the Pechora Sea. J. Mar. Biol. Assoc., 100(7), 1129-1133. <https://doi.org/10.1017/s0025315420001010>

Phylum Echinodermata

Swan, E. F. 1962. Evidence suggesting the existence of two species of *Strongylocentrotus* (Echinoidea) in the Northwest Atlantic. *Can. J. Zool.*, 40(7), 1211-1222.
<https://doi.org/10.1139/z62-096>

Walker, D. E. et Gagnon, J.-M. 2014. Locomotion and functional spine morphology of the heart urchin *Brisaster fragilis*, with comparisons to *B. latifrons*. *J. Mar. Biol.*, 2014, 1-9.
<https://doi.org/10.1155/2014/297631>

Nemertea

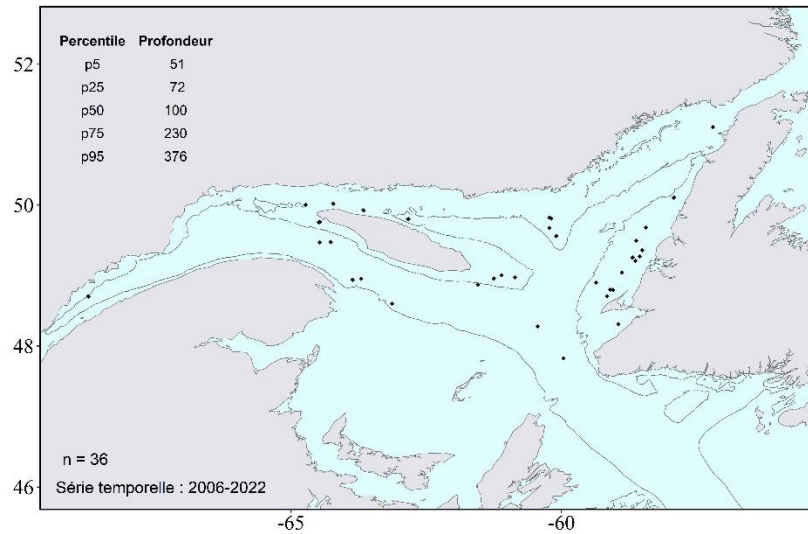


Nemertea

AphiaID: 152391, STRAP: 3000, RVAN: 5500

Écologie

- Substrat : tous types.
- Trois types différents : rouge, brun et vert.



Identification



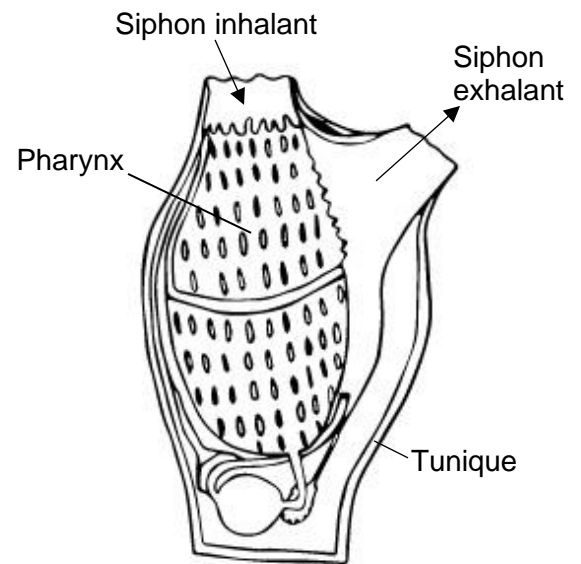
Tunicata

Sous-phylum Tunicata

Classe **Ascidiacea** (Blainville, 1824)
AphiaID: **1839**, STRAP: **8680**, RVAN: **7733**

Les ascidies sont un groupe d'organismes exclusivement marins appartenant à l'embranchement des tuniciers. Ces derniers doivent leur nom au tégument cellulosique qui recouvre leur corps, appelé **tunique**. Les ascidies sont des animaux filtreurs. L'eau pénètre par le **siphon inhalant** puis est ensuite envoyée au pharynx qui la filtre pour en retirer les nutriments nécessaires à l'alimentation de l'organisme. L'eau est ensuite rejeté par le **siphon exhalant**. Les ascidies existent sous deux formes principales : les ascidies solitaires et les ascidies coloniales. Chez les ascidies solitaires, un seul individu vit de façon autonome. Chez les ascidies coloniales, plusieurs individus, appelés zoïdes, forment une colonie se partageant une tunique commune.

Quatorze taxons d'ascidie sont facilement identifiables dans les captures du relevé NGSL. Trois espèces du genre *Ascidia*, soit *A. callosa*, *A. obliqua* et *A. prunum*, sont capturées dans le relevé NGSL, mais nécessitent une analyse de l'anatomie interne sous la loupe binoculaire pour différencier les espèces.



© Laurie Isabel



Ascidie solitaire



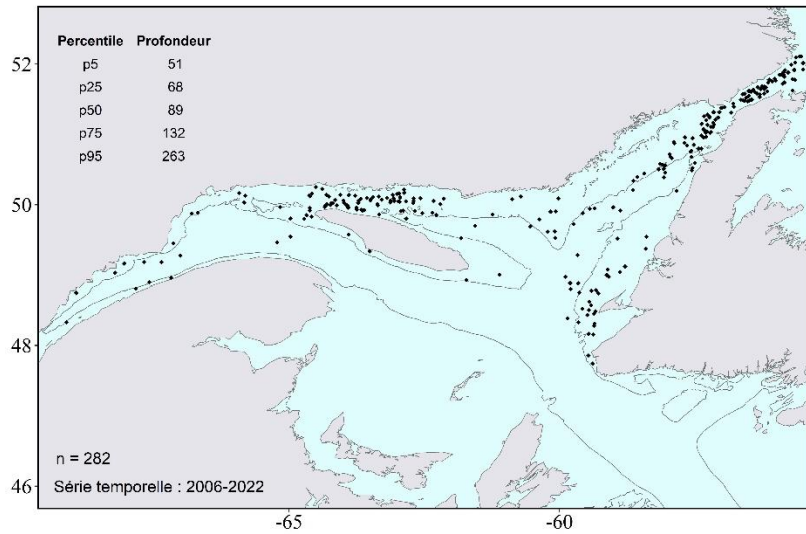
Ascidie coloniale



Boltenia ovifera (Linnaeus, 1767)
AphiaID: 103815, STRAP: 8792, RVAN: 7749

Écologie

- Substrat : roche.
- Vit attachée par le pédoncule au substrat.
- Peut être présente en grand nombre et former un habitat biogénique.
- Indicateur d'écosystèmes marins vulnérables.



Identification

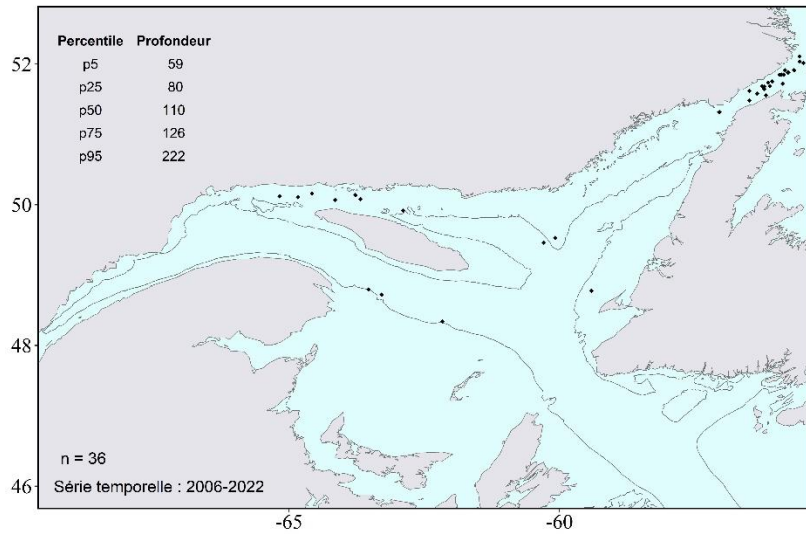




Boltenia echinata (Linnaeus, 1767)
AphiaID: 103814, STRAP: 8793, RVAN: 7818

Écologie

- Substrat : roche ou autres substrats durs.



Identification

Corps globuleux à ovoïde,
attaché par la base

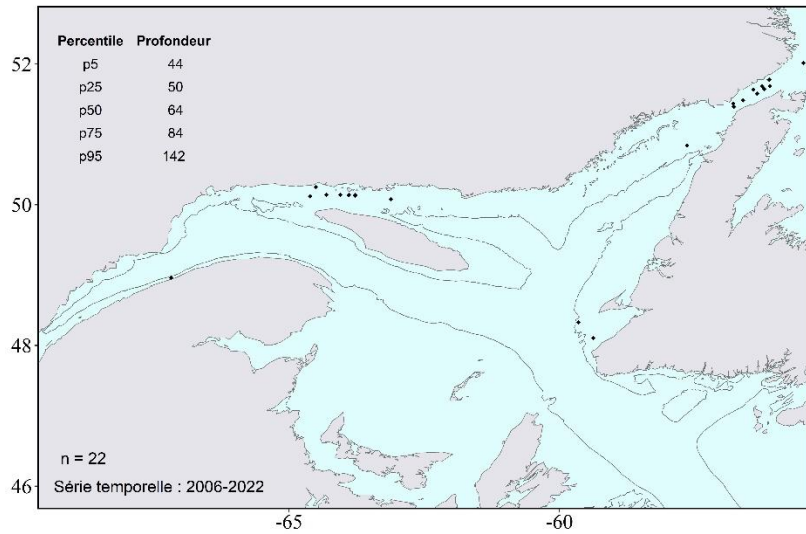




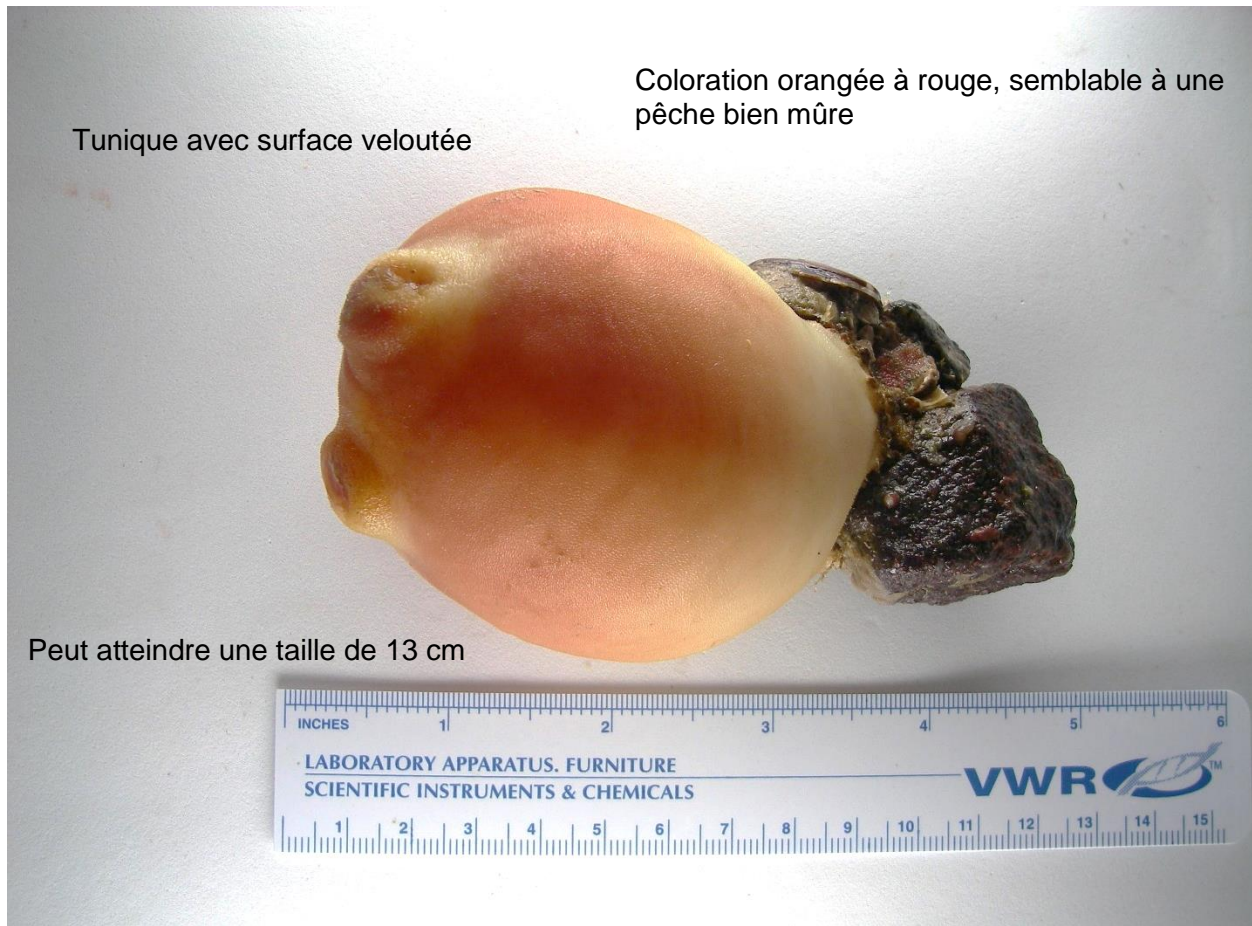
Halocynthia pyriformis (Rathke, 1806)
AphiaID: 103828, STRAP: 8797, RVAN: 1827

Écologie

- Substrat : roche et autres substrats durs.



Identification

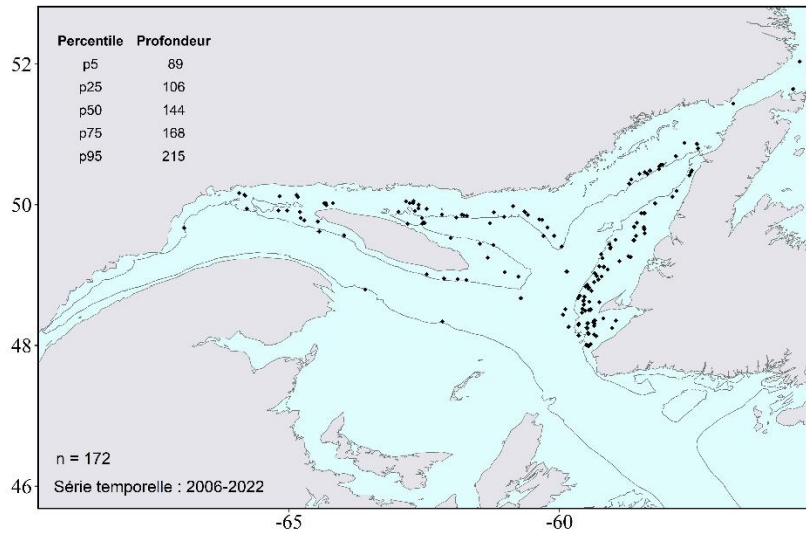




Eudistoma vitreum (Sars, 1851)
 AphiaID: 103624, STRAP: 8778, RVAN: 7734

Écologie

- Substrat : roche et autres substrats durs.



Identification

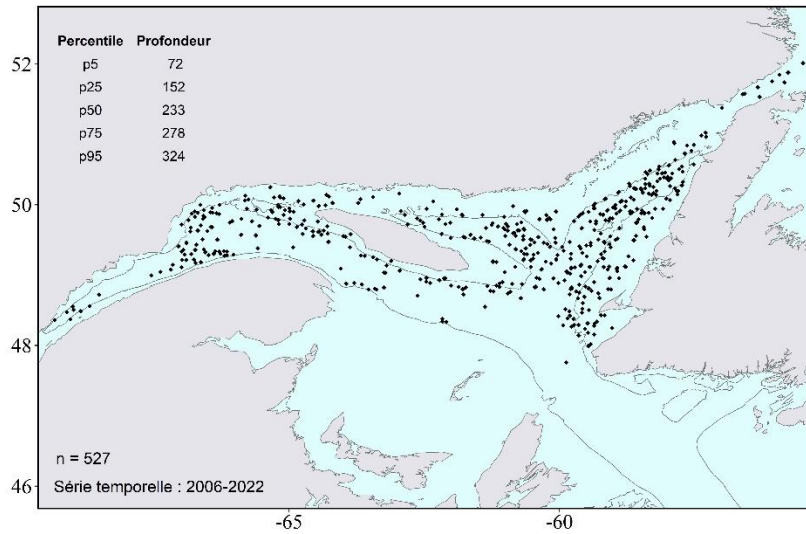




Ascidia sp. (Linnaeus, 1767)
AphiaID: 103483, STRAP: 8742, RVAN: 1821

Écologie

- Substrat : roche et autres substrats durs.



Identification



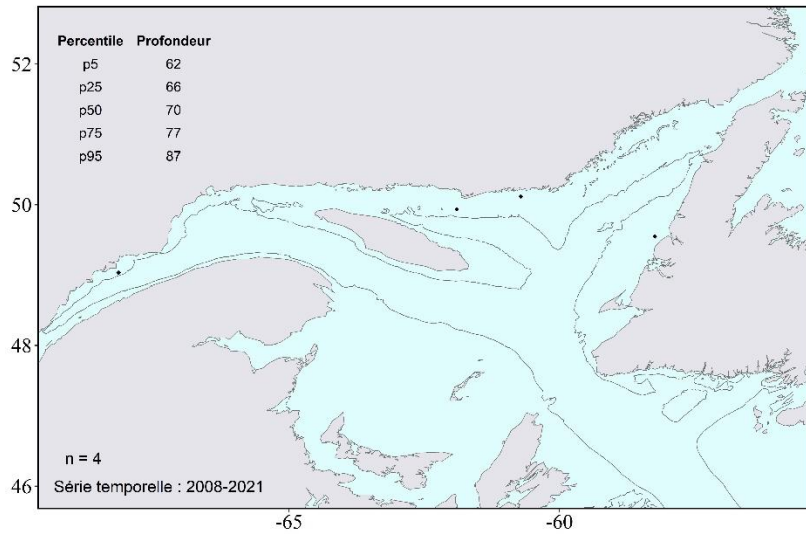


Pelonaia corrugata (Goodsir & Forbes, 1841)

AphiaID: 103894, STRAP: 8781, RVAN: 7817

Écologie

- Substrat : sable, vase.
- Vit partiellement enfouie dans le sédiment.



Identification

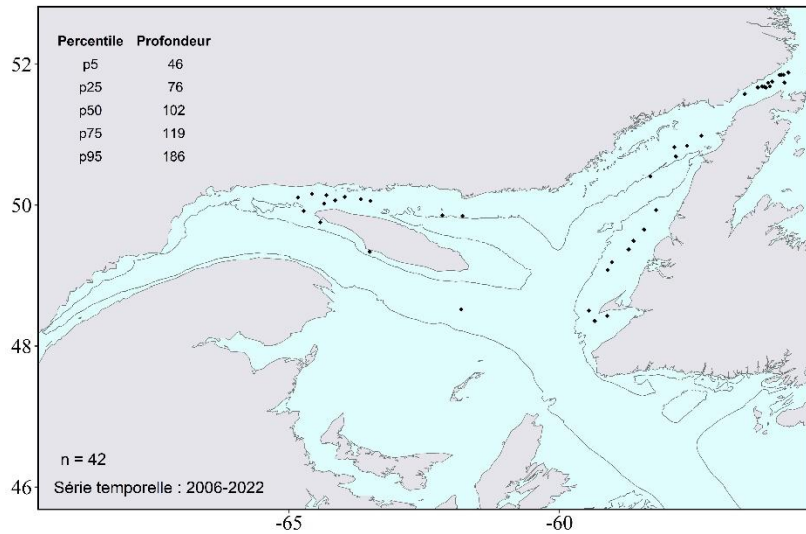




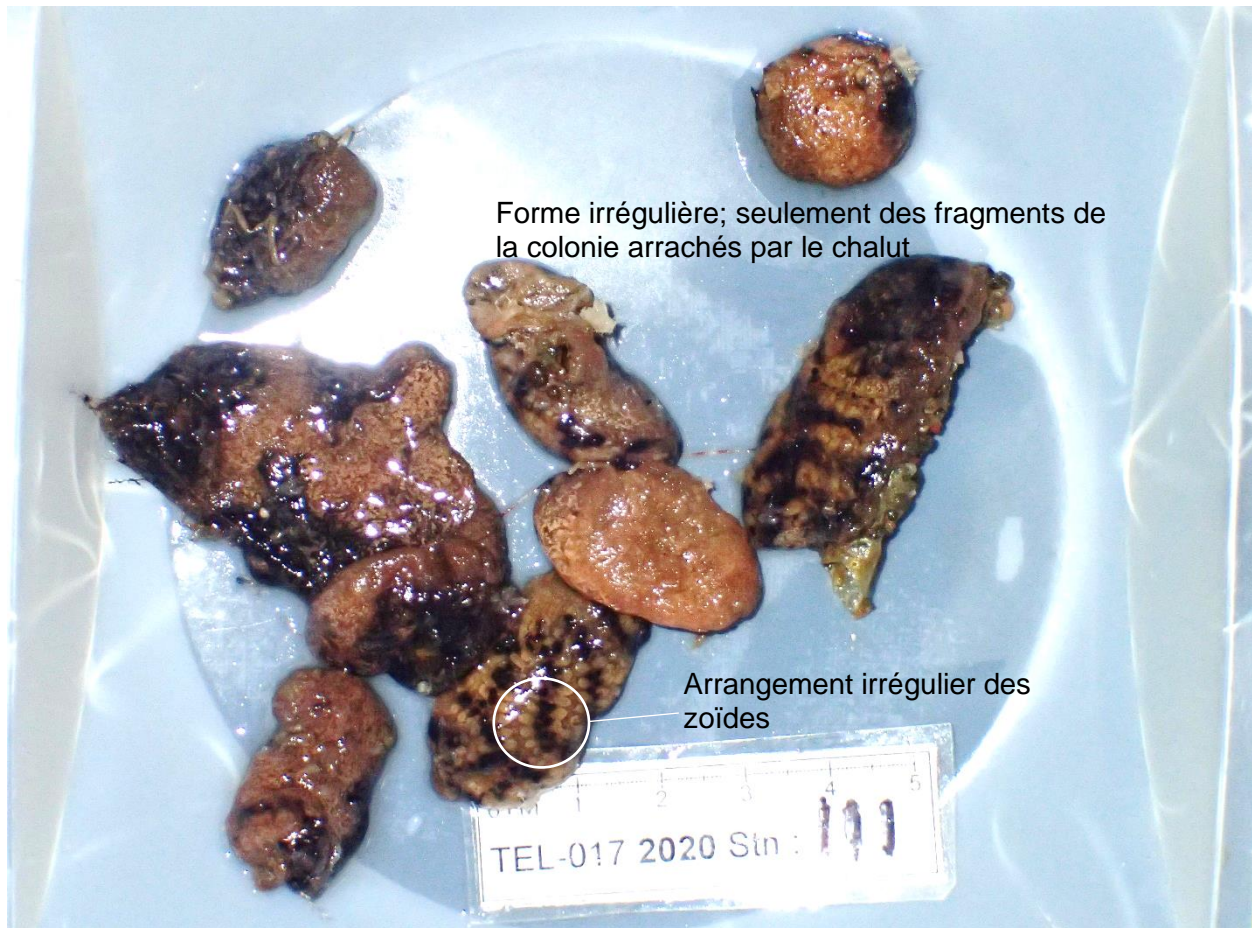
Botrylloides aureus (Sars, 1851)
AphiaID: 1307332, STRAP: 8796, RVAN: -

Écologie

- Substrat : roche ou autres substrats durs.
- Ils peuvent former de grandes plaques sur les substrats.



Identification



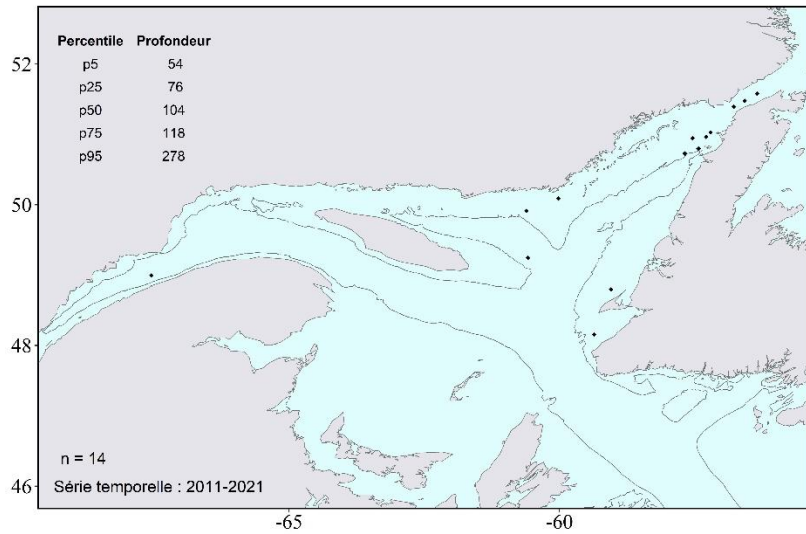


Synoicum pulmonaria (Ellis & Solander, 1786)

AphiaID: 103692, STRAP: 8776, RVAN: 7816

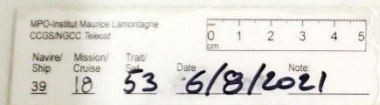
Écologie

- Substrat : roche ou autres substrats durs.

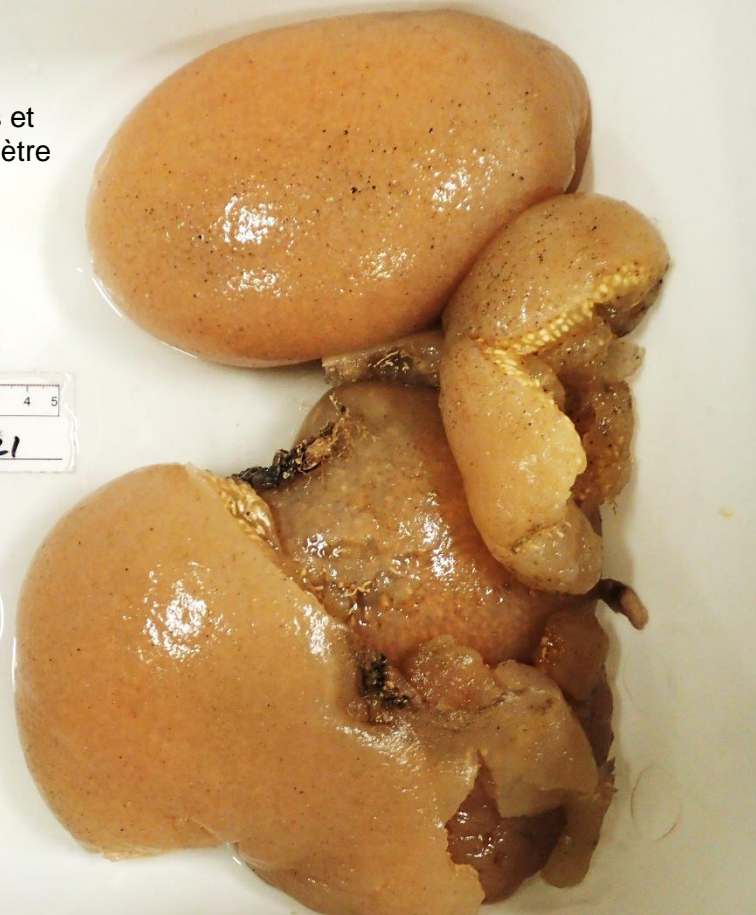


Identification

Colonie formant des lobes charnus et arrondis, atteignant 10 cm de diamètre



Tunique semi-transparente, grise jaunâtre

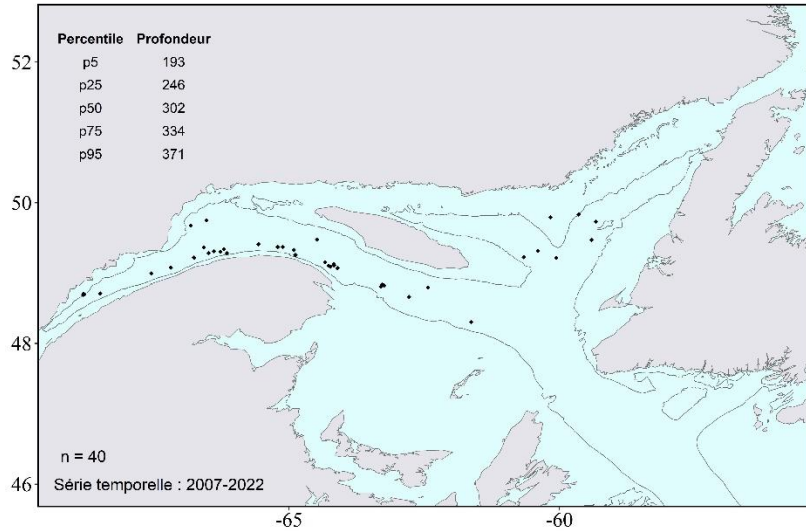




Polycarpa fibrosa (Stimpson, 1852)
AphiaID: 103902, STRAP: 8783, RVAN: 7735

Écologie

- Substrat : sable, vase.
- Vit enfouie plus ou moins fermement dans les sédiments ; ses siphons restent hors de l'eau pour filtrer.



Identification

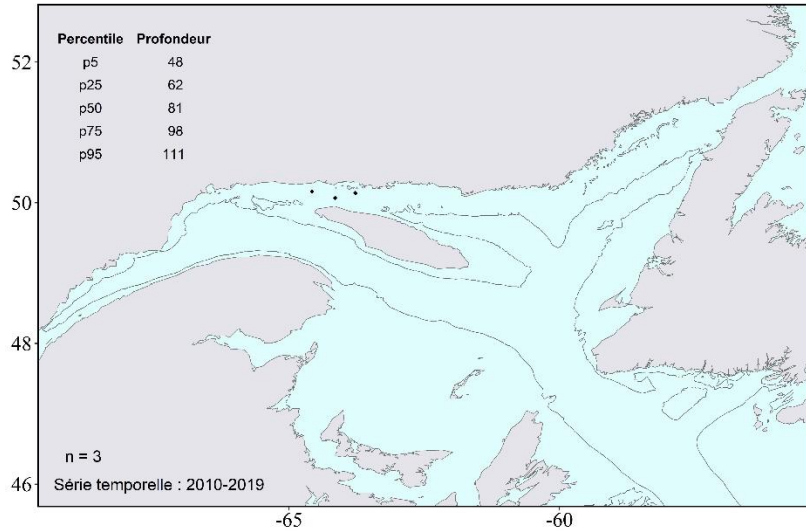




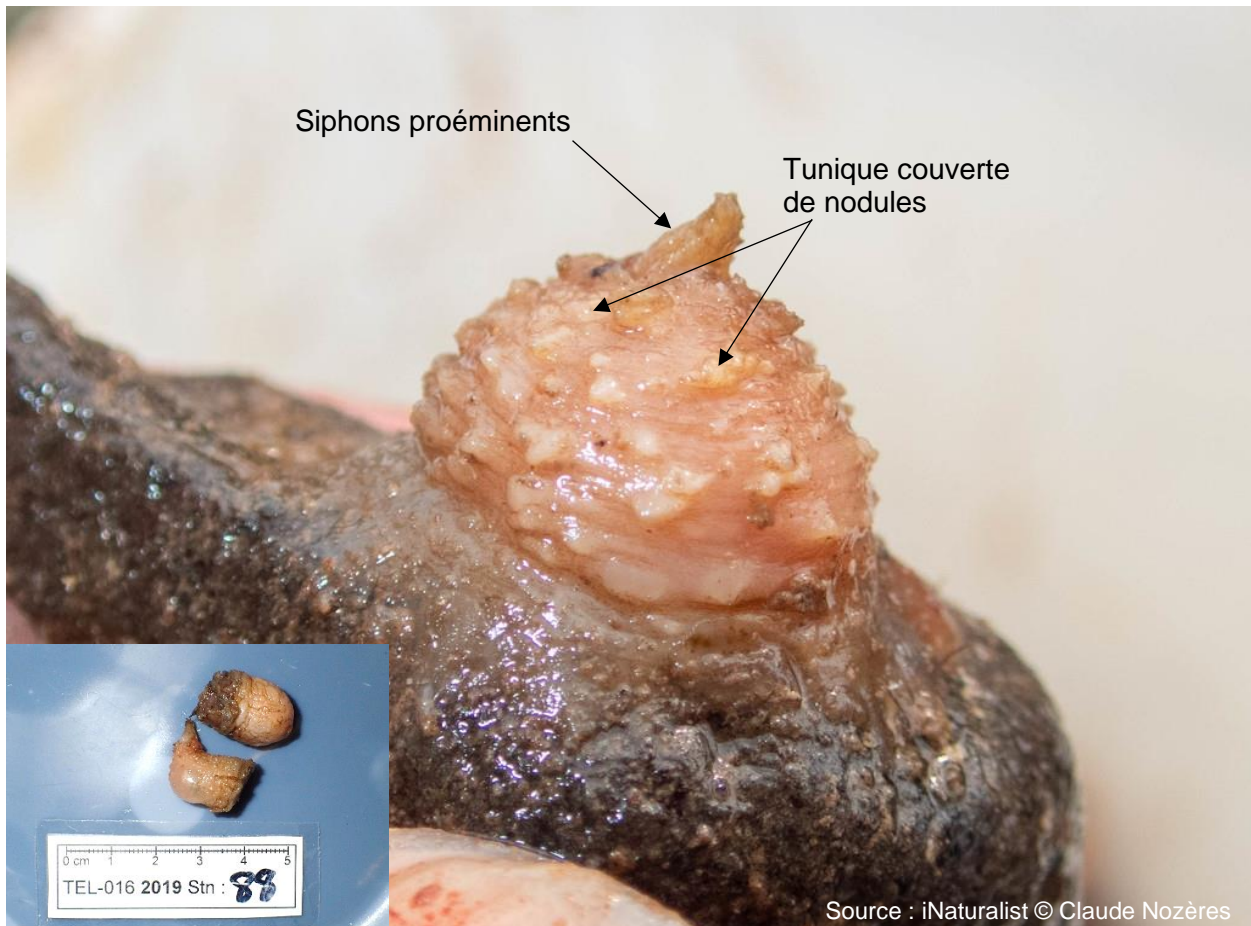
Styela rustica (Linnaeus, 1767)
AphiaID: 103937, STRAP: 8801, RVAN: -

Écologie

- Substrat : roche ou autres substrats durs.



Identification

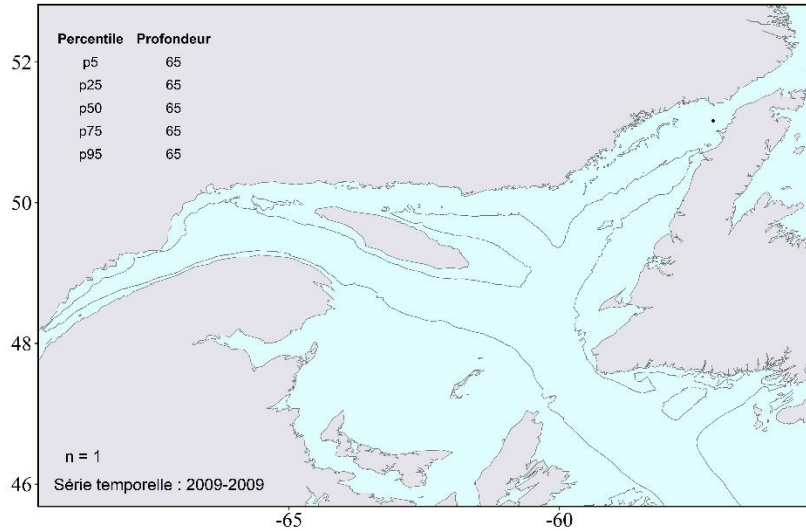




Dendrodia carnea (Agassiz, 1850)
AphiaID: 103881, STRAP: 8759, RVAN: -

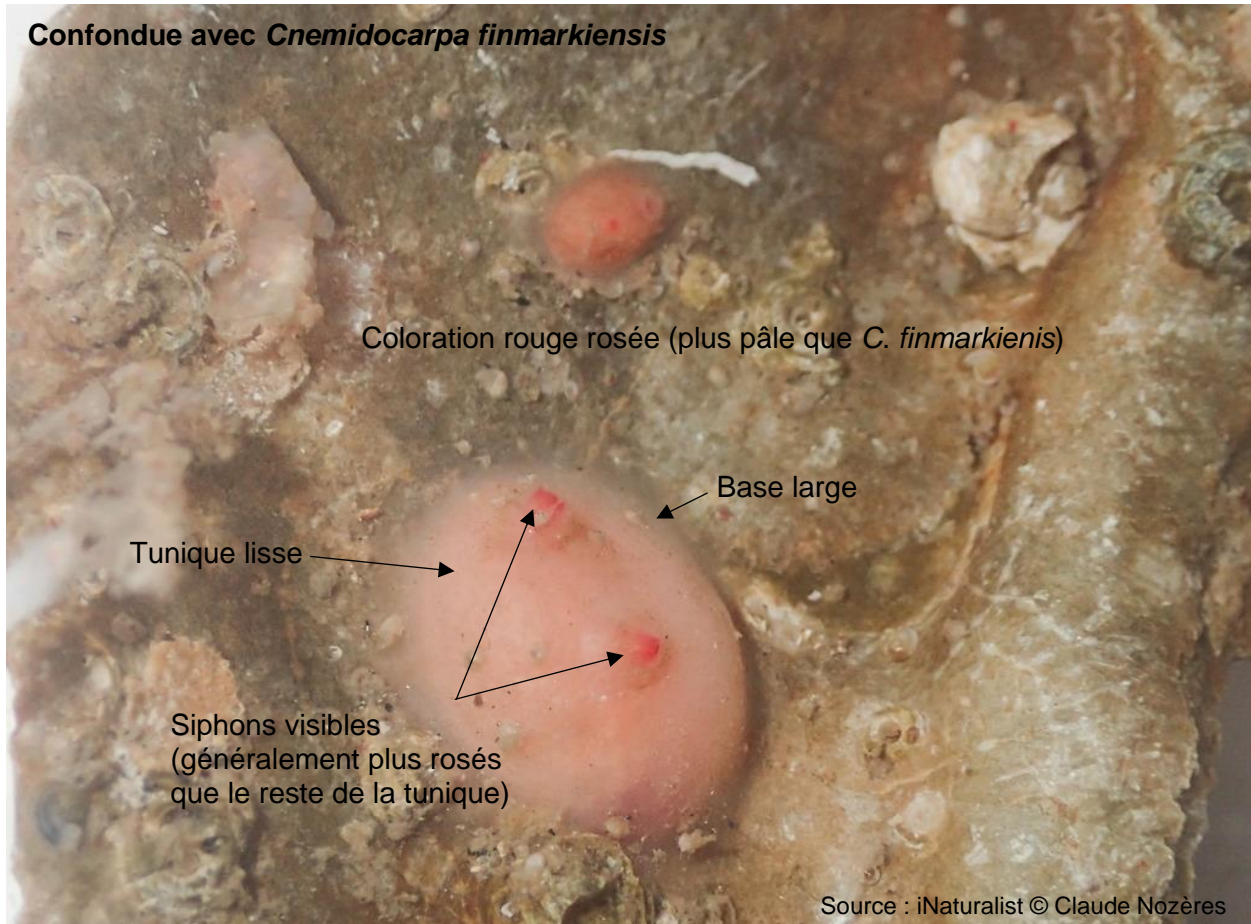
Écologie

- Substrat : roche ou autres substrats durs.



Identification

Confondue avec *Cnemidocarpa finmarkiensis*



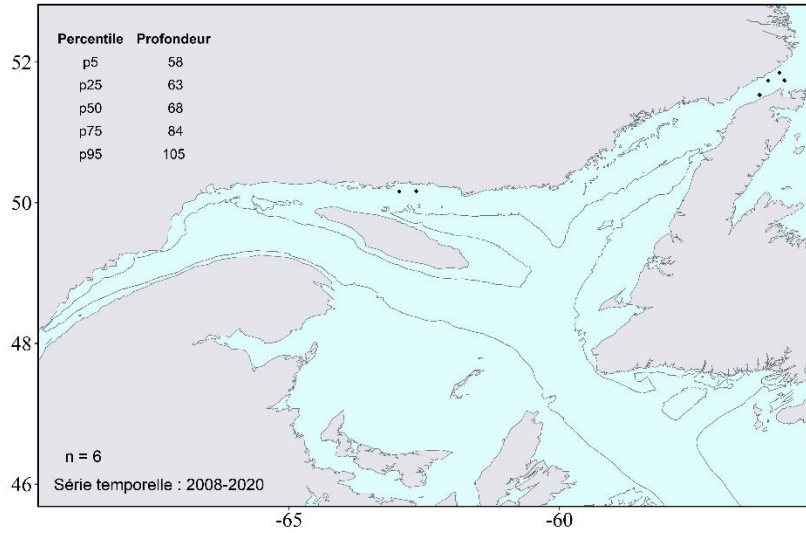


Dendrodia pulchella (Rathke, 1806)

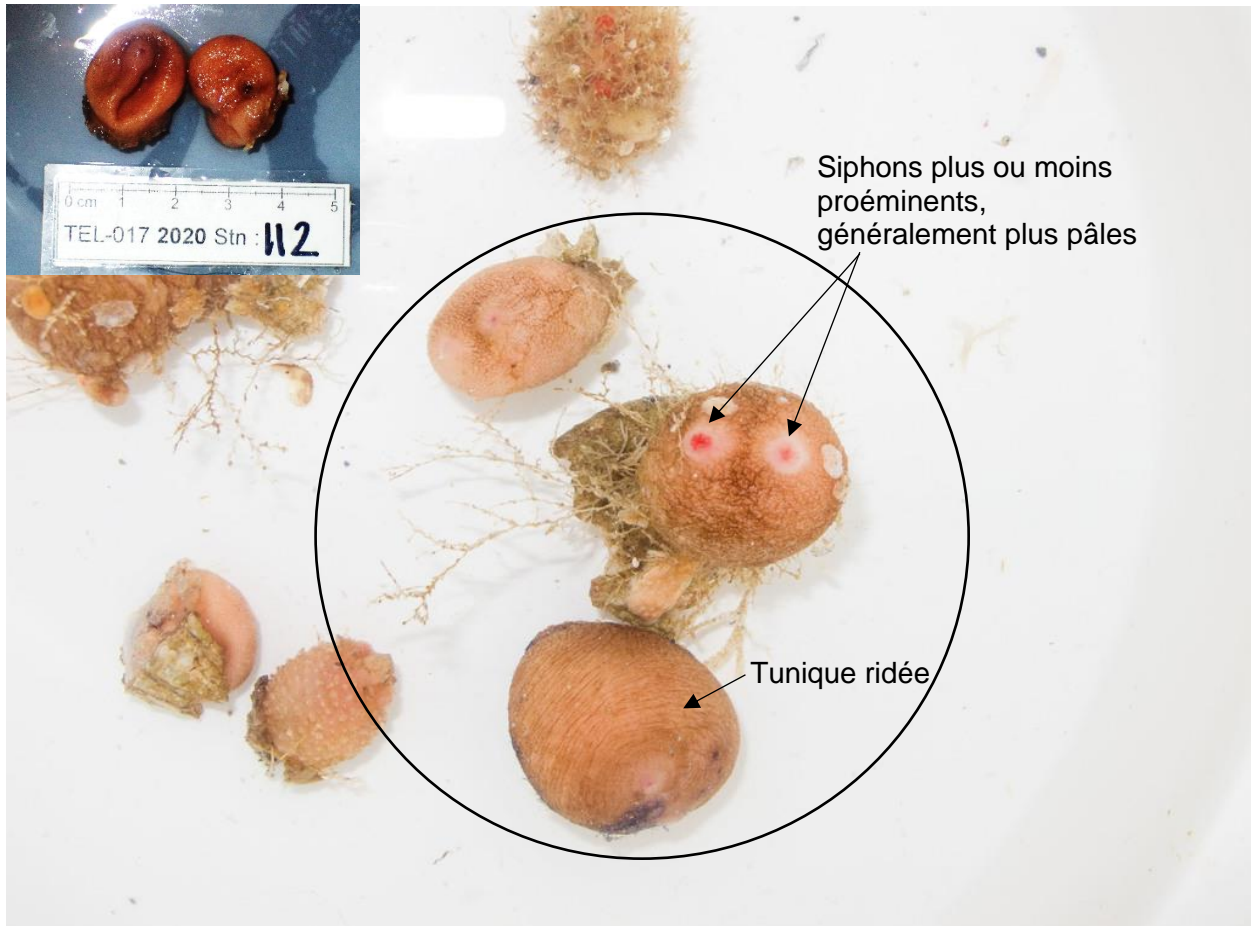
AphiaID: 103885, STRAP: 8761, RVAN: -

Écologie

- Substrat : roche ou autres substrats durs.



Identification



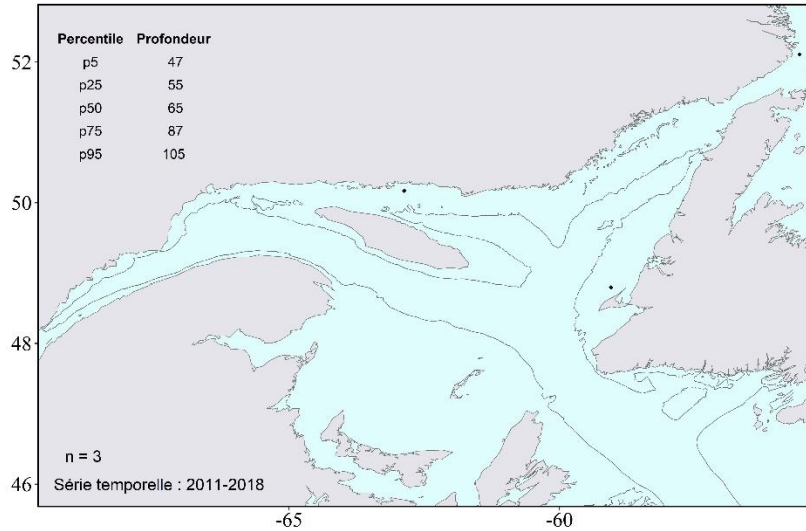


Cnemidocarpa finmarkiensis (Kiaer, 1893)

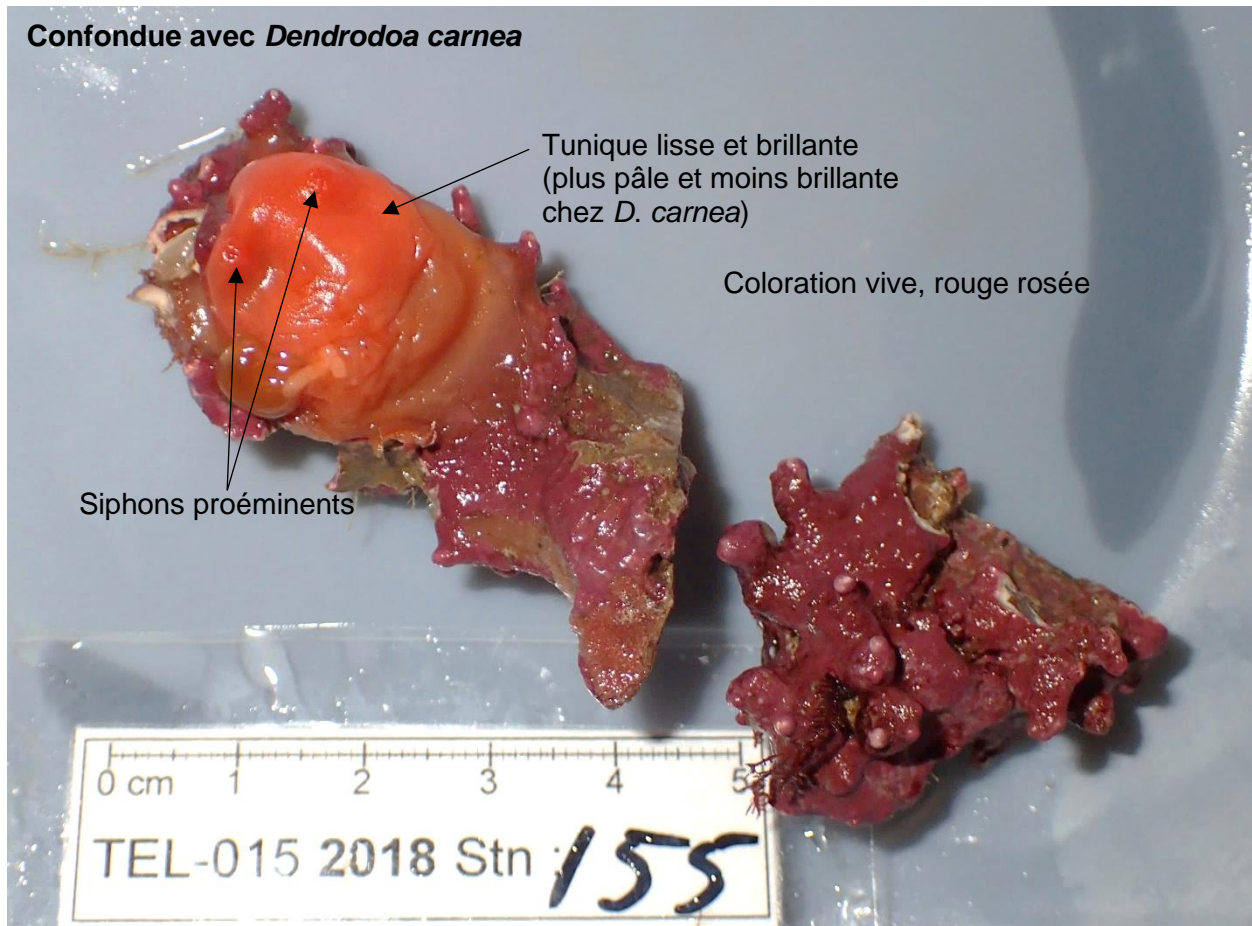
AphiaID: 103870, STRAP: 8757, RVAN: -

Écologie

- Substrat : sable, vase.
- Vit enfouie plus ou moins fermement dans le sédiment; ses siphons restent hors de l'eau pour filtrer.



Identification



Références

- Francis, F. T. Y., Filbee-Dexter, K. et Scheibling, R. E. 2014. Stalked tunicates *Boltenia ovifera* form biogenic habitat in the rocky subtidal zone of Nova Scotia. *Marine Biol.*, 161(6), 1375-1383. <https://doi.org/10.1007/s00227-014-2425-7>
- Picton, B. E. et Morrow, C. C. 2016. *Polycarpa fibrosa* (Stimpson, 1852). <http://www.habitas.org.uk/marinelife/species.asp?item=ZD1850> (Accédé le 2023-03-10).
- Stimpson, W. 1852. Several new ascidians from the coast of the United States. *Proc. Boston Soc. Nat. Hist.*, 4, 228-232. <https://doi.org/10.5962/bhl.part.25197>

Index

A

Actiniaria, 36

- Actinauge cristata*, 43
- Actinostola callosa*, 42
- Bolocera tuediae*, 37
- Cribrinopsis similis*, 40
- Hormathia digitata*, 44
- Hormathia nodosa*, 45
- Liponema multicornis*, 38
- Metridium senile*, 46
- Ptychodactis patula*, 48
- Stephanauge nexilis*, 47
- Stomphia coccinea*, 41
- Urticina crassicornis*, 39

Amphipoda, 87

- Anonyx* sp., 92
- Epimeria loricata*, 88
- Eusirus cuspidatus*, 90
- Maera loveni*, 97
- Megamoera dentata*, 96
- Neohela monstrosa*, 94
- Oedicerus saginatus*, 98
- Paramphithoe hystrix*, 89
- Pardalisca abyssii*, 93
- Rhachotropis aculeata*, 91
- Stegocephalus inflatus*, 99
- Wimvadocus torelli*, 95

Asciidiacea, 309

- Ascidia* sp., 314
- Boltenia echinata*, 311
- Boltenia ovifera*, 310
- Botrylloides aureus*, 316
- Cnemidocarpa finmarkiensis*, 322
- Dendrodoa carnea*, 320
- Dendrodoa pulchella*, 321
- Eudistoma vitreum*, 313
- Halocynthia pyriformis*, 312
- Pelonaia corrugata*, 315
- Polycarpa fibrosa*, 318
- Styela rustica*, 319
- Synoicum pulmonaria*, 317

Asteroidea, 260

- Asterias rubens*, 264
- Ceramaster granularis*, 271
- Crossaster papposus*, 278
- Ctenodiscus crispatus*, 267
- Diplopteraster multipes*, 274

Henricia sp., 266

Hippasteria phrygiana, 272

Leptasterias (Hexasterias) polaris, 261

Leptasterias groenlandica, 262

Leptychaster arcticus, 270

Novodinia americana, 281

Poraniomorpha sp., 273

Pseudarchaster parelii, 269

Psilaster andromeda, 268

Pteraster militaris, 275

Pteraster obscurus, 277

Pteraster pulvillus, 276

Solaster endeca, 279

Stephanasterias albula, 263

Tremaster mirabilis, 280

Urasterias lincki, 265

B

Bivalvia, 165

- Anomiidae, 176
- Arvella faba*, 171
- Astarte borealis*, 179
- Astarte* sp., 178
- Bathyarca glacialis*, 170
- Chlamys islandica*, 174
- Ciliatocardium ciliatum ciliatum*, 181
- Cuspidaria glacialis*, 188
- Cyclocardia borealis*, 180
- Hiatella arctica*, 186
- Macoma calcarea*, 187
- Megayoldia thraciaeformis*, 166
- Mesodesma arctatum*, 169
- Musculus* sp., 172
- Mya truncata*, 184
- Mytilus* sp., 173
- Nuculana* sp., 167
- Panomya norvegica*, 185
- Serripes groenlandicus*, 182
- Similipecten greenlandicus*, 175
- Thyasira* sp., 183
- Xylonora atlantica*, 177
- Yoldia* sp., 168

Brachiopoda, 153

- Hemithiris psittacea*, 154
- Terebratulina septentrionalis*, 155

Bryozoa, 158

- Alcyonidium gelatinosum*, 159
- Alcyonidium pachydermatum*, 160

Phidolopora elongata, 162
Securiflustra securifrons, 161

C

Cephalopoda, 224

Bathypolypus bairdii, 228
Gonatus fabricii, 226
Illex illecebrosus, 225
Rossia sp., 227
Stauroteuthis syrtensis, 230
Stoloteuthis leucoptera, 229

Cirripedia, 141

Arcoscalpellum michelottianum, 142
Balanus sp., 143
Chirona hameri, 144

Crinoidea, 301

Helioметра glacialis, 302

Ctenophora, 83

Pleurobrachia pileus, 84

D

Decapoda, 100

Acanthephyra pelagica, 132
Argis dentata, 135
Aristaeopsis edwardsiana, 130
Aristeus antillensis, 131
Atlantopandalus propinquus, 114
Dichelopandalus leptocerus, 120
Calocaris templemani, 108
Cancer irroratus, 105
Chionoecetes opilio, 101
Eualus belcheri, 111
Eualus fabricii, 110
Eualus gaimardii, 113
Eualus macilentus, 112
Eusergestes arcticus, 127
Homarus americanus, 106
Hyas alutaceus, 104
Hyas araneus, 103
Hymenopenaeus debilis, 115
Lebbeus groenlandicus, 121
Lebbeus microceros, 122
Lebbeus polaris, 123
Lithodes maja, 102
Munidopsis curvirostra, 109
Pagurus sp., 107
Pandalus borealis, 118
Pandalus montagui, 119
Pasiphaea multidentata, 128
Pasiphaea tarda, 129

Plesionika martia, 117
Pontophilus norvegicus, 136
Robustosergia robusta, 116
Sabinea sarsii, 134
Sabinea septemcarinata, 133
Sclerocrangon boreas, 137
Spirontocaris liljeborgii, 126
Spirontocaris phippisii, 124
Spirontocaris spinus, 125

E

Echinoidea, 291

Brisaster fragilis, 292
Echinarachnius parma, 294
Strongylocentrotus sp., 293

G

Gastropoda, 189

Ariadnaria borealis, 193
Arrhoges occidentalis, 196
Aulacofusus brevicauda, 198
Beringius turtoni, 201
Boreotrophon clathratus, 211
Buccinum cyaneum, 203
Buccinum scalariforme, 204
Buccinum sp., 202
Buccinum terranovae, 205
Buccinum undatum, 206
Colga villosa, 221
Colus pubescens, 199
Colus stimpsoni, 200
Cryptonatica affinis, 209
Dendronotus elegans, 220
Dendronotus frondosus, 218
Dendronotus velifer, 219
Doridoxa walteri, 222
Euspira pallida, 210
Heterodoris robusta, 223
Lacuna vincta, 194
Lepeta ceaca, 214
Limneria undata, 216
Margarites costalis, 190
Margarites groenlandicus, 191
Neptunea despecta, 207
Onchidiopsis corys, 217
Plicifusus kroeyeri, 197
Scabrotrophon fabricii, 212
Scaphander punctostriatus, 213
Solariella sp., 192
Tachyrhynchus erosus, 195

Velutina velutina, 215
Volutopsius norwegicus, 208

H

Holothuroidea, 295

Cucumaria frondosa, 296
Ekmania barthii, 300
Molpadia oolitica, 299
Psolus fabricii, 297
Psolus phantapus, 298

Hydrozoa, 67

Ptychogena lactea, 68
Staurostoma mertensii, 69
Stephalia corona, 70
Thuiaria thuja, 71

I

Isopoda, 138

Aega psora, 139
Syscenus infelix, 140

M

Malacalcyonacea, 54

Drifa glomerata, 55
Duva florida, 56
Gersemia fruticosa, 57
Gersemia rubiformis, 58

N

Nemertea, 307

O

Ophiuroidea, 282

Amphiura sp., 287
Gorgonocephalus arcticus, 290
Ophiacantha bidentata, 284
Ophiopholis aculeata, 283
Ophioscolex glacialis, 288
Ophiura robusta, 286
Ophiura sarsii, 285
Stegophiura nodosa, 289

P

Pennatuloida, 61

Anthoptilum grandiflorum, 63
Balticina finmarchica, 62

Kophobelemnon stelliferum, 66
Pennatula aculeata, 65
Ptilella grandis, 64

Polychaeta, 242

Aphrodita hastata, 243
Brada inhabilis, 248
Cistenides granulata, 249
Euphrosine borealis, 245
Hamingia arctica, 250
Laetmonice filicornis, 244
Phyllodoce groenlandica, 247
Polynoidae, 246

Polyplacophora, 231

Amicula vestita, 232
Hanleya hanleyi, 235
Stenosemus albus, 234
Tonicellidae, 233

Priapula

Priapulus caudatus, 257

Pycnogonida, 145

Nymphon hirtipes, 147
Nymphon sp., 146
Pycnogonum litorale, 148

S

Scaphopoda, 236

Antalis occidentalis, 237

Scleractinia, 49

Flabellum (Ulocyathus) alabastrum, 50

Scleralcyonacea, 59

Heteropolypus sp., 60

Scyphozoa, 72

Atolla wyvillei, 73
Aurelia aurita, 74
Cyanea capillata, 75
Periphylla periphylla, 76

Sipuncula, 251

Golfingia (Golfingia) margaritacea, 252
Phascolion (Phascolion) strombus strombus, 253

Staurozoa, 77

Lucernaria quadricornis, 78

Z

Zoantharia, 51

Epizoanthus erdmanni, 52
Epizoanthus papillosus, 53